

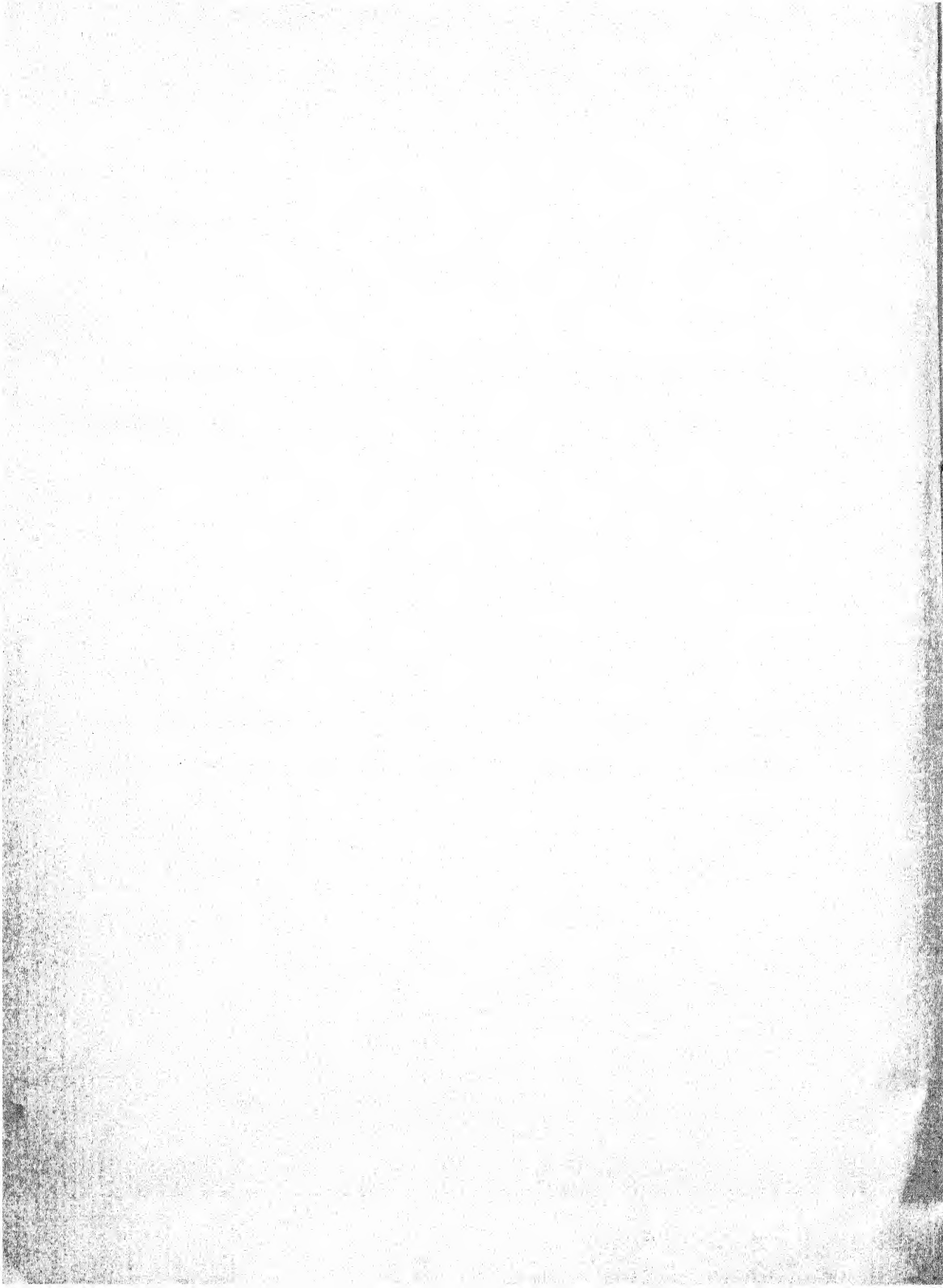


73

# ANNALES MYCOLOGICI

SECHZEHNTER JAHRGANG — 1918.





# ANNALES MYCOLOGICI

EDITI IN NOTITIAM

## SCIENTIAE MYCOLOGICAE UNIVERSALIS

---

HERAUSGEgeben UND REDIGIERT

von

H. SYDOW

UNTER MITWIRKUNG VON ABATE J. BRESADOLA (TRIENT), PROFESSOR DR. FR. BUBÁK (TÁBOR), PROFESSOR DR. FR. CAVARA (NEAPEL), PROFESSOR DR. P. DIETEL (ZWICKAU), DR. A. GUILLIERMOND (LYON), PROFESSOR DR. FR. VON HÖHNEL (WIEN), PROFESSOR DR. E. KÜSTER (BONN), PROFESSOR DR. RENÉ MAIRE (ALGER), PROFESSOR DR. L. MATRUCHOT (PARIS), PROFESSOR DR. F. W. NEGER (THARANDT), PROFESSOR DR. P. A. SACCARDO (PADUA), E. S. SALMON (WYE, NEAR ASHFORD, KENT), DR. A. SARTORY (NANCY), PROFESSOR DR. P. VUILLEMIN (NANCY), DR. A. ZAHLBRUCKNER (WIEN)

UND ZAHLREICHEN ANDEREN GELEHRTEn

---

SECHZEHNTER JAHRGANG — 1918

BERLIN

VERLAG VON R. FRIEDLAENDER & SOHN

1918

PREIS DES JAHRGANGS 40 MARK

203865

5805-22

19

## Inhalt (Band XVI).

### I. Originalarbeiten.

	Seite
Boas, Friedrich. Zur Ernährungsphysiologie einiger Pilze . . . . .	229
Gäumann, Ernst. Über die Spezialisation der Peronospora auf einigen Scrophulariaceen . . . . .	189
Höhnel, Franz v. Mycologische Fragmente . . . . .	35
Höhnel, Franz v. Rehm: Ascomycetes exs. Fasc. 56 und 57 . . . . .	209
Paravicini, E. Zwei neue Fusarien, Fusarium luteum und Fusarium rubrum nebst Untersuchungen über die Bedeutung der Anamomosen . . . . .	300
Petrak, F. Über eine neue Art der Gattung Leptosphaeria aus Südost-Galizien . . . . .	225
Sydow, H. und P. Mykologische Mitteilungen . . . . .	240
Theissen, F. Mycologische Mitteilungen . . . . .	175
Theissen, F. und Sydow, H. Vorentwürfe zu den Pseudosphaeriales	1
Wartenweiler, Alfred. Beiträge zur Systematik und Biologie einiger Plasmopara-Arten . . . . .	249

### II. Namenregister.

Verzeichnis der in den Originalarbeiten vorkommenden Pilznamen.

Neue Gattungsnamen sind gesperrt gedruckt.

Den neuen Arten ist der Autorname beigefügt.

Acantharia Th. et Syd. 15. — echinata (Ell. et Ev.) Th. et Syd. 15.	Adelococcus alpestris (Zopf) Th. et Syd. 31.
Achorella Centrolobii 182.	Aglaospora thelebola 123.
Acrospermum compressum 149.	Ahlesia lichenicola 27.
Actidium Acharii 150. — Haenkei 168. — hysteroides 150. — pulchellum 152.	Aithaloderma 41. — clavatisporum 41. — longisetum 42. — peribebuyense 42. — spinigerum 42.
Adelococcus Th. et Syd. 31.	Aldona stella nigra 150.

- Allescherina* 128, 131.  
*Angelina rufescens* 150.  
*Anisostomula* v. Höhn. 49.  
 — *areola* (Fuck.) v. Höhn. 49.  
 — *Cookeana* (Awd.) v. Höhn. 49.  
 — *polystigma* (Ell. et Ev.) v. Höhn. 49.  
 — *Quercus Ilicis* (Trav.) v. Höhn. 49.  
*Antennularia Chaetomium* 77.  
 — *irradians* 7.  
*Anthomyces* 243.  
*Anthomycetella Canarii* 243.  
*Anthostoma* 223, 224.  
 — *amoenum* 122, 123.  
 — *atropunctum* 219.  
 — *rhenanum* 122, 123.  
*Anthostomaria* 27.  
*Anthostomella Arengae* 223, 224, 244.  
 — *Arunci* v. Höhn. 71.  
 — *consanguinea* 70.  
 — *contaminans* 71.  
 — *mirabilis* 96.  
 — *palmicola* 70, 223.  
 — — var. *Pritchardiae* Schiffn. 71.  
 — *pisana* 70, 223.  
 — *leucobasis* 71.  
*Apiognomonia* v. Höhn. 51.  
 — *errabunda* (Rob.) v. Höhn. 51.  
 — *erythrostoma* (Fr.) v. Höhn. 51.  
 — *inaequalis* (Awd.) v. Höhn. 51.  
 — *veneta* (Sacc.) v. Höhn. 51.  
*Apiospora apiospora* 223.  
 — *carpinea* 51, 52.  
*Apiosporina Collinsii* 12.  
*Apiosporopsis* 51.  
*Aporia* 151.  
*Arcangelia Hepaticarum* 27.  
*Ascochyta Boltshauseri* 66.  
 — *lethalis* 67.  
 — *Pisi* 67.  
*Aspergillus niger* 229, 235, 236.  
*Asteridium elegantissimum* 246.  
 — *peribebuyense* 42.  
*Asterina diplocarpa* 213.  
 — *Epilobii* 79.  
*Asterina irradians* 7.  
 — *Pandani* 247.  
*Asterinella creberrima* 247.  
 — *Reyesiana* Rehm. 220, 247.  
 — *Winteriana* 246.  
*Asteroma atramentarium* 12.  
 — *Calvadosii* 156.  
 — *Cerasi* 81.  
 — *Epilobii* 80.  
 — *Juncaginearum* 156.  
 — *Mali* 53.  
*Asterostomula Reyesiana* v. Höhn. 221.  
*Asterula* 80.  
 — *Epilobii* 80.  
 — *goyazensis* 247.  
 — *melaena* 80.  
 — *Silenes* 80.  
*Astrophaeriella* 245.  
 — *fusispora* 96.  
 — *prorumpens* 97.  
*Atichia glomerulosa* 220.  
*Auerswaldia Arengae* 223.  
 — *decipiens* 244.  
*Aulacostroma Pandani* 247.  
*Aulographum* 150.  
 — *blechnicola* 246.  
 — *Gaylussaciae* 247.  
 — *glonioides* 247.  
 — *juruanaum* 246.  
 — *Myrtaceae Theiß.* 187.  
 — *tropicale* 247.  
*Baggea* 151.  
 — *pachyascus* 151.  
*Bakeromyces philippensis* 77.  
*Berlesiella parasitica* 224.  
*Bertia lichenicola* 27, 31.  
*Bizzozeria* 74, 76.  
 — *actinodes* 75.  
 — *breviseta* 75.  
 — *canescens* 75.  
 — *caudata* 75.  
 — *crinita* 75.

- Bizzozeria heterostoma 75.
  - hirsuta 75.
  - hispida 75.
  - immersa 75.
  - Rhacodium 75.
  - roseospora 76.
  - sorbina 74, 75, 76.
  - strigosa 75.
  - veneta 75, 76, 109.
  - vilis 75.
- Botryoconis pallida 248.
  - Saccardoi 248.
  - tumefaciens 248.
- Botryosphaeria 6, 16.
- Broomella Rickiana 24.
- Buellia cladonema 30.
- Bullardiella 146, 149.
- 
- Caeoma mbatobiense 241.
  - superficiale 242.
- Calidion Syd. 242.
  - Lindsaeae (P. Henn.) Syd. 243.
- Calloria quitensis 37, 38.
- Calosphaeria 129.
  - polyblasta 128.
  - recedens 105.
  - ulmicola v. Höhn. 142.
- Calospora 115, 116, 125.
  - aucta 115.
  - hapalocystis 115.
  - occulta 115, 125.
  - platanoidis 114, 115.
- Calosporella 115, 116.
  - Innesii 116.
  - platanoidis 114.
- Camarosporium macrosporum 72, 73.
  - Philadelphi 72.
- Capnodium salicinum 43.
- Carlia 23, 46, 47, 65.
  - allosoricola 62.
  - aquilina 63.
  - Aspidii 62.
  - Asplenii 62.
  - canificans 53.

- Carlia Filicum 62.
  - lineolata 53.
  - Oxalidis 23, 47, 65.
  - Pteridis 63.
  - recutita 53.
  - tirolensis 63.
- Catacauma aspideum 215.
  - migrans 217.
- Catharinia Rostrupii 169.
- Caudospora Taleola 121, 125.
- Causalais Theiß. 184.
  - Myrtacearum (Rick) Theiß. 184.
- Cenangiopsis quercicola 210.
- Cenangium aggregatum 69, 70.
  - furfuraceum 210.
- Cephalosporium tumefaciens 248.
- Cephalotheca Kriegerii 105.
- Ceratochaete philippinensis 44, 45.
- Ceratostomella 91.
  - cirrhosa 91.
  - pilifera 91.
  - vestita 91.
- Ceriospora 68, 92.
  - bicalcarata 96, 97.
  - Dubyi 92.
  - fuscescens 95.
  - montaniensis 93, 94.
  - Ribis 94.
  - Ulicis 95.
  - xantha 93.
- Ceriosporella 95.
  - Patouillardii 95.
- Ceuthocarpon 103.
  - populinum 103.
  - sphaerelloides 26.
- Ceutospora Lauri 142.
- Chaetodiplodia 73.
- Chalcosphaeria v. Höhn. 97.
  - pustula (Pers.) v. Höhn. 67, 97.
- Chorostate anceps 119.
- Ciboria echinophila 220.
- Cionothrix andina 243.
  - egenula 243.
  - Gilgiana 243.

- Cionothrix Jacksoniae* 243.  
 — *usneoides* 243.  
*Cladosporium* 236, 237, 238.  
*Clathrospora dacotensis* 213.  
 — *Elynae* 213.  
 — *typhicola* 88.  
*Cleistosphaera macrostegia* 42.  
*Clinoconidium farinosum* 248.  
*Clintoniella* 36, 37.  
 — *apiculata* 37.  
 — *Paulliniae* 37, 38.  
 — *rhytidospora* 37.  
*Coccophacidium* 148, 151.  
*Coelosphaeria* 129.  
 — *Beccariana* 105.  
 — *Fuckelii* 104.  
 — *roseospora* 76.  
*Coleroa* 78, 79.  
 — *atramentaria* 223.  
*Colpoma quercinum* 151.  
*Coronophora* 130, 138, 139.  
 — *abietina* 138, 139.  
 — *augustata* 137, 138.  
 — *gregaria* 137, 138.  
 — *macroisperma* 137, 138.  
 — *moravica* 136.  
*Coronophorella* 130, 132, 136, 138.  
 — *chaetomoides* 138.  
*Crossopsora* Syd. 243.  
 — *Kemangaæ* (Rac.) Syd. 243.  
 — *Premnae* (Petch) Syd. 243.  
 — *Zizyphi* (Syd. et Butl.) Syd. 243.  
*Crumenula* 154.  
*Cryptoderis* 98, 101.  
 — *lamprotheaca* 98, 101.  
*Cryptosphaerella* 130, 135, 138.  
 — *annexa* 73, 136, 137, 138.  
*Cryptosphaeria* 128, 131, 134, 135.  
 — *millepunctata* 135.  
 — *populina* 135.  
*Cryptospora* 106.  
 — *aculeans* 108.  
 — *Aesculi* 108, 116.  
 — *albofusca* 109.  
  
 — *Betulae* 107.  
 — *Caryae* 109.  
 — *cinctula* 108.  
 — *corylina* 107.  
 — *femoralis* 108.  
 — *quercina* 76, 109.  
 — *Quercus* 109.  
 — *Richoni* 109.  
 — *suffusa* 107, 108, 219.  
 — *trichospora* 109.  
*Cryptosporella* 106.  
 — *aurea* 106.  
 — *chondrospora* 108.  
 — *Daldiniana* 106.  
 — *hypodermia* 106.  
 — *innata* 127.  
 — *leptasca* 125, 126.  
 — *Macrozamiae* 109.  
 — *Niesslii* 107.  
 — *populina* 106.  
 — *sphaerostoma* 107.  
 — *tenuis* 126.  
 — *umbilicata* 127.  
*Cryptosporina* 24, 109.  
*Cryptovalsa* 128, 131, 135.  
 — *ampelina* 135.  
 — *effusa* 135.  
 — *protracta* 135.  
*Cryptosporium coronatum* 106.  
*Cucurbitaria* 17.  
 — *Berberidis* 17.  
 — *Laburni* 18.  
 — *recuperata* 18.  
 — *Sorbi* 19.  
 — *subcaespitosa* 19.  
*Cycloschizion Brachylaenæ* 151.  
*Cystotricha atrocyanea* 212.  
 — *striola* 211, 212.  
*Cytospora Lauro-Cerasi* 142.  
 — *rubescens* 141.  
 — *umbrina* 124.  
*Cytosporina* 128.  
 — *heteracantha* 129.

- Cytopsporopsis* v. Höhn. 124.  
 — *umbrinus* (Bon.) v. Höhn. 124.
- Debaryella* *hyalina* 36.
- Delphinella* 151, 154, 168.
- Delpinoëlla* 151.
- Dermatea* *parasitica* 83.
- Desmella* Syd. 241.  
 — *Aneimiae* 241.  
 — *Gymnogrammes* 242.  
 — *mbatobiensis* 241.  
 — *superficialis* 242.
- Diaporthe* *abnormis* 115, 125.  
 — *aculeans* 108.  
 — *Aesculi* 116, 117.  
 — *aesculicola* 116, 117.  
 — *affinis* 121.  
 — *albocarnis* 120.  
 — *Beckhausii* 119.  
 — *Betuli* 121.  
 — *Briardiana* 122.  
 — *calosphaeroides* 118.  
 — *Carpini* 122.  
 — *catamarcensis* 122.  
 — *circumscripta* 119.  
 — *conegelanensis* 116, 117.  
 — *conuncta* 120.  
 — *convexa* 122.  
 — *Corni* 120.  
 — *cornicola* 120.  
 — *crassicollis* 120.  
 — *crinigera* 121.  
 — *cryptica* 119.  
 — *decedens* 120.  
 — *densa* 117.  
 — *dichaenoides* 121.  
 — *didymelloides* 119.  
 — *dryophila* 121.  
 — *extranea* 122.  
 — *flavovirens* 121.  
 — *forabilis* 122.  
 — *fuscidula* 121.  
 — *glyptica* 122.  
 — *Hippocastani* 108, 116, 117.

- Diaporthe* *Humboldtiana* 122.  
 — *Hystricula* 107.  
 — *Hystrix* 107.  
 — *insularis* 121.  
 — *Kriegeriana* 116, 117.  
 — *leiphemia* 121.  
 — *leucopis* 120.  
 — *marchica* 119.  
 — *megalospora* 118.  
 — *microplaca* 119, 120.  
 — *mucronata* 122.  
 — *occulta* 115.  
 — *Oudemansii* 116.  
 — *oxyspora* 121.  
 — *platanoidis* 116.  
 — *populea* 106.  
 — *populina* 106.  
 — *pulchella* 106.  
 — *punctata* 122.  
 — *pusilla* 120.  
 — *pyrrhocystis* 121.  
 — *quercina* 122.  
 — *Quercus* 121.  
 — *Raveneliana* 121.  
 — *revellens* 120.  
 — *Robergeana* 224.  
 — *Rykholtii* 118, 119.  
 — *salicella* 116, 122.  
 — *Sambuci* 118.  
 — *santonensis* 122.  
 — *sphingiophora* 120.  
 — *Spina* 122.  
 — *spiculosa* 119, 120, 122.  
 — *spirulosa* 121.  
 — *stereostroma* 118, 119.  
 — *subpyramidata* 121.  
 — *sulphurea* 121.  
 — *syngenesia* 122.  
 — *Taleola* 121.  
 — *Tessella* 122.  
 — *Tessera* 120, 122.  
 — *transiens* 116, 117.  
 — *trinucleata* 114.  
 — *tristicha* 224.

- Diaporthe tumulata 120.  
— verecunda 122.  
— Woolworthii 121.
- Diaporthopsis 91, 110, 112.  
— Kriegeriana 113, 114.  
— nigrella 110, 113, 114.  
— therophila 113.  
— trinucleata 114.
- Diatrype 128, 131.
- Diatrypella 128, 131.
- Diatrypeopsis 127.
- Dibotryon morbosum 17.
- Dichaena 148, 149.  
— faginea 148.  
— quercina 148.  
— rugosa 148.
- Dichosporium 29.
- Didymella 64.  
— exigua 64.  
— Hellebori 25.  
— immunda 68.  
— maculaeformis 58.  
— Salicis 116.  
— Sisymbrii 223.  
— superflua 223.
- Didymellina v. Höhn. 66.  
— Iridis (Desm.) v. Höhn. 66.  
— lethalis 67.  
— phaseolicola 67.  
— pinodes 67.
- Didymelopsis 27.
- Didymosphaeria 64.  
— Peltigerae 28.  
— Petrakiana 225, 226, 227.
- Diedickea singularis 169.
- Dielsiella 152.
- Dimerinopsis Laurentiana 187.
- Dimerium olivaceum 16.
- Dimerosporium bauhinicola 246.  
— echinatum 15.  
— pangerangense 245.  
— Urbanianum 246.
- Diorchidium acanthostephum 241.
- Diplodia 92, 93.  
— subtecta 93.
- Diplopeltis 171.
- Diploplénomus aggregatus v. Höhn. 70.
- Diplosphaerella 65.
- Discothecium 28.
- Disculina betulina 107.  
— corylina v. Höhn. 108.  
— Neesii 107.
- Dothidea Centrolobii 182.  
— cladonema 30.  
— Iridis 65, 66.  
— machaeriophila 181.  
— mauaensis 182.  
— millepunctata 54.  
— Munkii 181.  
— polyspora 167.  
— Pterocarpi 183.
- Dothidella Canarii 214.  
— Eugeniae 248.  
— Juniperi 174.  
— Machaerii 181.  
— machaeriophila 181.  
— Mikaniae 84, 188.
- Dothiora 164, 165.  
— Sorbi 18.
- Dothiorella Ribis 95.
- Dothityrella v. Höhn. 170, 171.  
— litigiosa (Desm.) v. Höhn. 171.
- Drepanoconis fructigena 248.
- Durella 211, 212.  
— atrocyanea 211, 212.  
— compressa 212.  
— macrospora 211.
- Echidnodes glonioides 247.
- Echinothecium reticulatum 27.
- Ectostroma Triglochinis 156.
- Ellisiodothis 170.
- Enchnoa 129.
- Enchnosphaeria santonensis 96.
- Encoelia 210.
- Endococcus 28.
- Endodothella Laminariae 31.

- Endoxyla 128, 135.
- Entodesmium 86.
  - rude 86.
- Entyloma Arnicae Syd. 244.
  - Arnoseridis Syd. 244.
  - Asteris alpini Syd. 244.
  - Calendulae Syd. 244.
  - Erigerontis Syd. 244.
  - Hieracii Syd. 244.
  - Leontodontis Syd. 244.
  - mediterraneum Syd. 244.
- Epichloë typhina 222.
- Epicymatia vulgaris 28.
- Epipeltis 154.
- Epiphyma 4, 10, 166.
- Epipolaeum Th. et Syd. 7.
  - iradians (Pat.) Th. et Syd. 7.
- Erikssonia pulchella 152.
- Eriothyrium dubiosum 169.
  - fuegianum 169.
- Erostella 129.
- Eutypa 128, 131, 134, 135.
  - Acharii 135, 150.
  - aspera 135.
  - bambusina 217.
  - Barbosae 218.
  - echinata 133.
  - flavovirens 131, 135.
  - heteracantha 131.
  - hypoxantha 218.
  - lata 135.
  - nitida 135.
  - polycocca 135.
  - spinosa 135.
- Eutypella 128, 131, 134, 135.
  - bambusina 217, 218, 219.
  - cerviculata 135.
  - Crataegi 143.
  - hypoxantha 218, 219.
  - Kusanoi 219.
  - Padi 135.
  - prunastri 135, 143.
  - Sorbi 135.
  - stellulata 135.
- Eutypella ventricosa 135.
- Excipula Gentianae 210.
- Farlowiella 146, 149.
- Flageoletia 126, 127.
  - leptasca 126.
  - Rehmiana 126.
  - tenuis 126.
- Fracchiaea 131, 138, 139.
  - brevibarbata 140.
  - Coniferarum 139.
  - heterogenea 138, 140.
- Fusarium 300.
  - apioenum 314.
  - cirrosum 104.
  - gemmiperda 300.
  - luteum Parav. 302.
  - putrefaciens 300.
  - rubrum Parav. 311.
- Fusicoccum amygdalinum 106.
- Lesourdeanum 106.
- Gaillardiella melioloides 188.
- Galactinia jonella 219.
- Gibbera 18, 79, 81, 82, 83.
  - melioloides 188.
  - Mikaniae 84, 188.
- Gibberella pulicaris 104.
  - Saubinetii 213.
- Gibberidea 18.
- Gloniella 144, 145, 146, 149.
  - filicina 144.
  - lapponica 144.
  - pere exigua 145.
  - sarmentorum 144.
  - Typhae 144, 145, 146.
- Gloniopsis decipiens 146.
- Glonium graphicum 147.
  - stellatum 146, 147.
- Gnomonia pleurostyla 98.
  - veneta 51.
- Gnomoniella Kriegerii 105.
  - tubaeformis 105.
- Gnomonina v. Höhn. 47, 48.

- |   |  |
|---|--|
| <i>Gnomonina alnea</i> (Fr.) v. Höhn. 47. | Heteronectria 74.                            |
| — <i>Rehmii</i> (Sacc.) v. Höhn. 52.      | Heteropatella lacera 35.                     |
| <i>Graphyllum</i> 152:                    | Heterophracta 29.                            |
| — <i>Chloës</i> 212.                      | Heterosphaeria Patella 35.                   |
| — <i>dakotense</i> 212.                   | Hindersonia 92.                              |
| <i>Griphosphaeria</i> v. Höhn. 87.        | — Lupuli 92.                                 |
| — <i>corticola</i> (Fuck.) v. Höhn. 215.  | Homostegia Piggottii 29.                     |
| <i>Guignardia</i> 24, 46, 47, 54.         | — Pterocarpi 184.                            |
| — <i>Adeana</i> 57.                       | Humaria <i>jonella</i> 219.                  |
| — <i>Bidwellii</i> 47, 48.                | — <i>tetrica</i> 219.                        |
| — <i>cooperta</i> 49.                     | Hyalocurreya 25.                             |
| — <i>Freycinetiae</i> 59, 214.            | Hypocrea <i>citrina</i> 214.                 |
| — <i>Lysimachiae</i> 57.                  | — <i>corticoides</i> 37.                     |
| — <i>Quercus Ilicis</i> 49.               | — <i>Euphorbiae</i> 37.                      |
| — <i>rhytismophila</i> 54.                | — <i>fusigera</i> 37.                        |
| <i>Guignardiella</i> 177, 178.            | — <i>impressa</i> 37.                        |
| <br>                                      | — <i>incarnata</i> 37.                       |
| <i>Hadotia nivalis</i> 152.               | — <i>longicollis</i> 37.                     |
| <i>Hapalocystis</i> 124.                  | — <i>viridans</i> 37.                        |
| <i>Haplodothis</i> 24.                    | Hypocreopsis 37.                             |
| — <i>chaenostoma</i> 179.                 | <i>Hypodermpsis Sequojae</i> 153.            |
| <i>Haplotheciella</i> 25.                 | <i>Hypomyces</i> 37,                         |
| <i>Haplothecium</i> 24.                   | <i>Hyponectria biparasitica</i> v. Höhn. 36. |
| <i>Harlotia</i> 151, 165, 166, 167.       | — <i>Buxi</i> 52.                            |
| — <i>strobiligena</i> 167.                | <i>Hypoplegma</i> 4, 11.                     |
| <i>Harpographium</i> 132, 133.            | — <i>olivaceum</i> 12.                       |
| — <i>fasciculatum</i> 132.                | — <i>viridescens</i> 11.                     |
| <i>Helotium fructigenum</i> 220.          | <i>Hypospila</i> 67, 98, 102, 103.           |
| <i>Helvella lacunosa</i> 219.             | — <i>bifrons</i> 102, 103.                   |
| <i>Hendersonia</i> 92, 93.                | — <i>pustula</i> 97.                         |
| — <i>acinosa</i> 92.                      | — <i>Rehmii</i> 52.                          |
| — <i>Berkeleyi</i> 124.                   | <i>Hypospilina</i> 67.                       |
| — <i>coronaria</i> 72.                    | — <i>bifrons</i> 67.                         |
| — <i>dolosa</i> 92.                       | — <i>immunda</i> 67.                         |
| — <i>elegans</i> 92.                      | <i>Hypoxyton fuscum</i> 127.                 |
| — <i>innumerosa</i> 159, 160.             | <i>Hysteriopsis brasiliensis</i> 153.        |
| — <i>pauperior</i> 92.                    | <i>Hysterium</i> 145, 147, 149.              |
| <i>Hendersoniopsis</i> v. Höhn. 124.      | — <i>alneum</i> 150.                         |
| — <i>thelebola</i> (Sacc.) v. Höhn. 124.  | — <i>bilabiatum</i> 147.                     |
| <i>Henningomyces tarapotensis</i> 246.    | — <i>Fraxini</i> 147.                        |
| <i>Henriquesia lusitanica</i> 152.        | — <i>globosum</i> 145, 150.                  |
| — <i>italica</i> 152.                     | — <i>lapponicum</i> 144, 146.                |
| <i>Hercospora</i> 123.                    | — <i>pulicare</i> 145, 147, 148, 150.        |
| — <i>Kornbuberii</i> 125.                 | — <i>quadrilabiatum</i> 147.                 |

- Hysterium quercinum* 148.  
 — *repandum* 146.  
 — *valvatum* 148.  
 — *varium* 148.  
*Hysterochonium* 145, 146.  
*Hysterochoniphium* 147.  
*Hysterochonella Prostii* 153.  
*Hysterochonellula valvata* 97.  
*Hysterochonella geraensis* 183.  
  
*Irene calostroma* 213.  
*Ischnostroma* 169.  
*Isothea* 63.  
 — *pustula* 97.  
  
*Jattaea* 129.  
  
*Karstenula* 90.  
 — *Philadelphi* 71.  
*Keissleria v. Höhn.* 93.  
 — *montaniensis* (Ell. et Ev.) v. Höhn.  
 94.  
 — *xantha* (Sacc.) v. Höhn. 93.  
*Kriegeriella v. Höhn.* 39.  
 — *mirabilis* v. Höhn. 39.  
 — *transiens* v. Höhn. 40.  
  
*Lachnum Rehmii* 220.  
*Laestadia* 23, 24, 46.  
 — *alnea* 46.  
 — *angulata* 52.  
 — *Areola* 50.  
 — *Bidwellii* 54.  
 — *Buxi* 52.  
 — *canificans* 53.  
 — *caricicola* 53.  
 — *carpinea* 50, 51.  
 — *Cerris* 50.  
 — *Cicutae* 53.  
 — *contecta* 53.  
 — *Cookeana* 48.  
 — *echinophila* 58.  
 — *Eucalypti* 56.  
 — *Fraxini* 53.

- Laestadia juniperina* 174.  
 — *Leucothoes* 56.  
 — *Magnoliae* 53.  
 — *Mali* 53.  
 — *millepunctata* 54.  
 — *Niesslii* 50.  
 — *oenanthicola* 53.  
 — *perpusilla* 55.  
 — *Polypodii* 55, 61.  
 — *polystigma* 49.  
 — *punctoidea* 47.  
 — *Rollandi* 56.  
 — *Salicis* 58.  
*Laestadiella v. Höhn.* 50.  
 — *Niesslii* (Kze.) v. Höhn. 50.  
*Lamyella* 29.  
*Lasiella ovina* 74.  
*Lasiobotrys* 175.  
 — *affinis* 176.  
 — *Butleri* Th. et Syd. 177.  
 — *hispanica* Th. et Syd. 177.  
 — *Lonicerae* 175, 176.  
 — *Symporicarpi* Syd. 244.  
*Lasiosphaeria* 73, 74, 75.  
 — *arachnoidea* 73.  
 — *canescens* 73.  
 — *chaetomoides* 73.  
 — *hirsuta* 73.  
 — *Libertiana* 75.  
 — *Montagnei* 73.  
 — *ovina* 73, 74, 75.  
 — *radiata* 76.  
 — *Rhacodium* 73.  
 — *sorbina* 75, 76, 109.  
 — *spermooides* 73, 75.  
 — *stannea* 75.  
 — *sulphurella* 75.  
*Lasiostemma* 4, 8.  
 — *Cyathearum* 8.  
 — *melioloides* 8.  
 — *Merrillii* 8.  
*Lasiothyrium cycloschizone* 43.  
*Lembosia crustacea* 245.  
*Lembosiopsis* 151.

- Leptopeltella perexigua* 145.  
*Leptopeltis filicina* 145.  
*Leptosphaeria caespitosa* 69.  
 — *corticola* 88.  
 — *doliolum* 20.  
 — *elaeospora* 55.  
 — *eustoma* 55.  
 — *lichenicola* 30.  
 — *lejostega* 88.  
 — *mirabilis* 2.  
 — *obesula* 157.  
 — *Onagrae* 20.  
 — *pachyasca* 2.  
 — *perpusilla* 55.  
 — *personata* 20, 157, 158.  
 — *Plemeliana* 158.  
 — *primulaecola* 158.  
 — *Priuscheggiana* Petr. 225.  
 — *saxonica* v. Höhn. 84.  
 — *Silenes acaulis* 158.  
 — *Trochus* 96.  
*Leptosphaeriopsis* 85.  
*Leptosphaerulina heterophracta* 29.  
*Leptospora* 73, 85.  
 — *porphyrogena* 86.  
 — *radiata* 76.  
 — *spermooides* 74.  
*Leptosporella* 74.  
 — *fusariospora* 105.  
 — *leptosporioides* 105.  
*Leptostroma litigiosum* 170, 171.  
*Limacinia* 42.  
 — *spinigera* 42.  
*Linobolus Ramosii* 77.  
*Linospora* 25.  
 — *Brunellae* 25.  
 — *candida* 98.  
 — *conficta* 26.  
 — *procumbens* 98.  
*Linostoma* v. Höhn. 91.  
 — *piliferum* (Fr.) v. Höhn. 91.  
*Lophiosphaera* 144.  
*Lophiotrema praemorsum* 96.  
 — *Rickii* Theiß. 186.  
 — *Lophium mytilinum* 148.  
*Loranthomyces medius* 105.  
  
*Mamiania* 101.  
 — *Coryli* 102.  
 — *fimbriata* 101, 102, 103.  
 — *spiculosa* 102.  
*Marsonia fructigena* 248.  
*Massalongiella* 128, 131.  
*Massarina gigantospora* 2.  
*Mazzantia* 109.  
 — *Galii* 110, 111.  
 — *Gougetiana* 111.  
 — *Napelli* 110.  
 — *sepium* 110, 111.  
*Mazzantiella Galii* 111.  
 — *sepium* 111.  
*Melachroia* 154.  
*Melanconiella* 125.  
*Melanconis* 123, 125.  
 — *modonia* 125.  
 — *ribincola* 94.  
 — *Ribis* 94.  
*Melanomma pulvis pyrius* 215.  
*Melanomyces quercinus* 15.  
*Melanospora marchica* 213.  
*Meliola manca* 213.  
 — *Puiggarii* 213.  
 — *rubicola* 213.  
 — *sanguinea* 213.  
*Melittosporiella* v. Höhn. 211.  
 — *pulchella* v. Höhn. 211.  
*Mendogia* 153.  
 — *bambusina* 153.  
 — *manaosensis* 153.  
*Merismatium Lopadii* 29.  
*Merrilliopeletis* 68.  
 — *Calami* 68, 97, 153.  
 — *Höhnelii* 68.  
*Metasphaeria* 21.  
 — *ambrosiaecola* 216.  
 — *biseptata* 163.  
 — *cinerea* 88.  
 — *corticola* 88.

- Metasphaeria Croceae* 30.  
 — *Iridis* 66.  
 — *lejostega* 88.  
 — *sepincola* 215, 216.  
*Microdothella culmicola* 169.  
*Micronectria Pterocarpi* 59.  
 — *unicaudata* 60.  
*Micronectriella Pterocarpi* 60.  
*Micronectriopsis* v. Höhn. 59.  
 — *Freycinetiae* (Rehm) v. Höhn. 59.  
*Micropeltis Rolliniae* 248.  
 — *Schmidtiana* 218.  
*Microstelium hyalinum* 153.  
*Microthyrium Laurentianum* 186.  
 — *litigiosum* 170, 171.  
*Moelleriella* 39.  
*Monascostroma* v. Höhn. 159.  
 — *innumerosa* (Desm.) v. Höhn. 159.  
     160.\*  
*Monographus* 165.  
*Montagnella* 3.  
*Montagnellina* 3, 24.  
*Montagnina* 26.  
*Müllerella polyspora* 27.  
 — *thallophila* 31.  
*Munkiella pulchella* 181.  
 — *Robertiana* 172.  
*Mycosphaerella* 23, 46, 65.  
 — *aquilina* 62.  
 — *Asplenii* 62.  
 — *Berberidis* 52.  
 — *Cookei* 28.  
 — *depazeaeformis* 47.  
 — *Euryae Theiß.* 187.  
 — *Iridis* 66.  
 — *lethalis* 67.  
 — *pinodes* 67.  
*Mycosphaerellopsis* v. Höhn. 157.  
 — *Myricariae* (Fuck.) v. Höhn. 157.  
*Mycosticta* v. Höhn. 36.  
 — *ovalis* (Pass.) v. Höhn. 36.  
*Myiocopron Lycopodii* 187.  
*Myrmaecium Milletiae* 183.  
*Mytilidion* 148, 149.

- Mytilidion aggregatum* 148.  
 — *lineare* 146.  
  
*Naemosphaera* 123.  
*Naemaspora Alni* 124.  
 — *ampelicida* 47, 48.  
 — *sclerotiooides* 127.  
*Naevia aeruginosa* 210.  
*Nectaromyces* Syd. 244.  
 — *Renkauffii* (Grüss) Syd. 244.  
*Nectria cinnabarinia* 213.  
 — *cyanostoma* 222.  
 — *Gibbera* 222.  
 — *kermesina* 213.  
 — *Stilbosporae* 104.  
*Nectriella biparasitica* 36.  
*Neoarcangelia* 129, 131.  
*Neobertia* 31.  
*Neolamya* Th. et Syd. 29.  
 — *Peltigerae* (Mont.) Th. et Syd. 29.  
*Nitschkia* 103, 129.  
 — *anceps* 105.  
 — *Calyculus* 127.  
 — *corticata* 105.  
 — *cupularis* 103, 104.  
 — *Fuckelii* 103.  
 — *Granati* 105.  
 — *javanica* 75.  
 — *Suberis* 105.  
 — *tristis* 103, 104, 127.  
*Norrlinia* Th. et Syd. 29.  
 — *peltigericola* (Nyl.) Th. et Syd. 29.  
*Nummularia atropuncta* 219.  
 — *cinerea* 219.  
*Nymanomyces Aceris laurini* 154.  
  
*Obryzum corniculatum* 29.  
*Oligostroma Proteae* 58.  
*Ophiobolus* 25, 26, 85, 86.  
 — *acuminatus* 86.  
 — *claviger* 26.  
 — *disseminans* 26. 85.  
*Ophiognomonia* 98.  
 — *melanostyla* 98.

- Ophiognomonia procumbens* 98.  
*Ophiomeliola Lindmani* 8.  
*Ophiotexis perpusilla* 248.  
*Ostreichnion europaeum* 148.  
*Ostreion americanum* 148.  
*Ostropa* 154.  
 — *albocincta* 143, 144.  
*Ostropella* 144.  
 — *albocincta* 144.  
*Otthia* 18, 81, 82, 83.  
 — *Clematidis* 18.  
 — *fruticicola* 18.  
*Otthiella* 19.  
*Oxydothis* 68.  
 — *Höhnelli* 68.
- Paralaestadia* 27.  
*Parmularia* 154.  
*Parmulariella* 154.  
*Parodiella* 4, 10, 81, 82, 83, 84, 166.  
 — *caespitosa* 83.  
 — *nigrescens* 246.  
 — *perisporioides* 81, 84.  
 — *tarapotensis* 246.  
*Parodiella viridescens* 11.  
*Parodiopsis* 40, 43.  
 — *melioloides* 40, 246.  
 — *Struthanthi* 14.  
 — *viridescens* 11.  
*Passerinula candida* 36.  
*Patellaria proxima* 211.  
*Patinella italicica* 152.  
*Pemphidium nitidum* 97.  
*Penicillium brevicaule* 233.  
 — *crustaceum* 315.  
*Perisporina* 42, 43.  
*Perisporiopsis* 42, 43.  
 — *Struthanthi* 14.  
*Peroneutypa* 130, 132, 133.  
 — *bellula* 133, 134.  
 — *heteracantha* 129.  
*Peroneutypella* 130, 132, 133.  
 — *Leopoldina* 133.  
 — *scoparia* 133.
- Peronospora affinis* 288.  
 — *agrestis* Gaeum. 198.  
 — *aquatica* Gaeum. 199.  
 — *arborescens* 288.  
 — *Arenariae* 288.  
 — *arvensis* Gaeum. 198.  
 — *calotheca* 189.  
 — *Corollae* 197.  
 — *Euphorbiae* 288.  
 — *grisea* 191.  
 — *Hepaticae* 263.  
 — *Holostei* 288.  
 — *lapponica* 265.  
 — *Linariae* 196, 288.  
 — *palustris* Gaeum. 198.  
 — *parasitica* 189.  
 — *Radii* 190, 288.  
 — *silvestris* Gaeum. 199.  
 — *saxatilis* Gaeum. 198.  
 — *Trifoliorum* 189.  
 — *verna* Gaeum. 198.  
 — *Viciae* 189.  
 — *violacea* 288.  
*Peziza Sejournei* 219.  
*Phacidina gracilis* 187.  
*Phacidium gracile* 187.  
*Phaeobotryon Cercidis* 16.  
*Phaeociboria v. Höhn.* 220.  
 — *Sejournei* (Boud.) v. Höhn. 220.  
 — *tetrica* (Quel.) v. Höhn. 220.  
*Phaeodothis cladonema* 30.  
*Phaeohendersonia v. Höhn.* 93.  
*Phaeosphaerella* 21, 155.  
 — *Aceris* 155.  
 — *Juncaginearum* 155, 156.  
 — *macularis* 21, 155.  
 — *maculosa* 155.  
 — *pheidasca* 155.  
*Phaeospora Catolechiae* 29.  
*Phaneroccoccus Th. et Syd.* 9.  
 — *Feijoae* (Rehm) Th. et Syd. 9.  
*Pharcidia* 27, 30.  
 — *Arthoniae* 29.  
 — *congesta* 27.

- Pharcidia parvipuncta* 29.  
 — *Schaereri* 29.  
 — *tabacina* 29.  
*Pharcidiella* 29.  
*Pharcidiopsis* 28, 29.  
*Phellostroma hypoxyloides* 38.  
*Phoma* 98, 99, 100.  
 — *Cäpreae* 103.  
 — *errabunda* 99.  
 — *exigua* 99.  
 — *Juniperi* 174.  
 — *Lingam* 99.  
 — *occulta* 99.  
 — *platanoides* 115.  
 — *punctiformis* 99.  
 — *saligna* 98; 100.  
 — *siliquastrum* 99.  
 — *strobiligena* 99.  
 — *Typhae* 89.  
 — *uvicola* 47, 48.  
*Phomatospora* 90, 91.  
 — *Berkeleyi* 91.  
 — *Fragariae* 60, 91.  
 — *hydropila* 91.  
 — *Kriegeriana* 91, 112.  
 — *migrans* 216.  
 — *ovalis* 35.  
 — *therophila* 91, 113.  
*Phomopsis* 99.  
 — *Chamaeropsis* 96.  
 — *platanoides* 115.  
*Phragmographum* 154.  
*Phragmosperma* 24.  
 — *Marattiae* 25.  
 — *Rickianum* 24.  
*Phyllachora Canarii* 214.  
 — *coccodes* 181.  
 — *orbicula* 223.  
 — *punctoidea* 47.  
 — *Rickiana Theiß.* 185.  
 — *Sorghi* 214.  
*Phyllachorella* 48, 54.  
 — *Magnoliae* 54.  
*Phyllocrea v. Höhn.* 38.
- Phyllocrea Paulliniae* (Rehm) v. Höhn. 38.  
 — *quitensis* (Pat.) v. Höhn. 38.  
*Phyllostictina* 48.  
 — *uvicola* 48.  
*Physalospora* 160.  
 — *alpestris* 160, 161.  
 — *alpina* 162.  
 — *chaenostoma* 179.  
 — *Clarae-bonae* 60.  
 — *Clerodendri* 179.  
 — *coccodes* 181.  
 — *Festucae* 161.  
 — *hyperborea* 162.  
 — *Lagunculariae* 162.  
 — *neglecta* 162.  
 — *Rhododendri* 162.  
 — *Salicis* 58.  
*Physospora* 60, 91, 162.  
 — *Eucalypti* 56.  
 — *Fragariae* 61.  
 — *Polypodii* 55, 61.  
 — *Salicis* 58.  
*Pilgeriella* 4, 9, 42, 43.  
 — *perisporioides* 9.  
*Placosphaeria Napelli* 111.  
*Plagiostoma* 51.  
 — *devexa* 52.  
 — *Euphorbiae* 52.  
 — *petiolicola* 52.  
 — *suspecta* 52.  
*Plagiostomella v. Höhn.* 52.  
 — *carpinicola* v. Höhn. 52.  
 — *petiolicola* (Fuck.) v. Höhn. 52.  
*Plasmopara* 249.  
 — *densa* 259, 294.  
 — *Geranii* 265.  
 — *nivea* 258, 289.  
 — *pusilla* 265.  
 — *pygmaea* 259, 292.  
 — *Umbelliferarum* 252.  
 — *viticola* 288.  
*Plectosphaera* 60.  
*Pleothysis* 151, 154, 168.

- Pleosphaerulina 24.
- argentinensis 163.
- Briosiana 162, 163.
- californica 163.
- corticola 88.
- Oryzae 163.
- peltigericola 29.
- Phaseoli 163.
- Phragmitis 163.
- sepincola 215, 216.
- smilacicola 163.
- Pleospora americana 163.
- guaranitica 163.
- herbarum 19.
- hyalospora 163.
- pallida 163.
- Peltigerae 29.
- peltigericola 29.
- Triglochinis 156.
- typhicola 88.
- Pleuroceras 101.
- ciliatum 101.
- Pleurostoma 129, 131.
- Plowrightiella 151, 168.
- Podophacidium terrestre 220.
- xanthomelan 220.
- Polyblastia peltigericola 29.
- Polycarpella Th. et Syd. 28.
- Cookei (Linds.) Th. et Syd. 28.
- Polycoccum Sauteri 28.
- Polystigma Canarii 215.
- Polystomella granulosa 248.
- Pringsheimia 57.
- intermixta 57.
- Propolidium 210.
- Protomyces macrosporus 283.
- Kemneri 244.
- Psecadia umbrina 124.
- Pseudothis 179, 180.
- Bauhiniae Theiß. 183.
- Caseariae Theiß. 182.
- Centrolobii 182.
- cingulata 183.
- coccodes 181.

- Pseudothis congensis Theiß. 184.
- geralensis 183.
- Machaerii 181.
- machaeriophila 181.
- mauaensis 182.
- Milletiae 183.
- Munkii 181.
- Pterocarpi 183.
- pulchella 181.
- subcoccodes 182.
- Pseudographis 154.
- Pseudomassaria chondospora 108.
- Pseudoperonospora cubensis 279.
- Pseudophysalospora v. Höhn. 57.
- Adeana (Rehm) v. Höhn. 57.
- Pseudoplea v. Höhn. 162.
- Briosiana (Poll.) v. Höhn. 163.
- Pseudorhytisma Bistortae 212.
- Myrtacearum 184.
- Pseudosphaerella 3, 24.
- Pseudosphaeria 1.
- biseptata 164.
- myrtillina 163.
- Pseudovalsa 125.
- Berkeleyi 124.
- hapalocystis 125.
- modonia 125.
- platanoidis 114.
- Pseudovalsella v. Höhn. 123, 124.
- thelebola (Fr.) v. Höhn. 123.
- Pteridiospora javanica 96, 245.
- Puccinia aculeatispora 240.
- capensis Syd. 240.
- phaeosticta 241.
- Pycnoderma bambusinum 168.
- Pycnothyrium 171.
- Pyreniella 4, 24, 161.
- Pyrenobotrys 24.
- Pyrenopeziza compressula 210.
- Gentianae 209.
- Pyrenophora 2.
- Quaternaria 128.

- Rabenborstia 123.  
 — ribesia 95.  
 Rebentischia unicaudata 60.  
 Reyesiella anthomycooides 243.  
 Rhabdospora acanthophila 59.  
 Rhagadostoma corrugatum 27.  
 Rhaphidophora 85.  
 Rhaphidospora 85.  
 Rhizopus nigricans 233.  
 Rhysotheca 264.  
 Rhytidhysterium 154.  
 Rhytisma acerinum 220.  
 — Andromedae 220.  
 Rizalia fasciculata 41.  
 Robergea 154.  
 Romellia 129.  
 Rosellinia alpestris 30.  
 Rosenscheldia paraguaya 69.  
 Roussoella Munkii 181.  
 — subcoccodes 182.  
 Rutstroemia echinophila 220.
- Sacidium Desmazierii 66.  
 Sagediopsis 28.  
 Schizacrospermum filiforme 154.  
 Schizostoma 143, 144.  
 — Montagnei 143.  
 — ovinum 143.  
 Schizothyrium 154.  
 — acerinum 154.  
 Schizoxylon Berkeleyanum 86.  
 Schneepia 154.  
 — Arechavaletae 169.  
 — guaranitica 169.  
 — Haenkei 169.  
 Scirrhia 165.  
 — rimosa 165.  
 Scleroderris aggregata 69, 70.  
 Sclerodothis v. Höhn. 69.  
 — aggregata (Lasch) v. Höhn. 69, 70.  
 Sclerophoma 99.  
 Sclerophomella 99.  
 Scleroplea 2.  
 — Juncaginearum 156.
- Scleropleella v. Höhn. 5, 20, 157,  
 158.  
 — personata (Niessl) v. Höhn. 157, 158.  
 Sclerospora macrospora 288.  
 Sclerotinia nervisequia 220.  
 Scoptria 130, 131, 132.  
 — heteracantha 133.  
 — isariphora 132.  
 Septomazzantia 112.  
 Setella disseminata 44.  
 Seynesia Alstoniae 221.  
 Sillia cinctula 109.  
 — albofusca 109.  
 Solenarium byssoideum 147.  
 — Mühlenbergii 147.  
 Sordaria vesticola 45.  
 Sorothelia confluens 28.  
 Sphaerella 65.  
 — aquilina 62.  
 — Asplenii 61, 62.  
 — bicalcarata 96.  
 — Bidwellii 47.  
 — Boehmeriae 69.  
 — caricicola 53.  
 — Desmazierii 66.  
 — Filicum 61, 62.  
 — Fraxini 53.  
 — Iridis 66.  
 — Juniperi 173, 174.  
 — juniperina 174.  
 — Polypodii 61, 62.  
 — Rhododendri 162.  
 — tirolensis var. allosoricola 62.  
 — tremulicola 22.  
 Sphaerellothecium araneosum 28.  
 Sphaeria aggregata 69.  
 — ampullasca 107.  
 — Buxi 52.  
 — callista 73.  
 — calostoma 73, 213.  
 — carpinea 50.  
 — ceriospora 92.  
 — cinerea 86, 87.  
 — coccodes 181.

- Sphaeria corticola 86, 87, 215.  
 — Coryli 102.  
 — cryptoderis 101.  
 — Desmazieri 127.  
 — fimbriata 101.  
 — Heliopsidis 69.  
 — Hellebori 25.  
 — hypoxantha 218.  
 — immunda 67.  
 — inusta 103.  
 — lamprotheca 101.  
 — Lebiseyi 218.  
 — lejostega 86, 87.  
 — macularis 155.  
 — microspila 80.  
 — mutabilis 73.  
 — Myricariae 156.  
 — ovalis 35.  
 — phaseolicola 66.  
 — phomatospora 90.  
 — platanoides 114.  
 — Polypodii 56, 61.  
 — pustula 97, 98.  
 — rhytismoides 63.  
 — Robertiani 172.  
 — schizostoma 144.  
 — sepincola 215.  
 — sorbina 76.  
 — strobiligena 166.  
 — stylophora 107.  
 — therophila 113.  
 — tumefaciens 69.  
 — typhicola 88.  
 — vesticola 45.  
 — xantholeuca 86.
- Sphaerognomonia 51.  
 — carpinea 51.
- Sphaerolina xantholeuca 86.
- Sphaeropsis 27.  
 — Juniperi 173, 174.
- Sphaerulina 24.  
 — callista 2.  
 — Dryadis 163.  
 — Iridis 66.
- Sphaerulina myrtillina 163.  
 — salicina 88, 215.
- Spolverinia punctum 27.
- Sporocadus 93.
- Sporomega degenerans 154.
- Sporophysa 27.
- Stagonospora 92.  
 — Castaneae 59.  
 — innumerosa 160.
- Steganopycnis Oncospermatis 245.
- Steganosporium pyriforme 104.
- Stictis atrocyanea 210, 211.  
 — atrovirens 210.  
 — stictica 211.
- Stigmatea Robertiani 172.
- Stigmochora Leucothoe 57.
- Stilbospora angustata 104.  
 — thelebola 124.
- Strickeria 90.  
 — pruniformis 90.
- Sydownia 165, 166.
- Syngonium 154.
- Tapesia Rosae 220.
- Teichospora ignavis 90.  
 — kansensis 90.  
 — Morthieri 90.  
 — oblongispora 90.  
 — pomiformis 90.  
 — pruniformis 89.  
 — vinosa 90.
- Teratosphaeria 24.
- Thaxteria 74, 75, 76.  
 — didyma 74, 75.  
 — pseudobombarda 75.  
 — solaris 75.  
 — spermoides 75.  
 — sublanosa 75.
- Thelocarpon Ahlesii 27.
- Thelomphale Laureri 27.
- Therrya 148, 151.
- Thyridium Philadelphi 72.
- Tichotheicum 28, 32.  
 — microcarpon 31.

*Tichothecium pygmaeum* 31.

*Togninia* 129.

*Trematosphaeriopsis parmeliana* 29.

*Trichopeltulum pulchellum* 169.

*Tryblidiella* 154.

*Tryblidiopsis* 154.

*Tryblidium calyciforme* 154.

*Tympanopsis* 105.

— *euomphala* 105.

*Uleopeltis bambusina* 153.

*Uredo Aneimiae* 241.

— *blechnicola* 242.

— *Gymnogrammes* 242.

— *Lindsaeae* 243.

— *Nephrolepidis* 242.

— *superficialis* 242.

*Urnula xanthomelan* 220.

*Urophlyctus Lathyri* 244.

*Valsa* 130, 134.

— *Acharii* 217.

— *albovelata* 108.

— *ambiens* 217.

— *atomaespora* 133.

— *Auerswaldii* 224.

— *Ceuthosporae* 142.

— *cincta* 107, 141, 142.

— *cinctula* 108.

— *heteracantha* 132.

— *hyloides* 133.

— *Kusanoi* 217, 218.

— *Lauro-Cerasi* 142.

— *leptasca* 125.

— *macrostoma* 141, 142.

— *microstoma* 142.

— *Rhois* 108.

— *sphaerostoma* 141, 142.

— *stilbostoma* 108.

*Valsaria actidia* 127.

*Valsaria insitiva* 127.

— *megalospora* 127.

— *rubicosa* 127.

— *thelebola* 123.

*Valsella* 130, 134.

— *Crataegi* 136.

*Valseutypella* v. Höhn. 130, 132,

224.

— *tristicha* (De Not.) v. Höhn. 132,  
224.

*Venturia Cerasi* 81.

— *echinata* 15.

— *Epilobii* 80.

— *inaequalis* 53.

— *Johnstonii* 80.

— *maculaeformis* 80.

*Vestergrenia* 177.

— *chaenostoma* 178, 179.

— *Clerodendri* 178.

— *nervisequia* 177.

*Vibrissea truncorum* 209.

*Wegelina* 129.

*Wettsteinina* 1, 6.

— *gigaspora* 1.

*Winterella* 108.

*Winterina* 103, 104.

— *Calyculus* 105, 127.

— *pezizoidea* 105.

— *tristics* 105, 127.

— *tuberculifera* 104.

*Winteromyces caespitosus* 188.

*Xenosphaeria* 29, 30.

*Xylogramma* 211.

— *sticticum* 211.

*Xylographa caulincola* 211, 212.

*Xylographum* 150.

*Xyloma Carpinii* 50.

— *populinum* 103.

Es erschienen:

No. 1—2 (pag. 1—208) am 31. Juli 1918.

No. 3—6 (pag. 209—330) am 20. Februar 1919.

---

# Annales Mycologici

Editi in notitiam Scientiae Mycologicae Universalis

---

Vol. XVI. 1918. No. 1/2.

---

## Vorentwürfe zu den Pseudosphaeriales.

Von F. Theißén und H. Sydow.

(Mit 5 Textfiguren.)

Die nachstehenden Ausführungen wollen nicht als abschließender Entwurf der *Pseudosphaeriales* verstanden werden — ein solcher wird erst nach mehreren Jahren möglich sein — sondern lediglich als vorläufige Orientierung über eine schwierige, derzeit noch im Werden begriffene Pilzgruppe. Sie bieten daher auch mehr Probleme und Anregungen denn feste Lösungen, aber Probleme, welche die künftige Gestaltung des Pilzsystems in weitem Umfange beherrschen. Es braucht deshalb wohl auch kaum betont zu werden, daß unsere hier niedergelegten persönlichen Anschauungen mehr als andere der Diskussion unterliegen und eher als Fragestellungen denn als doktrinäre Behauptungen aufzufassen sind.

Die *Pseudosphaeriazeen* als Familie wurden durch von Höhnel mit den Gattungen *Wettsteinina* und *Pseudosphaeria* begründet<sup>1)</sup> und wie folgt gekennzeichnet: „Stromata klein, eingewachsen, perithezium-ähnlich, mit mehreren nebeneinander stehenden Lokuli, die je einen Åskus enthalten.“ Wie Name und Diagnose schon ausdrückt, handelt es sich um Sphaeriazeen-artige Pilze, deren Schläuche jedoch einzeln durch farblose zellige Scheidewände getrennt sind; jeder Schlauchraum ist demnach als „monasker Lokulus“ aufzufassen, das ganze scheinbare Perithezium als „Stroma mit mehreren Lokuli“. Die täuschende Ähnlichkeit mit Sphaeriazeen wird noch dadurch erhöht, daß die Lokuli „nur klein sind, meist dicht stehen und nur durch eine bis wenige Zellschichten voneinander getrennt sind, weshalb sie beim Ausreifen der Schläuche durch Resorption der Trennungsschichten auch teilweise verschmelzen können<sup>2)</sup>“.

Der Typ der ersten Gattung *Wettsteinina* ist *W. gigaspora* v. H., deren Beschreibung wichtig genug ist, um an dieser Stelle ausführlich wiederholt zu werden. „Stromata zerstreut, unter der Epidermis eingewachsen, nach Abwurf derselben frei, rundlich scheibenförmig, oben meist etwas einge-

<sup>1)</sup> Fragm. zur Myk. III (1907) no. 128.

<sup>2)</sup> Fragm. zur Myk. IV (1907) no. 163.

drückt, in der Mitte mit kleiner abfallender Papille, kohlig, glänzend schwarz, 500—700  $\mu$  breit, 260  $\mu$  dick, mit einer 10—12  $\mu$  dicken, aus 2—3 Zell-Lagen bestehenden schwarzen Rindenischichte. Gewebe aus gegen die Oberfläche zu kleineren, dünnwandigen, polyedrischen, isodiametrischen, bis 30  $\mu$  breiten dunkelwandigen Zellen bestehend. Hypothecium 60—70  $\mu$  dick, steriles Gewebe des Umfanges 150—200  $\mu$  dick. Lokuli zu etwa 5—6 in der Mitte in einer Lage angeordnet, unregelmäßig eiförmig, durch dünnere oder dickere, aus hyalinen, oft etwas gestreckten Zellen bestehende Scheidewände voneinander getrennt, je einen bis 15  $\mu$  dickwandigen, unregelmäßig eiförmigen, meist achtsporigen, 180—240  $\approx$  120—140  $\mu$  großen Askus enthaltend. Sporen konglobiert, hyalin, beidendig abgerundet, bis 120  $\approx$  44  $\mu$  groß, zweizellig. Obere Zelle kürzer und etwas breiter. Sporenmembran zweischichtig, innere Schichte dünn, in jeder Zelle mit zwei nach innen wenig vorspringenden Ringleisten, die Querwände vortäuschen, versehen; äußere Schichte etwas verquellend, etwa 8  $\mu$  dick. Sporenhalt reichlich, feinkörnig. — An dürren, hohlen, monocotylen Stengeln bei Gurschewy und Cej in Rumänien.“ Als weitere Arten wurden von v. Höhnel zu *Wettsteinina* gestellt *Sphaerulina callista* var. *Vossi* Rehm, *Massarina gigantospora* Rehm und *Leptosphaeria mirabilis* Nießl (a. a. O. no. 128, 163).

Die zweite Gattung *Pseudosphaeria* v. H. unterscheidet sich nur durch mehrzellige Sporen; zu ihr gehört der Typ *Sphaerulina callista* Rehm, ferner *Leptosphaeria pachysca* Nießl (a. a. O. no. 163, wo auch *Sleroplea* und *Pyrenophora* als Pseudosphaerieen bezeichnet werden).

Über die systematische Stellung der Familie äußerte sich v. Höhnel gleich anfangs wie folgt: „Eine höchst bemerkenswerte Form, die am nächsten mit den Dothideazeen verwandt ist, sich jedoch von allen bekannten Gattungen dieser durch die nur je einen Askus enthaltenden Lokuli unterscheidet, wodurch sich dieselbe eigentlich als Phymatosphaeriazee (-Myriangiazee) erweist, mit welchen sie aber sonst keine nähere Verwandtschaft erkennen läßt. Es scheint eine Art Grundform zu sein, welche auch Beziehungen zu den Sphaeriazeeen und Diskomyzeten erkennen läßt.“ Die Familie „nimmt eine Mittelstellung zwischen den Sphaeriazeeen, Dothideazeen und Phymatosphaeriazeeen ein.“ 1909 faßte v. Höhnel seine Anschauungen in folgendem Schema zusammen: „Die echten Myriangiazeeen scheinen mir mit den Pseudosphaeriazeeen und Dothideazeen eine natürliche Gruppe zu bilden, die man als *Dothideales* im erweiterten Sinne bezeichnen könnte.“

*Dothideales* sensu ampl. — Stroma meist kohlig, mit ein- bis mehrschläuchigen Lokuli, ohne deutliche Perithezien.

1. *Pseudosphaeriazeeen* v. H. — Stroma klein, perithezienähnlich, eingewachsen oder hervorbrechend, außen kohlig, innen hellfarbig, mit wenigen Lokuli, die je einen Askus enthalten.
2. *Myriangiazeeen*. — Stroma oberflächlich oder hervorbrechend, kohlig oder lebhaft gefärbt, nicht peritheziumähnlich, außen und innen

von gleicher Beschaffenheit, mit zahlreichen einascigen Lokuli (hierher *Myriangium*, *Eurytheca*, *Kusanoa*, *Anhellia*, *Uleomyces*).

3. *Dothideazeen*. — Stromata stets kohlig. Lokuli mehrascig<sup>1)</sup>.

In dieser Fassung wird die anfangs abgewiesene Verwandtschaft der Pseudosphaerieen mit den Myriangizeen doch wieder näher gerückt; sie rückte so nahe, daß die begriffliche Unterscheidung beider ziemlich unklar blieb; während erstere „außen kohlig, innen hellfarbig“ sind, sollten letztere „außen kohlig oder lebhaft gefärbt, aber außen und innen von gleicher Beschaffenheit sein, was nicht zutrifft; als Hauptunterschied blieb demnach „peritheziumähnlich“ und „nicht peritheziumähnlich“, ein Punkt, der uns weiter unten noch beschäftigen wird.

Die 1911 aufgestellte Gattung *Pseudosphaerella* v. H.<sup>2)</sup> sollte trotz ihres Namens keine Pseudosphaeriee, sondern mit *Montagnella* verwandt sein, im Querschnitt dieser überraschend ähnlich, aber durch fehlende Paraphysen abweichend, „eine entschiedene Übergangsform zwischen den Sphaeriazeeen und Dothideazeen, mit dem gleichen Bau wie *Montagnella*, deren Peritheziennuklei aber durch ihre zelligen Paraphysen an *Botryosphaeria* und die Pseudosphaeriazeeen erinnern.“ Ebenso wurde die 1912 gegründete Gattung *Montagnellina* v. H.<sup>3)</sup> der *Montagnella*-Gruppe angereiht; sie besitzt ein „Stroma aus senkrechten Reihen offener Parenchymzellen,“ welches „peritheziumähnliche Lokuli“ ohne typisches Ostium bildet; „die Paraphysen fehlen oder sind sehr spärlich und rasch verschleimend.“ „Die Montagnelleen sind durch das charakteristische Stroma und die peritheziumähnlichen, in einer Lage unter der Oberfläche des Stromas eingesenkten dichtstehenden Lokuli ausgezeichnet. Sie bilden einen Übergang von den Sphaeriazeeen zu den Dothideazeen.“

In der 1915 erschienenen Monographie der *Dothideales* von Theissen und Sydow<sup>4)</sup> wurde die stark vermehrte *Montagnella*-Gruppe als provisorische, noch weiteren Studiums bedürftige Familie *Montagnellaceae* zusammengefaßt. Zu den Formen mit deutlichem senkrechtreiwigem Stroma (wie *Montagnellina*) traten andere ohne solches, so daß dieses Merkmal als wesentliches wegfallen mußte; im Gegensatz zu den Dothideazeen sensu stricto mit polsterförmigem Stromakörper und mehreren diesem eingesenkten Kugelnuklei wurden die Montagnellen gekennzeichnet durch die Auflösung in einzelne perithezienartige Stromakugeln; die Bildung ihres Nukleus wurde als den Dothideen gleichwertig hingestellt, nach damaliger Auffassung also als parietale oder Büschelplazenta mit oder ohne Paraphysen.

<sup>1)</sup> Fragm. zur Myk. VI no. 244.

<sup>2)</sup> Fragm. zur Myk. XIII no. 692.

<sup>3)</sup> Fragm. zur Myk. XIV no. 769.

<sup>4)</sup> Ann. myc. XIII, Heft 3—6.

Dagegen wurde im Anhange eingehender auf die Pseudosphaerieen eingegangen. Das entscheidende Merkmal, einzeln durch farblose zellige Scheidewände getrennte Ascii, wurde für *Bagnisiella*, *Yoshinagaia*, *Dothiora*, *Pyrenophora*, *Botryosphaeria*, *Phaeobotryon* und *Dibotryon* festgestellt und daraufhin die Pseudosphaerieen in drei Gruppen zerlegt:

1. *Botryosphaeriae*: *Botryosphaeria*, *Phaeobotryon*, *Dibotryon*.
2. *Pyrenophoreae*: *Wettsteinina*, *Pseudosphaeria*, *Scleroplea*, *Pyrenophora*.
3. *Dothioreae*: *Bagnisiella*, *Yoshinagaia*, *Dothiora*.

Schon damals mußte hervorgehoben werden, daß der Ausdruck „perithezienähnlich“ in einer gewissen Weite zu nehmen sei und *Wettsteinina* und *Pyrenophora* mehr noch *Bagnisiella* und *Dothiora*, mehr polsterförmig seien, was in obiger Einteilung bereits zum Ausdruck kam.

1916 griff Theißen<sup>1)</sup> die Frage über das Verhältnis der Pseudosphaerieen zu den Myriangieen erneut auf. Seine Schlußfolgerung lautete: Die Myriangieen sind nur dadurch von den Pseudosphaerieen (einschließlich Pyrenophoreen und Dothioreen) praktisch zu unterscheiden, daß die interthezialen (zwischen den einzelnen Asken befindlichen) Gewebsplatten bleibend sind, während sie bei den Pseudosphaerieen bei der Reife auf paraphysenartige dünne Faserhyphen zusammengepreßt oder teilweise resorbiert sind; seine Übersicht der Ps. umfaßt die weiteren Gattungen *Parodiella* Speg., *Epiphyma* Theiß. und *Pyreniella* Th. Da sich mittlerweile herausgestellt hatte, wie schwierig die Unterscheidung echter Paraphysen von paraphysoiden Gewebsfasern ist, stellte Theißen als Kriterium auf: Echte Paraphysen haben freie Spitzen; die paraphysoiden Interthezialfasern entstehen aus senkrechten Zellreihen des ursprünglich sklerotialen Nuklealstromas, werden zwischen den heranwachsenden Asken fälig zusammengepreßt und gehen oberhalb der Asken wieder durch Verbreiterung und Zellkürzung in das parenchymatische Epithezium (Deckstroma) über, haben also keine freien Enden.

Die nächstfolgenden Revisionsarbeiten förderten nun unter bisher als Sphaeriazeen geltenden Gattungen immer zahlreichere Formen zutage, welche einen derartigen Pseudosphaerieen-Nukleus zeigten; v. Höhnels<sup>2)</sup> wies ihn 1910 bei *Pilgeriella* P. H. nach, Theißen<sup>3)</sup> 1916 bei *Parodiella* Speg. und mehreren *Physalospora*-Arten, Theißen und Sydow<sup>4)</sup> in den *Parodiella* verwandten Gattungen *Hypoplegma* und *Lasiostemma*<sup>5)</sup>, v. Höhnels<sup>6)</sup>

<sup>1)</sup> Verhandl. zool. bot. Gesellsch. Wien 1916 p. 296 ff.

<sup>2)</sup> Fragm. zur Myk. XII no. 622.

<sup>3)</sup> Verhandl. zool. bot. Gesellsch. Wien 1916 p. 371 ff.; Ann. myc. 1916 p. 403, 409 ff.

<sup>4)</sup> Ann. myc. 1917 p. 124 ff.

<sup>5)</sup> ib. 1917 p. 218.

<sup>6)</sup> Öster. Bot. Zeitschr. 1916 p. 54.

bei *Leptosphaeria personata* Nießl (*Scleroplella* n. gen.) und *Phaeosphaerella*; durch zahlreiche weitere, bisher unveröffentlichte Beobachtungen wurde die früher geäußerte Vermutung bestätigt, daß unter den Sphaeriales noch viele verkannte Pseudosphaerieen enthalten sein müßten.

Die Verschiedenheit der schon festgestellten Formen mußte nun den Gedanken auftauchen lassen, ob die Pseudosphaerieen überhaupt eine einzige einheitliche Familie seien oder nicht vielmehr in mehrere Familien aufgelöst werden müßten.

In den „Neuen Originaluntersuchungen über Ascomyceten“<sup>1)</sup> teilte letzthin Theiß mit, daß fast alle in den „Dothideales“<sup>2)</sup> dargestellten *Dothideaceae* sensu stricto ebenfalls Pseudosphaerieen-Nukleus besitzen, d. h. daß die im Stroma eingesenkten kugeligen „Lokuli“ wieder aus einschlängigen „Lokuli“ bestehen, deren Schläuche einzeln durch paraphysoider Faserbündel getrennt seien und echte Paraphysen nicht vorkommen. Damit wären die auffallenden Anklänge beider Gruppen im Stromabau und Nukleus-Anlage mit einem Schlag erklärt. Daß diese Beobachtung nicht schon früher ausgesprochen wurde, ist leicht erklärliech durch die damals noch ungewohnten und gewagten Anschaufungen über die Pseudosphaerieen, die erst durch weitgehende spätere Untersuchungen so weit geklärt wurden, daß die folgenschweren Ergebnisse sicher vertreten werden konnten.

Damit ist nun unmittelbar klar, daß die *Montagnellaceae* Theiß. et Syd., wenigstens die Eu-Montagnelleae, nichts anderes als Pseudosphaerieen sind, wenn auch eine besondere, durch ihre Wachstumsweise gekennzeichnete Abteilung derselben; die auf Anwesenheit oder Fehlen von Paraphysen begründeten Gattungsunterschiede sind damit hinfällig und beruhen lediglich auf schon vorgeschrittener bzw. noch nicht erfolgter Resorption der die Asken trennenden Faserschicht.

Gleichzeitig tritt damit das oben erwähnte v. Höhnel'sche Schema der *Dothideales* sensu ampl. in neuem Licht in den Vordergrund: Die drei Gruppen der Myriangineen, Dothideen und Pseudosphaerieen erscheinen damit tatsächlich als innerlichst verwandt, verbunden durch das gemeinsame grundlegende Merkmal der monasken Lokuli.

Aus den *Dothideales* im Sinne von Theiß-Sydow (1915) sind die *Polystomellaceae* als den Phacidieen verwandt bereits ausgeschieden<sup>3)</sup>, die *Phyllachoraceae* müssen anderswo angeschlossen werden (mit Ausnahme einiger Gattungen), so daß als echte *Dothideales* nur Formen mit monasken Lokuli verbleiben, und die *Dothideales* sensu v. H. 1909 (Fragm. VI) mit

<sup>1)</sup> Verhandl. zool. bot. Gesellsch. Wien 1918.

<sup>2)</sup> Ann. myc. 1915, Heft 3 - 6.

<sup>3)</sup> Theiß-Sydow, Synopt. Tafeln I. in Ann. myc. 1917 p. 389 ff.

etwas veränderter Charakteristik (Dothideaceae ebenfalls mit einschlängigen Lokuli) wieder herzustellen und in diesem Sinne weiter auszubauen sind.

Schon Theißen hat in den „Neuen Originaluntersuchungen“ 1918 eine Trennung der echten Pseudosphaeriales mit streng perithezienartigen Fruchtkörpern von den breiter polsterartigen Formen verlangt und letztere zu den gleichartig gestalteten Myriangieen gezogen. Solche Formen sind offenbar *Dothiora* (nach Rehm's Ascom. 962; Fuckel's Fg. rhen. 765 enthält in einigen Exemplaren einen anderen *Botryosphaeria*-artigen Pilz, der weiter unten noch zur Sprache kommt), ferner *Bagnisella* Speg. (vgl. Abbildung in Ann. myc. 1915, Taf. II, Fig. 10; die identische Gattung *Robertomyces* Starb.<sup>1)</sup> wurde als Pezizee beschrieben!) sowie die ausgesprochen discomyzetenartige *Yoshinagaea* P. Henn. Theißen hat diese Formen als *Dothioraceae* den *Myriangiaceae* sensu stricto (Lokuli mehrreihig) beigeordnet, als dritte Familie die *Saccardiazeae* v. H.<sup>2)</sup>; über die Grenzbestimmung zwischen Saccardiazeen und Dothiorazeen wird das letzte Wort noch nicht gesprochen sein. Diese *Dothioraceae* unterscheiden sich, wie gesagt, von den *Pseudosphaeriaceae* durch mehr polsterförmig-breitflache Gestaltung des Fruchtkörpers und demzufolge flacher ausgebretete, mehr diskusartige Fruchtschicht; zu ihnen zählt Theißen auch *Wettsteinina*, da sie nach ihm wie *Pyrenophora* nicht mehr streng perithezienartig ist, sondern sich schon *Dothiora* nähert, fast eine Mittelstellung zwischen beiden einnehmend; v. Höhnel selbst hat ja in der oben mitgeteilten Orginalbeschreibung die Fruchtkörper „rundlich scheibenförmig“ genannt. Die Einbeziehung von *Wettsteinina* in die *Dothioraceae* kann jedenfalls nicht die Folge haben, daß letztere nun *Pseudosphaeriaceae* genannt werden müßten, weil diese mit *Wettsteinina* zuerst eröffnet wurden; die Familie wurde ausdrücklich für perithezienartige Formen gegründet wie *Sphaerulina*, *Leptosphaeria* u. a. und auch *Wettsteinina* ist und galt auch damals als perithezienartig; wenn jetzt, nach Bekanntwerden weiterer Formen, eine strengere Scheidung notwendig wird, muß der Name *Pseudosphaeriaceae* auf jeden Fall für die streng perithezienartigen Formen gewahrt bleiben.

Wir werden also als Dothidiineae zu unterscheiden haben:

- I. *Myriangiales* (in dem in „Synopt. Tafeln“ I dargestellten Umfange).
- II. *Dothideales* (umfassend *Coccoideaceae*, *Leveilleaceae*, *Dothideaceae* Theiß. et Syd. als Familien).

### III. *Pseudosphaeriales* Theiß. et Syd.

Die beiden letzteren Ordnungen verhalten sich zu einander analog wie einfache (*simplices*) zu stromatischen (*compositae*) Sphaeriazseen; letztere haben einfach-perithezienartige Fruchtkörper und nur einen perithezienartigen Nukleus, erstere einen größeren polsterförmigen Stromakörper mit

<sup>1)</sup> Verhandl. zool. bot. Gesellsch. Wien 1918.

<sup>2)</sup> Fragm. zur Myk. VI (1909) no. 244.

vielen eingesenkten perithezienartigen Höhlungen; zu ihnen werden wohl auch noch einige Gattungen aus den Trabutieen und Scirrhieen zu ziehen sein wie *Euryachora* und *Scirrhia*. Da nach dieser neuen Auf-fassung der Dothideen echte Paraphysen nicht vorkommen, werden notwendig solche Gattungen zusammenfallen, die auf fehlende oder vorhandene Paraphysen unterschieden wurden; solche werden sein:

*Microcycles* Sacc. — Syn.: *Coccoidella* v. H., *Eumicrocyclus* Hara (1915).

*Coccodothis* Theiß. et Syd. — Syn.: *Coccodothella* Theiß. et Syd.

*Dothidella* Speg. — Syn.: *Uleodothis* Theiß. et Syd.

*Systremma* Theiß. et Syd. — Syn.: *Achorella* Theiß. et Syd.

*Auerswaldia* Sacc. — Syn.: *Dothidina* Theiß. et Syd.

*Scirrhia* Nke. — Syn.: *Scirrhodothis* Theiß. et Syd.

Daß die *Pseudosphaerales* als Ordnung zu fassen sind und wieder mehrere Familien unter sich begreifen, das hat sich bereits mit genügender Klarheit ergeben, wenn auch ein endgültiger Aushau derzeit noch nicht möglich ist. Im folgenden sollen nur die bisherigen Beobachtungen und ihre mögliche Tragweite zur Sprache kommen. Als vorläufig einziges gemeinsames Merkmal müssen wir die streng perithezienartigen Fruchtkörper mit monasken Lokuli (d. h. durch Gewebsfasern getrennten Asken) festhalten.

Solche Formen sind z. B. *Pilgeriella* P. H., *Scleroplectella* v. H. (*Leptosphaeria personata*), *Parodiella* Speg., *Botryosphaeria* Sacc., *Pyreniella* Theiß., *Phaeosphaerella* Karst. Damit ist schon eine bunte Mustersammlung gegeben: *Pilgeriella* epiphytisch, *Scleroplectella* mit Pleosporen-Typus, *Parodiella* oberflächlich aufgewachsen, *Pyreniella* im Mesophyll eingesenkt, *Phaeosphaerella* vom Sphaerelleen-Typus; jeder dieser Gattungen schließt sich eine Gruppe anderer, nur durch Sporen verschiedener Gattungen an; dazu tritt die charakteristische stromatische Botryosphaerieen-Gruppe. Versuchen wir, das vorliegende Material nach irgend einem vorläufigen Gesichtspunkt zu ordnen.

## A. Epiphytisch freie Formen.

*Epipolaceae* interim.

### 1. *Epipolaeum* Theiß. et Syd. n. gen.

Fruchtkörper perithezienartig, mit derber parenchymatischer Stroma-wand, flachbasig, einsinkend, in der unteren Hälfte mit langen Haarhyphen besetzt. Schlauchschicht bodenständig. Asken einzeln, durch farblose Faserbündel getrennt, dickwandig, ohne Porus, achtsporig. Sporen braun, zweizellig. — Habituell *Herpotrichia* Fuck. ähnlich, welche bezüglich ihres Nukleus genauer untersucht werden müßte.

*Epipolaeum irradians* (Pat.) Theiß. et Syd.

Syn.: *Asterina irradians* Pat. in Bull. Soc. Myc. 1891 p. 172.

*Antennularia irradians* (Pat.) Theiß. in „Die Gattung Asterina“ p. 28.

Auf Kompositenblättern, Ecuador.

Epiphytisch frei aufsitzend. Fruchtkörper niedergedrückt kugelig, trocken einsinkend, mattschwarz, 200  $\mu$  breit, 140—160 hoch, jung mit kleiner, später abfallender Scheitelpapille. Stromawand mehrschichtig parenchymatisch, dunkel, in der unteren Hälfte außen mit langen, unverzweigten, braunen, etwas steifen, 3—4  $\mu$  breiten Hyphen besetzt, welche allseitig myzelartig ausstrahlen und vielfach verschlungen sind. Asken einzeln, durch farblose, feine, dichte, oberhalb wieder in die Stromadecke einmündende Fasern getrennt, breit zylindrisch, oben gerundet, ohne Porus, unten kurz knotig gestielt, sehr dickwandig, aber fast durchsichtig, 16—18  $\mu$  breit, 50—60 lang, achtsporig. Sporen zweireihig, braun, 18—19  $\mu$  lang, oben 7 breit, unten 6, in der Mitte septiert, glatt. (Original ex herb. Pat.)

2. *Lasiostemma* Theiß. et Syd. — Ann. myc. 1917 p. 218.

Myzel oberflächlich, braun, septiert, verzweigt, ohne Hyphopodien. Fruchtkörper oberflächlich, kugelig, in der oberen Hälfte mit einem abstehenden Kranze von strähnig verbundenen Borsten besetzt, sonst mit einzeln zerstreuten Borsten. Scheitel mit stumpfer Papille, ohne echtes Ostium. Nukleus wie bei voriger Gattung. Sporen farblos, zweizellig.

a) *L. melioloides* (Berk. et Rav.) Theiß. et Syd.

Syn.: *Asterina melioloides* B. et R. = *Meliola Baccharidis* B. et R.

b) *L. Cyathearum* Syd. (= *Dimeriella Cyathearum* Syd.).

c) *L. Merrillii* Syd. — vgl. a. a. O.

3. *Ophiomeliola* Starb. — Bih. K. Sv. Akad. Handl. XXV (1899) Afld. III no. 1 p. 22; char. emend. \*

Phylogen. Fruchtkörper kugelig, mattschwarz, rauh, kahl, auf einem oberflächlichen borstig-zottigen Hyphenmyzel stehend, derb parenchymatisch. Sporen fädig. Sonst wie vorige.

*O. Lindmani* Starb. — Epiphytisch blattunterseits. Lager stroma-artig, aus dicht verwobenen braunen Hyphen bestehend, 1—1  $\frac{1}{2}$  mm, flachkrustig, struppig, durch abstehende steife Hyphenzotten borstig, besonders an der Basis der Gehäuse, diese halb verbergend. Gehäuse oberflächlich, kugelig perithezienartig, 180—240  $\mu$  groß, matt, kahl, wenig einsinkend, mit derber mehrschichtiger braunzelliger Stromawand. Papille abfallend. Asken lang gestreckt, beiderseits schmäler, fast sitzend, achtsporig, bis 150  $\mu$  lang, 16—20 breit, durch dichte farblose Platten feiner Fasern, die oben in das Scheitelstroma übergehen, einzeln getrennt. Sporen mehrreihig, fädig, farblos, nach beiden Enden etwas verschmälert, mehr weniger deutlich durch 6—10 Querwände geteilt, 100  $\approx$  3—4  $\mu$ . — Die „paraphyses (an asci evacuati et collapsi?) ascos paullo superantes, non distincte determinatae“ finden hiermit ihre Erklärung. (Original des Stockholmer Museums.).

**4. Phanerooccus** Theiß. et Syd. n. gen.

Fruchtkörper epiphytisch, kugelig perithezienartig, derb parenchymatisch, kahl, ohne Myzel. Lokuli monask, bodenständig. Asken zylindrisch, achtsporig. Sporen farblos, vierzellig.

*Ph. Feijoae* (Rehm) Theiß. et Syd.

Syn.: *Asteridium Feijoae* Rehm-Hedwigia XL (1901) p. 156.

Auf *Feijoa*-Blättern, Serra Geral, Brasilien.

Fruchtkörper kugelig bis flachkugelig, im weißen Haarfilz der Blattunterseite verborgen, oberflächlich, mattschwarz, fein chagriniert, 240 bis 300  $\mu$  breit, 200—240 hoch. Stromawand mehrschichtig, aus braunen, lang gestreckten Zellen gebaut; Papille abfallend. Nukleus wie oben. Asken schlank, zylindrisch, kurz knotig gestielt, nicht besonders dickwandig, achtsporig, 65—75  $\mu$  lang, 8 breit. Sporen schief einreihig bis zweireihig, farblos, länglich, vierzellig, in der Mitte eingeschnürt, 15—18  $\approx$  4  $\mu$ . I—. (Original ex herb. Rehm.) Durch die schmalen schlanken Asken auffallend.

**5. Pilgeriella** P. Henn. — Hedwigia XXXIX (1900) p. (137): char. emend. v. Höhnel (1910), Fragm. zur Myk. XII no. 622.

Phylogen. Hypostroma dünn, flach, parenchymatisch, oberflächlich mit aufrechten Hyphenhaaren. Fruchtkörper dem Hypostroma aufsitzend, perithezienartig, derb parenchymatisch, kahl, ohne Papille. Asken einzeln, durch Faserplatten getrennt, dickkeulig, dickwandig. Sporen einzellig farblos.

*P. perisporioides* P. Henn.

„Der Pilz wird von Henning als Trichosphaeriacee betrachtet, ist aber nach dem Originalexemplar eine ganz oberflächlich wachsende *Botryosphaeria* mit Pseudosphaeriaceen-Stromaten und dünnem Hypostroma. Die von Henning als Perithecien beschriebenen Fruchtkörper sind typische Stromata, wie sie bei manchen *Botryosphaeria*-Arten auftreten.“

Der Pilz bildet auf beiden Seiten von *Loranthus*-Blättern schwarze, matte, rundliche, 2 bis 5 mm breite, zerstreute Flecke, auf denen die kleinen Stromata dichtrasig sitzen. Er zeigt ein oberflächliches, großzellig parenchymatisches Hypostroma, das nur aus ein bis drei Lagen von Zellen besteht; auf demselben und am Rande dieses Hypostomas sitzen braune, gerade, verzweigte, 8 bis 12  $\mu$  breite Hyphen, die hier und da keulige, braune, zwei- bis dreizellige, oben und unten stumpfe, oben breitere, 90 bis 100  $\approx$  28 bis 35  $\mu$  große Konidien tragen. Die dichtstehenden peritheciümähnlichen Stromata sind oben flach, meist etwas höher als breit, mit wenig verschmälerter Basis am Stroma sitzend und bis 360  $\mu$  hoch und breit. Sie sind fast kugelig oder etwas kurzyndrisch und zeigen keine Spur eines Ostiolums. Der einzige Scheinloculus wird oben durch Abbröckeln des Gewebes geöffnet. Das Stromagewebe besteht aus 20—30  $\mu$  großen, offenen, kohligen Parenchymzellen, welche oben kleiner sind. An der Basis ist das Stromagewebe etwa 70  $\mu$  seitlich zirka

35  $\mu$  dick und besteht hier aus drei bis vier Lagen von schwarzbraunen Zellen, denen sich innen noch mehrere Schichten von flachgepreßten, hyalinen Zellen anschließen.

Die Ascii sind dickwandig, Wandstärke oben bis 9  $\mu$ . Sie sind dickkeulig, oben abgerundet, unten rasch in einen kurzen, dünnhäutigen Stiel verschmälert. Sie enthalten schief ein- bis zweireihig acht derbwandige, hyaline längliche, meist gerade, einzellige mit reichlichem grobgranuliertem Inhalt versehene, an den Enden abgerundete, 60—68  $\times$  22—28  $\mu$  große Sporen. Echte Paraphysen fehlen völlig, dagegen sind die Ascier meist durch dünne Gewebeplatten voneinander getrennt, die aus hyalinen, rundlichen, 10—20  $\mu$  großen Zellen bestehen und die leicht in ihre Elemente zerfallen.

Nach ihrer Entleerung werden die 170—240  $\times$  50—60  $\mu$  großen Ascier zylindrisch, verlängern sich bedeutend und ihre Wandung wird bis 20  $\mu$  dick". (v. Höhnel, a. a. O.)

## B. Fruchtkörper oberflächlich, der Epidermis aufgewachsen.

*Parodiellaceae* interim.

6. *Epiphyma* Theiß. — Verhandl. zool. bot. Gesellsch. Wien, 1916 p. 306, Freies Myzel fehlend. Fruchtkörper perithezienartig, kugelig, einer epidermalen Hypostroma-Platte aufgewachsen, mehrschichtig parenchymatisch, einsinkend, kahl. Nukleus wie bei vorigen. Ascier keulig, dickwandig. Sporen farblos, einzellig.

a) *E. anceps* (v. H.) Theiß. = *Botryosphaeria anceps* v. H. in Fragm. zur Myk. VII no. 311.

An dünnen Zweigen, S. Paulo, Brasilien. — Vgl. Ann. myc. 1916 Taf. I Fig. 7.

Vgl. genauere Beschreibung in Ann. myc. 1916 p. 336 c. ic.

b) *E. Mucunae* (Rac.) Syd. — Ann. myc. 1916 p. 358.

c) *E. laurinum* (Cke.) Theiß. — Ann. myc. 1916 p. 404.

d) *E. neurophilum* Theiß. — ib.

e) *E. Premnae* Syd. — Ann. myc. 1917 p. 217.

7. *Parodiella* Speg. (1880) Fg. Argent. I p. 178; ch. emend. Theißen in Verh. zool. bot. Gesellsch. Wien 1916 p. 306 und Ann. myc. XIV (1916) p. 402.

Vgl. Theißen-Sydow, „Die Gattung *Parodiella*“ (monogr.) in Ann. myc. XV (1917) p. 125 ff.

Myzel fehlend. Fruchtkörper kugelig, einsinkend oder nicht einsinkend, mit verschmälertem Fuß der Epidermisaußenwand aufgewachsen, glatt, mehrschichtig parenchymatisch, jung mit Scheitelpapille, alt am Scheitel unregelmäßig verbröckelnd. Nukleus wie bei vorigen. Asken keulig, dickwandig. Sporen braun, zweizellig.

*P. perisporioides* (B. et Curt.) Speg. auf *Rhynchosia*-B. in Carolina; 7 weitere Arten mit manchen Varietäten und Formen in Südamerika, Tasmanien, Afrika, Indien, Philippinen. — Vgl. Ann. myc. 1916 Taf. I Fig. 12.

8. *Hypoplegma* Theiß. et Syd. — Ann. myc. 1917 p. 135.

Myzel oberflächlich, aus gefärbten, septierten, hyphopodienlosen Hyphen gebildet, in den Spaltöffnungen befestigt. Fruchtkörper oberflächlich, wie *Parodiella* gebaut. Nukleus schleimig. Schläuche achtsporig, verdickt. Sporen hellgefärbt (unreif?), in der Mitte geteilt. — Von *Apiosporina* v. H. hauptsächlich durch die gleichzelligen Sporen, von *Parodiella* durch freies Myzel abweichend.

a) *H. viridescens* (Rehm) Theiß. et Syd. = *Parodiella viridescens* Rehm; *Parodiopsis viridescens* Maubl.

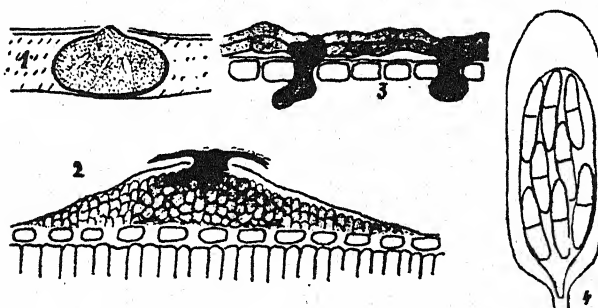


Fig. 1. 1. *Pyreniella Festucae* (Lib.) Theiß., junges Gehäuse im Querschnitt.  
2. *Acantharia echinata* (Ell. et Ev.) Theiß. et Syd., Hypostroma.  
3. *Hypoplegma viridescens* (Rehm) Theiß. et Syd. var. *Ingae*, Myzel.  
4. *Hypoplegma viridescens*, Schlauch.

Hypophyll auf braunen abgestorbenen Flecken ein häutig verbundenes Myzel, welches aus durchsichtig hellbrauneu, 6—7  $\mu$  breiten, steifen Hyphen besteht, die in zahlreichen Spaltöffnungen verankert sind; zahlreiche kurze aber breitere (10—15  $\mu$ ) Hyphen erheben sich schief aufrecht, wodurch das Myzel filzig-struppig wird. Fruchtkörper kugelig, zahlreich, mit Vorliebe in Bogenlinien angeordnet, welche zu mehreren konzentrisch hintereinander liegen (nicht volle Kreislinien), trocken gelbgrün bestäubt, am Scheitel mit runder muldenförmiger Einsenkung, trocken 180—200  $\mu$  groß. Stromawand lebhaft braun, aus mehreren Lagen derbwandiger Zellen bestehend (besonders die äußere Lage ist derbzellig, Zellen bis 25  $\mu$  groß, mit sehr dicker Zellwand). Nukleus pseudosphaeroid; Asken zwischen dicken Lagen aufsteigender Zellreihen, welche später infolge Schleimbildung in die einzelnen Zellen getrennt werden; die Zellen bleiben aber durch den grauen körneligen Schleim in ihrer ursprünglichen Lage erhalten nur etwas voneinander getrennt. Schläuche groß, keulig zylindrisch, besonders oben stark verdickt, 110—150  $\times$  36—45  $\mu$ , achtsporig. Sporen

dreireihig, lang zylindrisch, in der Mitte geteilt, schwach eingeschnürt, gerade oder plankonvex, intensiv gelb,  $45-55 \times 10-12 \mu$ , wahrscheinlich noch nicht ausgereift.

b) *H. olivaceum* Syd. = *Dimerium olivaceum* Syd. in Ann. myc. II, 1904 p. 169.

Zwischen Kutikula und Epidermis entwickeln sich an zahlreichen Stellen flache knollige olivenbraune Zellgruppen, welche die Kutikula sprengen und dann ein epiphytisches Myzel aussenden, auf dem dann die Gehäuse wachsen. Die Primärhyphen kriechen horizontal und sind braun,  $4 \mu$  dick, glatt, ohne Hyphopodien, ohne echte Borsten, öfters mit 2—4—6-zelligen oder mauerförmigen, braunen, etwa  $26 \times 8 \mu$  großen Konidien, die an kurzen hyalinen Stielchen aufsitzen; auch erheben sich von den Primärhyphen Verzweigungen aufrecht ab, die an der Spitze zu dunklen braunen *Helminthosporium*-artigen Konidien anschwellen.

Im Bau der Gehäuse und des Nukleus stimmt die Art ganz mit *Parodiella* überein; Myzel und Sporen lassen sie als ein typisches *Hypoplegma* erkennen.

#### 9. *Apiosporina* v. Höhn. (1910) Fragm. zur Myk. X no. 506; char. emend.

Myzel oberflächlich, braun, septiert, verzweigt, an zahlreichen Stellen in die Epidermis eindringend, oben mit aufrechten verzweigten bandartigen Hyphen, welche einzellige gefärbte Konidien bilden. Fruchtkörper oberflächlich, kugelig bis aufrecht elliptisch, derb parenchymatisch, mit abfallender Papille, ohne Ostiolum, zuweilen etwas borstig. Nukleus pseudosphaerienartig, ohne echte Paraphysen. Asken zylindrisch-keulig, achtsporig, dickwandig, ohne Porus. Sporen braun, zweizellig, Unterzelle winzig knopfförmig.

#### *A. Collinsii* (Schw.) v. H.

Syn.: *Sphaeria Collinsii* Schw. — Syn. p. 211.

*Dimerosporium Collinsii* Thümén.

*Sphaeria papilionacea* B. et C.

*Lasiosphaeria papilionacea* (B. et C.) Sacc.

*Sphaeria Russellii* B. et C.

*Lasiosphaeria Russellii* (B. et C.) Sacc.

*Plowrightia phyllogena* Harkn. — Synonymie nach v. Höhnel.

Auf *Amelanchier*-Blättern, Nordamerika.

*Asteroma atramentarium* Berk. (Syll. III, p. 202) könnte, nach der Beschreibung zu urteilen, ebenfalls hierher gehören.

„Schon das Luppenbild zeigt, daß er, kein *Dimerosporium* sein wird. Die Unterseite der *Amelanchier*-Blätter, auf denen er schmarotzt, ist ganz mit einem schwarzen krustigen Hyphenfilz überzogen, in dem die Perithezien sehr dichtstehend sitzen. Der Hyphenfilz steht oberflächlich, doch scheint durch den Pilz die Blattempidermis zerstört zu werden. Auch scheint hier

und da der Pilz tiefer ins Blattgewebe einzudringen und einem kleinen, dünnen, schwarzbraunen Hypostroma zu entspringen, von dem ausgehend der Pilz oberflächlich wächst. Doch bemühte ich mich vergeblich, hierüber völlige Klarheit zu gewinnen. Die Hyphen sind  $3-4 \mu$  breit, mäßig derbwandig, septiert, violettblau und zu einem lockeren Filz verbunden, der an der Basis, wo die Hyphenglieder kurz sind und bis  $12 \mu$  Dicke rundlich anschwellen, stellenweise locker parenchymatisch wird.

Vor der Entstehung der Perithezien erheben sich aus der Basalschicht einfache oder unregelmäßig verzweigte, durchscheinend violettblaue, verbogene, meist bandartig flache, etwa  $5-8 \mu$  breite und bis über  $140 \mu$  lange Konidienträger, die nach *Cladosporium*-Art meist einzellige längliche oder zitronenförmige, schmutzig violette,  $11-24 \approx 7-8 \mu$  große Konidien bilden.

Die später auftretenden Perithezien bedecken die ganze Blattunterseite dichtrasig. Sie sind schwarz, kugelig, derbhäutig, oben etwas abgeflacht und meist etwas genabelt einsinkend, bis  $200 \mu$  breit und  $160 \mu$  hoch. Sie zeigen oben ein rundliches, oft etwas eckiges, nicht typisches, flaches Ostiolum. Die seitlich etwa  $20-25 \mu$  dicke Wandung besteht aus 4 bis 5 Lagen von schwarzen, derbwandigen, polyedrischen, nicht oder wenig zusammengepreßten,  $5-10 \mu$  großen Parenchymzellen und ist oben etwas dicker, unten oft sehr dick, so daß die Perithezien dann einen  $100 \mu$  breiten und  $60 \mu$  hohen Stiel zeigen. Die Perithezien sind unten mit Hyphen besetzt, die nach oben hin in spärliche, kurze, durchscheinende, septierte, stumpfe Haare übergehen. Oben sind die Perithezien anscheinend kahl, doch findet man nicht selten daselbst opak-schwarze, stumpfliche, steife,  $20-30 \approx 9 \mu$  große Borsten in geringer Zahl, welche die Verwandtschaft des Pilzes mit *Antennularia* andeuten. Die Paraphysen sind einfach fädig,  $1 \mu$  dick, die Ascii übergagend. Die etwa  $68 \approx 8 \mu$  großen Ascii sind zylindrisch, aber ziemlich dickwandig, kurz knopfig gestielt, achtsporig. Die Sporen stehen zweireihig, sind hyalin, länglich-keulig, oben breiter, an beiden Enden stumpflich-konisch, zweizellig. Die obere Zelle ist etwa viermal so lang als die untere, welche kurzkegelförmig ist. Größe der Sporen  $11-15 \approx 3-5 \mu$ . Membran dünnwandig, an der Querwand nicht eingeschnürt.“ (v. H. a. a. O.)

Die Perithezien sind Pseudosphaerieen-Stromata mit dicker mehrschichtiger Wand, welche außen schwarzkrustig, nach innen zu heller wird, wabig-zellig, im ganzen  $20-24 \mu$  dick. Sie sind kugelig, etwas einsinkend, meist jedoch etwas höher als breit, bis  $300 \mu$  hoch bei  $180-200$  Breite. Dabei beträgt der innere Nukleus-Raum  $170-210 \mu$  Höhe,  $140$  bis  $150$  Breite. Die äußerst dichten, wie Paraphysen ausschenden Interthezialfasern sind anfangs mit dem dicken Scheitelstroma verwachsen, später nach Aufbrechen des Scheitels frei. Die Sporen sind bei der Reife braun, nur die winzige Unterzelle bleibt heller.

10. *Perisporiopsis* P. Henn. — *Hedwigia* XLIII (1904) p. 83; char. emend.

Myzel oberflächlich, an zahlreichen Stellen in die Epidermis eingewachsen, braun, verzweigt, mit aufrechten borstenartigen Zweigen. Fruchtkörper dem Myzel aufsitzend, aufrecht elliptisch, mit verschmälertem Fuß, derb parenchymatisch, jung mit später abfallender Papille, kahl, ohne Ostiolum. Nukleus pseudosphaerien-artig. Asken keulig, dickwandig, achtsporig. Sporen farblos, quer mehrzellig.

*P. Struthanthi* P. Henn. loc. cit.

Syn.: *Parodiopsis Struthanthi* (P. Henn.) Maubl. in Bull. Soc. Myc. France XXXI, 1915, p. 4.

v. Höhnel hat den Pilz in Fragm. XII (1910) no. 608 genauer beschrieben, aber als Kapnodiee aufgefaßt, was in obigem Sinne zu verbessern ist. Daß der Pilz nicht rein epiphytisch wächst, ersieht man schon an der starken Fleckenbildung an der befallenen Blattstelle, die die ganze Blattdicke durchsetzt und noch epiphyll sichtbar ist. Ein intramatrikales Hypostroma ist nicht vorhanden. die Hyphen des Myzels dringen nur durch die Spaltöffnungen ein und entsenden farblose Fortsätze in das Gewebe. Die farblosen Gewebsplatten zwischen den einzelnen Asken sind bei diesem Pilze sehr deutlich ausgebildet als aufrechte Zellreihen, die noch nicht verschleimt, auch nur wenig zusammengepreßt sind und oben mit den inneren Zellschichten der dicken Gehäusewand verwachsen (Nukleus unreif); v. Höhnel selbst ist es aufgefallen, daß die Gattung „von den typischen Kapnodieen durch die eigenartigen Paraphysen abweicht.“ Seine im übrigen sehr genaue Beschreibung lautet:

„Der Pilz besitzt ein ganz oberflächliches, ausgebreitetes, leicht abhebbbares braunes Subikulum, das aus lebhaft gelbbraunen, etwa 7—8  $\mu$  dicken, derbwandigen, ziemlich gerade verlaufenden, unregelmäßig verzweigten Hyphen besteht, die in mehreren Schichten liegen. An diesen Hyphen sitzen an kurzen, dicken Stielen blasige, runde oder birnförmige, etwa 50  $\mu$  breite Körper, die vielleicht verkümmerte Perithezienanlagen sind. Zahlreich sind stumpf endigende Seitenzweige, welche eine Art von Borsten darstellen, die sich aber kaum erheben. Auf den Basalhyphen, deren Gliederlänge 10—14  $\mu$  beträgt, sitzen auch aufrechte, einfache, septierte, spitze, oben blass bis hyaline, etwa 120  $\times$  5—6  $\mu$  große Konidienträger, die an kurzen, hyalinen Papillen, besonders am oberen Teile, kugelige, bräunliche, etwa 6  $\mu$  breite Konidien tragen. Ähnliche kugelige Zellen sieht man auch sonst stellenweise an den Basalhyphen sitzen. Die aufrecht birnförmigen Perithezien sitzen am Subiculum dicht, fast rasig gedrängt; sie dürften frisch schwarz gewesen sein, sind aber am Originalexemplar matt, schmutzig graubraun. Sie sind oben meist flach, mit kleiner Papille oder umbilicat, oben breiter, unten in einen oben breiteren, 180  $\times$  170  $\mu$  großen Stiel verschmälert, im ganzen 300—370  $\mu$  hoch und 150—200  $\mu$  breit. Die Perithezienmembran zeigt oben ein rundlich-eckiges bis 25  $\mu$  breites Ostiolum, ist derb zählederig

und 30—40  $\mu$  dick; sie besteht aus vier Lagen von dunkelrotbraunen, polyedrischen, 10—20  $\mu$  großen, wenig flachgedrückten, derbwandigen Zellen. Der Perithezienstiel zeigt innen ein hyalines, aus rundlich-polyedrischen, 6—8  $\mu$  breiten Zellen bestehendes Parenchym. Die Ascii sind zylindrisch-keulig, oben etwas abgeflacht-abgerundet und bis 9  $\mu$  dickwandig, seitlich mit 4  $\mu$  dicker Wandung, unten allmählich in einen 8  $\approx$  7  $\mu$  großen Stiel verschmälert.

Die acht Sporen liegen im Askus schief zweireihig, sind länglich, in der Mitte am breitesten, an den Enden etwas verschmälert und abgerundet, mäßig derbwandig, hyalin, anfänglich zweizellig, später (ob normal und immer?) sechs- bis siebenzellig und 56—60  $\approx$  12—14  $\mu$  groß. Zwischen den 128—148  $\approx$  32—35  $\mu$  großen Ascis liegen, zellig gegliedert, nicht typische, 6—8  $\mu$  breite Paraphysen, die leicht in ihre etwa 10  $\mu$  langen Zellen zerfallen.“

#### 11. *Melanomyces* Syd. — Ann. myc. 1917 p. 196.

Vorstehende Gattung ist wohl trotz der etwas abweichenden subkulären Entstehungsweise hier einzureihen. Das Hypostroma entsteht zwischen Kutikula und Epidermis, dringt interzellular abwärts, nach oben aber dichte stromatische Platten bildend und die Kutikula aufwölbend; durch die emporwachsenden Fruchtkörper wird die Kutikula gesprengt. Dadurch unterscheidet sich die Gattung scharf von der folgenden *Acanthobotryon*, bei welcher die Gehäuse erst oberhalb der Kutikula angelegt werden. Die vom Stroma überwallten Gehäuse sind dickwandig, kohlig, öfters von kurz abstehenden Hyphenenden rauhstruppig, ohne Ostium, auch am Scheitel dick, wo der Stromamantel bei der Reife aufreißt. Nukleus stark schleimig. Asken durch dichte Scheinparaphysen getrennt, einzeln, der ganzen Bodenfläche aufsitzend, nach oben etwas konvergierend. — Diagnose:

Hypostroma kohlig, subkulär, zellig, breit vorbrechend. Fruchtkörper kugelig, kohlig, dickwandig, durch die gesprengte Kutikula vorbrechend, ohne Ostium, einzeln oder zu wenigen verwachsen. Nukleus pseudosphaerieen-artig, schleimig. Asken zylindrisch, achtporig. Sporen farblos, zweizellig.

*M. quercinus* Syd. auf *Quercus*-Blättern, Philippinen.

#### 12. *Acantharia* Theiß. et Syd. n. gen.

Wie *Hypoplegma*, Myzel mit echten Borsten.

*A. echinata* (Ell. et Ev.) Theiß. et Syd.

Syn.: *Dimerosporium echinatum* Ell. et Ev. in Erythea I, 1893, p. 145;  
Syll. F. XI, p. 259.

*Venturia?* *echinata* (Ell. et Ev.) Theiß. in Beih. bot. Centralbl.  
1912, p. 60.

Zwischen Kutikula und Epidermis wird eine kalottenförmige (nach der Peripherie hin dünn abfallende) Stromaplatte angelegt, die aus 2—5 übereinanderliegenden Lagen prismatischer, farbloser, sehr zartwandiger

Zellen besteht, in der Mitte etwa 30—38  $\mu$  hoch ist. Im Zentrum werden diese Zellen rundlich-eckig, braun, derbwandig, und bilden hier einen derberen, etwa 80—100  $\mu$  breiten Stromaknollen, der an einer 12—15  $\mu$  breiten Stelle stielartig durch die Kutikula vorbricht und oberflächlich ein Myzel von lederbraunen, verschlungenen, septierten, 6  $\mu$  breiten dünnwandigen Hyphen entwickelt. Von diesen erheben sich besonders an der Basis der Gehäuse aufrechte, torulöse, septierte spitze Borsten, bis 220  $\mu$  lang, schwarzbraun, an der Basis 8  $\mu$  dick; andere blassere aufrechte Hyphen erzeugen am freien Ende, *Polytrincium*-artig anschwellend, einzelne oder rosenkranzartig angereihte, braune, ein- bis mehrzellige Konidien. Auf dem Myzel sitzen die parenchymatischen Fruchtkörper, die wie *Hypo-plegma* gebaut sind.

### C. Fruchtkörper aus einem eingewachsenen Hypostroma rasig vorbrechend.

*Botryosphaeriaceae* — *Cucurbitariaceae*.

13. *Botryosphaeria* Sacc. (1877) *Michelia* I p. 43, 317; char. emend. Theiß. et Syd. in Ann. myc. 1915 p. 661; vgl. Theiß., Studie über *Botryosphaeria*, Ann. myc. 1916 p. 297 ff.

*Hypostroma* unterrindig, kompakt, kohlig, zellig. Fruchtkörper meist stark rasig, seltener eingesenkt, meist halb vorragend oder frei gestielt aufsitzend, vorbrechend, kugelig perithezienartig, kohlig, derbwandig, mit später abfallender Papille, ohne Ostiolum, kahl. Nukleus pseudosphaerieenartig. Asken groß, keulig, dickwandig, achtsporig. Sporen farblos, einzellig, groß.

Typ: *B. Quercuum* (Schw.) Sacc., im übrigen vgl. Theiß., a. a. O.; weitere Arten sind:

- *B. Astrocaryi* (P. Henn.) Theiß. — Ann. myc. 1916 p. 412.
- *B. viscosa* (C. et E.) Theiß. — Ann. myc. 1916 p. 417.
- *B. Trabutiana* (P. Henn.) Theiß. — Ann. myc. 1916 p. 419.
- *B. Fourcroyae* (P. Henn.) Theiß. — Ann. myc. 1916 p. 420.
- *B.?* *Woroninii* (M. et F.) Theiß. — Ann. myc. 1916 p. 423.
- *B. egenula* Syd. et Butl. — Ann. myc. 1911 p. 415.
- *B. tiliacea* Petrák. — Ann. myc. 1916 p. 166.
- *B. Hamamelidis* Rehm. — Ann. myc. 1913 p. 168.

*Bagnisiopsis moricola* (C. et E.) Theiß. et Syd. und *B. rhoina* Syd. et Hara (vgl. Ann. myc. 1915 p. 293) könnten ebenfalls mit gleichem Recht zu *Botryosphaeria* gezogen werden, da die Lokuli häufig fast frei aus dem Stroma vorragen.

14. *Phaeobotryon* Theiß. et Syd. — Ann. myc. 1915 p. 664.

Wie vorige. Sporen braun.

*Ph. Cercidis* (Cke.) Theiß. et Syd.

15. *Dibotryon* Theiß. et Syd. — Ann. Myc. 1915 p. 663.

Wie *Botryosphaeria*, Sporen farblos, zweizellig.

*D. morbosum* (Schw.) Theiß. et Syd.

In welchem Verhältnis die Botryosphaerien zu den Cucurbitarieen stehen, bedarf noch näherer Aufklärung; jedenfalls ist es ein sehr nahes. Das rasige Vorbrechen aus einem eingewachsenen Stroma haben beide gemeinsam; auf der andern Seite sind eine Reihe von Cucurbitarieen — vielleicht viele — in ihrem Nukleus pseudosphaerieen-artig! Nur scheint bei letzteren der Kontext durchgehends weniger kohlig zu sein wie bei den Botryosphaerien.

16. An erster Stelle wäre hier *Cucurbitaria* selbst zu erwähnen. Typ der Gattung ist *Cucurbitaria Berberidis* (Persoon's *Sphaeria Berberidis*) Gray. Fig. 2 gibt einen Querschnitt durch ein Stromalager wieder (nach dem

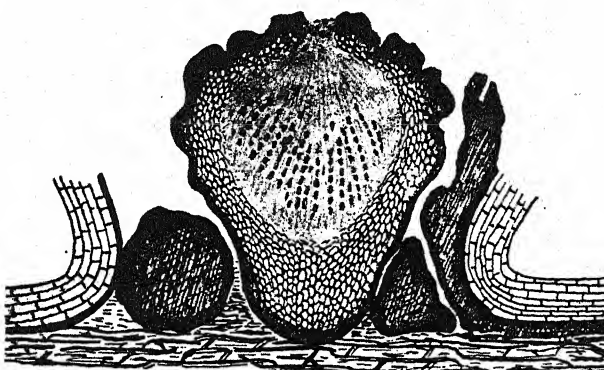


Fig. 2. *Cucurbitaria Berberidis* (Pers.) Gray-Original.

Persoon'schen Original aus dem Leydener Museum). Die „Perithezien“ entspringen rasig aus einem unterrindigen, das Parenchym durchsetzenden dunklen Hyphenstroma, welches die Rinde aufwirft. Sie sind kreiselförmig, außen grobwarzig zerklüftet. Nur die äußeren Schichten sind hart, schwarz; nach innen schließen sich mehrere (6—10) Lagen brauner, nach innen blasser werdender elliptischer Zellen mit zarten Zellwänden an, welche eine zwar dicke, aber nicht kohlige „Gehäusemembran“ bilden; die innersten Lagen bestehen schon aus schmalen, gestreckten, blassen Zellreihen, an welche sich ein dicker Belag von farblosen feinen Fasern anschließt. Der von letzteren umschlossene Nukleusraum ist etwa  $450\text{ }\mu$  hoch,  $380$  breit; die „Perithezienwand“ ist seitlich  $100\text{ }\mu$  dick, der verschmälerte massive Fußteil etwa  $250$  hoch. Das „Ostium“ ist aufgebrochen und zerrissen, unecht. Die Schläuche stehen parietal an der unteren Kugelhälfte der Höhlung, durch farblose, sehr dichte, ursprünglich zellige Fasern voneinander getrennt, welche oben in das Scheitelparen-

chym einmünden (bei schon geöffnetem Schoitel im medianen Querschnitt natürlich abgerissen). Ein ganzes ausgewachsenes Gehäuse ist etwa  $800\text{ }\mu$  hoch, 650 breit. — Der Nukleus verhält sich also ganz wie bei den Pseudosphaerieen, das Perithezium mit der dicken vielschichtigen Membran ist ein Stroma mit monasken Lokuli.

Genau ebenso ist auch *Cucurbitaria recuperata* Theiß.<sup>1)</sup> gebaut, ebenso *Cucurbitaria Laburni* (Pers.) DN. in Fg. austro-hung. 2371, letztere nur durch kleinere untersetzte Fruchtkörper abweichend.

*Otthia fruticola* (E. et E.) Theiß. et Syd.<sup>2)</sup> = *Otthia Clematidis* Earle hat dieselbe Wachstumsweise, ebenso dicke, vielschichtige, innen fahlbraune „Membran“ mit dickem Fußteil, gleich geformte Stromazellen und gleiche Nukleusbildung, dieselben zylindrischen Schläuche, von *Cucurbitaria* nur durch zweizellige Sporen verschieden.

Bei allen diesen Arten sind häufig Gehäuse zu beobachten, welche in der oberen Hälfte mit frei vorspringenden Hyphenenden besetzt sind, zuweilen dadurch scheinbar ganz borstig sind (nicht typische spitze Borsten), auch bei Persoon's *Sphaeria Berberidis*; die Unterscheidung der Gattungen nach Borsten müßte jedenfalls nur auf echte Borsten hin erfolgen, nicht nach borstenartig abstehenden Hyphenspitzen.

Nach weiteren Beobachtungen an verschiedenen Cucurbitarieen (Arten von *Otthia*, *Gibbera*, *Gibberidea*), die aber an authentischen Originalen sicher zu stellen wären, ist der Pseudosphaerieen-Nukleus in dieser Familie weit verbreitet, vielleicht typisch für dieselbe.

Dann wäre wohl an die Einbeziehung der Botryosphaerieen in diese Familie zu denken. Habituell im Querschnitt sind dieselben zwar gut von Cucurbitarieen zu unterscheiden; das Basalstroma ist durchgehends kompakter und parallel-senkrechtphyg, bei mehreren Arten aber schon auf dünnere Platten beschränkt (wenn man von dem das Parenchym durchziehenden Hyphensystem absieht); die „Gehäusemembran“ ist ferner meist weniger dick, so daß die kohlige Außenschicht stärker überwiegt. Doch treten auch hier schon Übergangsformen auf mit undeutlich senkrecht-reihigem Stroma, die dann ganz *Cucurbitaria*-Gehäusen gleichen. Immer aber bleibt zwischen beiden Gruppen der Unterschied in der Form der Asken, welche bei den Cucurbitarieen (immer?) zylindrisch, bei den *Botryosphaerieen* dick keulig sind. Wie groß die Tragweite dieses Merkmals ist, muß umfassenderen Untersuchungen über die Cucurbitarieen zu entscheiden überlassen bleiben. Jedenfalls interessant in dieser Hinsicht ist ein Pilz, den wir auf einem Exemplar von Fuckel's *Fungi rhenani* 765 (unter *Dothiora Sorbi*) fanden und der von der echten *Dothiora Sorbi* (*Hysterium Sorbi* Wahl.) ganz verschieden ist. Äußerlich und im Querschnitt gleicht

<sup>1)</sup> Ann. Myc. 1916 p. 333.

<sup>2)</sup> Ann. Myc. 1917 p. 142.

derselbe vollkommen einer *Botryosphaeria*; die rasig vorbrechenden Gehäuse sitzen einer unterrindigen Stromaplatte auf, die wie bei *Botryosphaeria* senkrechthyphig ist; Gehäuse wie bei *Botryosphaeria* halb frei, bald kahl, bald durch vorstehende Hyphenenden rauhstachelig; Sporen braun, einzellig,  $11-14 \approx 5-6 \mu$ . Soweit wäre der Pilz ein echtes *Phaeobotryon*. Auffallend ist aber das bei Cucurbitarieen häufige Vorkommen rauhborstiger Gehäuse; noch auffallender der Umstand, daß die Asken streng zylindrisch sind mit einreihig gelagerten Sporen (genau so wie bei *Cucurbitaria*),  $60 \mu$  lang  $7-8 \mu$  breit. Weitere Schnitte zeigten uns genau gleiche Gehäuse mit denselben zylindrischen, nur längeren ( $120 \approx 13$ ) Asken mit acht einreihigen, braunen mauerförmigen ( $16-18 \approx 10 \mu$  großen sechszelligen) Sporen; in manchen Schnitten waren beide Formen vorhanden, aber nicht in der gleichen Gehäusegruppe vermischt. Offenbar ist erstere nur eine Notreifform der letzteren. Als *Pleospora* kann der Pilz nicht ausgesprochen werden; die Schlauchform weist auf *Cucurbitaria*, die stromatischen Merkmale auf die Botryosphaerieen; die Art wird wohl schon als *Cucurbitaria* beschrieben sein; *C. Sorbi* Karst. weicht durch längere Ascii und Sporen ab; *C. subcaespitosa* Otth würde mit ihren „peritheciis mutua pressione difformibus“ wohl stimmen.

Man wird nicht fehl gehen, wenn man alle Cucurbitarieen für Pseudosphaeraiales nimmt, bei welchen „paraphyses numerosae“ oder „coalescentes“ angegeben sind. Die Typen von *Otthia*, *Otthiella* und *Gibberidea* wären auf ihren Nukleus zu untersuchen.

Vielleicht stehen sich auch *Otthiella* und *Dibotryon* sehr nahe.

#### D. Pleosporaceae.

Pseudosphaeraiales sind nach unserem Befund eine auffallende Zahl von Pleosporen. Zunächst *Pleospora* selbst.

17. Typ der Gattung *Pleospora* Rabh. ist *Pl. herbarum* Rabh. in Herb. myc., Editio II, no. 547 a, mit welcher die Gattung aufgestellt wurde [auf *Allium*-Stengeln, lgt. Fiedler bei Doemitz; *Sphaeria Allii* Rabh. in Herb. myc. I no. 838; *Sphaeria herbarum* var. *Allii* Desm. in Crypt. de Fr., Editio II, no. 1433 B].

Das Wachstumsbild ist bekannt. Der Gehäusebau stimmt in allem mit dem der *Cucurbitaria* überein; nur wachsen sie nicht rasig, sondern einzeln, weshalb hier auch das basale Stroma nur durch wenige lockere basale Hyphen vertreten wird. Die dünne, nur  $6-8 \mu$  starke, schwarze, kohlige Kruste besteht aus kleinen, dunkelbraunen, derbwandigen,  $8-10 = 6-8 \mu$  großen Zellen. Auf diese folgen nach innen  $6-8$  konzentrische Lagen von helllilabraunen zartwandigen Zellen elliptischer Form und etwa  $16 = 8 \mu$  Größe, zusammen  $40 \mu$  dick; darauf das farblose faserige Hypothecium-Polster. Der innere Nukleus-Raum ist anfangs mit farblosem zelligem Mark erfüllt mit senkrechter Reihenbildung; in diesem entstehen die Asken

einzelnen, durch Markplatten getrennt, letztere mehr und mehr zusammenpressend; die zentralen Asken stehen aufrecht, die peripherischen herübergebogen, alle bodenständig; sie sind zylindrisch, dickwandig, aber durchsichtig. Sporen ein- bis zweireihig, rehbraun, quer achtzellig, mit 1—2 Längswänden in allen Zellen, an beiden Enden stumpf, oben breiter als unten,  $30\text{ }\mu$  lang, oben 13, unten 11 breit. Ein ganzes Gehäuse ist etwa  $500\text{ }\mu$  breit,  $300$  hoch. Ein echtes Ostium ist nicht vorhanden; die Öffnung erfolgt durch Resorption des Scheitelparenchysms.

Den gleichen Bau zeigen 547 b, d, e des genannten Exsikkates, dieselben mehrere von uns geprüfte Herbarexemplare.

18. *Leptosphaeria doliolum* (Pers.) DN. ist der Typ der Gattung *Leptosphaeria* Ces. et DN.; das Original von *Sphaeria doliolum* Pers. aus dem Leydener Herbar wurde von uns untersucht.

Der innere Bau entspricht in allem dem bei *Pleospora herbarum*. Auf die dünne äußere,  $12-14\text{ }\mu$  starke schwarze Kruste folgen nach innen zahlreiche fahlbraune konzentrische Lagen von zartwandigen elliptischen Stromazellen in einer Gesamtdicke von  $55-60\text{ }\mu$ ; die innerste Grenzlinie ist wieder dunkler,  $4\text{ }\mu$  dick; auf diese folgt das wasserhelle  $25\text{ }\mu$  dicke faserige Hypothecium. Nu-

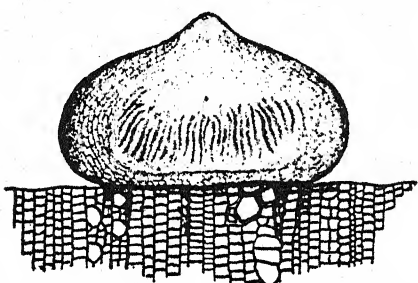


Fig. 3. *Leptosphaeria doliolum* (Pers.) De Not.  
Original.

kleus genau wie bei *Pleospora*, nur daß die Asken schlanker sind, da sowohl die Sporen schlanker sind als auch durchgehends einreihig liegen, ihre Länge beträgt  $130-140\text{ }\mu$ , die Breite  $8\text{ }\mu$ ; der Stiel ist kurz. Intertheziale Fasern dicht, sehr zart, oben mit dem epithelialen Parenchym verwachsen. Sporen spindelförmig, beiderseits zugespitzt, hellbraun, vierzellig,  $25 \asymp 5\text{ }\mu$ . Die flachbasigen Gehäuse betragen im ganzen  $500\text{ }\mu$  in der Breite,  $350$  in der Höhe. In tangentialem Querschnitten erscheint das Membrangewebe senkrecht-parallel prosenchymatisch, mit  $10-12\text{ }\mu$  langen,  $4\text{ }\mu$  breiten Zellen.

Denselben Bau wiesen mehrere andere Aufsammlungen auf, wie *Leptosphaeria Onagrae* in Rehm's Ascom. 2080 u. a.

v. Höhnelt hat auf *Leptosphaeria personata* Nießl eine neue Pseudosphaerien-Gattung *Scleroplectella*<sup>1)</sup> begründet, leider ohne Diagnose; nach dem Gesagten ist anzunehmen, daß dieselbe mit *Leptosphaeria* zusammenfällt; Nießl's Original sahen wir nicht, anscheinend richtig bestimmtes Herbarmaterial der Art erwies sich generisch gleich *L. doliolum*. Wir betrachten demnach vorläufig *Scleroplectella* = *Leptosphaeria*.

<sup>1)</sup> Öster. bot. Zeitschr. 1916 p. 54 ff.

19. Zu untersuchen wären die Typen von *Metasphaeria* und *Ophiobolus*; erstere ist zweifellos mit Ausnahme der Sporenfarbe gleich *Leptosphaeria*, von letzterer wird im nächsten Abschnitt die Rede sein.

### E. Sphaerelleen-Montagnelleen.

Verschiedene Beobachtungen an Mycosphaerelleen schienen uns schon früher auf eine gewisse Verwandtschaft mit den Pseudosphaerieen hinzudeuten; aber erst die späteren systematisch fortgesetzten und sich gegenseitig stützenden Studien sicherten unsere Vermutungen derart, daß die den herrschenden Anschauungen fremden Ergebnisse geäußert werden durften. Inzwischen hat auch v. Höhnel aus dieser Pilzgruppe einige Beobachtungen in gleicher Richtung mitgeteilt<sup>1)</sup>, indem er *Phaeosphaerella macularis* (Fr.) Tav., *Phaeosphaerella Aceris* v. H. und *phaeidasca* (Schröter) für Pseudosphaerieen erklärte.

Wir glauben, daß alle typischen Mycosphaerelleen es sind, aber mit gewissen Eigenarten, die ihnen innerhalb der Pseudosphaeriales eine Stellung als eigene zusammengehörige Gruppe sichert.

Biologisch lassen sich die Sphaerelleen in zwei Reihen scheiden: Schmarotzer auf höheren Pflanzen und Flechtenschmarotzer (zu welchen noch einige Arten auf Algen gezählt werden können).

#### I. Schmarotzer höherer Pflanzen.

Typisch für diese und zugleich für die ganze Familie sind *Mycosphaerella* und *Phaeosphaerella*; beide sind nur durch die Sporenfarbe verschieden.

20. Typus von *Phaeosphaerella* ist *Ph. macularis* (Fr.) Trav., welche v. Höhnel schon als Pseudosphaeriee erklärt hat. In dem dankenswerten Aufsatze „Intorno alla Sphaerella macularis degli autori“<sup>2)</sup> hat Traverso die durch Vermengung zweier Arten entstandene Verwirrung behoben; wir geben das Endresultat seiner Untersuchung hier in Kürze wieder:

a) *Phaeosphaerella macularis* (Fr.) Trav.

*Sphaeria macularis* Fries — Observ. myc. I p. 186 (1815); Syst. myc. II p. 502.

*Sphaeria geographica* Fries — Vet. Akad. Handl. XXXVIII p. 247 (1817).

*Perisporium maculare* Fries — Syst. myc. III p. 251 (1819).

*Piostoma maculare* Fries — S. M. II p. 395 (1849).

*Sphaerella macularis* Auersw. in Gonnerm. et Rabenh., Myc. eur.

V—VI p. 9 p. (1869), non Saccardo!

*Sphaerella maculosa* Sacc. — Syll. Fung. I p. 487 (1882).

<sup>1)</sup> ebenda.

<sup>2)</sup> Atti Acad. Sc. Veneto-Trentino-Istriana V (1912) Fasz. 1.

*Mycosphaerella macularis* Schröter — Pilze II p. 335 (1884).

*Phaeosphaerella maculosa* Karst. — Symb. XXVI p. 28 (1888); Sacc. Syll. F. IX p. 723.

Exsikkate: Fries, Scleromyc. Sueciae no. 87; Mougeot et Nestler, Stirpes vogeso-rhen. no. 969; Fuckel, Fg. rhen. 830; Thuemen, Fg. austr. 155; Roumégue, Fg. sel. gallici 494; Karsten, Fg. Fenn. 868; Kunze, Fg. sel. 245.

Asci 65—80  $\times$  7—12  $\mu$ ; Sporen gefärbt, konstrikt, 12—15  $\times$  6—7  $\mu$ .

b) *Sphaerella tremulicola* (DC.) Trav.

*Sphaeria lichenoides* & *tremulaecola* DC. — Fl. Franc. VI p. 147 (1815).

*Sphaeria macularis* Schmidt et Kze. — Deutschl. Schwämme IV no. 78 (1816), non Fries!

*Xylooma concentricum* Seringe in sched. (teste Schm. et Kze.), non Pers.

*Sphaeria (Depazea) tremulaecola* Fries — S. M. II p. 529 (1823).

*Depazea tremulaecola* Rabh. — Deutschl. Krypt. Flora I p. 137 (1844).

*Sphaerella macularis* Auersw. in Gonnerm. et Rabh., Myc. eur. V—VI p. 9 p. p. (1869); Sacc. et Roum. in Rev. myc. III p. 46 no. 11 (1881); Syll. F. I p. 488.

Exsikkate: Schmidt et Kunze, Deutschl. Schwämme no. 78; Rabenh., Herb. myc. 365.

Gesellig in 1—3 mm großen, runden bis eckigen Flecken; Asci 35—45  $\times$  6—7  $\mu$ ; Sporen farblos, nicht konstrikt, 7—9  $\times$  2—2 $\frac{1}{2}$   $\mu$ .

Von den maßgebenden Exsikkaten wurden von uns nachgeprüft: Fries, Scler. suec. 87; Kunze, Fg. sel. 245; Mugeot et Nestl., Stirpes vog. rhen. 969; Thuemen, Fg. austr. 155.

Die Wachstumsweise der *Ph. macularis* ist bekannt. Die Gehäuse sind kugelig, 85—100  $\mu$  im Durchmesser (im Querschnittspräparat; trocken kleiner) oder auch birnförmig 110 hoch, unterwärts 85 breit, basal aus einem schwachen braunen Myzel entstehend. Die relativ dünne Membran besteht aus zwei Lagen grauvioletter, elliptisch-eckiger, etwa 12  $\times$  5  $\mu$  großer Zellen, auf welche innen eine Schicht feiner verschlungener farbloser Hypothelialfasern folgt. Die Schläuche stehen in einem Büschel der Bodenmitte auf und reichen nicht ganz bis zur Decke, dort einen mäßigen freien Raum lassend; die mittleren Schläuche stehen steif aufrecht, die peripherischen krümmen sich mit dem Fußteil nach oben um, so daß alle Askene parallel aufrecht stehen. Der Nukleus ist immer etwas schleimig (auch bei anderen Sphaerelleen), wodurch der Schlauchbüschel in seiner charakteristischen steifen Unveränderlichkeit gehalten wird. Zwischen den Askene, besonders deutlich in dem Freiraum über denselben, sieht man eine Art von Paraphysen, die aber meist schon in verschiedenen lange, getrennte, aber durch Schleim in der Fadenrichtung gehaltene Stücke zerfallen sind. Ein echtes Ostium fehlt; das Scheitelstroma der

Membran bricht einfach auf. Wenn es uns auch nicht gelang, ein Entwicklungsstadium zu treffen, in welchem die interthezialen Fasern noch unverschleimt in ihrer Gänze zu verfolgen waren (man trifft immer nur junge, innen noch mit farblosem zelligen Mark erfüllte Kerne oder schon zerfallene Fasern), so ist es doch außer Zweifel, daß es Gewebsfasern im Sinne der Pseudosphaeraleen sind. Wir stimmen daher mit v. Höhnel darin überein, daß *Phaeosphaerella* eine Pseudosphaeralee ist, betrachten sie aber nicht als zur engeren Familie der *Pseudosphaeriaceae* gehörig.

Das Kennzeichen der *Sphaerellaceae* erblicken wir in der Wachstumsweise (unter der Epidermis im Mesophyll wachsend, später wenig vorragend),

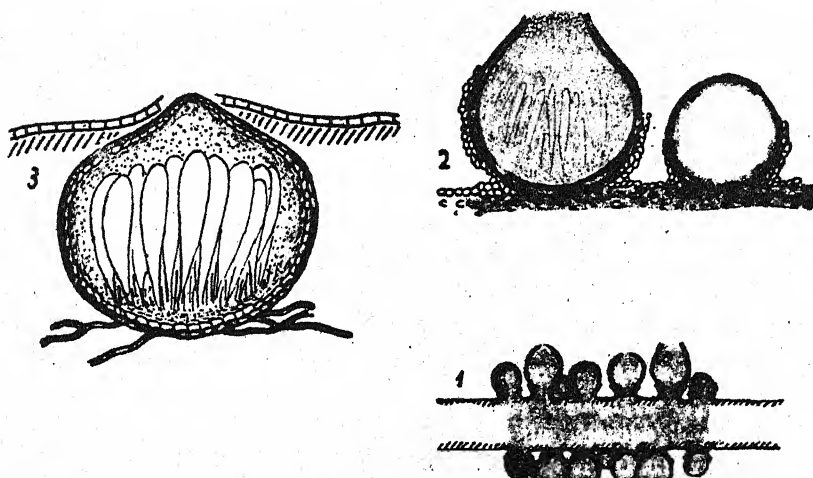


Fig. 4. 1. *Phragmosperma Rickianum* (Rehm) Theiß., Lager des Pilzes im Querschnitt.  
2. Dasselbe, Gehäuse, stärker vergrößert.  
3. *Phaeosphaerella macularis* (Fr.) Trav.

der zarten Stromahülle, den verschleimenden Interthezialfasern und der büscheligen Anordnung der Schläuche.

In reifen Gehäusen bemerkt man entweder nur kaum noch sichtbaren körnigen Schleim oder einen ganz freien Schläuchbüschel; daher die häufigen Angaben von fehlenden oder mukosen Paraphysen in dieser Familie.

21. Das oben Gesagte gilt in gleicher Weise für *Mycosphaerella* Joh. (= *Carlia* Rabh.) mit ihren zahllosen Arten. *Carlia Oxalidis* wurde fälschlich zu *Laestadia* gezogen; Gehäusebau und Nukleus ist wie bei *Phaeosphaerella*, auch die Sporen sind zweizellig, farblos<sup>1)</sup>.

<sup>1)</sup> Verhandl. zool. bot. Gesellsch. Wien 1918. Während der stark verzögerten Drucklegung dieser Arbeit erschien v. Höhnel's Arbeit „Über die Benennung, Stellung und Nebenfruchtformen von *Sphaerella* Fries“ in Ber. Deutsch. Bot. Gesellsch. 1917, p. 627 ff.

22. *Laestadia* Auersw. ist nicht synonym zu *Carlia*; sie ist auch keine Pseudosphaeriale, kommt also hier nicht in Betracht, der Name ist zu ersetzen durch *Guignardia* Viala et R.; ihre Sporen sind nicht einzellig, sondern zweizellig; daher sind die meisten *Laestadia*-Arten in der „Sylloge Fungorum“ falsch bestimmt. Ein bedeutender Prozentsatz derselben scheint zu den Pseudosphaerieen zu gehören (vgl. Theißen, a. a. O.).

Die pseudosphaerieen-artigen *Guignardia* (*Laestadia*)-Arten mit einzelligen Sporen sind zu *Haplothecium* Theiß. et Syd.<sup>1)</sup> zu ziehen, wenn ein merkliches Hyphenstroma fehlt, zu *Montagnellina* v. H.<sup>2)</sup>, wenn ein solches vorhanden ist; die beiden letzteren Gattungen verhalten sich wie *Phaeosphaerella*, die für *Haplothecium* früher angegebenen Paraphysen sind als intertheziale Fasern zu deuten.

23. *Pyreniella* Theiß.<sup>3)</sup> und *Cryptosporina* v. H.<sup>4)</sup> weichen durch nicht büschelig gestellte Asken und nicht verschleimende Interthezialfasern ab und gehören, wenn auch zu den Pseudosphaeriales, doch nicht zu den *Sphaerellaceae*; sie werden den Montagnelleen zuzuweisen sein. Vgl. Figur 18, Taf. III in Annales Myc. 1915.

24. *Haplodothis* v. H. und *Pseudosphaarella* v. H.<sup>5)</sup> fallen nunmehr unseres Erachtens mit *Mycosphaarella* zusammen.

25. Bei *Pyrenobotrys* Theiß. et Syd.<sup>6)</sup> sind die Asken nicht büschelig gestellt, sondern parietal; die früher angegebenen Paraphysen sind im Sinne der Pseudosphaerieen als Gewebsfasern zu verstehen; gehört zu den Montagnelleen.

26. *Teratosphaeria* Syd.<sup>7)</sup> ist eine Sphaerellazee.

27. *Sphaerulina* und *Pleosphaerulina* wären zu untersuchen; wahrscheinlich stimmen sie im Bau der Gehäuse und des Nukleus mit *Mycosphaarella* überein.

28. *Phragmosperma* Theiß. et Syd.<sup>8)</sup> ist eine Montagnellee mit parietalen Schläuchen. Hierher gehört eine von Rehm unter *Broomella* beschriebene Art:

*Phragmosperma Rickianum* (Rehm) Theiß.

*Broomella Rickiana* Rehm — Broteria 1906 p. 226.

<sup>1)</sup> Ann. Myc. 1915 p. 614.

<sup>2)</sup> ebenda p. 615.

<sup>3)</sup> Verhandl. zool. bot. Gesellsch. Wien 1916 p. 392.

<sup>4)</sup> Fragm. zur Myk. XIII (1911) p. 696. 1905 schon hatte v. H. in Öster. bot. Zeitschr. p. 54 einige *Cryptospora*-Arten mit weichen Perithezien als *Cryptosporina* v. H. zusammengefaßt; in Fragm. 696 wird *Cryptosporina* 1911 ausdrücklich von *Cryptosporina* 1905 unterschieden; letztere ist entweder damit als aufgelassen betrachtet oder muß einen neuen Namen erhalten.

<sup>5)</sup> ebenda no. 692.

<sup>6)</sup> Ann. Myc. 1914 p. 182; vgl. 1915 p. 627.

<sup>7)</sup> Ann. Myc. 1912 p. 39; vgl. 1915 p. 631.

<sup>8)</sup> Ann. Myc. 1916 p. 450.

Die Art ist ausgegeben in Rick, F. austro-americ, 142. Sie gehört nicht zu den Hypocreazeen; abgesehen von den mehrzelligen Sporen ist sie vollständig gleich *Diplochorella*. Die kleinen schwarzen Peritheziengruppen brechen meist auf beiden Blattseiten zugleich hervor; das zwischenliegende Blattgewebe ist ziemlich stark von braunem Pilzparenchym durchsetzt. Die einzelnen Perithezien,  $180\text{ }\mu$  groß, sind von aufgeworfenem Blattgewebe in der unteren Hälfte umgeben, stoßen also jedes für sich durch die Deckschicht, wie es bei den Montagnelleen üblich ist; ihre Wand ist derb,  $22-25\text{ }\mu$  dick, nach unten sich in das Basalstroma fortsetzend, oben ohne Ostium, einfach mit rundlicher Öffnung aufbrechend, weich schneidbar, aus mehreren Lagen länglich-eckiger, etwas zusammengepreßter Zellen gebaut, in sehr dünnen Schnitten blaßviolett, sonst dunkel. Die gestreckten parietal-radialen Asken sind von dichten fädigen „Paraphysen“ umgeben, welche aber unter dem Scheitel zu einem kleinzeligen farblosen Parenchym zusammenschließen wie bei den Pseudosphaeriaen. Die Kollektion ist noch jung; viele Perithezien führen erst Konidien. Die Schlauchsporen sind  $15-18 \approx 2-3\text{ }\mu$  groß, vier- bis sechszellig, farblos.

*Phragmosperma* Theiß. et Syd. ist auf *Phr. Marattiae* begründet, welche äußerlich infolge der weniger eng stehenden Gehäuse abweicht, auch keine deutlichen „Paraphysen“ mehr hat, da sie stärker ausgereift ist.

29. *Hyalocurreya* Theiß. et Syd.<sup>1)</sup> ist eine Sphaerellazee mit divergentem Schlauchbüschel und verschleimenden Interthezialfasern; mit *Pleosphaerulina* zu vergleichen.

Ob die Unterschiede zwischen Sphaerellazeen (divergenter zentraler Schlauchbüschel, Interthezialfasern verschleimend) und Montagnelleen (konvergente parietale Plazenta, Fasern nicht verschleimend) praktisch zu halten sind, müssen weitere Untersuchungen lehren.

30. Auf *Dothidea Prostii* Desm. hat v. Höhnel eine neue Montagnelleen-Gattung *Haplotheciella* begründet<sup>2)</sup>. Wir konnten nur das in Roumeguère 3044 ausgegebene Exemplar untersuchen, welches eine nur konidial entwickelte Phyllachorazee darstellt (*Sphaeria Hellebori* Chaill. et Fr; Syll. F. I p. 553 sub *Didymella Hellebori*).

31. In der Gattung *Linospora* und *Ophiobolus* sind mehrere (vielleicht viele) Arten beschrieben worden, welche echte Sphaerellazeen sind.

— *Linospora Brunellae* Ell. et Everh. (N. Amer. Fig. 3120) stimmt in der Wachstumsweise wie im Bau des Nukleus vollkommen mit *Phaeosphaerella macularis* überein. Die Gehäuse sind unter der Epidermis des Blattes eingesenkt, kugelig,  $300-400\text{ }\mu$  groß, basal von wenigen graubraunen Hyphen umgeben; sonstiges Stroma ganz fehlend, auch jede Spur eines Clypeus; Scheitelpapille sehr kurz, stumpf, später abfallend. Schläuche

<sup>1)</sup> Ann. Myc. 1915 p. 640.

<sup>2)</sup> Berichte Deutsch. Bot. Gesellsch. 1917 p. 247.

in einem grundständigen Büschel, steif aufrecht, mit schleimigen Faserresten wie bei *Phaeosphaerella*. Mit *Linospora* hat die Art außer den fädigen Sporen nichts gemein.

— *Linospora conficta* (Cke.) Sacc. verhält sich nach einem Original von Harkness, auf *Quercus densiflora* in Californien, wie die vorige. Die Gehäuse waren etwas überreif; im oberen Drittel schon aufgelöst; der Schlauchbüschel noch steif aufrecht mit schon vollständig verschleimten Fasern, deren Reste nur noch tiefer unten zwischen den Asken zu finden waren; die Sporen erschienen in 8—9  $\mu$  lange Glieder septiert.

— *Ceuthocarpon sphaerelloides* Rehm<sup>1)</sup> haben wir nicht untersucht, nach der Beschreibung liegt aber offenbar ein ebenso gebauter Pilz vor.

— Die Gattung *Ophiobolus* mit ihren zahlreichen Synonymen wird wohl zu zerlegen sein; sie enthält sowohl Sphaerelleen mit divergentem Schlauchbüschel und streng fädigen farblosen Sporen als auch Pleosporen mit parietaler konvergenter Plazenta (wie bei *Leptosphaeria*) und braunen, lang stabförmigen vielzelligen Sporen, wie z. B. *Ophiobolus claviger* in Rehm's Ascom. 2085. Entscheidend ist der Typ der Gattung, *Ophiobolus disseminans* Ries.

32. *Montagnina* v. Höhnel<sup>2)</sup> wurde vom Autor anfänglich als Montagnellee aufgestellt, später<sup>3)</sup> für eine Cucurbitariee erklärt. Theißer und Sydow<sup>4)</sup> schlossen sich letzterer Auffassung an. Nunmehr ist es aber klar, daß sie eine Cucurbitariee nicht ist; der Bau der Gehäuse stimmt nicht mit *Cucurbitaria*, sondern mit den Sphaerelleen überein. Schwierig zu beurteilen ist die Anordnung der Schläuche, ob dieselben einen breiteren Büschel bilden (Sphaerelleen) oder eine verkürzte parietale Plazenta (Montagnelleen); die aufwärts gekrümmten peripherischen Schläuche scheinen mehr ersteres nahe zu legen, desgleichen die früh verschleimenden Interthezialfasern.

## II. Flechtenschmarotzer.

Die Flechten bewohnenden Sphaerelleen verdienen eine gesonderte Behandlung. Ob dieselben allein ihres Habitats wegen in eigene Gattungen zu stellen sind, ist bisher viel umstritten worden. Unseres Erachtens liegt dazu nicht der geringste Grund vor, ebensowenig wie für die farnbewohnenden Pilze oder solche auf Monocotylen. Wenn aber mit der Eigenart der Wirtspflanze meist auch bestimmte Eigenarten in Bau und Entwicklung des Pilzes verbunden sind, die Schmarotzer höherer Pflanzen nicht aufweisen, dann ist eine Abtrennung solcher flechtenparasitischer Parallelgattungen neben den Hauptgattungen durchaus berechtigt. Da unsere Gattungen doch einmal zum großen Teil auch von praktischen Erwägungen

<sup>1)</sup> Ann. Myc. 1912 p. 393.

<sup>2)</sup> Fragm. zur Myk X (1910) no. 488.

<sup>3)</sup> Fragm. XIV (1912) no. 769.

<sup>4)</sup> Ann. Myc. 1915 p. 187.

abhängen und nicht streng nach logischen wissenschaftlichen Gesichtspunkten gehandhabt werden, so dürften die Abweichungen solcher lichenogenen Parallelgattungen auch unterhalb der Summe von Abweichungen bleiben, die man sonst als Mindestmaß für zwei Gattungen verlangt.

Praktisch ist von vielen Autoren und besonders in der „Sylloge Fungorum“ eine weitgehende Abtrennung solcher Pilze schon erfolgt, ohne daß man sich Mühe gegeben hätte, die theoretischen Grundlagen dafür zu diskutieren. Wir führen hier eine Liste solcher Gattungen und Untergattungen auf, ohne auf Vollständigkeit Anspruch zu erheben.

1. Sporen einzellig, farblos.

- *Thelocarpon* Nyl. (1854) nach Syll. F. IX p. 946 = *Ahlesia* Fuck. (1869) = *Sphaeropsis* Flot. in Flora 1847 = *Thelomphale* Flot. apud Körb. (1865); Schläuche vielsporig. Typ von *Ahlesia* ist *A. lichenicola* Fuck. = *Thelocarpon Ahlesii* Rehm; Typ von *Thelomphale* ist *Th. Laureri* Flot. — Rehm und Lindau ziehen beide zu den Hypocreazeen<sup>1)</sup>.
- *Spolverinia* Mass. (1856) vgl. Syll. F. XVII p. 577; „halb oberflächlich, einsinkend, häutig, sehr klein, am Scheitel unregelmäßig zerbröckelnd. Sporen sehr groß. Ascii 1—2 sporig, ohne Paraphysen.“ Typ *Sp. punctum* Mass.
- *Paralaestadia* Sacc. subg. zu *Laestadia* (Syll. F. XVII p. 576); Typ. *P. verrucosa* (Wedd.) auf *Aspicilia*, Frankreich.
- *Sporophysa* Sacc. subg. zu *Physalospora* (Syll. XVII p. 586); Typ *Phys. insularis* (Mass.) auf *Aspicilia*, Norditalien. — Wie sich dieselbe von voriger unterscheiden soll, ist unklar.

2. Sporen einzellig, braun.

- *Anthostomaria* Sacc. subg. zu *Anthostomella* (Syll. XVII p. 595); Typ *A. apogyla*.
- *Müllerella* Hepp (1862) vgl. Syll. F. IX p. 495. „Paraphyses mucosae“; Schläuche vielsporig. Typ *M. polyspora* Hepp.

3. Sporen zweizellig, farblos.

- *Echinothecium* Zopf (1898) vgl. Syll. F. XVI p. 484; Typ *E. reticulatum*.
- *Arcangelia* Sacc. (1890) vgl. Syll. F. IX p. 696; Typ. *A. Hepaticarum* auf Lebermoos.
- *Didymellopsis* Sacc. subg. zu *Didymella*; vgl. Syll. XVII p. 657; Typ *D. latitans* (Nyl.); Traverso<sup>2)</sup> gebraucht dieselbe fälschlich als Untergattung von *Pharcidia*, vgl. diese.
- *Rhagadostoma* Körb. (1865) vgl. Syll. I p. 583 sub *Bertia*; Synonym *Neobertia* Trav.; Typ *Rh. corrugatum* Körb. = *Bertia lichenicola* DN.
- *Pharcidia* Körb. (1865) vgl. Syll. I p. 571 unter *Epicymatia*; IX p. 676 als eigene Gattung. Saccardo beschränkt die Gattung auf Formen mit zweizelligen farblosen Sporen und führt für die Arten mit mehrzelligen

<sup>1)</sup> Vgl. Natürl. Pflanzenfamil. I 1 p. 354.

<sup>2)</sup> Fl. ital. crypt. p. 657.

Sporen den Namen *Pharcidiopsis* ein. Typus von *Pharcidia* ist *Ph. congesta* Körb. (= *Epicymatia vulgaris* Fuck., *Pharcidia epicymatia* Wint.), welche jedoch nicht vierzellige Sporen besitzt, wie Saccardo und Winter (anscheinend gestützt auf den Ausdruck Körber's „sporae typice dyblasto tandem obsolete tetrablastae“) angeben, sondern wie wir uns selbst überzeugten, nur zweizellige Sporen besitzt. Auch Vouaux (Bull. Soc. Myc. France XXVIII, 1912, p. 227—228) spricht sich ganz entschieden für Zweizelligkeit der Sporen aus. *Epicymatia* Fuck. (1869) ist natürlich syn. zu *Pharcidia*.

- *Polycarpella* Theiß. et Syd. nov. gen. Typ *P. Cookiae* (Linds.) Theiß. et Syd. = *Mycosphaerella Cookiae* (Linds.) Sacc. et D. Sacc. Von den vorstehend aufgeführten Gattungen mit hyalinen zweizelligen Sporen durch viel-sporige Schläuche verschieden. Auf Thallus von *Lecanora crenulata* in England.

#### 4. Sporen zweizellig, braun.

- *Endococcus* Nyl. (1854) em. Sacc. Syll. F. XVII p. 681 als subg. zu *Tichothecium* mit achtsporigen Schläuchen.
- *Sorothelia* Körb. (1865) vgl. Syll. IX p. 728; Typ *S. confluenta*.
- *Sphaerellothecium* Zopf (1897) vgl. Syll. XVII p. 676 sub *Phaeosphaerella*; nach Traverso mit letzterer, nach Vouaux mit *Discothecium* Zopf identisch; Typ *Sph. araneosum* (Rehm sub *Epicymatia*) Zopf.
- *Discothecium* Zopf (1897) vgl. Syll. IX p. 724; Typ *Tichothecium stigma*; Schläuche achtsporig.
- *Polycoccum* Saut. (1865) apud Körb. Parerga p. 470; Typ *P. Sauteri* Körb. auf *Stereocaulon condensatum*, wird von Winter zu *Didymosphaeria*, von Vouaux zu *Discothecium* gezogen.
- *Tichothecium* Flotow (1850) vgl. Syll. IX p. 723. „Paraphyses mucosae indistinctae.“

Anfänglich weit gefaßt mit drei Abteilungen:

- I. Asken 4—8 sporig; Sp. zweizellig; in Syll. XVII p. 676 zu *Endococcus* gezogen.
- II. Asken vielsporig; Sp. zweizellig.
- III. Asken 4—8 sporig; Sp. vierzellig; in Syll. XVI p. 519 zu *Phaeospora* gezogen.

In Syll. XVII p. 676 und auch von Vouaux auf Abteilung II beschränkt; Typ scheint *T. pymaeum* zu sein.

- *Didymosphaeria* Fuck. ist hier einzuschalten, da deren Typ *D. Peltigerae* Fuck. ist! Die Revision dieser Gattung verspricht sehr interessante Ergebnisse.

#### 5. Sporen quer mehrzellig, farblos.

- *Sagediopsis* Sacc. subg. zu *Metasphaeria*; vgl. Syll. XVII p. 705; Typ *Met. Koerberi*.

- *Dichosporium* Pat. vgl. Syll. XVI p. 543; durch Wachstumsweise und Sporen ausgezeichnet.
- *Pharcidiopsis* Sacc. (Syll. XVII p. 646) als Gattung ohne Angabe einer Typusart und *Pharcidiella* Sacc. (Syll. XVII p. 695) als subg. von *Sphaerulina* mit *Sph. endococcoidea* (Nyl.) als Typ sind identisch, da beide nach Saccardo's eigenen Wörtern die *Pharcidia*-Arten mit mehrzelligen Sporen umfassen sollen. Außer der bereits genannten Art dürften hierher gehören *Pharcidia tabacina* Arn., *Pharcidia Schaereri* (Mass.) Arn., *Ph. Arthoniae* (Arn.) Wint., *Ph. parvipuncta* (Stein.) Wint.
- *Obryzum* Wallr. in Naturgeschichte der Flechten I, 1825, p. 253; Typ *O. corniculatum* (Hoffm.) Wallr. (Syll. XVII, p. 706 unter *Metasphearia* resp. *Sagediopsis*) soll hyaline, achtzellige Sporen, nach A. L. Smith (Monogr. Brit. Lich. II, p. 266) einzellige Sporen besitzen.

6. Sporen quer mehrzellig, braun.

- *Phacospora* Hepp emend. Zopf (1898) vgl. Syll. XVI p. 519; Typ *Ph. Catolechiae*.
- *Xenosphaeria* Trev. (1860) Conspectus Verrucar. p. 18 bei Sacc. Syll. F. XVII p. 730 als subg. zu *Leptosphaeria*.
- *Trematosphaeriopsis* Elenkin (vgl. Syll. XVII p. 735); Typ *Tr. parmeliana*.
- *Homostegia* Fuck. (1869) vgl. Syll. II p. 649; Typ *H. Piggotii* (B. et Br.) Karst.; die Identität der beiden letzten Gattungen ist noch unentschieden (vgl. Ann. Myc. 1915 p. 604).

7. Sporen mauerförmig, braun.

- *Merismatium* Zopf (1898) vgl. Syll. XVI p. 553; Typ *M. Lopadii* (Arn.) Zopf.
- *Heterophracta* (Nyl.) bei Sacc. Syll. XVII p. 746 als subg. zu *Leptosphaerulina*; Typ *L. heterophracta* (Nyl.); wurde wie vorige Gattung auf *Lopadium pezizoideum* gefunden.

8. Sporen mauerförmig, hyalin.

Hierher würde gehören:

- *Norrlinia* Theiß. et Syd. nov. gen. begründet auf *Verrucaria peltigericola* Nyl. (= *Pleospora peltigericola* Zopf in Hedwigia XXXV, 1896, p. 346, *Polyblastia peltigericola* Oliv. Parer. lich. Fr., p. 57; *Pleosphaerulina peltigericola* Vouaux auf *Peltigera canina* in Finnland. *N. peltigericola* (Nyl.) Theiß. et Syd. Asken zweiseiporig. Sporen groß, hyalin, mauerförmig.

In diese Gattung gehört vielleicht auch Fuckel's *Pleospora Peltigerae* mit achtsporigen Schläuchen.

9. Sporen fadenförmig.

- *Neolamya* Theiß. et Syd. nov. nom. Syn.: *Lamyella* Berl. in Ic. Fung. II p. 139 nec Fr. Typ *N. Peltigerae* (Mont.) Theiß. et Syd. mit vielsporigen Schläuchen. Von den von Vouaux (Bull. Soc. Myc. France 1913 p. 103) unter *Ophiobolus* aufgeführten Arten könnte die eine oder andere ebenfalls hierher gehören.

Nach unseren bisherigen Erfahrungen haben die Flechtenbewohner vielfach ein eigentümlich abgeändertes Stroma, was die generische Abtrennung im Verein mit praktischen Rücksichten (leichtere Übersicht u. a.) rechtfertigen würde. Ein durchgreifendes Studium dieser Frage müßte sich aber auch auf Pilze erstrecken; welche in Hutpilzen, im Stroma von Pyrenomyzeten (einschließlich Hypocreazeen) usw. wachsen, erstrecken.

— *Leptosphaeria lichenicola* Zopf<sup>1)</sup> auf *Solorina crocea* in Tirol wurde im Original aus dem Herbar Zopf's untersucht. Die kugeligen Gehäuse liegen dicht unter der Oberfläche dem Thallus eingesenkt, im Schnittpräparat 180  $\mu$  groß. Außer der Gehäusemembran ist keinerlei Stroma vorhanden. Die Membran ist oben dick (25—30  $\mu$ ), grünlich-blauschwarz, undeutlich kleinzellig, weich, fast hypocreazeen-artig, ohne echtes Ostium; abwärts wird sie schnell dünn, in der unteren Gehäusehälfte verschwindet sie bzw. ist sie von dem umgebenden Thallusgewebe nicht mehr zu unterscheiden. Bei der Reife klafft das Scheitelstroma auseinander, mit ihm die Oberfläche des Flechtenthallus; der Scheitel tritt dabei aber nicht merklich vor. Schon diese Wachstumsweise in Verbindung mit dem weichen grünblauen Membranstroma unterscheidet den Pilz von *Leptosphaeria*. Die Schläuche stehen der ganzen unteren Fläche auf, mit den Spitzen etwas konvergierend (nicht büschelig divergent); sie sind unersetzt zylindrisch, mäßig dickwandig, sehr kurz gestielt, einzeln durch zarte Platten feinfädiger farbloser Hyphen getrennt, die oben in das grünblaue Scheitelstroma einmünden. Die acht zweireihig gelagerten Sporen sind farblos, spindelförmig, nach unten verschmälert zugespitzt, 5—7-zellig,  $22 \times 6 \mu$ .

Ein ganz ähnlicher Pilz, nur mit angeblich größeren Sporen, scheint *Metasphaeria Croceae* (B. et Car.) zu sein<sup>2)</sup> wahrscheinlich auch alle Arten von<sup>3)</sup> *Xenosphaeria* Trev. (braunsporig) und *Pharcidia* Körb. (hyalinsporig).

— Ebenso weist auch die in Ann. Myc. 1915 p. 597 schon besprochene *Buellia cladonema* Wedd. (*Dothidea* Vouaux; *Phaeodothis* Theiß. et Syd.) eine ganz eigenartige Struktur des Stromas auf. Die Gehäuse bleiben eingesenkt, haben eine braune weiche Membran, welche sonst einer *Sphaerella*-Membran gleicht. Das schleierhaft den Flechtenthallus durchziehende Hyphenstroma, das nur durch eine dunklere Grenzlinie abgegrenzt erscheint, ist jedenfalls durch die Matrix mitbedingt, stellt aber objektiv einen besonderen Typ vor, so daß wir schon früher (a. a. O.) die Art nur mit Zweifeln an die Phyllachoreen anschlossen. Die richtige Stellung wäre nunmehr bei *Endococcus* Nyl. bei Sacc. Syll. XVI p. 681 oder *Sorothelia* Körb. zu suchen.

— *Rosellinia alpestris* Zopf<sup>4)</sup> hat ebenfalls Pseudosphaerieen-Nukleus. Die umgekehrt birnförmigen Gehäuse liegen ohne Stroma unter der Rinde

<sup>1)</sup> Hedwigia 1896 p. 358.

<sup>2)</sup> Vgl. Syll. Fung. XVII p. 706.

<sup>3)</sup> Hedwigia 1896 p. 314.

des Flechtenthallus, letztere etwas aufreibend, und später mit dem stumpfen Scheitel etwas vortretend,  $350\text{ }\mu$  hoch, 250 breit, nach unten wenig verschmälert; Membran dunkelbraun, aus mehreren Lagen elliptischer Zellen gebaut, in der Jugend innen ganz mit farblosem, zartem Parenchym erfüllt. Sporen kaffeebraun, einzellig. Für solche Pilze scheint, bisher keine Gattung zu existieren (*Müllerella* hat vielsporige Schläuche), wir nennen sie vorläufig:

**Adelococcus** Theiß. et Syd.

Flechtenschmarotzer. Fruchtkörper perithezienartig, eingesenkt, später wenig vortretend, dickwandig, schwarz, ohne sonstiges Stroma. Schläuche parietal konvergent, einzeln zwischen Bündeln interthezialer farbloser Fasern, achtsporig. Sporen braun, einzellig. — *Adelococcus alpestris* (Zopf) Theiß. et Syd. Die Gattung wäre mit *Anthostomaria* zu vergleichen. Zu dieser Gattung wird wohl auch *Müllerella thallophila* Arn.<sup>1)</sup> gehören; sie gleicht der vorigen vollkommen in Querschnitt, nur sollen die Schläuche nach der Beschreibung je 24—44 Sporen enthalten; wir fanden bei einem Exemplar aus Zopf's Herbar nur achtsporige Schläuche!

— *Endodothella Laminariae* (Rostr.) Theiß. et Syd.<sup>2)</sup> ist ebenfalls eine Pseudosphaeriee; ob sie zu *Arcangelia* oder *Didymellopsis* gezogen werden kann, muß die Untersuchung der Typen letzterer zeigen. Auf die durch die Eigenart des Algenthallus bedingten Abweichungen dieser Art (untypischer Clypeus, weiche längsfaserige helle Lokuli-Wand) wurde schon früher aufmerksam gemacht. Die „Paraphysen“ sind im Sinne der Pseudosphaerieen zu verstehen. Zu *Rhagadostoma* kann sie nicht gestellt werden, wie aus folgendem erhellt.

— *Bertia lichenicola* De Not.<sup>3)</sup> ist der Typ der Gattung *Rhagadostoma* Körb. (1865), mit welcher also *Neobertia* Trav. (1913) zusammenfällt. Wir untersuchten Exemplare aus Zopf's Herbar auf *Solorina crocea*. Die Oberfläche des Thallus weist  $\frac{1}{2}\text{ cm}$  große hügelige Wölbungen auf, aus welchen zahlreiche grobwarzige,  $\frac{1}{2}\text{ mm}$  breite, mattschwarze Scheitel hervorragen. Diesen grobhöckerigen Scheiteln entspricht je ein einzelnes großes eingesenktes Peritheziumpodium, welches  $\frac{1}{2}\text{ mm}$  hoch und breit ist und bei der Reife zu etwa  $\frac{1}{3}$  vorsteht. Die Perithezienvorwand ist sehr derb, kohlig schwarz,  $70-80\text{ }\mu$  dick, an der Basis fußartig verdickt und um den Scheitel herum ebenfalls ringförmig aufgefüllt. Die innersten Zellschichten sind konzentrisch hellfaserig, die nächsten bestehen aus hellbräunlichen weichen länglichen Zellen, die 3—4 äußeren aus dunkelbraunen eckigen, etwa  $18 \times 12\text{ }\mu$  großen Zellen; die Zellen der äußersten Lage besitzen stark verdickte Zellwände. Oben zwischen den benachbarten Perithezien sowie am Grunde derselben kriechen Gruppen von braunen knorrigen  $7-8\text{ }\mu$  breiten Hyphen

<sup>1)</sup> Vgl. Syll. F. XVII p. 593.

<sup>2)</sup> Ann. Myc. 1915 p. 582.

<sup>3)</sup> Vgl. Syll. F. I p. 583.

lose umher, basal sehr tief hinabreichend. Der Scheitel reifer Gehäuse ist aufgerissen, durch die Öffnung ragt der innere Faserbelag leicht kegelförmig hervor. Die Nukleushöhlung misst etwa  $330 \mu$  in der Höhe bei  $250-300 \mu$  Breite. Die Schläuche stehen der unteren Kugelhälfte auf, nach innen konvergierend. Die etwas überreifen Gehäuse ließen die Ascogenese nicht mehr klar erkennen, die Zwischenfasern glichen jedoch vollkommen denen typischer Pseudosphaerieen mit wenig verschleimenden Interthezialfasern.

— *Trichothecium* Flot. wurde nicht untersucht. Typ derselben scheint *T. pygmaeum* zu sein. Eine Varietät dieser, *microcarpon* Arn.<sup>1)</sup>, die später als eigene Art abgetrennt wurde<sup>2)</sup>, wurde von C. Mäule in dem Aufsatze „Zur Entwicklungsgeschichte von *Trichothecium microcarpon* Arn.“<sup>3)</sup> genauer beschrieben; aus seinen Ausführungen und Zeichnungen geht klar die Pseudosphaerieen-Natur des Pilzes hervor. Die Sporen gelangen durch Überwachsen des Flechtenthallus in das Hypothecium und entwickeln sich

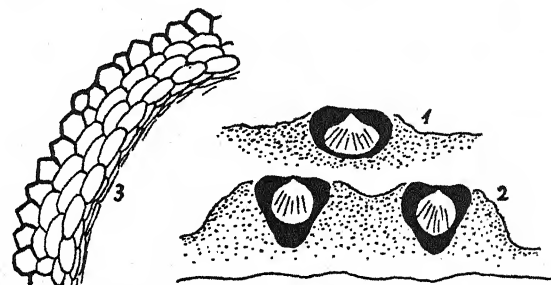


Fig. 5. 1. *Müllerella thallophila* Arn., Flechtenthallus mit einem Gehäuse.  
2. *Bertia lichenicola* De Not., Flechtenthallus mit zwei Gehäusen.  
3. Dieselbe, Stück der Gehäusewand.

dort vorerst zu kleinen kugeligen Parenchymkörpern; von hier aus steigen sie in dem fortwachsenden Thallus aufwärts bis in das ascogene Gewebe, wo nunmehr die Weiterentwicklung der jungen Gehäuse einsetzt. Die Parenchymkugel wächst oben birnförmig aus, bis sie die Oberfläche des Thallus erreicht, während gleichzeitig im bauchigen unteren Teil, mitten im massiven Parenchym und von diesem stets eng umschlossen, der Nukleus heranwächst, auf Kosten des allmählich resorbierten Parenchyms. Ein freier Nukleusraum über den Schläuchen ist in Mäule's Figuren nirgends zu sehen; über den Schläuchen schließt sich unmittelbar das massive Scheitelparenchym an. Das ist die Entstehungsweise der Dothideen und Pseudosphaerieen, wenn auch Mäule begreiflicherweise die damals noch unbekannten Interthezialfasern unerwähnt lässt. Wie sich die übrigen phaeodidymen Gattungen *Endococcus*, *Sorothelia* und *Discothecium* zu *Trichothecium* verhalten, müßte noch untersucht werden.

<sup>1)</sup> Syll. F. IX p. 723.

<sup>2)</sup> Syll. F. XVII p. 676.

<sup>3)</sup> Berichte D. Bot. Gesellsch. VIII, 1890, p. 113 ff.

### Zusammenfassung.

Wir haben nun die Hauptfragen gestreift, die bei der Ausgestaltung der Pseudosphaerien ins Auge zu fassen sind und wiederholen, daß obige Ausführungen mehr eine Beleuchtung der sich erhebenden systematischen Probleme, ein Hinweis auf die nächsten Arbeitsziele sind als eine dogmatische Festlegung des Stoffes.

Wir unterscheiden *Dothideales* und *Pseudosphaerales*, je nachdem viele perithezienartige kugelige Nuklei in einem Stromakörper eingesenkt sind, oder nur einzeln auftreten; in letzteren Falle ist auch der ganze Fruchtkörper einem einfachen Perithezium ähnlich. In beiden Ordnungen, die sich verwandtschaftlich sehr nahe stehen, sind mehrere Familien zu unterscheiden, deren Abgrenzung in erster Linie auf dem Lageverhältnis zur Nährpflanze beruht, in zweiter Linie auf der Art des Hypostomas; über die Verschiedenheit der Schlauchlagerung bei Pseudosphaerien (Montagnelleen) und Sphaerellen sowie über die systematische Bedeutung dieses Unterschiedes sind weitere Untersuchungen vonnöten. Die mutmaßliche Gliederung der Familien mag in folgendem Schema zum Ausdruck kommen, mit anschließender sporologischer Tabelle der wichtigeren Gattungen der *Pseudosphaerales*.

	Dothideales (Compositae)	Pseudosphae- riales (Simplices)
I. Epiphytisch frei . . . . .	—	Epipolaeaceae
II. Oberflächlich aufgewachsen . . . . .	Leveillellaceae	Parodiellaceae
III. Oberflächlich, mit zentralem Fuß eingewachsen . . . . .	Coccoideaceae	— (Monopus)
IV. Eingesenkt, mehr weniger vorbrechend		
1. Membran dick, ungleichartig		
a) Fruchtkörper einzeln, ohne Stromaplatte . . . . .	—	Pleosporaceae
b) Fruchtkörper rasig, auf gemeinsamer Stromaplatte . . . . .	—	Cucurbitariaceae
2. Membran gleichartig . . . . .	Dothideaceae	
a) rasig gemeinsam vorbrechend, mit Stromaplatte . . . . .	—	Botryosphaeriaeae
b) einzeln vorbrechend (wenn auch rasig wachsend) ohne Stromaplatte	—	
a) Schläuche auf breiter Grundplazenta, nach oben konvergierend .	—	Pseudosphaeriaceae (Montagnelleen)
b) Schläuche in zentralem Büschel, divergent . . . . .	—	Sphaerellaceae

Sporen	1. Epipodaceae	2. Parodiellaceae	3. Botryosphaeraceae	4. Pseudosphaerales + Montagnellaceae	5. Sphaerellaceae	6? (Lichenicolae)	7. Pleosporaceae	8. Cucurbitariaeae
1-zellig farblos	Pilgeriella	Epiphylyma	Botryosphaeria	Haplodictium- Montagnellina Pyrenella-Cryptosporidia		Thelecarpon Sporvinia Parasatadia Sporoplysa		
1-zellig braun			Phaeobotryon			Anthostomaria Adelococcus Mullerella		Cucurbitariella (sfr. Phaeobryon)
2-zellig farblos	Lasiosstemma	Rossenscheldella?	Dibotryon (Monopus?)	Haplodictis-Pseu- daspergilla Diplochorella Cycloctothrix Sorribachora	Mycosphaerella	Echinothecium Arxanella Didymostoma Rhagodistoma Pharcidia Polyergella	Ottelia	
2-zellig braun	Epipoleum		Crotone	Phaeosphaerella Teratosphaeria	Sphaerellomyces	Endoococcus Sorochelli Tichudictium Discothecium Polyopodium	Oithia Gibberella	
mehrzellig farblos	Phaneroctonus		Phragmosperma	Sphaerulina?	(Phaeodiscopsis, Sage- diopsis) Dictyosporium			
mehrzellig braun			Montaguella	Phaeosporea Xenosphaeria Homotegnia (Trematosphaeropsis)		Metasphearia		
mehrzellig farblos			Haloturreya	Placosphaerulina Norfolkia		Leptosphaeria (Scleropilella)	Gibberidae	
mauerför- mig braun			Curvexys Epibolys		Merismatum Heterophracta	Pleospora		
fälig	Opionosiolka		Ophiocarpella		Neolanya	Ophiobolus?	Ophiobolus?	

## Mycologische Fragmente<sup>1)</sup>.

Von Prof. Dr. Franz v. Höhnel in Wien.

### CXCI. Über *Phomatospora ovalis* (Passerini) Sacc.

Der von Passerini in Nuovo Giorn. bot. ital. 1872, IV. Bd., p. 296 als *Sphaeria ovalis* beschriebene Pilz ist in der Syll. Fung. I. Bd., p. 433 als *Phomatospora* angeführt. Das Originalexemplar ist in Erb. crittog. ital. Ser. II. No. 642 ausgegeben. Der Pilz soll angeblich in Gesellschaft von *Heterosphaeria Patella* auftreten. Passerini macht keine näheren Angaben über die Schläuche, da sie angeblich leicht zerfließen und schwer sichtbar sind. Tatsächlich existieren dieselben gar nicht, denn das Originalexemplar zeigte mir, daß der Pilz eine in den *Heteropatella lacera*-Pykniden schmarotzende Sphaeroidee ist. Auf den entrindeten *Daucus*-Stengeln sieht man in Menge die *Heterosphaeria Patella* unreif und dabei die zum Teile reife und normale *Heteropatella lacera* sitzen. Man bemerkt nun, daß ein großer Teil der *Heteropatella*-Pykniden eine mehr als gewöhnlich gestreckte Form hat. Schnitte durch diese länglichen Pykniden, welche eben Passerini als *Sphaeria ovalis* beschrieben hat, zeigen, daß in jeder eine blaßbraune, rundliche oder längliche, etwas flachgedrückte, etwa 300  $\mu$  lange, 160  $\mu$  dicke, zarthäutige Pyknide eingewachsen ist, welche man leicht herausquetschen kann. Diese Pykniden haben oben eine niedrige Papille mit einem etwa 40  $\mu$  weiten Ostium und eine 8—10  $\mu$  dicke Membran, die aus mehreren Lagen von kleinen zarthäutigen Parenchymzellen besteht. Innen sind sie mit einfachen, 8—16  $\cong$  2—3  $\mu$  großen Trägern auskleidet, die an der Spitze die einzeln stehenden, hyalinen, elliptischen bis zylindrisch länglichen, einzelligen, 9—20  $\cong$  4—6  $\mu$  großen Konidien bilden. Diese haben einige Ölträpfchen im reichlichen Plasma und füllen die Pykniden dicht aus. Von biologischem Interesse ist die Tatsache, daß der Schmarotzer einen merklichen Einfluß auf den Bau der *Heteropatella*-Pykniden ausübt. Während nämlich die nicht infizierten *Heteropatella*-Pykniden eine Wandung haben, die unten parenchymatisch

1) Fortsetzung von Ann. Myc. 1917 No. 5 p. 383.

und oben radiär parallelfaserig ist, welche zur Reifezeit radiär einreißend sich zähnig-lappig weit öffnet, ist die Wandung der infizierten Pykniden bis zum Scheitel parenchymatisch gebaut und bildet oben ein rundliches 40—50  $\mu$  weites Ostium.

So wie *Cryptophaeella* v. H. (Sclerophomoe) in Pykniden und Perithezien, *Lichenosticta* Zopf auf Flechten und *Cicinnobolus* Ces. in Mehltauhyphen schmarotzt, so handelt es sich auch hier um einen Schmarotzer in Pykniden.

Ich stelle für denselben die neue Gattung *Mycosticta* auf, die nach der obigen Beschreibung leicht zu fassen ist. Der Pilz hat demnach *Mycosticta ovalis* (Pass.) v. H. zu heißen.

Da die Mykologen ihre Bestimmungen meist ohne Kenntnisnahme der Originalexemplare ausführen, ist es klar, daß die seither als *Phomaespora ovalis* (Pass.) bestimmten Funde andere Pilze sein müssen.

Der in Rehm, Ascomyc. exs. No. 1523 unter diesem Namen ausgegebene Pilz ist auch kein einfacher Pilz, sondern besteht aus alten entleerten Perithezien von *Leptosphaeria dolioloides* in welchen eine *Hyponectria* schmarotzend lebt. Die Perithezien der *Hyponectria* sind blaß bis schwach bräunlich und füllen die der *Leptosphaeria* ganz aus. Ihre Membran besteht aus zartwandigen undeutlichen Parenchymzellen. Oben ist eine Mündungspapille, die in die oft kurz zylindrische Mündungspapille der *Leptosphaeria* eindringt und nicht oder nur wenig vorsteht. Die Schlüche sind sehr zartwandig, geben mit Jod keine Färbung, sind zylindrisch oder seltener spindelig-keulig und 55—72  $\times$  3—8  $\mu$  groß. Die hyalinen, einzelligen elliptischen oder einseitig abgeflachten selten sogar etwas gekrümmten, zarthäutigen Sporen zeigen einen homogenen Inhalt und sind 7—9  $\times$  3—4  $\mu$  groß. Sie stehen in den Schlüchen meist gerade oder schief einreihig, seltener  $1\frac{1}{2}$  reihig. Paraphysen sind wohl vorhanden, fälig, meist aber schwer sichtbar.

Der Pilz hat *Hyponectria* (*Cryptonectriopsis*) *biparasitica* v. H. zu heißen. Er führt dieselbe Lebensweise, wie die *Nectriella biparasitica* (v. H.) Weese (Ann. Myc. 1903, I. Bd., p. 395 und 1914, XII. Bd., p. 152), die *Debaryella hyalina* v. H. (Ann. Myc. 1904, II. Bd., p. 274) und die *Passerinula candida* Sacc.

Da es doch zweckmäßig ist, die in Perithezien oder Pykniden schmarotzenden einfachen Nectriaceen von den übrigen zu scheiden, stelle ich für die *Hyponectria biparasitica* die Sektion oder Untergattung *Cryptonectriopsis* und für die *Nectriella biparasitica* die Sektion *Cryptonectriella* auf.

#### CXCII. Über die Gattung *Clintoniella* Saccardo.

In der Syll. Fung. 1883, II. Bd., p. 532 stellte Saccardo für jene *Hypocrea*-Arten, welche zweizellige Sporen haben, die nicht in ihre zwei Hälften zerfallen, die Abteilung *Clintoniella* auf. In Hedwigia 1900, 39. Bd., p. 223 erklärte Rehm, daß *Clintoniella* von *Hypocrea* ganz verschieden ist und als eigene Gattung festzuhalten ist. In der Syll. Fung. XVI. Bd., 1902, p. 588 erscheint nun *Clintoniella* als Gattung.

Hier erscheint als Grundart die *Cl. rhytidospora* (Ces.) Sacc. et Syd. Diese hat aber gelbe, eiförmige, runzelige, einzellige Sporen. Sie entspricht daher gar nicht der Gattungsbeschreibung, nach der die Sporen zweizellig und hyalin sein sollen. Sie ist offenbar nur aus Unachtsamkeit als erste Art angeführt und kann nicht als *Clintoniella* betrachtet werden.

In der Syll. Fung. 1883, II. Bd., p. 532 wird als erste *Clintoniella*-Art, *Hypocrea apiculata* Peck angeführt. Diese ist aber nach der Beschreibung, insbesondere nach der Sporenform ein *Hypomyces*. Sie wird in der Tat von dem Bearbeiter der nordamerikanischen Hypocreaceen Seaver in Mycologia 1910, II. Bd., p. 73 als *Hypomyces* angeführt. Betrachtet man daher diese Art als die Grundart von *Clintoniella* Sacc. 1883 (non 1902), so ist diese Gattung gleich *Hypomyces* (Fries) Tul. 1860, wie auch Seaver l. c. p. 71 annimmt.

Die übrigen *Clintoniella*-Arten gehören in verschiedene Gattungen.

*Hypocrea corticioides* B. et Br. ist nach der Beschreibung wahrscheinlich eine *Nectria*, da die Perithezien zum Teile oberflächlich am Stroma stehen.

*Hypocrea fusigera* ist nach den Angaben von Petch (Ann. R. Bot. Gard. Peradeniya 1910, IV. Bd., p. 426) ein *Hypocreopsis* mit  $72-110 \approx 11-13 \mu$  großen, zweizelligen, hyalinen Sporen, vielleicht eine eigene Gattung.

*Hypocrea viridans* B. et C. ist nach Patouillard (Bull. Soc. myc. France 1891, VII. Bd., p. 48) eine *Aschersonia*.

*Hypocrea impressa* Mont. hat nach Patouillard (l. c. p. 47) eiförmige, zweizellige, hyaline  $10 \approx 5 \mu$  große Sporen; wird nach der Beschreibung ein *Hypocreopsis* Karst. sein.

*Hypocrea (Clintoniella) longicollis* Penz. et Sacc. (Icon. Fung. jav. 1904, p. 53 taf. 36) ist vielleicht nichts anderes als eine Form von *Endothia gyrosa* (Schw.), deren Tropenformen sehr verschiedenartig entwickelt sind. Siehe Petch in Ann. R. Bot. Gard. Peradeniya 1907, IV. Bd., p. 59.

*Hypocrea (Clintoniella) incarnata* Pat. et Har. (Bull. soc. myc. France 1906, XXII. Bd., p. 120) ist nach der Beschreibung ein *Hypocreopsis*.

*Hypocrea Euphorbiae* Patouillard (Bull. soc. myc. France 1895, XI. Bd., p. 228) hat nach der Beschreibung halb vorragende Perithezien und ist wahrscheinlich nur eine *Nectria*.

*Clintoniella Paulliniae* Rehm (Hedwigia 1900, 39. Bd., p. 223) unterscheidet sich von allen vorstehenden Arten dadurch, daß es ein Blattschmarotzer ist. Ich habe den Pilz nicht gesehen aber in dem als *Calloria quitensis* Pat. (Bull. soc. myc. France 1892, VIII. Bd., p. 126) beschriebenen und in Rehm, Ascomyc. exs. No. 1059 ausgegebenen Pilze eine Form erkannt, die sich offenbar ganz so verhält, wie die *Clintoniella Paulliniae* R.

Der Pilz schmarotzt auf den lebenden Blättern einer *Galium*-Art. In dem Blattgewebe befindet sich ein hyalin-parenchymatisches interzellulares Stroma, das blattunterseits hervorbricht und ein weichfleischiges, polsterförmiges oberflächliches Schlauchstroma entwickelt, in dem unmittelbar

unter der Oberfläche zahlreiche kugelige, hyaline, etwa 60—80  $\mu$  große Perithezien eingelagert sind. Das Stromagewebe ist unten kleinzelig parenchymatisch und zwischen den Perithezien parallelfaserig. Paraphysen anscheinend fehlend. Sporen zweizellig, hyalin. Schläuche spindelig-keulig, achtsporig. Schlauchstromata mit stark verschmälerter Basis aufsitzend.

Diese zwei Pilze können nicht als *Hypocreopsis*-Arten aufgefaßt werden.

### *Phyllocrea* n. G.

*Hypocreacee*. Blattschmarotzer. Hypostroma parenchymatisch, interzellulär. Schlauchstroma oberflächlich, polsterförmig, weichfleischig mit stark verschmälerter Basis aufsitzend, blaß oder lebhaft gefärbt. Perithezien ganz oder halb eingesenkt, mit flachem kleinem Ostium. Schläuche keulig-spindelig, achtsporig. Paraphysen anscheinend fehlend. Sporen zweizellig, hyalin.

Grundart: *Phyllocrea quitenensis* (Pat.) v. H.

Syn.: *Calloria quitenensis* Patouillard 1892.

Zweite Art: *Phyllocrea Paulliniae* (Rehm) v. H.

Syn.: *Clintoniella Paulliniae* Rehm 1900.

### CXCIII. Über *Phellostroma hypoxyloides* Sydow.

Die Untersuchung dieser in Philip. Journ. Science., Sect. C. Botany 1914, IX. Bd., p. 185 beschriebenen Grundart, zeigte mir, daß dieselbe keineswegs eine Nebenfrucht ist, sondern zweifellos eine überreife Hypocreacee mit bereits aufgelösten Schläuchen. Die unregelmäßigen Stromata brechen hervor und liegen dann ganz oberflächlich auf. Die Ausbruchstelle derselben ist verhältnismäßig klein, das eingewachsene Hypostroma ist parenchymatisch, und gut entwickelt. Wo das Stroma dünner, etwa 0·7 mm dick ist, ist es ganz dicht parenchymatisch, aus dünnwandigen, rotbraunen, etwa 5—10  $\mu$  großen eckigen Zellen aufgebaut. An solchen Stellen liegen die bis 400  $\mu$  breiten rundlichen Perithezien an der Basis in einer Lage. Wo dasselbe jedoch dicker, bis 1·8 mm hoch ist, liegen die Perithezien mitten im Stromagewebe unregelmäßig einreihig und ist das Stromagewebe über denselben parenchymatisch, darunter jedoch locker filzig, aus 2—4  $\mu$  breiten hyalinen bis rotbraunen Hyphen, die sich nach allen Richtungen kreuzen, bestehend. Die Perithezien haben eine 30—40  $\mu$  starke Membran, die aus vielen Lagen von dünnwandigen rotbraunen, stark zusammengepreßten, 8—20  $\mu$  großen Zellen besteht. Sie gehen oben rasch in einen, verschieden, bis 800  $\mu$  langen Hals über, der das Stromagewebe durchsetzt und auf einer niedrigen Warze auf der Stromaoberfläche mit einem rundlichen 40  $\mu$  weiten, mit Periphysen versehenen Ostium mündet. Das Stromagewebe ist weich, zerreiblich-korkig und leicht schneidbar. Der ganze Pilz ist aber alt und überreif und war jedenfalls fleischig und ursprünglich lebhaft gefärbt. Die Schläuche sind schon völlig aufgelöst und

das Lumen der Perithezien ist ganz mit den hyalinen Sporen und unregelmäßig verzweigten hyalinen Hyphen ausgefüllt, wie dies bei überreifen Perithezien meist der Fall ist. Die Sporen sind ihrer Form und Beschaffenheit nach zweifellos Schlauchsporen und keine Konidien, daher auch keine Träger zu finden sind. Die Schläuche waren vielleicht zylindrisch, da man nicht selten einige Sporen in kurzen Reihen liegend ant trifft. Es ist möglich, daß der Pilz mit *Balsania* Speg. oder *Selinia* verwandt ist, scheint aber wahrscheinlicher, daß es eine *Hypocrella*, mit in einzellige Glieder zerfallenden Sporen ist (*Möllerella* Bres.).

Als Nebenfruchtgattung ist jedoch *Phellostroma* zu streichen.

#### CXCIV. *Kriegeriella* v. H. n. G.

Microthyriaceen. Subiculum vorhanden, ohne Hyphopodien. Thyrothezien häufig, spitz kegelig, fast ebenso hoch bis höher als breit, oben oft kurz zylindrisch vorgezogen, abgestutzt und sich rundlich öffnend. Paraphysen fehlend. Schläuche breit bauchig, nicht in Schleim eingebettet, wenige, achtsporig. Sporen keulig zylindrisch, braun, mit einigen Querwänden.

Die Gattung ist mit *Schenckella* P. Henn. (Fragm. No. 598, XII. Mitt. 1910) zunächst verwandt. Bei *Schenckella* sind zahlreiche breit keulige Schläuche und deutliche Paraphysen vorhanden, beide in viel Schleim eingebettet. Die Thyrothezien sind flach, reißen oben weit lappig auf, so daß die Schlauchschicht ganz entblößt wird.

#### *Kriegeriella mirabilis* v. H. n. sp.

Subiculum deutlich, aber locker, aus 2—3  $\mu$  breiten, braunen, langgliedrigen, ziemlich gerade verlaufenden, gegen- und wechselständig verzweigten Hyphen, ohne Hyphopodien bestehend. Thyrothezien zerstreut, häufig in Reihen stehend, schwarz, kegelig, oben meist kurz zylindrisch etwas vorgezogen, ebenso hoch oder etwas höher als breit, oben abgestutzt und sich rundlich 30—35  $\mu$  weit öffnend, 100—150  $\mu$  breit, 100 bis 160  $\mu$  hoch. Thyrothezienmembran durchscheinend dunkelbraun häufig, oben fast opak, aus einer Lage von radiär-parallel verwachsenen, braunen, dünnwandigen 2—4  $\mu$  breiten Hyphen mit 6—12  $\mu$  langen Gliedern bestehend. Rand glatt, nicht gewimpert. An der Mündung ist die Membran schmal zurückgebogen. Einzelne Hyphen des Subiculums laufen über die Thyrothezien. Basalmembran und Paraphysen fehlend. Schläuche nur einer bis drei, nicht im Schleim eingebettet, achtsporig, unten kaum gestielt und dickbauchig, oben kurz zylindrisch vorgezogen und abgerundet, derbwändig, 68—80  $\times$  32—40  $\mu$  groß. Jod zeigt nur viel Glycogen an und gibt keine Blaufärbung. Sporen geballt, gerade, zylindrisch-keulig, oben breiter mit abgerundeten Enden, reif schön hellbraun, dünnhäutig, 30 bis 35  $\times$  9—10  $\mu$  groß, fast stets sechszellig, die Endzellen sind etwas länger (7—9) als die mittleren.

Auf faulenden Nadeln der Weißföhre bei Königstein in Sachsen, September 1896, leg. W. Krieger.

Eine sehr bemerkenswerte Form. Die zweite Art der Gattung nähert sich durch die nicht so hohen Thyrothezien und die zahlreicheren Schläuche den gewöhnlichen Microthyriaceen-Formen.

### Kriegeriella transiens v. H. n. sp.

Subiculum ohne Hyphopodien, locker netzig, aus schmutzig violetten 2—2.5 µ, langgliedrigen, wenig verzweigten, ziemlich gerade verlaufenden Hyphen bestehend. Thyrothezien zerstreut, häufig in Reihen, kegelig, außen etwas rauh, 120—240 µ breit, 80—100 µ hoch, häufig, am Rande von vorstehenden Hyphenenden schwach gekerbt, ohne Basalmembran. Spitze nicht vorgezogen, mit 20 µ weiter rundlicher Öffnung. Membran aus einer Lage von geraden, septierten radiär-parallel verwachsenen dunkelbraunen, 2—4.5 µ breiten Hyphen bestehend. Paraphysen und Schleimbildung fehlen. Schläuche etwa 6—10, unten dickbauchig, oben etwas abgerundet vorgezogen, achtsporig, derbwandig mit Jod sich nicht färbend, 60—64 = 24—28 µ groß. Sporen meist 5-zellig, seltener 4-zellig, oben breiter, länglich keulig mit abgerundeten Endzellen, 24—28 = 7—9 µ. Die obere Zelle ist 8—10 µ hoch, die folgenden 3—4 µ. Reife Sporen schon in den Schläuchen, durchscheinend braun.

Auf morschen Nadeln von *Pinus uncinata* auf dem Fichtelberge, Sachsen, August 1900, leg. W. Krieger.

Steht der vorigen Art in allen Einzelheiten sichtlich nahe und ist vielleicht nur eine Gebirgsform derselben, die allerdings leicht unterscheidbar ist.

### CXCV. Über die Gattung *Parodiopsis* Maublanc.

Wurde aufgestellt in Bull. soc. myc. France 1915, 31. Bd., p. 4 für die *Sphaeria melioides* Berk. et Curt. (Journ. Linn. Soc. 1869, X. Bd., p. 387). Der Pilz stand früher bei *Parodiella*, *Rosellinia*, *Nectria*, *Dimerosporium* und *Dimerium* und wurde trotz seiner auffallenden Beschaffenheit noch fünfmal als neue Art beschrieben (s. Theissen in Beih. bot. Centralbl. 1912, 29. Bd., Abt. II, p. 49 und Ann. myc. 1917, XV. Bd., p. 133).

Der Pilz ist daher oft untersucht worden; zuletzt von Theissen (Ann. myc. 1916, XIV. Bd., p. 403). Indessen ist es auch diesem nicht gelungen, die wahre Beschaffenheit und daher Stellung des Pilzes zu erkennen. Derselbe betrachtet den Pilz als echte Perisporiee. Behandelt man jüngere Perithezien mit Kalilauge, so lößt sich der ziegelrote Farbstoff mit schön violetroter Farbe auf und wird von dem Plasma der unreifen Schläuche aufgenommen, deren Inhalt dann prächtig gefärbt erscheint. Schnitte durch unreife Perithezien zeigen, daß die Schläuche zunächst voneinander getrennt in einem hyalinen, ziemlich kleinzelligen Parenchym liegen, dessen Zellwände stark verschleimt und dick sind. Bei der Entwicklung der

Schläuche wird dieses schleimige Parenchym von denselben aufgezehrt und es bleiben nur die plasmatischen Inhalte der Zellen in Form von Körnchen übrig. Daher erscheinen in reifen Perithezien zwischen den Schläuchen verschieden geformte Körnchen.

Nicht selten sieht man aber die reifen oder halbreifen Schläuche von zahlreichen dünnen, hyalinen verzweigten Hyphen umgeben und eingesponnen, die man leicht für Paraphysen halten kann. Diese Hyphen röhren aber gewiß von fremden eingedrungenen Pilzen her.

Erwärmst man noch unreife Perithezien mit Kalilauge, so bemerkt man, daß das obere Drittel oder Viertel derselben aus mehr weniger verschleimten Zellen besteht, die in der Lauge hyalin werden und anquellen. Aber auch die Zellen des unteren Teiles der Perithezien sind etwas gelatinös, wenngleich sie nicht verschleimen. Solche in Lauge liegende Perithezien zeigen oben eine fast hyaline Kuppe, die allmählich in den unteren olivbraun zelligen Teil der Perithezien übergeht. Axialschnitte durch reife Perithezien zeigen sehr häufig, daß der oberste Teil der Perithezien fehlt, so daß man den Eindruck empfängt, daß ein Discomycet vorliegt. Offenbar ist dieser Teil durch allmäßliche Verschleimung verschwunden. An gutem Material kann man diesen Vorgang des Verschwindens des oberen Drittels der Perithezien ganz gut verfolgen. Ich fand Schnitte, die den schleimigen Zerfall der Membran deutlich zeigten.

Danach verhielt sich der Pilz so wie eine Englerulacee. Bei diesen findet öfter, z. B. bei *Schiffnerula* auch nur eine unvollkommene Verschleimung der Perithezienmembran statt. Indessen kann der Pilz nicht als Englerulacee betrachtet werden, denn diese haben eine einzellschichtige Perithezienwandung, während *Parodiopsis melioloides* eine 30—35  $\mu$  dicke Wandung hat, die aus 4—5 Lagen von offenen, sehr stark knorpelig verdickten Zellen besteht.

Der Pilz hat nach dem Gesagten einen Nukleus, der pseudosphaeriaeen-artig gebaut ist, ganz so wie die Capnodiaceen. Auch das Subiculum ist so beschaffen wie bei vielen Capnodiaceen.

Daher ist die Gattung *Parodiopsis* Maubl. zu diesen zu stellen.

Allem Anschein nach ist *Risalia fasciculata* Syd. (Ann. Myc. 1914, XII. Bd., p. 546) ein Pilz, der sich ähnlich verhält, von dem es in der Beschreibung heißt, daß er sich oben unregelmäßig öffnet. Vielleicht ist auch hier die Öffnung mit einem örtlichen Verschleimungsvorgang verbunden, was nachzuprüfen wäre.

Danach gibt es auch Capnodiaceen mit teilweise verschleimenden Perithezienmembranen. Eine solche ist auch *Cleistosphaera* Syd.

#### CXCVI. Über die Gattung *Aithaloderma* Sydow.

Von *Aithaloderma clavatisporum* Sydow, der Grundart der Gattung, kenne ich nur die Beschreibung mit Abbildung in Ann. Myc. 1913, XI. Bd.,

p. 257. Nach dieser muß die Gattung in der Tat als Capnodiacee betrachtet werden.

Die von mir untersuchte *Aithaloderma longisetum* Syd. (Ann. Myc. 1914, XII. Bd., p. 545) ist ebenfalls eine Capnodiacee mit schönen, oft verzweigten *Microxyphium*-artigen Pykniden.

Eine dritte Art der Gattung ist *Asteridium peribebuyense* Speg., nach meiner Beschreibung in Fragm. No. 358 (VIII. Mitt. 1909), bei dieser Art sind die Perithezien bald beborstet bald kahl. Es wird daher die Beborstung der Perithezien bei der Gattung *Aithaloderma* nicht gut als Gattungsmerkmal betrachtet werden können.

Eine vierte Art ist *Limacinia spinigera* v. H. (Fragm. No. 101, III. Mitt. 1907). Diese hat beborstete Perithezien, *Microxyphium*-Pykniden und hyaline, 3—4-zellige Sporen, ist daher keine *Limacinia*, die braune Sporen hat (und nicht hyaline, wie Theissen (Verh. zool. bot. Ges. Wien 1916, LXVI. Bd., p. 364) nach Saccardo, Syll. Fung., XIV. Bd., p. 475 angibt).

*Limacinia* Neger hat so wie *Scorias* Fries ein sehr dickes, schleimiges und schwammiges Myzel. *Limacinia* hat schwarze ledrige Perithezien, hingegen *Scorias* (angeblich) gelatinöse Perithezien und hyaline vierzellige Sporen.

*Aithaloderma peribebuyense* (Speg.) v. H. und *A. spinigerum* v. H. stehen den beiden erstgenannten Arten nahe.

#### CXCVII. Über *Cleistosphaera macrostegia* Sydow.

Der Pilz wurde in Annal. Myc. 1916, XIV. Bd., p. 74 als Perisporiacee mit kugligen Perithezien und hyphopodialen Subiculum beschrieben.

Derselbe ist jedoch eine mit *Pilgeriella*, *Perisporina* und *Perisporiopsis* verwandte Form, nämlich eine Capnodiacee mit pseudosphaeriaceenartigem Nukleus.

Die Fruchtkörper sind nicht kugelig, sondern aufrecht eiförmig, etwa 100  $\mu$  breit und 130—140  $\mu$  hoch. Sie sitzen dicht rasig gedrängt den Basalhyphen des oberflächlichen Subiculums bald mit einem nur 10  $\mu$ , bald 20—50  $\mu$  langen, 2—3-zelligen, 11  $\mu$  dicken dunkelbraunem Stiel auf. Die großzellig-parenchymatische Membran derselben ist etwa 12  $\mu$  dick und besteht aus 2 Lagen von flachen Zellen. Die äußere Lage dieser Zellen zeigt außen eine blaßgelbliche 2—4  $\mu$  dicke Verdickungsschicht, welche die Fruchtkörper als zusammenhängendes Häutchen überzieht. Ein Ostiolum fehlt zwar, indessen ist die 35  $\mu$  hohe Kuppe der Fruchtkörper blaß, oft fast hyalin und weich. Sie gestattet den Austritt der Sporen. Die Ei-Sack-förmigen 60—70  $\times$  26—28  $\mu$  großen Schläuche sind im Fruchtkörper nur etwa in der Zahl von 5—6 vorhanden und reifen sehr ungleichzeitig, so daß man oft neben ganz unreifen Schläuchen bereits entleerte antrifft. Bei der Entleerung der Schläuche strecken sich diese ungemein, so daß sie fast zylindrisch und bis über 120  $\mu$  lang werden. Sie bohren sich bei dieser Gelegenheit in die hyaline Kuppe ein und

schleudern durch dieselbe die Sporen aus, daher man in scheinbar noch geschlossenen Fruchtkörpern bereits entleerte Schläuche findet. Paraphysen sind nicht vorhanden, wohl aber Zellgewebe, das die Schläuche voneinander trennt und sie umgibt. Der Pilz ist offenbar Pseudosphaeriaceenartig gebaut.

Das Subiculum des Pilzes hat durchaus nicht die Beschaffenheit eines Perisporiaceen-Subiculums, sondern gleicht ganz solchen von echten Capnodiaceen. Echte Pseudopodien fehlen völlig, nur ganz vereinzelt sieht man Gebilde, die man als solche deuten könnte. Hier und da sind die Hyphen an den Enden aufgebogen, werden hier dunkler und stellen so verkümmerte stumpfe Borsten dar.

Demnach muß der Pilz als Capnodiacee mit Pseudosphaeriaceen-Nukleus betrachtet werden. Die Capnodiaceen halte ich für eine Familie, die Entwicklungsgeschichtlich tiefer steht als die Sphaeriaceen.

Da mir die Untersuchung der Grundart der Capnodiaceen, des *Capnodium salicinum* Mont. gezeigt hat, daß auch diese Art einen pseudosphaeriaceenartig entwickelten Nukleus und kein Ostium besitzt, so ist *Cleistosphaera* eine echte Capnodiacee. Ganz gleich verhalten sich auch die Gattungen *Pilgeriella*, *Perisporiopsis*, *Perisporina* und *Parodiopsis*.

#### CXCVIII. Über *Lasiothyrium cyclochizone* Sydow.

Der in Philip. Journ. Science, Sect. C. Botany, 1913, VIII. Bd., p. 503 beschriebene und abgebildete Pilz wird als Pycnothyriee betrachtet. Die Untersuchung des Originals zeigte mir, daß der Pilz schlecht entwickelt und daher seine richtige Stellung nicht mit Sicherheit zu beurteilen ist. Ich neige mich der Ansicht hin, daß derselbe die eigenartige Nebenfrucht einer Coccodiniee v. H. (= Naetrocymbee v. H.) ist.

Der Pilz ist nicht behaart, sondern ganz kahl, und öffnet sich nicht durch Abwurf eines Deckels in der Mitte. Daher sind sowohl der Gattungs- wie der Artnamen unpassend.

Derselbe wächst ganz oberflächlich und hat ein sehr lockeres Subikulum. Die noch ganz unreifen Fruchtkörper sind schildförmig. In der Mitte des Schildes befindet sich ein 70  $\mu$  hohes und 45  $\mu$  breites Gehäuse, das unten einen noch mit kleinen hyalinen Zellen ausgefüllten Raum zeigt, der an der flachen Basis durch eine dünne blasse Schicht begrenzt wird. Das Gehäuse zeigt ringsum einen der Epidermis fest anliegenden, aus sehr schmalen radiären Fasern aufgebauten kreisförmigen Randflügel, der in der Mitte, wo er dem Basalteile des Gehäuses ansitzt, 20  $\mu$  dick ist und aus 6—8 Hyphenlagen besteht und gegen den ganz dünnen Rand einschichtig wird. In diesem Randflügel finden sich oft etwa 5—6 runde, 25—32  $\mu$  breite hellere Stellen, die um das Gehäuse in einem Kreise stehen. Das sind fast halbkugelige, 14  $\mu$  dicke, unreife Pykniden. Dieselben haben eine flache blasse Basis und sind oben nur mit einer einfachen Lage von gestreckten Zellen bedeckt. Sie enthalten nur ein

hyalines kleinzelliges Parenchym und können auch vollständig fehlen. Der Randflügel gehört eigentlich nicht zum zentralen Gehäuse, sondern zum Myzel des Pilzes, das von demselben ausstrahlt. Dieses Myzel besteht aus zweierlei braunen Hyphen. Die einen sind dünnwandig,  $1\cdot5-1\cdot7\ \mu$  breit, dicht parallel miteinander verwachsen und bilden den Randflügel, die andern sind  $3-4\ \mu$  dick, beginnen im Randflügel und bilden außerhalb desselben das lockere Subikulum. Querschnitte zeigen, daß diese dickeren Hyphen ganz eingewachsen sind und keine Behaarung des Pilzes darstellen. In diesen Hyphen sitzen in der Nähe der Perithezien nicht selten einzelne *Triposporium*-artige 3—4 strahlige Konidien, mit mehrzelligen  $24\vee 6-7\ \mu$  großen Strahlen. Solche Konidien sind bekanntlich für die Coccodinieen charakteristisch. Nur in wenigen Fruchtkörpern fand ich die beschriebenen Konidien in größerer Menge. An ein paar Fruchtkörpern konnte ich mich davon überzeugen, daß dieselben an parallelstehenden, einzelligen etwa  $8-10\vee 2-2\cdot5\ \mu$  großen Trägern einzeln endständig sitzen. Da ich diese Träger nur an Quetschpräparaten zu sehen bekam, bin ich nicht imstande, etwas Näheres über die innere Beschaffenheit der Räume zu sagen, in welchen sie auftreten. Die Form der reifen Konidien erinnert sehr an die der reifen Coccodinieen-Schlauchsporen. Während das lockere Myzel des Subikulum nicht gerade als typisches Coccodinieen-Myzel angesehen werden kann, fand ich bei alten Fruchtkörpern Myzelreste, die ich ihrer Beschaffenheit nach als zu einer Coccodiniee gehörig ansehen möchte.

Nach allem Gesagten handelt es sich um eine sehr eigentümliche Form, deren Stellung noch nicht feststeht und erst an besserem Materiale sicher ausgemacht werden kann. Ich neige der Ansicht zu, daß es sich um die Nebenfrucht einer noch unbekannten Coccodiniee handelt. Indessen ist es immerhin möglich, daß der Pilz eine eigenartige Pycnothyrie ist.

Noch bemerke ich, daß ich in einem einzigen Fruchtkörper einen ganz unreifen Schlauch fand.

#### CXCIX. Über *Setella disseminata* Sydow.

Diese Grundart ist in Ann. Myc. 1916, XIV. Bd., p. 359 beschrieben und zu den Perisporiaceen gestellt. Indessen heißt es in Ann. Mycol. 1917, XV. Bd., p. 179, daß *Setella* der Gattung *Ceratochaete* Syd., die zu den Capnodiaceen gestellt wird, besonders nahesteht. Sowohl bei *Setella*, wie bei *Ceratochaete* sollen die Perithezien mündungslos sein und am Scheitel, also an Stelle der Mündung, eine einzige (selten 2—3) Borste tragen.

Ich fand jedoch sowohl bei *Setella disseminata* als auch bei *Ceratochaete philippinensis*, daß eine deutliche Mündung vorhanden ist, neben welcher sich, aber nicht stets, 1—3 Borsten befinden. *Setella disseminata* hat ein graubräunliches ausgebreitetes, schon mit der Lupe sichtbares Subikulum, das

aus sich nach allen Richtungen kreuzenden, zum Teile ziemlich gerade verlaufenden, graubräunlichen, septierten, an den Querwänden öfter eingeschnürten, 7—9  $\mu$  breiten Hyphen besteht. In diesem Subikulum findet man häufig 3—4 strahlige *Triposporium*-Konidien eingestreut. An zahlreichen Stellen treten im Subikulum dunkelbraune, im Alter schwärzliche, warzenförmige bis flachkonische, parenchymatische Gebilde auf, die meist an der Spitze eine schwarze Borste tragen und etwa 50—60  $\mu$  breit sind. Die Perithezien sind unten flach, etwa 90  $\mu$  breit und 65  $\mu$  hoch, fast halbkugelig. Jung sind sie weich und schmutzig-grünlichblau, dann werden sie braun, zeigen aber an der Basis fast stets noch später eine blaugrüne Zone. Sie sind ziemlich dünnwandig-parenchymatisch und zeigen oben ein deutliches rundliches 20—25  $\mu$  weites Ostium.

Der Pilz muß als eine gute Coccodinieen-Gattung betrachtet werden und unterscheidet sich von den übrigen Gattungen mit beborsteten Gehäusen nur durch die Sporen. Mit *Ceratochaete philippinensis* hat derselbe große Ähnlichkeit, doch betrachte ich diesen Pilz als Capnodiacee. Die Perithezien sind unten nicht flach, aufrecht eikugelig, etwas zäherhäutig, haben eine etwas vorgezogene Mündung und einen Pseudosphaeriaceenartigen Nukleus mit paraphysenähnlichem verschleimendem Gewebe zwischen den Schläuchen.

*Ceratochaete philippinensis* wird auch mit *Chaetothyrium Musarum* Speg. (Syll. F. XVI., p. 636) nicht näher verwandt sein, denn diese ist wohl sicher eine Coccodiniee. Sie ist die Grundart von *Chaetothyrina* Th. (Ann. Myc. 1913, XI. Bd., p. 495).

#### CC. *Sordaria vesticola* (Berk. et Br.?) v. H.

Perithezien zwischen den Fasern mehr minder eingesenkt und hervorbrechend oder meist ganz oberflächlich, unten bauchig, oben kegelig verschmälert, bis 600  $\mu$  hoch, 280—450  $\mu$  breit, matt schwarz, häutig. Membranzellen braun, dünnwandig, 8—20  $\mu$  groß, an der Oberfläche mehr minder papillenförmig vorstehend. Paraphysen spärlich, undeutlich. Schläuche zylindrisch, sitzend, dünnhäutig, mit Jod keine Blaufärbung gebend, achtsporig, etwa 100  $\times$  12  $\mu$  groß. Sporen einreihig, opak-schwarz, einzellig, ohne Schleimhülle und Anhängsel, breit elliptisch, an den Enden meist kurzkegelig verschmälert, fast zitronenförmig, auf einer Seite stark abgeflacht bis konkav, 16—22  $\mu$  lang, 11—13  $\mu$  breit und 8—10  $\mu$  dick.

Auf Pappe in einem Keller in Königstein in Sachsen, Juni 1896, leg. W. Krieger.

Ich glaube, daß die beschriebene Form zur *Sphaeria vesticola* Berk. et Br. (Ann. and Magaz. nat. Hist. 1859, 3. Ser., III. Bd., p. 370) gehört, die auf faulendem Leinengewebe gefunden wurde. Die Sporen werden als zitronenförmig beschrieben. Bei flüchtiger Beobachtung sehen die selben in der Tat so aus.

Unter den vielen Sordarien haben nur wenige einseitig abgeflachte Sporen, so *Sordaria carbonaria* (Plowr.) Sacc. (Syll. F. I, 233), *S. amphicornis* Ellis (I, 135), *erecta* (Speg.) Sacc. (I, 239) und *S. hypocoprodes* Speg. (IX, 488). Dieselben sind alle von der behandelten Art ganz verschieden.

### CCI. Über Laestadia, Carlia und Guignardia.

Die Gattung *Laestadia* wurde von Auerswald 1869 in *Hedwigia* VIII. Bd. p. 177 aufgestellt auf Grund von drei Arten, von welchen ich die zwei ersten untersuchen konnte.

Auerswald betont ausdrücklich das Fehlen einer Mündungsöffnung und stellt die Gattung zu den Perisporiaceen. Saccardo (Syll. Fung. 1882, I. Bd., p. 420) beschreibt aber die Gattung als mit einer Mündungsöffnung versehen und nur manchmal fast ohne solche und hält dieselbe als mit *Mycosphaerella* verwandt, und von dieser Gattung durch die einzelligen Sporen verschieden. Das ist aber, wie sich zeigen wird, ganz falsch. Auch Winter schließt sich Saccardo an und wäre sogar geneigt, *Laestadia* und *Mycosphaerella* zu vereinigen. Wenn die Autoren die *Laestadia*-Arten genau geprüft hätten, hätten sie gefunden, daß ihre Ansicht ein wesentlicher Rückschritt gegenüber Auerswald ist und wir es hier mit einer Gruppe von verschiedenen sehr interessanten Formen zu tun haben.

Die maßgebende Grundart *Laestadia alnea* (Fr.) Awld. wächst auf der Unterseite morscher Erlenblätter häufig in Reihen längs der Blattnerven. Die 200—300  $\mu$  großen Perithezien sind unmittelbar unter der Epidermis eingewachsen, schwarz, rundlich und sinken trocken schüsselförmig ein. Unter dem Mikroskop sieht man keine Spur eines Ostiolums, hingegen seitlich, meist an der vom Blattnerv abgekehrten Seite, einen nur wenig helleren, rundlichen 25—35  $\mu$  großen Fleck, der eine etwas dünnere Partie der Perithezienmembran ist, wo vermutlich das Aufreißen derselben bei der Sporenentleerung stattfindet. Die Perithezienmembran ist derb, etwa 12  $\mu$  dick und besteht unten aus kleineren, seitlich und oben aus etwas gestreckten, senkrecht gereihten, violettkohligen, 20—25  $\times$  8  $\mu$  großen Zellen, die etwas flachgedrückt sind. Der Nukleus ist offenbar diaportheenartig gebaut; Paraphysen fehlen; die sehr zahlreichen, in verschiedener Höhe liegenden, zarthäutigen Schläuche sind spindelförmig, oben spitz, 52—85  $\times$  11—12  $\mu$  groß und zeigen einen vergänglichen sehr dünnen 15—20  $\mu$  langen Stiel. Jod färbt sie nicht. Die Sporen liegen meist zweireihig im Schlauch und waren unreif. Die Angabe Auerswalds, daß sie kahnförmig, beidendig spitz, blaß, 16—18  $\times$  3  $\mu$  groß und mit 4 Ölträpfchen versehen sind, wird nach dem von mir Gesehenen richtig sein. Die 4 Ölträpfchen deuten an, daß die Sporen im gut ausgereiften Zustande vierzellig sein könnten, daher Auerswalds Angabe, daß *Laestadia* einzellige oder mehrzellige Sporen hat, berechtigt ist. *Laestadia alnea* ist nach den gemachten Angaben eine Gnomoniee ohne Ostium und ohne Schnabel. Sie bildet eine eigene zu den Perisporiaceen zu stellende

Gattung, die ich *Gnomonina* nenne und die stammesgeschichtlich von Interesse ist. Der Pilz hat *Gnomonina alnea* (Fr.) v. H. zu heißen.

Die zweite Art *Laestadia punctoidea* (Cooke) Awld. ist nach dem guten Exemplare in Krieger, F. Sax. No. 278 eine typische Phyllachoracee. Die Stromata sind gar nicht peritheziumpähnlich, entstehen in und unter der Epidermis tief ins Blattgewebe eindringend, sind oben flach und mit der Epidermisaußenwand fest verwachsen und enthalten öfter einige Lokuli, die getrennt oder mehr minder verschmolzen auftreten. Paraphysen scheinen nicht zu fehlen, sondern stark zu verschleimen. Nach Schröter (Pilze Schlesiens, II. Bd., p. 330) sollen die Sporen später am Grunde mit einer schwachen Querscheidewand versehen sein, was ich nicht finden konnte. Der Pilz kann, je nachdem man Paraphysen annimmt oder nicht, und die Sporen als einzellig oder sehr ungleich zweizellig annimmt, als *Phyllachora*, *Phyllachorella* oder *Stigmochora* eingereiht werden.

Er mag vorläufig *Phyllachora punctoidea* (Cooke) v. H. genannt werden.

Die Gattung *Carlia* wurde von Rabenhorst 1857 (Flora p. 382) auf Grund von *Carlia Oxalidis* Rbh. aufgestellt. Auch bei Bonorden (Abh. naturf. Ges. Halle 1864, VIII. Bd., p. 152), der die unverständliche Gattungsbeschreibung von *Carlia* verbesserte, wird die *C. Oxalidis* als erste, also Grundart angeführt. Die zweite Art *C. maculaeformis* Bon. muß gestrichen werden, denn sie ist nicht nur ungenügend beschrieben, sondern es fehlt auch jede Angabe der Nährpflanze, ist daher völlig unbestimbar und jedenfalls eine Mischart.

Die *Carlia Oxalidis* Rbh. ist bekanntlich gleich *Mycosphaerella depazeaeformis* (Awld.). Die Untersuchung dieses Pilzes zeigte mir, daß sich derselbe von den typischen *Mycosphaerella*-Arten nicht wesentlich unterscheidet. Die Dothithezien sind mit dem Scheitel in der Epidermis eingewachsen und mit der Außenwand derselben fest verwachsen. Ein typisches sphæriales Ostiolum ist nicht vorhanden. Die Art muß als *Mycosphaerella* betrachtet werden.

*Carlia* Rbh. ist ganz verschieden von *Laestadia* Awld. 1869 und können daher die (echten) *Laestadia*-Arten nicht als *Carlia*-Arten betrachtet werden, wie Magnus wollte (Österr. bot. Ztschr. 1894, 44. Bd., p. 201).

Der Name *Guignardia* wurde von Viala und Ravaz (Bull. soc. mycol. France 1892, VIII. Bd., p. 63) zur Bezeichnung der *Sphaerella Bidwellii* Ellis angewendet, welche sie *Guignardia Bidwellii* (E.) V. et R. nannten. Sie meinten zwar den Namen *Guignardia* auch auf alle anderen *Laestadia*-Arten zu übertragen, wußten aber nicht, daß *Laestadia* Awld. von *G. Bidwellii* völlig verschieden ist.

Die *Sphaerella Bidwellii* konnte ich nicht untersuchen, nach der Abbildung derselben jedoch in Ztschr. f. Pflanzenkr. 1891, I. Bd., p. 312 ist dieselbe zweifellos ein dothidealer Pilz. Dies wird auch durch das Studium der Nebenfrüchte desselben erwiesen, welche als *Phoma uvicola* Berk. et Curt. und *Naemaspore ampelicida* Engelmann bekannt sind. Wie die

Untersuchung zeigte, sind diese zwei Nebenfrüchte denen von *Carlia* (*Mycosphaerella*), die zu den Phyllachorineen zu stellen ist, homolog. So wie *Carlia* als Nebenfruchtgattungen *Septoria* und *Stictochorella* (*Plectophoma*) hat, die eine mit fädigen, die zweite mit kurzstäbchenförmigen oder länglichen Konidien, so hat die *Naemaspore ampelicida* kurzfädige Konidien und die *Phoma uvicola* eiförmige. Die erstere ist aber keine *Naemaspore*, sondern wird besser als eine, wenn auch nicht ganz typische *Septoria* betrachtet. Die andere ist keine *Phoma* Aut. (non Fries), sondern gehört in die Gattung *Phyllostictina* Sydow (Ann. Myc. 1916, XIV. Bd., p. 185). Die *Phyllostictina uvicola* (B. et C.) v. H. hat bezeichnender Weise Konidien, die eine sehr zarte Wandung, einen grobkörnigen Inhalt und eine eiförmige Gestalt haben, ganz so wie die Schlauchsporen der meisten *Phyllachora*-Arten. Dies alles zeigt nun, daß *Guignardia Bidwellii* eine Phyllachorinee sein muß und mithin eine *Phyllachora* ohne Paraphysen, gleich *Phyllachorella* Syd. 1914 (Ann. Myc., XII. Bd., p. 489). In der Tat sind die *Phyllostictina*-Pykniden, die ich näher studierte, in und unter der Epidermis eingewachsen, brechen kaum hervor und sind mit der Epidermisaußenwand fest verwachsen. Ein vorgebildetes Ostiolum fehlt meist. Das Stroma ist meist nur oben entwickelt, häufig aber auch ringsum, selten sich auch seitlich ausbreitend. Manchmal ist es unten hyalin, so daß der Pilz fast melanconieenartig aussieht, wie das bei *Septoria* so häufig ist.

*Guignardia* Viala et Ravaz 1892 ist daher gleich *Phyllachrella* Syd. 1914.

Daher kann der Name *Laestadia* Awld. auch nicht durch *Guignardia* V. et R. ersetzt werden. Es tritt nun der Name *Gnomonina* v. H. in Kraft.

*Laestadia Cookeana* (Awld.) Winter tritt nach dem sicheren Exemplare in Jaap, F. sel. exs. No. 422 auf der Unterseite dürrer Eichenblätter in großen Herden auf. Die 100—160  $\mu$  großen schwarzen, rundlichen, wenig abgeflachten Perithezien zeigen keine Spur einer Mündungsöffnung. Dieselben entstehen in und unter der Epidermis und sind mit der Außenwand derselben fest verwachsen. Die ungleichmäßig, 8—16  $\mu$  dicke Perithezienmembran ist aus 1—4 Lagen von dunkelbraunen, bis 20—32  $\mu$  großen, etwas abgeflachten Zellen aufgebaut. Die Paraphysen sind sehr dünn und verschleimen stark, daher leicht zu übersehen. Die sehr zarthäutigen Schläuche zeigen einen 16  $\times$  3  $\mu$  großen Stiel, sind keulig-spindelig, oben quer abgestutzt und etwa 52  $\times$  9.5  $\mu$  groß. Jod färbt oben eine sehr dünne Querplatte blau. Die 8 zweireihig liegenden Sporen sind länglich-spindelig, mit verschmälert abgerundeten Enden, einzellig, ohne Ölträpfchen, hyalin, 9—10  $\times$  3  $\mu$  groß.

Der Pilz hat eine große Ähnlichkeit mit der *Gnomonina alnea*, ist aber davon völlig verschieden. Er hat keinen Diaportheen-Nukleus und anders beschaffene Schläuche.

Merkwürdigerweise kommen auf der Unterseite dürrer Eichenblätter noch einige andere Pilze vor, und zwar in Europa und einer in Nord-

amerika, die ganz gleich gebaut sind, aber bald kein, bald ein mehr minder deutliches Ostium zeigen. Diese Pilze sind ganz nahe mit der *Laestadia Cookeana* verwandt, aber gute, sicher davon verschiedene Arten. Diese Pilze unterscheiden sich von den typischen *Physospora*-Arten durch den völligen Mangel einer typisch ostiolirten Mündungspapille, welche die Epidermis durchsetzt, und die schlecht entwickelten, manchmal anscheinend fehlenden Paraphysen. Es sind offenbar Formen, aus denen sich die echten *Physospora*-Arten entwickelt haben, sowie die *Plagiostoma*-Arten aus *Gnomonina*.

Ich stelle für diese 4 Pilze die Gattung *Anisostomula* auf. *A. Cookeana* (Awd.) v. H.; *A. Areola* (Fuck.) v. H., *A. polystigma* (Ell. et Ev.) und *A. Quercus Ilicis* (Trav.) v. H.

*Laestadia polystigma* Ellis et Ev. (North-Am. Pyrenomyc. 1892 p. 257), ausgegeben in Ellis and Everh., F. Columb. No. 229, 626 und 1825 und in Rabenh. Wint., F. europ. No. 3256, ist von den zwei früheren mikroskopisch ähnlichen Pilzen schon äußerlich verschieden.

Die in dichten ausgebreiteten Herden auftretenden, matten, unregelmäßig rundlichen bis  $250\text{ }\mu$  breiten Perithezien sind etwas abgeflacht und etwa  $160\text{ }\mu$  dick. Die ringsum gut entwickelte braunschwarze Perithezienmembran ist  $25-30\text{ }\mu$  dick und besteht aus mehreren von oben und außen  $6-12\text{ }\mu$ , innen und unten  $8-20\text{ }\mu$  großen Parenchymzellen. Oben sind die Perithezien mit der Epidermisaußenwand verwachsen. Ostium flach, rundlich,  $12-25\text{ }\mu$  weit, oft undeutlich. Paraphysen reichlich, dünn, verschleimt verbunden. Schläuche keulig, sehr zarthäutig, oben verschmälert abgestutzt und wenig verdickt, unten in einen Stiel allmählich verschmälert. Jod färbt an der Schlauchspitze eine sehr dünne Querplatte blau, was aber schwer zu sehen ist. Schläuche  $60\text{--}10\text{ }\mu$  groß.

Bei dieser Art sind die Paraphysen am reichlichsten entwickelt. *Guignardia Quercus Ilicis* Traverso (Fl. ital. cryptog. 1907, II. Bd., p. 390) hat nach auf Korsika selbstgesammelten Exemplaren und dem in Rehm, Ascom. exs. No. 1702 (sub *Guignardia cooperata* (Desm.) Bubák) ausgegebenen, scharf begrenzte Blattflecken, auf denen der Pilz namentlich unterseits auftritt. Die fast kugeligen  $180-200\text{ }\mu$  großen Perithezien sind außen von vorstehenden Hyphenenden und Zellen rauh, sitzen im Parenchym und sind oben mit der Epidermisaußenwand verwachsen. Die Perithezienmembran ist  $12\text{ }\mu$  dick und besteht aus einigen Lagen von  $10-35\text{ }\mu$  großen Zellen. Das flache Ostium ist rundlich,  $12\text{ }\mu$  breit, zeigt Periphysen, ist aber oft schlecht entwickelt und kaum sichtbar. Paraphysen spärlich und kaum sicher nachzuweisen. Die zahlreichen  $64-70\text{--}12\text{ }\mu$  großen Schläuche sind in einen  $20-35\text{ }\mu$  langen Stiel allmählich verschmälert, oben spindeligkeulig, an der Spitze abgestutzt und wenig verdickt, sonst sehr zartwandig. Jod färbt in der Spitze eine dünne Querplatte blau. Die zweireihig liegenden Sporen sind länglich, oft etwas keilförmig,  $10-11\text{--}3\text{ }\mu$  groß, hyalin, einzellig.

*Laestadia Cerris* Passerini (Revue myc. 1880, II. Bd., p. 33) wird auch eine *Anisostomula* sein.

*Laestadia Areola* (Fuck.) Sacc. ist nach dem Exemplare in Rehm, Ascomyc. exs. No. 1424 eine typische *Anisostomula*, aber verschieden von *Anisostomula Cookeana* (Awld.) v. H. Die im Querschnitte elliptischen bis 160  $\mu$  breiten und 110  $\mu$  dicken Perithezien sind in und unter der Epidermis eingewachsen und zeigen nur oben eine Clypeus-artige, braunschwarze parenchymatische 12—15  $\mu$  dicke Membran, sind unten und seitlich blaß. Die einzelligen hyalinen Sporen sind weniger spindelig, mehr elliptisch, ohne Ölträpfchen und 8—9  $\times$  3  $\mu$  groß. Die Schläuche gleichen ganz denen der *A. Cookeana* und geben mit Jod auch die gleiche Färbung. Eine Mündung fehlt scheinbar völlig, ist aber, wie Querschnitte zeigen, durch einen oben befindlichen gut entwickelten Periphysenkranz dem Orte nach schon angedeutet und meist auch auf Flächenschnitten als kleine helle Öffnung mit Periphysen zu erkennen. Paraphysen vorhanden, aber stark verschleimend und leicht zu übersehen.

*Laestadia Niesslii* Kunze hat nach dem guten Exemplare in Krieger, F. saxon. No. 1774 im Querschnittsbilde eine auffallende Ähnlichkeit mit *Teratosphaeria fibrillosa* Syd. (s. Fragm. No. 770, XIV. Mitt. 1912), und kann nur als Montagnellee betrachtet werden. Es ist ein *Haplothecium* ohne Paraphysen oder eine *Montagnellina* v. H. ohne gemeinsames Stroma.

Die Dothithezien stehen einzeln oder stoßen zu mehreren zusammen und entwickeln sich unter der gebräunten Epidermis, die in der Mitte bald zerstört wird, seitlich aber lange erhalten bleibt. Sie sind etwa 170  $\mu$  breit und 140  $\mu$  dick, oben flach gewölbt und am breitesten, unten halbkugelig konkav. Die Wandung ist oben dünner, unten ringsum gleichmäßig, etwa 20  $\mu$  dick und besteht aus 4—5 Lagen von lebhaft gelbbraun gefärbten Parenchymzellen. Die flache Deckschicht zeigt kein Ostiolum und bröckelt schließlich ganz weg. Die Schläuche sind zylindrisch keulig und stehen unten ziemlich parallel. Paraphysen fehlen. Die länglichen hyalinen Sporen sind einzellig, ohne Ölträpfchen.

Der Pilz stellt eine neue Montagnelleen-Gattung dar, die ich *Laestadiella* nenne. (*Laestadiella Niesslii* (Kze.) v. H.)

*Laestadia carpinea* (Fr.) Sacc. Es ist kein Zweifel, daß der unter diesem Namen in Syll. Fung. 1882, I. Bd., p. 426 beschriebene und in den Fungi ital. Taf. 543 flüchtig abgebildete Pilz die echte *Xyloma Carpini* Fries (Observ. myc. 1818, II. Bd., 363) und *Sphaeria carpinea* Fries (Syst. myc. 1823, II. Bd., p. 525) ist. Der Pilz ist richtig ausgegeben in Krieger, F. saxon. No. 1467 (spärlich) und Ellis u. Everh., F. Columb. No. 1326 (reichlich). Die Exemplare in Desmazières, 1839 No. 981 und D. Sacc., Mycoth. ital. No. 1027 sind richtig, aber schlecht.

*Potebnia* (Ann. Myc. 1910, VIII. Bd., p. 53, Fig. 6, 7) hat denselben näher studiert, seine Medianschnittabbildung des Pilzes ist jedoch falsch, denn derselbe hat einen *Diaporthe*-Nukleus, während *Potebnia* eine ein-

fache Lage paralleler Schläuche zeichnet. Auch der wichtige in der Epidermis eingewachsene Clypeus des Pilzes ist aus Potebnias Bild nicht zu ersehen. Etwas besser sind die Bilder von *Gnomonia Veneta* bei Klebahns (Jahrb. wiss. Bot. 1905, 41. Bd., p. 519) und von *Gnomonia erythrostoma* in Frank, Krankh. d. Pflanzen 1896, II. Bd., p. 450.

Potebnia erkannte ganz richtig, daß *Laestadia carpinea* eine Gnomoniee ohne Schnabel ist. Dieselbe ist in der Tat eine *Gnomoniella* mit epidermalem Clypeus und ohne Schnabel. Durch den Clypeus nähert sich der Pilz den stromatischen Diaportheen. Die von Potebnia für denselben aufgestellte Gattung *Sphaerognomonia* hat ihre volle Berechtigung.

Schröter (Pilze Schlesiens 1894, II. Bd., p. 330) gibt von diesem Pilze an, daß die Sporen zuletzt am unteren Ende eine schwache Querwand aufweisen. Diese Angabe ist aber unrichtig. Die Sporen des Pilzes sind bleibend einzellig.

Auf Grund dieser unrichtigen Angabe Schröters hat nun Traverso 1906 die Untergattung *Apiosporopsis* von *Guignardia* aufgestellt mit der Typusart: *A. carpinea* (Fr.) Schröter. Diese Untergattung wurde 1911 von Mariani zur Gattung erhoben (Syll. Fung., XXII. Bd., p. 78) mit derselben Grundart. Daher ist *Apiosporopsis* Trav.-Mariani (1906—1911) = *Sphaerognomonia* Poteb. 1910. Da man die Bezeichnung „*Apio*“ nur für solche Pilze gebrauchen kann, die sehr ungleich zweizellige Sporen haben, der in Rede stehende Pilz aber einzellige Sporen hat, so ist der Name *Apiosporopsis* irreführend und unbrauchbar, überdies ist er erst 1911 als Gattungsname verwendet worden, daher bleibt der Name *Sphaerognomonia* Potebnia 1910 aufrecht. Als zweite Art stellten Traverso und Mariani zu *Apiosporopsis* die *Gnomonia veneta*, diese hat zwar sehr ungleich zweizellige Sporen, aber einen mittelständigen Schnabel und keinen Cypleus, gehört daher in eine eigene Gattung, die ich *Apignomonia* nenne.

Zu *Apignomonia* v. H. gehören *A. veneta* (Sacc.) v. H.; *erythrostoma* (F.) v. H.; *inequalis* (Awld.) v. H.; *errabunda* (Rob.) v. H.

Von der *Sphaerognomonia carpinea* (Fr.) Pot. ist nun der Pilz völlig verschieden, den Rehm in Ascom. exs. No. 496 als *Apiospora carpinea* (Fr.) R. und in der No. 1425 als *Laestadia carpinea* ausgegeben hat. Unter letzterem Namen ist derselbe Pilz auch in Krypt. exsic. Mus. palat. Vindob. No. 1313 ausgegeben.

Dieser Pilz hat schiefe, 180  $\mu$  große, eingewachsene Perithezien mit kegeliger Mündungspapille, die seitenständig ist. Ein Clypeus-Stroma fehlt völlig. Der Diaportheen-Nukleus besteht aus  $52-56 \approx 8 \mu$  großen zartgestielten Schläuchen. Die  $16-18 \approx 3-4 \mu$  großen Sporen sind spindelförmig, gerade oder etwas gebogen und haben nahe dem unteren Ende eine Querwand, durch welche eine  $3-4 \mu$  lange Zelle abgeschnitten wird.

Fuckel (Symbolae myc. 1869, p. 118) hat für jene *Gnomonia*-Arten, die schiefe Perithezien mit seitenständigem, sehr kurzem Schnabel haben, die Gattung *Plagiostoma* aufgestellt. Diese Gattung scheint mir berechtigt

zu sein. Danach wäre die *Apiospora carpinea* Rehm eine *Plagiostoma* mit ungleichzelligen Sporen. Von den 4 *Plagiostoma*-Arten Fuckels haben drei Sporen, die gleichzellig sind: *Pl. Euphoriae* als Grundart, *devexa* (Desm.) und *suspecta* und eine hat ungleich zweizellige Sporen (*Pl. petiolicola*).

Es zerfällt daher *Plagiostoma* Fuck. in zwei Gattungen. Ich stelle die Art mit ungleich-zweizelligen Sporen in die neue Gattung *Plagiostomella*, mit der Grundart *Plagiostomella petiolicola* (Fuck.) v. H.

Rehms *Apiospora carpinea* muß nun *Plagiostomella carpinicola* v. H. genannt werden. Ich nehme seinen Artnamen nicht an, um Wiederholungen zu vermeiden, und da er auf einer falschen Bestimmung beruht.

Saccardo nannte in Sylloge Fung. 1883, III. Bd., p. 189 die *Apiospora carpinea* Rehm (Ascom. exs. No. 496) *Hypospila Rehmii*. Seine Beschreibung bezieht sich aber gewiß nicht auf Rehms Pilz, sondern auf den in Sydow, Mycot. germ. No. 793 als *Hypospila Rehmii* Sacc. ausgegebenen Pilz. Derselbe tritt auf ausgebleichten und stark verwitterten Weißbuchensblättern im Blattparenchym eingewachsen in Menge und gleichmäßig zerstreut auf. Die 100—160  $\mu$  großen, schwarzen Perithezien haben keine Spur eines Ostiolums, sondern nur am Rande einen kaum merklichen helleren Fleck. Der Nukleus ist diaportheen-artig gebaut. Die zartwandigen, spindeligen, zartgestielten, unten scharf spitzen Schläuche sind meist 64—70  $\times$  8  $\mu$  groß. Die zweireihig liegenden hyalinen Sporen sind länglich, gerade, an den wenig verschmälerten Enden abgerundet, genau gleich zweizellig und 16—20  $\times$  3—3.5  $\mu$  groß. Die Sporen waren nur innerhalb der Schläuche zu sehen.

Der Pilz muß *Gnomonina Rehmii* (Sacc.) v. H. genannt werden. Er ist in der Art des Auftretens auf den Blättern und mit der Lupe betrachtet völlig gleich mit der *Plagiostomella carpinicola* v. H. und von Saccardo damit verwechselt worden.

*Laestadia angulata* (Fuckel) Sacc. ist nach dem Originalexemplare in Fuckel, F. rhen. No. 2520 ein ganz unreifer dothidealer Pilz, noch ohne Schläuche, wahrscheinlich doch nichts anderes als *Mycosphaerella Berberidis* (Awld.), von *M. ambiens* Starb. verschieden.

*Laestadia Buxi* (Fuckel) Sacc. ist gleich *Sphaeria Buxi* D. C. (*Hyponectria Buxi* (D. C.) Sacc.) in Syll. Fung. II. Bd., p. 455 und Add. p. XXXI. Die beiden Exemplare in Fuckel, F. rhen. No. 846 und Desmazières, Pl. crypt. France 1843, No. 1280 stimmen miteinander überein. Fuckels No. 846 enthält in meinem Exemplar nur den schlecht ausgereiften Schlauchpilz.

Derselbe hat in und unter der Epidermis eingewachsene Perithezien, die nur ganz oben graubräunlich und mehr parenchymatisch sind, sonst aber mehr faserig und fast hyalin. Die Mündung ist flach, das Ostium sehr weit und unscharf begrenzt. Es scheinen auch undeutliche, verschleimende Paraphysen vorhanden zu sein. Der Pilz ist eine *Hyponectria*.

*Laestadia canificans* (Fuck.) Sacc. ist nach dem Originalexemplare in Fuckel, F. rhen. No. 1774 ein dothidealer ganz unreifer Pilz, offenbar eine *Carlia* (= *Mycosphaerella*), verschieden von *Carlia recutita* (Fr.) v. H. und *C. lineolata* (Rob.) v. H.

Die etwa 130  $\mu$  großen fast kugeligen Dothithezien sind oben mit der Epidermisaußenwand verwachsen und brechen schließlich mit dem Scheitel etwas hervor. Sie stehen einzeln in kurzen, lockeren Reihen, die kleine längliche Herden bilden. Ihre schwarze Membran ist 16  $\mu$  dick und besteht aus 2—4 Lagen von wenig flachen Parenchymzellen. Die unreifen Schlüsse stehen an der Basis parallel, Paraphysen fehlen. Ein gemeinsames Stroma fehlt völlig:

Wird bis auf weiteres als *Carlia* (?) *canificans* (Fuck.) v. H. zu gelten haben. Die *Sphaerella graminicola* Fuckel (Symb. myc. 1869, p. 101) auf derselben Nährpflanze (*Triticum repens*) ist nach dem ebenfalls ganz unreifen Originalexemplare in F. rhen. No. 1578 davon wahrscheinlich nicht verschieden. Doch stehen hier die Dothithezien dichter und sind daher ein wenig kleiner.

*Laestadia caricicola* (Fuckel) Sacc. ist die von Winter genauer beschriebene *Sphaerella caricicola* Fuckel mit zweizelligen Sporen.

*Laestadia Mali* (Fuck.) Sacc. ist nach dem Originalexemplare in Fuckel, F. rhen. No. 469 und 1561 eine ganz unreife *Venturia inaequalis* (Cooke) Aderh. mit *Asteroma Mali* Desm.

*Laestadia Cicutae* (Kirchner) Sacc. ist nach dem Orginalexemplare in Thümen, F. austriaci No. 964 (sub *Sphaerella*) zu streichen. Ich fand darauf ebensowenig wie Winter einen Ascomyceten.

*Laestadia oenanthonica* (Fuck.) Sacc. ist nach dem Originalexemplare in den F. rhen. No. 1574 ein dothidealer Pilz, zweifellos eine ganz unreife *Carlia*. Die Dothithezien sitzen auf den Stengeln und Blätterstielen zerstreut und in lockeren Herden. Sie sind bis 200  $\mu$  groß und haben eine 15—20  $\mu$  dicke Wandung die aus 3—4 Lagen von etwas flachen kohligen Zellen besteht. Oben zeigen sie einen flachen Diskus, mit dem sie wenig vorbrechen. Der unreife Nukleus wie bei *Carlia*.

*Laestadia cincta* (Desm.) Sacc. (Syll. Fung., I. Bd., p. 422) ist nach dem Originalexemplare eine *Hyponectria*.

*Laestadia Fraxini* Fautrey (Revue mycol. 1891, XIII. Bd., p. 7) ist nach der Beschreibung und dem Originalexemplare in Roumeg., F. sel. exs. No. 5530 nichts anderes als *Sphaerella Fraxini* Niessl.

*Laestadia Magnoliae* (Schw.?) Ellis (Ellis and Everhart, North-Am. Pyren. 1892, p. 259) ist nach dem Originalexemplare in Rabenh.-Wint., F. europ. No. 2755 ein dothidealer Pilz, der sich von *Carlia* wesentlich nur durch die einzelligen Sporen unterscheidet.

Die meist voneinander getrennten, doch auch hier und da zu wenigen miteinander verwachsenen, kugeligen, schwarzen, bis 140  $\mu$  großen Dothithezien sitzen blattunterseits dicht herdenweise in rundlichen Flecken.

Sie sind mit der Epidermisaußenwand verwachsen. Hier und da in der Epidermis eingewachsene dünne kleine Stromaplatten. Die ganze Blattdicke ist von aus zahlreichen, oft senkrecht verlaufenden, auch hier und da strangartig verwachsenen oder gewebsartig verbundenen, schmutzig violetten 3—8  $\mu$  dicken Hyphen durchsetzt. Paraphysen fehlen. Schläuche parallel, allmählich kurz gestielt, etwa 40—44  $\approx$  4—6  $\mu$  groß. Jod gib keine Blaufärbung. Sporen meist zweireihig, hyalin, länglich, etwa 7  $\approx$  3  $\mu$  groß.

Paßt anscheinend ganz gut in die Gattung *Phyllachorella* Sydow. (Ann. Myc. 1914, XII, Bd., p. 489) und mag daher bis auf weiteres *Phyllachorella Magnoliae* (Schw.?) v. H. genannt werden. Die bisherige einzige Art der Gattung wächst auch auf Blättern einer Magnoliacee (*Michelia*).

*Laestadia millepunctata* (Desm.) Sacc. (Syll. Fung. I, Bd., p. 426). In Syll. Fung. II, p. 595 als *Phyllachora*. Von Kickx (Fl. crypt. Flandr. 1867, I. Bd., p. 366) als *Stigmataea* angeführt. Theissen und Sydow (Ann. myc. 1914, XII, Bd., p. 271) erklärten den Pilz als Sphaeriacee und stellten ihn vorläufig zu *Laestadia*. Das als *Dothidea millepunctata* Desmazières in Ann. scienc. nat. 1847, III. Ser. VIII. Bd., p. 177 beschriebene Originalexemplar ist in den Pl. crypt. France 1853, No. 91 ausgegeben. Dasselbe ist ganz unreif. Die Sporen sollen einzellig sein und 4 Öltröpfchen führen.

Die Untersuchung des Originalexemplares zeigte mir, daß sich der Pilz ganz so wie eine *Carlia* verhält. Die Dothithezien stehen einzeln oder zu zwei bis mehreren stromatisch verbunden. Sie entwickeln sich in und unter der Epidermis und sind oben mit der Epidermisaußenwand verwachsen. Sie zeigen oben einen abgestutzt-kegeligen Discus, der einen mit der Epidermisaußenwand verwachsenen Ringwall besitzt, innerhalb welchem das dothideale Ostium auf einem kleinen Kegel sitzt. Da die Epidermisaußenwand über dem Discus rundlich aufreißt, liegt dieser frei zutage, wie das auch bei *Carlia* oft der Fall ist. Periphysen und Paraphysen fehlen völlig. Die ganz unreifen Schläuche stehen unten parallel. Manchmal breiten sich die Dothithezien seitlich unter der Epidermisaußenwand zu einer deutlichen Stromaplatte aus.

Auch dieser Pilz könnte, so wie der vorige als *Phyllachorella* gelten, allein bei beiden ist schließlich der Scheitel der Dothithezien frei. Vermutlich stellen beide eine eigene Gattung dar, die sich von *Carlia* (= *Mycosphaerella*) nur durch die einzelligen Sporen unterscheiden würde. Zu dieser Gattung würde nach der Abbildung von Lamson Scribner in Zeitschr. f. Pflanzenkr. 1891, I. Bd., p. 312 auch die *Laestadia Bidwellii* gehören. Demnach müßten diese Pilze zu *Guignardia* V. et R. gestellt werden.

*Guignardia rhytismophila* Rehm (Ann. myc. 1906, IV. Bd., p. 79) ist nach dem Originalexemplar in Krieger, F. saxon. No. 1968 als *Physospora rhytismophila* (R.) v. H. zu bezeichnen. Die Perithezien sind schwarz, 120—210  $\mu$  breit, stark abgeflacht etwa bis 80  $\mu$  dick und sitzen in kleinen Herden blattunterseits im Mesophyll, auch auf den Blattnerven. Sie sind

unter der Epidermis eingewachsen, jedoch oben in der Mitte in derselben eingewachsen und mit der Epidermisaußenwand verwachsen. Hier bildet sich ein kleiner, nur an Querschnitten sichtbarer braunzelliger Klypeus. Die Perithezienmembran ist gelbbraun,  $6-8 \mu$  dick und aus stark zusammengepreßten, hellbraunen Parenchymzellen aufgebaut. Eine zylindrisch-kegelige braune,  $28-30 \mu$  hohe und  $25 \mu$  dicke Mündungspapille durchsetzt die Epidermis und ragt wenig vor. Das Ostium ist rundlich,  $18 \mu$  breit und mit sehr zarten Periphysen ausgekleidet. Die Schläuche sind sehr zarthäutig, an der verschmälerten Spitze wenig verdickt, unten kurz knopfig gestielt und etwa  $64 \approx 9 \mu$  groß. Jod gibt keine Blaufärbung. Die sehr zahlreichen, sehr dünnen und langen, etwas verworrenen Paraphysen sind schleimig verklebt. Die zweireihig stehenden, hyalinen, einzelligen, länglich-zylindrischen Sporen sind zarthäutig und haben einen gleichmäßig fein-körnigen Inhalt. Eine schöne Form.

*Laestadia perpusilla* (Desm.) Sacc. (Syll. Fung. I. Bd., p. 423). Der in Ann. scienc. nat. 1846, 3. Ser. VI. Bd., p. 80 beschriebene Pilz ist in Desmazières, Pl. crypt. France 1828, No. 337 ausgegeben.

Die Untersuchung dieses Originalexemplares zeigte mir, daß auf dem Schilfrohrblatte zwei voneinander verschiedene, fast stets ganz unreife *Leptosphaeria*-Arten auftreten.

1. Die eine Form, jene, die offenbar gemeint ist, tritt ohne Fleckenbildung überall locker zerstreut auf, hat  $100-170 \mu$  breite Perithezien mit flachem,  $36 \mu$  breitem Ostium. Die häutige Perithezienmembran besteht aus dünnwandigen, dunkelgraubraunen, eckigen,  $8-12 \mu$  großen Zellen. Die Schläuche sind keulig, kurz knopfig gestielt,  $64 \approx 12-13 \mu$  groß. Sporen violettblau, länglich spindelig mit verschmälert abgerundeten Enden, gleich vierzellig, gerade oder schwach gekrümmmt,  $14-16 \approx 3-5 \mu$  groß, zweireihig im Schlauch. Paraphysen zahlreich, fädig.

Diese Form ist die *Leptosphaeria elaeospora* Sacc. (Michelia 1881, II. Bd., p. 320), welche also *Leptosphaeria perpusilla* (D.) v. H. zu heißen hat.

2. Die zweite Form kommt dicht gedrängt auf grauen Flecken vor, hat  $110-150 \mu$  große, meist mehr gelbbraune Perithezien, deren Wandung aus  $6-10 \mu$  großen Zellen besteht. Ostium kleiner. Schläuche  $70 \approx 9 \mu$ , keulig. Sporen zweireihig, ziemlich spitz-spindelig, gleich vierzellig, braun bis grau,  $16 \approx 3 \mu$ . Diese Form entspricht etwa der Mischart *Leptosphaeria eustoma* (Fr.) Sacc. Indessen fand ich nur drei reife Perithezien und sind die zwei Formen doch vielleicht zusammengehörig.

*Laestadia Polypodii* Magnus et Sacc. (Atti ist. Veneto scienz. 1885, 6. Ser. III. Bd., p. 737 taf. VIII, fig. 6) muß nach dem richtigen Exemplare in D. Sacc., Mycoth. ital. No. 845 *Physospora Polypodii* (Rabenhorst) v. H. genannt werden. Die Originalbeschreibung ist mehrfach unrichtig. Die stark abgeflachten Perithezien stehen ziemlich dicht, sind bis  $160 \mu$  breit und sammt der zylindrischen kurzen Mündungspapille, welche die Epidermis durchbricht,  $110 \mu$  hoch. Die Wandung ist nur  $8 \mu$  dick

und besteht nur aus 2—4 Lagen von kleinen, braunen Parenchymzellen. Um die Mündungspapille ist dieselbe 25—30  $\mu$  dick, fast klypeusartig und mit der Epidermis verwachsen. Paraphysen sehr zahlreich, 2  $\mu$  dick, schleimig verbunden. An Quetschpräparaten entgehen einem die Paraphysen sehr leicht. Die sehr zarthäutigen, keuligen Schläuche geben mit Jod keine Blaufärbung, sind am verschmälerten Scheitel abgestutzt und schwach verdickt, unten kurz knopfig gestielt, 60—73  $\leq 13 \mu$  groß. Die Sporen liegen zweireihig, sind elliptisch-länglich bis spindelförmig, hyalin, mit meist gleichmäßig feinkörnigem Inhalt, 12—20  $\leq 5.5 \mu$  groß. Selten mit endständigen Ölträpfchen und hellerem Gürtel in der Mitte.

Wie man sieht, ähnelt der Pilz sehr der *Ph. rhytismophila*. Mit demselben ist die viel früher beschriebene *Sphaeria Polypodii* Rabenhorst identisch.

*Laestadia Eucalypti* Spegazzini (Anal. Mus. Nac. Buen. Aires 1899, VI. Bd., p. 248). Es ist kein Zweifel, daß der in D. Sacc., Mycoth. ital. No. 846 als *Laestadia Rollandi* Sacc. et Syd. (Syll. Fung. 1902, XVI. Bd., p. 455) gleich *Laestadia Eucalypti* Roll. (Bull. soc. Myc. 1901, XVII. Bd., p. 118) ausgegebene Pilz die Spegazzinische Art ist. Rollands Art hat größere anders geformte Sporen, dürfte aber doch nur eine Form der anderen Art sein.

*Laestadia Eucalypti* Speg. hat zahlreiche schleimig verbundene Paraphysen und muß *Physospora Eucalypti* (Speg.) v. H. genannt werden.

Die kugeligen, 250—360  $\mu$  großen Perithezien sind in Blattgewebe eingewachsen und oben in der Mitte mit der Epidermisaußenwand verwachsen. Die Perithezienmembran ist 8—10  $\mu$  dick und besteht aus vielen Lagen von stark zusammengepreßten Fasern, die mehr weniger nach aufwärts verlaufen, doch verzweigt sind und sich vielfältig kreuzen. Deutliche Parenchymzellen sind in der Wandung nicht zu erkennen. An isolierten Perithezien sieht man von oben eine helle, unregelmäßig rundliche 60—110  $\mu$  breite Fläche in deren Mitte das blasser fast flache Ostiolum liegt. Diese Fläche ist von einer opaken, fast schwarzen breiten Zone umgeben, welche mit der Epidermisaußenwand verwachsen ist und eine Art Klypeus darstellt. Die Schläuche sind meist zylindrisch, sehr zarthäutig, oben wenig verdickt, und 100—150  $\leq 9—10 \mu$  groß. In der Scheitelverdickung der Schläuche färbt sich eine dünne Querplatte mit Jod blau. Seltener sind einzelne Schläuche oben keulig und 13—16  $\mu$  breit, wo dann die Sporen zweireihig liegen, während sie sonst stets gerade oder schief einteilig stehen. Die einzelligen hyalinen Sporen sind spitzlich endigend spindelförmig, zeigen einen homogenen Inhalt und sind 17—21  $\leq 6—8 \mu$  groß. Nach Einwirkung von Kalilauge zeigen sie in der Mitte einen 3—4  $\mu$  breiten, rundlichen, glänzenden Kern. Periphysen sind vorhanden.

*Laestadia Leucothoë* (Cooke) Sacc. (Syll. Fung. II., p. XXXII) ist nach dem Exemplare in Ellis u. Everh., N. Am. F. No. 1348 eine *Stigmochora* Th. et S.

Die rundlichen, 100—120  $\mu$  großen Dothithezien sind in und unter der Epidermis eingewachsen und stehen blattoberseits in Herden in Blattflecken, häufig in Reihen den kleineren Nerven folgend. Sie sind oben flach, unten stark konvex, 100  $\mu$  dick, mit der Epidermisaußenwand verwachsen. Häufig verschmelzen mehrere zu rundlichen, 200  $\mu$  breiten Stromaten. Ein gemeinsames Stromagewebe fehlt. Die Wandung der Dothithezien ist gleichmäßig 10—12  $\mu$  dick und besteht aus sehr kleinen braunen Parenchymzellen. Das Ostium ist untypisch, oft schlecht entwickelt. Paraphysen vorhanden, verschleimend. Die unten breiteren, oben abgerundeten Schläuche sind mäßig dünnwandig, ungestielt, 44—60  $\asymp$  12  $\mu$  groß. Die 8 zweireihig stehenden, hyalinen, elliptisch-länglichen, geraden oder kaum gekrümmten, 16—18  $\asymp$  6—7  $\mu$  großen Sporen sind ungleichzweizellig. Die untere Zelle ist 3—3.5  $\mu$  hoch. Jod färbt die Schläuche nicht.

Der Pilz hat *Stigmochora Leucothoës* (C.) v. H. zu heißen.

*Guignardia Lysimachiae* Jaap. Der Pilz scheint nicht beschrieben zu sein. Auf dem Exemplare in Krieger, F. saxon. No. 2262, das nach Rehm mit Jaaps Original übereinstimmen soll, fand ich nur eine *Pringsheimia*, die von *Pr. intermixta* (B. et Br.) v. H. (*Sphaerulina*, *Pleosphaerulina*) kaum verschieden ist. Der Pilz dürfte daher diese im unreifen Zustande beobachtete *Dothideazee* sein. Dabei kommt auch eine *Rhabdosporaaähnliche* Form vor, die aber stromatisch ist und histologisch genau mit der *Pringsheimia* übereinstimmt, und offenbar ihre Nebenfrucht ist. Diese Form wäre ihrem Baue nach mit *Linochora* verwandt, welche eine Nebenfruchtgattung von *Phyllachora* ist. Sie hat Stromata mit Lokuli und 20—30  $\asymp$  1.8  $\mu$  gerade oder wenig gebogene Konidien.

*Guignardia Adeana* Rehm (Ann. Myc. 1912, X. Bd., p. 537) erinnert nach dem Originalexemplare in Rehm, Ascom. exs. No. 2016 durch seine länglich elliptischen, hyalinen, ziemlich derbwandigen bis 26—32  $\asymp$  13—14  $\mu$  großen Sporen, die einen gelblichen, gleichmäßig feinkörnigen Inhalt haben, sehr an *Physalospora alpestris* Nießl, kann sehr leicht für eine Pseudosphaeriacee gehalten werden, ist aber eine Sphaeriacee, die sich von *Physalosporella* v. H. durch die großen, gelblichen Sporen, die dicken stark verschleimenden Paraphysen und die derbe, opake, wenn gut ausgebildet, beborstete Mündungspapille verschieden erweist.

Ich stelle für den Pilz die neue Gattung *Pseudophysalospora* auf.

*Pseudophysalospora Adeana* (R.) v. H. hat brauhäutige, kugelige, 160—310  $\mu$  breite, eingewachsene Perithezien, die mit einer opakschwarzen, 120  $\mu$  breiten, 60—80  $\mu$  hohen abgerundeten Mündungspapille durch die Epidermis brechen, auf der oft zahlreiche, oder wenige und verkümmerte, einzellige, schwarzviolette, steife, spitze, 30—70  $\asymp$  3—5  $\mu$  große Borsten sitzen. Das 32—36  $\mu$  weite runde Ostium zeigt auf Flächenschnitten radiäre Periphysen. Die Perithezienmembran ist gleichmäßig 30  $\mu$  dick und besteht aus vielen Lagen von sehr flachen, zarthäutigen, ziemlich großen Zellen. Axialschnitte zeigen oben einen dicken Ringwulst von

stark verschleimten Periphysen. Die Paraphysen zeigen ein dünnes, inhaltsreiches Lumen und eine sehr dicke verschleimte Wandung; sie fließen zu einer Schleimmasse zusammen, in der nur wenige Schläuche, meist sehr ungleich entwickelt, liegen. Die dickkeuligen Schläuche sind sehr verschieden gestaltet, bald mit kurzem,  $10 \asymp 4 \mu$  großem Stiel, bald unten abgerundet, oft verbogen, im allgemeinen spindelig-keulig, bald jedoch kurz und dick, bald länger und schmal. Einige Abmessungen machen dies deutlicher:  $90-105 \asymp 40-41$ ;  $96-110 \asymp 22-32$ ;  $116 \asymp 60$ ;  $130 \asymp 36 \mu$ . Sie enthalten viel Glycogen und haben eine fast gleichmäßig  $1.6 \mu$  dicke Wandung, die mit Jod keine Blaufärbung gibt.

Quetscht man die Schläuche aus ganzen erweichten Perithezien heraus, so bleiben sie in einer zähen aus den verschleimten Paraphysen entstandenen Schleimmasse eingebettet, aus der sie nicht herauszubringen sind.

Der Pilz scheint ein Verbindungsglied zwischen den Sphaeriaceen und Pseudosphaeriaceen zu sein. Ähnlich scheint sich auch *Didymella maculaeformis* Winter (= *Oligostroma Proteae* Syd.) zu verhalten. Die Pseudosphaeriaceen dürften den Sphaeriaceen näher stehen als den Myriangiaceen, worüber aber noch weitere Funde Aufklärung bringen müssen.

*Laestadia Salicis* (Fuck.) Rehm in Herb. gleich *Physalospora Salicis* (Fuck.) Sacc. (Syll. F. I. Bd., p. 439) entwickelt sich an dünnen Weidenzweigen unmittelbar unter der Epidermis oder dem Periderm. Die meist einzeln stehenden  $200-250 \mu$  breiten,  $140 \mu$  dicken Perithezien sind oft zu mehreren miteinander verwachsen. Die  $25 \mu$  dicke Perithezienmembran besteht aus 6—7 Lagen von dünnwandigen, graubraunen flachen, meist  $6-8 \mu$  großen Parenchymzellen. Oben sind die Perithezien sehr flachkegelig und zeigen ein  $15-20 \mu$  weites Ostium, das aber oft schlecht entwickelt ist oder anscheinend fehlt. Paraphysen zahlreich, lang, fädig, bis  $2 \mu$  dick, schleimig verbunden. Die zarthäutigen Schläuche sind spindelig, oben verschmälert abgestutzt,  $64-70 \asymp 8-13 \mu$  groß und unten allmählich in einen breiten Stiel verschmälert. Jod färbt nur selten eine sehr dünne Querplatte an der wenig verdickten Spitze der Schläuche blau. Die Sporen sind meist größer als angegeben wird,  $14-18 \asymp 6 \mu$ , selten bis  $20 \mu$  lang. Sie zeigen an den abgerundeten Enden je ein Ölropfchen.

Die Art hat *Physospora Salicis* (Fuck.) v. H. zu heißen.

*Laestadia echinophila* (Schw.) Sacc. (Ellis and Everh., North-Am. Pyrenomyc. 1892, p. 263) wäre nach dem Exemplar in Ellis and Everh., North-Am. F. No. 758 ein eigentümlicher, nicht ganz klarer Konidienpilz.

Die Pykniden sind kohlig, doch schneidbar, rundlich,  $140-200 \mu$  groß, entwickeln sich einzeln oder zu wenigen verschmolzen 2—3 Zellschichten tief unter dem Epidermis und brechen stark hervor, schließlich zum Teile oberflächlich werdend. Oben zeigen sie ein eckigrundliches, flaches, scharf begrenztes Ostium. Die Pyknidenmembran ist außen

etwas rauh,  $15\text{ }\mu$  dick und besteht aus vielen Lagen von  $3-7\text{ }\mu$  großen Parenchymzellen. In der unteren Hälfte der Pykniden sitzen auf einer hyalinen ziemlich dicken Basalschicht dicht nebeneinander, hyaline,  $30-60\text{ }\mu$  lange, unten zylindrische und drei- bis vierzellige und  $3-5\text{ }\mu$  dicke, nach oben hin ganz allmählich lang und fein zugespitzte Gebilde, die entweder Konidienträger oder Konidien sind. Dieselben bilden eine feste Masse, die erst nach Kalieinwirkung und Druck ihren Bau erkennen lässt. Ob etwa  $8 \approx 1.5\text{ }\mu$  große, spindelige, beidendig scharf spitze, hyaline, spärlich zu findende Konidien (?) zum Pilze gehören, war nicht festzustellen.

*Rhabdospora acanthophila* Mass. (Syll. Fung. XVI. Bd. p. 979) und *Stagonospora Castaneae* Mass. (S. F. X. Bd. p. 332) wären damit zu vergleichen.

*Guignardia Freycinetiae* Rehm (Philipine Jour. Science 1913, VIII. Bd., p. 184) ist falsch beschrieben und nach dem Originalexemplare eine Hyponectriee. Die kreisrunden,  $500\text{ }\mu$  breiten Perithezien sind flach linsenförmig zusammengedrückt,  $130\text{ }\mu$  dick. Die Perithezienmembran ist dünn, aus stark zusammengepreßten hyalinen oder bläß fuchsrötlichen Hyphen aufgebaut. Einzelne Elemente enthalten eine fuchsrote homogene anscheinend harzige Masse. Die Perithezien sitzen zwei Zelllagen unter der Epidermis, welche über denselben abstirbt und einen opakschwarzen Inhalt erhalten. Dadurch entsteht ein Scheinlýpeus, an dem aber das Pilzgewebe nicht beteiligt ist. Paraphysen sehr zahlreich, langfädig, mit vielen Ölträpfchen und stark verschleimend. Die zarthäutigen, mit Jod sich nicht färbenden Schläuche sind spindelförmig und lang und dünn gestielt, bis  $80 \approx 10\text{ }\mu$  groß, achtsporig. Die Sporen sind gerade, einzellig, nadelförmig, oben breiter und stumpf, nach unten allmählich verschmälert und spitz, mit homogenem oder grobkörnigem Inhalt, farblos, dann zum Teile fuchsrot gefärbt,  $28-32 \approx 2-2.5\text{ }\mu$  groß.

Der Pilz kann nicht als *Micronectria* Spegazzini betrachtet werden (Syll. Fung. IX. Bd., p. 996). Diese bisher monotypische Gattung hat etwas hervorbrechende Perithezien, keine Paraphysen, lange schmal zylindrische sitzende Schläuche und sehr dünne lang fadenförmige Sporen.

Der Pilz stellt eine neue Gattung dar, die ich *Micronectriopsis* nenne. Diese unterscheidet sich von *Micronectria* Speg. durch die bleibend eingewachsenen Perithezien, zahlreichen Paraphysen, spindelförmigen langgestielten Schläuche und die sich schließlich färbenden, nadelstäbchenförmigen kürzeren Sporen.

*Micronectriopsis Freycinetiae* (R.) v. H. ist zunächst mit *Micronectria Pterocarpi* Raciborski (Parass. Algen u. Pilze Javas 1900, III. Teil, p. 21) verwandt. Die Beschreibung dieser Art ist gut, nur sind die Perithezien fast farblos und färbt sich der ganze Pilz mit Jod schön weinrot und nach Kochen mit Kalilauge schön blau. Die Paraphysen sind oben unregelmäßig kurz verzweigt und verschleimen. Die breitspindligen Schläuche

sind stiellos. Die hyalinen, fast zylindrischen Sporen sind mit 4—6 deutlichen Querwänden versehen.

Dieser Pilz gehört in die von mir im Sitzungsber. K. Akad. Wien, mat-nat. Kl. Abt. I. 1906, 115. Bd., p. 1194 vorgeschlagene Gattung *Micronectriella* und hat daher *Micronectriella Pierocarpi* (Rac.) v. H. zu heißen.

Der von Feltgen beschriebene, von mir l. c. *Micronectria unicaudata* (Feltg.) v. H. genannte Pilz ist völlig zu streichen, denn die wiederholte Prüfung desselben ergab, daß er nichts anderes als *Rebentischia unicaudata* in schlecht entwickeltem und unreifem Zustande ist.

Die Gattung *Micronectriella* v. H. kann als eine eingewachsene *Calosnectria* angesehen werden.

Aus der Untersuchung der Gattung *Laestadia* hat sich ergeben, daß die 30 geprüften Arten in 17 verschiedene Schlauchpilzgattungen gehörten, die in vier verschiedene Abteilungen gehören. 2 sind Hyponectrieen, 8 sind Sphaeriaceen, 6 sind dothideal, 1 ist eine Montagnellee. Eine Art erwies sich als ein Konidienpilz. Fünf Gattungen mußten neu aufgestellt werden.

### CCII. Über *Physalospora Clarae-bonae* Spegazzini.

Diese Art wurde von Theissen in Ann. Myc. 1916, XIV. Bd., p. 414 in seine Gattung *Plectosphaera* gestellt, welche jedoch, wie ich fand, von *Phyllachora* nicht verschieden ist.

Die Untersuchung der von Krieger in den F. saxon. No. 1571 und Rehm, Ascom. exs. No. 1423 ausgegebenen Exemplare zeigte mir, daß die Perithezien ganz unter der unveränderten Epidermis eingewachsen sind und nur mit der Mündungspapille dieselbe durchbrechen. Jede Spur eines Clypeus fehlt. Die Perithezienmembran ist nicht, wie Theissen sagt, aus schmalen gelbbräunlichen Hyphen geflochten, sondern besteht aus mehreren Lagen von bräunlichen zarten, 4—6  $\mu$  breiten, unregelmäßig angeordneten, eckigen Parenchymzellen. Davon kann man sich leicht an durch Kochen mit Kalilauge isolierten Perithezien überzeugen.

Der Pilz ist offenbar eine echte *Physosporella* v. H. = *Physalospora* Aut. non Nießl (nach der Grundart).

### CCIII. Über *Phomatospora Fragariae* Krieger et Rehm.

Der in Ann. mycol. 1906, IV. Bd., p. 39 beschriebene Pilz ist in Krieger, F. saxon. No. 1979 ausgegeben.

Derselbe tritt auf der Unterseite abgestorbener Blätter locker zerstreut auf. Er entwickelt sich unter der Epidermis, ist bei einer Blattdicke von 70  $\mu$  150—220  $\mu$  breit und 180  $\mu$  hoch, ragt daher stark vor. Die braune Perithezienmembran ist oben dicker, unten und seitlich 8—12  $\mu$  dick und besteht aus drei bis mehr Lagen von flachen, violettblauen 8—14  $\mu$  großen Zellen. Das 18  $\mu$  weite rundliche Ostiolum liegt in einer 25—30  $\mu$

hohen kegeligen,  $50\text{ }\mu$  breit abgestützten Scheibe. Von oben gesehen erscheint die Mündung von einem  $60-80\text{ }\mu$  breiten schwarzen Ring umgeben. Paraphysen sind vorhanden, lang, fädig, stark verschleimend, ebenso wie die Periphysen am Ostium. Die zarthäutigen, zylindrischen bis keuligen Schläuche sind  $60 \asymp 6-11\text{ }\mu$  groß. Jod färbt an der verdickten Schlauchspitze eine sehr dünne Querplatte blau. Die einzelligen elliptisch-spindligen Sporen haben einen homogenen Inhalt und liegen 1—2 reihig. Der Pilz ist eine gute *Physospora*, *Ph. Fragariae* (Kr. et R.) v. H.

#### CCIV. Über *Sphaeria Polypodii* Rabenhorst und die *Mycosphaerella*-Arten auf Farnen.

Fuckel hat die *Sphaeria Polypodii* Rabenhorst mit dem angeblich in Rabenh., Herb. myc. II., No. 533 (?), ausgegebenen Exemplare verglichen und in seinen Fung. rhen. No. 2019 auf *Polypodium vulgare* ausgegeben. Er reihte ihn in die Gattung *Sphaerella* ein. Winter (Krypt. Fl. Deutschl. 1887, Pilze II., p. 393) betrachtet ihn als zweifelhafte *Sphaerella* und gibt an, daß die Sporen einzellig sind. Auerswald brachte die Art zu *Leptosphaeria*. Krieger gibt bei seinem Exemplare desselben in den F. saxon. No. 727 an, daß die Sporen einzellig und Paraphysen vorhanden sind; er möchte ihn zu *Physalospora* stellen.

Die Untersuchung von Fuckels und Kriegers Exemplar zeigte mir, daß die Angaben des letzteren richtig sind.

Mit der *Sphaeria Polypodii* Rbh. ist identisch die *Laestadia Polypodii* Magn. et Sacc. 1885 (Atti istit. Venet. scienc. 6. Ser., III. Bd., p. 737, Taf. VIII, Fig. 6).

Der Pilz muß *Physospora Polypodii* (Rbh.) v. H. genannt werden.

Fuckel hat von angeblich demselben Pilze auch eine Forma *Aspidii* (F. rhen. No. 854), eine F. *Asplenii* (F. rhen. No. 1775) und eine F. *Pteridis* (F. rhen. No. 853) ausgegeben. Allein die Untersuchung dieser Exemplare zeigte mir, daß alle drei Formen andere Pilze und völlig unreif sind. Auf Farnblättern sind eine ganze Anzahl von *Sphaerella*-Arten beschrieben, von denen ich 6 untersuchen konnte.

Der von Bäumler in Österr. bot. Ztschr. 1884, 34. Bd., p. 328 als *Sphaerella Polypodii* (Rbh.) Fuckel auf *Asplenium Trichomanes* angeführte Pilz ist nach der Beschreibung nicht diese Art, sondern die *Sphaerella Filicum* (Desm.) nach dem Originalexemplare in Desmazières, Fl. crypt. France, 1839 No. 983.

*Sphaerella Asplenii* Auerswald auf *Asplenium septentrionale* ist nach mehrfach selbstgesammelten Exemplaren und nach der Beschreibung von *Sphaerella Filicum* (Desm.) durch die mehr zylindrischen, schwach spindelförmigen, meist nur  $2-2.5\text{ }\mu$  breiten Sporen verschieden, deren obere Zelle kaum merklich kürzer und breiter ist als die untere. Die Sporen werden  $13-18\text{ }\mu$  lang. Die Perithezien werden bis  $120\text{ }\mu$  breit. Die

Schläuche sitzen breit auf, sind spindelig-keulig, etwas unter der Mitte am breitesten und oben sehr dickwandig, bis  $48 \approx 13 \mu$  groß.

Das Originalexemplar von *Sphaerella Filicum* (Desm.) auf *Asplenium Adiantum nigrum* hat relativ breitere länglich-keilige  $12-13 \approx 3.5 \mu$  große Sporen, deren obere Zelle deutlich breiter ist.

Doch scheint es mir, daß beide Arten durch Übergänge verbunden sind, denn ich fand bei Ajaccio auf Korsika auf *Asplenium Adiantum nigrum* eine Mittelform mit deutlich keiligen  $14-16 \approx 3 \mu$  großen Sporen. Dazu kommt, daß diese Arten nur selten gut ausgereift sind und beruhen möglicherweise die gefundenen Unterschiede auf ungleich gutgereiften Exemplaren.

Die *Sphaerella Polypodii* Fuck. F. *Asplenii* (F. rhen. No. 1775) gehört jedenfalls zu einer dieser beiden Arten, ist aber ganz unreif.

*Sphaerella tirolensis* Auerswald habe ich nicht gesehen. Nach Auerswald (Mykol. europ. 1869, Heft V u. VI, p. 20, Taf. 6, Fig. 84) sind die Sporen subhyalin (gelblich). Scheint von *Sphaeria Polypodii* Rabh. verschieden zu sein und gehört kaum in die Gattung.

*Sphaerella tirolensis* (Auersw.) v. *allosoricola* Cesati hat nach dem Original-exemplare in Erb. crittog. ital. No. 493  $120 \mu$  große Perithezien mit dünner aus bis  $18 \mu$  großen braunen Zellen bestehender Membran. Die Schläuche sind unreif, zylindrisch, unten kurzknopfig gestielt,  $36-42 \approx 6-7 \mu$  groß. Die Sporen scheinen nur etwa  $2 \mu$  breit und relativ lang zu sein. Die Dothithozien sitzen auf beiden Blattseiten. Danach hat die Art mit *Sph. tirolensis* kaum etwas zu tun und wird eine eigene Art sein, *Carlia allosoricola* (Ces.) v. H.

*Sphaerella Polypodii* Fuckel F. *Aspidii* Fuck. (F. rhen. No. 854) ist ganz unreif, ohne Schläuche; *Sphaerella aquilina* (Fr.) Awld. F. *Aspidiorum* Sacc. (Ann. Myc. 1909, VII. Bd., p. 435) in Sydow, Mycoth. germ. No. 784, gleich *Mycosphaerella aquilina* (Fr.) Schröt. F. *Aspidiorum* (Sacc.) Jaap in Jaap, F. sel. exs. No. 615 und Krieger, F. saxon. No. 2063, sowie *Mycosphaerella Asplenii* (Awld.) v. *Aspidii* v. H. (Ann. Myc. 1909, VII. Bd., p. 136) in Rehm, Ascom. exs. No. 1809, sind, wie der Vergleich der drei Originalexemplare zeigte, derselbe Pilz. Derselbe tritt im Gegensatze zu *Sph. Polypodii*, *aquilina*, *Asplenii*, *tirolensis* und *Pteridis* auf beiden Blattseiten auf. Das Ostiolum ist oft schwarz umringt und die Membranzellen werden  $10-20 \mu$  groß. Schlüche zylindrisch, sitzend, meist gekrümmmt, bis  $36 \approx 8 \mu$  groß. Sporen  $9-13 \approx 2-3 \mu$ . Die Exemplare sind alle schlecht ausgereift. Der Pilz hat *Carlia Aspidii* (Fuck.) v. H. zu heißen. Danach sind auf den Wedeln unserer Farne folgende Formen anzunehmen.

I. Dothithozien auf beiden Blattseiten. Membranzellen bis  $10-20 \mu$ .

1. *Carlia Aspidii* (Fuck.) v. H. auf *Aspidium*.
2. *Carlia allosoricola* (Ces.) v. H. auf *Allosorus*.

II. Dothithozien nur blattoberseits. Membranzellen meist unter  $10 \mu$ .

3. *Carlia Asplenii* (Awld.) v. H. auf *Aspl. septentrionale* u. *A. Trichomanes*.
4. *Carlia Filicum* (Desm.) v. H. auf *Aspl. Adiantum nigrum*.

5. *Carlia aquilina* (Fries) v. H. auf *Pteris aquilina*.
6. *Carlia Pteridis* (Desm.) v. H. auf *Pteris aquilina*.
7. *Carlia tirolensis* (Awld.) v. H. auf *Polypodium vulgare*.

Gut ausgereifte Exemplare dieser Pilze werden noch zu untersuchen sein und weitere Anhaltspunkte zur Unterscheidung einzelner Arten liefern.

#### CCV. Über die Gattung *Isothea* Fries.

Wurde aufgestellt in Fries, Summa veget. scand. 1849, p. 421, auf Grund von *Sphaeria rhytismaoides* Babington (in Ann. Mag. nat. Hist. 1841, VI. Bd., p. 361). Der Pilz wurde von de Notaris zu *Sphaerella*, von Saccardo zu *Laestadia* und von Nießl zu *Hypospila* gestellt. Berkeley und Winter beschrieben ihn ganz gut, während Rehm und Karsten (*Hedwigia* 1885, 24. Bd., p. 242) ihn unrichtig auffaßten.

Auf Querschnitten macht derselbe den Eindruck, als wenn er schwarze, sehr derbwandige Perithezien ohne Stroma hätte. So fassen ihn auch Rehm und Karsten auf. Derselbe hat jedoch sehr weichfleischige, hyaline Perithezien, die nur um das Ostium herum wenig geschwärzt sind, welche aber ringsum oder doch wenigstens oben und unten von einer ziemlich gleichmäßig  $40\text{ }\mu$  dicken, dicht anschließenden, stromatischen, perithezienähnlichen, mehr minder schwarzen Schicht umgeben sind. Diese Schicht bildet oben einen glänzenden Klypeus, der mit der Epidermis-außewand fest verwachsen ist. In diesem Klypeus ist niemals eine Durchbruchsstelle über dem kleinen flachen Ostium der Perithezien zu sehen, es scheint daher, daß die Entleerung derselben erst nach dem völligen Vermorschen der Blätter stattfindet. Das stromatische Gewebe besteht aus teils hyalinen, sehr dickwandigen,  $4-8\text{ }\mu$  breiten und aus nur  $1.5-3\text{ }\mu$  breiten violettschwarzen Hyphen, welche beide plektenchymatisch dicht verbunden sind. Daher sieht man an dünnen Schnitten rundliche oder längliche hyaline, sehr stark verdickte Zellen, zwischen welchen die schwarzen, dünnen Hyphen verlaufen.

Die Perithezienmembran ist etwa  $25\text{ }\mu$  dick, hyalin, weichfleischig und besteht aus vielen Lagen von stark zusammengepreßten Zellen, die aber in der Flächenansicht meist nur sehr undeutlich sind. Um das fast flache, rundliche, etwa  $20-25\text{ }\mu$  weite Ostium herum wird das Membran-gewebe kleinzelliger und nimmt eine schwach schwärzlichgraue Färbung an. Die Zellen der Perithezienmembran sind  $8-20\text{ }\mu$  groß. Unter dem Ostium befindet sich eine  $30\text{ }\mu$  dicke Schicht von Periphysen. Echte Paraphysen fehlen. Man findet nur spärlich sehr zarthäutige, verknitterte, bis  $8\text{ }\mu$  breite Fäden zwischen den Schläuchen, die Pseudoparaphysen ähnlich sind. Die zahlreichen Schläuche sind dünnwandig, spindelig-keulig, oben verschmälert abgerundet und nicht verdickt, unten  $32\text{ }\mu$  lang gestielt und bis  $90 \times 16\text{ }\mu$  groß. Der Schlauchstiel ist  $3-4\text{ }\mu$  dick. Jod gibt keine Blaufärbung der Schläuche. Die elliptisch-länglichen bis

$15 \approx 6 \mu$  großen Sporen sind zartwandig und haben einen schwach gelblichen sehr feinkörnigen homogenen Inhalt.

Trotz der weichfleischigen hyalinen Beschaffenheit der Perithezien ist der Pilz keine Hyponectriee. Er ist auch keine Diaporthee, sondern mit *Anisostomula* und *Physosporcella* verwandt, von beiden Gattungen aber durch das Stroma und die mangelnden Paraphysen verschieden.

Die Gattung *Isothea* Fries hat ihre volle Berechtigung und muß erhalten bleiben.

#### CCVI. Über die Gattung *Didymella* Saccardo.

*Didymella* wurde 1878 in *Michelia*, I. Bd., p. 376, als Untergattung von *Didymosphaeria* auf Grund von *Didymosphaeria exigua* Nießl (Österr. bot. Ztschr. 1875, 25. Bd., p. 165) aufgestellt und 1882 in der *Syll. Fung.* I., p. 545 zur Gattung erhoben.

Nachdem ich im nachfolgenden Mycologischen Fragment No. CCVII die Gattung *Didymellina* auf Grund der *Dothidea Iridis* Desm. (Ann. sc. nat. Bot. 1847, 3. Sér., VIII. Bd., p. 176) aufgestellt habe, welche Gattung sich von *Didymella* Sacc. nur durch den Mangel der Paraphysen unterscheiden sollte, war es notwendig, festzustellen, was eigentlich *Didymosphaeria exigua* N. ist.

Das von Schröter auf dünnen Stengeln (*Dipsacus?*) gesammelte Originalexemplar war, wie mir Hofrat v. Nießl gütigst mitteilte, sehr klein. Es könnte vielleicht in Schröters Sammlung in Breslau noch vorhanden sein.

Ich konnte daher nur die von Krieger auf *Rumex Acetosella* gesammelten Exemplare prüfen, die in Rehm, *Ascomyc. exs.* No. 741 und Krieger, *F. sax.* No. 1676 ausgegeben sind. Nach v. Nießls freundlicher Mitteilung, der die No. 741 neuerdings untersucht hat, dürfte dieselbe echt sein; sicher aber steht Rehms Pilz dem Schröterschen sehr nahe. Es kann daher angenommen werden, daß beide Pilze sich im wesentlichen gleich verhalten. Kriegers No. 1676 röhrt vom selben Standorte her wie Rehms No. 741 (1883), ist aber 1901 gesammelt und weniger gut ausgereift.

Die Untersuchung dieser zwei Kriegerschen Aufsammlungen zeigte mir nun, daß *Didymosphaeria exigua* N. eine echte Sphaeriacee ist. Die unter der Oberhaut eingewachsenen Perithezien sind rundlich,  $100-140 \mu$ , dunkelbraun dünnhäutig, oben mit flacher Papille und rundlichem bis über  $10 \mu$  weitem Ostium. Die flachen Membranzellen sind bis über  $10 \mu$  groß und dünnwandig. Die Schläuche sind zahlreich, kurzknopfig sitzend, keulig  $45-50 \approx 12 \mu$  und gestreckt bis  $72 \approx 8-10 \mu$  groß. Sie geben mit Jod keine Blaufärbung. Die zweizelligen hyalinen Sporen sind meist schwach gekrümmmt. Zwischen den Schläuchen sind zahlreiche, stark verschleimende, lange Paraphysen vorhanden, die oben, anscheinend verzweigt den Raum über den Schläuchen ausfüllen.

Man ersieht daraus, daß der Pilz mit der Originalbeschreibung sehr gut übereinstimmt. Es ist daher *Didymella* Sacc. bisher richtig aufgefaßt worden.

### CCVII. Über *Dothidea Iridis* Desmazières.

Der Pilz ist beschrieben in Ann. scienc. nat. Bot. 1847, 3. Ser., VIII. Bd., p. 176 und in Desmaz., Pl. crypt. France 1853, No. 94 ausgegeben.

In der Syll. Fung. 1883, II. Bd., p. 178, wird derselbe als *Metasphaeria* beschrieben, während Berlese, Icon. Fung. 1894, I. Bd., p. 146, denselben zu *Sphaerulina* stellt, denselben jedoch in dieser Gattung nicht behandelt.

Derselbe hat, nach dem Originalexemplare in Herden auftretende, unter der Epidermis eingewachsene, kugelige, etwa  $80\text{ }\mu$  breite und  $60\text{ }\mu$  dicke Perithezien. Die gelb- bis dunkelbraune Perithezienmembran ist  $6-7\text{ }\mu$  dick und besteht aus 1—2 Lagen von  $4-8\text{ }\mu$  großen dünnwandigen Zellen. Oben ist eine kurze zylindrische Mündungspapille vorhanden, welche die Epidermis durchsetzt. Paraphysen fehlen. Die Schläuche sind  $40-48 \approx 12-15\text{ }\mu$  groß, unten dünnwandig und bauchig, oben zylindrisch, abgerundet und dickwandig. Die 8 zwei—dreireihig stehenden Sporen sind nur im Schlauch zu beobachten, nicht gut ausgereift, zweizellig, länglich-zylindrisch, hyalin und etwa  $16-18 \approx 4\text{ }\mu$  groß. Die Schläuche sind nicht rosettig-gebüschtelit angeordnet, sondern stehen unten parallel. Schematisch betrachtet, könnte der Pilz als *Mycosphaerella* angesehen werden. Allein nach dem mycologischen Fragment No. CCXXX ist *Sphaerella* Fries eine dothideale Gattung, während *Dothidea Iridis* Desm. zweifellos eine einfache Sphaeriacee ist.

Johanson stellte zu *Mycosphaerella* auch die *M. polyspora* Joh. mit 16-sporigen Schläuchen. Da nun Saccardo ebenso wie Winter den Namen *Sphaerella* Fries-Ces. et de Not. p. p. em. Sacc. 1875 beibehält, so beschränkt er den Namen *Mycosphaerella* Joh. auf die Arten mit 16 Sporen (Syll. Fung. 1891, IX. Bd., p. 659). Weil nun aber der Name *Mycosphaerella* Joh. 1884 p. p. heute fast allgemein für die 8-sporigen Arten angenommen wurde, hat Grove für die 16-sporigen Arten die Gattung *Diplo-sphaerella* Grove 1912 = *Mycosphaerella* Sacc. 1891 (Joh. p. p.) aufgestellt (Journ. of Bot. 1912, 50. Bd., p. 89). Da *Carlia Oxalidis* Rabenhorst 1857 eine gutbekannte echte *Sphaerella* Fries ist, so hat der Name *Carlia* Rbh. als der ältere den Vorrang vor *Mycosphaerella* Joh. 1884.

Die echten *Sphaerella*-Arten im Sinne von Fries müssen daher *Carlia* Rbh. genannt werden.

Mit der Annahme dieses Namens sind nicht so viele Umbenennungen verbunden, als man glauben möchte, denn sehr viele Arten der alten Gattung *Sphaerella* gehören ohnehin in andere Gattungen (*Didymella* Sacc., *Didymellina* v. H., *Mycosphaerellopsis* v. H. (Pseudosphaeriacee), *Leptophaci-dium* v. H. (Phacidiacee) usw.).

*Dothidea Iridis* ist daher keine *Carlia (Mycosphaerella)*, sondern eine *Didymella* Sacc. 1878 ohne Paraphysen. Sie gehört in eine eigene Gattung, die ich *Didymellina* nenne und in die viele der heutigen *Mycosphaerella*-Arten gehören werden.

Es gibt aber auch *Leptosphaeria*- und *Metasphaeria*-Arten ganz ohne Paraphysen. Auch diese Arten gehören in eigene Gattungen, die noch studiert werden müssen.

*Didymellina Iridis* (Desm.) v. H. ist seither noch zweimal als neue Art beschrieben worden.

*Sacidium Desmazierii* Montagne in Herb. 1857 (Bull. soc. bot. France, IV. Bd., p. 861) ausgegeben in Desmaz., Pl. crypt. France 1856, No. 351, ist genau der gleiche Pilz, aber unreif (Fragm. No. 557, XI. Mitt. 1910). Ebenso ist *Sphaerella Iridis* Auerswald 1869 derselbe Pilz, der in mehreren Exsikkaten gutgereift ausgegeben ist.

#### Didymellina v. Höhnel n. G.

Syn.: *Sphaerella* und *Mycosphaerella* p. p.

Wie *Didymella* Sacc., aber ohne Paraphysen. Jod gibt keine Blaufärbung.

Typus-Art: *Didymellina Iridis* (Desm.) v. H.

Syn.: *Dothidea Iridis* Desmazières 1847,

*Sacidium Desmazierii* Montagne in Herb. 1857,

*Sphaerella Iridis* Auerswald 1869,

*Metasphaeria Iridis* (Desm.) Saccardo 1883,

*Mycosphaerella Iridis* (Awld.) Schröter 1894,

*Sphaerulina Iridis* (Desm.) Berlese 1894,

*Sphaerella Desmazierii* (Mont.) Sacc. 1895,

*Sphaerella Desmazierii* (Roberge) v. H. 1910.

#### CCVIII. Über *Sphaeria (Depazea) phaseolicola* Roberge in Herb.

Der in Ann. scienc. nat. Botan. 1849, 3. Ser., XI. Bd., p. 358 beschriebene Pilz ist in Desmazières, Pl. crypt. France 1856, No. 359, ausgegeben. Auf den Blattflecken befinden sich zwei Pilze mit ganz gleichen, kugeligen, dünnhäutigen, braunen, ziemlich großzelligen  $100-130 \mu$  großen Gehäusen, die herdenweise gemischt unter der Epidermis eingewachsen sind und die  $140 \mu$  betragende Blattdecke fast einnehmen. Das Ostiolum ist dunkler berandet, rundlich und bis  $25 \mu$  breit.

Diese zwei Pilze gehören sicher zusammen, als Schlauchpilz und Konidienpilz. Der eine ist die *Ascochyta Boltshauseri* Sacc. (Zeitschr. f. Pflanzenkrankh. 1891, I. Bd., p. 135, Tafel III) mit  $17-25 \times 5-6.5 \mu$  großen Konidien. Diese sind wenig kleiner, als nach der Beschreibung ( $22-28 \times 7-8 \mu$ ). Der Pilz ist indes sehr variabel.

Der andere Pilz ist ein Pyrenomycet ohne Paraphysen und mit zylindrischen, sitzenden, etwa  $46 \times 12 \mu$  großen Schläuchen, die mit Jod

keine Blaufärbung geben, mit 8 zweireihig stehenden hyalinen, etwa  $16-18 \times 3-4 \mu$  großen, länglich-spindeligen, zweizelligen Sporen. Da die Schläuche am Grunde der Perithezien parallel sitzen, so ist der Pilz eine *Didymella* ohne Paraphysen und keine *Mycosphaerella*. Dieser Pyrenomyzet hat nun *Didymellina phaseolicola* (Rob.) v. H. zu heißen. Ich habe die Sporen desselben nur im Schlauch gesehen, daher die Angaben über dieselben verbessерungsbedürftig sein werden.

Schon der Umstand, daß die Pyknidenform dieses Pilzes eine *Ascochyta* ist, zeigt, daß derselbe keine *Mycosphaerella* ist, denn die Arten dieser Gattung haben *Septoria*-Arten als Pyknidenpilze.

Stone (Ann. Myc. 1912, X. Bd., p. 564) hat durch eingehende Kultursversuche nachgewiesen, daß *Mycosphaerella pinodes* (Berk. et Blox.) Stone und *M. lethalis* Stone als Nebenfrüchte *Ascochyta Pisi* Libert, beziehungsweise *Ascochyta lethalis* Ell. et Barth. besitzen. Betrachtet man jedoch seine Abbildungen (l. c. Taf. 19 und 20) der beiden angeblichen *Mycosphaerella*-Arten, so erkennt man, daß es *Didymellina*-Arten sind, die *Didymellina pinodes* (Bk. et Blox.) v. H. und *D. lethalis* (Stone) v. H. genannt werden müssen.

#### CCIX. Über *Sphaeria immunda* Fuckel.

Der Pilz ist im Symbol. mycol. 1869, p. 108 beschrieben und in den F. rhen. No. 843 ausgegeben.

Derselbe hat äußerlich eine entfernte Ähnlichkeit mit *Chalcosphaeria Pustula* (P.) v. H. und wurde daher von Saccardo (Syll. Fung. 1883, II. Bd., p. 190) in die Gattung *Hypospila* Karsten (non Fries) gestellt. Diese Gattung teilte Saccardo in zwei Sektionen, je nachdem die Sporen vier- oder zweizellig sind. Die Sektion für die zweizellig-sporigen Arten nannte er *Hypospilina*. Bei *Hypospilina* stehen zwei Arten. Die erste oder Grundart ist *H. bifrons* (D. C.) Fr. Diese ist aber die Grundart von *Hypospila* Fr. (Summ. veget. scand. 1849, p. 421). Daher ist *Hypospilina* Sacc. 1883 gleich *Hypospila* Fries 1849 (Sporen sehr ungleich zweizellig).

Die zweite *Hypospilina* ist die *Sphaeria immunda* Fuckel. Diese hat hyaline, gleich-zweizellige Sporen und ist schon deshalb gattungsverschieden. Sie ist nicht, wie Fuckel meint, mit der *Sphaeria Pustula* nahe verwandt, auch keine Diaporthee, sondern eine *Didymella* mit einem Klypeus.

Die Untersuchung zeigte mir, daß die lebhaft gelbbraunen, runden,  $160-180 \mu$  breiten und  $120-160 \mu$  hohen Perithezien, einzeln oder zu wenigen nebeneinander im Mesophyll eingewachsen sind. Die Perithezienmembran ist etwa  $18 \mu$  dick und besteht aus vielen Lagen von zusammengepreßten Zellen, deren äußere gelbbraun und klein sind. Blattoberseits ist der Pilz von der unveränderten Epidermis bedeckt. Blattunterseits befindet sich ein  $10-20 \mu$  dicker Klypeus, der aus  $2-3 \mu$  breiten dunkelbraunen Hyphen besteht und mit der Epidermisaußenwand verwachsen ist. Derselbe ist mit dem flachkegeligen Scheitel der Perithezien nicht

verwachsen und befindet sich in den Epidermiszellen und 1 bis 2 Lagen des darunterliegenden Parenchyms. Die  $18\text{ }\mu$  breite runde Öffnung der Perithezien ist von  $3-4\text{ }\mu$  großen dunkelbraunen Zellen umgeben und sitzt auf einen niedrigen Kegel, der den Klypeus durchbricht, aber nicht vorragt. Paraphysen sehr zahlreich, langfädig, verschleimt-verbunden. Die Schläuche sind zylindrisch, bis  $90 \times 6-7\text{ }\mu$  groß. Ihr Porus färbt sich mit Jod blau. Die einreihig stehenden Sporen sind nicht gut ausgereift, hyalin, elleptisch, etwa  $10 \times 5\text{ }\mu$  groß und stets zweizellig. Der Pilz hat bis auf weiteres *Didymella immunda* (Fuck.) v. H. zu heißen, doch vermute ich, daß die Sporen schließlich braun werden und würde dann der Pilz zu *Massariopsis* Nießl gehören (Ann. Myc. 1906, IV. Bd., p. 269).

Berlese (Icon. F. 1894, I. Bd., p. 123, Taf. CXXX) hat die *Sphaeria immunda* auch untersucht und ist zu ähnlichen Ergebnissen gelangt, wie ich. Trotzdem betrachtet er dieselbe als echte *Hypospila*, was ganz falsch ist.

#### CCX. Über die Gattungen *Oxydothis* Penz et Sacc. und *Merrilliopeltis* P. Henn.

Von diesen zwei Gattungen geben Theiß en und Sydow (Ann. Myc. 1914, XII. Bd., p. 277, 1915, p. 182) an, daß sie zusammenfallen. Das ist aber unrichtig. Der Nukleus ist bei beiden allerdings gleich gebaut, allein *Merrilliopeltis Calami* P. Henn (Hedwigia 1908, 47. Bd., p. 261) hat nach meiner Beschreibung in Fragm. No. 694 (XIII. Mitt. 1911) aufrechte, flache Perithezien, mit zentralem Ostiolum und der über denselben befindliche Teil des Klypeus wird deckelartig abgeworfen, während die Grundart *Oxydothis grisea* P. et S. (Icon. Fung. Jav. 1904, p. 36) liegende, abgeflachte Perithezien besitzt, deren Mündung randständig ist und neben denselben hervorbricht, während der Klypeus nicht deckelartig abgeworfen wird. Betrachtet man den Pilz von außen mit der Lupe, so sieht man knapp neben jedem schwachgewölbten Klypeus eine schwarze Warze, die das Ostiolum enthält. Dasselbe ist auch bei den beiden anderen von Penzig und Saccardo beschriebenen Arten (*O. nigricans* und *O. maculosa*) der Fall.

Auch *Merrilliopeltis Höhnelii* Rehm (Phil. Journ. Sciene. 1913, VIII. Bd., p. 186) ist nach dem Originalexemplare in Rehm, Ascom. exs. No. 2117, eine *Oxydothis*, *O. Höhnelii* (R.) v. H.

Diese vier *Oxydothis*-Arten haben keulig-spindelige, oben etwas abgestutzte, zartwandige Schläuche, die an der zylindrischen Spitze bis  $9\text{ }\mu$  stark verdickt sind. In dieser zylindrischen Verdickung wird der  $3\text{ }\mu$  breite und hohe Porus mit Jod schön blau.

*Oxydothis* und *Merrilliopeltis* sind Anpassungsgattungen, die von *Ceriospora* Nießl abzuleiten sind. Eine, die Grundart dieser Gattung, *C. Dubyi* N. mit ihnen verbindende Form ist *Ceriospora bicalcarata* Ces. auf Zwergpalmenblattstielen.

CCXI. Über *Sphaeria aggregata* Lasch.

Wurde in Klotzschii Herb. viv. 1857 No. 541 beschrieben und ausgegeben (Bot. Zeitung 1857, XV. Bd., p. 428).

Der Pilz wurde erst von Fuckel (Symb. myc. 1869, p. 271) zu *Cenangium* gestellt, dann von Rehm in seinem Diskomyzeten-Werke, p. 212, zu *Scleroderris*, wo er noch heute bei allen Autoren steht.

Die Untersuchung des fast reifen schlauchführenden Exemplares in Rabenh.-Winter, F. europ. No. 2738, zeigte mir, daß der Pilz eine dothideale *Leptosphaeria* Ces. et de Not. (emend. v. H.) mit hyalinen Sporen und rasig wachsenden, hervorbrechenden Stromaten ist. Der Pilz sieht mit der Lupe betrachtet ganz so aus, wie *Leptosphaeria caespitosa* Nießl, oder *Sphaeria Heliospidis* Schw., *Sphaeria tumefaciens* Ell. et Harkn. und *Rosenscheldia paraguaya* Speg. die sich sämtlich von den gewöhnlichen *Leptosphaeria*-Arten mit einfachen, perithezienartigen Dothithezien nur durch das Hervorbrechen der rasig wachsenden Fruchtkörper und die verschieden starke Entwicklung des Basalstromas unterscheiden.

*Sphaeria aggregata* Lasch ist daher eine Dothideacee, die sich von *Phragmodothella* Th. et Syd. (Ann. Myc. 1915, XIII. Bd., p. 343) durch die rasig hervorbrechenden einfachen Dothithezien und die vorhandenen Paraphysen, von *Syncarpella* Th. et Syd. (l. c p. 631) und *Rosenscheldia* Speg. (l. c. p. 648) durch das so gut wie fehlende gemeinsame Basalstroma und die hyalinen Sporen unterscheidet. Da also *Sphaeria aggregata* Lasch eine hyalin-sporige *Leptosphaeria* Ces. et de Not. (non Aut.) ist, entsteht die Frage, ob sie nicht zu *Metasphaeria* Sacc. 1883 (Syll. F., II. Bd., p. 156) gehört. Die Grundart dieser Gattung ist *Sphaerella Böhmeriae* Rbh. in F. europ. No. 2341. Mein Originalexemplar zeigte keine Spur des Pilzes. Indessen zeigt schon der Umstand, daß der Pilz als *Sphaerella* beschrieben wurde, daß Paraphysen fehlen. In der Tat werden in der kurzen Beschreibung auf der Etiquette solche nicht erwähnt. Die Sporen sollen zwei Querwände haben. Der Pilz ist jedenfalls sehr klein.

Obwohl aus diesen Angaben nicht zu ersehen ist, was die *Sphaerella Böhmeriae* eigentlich ist, so genügen sie doch zu zeigen, daß die *Sphaeria aggregata* nicht zu *Metasphaeria* gehören wird. Sie stellt daher eine neue Dothideaceen-Gattung dar, die ich *Sclerodothis* nenne. Es ist anzunehmen, daß es so wie bei *Leptosphaeria* auch bei *Sclerodothis* Formen geben wird mit nicht oder kaum hervorbrechenden Dothithezien und mit mehr oder weniger entwickeltem gemeinsamen Basalstroma, weshalb ich die Gattungsbeschreibung von *Sclerodothis* dementsprechend erweitere. *Sclerodothis* n. G. Stromata Dothithezien-artig, eingesenkt, einzelnstehend oder rasig gehäuft, kaum oder mehr minder hervorbrechend. Gewebe aus derbwandigem Parenchym bestehend. Gemeinsames Basalstroma vorhanden oder meist fehlend. Paraphysen vorhanden. Schläuche keulig, achtsporig, mit Jod keine Färbung gebend; Sporen phragmospor, hyalin. Grundart: *Sclerodothis*

*aggregata* (Lasch) v. H. Syn.: *Sphaeria aggregata* Lasch 1857; *Cenangium aggregatum* (Lasch) Fuckel 1869; *Scleroderris aggregata* (Lasch) Rehm 1889.

*Sclerodothis aggregata* hat eine Nebenfrucht, die von Fuckel zuerst beschrieben und in den F. rhen. No. 977 ausgegeben wurde.

Es ist nun klar, daß, wenn *Sclerodothis* nichts anderes als eine *Leptosphaeria* mit hyalinen Sporen ist, beide Gattungen auch ähnliche Nebenfrüchte haben werden. Nach meinen Angaben in den Berichten der deutschen bot. Gesellschaft 1918, 36. Bd., haben nun die echten dothidealen *Leptosphaeria*-Arten *Plenodomus* Pr. (= *Leptophoma* v. H.) als Nebenfruchtgattung, daher war zu erwarten, daß *Sclerodothis* auch eine *Plenodomus*-artige Nebenfrucht haben werde. Das ist nun tatsächlich der Fall, wie mir die Untersuchung von Fuckels No. 977 zeigte. Diese zeigt rundliche, hervorbrechende, sehr derbwandige, sklerotisch-parenchymatische Gehäuse und hyaline zylindrische, zweizellige, etwa  $12-14 \times 2-2.5 \mu$  große Konidien auf undeutlichen Trägern. Es ist daher ein *Plenodomus* mit zweizelligen Sporen, gehört in die Gattung *Diploplénomodus* Diedecke (Ann. myc. 1912, X. Bd., p. 140) und hat *Diploplénomodus aggregatus* v. H. zu heißen.

Die Gattungen *Diploplénomodus* und *Plenodomus* gehören nicht zu den Sklerophomeen, wohin ich sie in meinem System der Fungi imperfecti stellte, sondern zu den dothidealen Pachystromaceen.

#### CCXII. Über *Anthostomella palmicola* (Auerswald) Rabh.

Der 1866 als *Sordaria* ausgegebene Pilz ist bisher nicht näher bekannt geworden und daher unbestimbar geblieben. Traverso konnte an den Exsikkaten in Rabenh., F. europ. No. 1446 und Thümen, Myc. univ. No. 2168 nur die *Phaeochora Chamaeropis* (Cooke) v. H. (= *Haplosporella dothideoidea* Sacc.) finden. Ich fand ihn hingegen gut entwickelt am Original-exemplare in Rabenh., F. europ. No. 2522.

Darnach sind die kugeligen,  $180-200 \mu$  großen Perithezien einige Zellagen unter der Epidermis, die klypeusartig geschwärzt ist, eingelagert. Die mäßig derbe Perithezienmembran ist weich, braunhäutig und besteht aus nur  $3-4 \mu$  großen braunen, oft undeutlichen Parenchymzellen. Das runde Ostiolum ist etwa  $25 \mu$  weit. Die Paraphysen sind sehr zahlreich, breit und verschleimen stark. Die fast zylindrischen Schläuche sind ungestielt und  $64-77 \times 7-10 \mu$  groß. Die schief oder quer einreihig stehenden Sporen sind opak-schwarz, länglich, stumpfendig,  $9-12 \mu$  lang, etwa  $8 \mu$  breit und stets flachgedrückt, so daß sie nur  $3-4 \mu$  dick sind. Sie zeigen eine dünne scharfbegrenzte Schleimhülle.

Nach dem Exemplare von *Anthostomella pisana* Passerini (1880) in Briosi e Cavara, Fung. paras. No. 136, ist diese Art vollständig identisch mit *A. palmicola* (Awld.).

Vielelleicht ist auch *A. consanguinea* (Ces.) Sacc. nur eine Form davon, doch konnte ich diesen Pilz auf dem Original-Exemplare in Rabenhorst-Wint., F. europ. No. 2661, nicht finden.

Hingegen wäre *A. contaminans* (D. et M.) Sacc. nach dem Exemplare in Roumeg., F. sel. exs., No. 1177, eine eigene gute Art, die durch durchscheinend braune, fast spindelförmige,  $16 \approx 7 \mu$  große, nicht flachgedrückte, und öfter einige Ölträpfchen zeigende Sporen verschieden ist.

Eine verwandte Form ist auch *Anthostomella leucobasis* Ell. et Mart., die nach dem Originalexemplare in Ell. et Everh., F. Columb., No. 722, etwas durchscheinend violettbraune, elliptische,  $13 \approx 6-7 \mu$  große Sporen mit kreisrunden Querschnitt hat.

Alle diese Formen haben ganz gleich beschaffene Perithezien, und es fragt sich, ob nicht reichliches Material zeigen wird, daß es sich nur um eine einzige in der Größe und Form der Sporen veränderliche Art handelt. Dabei ist mir wahrscheinlich, daß alle diese Formen bei sehr guter Entwicklung eine stromatische Saumlinie ausbilden werden, mithin es sich eigentlich um *Anthostoma*-Formen handelt.

Ein von Professor V. Schiffner 1917 im Wiener botanischen Garten auf Blättern von *Pritchardia* gefundener, hierher gehöriger, sehr reichlich entwickelter Pilz, mit etwa  $10-12 \approx 5-6 \approx 3-4 \mu$  großen elliptischen oder etwas spindeligen Sporen, zeigt die Saumlinie sehr schön und kann daher nur als *Anthostoma* betrachtet werden. Er ist, wie der Vergleich zeigte, von allen besprochenen Formen verschieden und doch kaum eine eigene Art. Er mag als *Anthostoma palmicola* (Auersw.) v. H. var. *Pritchardiae* Schiffn. gelten.

#### CCXIII. *Anthostomella Arunci* v. H. n. sp.

Perithezien sehr verschieden, bis fast 1 mm groß, herdenweise einzeln oder zu mehreren genähert und verwachsen auftretend, etwas abgeflacht kugelig, mit flacher matter Warze vorbrechend, in der Rinde eingewachsen, dieselbe fast halbkugelig vorwölbend, oben mit einem  $40-50 \mu$  dicken Epidermalklypeus verwachsen, schwarz. Perithezienmembran unten 40, oben  $50 \mu$  dick, lederig kohlig, aus vielen Lagen von dünnwandigen, blassen, stark zusammengepreßten Zellen mit schwarzem Inhalte bestehend. Paraphysen sehr zahlreich, dünnfälig, lang, schleimig verbunden. Schläuche zylindrisch, zartwandig, oben abgestutzt, unten in einen  $50 \mu$  langen Stiel verschmälert,  $155 \approx 8 \mu$  groß. Jod färbt den scheibenförmigen Schlauchporus blau. Sporen zu 8 im Schlauche einreihig, schwärzlich, mit zwei Ölträpfchen, elliptisch bis spindelig, am unteren Ende mit sehr kleinem kaum sichtbaren, rundlichen hyalinen Anhängsel, das bald verschwindet,  $12-15 \approx 6-6.5 \mu$  groß.

Auf faulenden Stengeln von *Spiraea Aruncus* bei Königstein in Sachsen, Mai 1913, leg. W. Krieger.

Scheint von vielen ähnlichen Arten der Gattung verschieden zu sein.

#### CCXIV. Über *Karstenula Philadelphi* Oudemans.

Es ist kein Zweifel, daß ein von W. Krieger 1881 auf Zweigen von *Philadelphus coronarius* bei Nossen in Sachsen gefundener Pilz die obige

in Ned. Kruidk. Arch. 1889, II. Ser., V. Bd., p. 486 beschriebene Art ist. Derselbe Pilz ist offenbar auch *Thyridium Philadelphi* Richon 1889 (Syll. Fung. IX. Bd., p. 921). Richon gibt an, daß sein Pilz in Gesellschaft von *Camarosporium macrosporum* (B. et Br.) auftritt. Dasselbe ist nun auch bei Kriegers Exemplar der Fall.

Die Untersuchung zeigte mir, daß der Pilz eine echte *Karstenula* ist und daß beide Pilze den gleichen Bau der Gehäusemembran zeigen und in gleicher Weise in der inneren Rinde auftreten, dem Holzkörper aufsitzend. Sie gleichen sich auch äußerlich sehr, treten öfter dicht nebeneinander auf und gehören offenbar zusammen, womit auch Oudemans Angabe (l. c. p. 502) stimmt, der beide Formen vergesellschaftet fand.

*Camarosporium macrosporum* kommt jedenfalls nur auf *Philadelphus* vor und die Angabe Saccardos (Mycol. Venet. Spec. 1873, p. 199), daß der Pilz auch auf *Sambucus* auftritt, ist falsch, wie schon aus seiner Bemerkung hervorgeht, daß die Konidien der Form auf *Sambucus*  $30 \approx 6 \mu$  groß sind und 6—8 Querwände haben, was nicht zu der auf *Philadelphus* stimmt. Die Konidien von *Camarosporium macrosporum* sind, wenn gut entwickelt etwa  $18-20 \approx 6.5-7 \mu$  groß und haben meist 5 Querwände. Doch findet man untermischt auch kleinere mit nur 2—4 Querwänden und ohne Längswand. Ich zweifle daher nicht daran, daß *Hendersonia coronaria* Brunaud 1898 (Syll. Fung. XIV. Bd., p. 955) nur eine schlechter entwickelte Form des Pilzes mit  $10-12 \approx 4 \mu$  großen vierzelligen Konidien ist. *Camarosporium Philadelphi* (B. et Br.) F. Deutzae Tassi 1899 (Syll. Fung. XVI. Bd., p. 952) ist offenbar eine Übergangsform dazu mit 10 bis  $12 \approx 4 \mu$  großen Sporen, 4 Querwänden und einer längsgeteilten Zelle.

Die Perithezien von *Karstenula Philadelphi* Oud. entwickeln sich in lockeren Herden in der inneren Rinde und sitzen dem Holzkörper auf. Sie sind abgeflacht kugelig, etwa  $500-600 \mu$  breit,  $400 \mu$  dick. Sie lösen sich beim Abziehen der dünnen Rinde meist leicht vom Holzkörper ab und haften fest an der Innenseite der Rinde. Die Mündungspapille ist breit und flach und durchsetzt kaum das Rindengewebe, daß feinspaltig über derselben einreißt. Die Perithezien sind schwarz und außen von Hyphenenden rauh. Sie haben eine  $40-60 \mu$  dicke Wandung, die aus vielen Lagen von kleinen, flachen Zellen besteht. Die äußeren Lagen sind schwarzbraun, die inneren blaßbräunlich. Die flache Mündung wird bis  $80 \mu$  weit und ist von blassem kleinzelligem Gewebe umgeben. Die dickwandigen zylindrisch-keuligen  $130-180 \approx 18-20 \mu$  großen Schläuche sind oben abgerundet und unten in einen  $15 \approx 5-6 \mu$  großen Stiel verschmälert. Mit Jod geben sie keine Blaufärbung. Die 8 Sporen sind gelbbraun, stehen einreihig oder zum Teile am Schlauchende zweireihig, sind  $25-36 \approx 9.5-13 \mu$  groß, zeigen meist 7 Querwände und eine unterbrochene Längswand. In der Mitte sind sie etwas eingeschnürt. Die Zellen der Sporen zeigen eine braune dünne Mittellamelle und eine hyaline Verdickungsschichte. Paraphysen sehr zahlreich und lang.

Die Pykniden von *Camarosporium macrosporum* sitzen ebenso in der Innenrinde dem Holzkörper flach auf, sind aber fester mit diesem verwachsen, lösen sich daher meist mit der Rinde nicht ab. Sie sind etwa um 50—100  $\mu$  größer als die Perithezien. Die Pyknidenmembran ist bis 80  $\mu$  dick und wird gegen die flache anfänglich wenig ausgeprägte und unregelmäßige Mündung, die im Alter sich auf bis über 200  $\mu$  Breite erweitert, allmählich dünn. Daher zeigen die alten Pykniden oben eine nabelige Vertiefung. Die Pyknidenmembran ist zweischichtig; die innere 40  $\mu$  dicke Schicht besteht aus vielen Lagen von meist kleinen, 4—6 (—12)  $\mu$  großen, hyalinen, derbwandigen, wenig abgeflachten Zellen. In der äußeren Lage sind die Zellen etwas größer, flacher und mehr minder gebräunt bis schwarzbraun. Die äußere Schicht löst sich beim Schneiden leicht von der inneren ab. Die Konidienträger sind kurz papillenförmig.

#### CCXV. Über die Gattung *Lasiosphaeria* Cesati et de Notaris.

In Fragment No. 844 (XVI. Mitt. 1914) habe ich angegeben, daß die Gattung *Lasiosphaeria* in ihrem heutigen Umfange eine verworrene Mischgattung ist. Auf die Folgen davon in der Namengebung bin ich damals nur unvollständig eingegangen. Die Gattung wurde 1863 in Comment. Soc. crittig. ital. I. Bd., IV. T., p. 229 aufgestellt. Die Gattungsbeschreibung an dieser Stelle entspricht dem, was man im allgemeinen heute unter *Lasiosphaeria* versteht. Die beiden Autoren stellen in die Gattung 12 Arten, davon zwei mit Zweifeln. Von diesen 12 Arten stehen noch heute 6 Arten in den Gattungen *Lasiosphaeria* und *Leptospora* Fuckel (non Rabenh.). Es sind dies die Typus-Art *L. ovina*, dann *hirsuta*, *spermoides*, *Rhacodium*, *Montagni* und *canescens*. Von letzterer Art behaupten dieselben allerdings, daß das Exsic. Fries, Sclerom. sueciae No. 50 hyaline, elliptische, undeutlich zweizellige Sporen zeigen soll, was aber wohl auf einem Irrtum oder falschen Exemplare beruhen muß. Die übrigen 6 Arten sind nun ganz andere Pilze. *Lasiosphaeria arachnoidea* Ces. und *L. chaetomoides* Ces. (Hedwigia 1854, No. 9 p. 41, Taf. V. Fig. 1, 2) stehen heute in der Gattung *Chaetodiplodia* Karst. (Syll. Fung. III. Bd., p. 375). *Sphaeria flava* Corda gilt als *Calonectria*. *Sphaeria mutabilis* Pers. ist nach meinem Fragment No. 1027 (1917, XIX. Mitt.) eine *Enchrosphaeria*. *Sphaeria calostroma* Desmaz. ist nach dem Originalexemplare eine *Meliola*. *Sphaeria callista* Berk. et C. wird in Syll. Fung. I. Bd., p. 94 als *Frachiaea* geführt. Nach der Abbildung in Berlese (Icon. Fung. 1902, III. Bd., p. 27, Taf. 36) ist es aber eine *Cryptosphaerella*, von *C. annexa* (Ntke.) v. H. vielleicht nicht verschieden.

Nachdem nun gerade die 2 ersten Arten noch heute in der Gattung stehen, so entspricht diese in der Tat der heutigen Auffassung derselben. Die dritte Art wäre heute eine *Leptospora* Fuck. non Rhb.

Mit *Lasiosphaeria* C. et de Not. 1863 ist identisch die Gattung *Lasiella* Quélet, welche dieselbe Grundart (*Lasiella ovina* (P.) Qu.) hat (Mém. soc. emul. Montbeliard 1875, p. 88).

Ebenso auch *Heteronectria* Penz. et Sacc. 1904, die auch auf derselben Grundart beruht (s. Fragment No. 375, VIII. Mitt. 1909).

Wie ich in meinem Fragmente No. 844 angegeben habe, sind heute in der Gattung viele Formen eingereiht, die mit derselben nichts zu tun haben. Wenn man nun auch diese ausscheidet, so lassen sich die übrig bleibenden nach der Behaarung in schwarz-langhaarige, in hellfilzige und in kahle Formen einteilen. Was die Sporen anlangt, so sind dieselben bald einzellig, zwei- oder mehrzellig, bald kurz und verhältnismäßig breit, bald lang, zylindrisch-wurmförmig, bald hyalin, subhyalin, oder blaß bräunlich. Eine Zerteilung der Gattung nach der Beschaffenheit der Sporen scheint unmöglich, da nach Berleses Bildern zwischen den verschiedenen Sporenformen ganz allmähliche Übergänge stattfinden. Wohl aber ließen sich die Arten nach der Behaarung in drei Formengruppen teilen, wenn auch da zweifelhafte Fälle nicht fehlen. Mit der verschiedenen Behaarung scheint aber auch die sonstige Beschaffenheit der Perithezien verschieden zu sein, wodurch die Zerteilung der Gattung erleichtert wird. Man kann danach unterscheiden:

I. *Lasiosphaeria* Ces. et de Not. 1863 = *Lasiella* Quél. 1875 = *Heteronectria* Penz. et Sacc. 1904 (Grundart: *Lasiosphaeria ovina* (P.) Ces. et de Not.).

Perithezien weichhäutig, braun, außen mit einer hellfarbigen (weißen, gelben, rötlichen usw.) filzigen Bekleidung versehen.

II. *Bizzozeria* Berl. et Sacc. 1885 (erweitert).

Perithezien schwarz, derbhäutig bis kohlig, meist nicht brüchig.

Mehr weniger mit langen meist schwarzbraunen Haaren oder Borsten besetzt (Grundart: *Bizzozeria sorbina* (Nyl.) v. H.).

III. *Thaxteria* Sacc. 1891 = *Bizzozeria* Spegazz. 1889 = *Leptospora* Fuckel 1869 = *Leptosporella* Penz. et Sacc. 1904 (erweitert).

Perithezien kohlig, meist brüchig, kahl (Grundart: *Thaxteria didyma* (Speg.) Sacc.).

Die Begründung der angewendeten Gattungsnamen ergibt sich aus folgendem.

Fuckel (Symb. myc. 1869, p. 143) stellte für jene *Lasiosphaeria*-Arten, deren Sporen keine Querwände haben, die Gattung *Leptospora* (non Rabenh.) auf. Aber abgesehen davon, daß die Gattung *Leptospora* Rabenhorst 1857 noch heute zu Recht besteht, ist Fuckels Gattung nicht haltbar, weil auch seine Typus-Art: *Leptospora spermoides* (Hoffm.) öfter zweizellige Sporen zeigt und auch mehrere andere Arten bald Querwände in den Sporen aufweisen, bald nicht.

Nun haben Saccardo und Berlese 1885 die Gattung *Bizzozeria* aufgestellt. Die *Bizzozeria veneta* S. et B. ist nun aber nicht wie sie glaubten ein allantoidsporiger Pilz, sondern eine kurzsporige *Lasiosphaeria* Aut., identisch mit *L. sorbina* (Nyl.) Karst. 1873. Die Sporen dieses Pilzes sind öfter zweizellig und zeigen oft 8 große Öltropfen, werden also gewiß auch mehrzellig vorkommen. Die Perithezien sind in der unteren Hälfte, wenn auch nicht auffallend behaart.

Die bisherigen *Lasiosphaeria*-Arten der II. Gruppe können daher ohne Zwang in die Gattung *Bizzozeria* Berl. et Sacc. 1885 gestellt werden.

Nun hat auch Spegazzini 1889 (Bolet. Acad. nac. scienc. Cordoba XI. Bd., p. 519) eine Gattung *Bizzozeria* aufgestellt, deren Name 1891 in *Thaxteria* Saccardo (Syll. Fung. IX. Bd., p. 687) geändert wurde. Diese Gattung ist nach der Beschreibung eine kahle *Lasiosphaeria* Aut. mit kurzen zylindrischen, gekrümmten, zweizelligen Sporen, die schließlich schwach graugrünlich werden.

Die *Thaxteria didyma* (Speg.) Sacc. ist offenbar verwandt mit *Lasiosphaeria spermoides* (P.). Sie zeigt dieselbe Art des Auftretens, ist aber feinkörnig rauh, und die Sporen werden blaß grünlich.

In derselben Gegend, wo die *Thaxteria didyma* wächst, tritt auch die *Leptospora spermoides* (Hoffm.) var. *rugulosa* Rick auf, die ihr offenbar nahe steht. Auch die als *Nitschkia javanica* Henn. et Nym. beschriebene Form gehört hierher. Diese Pilze gehören daher nicht zu *Nitschkia*, wie ich in Fragment No. 845 unrichtig angab.

Auf die schließlich graugrünliche Färbung der Sporen von *Thaxteria didyma* ist gar kein Gewicht zu legen, da bei mehreren *Lasiosphaeria*-Arten die Sporen zuletzt subhyalin bis bräunlich werden.

Die bisherigen *Lasiosphaeria*-Arten der III. Gruppe müssen daher in die Gattung *Thaxteria* Sacc. 1891 versetzt werden.

Hieher gehört auch die Gattung *Leptosporella* Penz. et Sacc. 1904 (Icon. Fung. javan. p. 22 Taf. XVI). Sie umfaßt einfach längersporige Formen mit ein- bis mehrzelligen Sporen.

In die drei Gattungen werden nach Berleses Angaben und Bildern folgende Arten gehören.

- I. *Lasiosphaeria* Ces. et de Not.: *ovina* (P.) Ces. et de Not.; *Libertiana* Speg. et R.; *sulphurella* Sacc.; ?*stannea* (Fr.) Sacc.
- II. *Bizzozeria* Berl. et Sacc.: *sorbina* (Nyl.) v. H.; *heterostoma* (K.) v. H.; *strigosa* (A. et S.) v. H.; *canescens* (P.) v. H.; *breviseta* (K.) v. H.; *caudata* (Fuck.) v. H.; *vilis* (K.) v. H.; *crinita* (P.) v. H.; *hispida* (Tode) v. H.; *Rhacodium* (P.) v. H.; *hirsuta* (Fr.) v. H.; *immersa* (K.) v. H.; *actinodes* (B. et C.) v. H.
- III. *Thaxteria* Sacc.: *didyma* (Speg.) Sacc.; *spermoides* (Hoffm.) v. H.; *solaris* (C. et E.) v. H.; *sublanosa* (C.) v. H.; *pseudobombarda* (Mont.) v. H.

CCXVI. Über die Gattung *Bizzozeria* Sacc. et Berl.

Diese Gattung wurde 1885 in Atti real. Ist. veneto di scienze, Bd. III, Ser. VI, p. 736 aufgestellt mit der Art *B. veneta* S. et B.

Schon 1906 (Sitz. Ber. K. Akad. Wiss. Wien, mat.-nat. Kl. 115. Bd., Abt. I, p. 1248) gab ich an, daß *Cryptospora querina* Feltgen mit *Bizzozeria veneta* identisch ist, und daß dieser Pilz mit einigen *Lasiosphaeria*-Arten nahe verwandt ist.

Daher ist *Bizzozeria* nicht allantospor und mit *Lasiosphaeria* Aut. non Ces. et de Not. synonym.

Der Pilz ist sehr variabel und daher meist falsch und fünfmal beschrieben worden.

Die Sporen wurden stets als einzellig beschrieben, mit feinkörnigem Inhalte. Allein das Feltgensche Exemplar zeigte zum Teile zweizellige Sporen mit 8 großen Ölträpfchen, zum Beweise, daß der Pilz nicht allantospor ist. Schon die Größe der Sporen, die sehr wechselt und bis  $48 \times 9 \mu$  steigt, beweist dasselbe.

*Sphaeria sorbina* Nylander (Flora 1862, p. 322) = *Lasiosphaeria sorbina* (Nyl.) Karst. (Mycol. Fenn. II, p. 164) ist offenbar derselbe Pilz. Siehe Berlese, Icon. Fung. 1894, I, Taf. 106, Fig. 1.

Ebenso *Leptospora radiata* Fuckel (Symb. myc. 1869, p. 143) = *Lasiosphaeria sorbina* (Nyl.) K. v. *radiata* (Fuck.) Berlese (Icon. Fung. 1894, I, p. 108, Taf. 106, Fig. 2). Fuckel fand seinen Pilz auf Weißbuchenzweigen; ich fand den gleichen Pilz 1902 im Wiener Wald auf morschen Eichenzweigen, demselben Substrat, auf dem die *Bizzozeria veneta* beschrieben wurde. Die Wiener Waldexemplare zeigten, soweit sie nicht völlig reif waren, einen rosa gefärbten Nukleus und an der Basis weiße bis schwefelgelbe Radialhyphen.

Diese zwei Tatsachen zeigen, daß offenbar *Coelosphaeria roseospora* Patouill. (Tabulae analyticae 1883, p. 74, Fig. 699) gleich *Bizzozeria roseospora* (Pat.) Berl. Icon. Fung. 1902, III. Bd., p. 3, Taf. III, Fig. 2) derselbe Pilz ist. Es ist einfach die *Bizzozeria veneta* im jüngeren, frischen Zustande.

Teilt man die Gattung *Lasiosphaeria* Aut. in drei, nämlich *Lasiosphaeria* C. et de Not., *Bizzozeria* Berl. et Sacc. und *Thaxteria* Sacc., so gehört die Art zu *Bizzozeria*.

Es ergibt sich daher folgende Synonymie:

*Bizzozeria sorbina* (Nyl.) v. H.

Syn.: *Sphaeria sorbina* Nylander 1862,

*Leptospora radiata* Fuckel 1869,

*Lasiosphaeria sorbina* (Nyl.) Karsten 1873,

*Lasiosphaeria radiata* (Fuck.) Sacc. 1883,

*Coelosphaeria roseospora* Patouill. 1883,

*Bizzozeria veneta* Berl. et Sacc. 1885,

*Lasiosphaeria sorbina* (Nyl.) K. v. *radiata* Berl. 1894,

*Bizzozeria roseospora* (Pat.) Berlese 1902,

*Cryptospora querina* Feltgen 1903.

Der Pilz tritt auf morschen Zweigen auf (Weißbuche, Eiche, Eberesche, *Prunus*) in Frankreich, Finnland, Westfalen, Niederösterreich, Luxemburg. Die sehr voneinander abweichenden Beschreibungen desselben sind alle falsch oder unvollständig und beziehen sich auf verschiedene Alterszustände des Pilzes.

#### CCXVII. Über *Bakeromyces philippinensis* Sydow.

Der in Annal. Mycol. 1917, XV. Bd., p. 202 beschriebene Pilz ist nach dem Originalexemplare nicht gut entwickelt und daher nicht völlig klarzulegen. Ledrig-kohlig sind die Perithezien nicht, eher ledrig-häutig. Die Angabe, daß Paraphysen fehlen, läßt sich an dem von mir gesehenen Exemplare nicht feststellen, da an diesem die Schläüche schon aufgelöst und jedenfalls sehr zarthäutig sind, daher auch die Paraphysen schon verschwunden sein können. Die Sporen sind nicht stark grau-oliv gefärbt, wie angegeben wird, sondern bleibend hyalin.

Die Epidermis der *Pandanus*-Blätter zeigt zahlreiche Grübchen, in denen die Spaltöffnungen liegen. Diese Grübchen sind bald nur 25  $\mu$  breit und enthalten dann nur eine Spaltöffnung, bald sind sie größer mit mehreren derselben. Der Pilz sitzt stets in diesen Grübchen, die er mit einer Art Fuß ausfüllt, auf dem er sitzt. Manchmal schien es mir, daß der Fuß auch tiefer eindringt. Ein Ostiolum kann angenommen werden, doch ist es unscharf begrenzt und wenig deutlich. Schläüche sind nicht mehr zu sehen, doch liegen die stets hyalinen einzelligen Sporen häufig zu 6—8 zweireihig verbunden, daher der Pilz jedenfalls ein Schlauchpilz ist.

Derselbe könnte vielleicht gut in die Gattung *Trichosphaeria* passen, was an besser entwickelten Exemplaren festgestellt werden müßte.

#### CCXVIII. Über *Linobolus Ramosii* Sydow.

Das von mir untersuchte Exemplar des in Ann. Myc. 1917, XV. Bd., p. 204 beschriebenen Pilzes ist schlecht entwickelt. Die Perithezien sind langhaarig, was vom Autor nicht angegeben wird. Nach dem, was ich sehen konnte, wäre der Pilz eine *Bizzozeria* Berl. et Sacc. (= *Lasiosphaeria* non Ces. et de Not.) ohne Paraphysen.

Am nächsten ist derselbe mit *Acanthotheciella* v. H. (Fragm. No. 706, XIII. Mitt. 1911) verwandt, die genau den gleichen Bau des Perithezien-nukleus hat.

#### CCXIX. Die Überwinterungsform von *Antennularia Chaetomium* (Kunze) v. H.

Daß mikroskopische Schmarotzerpilze, welche die Fähigkeit haben, den Winter zu überdauern, hierbei oft wesentliche Veränderungen eingehen, ist mir von gewissen Melanconien wohlbekannt. Während des Winters kann so aus einem *Gloeosporium* Desm. et Mont. (non Sacc.) eine *Discella*, und aus einem *Gloeosporidium* v. H. eine *Discula* werden, indem der im

Sommer offene Fruchtkörper im Winter zum Schutze ein geschlossenes Stroma ausbildet.

Nun gibt es aber auch einen Pyrenomyceten, dessen Überwinterungsform einer anderen Gattung angehört als seine normale Sommerform.

Herr W. Krieger in Königsstein sandte mir abgefallene Blätter von *Rubus fruticosus* und schrieb mir dazu, daß sich im Herbste 1890 auf den schwarzen Flecken derselben keine Perithezien vorfanden, daß sich aber solche im Frühjahr zeigten, nachdem er die Blätter über den Winter zwischen Moos feucht gehalten hatte. Er bezeichnete den so erhaltenen Pilz ganz richtig als zur Gattung *Venturia* gehörig.

Eine genaue Untersuchung des Pilzes und des Entwicklungsganges von *Antennularia Chaetomium* (Kze.) v. H. zeigte mir nun, daß die von Krieger erhaltene *Venturia* nicht anders ist als die Winterform von *Antennularia Chaetomium* (= *Coleroa* bei Winter u. A.).

Während dieser Pilz im Sommer und Herbste ganz oberflächlich stehende Perithezien entwickelt, die stark beborstet sind, bildet er im Laufe des Winters auf dem alten, verblühten, eingewachsenen Stroma, ganz unter der Epidermis eingewachsene, kahle oder spärlich an der Mündung beborstete *Venturia*-Perithezien.

Das Studium der Entwicklung des Pilzes ergab folgendes. Anfangs September gesammelte, noch grüne und festsitzende *Rubus*-Blätter zeigen einzelne in Keimung begriffene braune zweizellige, etwa  $14 \times 8 \mu$  große Sporen des Pilzes, welche zunächst spärliche, oberflächliche, langgestreckte, braune  $2-3.5 \mu$  breite Hyphen bilden. An einer Stelle in der Nähe der Sporen dringen Seitenzweige dieser Hyphen in das Blatt ein und bilden unter der Epidermis ein hyalines Plectenchym aus, während gleichzeitig unter der Kutikula ein parenchymatisches braunes, einzellschichtiges Häutchen entsteht, das in der Mitte aus  $5-10 \mu$  großen Zellen besteht, die nach außen hin allmählich ganz hyalin werden, sich mehr und mehr strecken und sehr zart werden, so daß dieses Häutchen ganz allmählich verläuft. Die Anordnung der Zellen in demselben ist mehr minder fächerartig strahlig. Manchmal nur in der Mitte, manchmal an mehreren Stellen dieses subkutikulären Häutchens bricht nun das darunterliegende hypodermale hyaline Plectenchym nach außen durch und bildet hier ganz oberflächlich stehende brauhäutige, schwarz beborstete Perithezien. Diese sind einfach, mit einem nicht typischen  $20-40 \mu$  großen Ostium und dann etwa  $120 \mu$  groß. Sehr häufig verschmelzen aber  $2-6$  und mehr Perithezien zu  $220-260 \mu$  großen mehr polsterförmigen Gebilden mit mehreren Mündungen so vollständig miteinander, daß ihre Trennwände kaum zu sehen sind. Paraphysen sind stets vorhanden. Indem nun der Pilz im Herbste älter wird, werden diese oberflächlichen dünnhäutigen Perithezien entleert, sie sterben ab und verschwinden im Laufe des Winters auf den inzwischen abgefallenen Blättern völlig. Gleichzeitig entwickelt sich das subkutikuläre Häutchen immer stärker. Aus dem sehr

dünnen Häutchen wird schließlich ein stellenweise bis über 40  $\mu$  dickes subkutikuläres Stroma, das aus senkrechten Reihen von 4—6  $\mu$  breiten, offenen, palissadenartig regelmäßig angeordneten prismatischen braunen Zellen besteht. Dieses so entstandene Stroma bildet blattoberseits 0·5—1·5 mm breite rundliche, vorspringende Scheiben, die manchmal sogar polsterförmig vorgewölbt und am Rande gekerbt sind. Während am noch grünen Blatte im Mesophyll nur kaum sichtbare hyaline zarte Hyphen zu sehen sind, ist jetzt das Blattgewebe stellenweise ganz durchsetzt von bis 8  $\mu$  dicken violettblauen Hyphen. Auf den braunen Stomascheiben sieht man oft in der Mitte einen schwarzen Knopf sitzen und kleinere rundliche Vorsprünge auch sonst, das sind, wie Querschnitte lehren, die Membranruinen der Sommerperithezien. Vom Rande der Scheiben laufen strahlig violettblaue, oft sehr dicke Hyphen von verschiedener Form aus. Nun kommt es im Frühjahr zur zweiten Perithezienbildung; die nun entstehenden Schlauchfrüchte haben genau dieselben Ascii und Sporen wie die im Sommer, sind aber alle unter der Epidermis eingewachsen, kugelig, derbwandig, 140—170  $\mu$  groß. Sie entstehen zum Teile unter dem Stroma, meist aber am Rande desselben. Mit der Lupe gesehen könnte man sie für oberflächlich halten, allein Querschnitte zeigen, daß sie alle unter der Epidermis eingewachsen sind, die sie mit dem 20  $\mu$  weiten Ostiolum durchbrechen. Während im Sommer blattunterseits niemals von dem Pilze etwas zu sehen ist, zeigt sich nun im Winter, daß an manchen Blättern auch gegenüber den Stomascheiben blattunterseits Perithezien entstehen, die gut ausreifen. Diese ragen aber stark vor, so daß man sie für oberflächlich halten könnte; aber auch hier lehren Querschnitte, daß sie unter der Epidermis eingewachsen sind, und trotzdem sie fast ganz vorstehen, doch bis zum kurzen Halse mit der Epidermis überzogen sind.

Es ist sonach kein Zweifel, daß *Antennularia Chaetomium* (Kze.) v. H. in zwei Generationen auftreten kann, in der Sommerform als *Antennularia*, in der Winterform als *Venturia*.

Wahrscheinlich werden sich die anderen echten Arten der Gattung ähnlich verhalten.

Die Winterform hat eine auffallende Ähnlichkeit mit einer Dothideacee, durch das senkrechthyphige Stroma und die groß-, offen- und lockerzelligen Perithezien. Auch ist es mir durchaus fraglich, ob der Pilz typische Paraphysen hat, und ob Periphysen vorhanden sind. Gewiß ist, daß *Antennularia* Rbh. = *Coleroa* Rbh. = *Gibbera* Fries eigentlich zu den Cucurbitariaceen gehört. Und daß diese den Dothideazeen näherstehen als eine andere Familie der Sphaeriaceen, darüber bin ich nicht zweifelhaft.

Daraufhin wären die Cucurbitariaceen näher zu prüfen.

#### CCXX. Über *Asterina Epilobii* Desmazières.

Der Pilz ist beschrieben in Bullet. Soc. Bot. France 1857, IV. Bd., p. 914 und in Desmazières, Pl. crypt. France 1857, No. 426 ausgegeben.

In der Syll. Fung. 1882, I. Bd., p. 47 ist derselbe die Typusart der Unter-gattung *Asterula* Sacc. von *Asterina*. Daß dieselbe keine Mikrothyriacee ist, hat schon Theissen angegeben (Mycol. Zentralbl. 1913, III. Bd., p. 275). Rehm (Ann. Myc. 1909, VII. Bd., p. 413) hält das in Syll. Fung. 1891, IX. Bd., p. 375 zur Gattung erhobene Subgenus *Asterula* Sacc. als solche aufrecht und stellt in dieselbe drei deutsche Pilze, die aber keine Mikrothyriaceen sind. *Asterula melaena* (Fr.) Sacc. und *A. Silenes* (N.) Sacc. sind *Omphalospora*-Arten und was Rehm *Asterula Epilobii* (Desm.) Sacc. nennt, besteht, wie sich zeigen wird, aus zwei voneinander ganz verschiedenen Pilzen. Die Untersuchung des Originalexemplares von *Asterina Epilobii* Desm. hat mir gezeigt, daß dieselbe eine ganz typische *Venturia* ist, die *Venturia Epilobii* (Desm.) v. H. genannt werden muß und die von der ebenfalls auf *Epilobium*-Blättern wachsenden *Venturia maculaformis* (Desm.) völlig verschieden ist.

Die Blätter zeigen rundliche, 1—3 mm breite, unscharf begrenzte und öfter zusammenfließende braune Flecke, in deren Mitte die Perithezien in lockeren Gruppen sitzen. Querschnitte zeigen, daß diese unter der oberen Blattepidermis eingelagert sind und oft fast die ganze Blattdicke einnehmen. Sie sind von auffallenden, durchscheinend schmutzig-violetten 8—10  $\mu$  breiten Hyphen umgeben, welche sich im ganzen Blattquerschnitte in den Flecken finden und kurze, oft ganz unregelmäßige mehr minder stark angeschwollene Glieder besitzen. Diese Hyphen sind besonders unter der oberen Epidermis entwickelt und verlaufen von der Mitte der Flecken aus, vielfach verzweigt und netzartig verbunden, strahlenförmig nach außen. *Venturia maculaformis* (D.) zeigt keine Spur von derartigen Hyphen.

Die Perithezien sind kugelig, bis 140  $\mu$  groß, haben ein flaches, unregelmäßig rundliches sich bis auf 30  $\mu$  erweiterndes Ostiolum und eine 12—16  $\mu$  dicke, aus 2—4 Lagen von flachen, dünnwandigen, eckigen Parenchymzellen bestehende Membran. Um die Mündung herum sitzen fast stets einige schwarze, opake, 28—40  $\times$  3—6  $\mu$  große spitze Borsten, die aber oft unregelmäßig entwickelt und verzweigt sind. Der Nukleus der Perithezien ist am Originalexemplare teils unreif, teils überreif. Die unreifen Schläuche waren keulig, sitzend und etwa 40  $\times$  8—10  $\mu$  groß. Paraphysen vorhanden, verschmelzend, jedoch oft spärlich. Die überreifen Sporen sind durchscheinend violett, länglich-spindelig, zweizellig, 11—12  $\times$  3.5—4  $\mu$  groß. Die obere Zelle ist wenig breiter als die untere.

Unter den auf *Epilobium*-Blättern beschriebenen Pilzen wären *Sphaeria microspila* Berk. et Br. (Ann. Mag. nat. hist. III. Ser., VII. Bd., 1861, p. 455, Taf. 17, Fig. 36) und *Venturia Johnstonii* (B. et Br.) Sacc. (Michelia 1880, II. Bd., p. 55) damit zu vergleichen.

*Asteroma Epilobii* Fries tritt nur auf den Stengeln auf und ist eine typische *Euryachora* Fuck.

*Trichosphaeria Elisae-Mariae* Sacc. et Pat. (Revue myc. 1883, V. Bd., p. 25) muß nach der Beschreibung wohl verschieden sein.

CCXXI. Über *Asteroma Cerasi* Roberge in Herb.

Der Pilz ist von Desmazières in Bull. soc. Botan. France 1857, IV. Bd., p. 995 beschrieben und in den Pl. crypt. France 1857 No. 418 ausgegeben worden.

Der Pilz besteht aus 1—2 mm großen rundlichen Rosetten von subkutikulär eingewachsenen, 2—10  $\mu$  breiten braunen, strahlig verlaufenden, verzweigten, kurzgliedrigen Hyphen. Die Glieder derselben sind oft ange schwollen oder gelappt. Unter den Rosetten sind eingewachsene unreife, gewiß dazugehörige Perithezien.

Das Ganze ist jedenfalls der unreife Zustand einer *Venturia*, wahrscheinlich von *Venturia Cerasi* Aderhold, zu der das *Fusicladium (Cladosporium?) Cerasi* (Rbh.) Sacc. gehört; das nach Aderhold (Zentralbl. f. Bakteriol. II. Abt., VI. Bd. 1900, p. 593 und VII. Bd., p. 656) auch auf den Blättern vorkommt und mit *Cladosporium carpophilum* Thümen identisch ist.

CCXXII. Über die Gattung *Parodiella* Spegazzini.

Diese bekannte Gattung wurde bald zu den Sphaeriaceen bald zu den Perisporiaceen gestellt. Die Perithezien werden als ganz oberflächlich beschrieben und sind der Epidermis angewachsen. So auch von Theissen und Sydow in Ann. Myc. 1917, XV. Bd., p. 125. Das ist aber nicht richtig. Denn dünne Querschnitte lehren, daß unter denselben ein dünnes subhyalines oder bräunliches sehr kleinzelliges subkutikuläres Hypostroma vorhanden ist, das manchmal auch zwischen den Epidermiszellen eindringt. Schon der Umstand, daß sich die Perithezien nicht ganz leicht von der Epidermis ablösen und selbst an dünnen Querschnitten meist noch ansitzend vorgefunden werden, zeigt, daß sie nicht ganz oberflächlich sitzen. An Querschnitten sieht man auch, daß die Epidermisaußenwand in der Nähe der Basis des Pilzes dicker und in der äußeren Schichte fein granuliert erscheint, daß also in derselben ein hyalines Hypostroma eingewachsen ist. Zu den Perisporiaceen darf *Parodiella* nicht gestellt werden, denn die Grundart der Gattung *P. perisporoides* (B. et C.) Speg. zeigt ein oft ganz deutliches, eckiges Ostiolum und zu den Perisporiaceen sollen nur solche Pilze gestellt werden, welche keine Spur, auch nur einer Andeutung einer Mündung zeigen, und auch keine deutliche Verwandtschaft mit einer echten Sphaeriacee erkennen lassen.

Ich halte nun *Parodiella* für am nächsten mit *Gibbera* und *Ottelia* verwandt und daher am besten bei diesen einzureihen. Theissen und Sydow haben nun *Parodiella* am angegebenen Orte für eine Pseudosphaeriacee erklärt.

Die von mir entdeckten Pseudosphaeriaceen sind eine sehr gut charakterisierte Gruppe, wenn man sie in der Weise auffaßt, wie ich es getan habe. Ich habe seither allerdings eine Reihe von Formen kennen gelernt, die mehr weniger weitgehende Anklänge an dieselben auf-

weisen. Es sind das teils sphaeriale teils dothideale Formen. Allein dieselben weichen andererseits doch wieder in vielen Einzelheiten von den typischen Pseudosphaeriaceen ab, weshalb ich sie nicht dazu stellte. Diese Formen belehrten mich aber darüber, daß die Pseudosphaeriaceen offenbar den dothidealen und sphaerialen Pilzen sehr nahe stehen, und vielleicht eine der Wurzeln sind, aus denen sich jene entwickelt haben.

Wenn man zu den Pseudosphaeriaceen Pilze stellt, die sehr viele, schmale Schläuche besitzen, so wird der Umfang dieser Gruppe so erweitert, und werden gleichzeitig die Grenzen derselben so verwischt, daß dieselben ihren systematischen Wert ganz verlieren, und man schließlich bei einer sehr großen Anzahl von Gattungen nicht mehr wissen wird, wohin dieselben zu stellen sind.

Dieß zeigte sich mir wieder bei der Gattung *Parodiella*. Dünne Median-schnitte durch die Perithezien von *P. perisporoides* zeigen ganz deutliche, dünnfädige Paraphysen zwischen den zahlreichen Schläuchen. Wenn nun diese Paraphysen nur so lang wären als die Schläuche und der Raum über den Schläuchen mit einem deutlichen Parenchym ausgefüllt wäre, so könnte man die fädigen Paraphysen zwischen den Schläuchen als in solche umgewandelte Wände von einschlängigen Lokuli deuten. Das ist eben nicht der Fall, denn die Paraphysen sind viel länger als die Schläuche und laufen parallel bis zur oberen Wandung, mit deren hyalinen Zellschichte sie verwachsen sind. Dieses Verwachsensein der Enden der Paraphysen mit dem Deckengewebe scheint von Theissen als ein Beweis dafür angesehen zu werden, daß es sich nicht um Paraphysen handelt. Das ist aber unrichtig, denn wahrscheinlich alle Paraphysen sind anfänglich oben angewachsen. Zwischen den Pseudosphaeriaceen in meinem Sinne und den Sphaeriaceen kann man einen prinzipiellen Unterschied feststellen im Aufbau der Fruchtkörper. Dieser Unterschied wird aber tatsächlich ganz hinfällig, wenn man den Umfang der Pseudosphaeriaceen in dem Sinne und Maße erweitert, wie dieß Theissen tut. Auch der genaueste und unterrichteste Beobachter kann in *Parodiella* keine Pseudosphaeriacee erblicken, es sei denn, daß er in jeder Sphaeriacee oder Dothideacee, die dicke Paraphysen hat, eine solche sieht, wo aber dann die ganze Gruppe ihren Wert einbüßt.

Übrigens bemerke ich noch, daß ich einen prinzipiellen Unterschied im Aufbau zwischen den Sphaeriaceen und Pseudosphaeriaceen nicht so wie Theissen annehme, denn für mich handelt es sich da um Endglieder einer Entwicklungsreihe mit allen denkbaren Übergängen.

Wenn man theoretischen Erwägungen zu Liebe nicht mehr sehen will als tatsächlich da ist, so ist es keinem Zweifel unterworfen, daß die drei Gattungen *Parodiella*, *Othia* und *Gibbera* zusammengehören und durch Übergänge miteinander verbunden sind, die hauptsächlich durch die Beschaffenheit der Unterlage bedingt werden. In den Tropen leben viele Gattungen auf Blättern, die man bei uns nur auf Zweigen findet. Natürlich

ist auf Blättern das Basalstroma einer *Otthia* oder *Gibbera* nicht so stark entwickelt wie unter dem Periderm eines Zweiges. Wenn das Hypostroma sehr schwach ist, wird es epidermal oder subkutikulär entwickelt sein und nur ein Perithezium tragen wie bei *Parodiella*. Auf derberen Blättern ist das Hypostroma natürlich derber und trägt dann mehrere Perithezien; wenn es derber ist wird es auch tiefer greifen und sich so dem starken Hypostroma von *Otthia* auf Zweigen nähern. Diese Verschiedenheiten in der Entwicklung des Stroma sind adaptive Eigenschaften, die vom lebenden Substrat bedingt werden und daher von geringerer systematischer Bedeutung.

Dasselbe was für die Sphaeriaceen gilt, zeigt sich auch bei den Diskomyceten, denn es ist kein Zweifel, daß *Pseudopeziza* und *Fabraea* blattbewohnende Dermateen sind, die man sonst nur als Zweigbewohner kennt. Eine vermittelnde Form ist die im Fragm. No. 455, IX Mitt. 1909 besprochene, tropische *Dermatea parasitica* (Wint.) v. H. Diese blattbewohnenden Dermateen sind sehr vereinfacht gebaut und daher ihrer Stellung nach völlig verkannt worden.

Daraus ergibt sich wieder, was ich schon oft betont habe, daß die wesentlichen Eigenschaften im eigentlichen Fruchtkörper zu suchen sind, alle anderen Eigenschaften, insbesondere der Schmarotzer-Askomyceten sind mehr minder Anpassungseigenschaften zweiten Ranges, welche meist äußerlich sehr auffallend und daher irreführend sind.

Zu welchen Folgerungen die Pseudosphaeriaceen-Sucht führt, ergibt sich aus folgendem.

*Parodiella caespitosa* Winter wird von Theissen und Sydow als echte Art der Gattung erklärt, also als Pseudosphaeriacee. Die Untersuchung des Original-Exemplares dieses Pilzes in Rabenh.-Wint. F. europ. No. 3249 zeigte mir, daß derselbe eine ganz typische Sphaeriacee ist. Die sehr dicke Perithezienmembran wird um die Mündung plötzlich dünn. Erstere besteht aus zwei Schichten. Die äußere bis 80  $\mu$  dicke Schicht ist aus offenen bis 20  $\mu$  großen kohligen Parenchymzellen zusammengesetzt; die innere bis 20  $\mu$  dicke Schicht besteht ebenfalls aus kohligen Zellen, die aber stark zusammengepreßt sind. Das Ostiolum befindet sich auf einer ebenen Fläche von 60  $\mu$  Durchmesser, wo die äußere Membranschicht vollständig fehlt. Die kleine Mündung ist von schwarzbraunen, kegelig zusammengeneigten dünnen Hyphenenden begrenzt. Unterhalb derselben befinden sich deutliche, hyaline Periphysen. Zwischen den Schläuchen befinden sich fädige, lange, die Schläuche stark überagende Paraphysen mit stark verschleimender Membran.

Dieser Pilz unterscheidet sich von einer echten kahlen *Gibbera* oder *Otthia* nur dadurch, daß er auf Blättern wächst. Ich habe daher den Pilz in Fragm. No. 692 (XIII. Mitt. 1911) mit vollem Rechte zu *Otthia* gestellt. Er kann aber ebensogut als kahle *Gibbera* oder rasig wachsende *Prodiella* betrachtet werden.

Dieser Pilz ist nun von *Dothidella Mikaniae* P. Henn. nur durch artliche Merkmale verschieden. Auch hier ist ein echtes Ostium mit Periphysen vorhanden. *Dothidella Mikaniae* wurde nun von Rick und Theissen *Gibbera Mikaniae* genannt und als solche in Rick, F. austro-americ. No. 323 ausgegeben (Beih. bot. Zentralbl. 1910, 27. Bd., II, p. 399).

Bei dieser Form kann man nun sehen, daß die Perithezien nicht nur im kleinen Rasen, sondern auch einzeln auftreten, also so wie bei den echten *Parodiella*-Arten.

Man ersieht daraus, daß hier zwei gattungsgleiche, miteinander sehr nahe verwandte und sogar auf derselben Nährpflanzengattung auftretende Pilze, einmal als Cucurbitarieen und dann wieder als Pseudosphaerieen erklärt wurden.

Nachdem ich dies festgestellt hatte, war es mir klar, daß auch die Grundart *Parodiella perisporoides* ein typisches Ostium mit Periphysen haben müsse. Die Untersuchung zeigte dies nun in der Tat. Das Ostium ist hier sehr klein, daher bisher sowohl die Mündung als auch ihre Periphysen übersehen wurden.

Aus allem geht hervor, daß die Gattungen *Parodiella*, *Gibbera* und *Otthia* sehr nahe miteinander verwandt sind.

Die Gattung *Gibbera* kann man auf die beborsteten Formen beschränken; sie ist dann nach Fragm. No. 379 von *Antennularia* Reichb. = *Coleroa* Rabenh. nicht wesentlich verschieden.

Wenn man die Gattung *Otthia* auf jene Formen beschränkt, die sich auf Zweigen unter dem Periderm entwickeln, so könnte die Gattung *Parodiella* für die kahlen, blattbewohnenden Formen erhalten bleiben.

Im Bau der Perithezien gleichen sich, von der Beborstung abgesehen, alle vollkommen. Sie gehören alle zu den Cucurbitarieen.

Die Aufgabe des speziellen Pilz-Systematikers ist, jede einzelne Form genau zu untersuchen. Hierbei muß jeder einzelne Punkt gesondert geprüft werden, bis man über alle wesentlichen Eigenschaften im klaren ist. Aus der Beschaffenheit des Substrates, insbesondere, wenn dieses ein lebender Organismus ist, ergeben sich Eigenschaften der Form, die als durch die Anpassung derselben an das Substrat hervorgerufen angesehen werden müssen. Diese Anpassungerscheinungen sind oft sehr auffallender Natur, sind aber stets als erst in zweiter Linie in Betracht kommend anzunehmen. Nun ist der richtige Anschluß der betreffenden Form an feststehende Teile des Systems zu suchen, unbeirrt von den trügerischen Anpassungseigenschaften. Diese letzte Aufgabe erfordert eine eingehende Kenntnis zahlreicher Formen und ist in der Regel der schwierigste Teil der Arbeit.

#### CCXXXIII. *Leptosphaeria saxonica* v. H. n. p.

Perithezien kugelig, schwarz,  $300 \mu$  groß, zerstreut oder in lockeren Herden, häufig in kurzen Reihen, unter der Epidermis eingesenkt, dieselbe

mit warzenförmiger Mündungspapille durchbrechend. Mündung rundlich, 50—60  $\mu$  weit, von einem 120  $\mu$  breiten schwarzen Ringe umgeben, in einem länglichen, schmalen, 0,5—0,8 mm langen grauen Flecken in der Epidermis sitzend, der von eingewachsenen, braunen, 2—4  $\mu$  breiten, verzweigten und netzartig verbundenen Hyphen herrührt. Peritheziummenbran 24  $\mu$  dick, aus etwa 8 Lagen von zarthäutigen dunkelbraunen bis 6—8  $\mu$  großen Zellen bestehend. Paraphysen sehr zahlreich, langfädelig, schleimig verklebt. Schlüche keulig, kurz gestielt, achtsporig, 110—124  $\times$  13—15  $\mu$  groß. Jod gibt keine Blaufärbung des Porus. Sporen meist zweireihig, olivgelblich, meist gerade, 5—6zellig, länglich spindelig, mit verschmälert abgerundeten Enden, an den Querwänden nicht eingeschnürt, mit keiner vorspringenden Zelle, 32—37  $\times$  5—6  $\mu$ .

An abgestorbenen Halmen von *Scirpus maritimus* bei Königstein in Sachsen, 1904, leg. W. Krieger.

Läßt sich mit keiner der zahlreichen Arten der Gattung vereinigen. Wenn die Sporen sechszellig sind, springt eine mittlere Zelle öfter kaum merklich vor.

#### CCXXIV. Zur Nomenklatur von *Ophiobolus* und *Leptospora*.

Nachdem die älteren Namen *Rhaphidospora* Fries 1849 (Summ. veget. scand. 1849, p. 401) und *Rhaphidophora* Cesati et de Notaris 1863 (Comm. Soc. critt. ital. I. Bd., IV. p. 233) schon von Nees 1832, beziehungsweise von Hasskarl 1842 für noch heute gültige Phanerogamen-Gattungen Verwendung gefunden hatten, werden die betreffenden Pilze heute, nach dem Vorgange von Saccardo (Syll. Fung. 1883, II. Bd., p. 337) allgemein zu *Ophiobolus* Rieß 1854 gestellt. Das ist aber, wie aus dem folgenden hervorgeht, heute nicht mehr richtig.

Rieß stellte in Hedwigia, 1854, I. Bd., p. 27 die Gattung *Ophiobolus* auf Grund von *Ophiobolus disseminans* auf. Wie aus seiner Figur 8, Taf. IV hervorgeht und schon längst bekannt ist, ist diese Art gleich *Sphaeria acuminata* Sowerby.

Rieß beschreibt, daß jede der scheinbar einfach fadenförmigen (8) Sporen aus zwei Sporen besteht, die mit dem Ende aneinanderstoßen (und anfänglich miteinander verwachsen sind), in dessen Nähe sich eine aufgedunsene Zelle im Faden befindet. Jede Spore hat daher nahe dem in der Mitte des Askus befindlichen Ende eine knopfartige Anschwellung und sieht daher schlängenartig aus. Daher der Gattungsnahme *Ophiobolus*.

Genau dasselbe fand auch Berlese (Icon. Fung. 1894, I. Bd., p. 88), der infolgedessen für denselben Pilz die Gattung *Leptosphaeriopsis* aufstellte. *Ophiobolus* Rieß 1854 und *Leptosphaeriopsis* Berlese 1894 beruhen daher auf derselben Grundart und sind miteinander identisch.

Daher müssen die heutigen *Ophiobolus*-Arten einen anderen Gattungsnamen erhalten.

Rieß hat nun 1854 in *Hedwigia* I. Bd., p. 28 die Gattung *Entodesmium* auf Grund von *E. rude* Rieß aufgestellt. Dieses *E. rude* ist aber auch keine typische Art der heutigen Gattung *Ophiobolus* Aut. non Rieß. Denn bei dieser Art zerfallen die anfänglich fadenförmigen Sporen schon im Schlauch in ihre Glieder und es entstehen zahlreiche elliptische, olivenfarbige Sporen.

Es erscheint ganz zweckmäßig diese Gattung *Entodesmium* im Sinne von Rieß aufrecht zu erhalten.

Jene heutigen *Ophiobolus*-Arten, deren Sporen fadenförmig bleiben, müssen nun den Namen *Leptospora* Rabenhorst 1857 (*Hedwigia* I. Bd., p. 116) führen, deren Grundart die wohlbekannte *Leptospora porphyrogona* (Tode) Rh. ist. Demnach zerfällt die Gattung *Ophiobolus* Aut. non Rieß in drei Gattungen, mit den Grundarten:

1. *Leptospora* Rabh. 1857, Grundart: *L. porphyrogona* (T.) Rh.
2. *Entodesmium* Rieß 1854; Grundart: *E. rude* Rieß.
3. *Ophiobolus* Rieß 1854; Grundart: *O. acuminatus* (Sow.) Duby.

Fuckel stellte 1860 (Jahrb. Ver. Naturk. Nassau, 15. Bd., p. 77) die Gattung *Sphaerolina* auf, die nach der Beschreibung mit *Leptospora* Rabenh. zusammenfällt und in der Tat auch drei Arten dieser Gattung enthält. Allein die erste oder Grundart ist *Sphaerolina xantholeuca*, die er irrtümlicherweise für die *Sphaeria xantholeuca* Kunze hielt, von der er aber später erkannte (Symb. myc. 1869 p. 251), daß sie mit *Schizoxylon Berkeleyanum* (D. et L.) Fuck. identisch ist. Daher ist nach der Grundart *Sphaerolina* Fuckel 1860 = *Schizoxylon* Pers. 1810.

Fuckel hat 1869 (Symbol. myc. p. 143) die Gattung *Leptospora* Rabh. wieder aufgenommen, aber in ganz verändertem Sinne. Die Grundart von *Leptospora* Fuckel ist *L. spermoides* (Hffm.).

Fuckel versteht unter *Leptospora* jene Arten der Gattung *Lasiosphaeria*, deren Sporen keine Querwände haben. Diese Gattung ist nicht nur unhaltbar, sondern auch unrichtig benannt, da der Name *Leptospora* schon von Rabenhorst gültig verbraucht wurde.

#### CCXXV. Über *Sphaeria corticola* Fuckel.

Berlese (Icon. Fung. 1894, I. Bd., p. 129) gab an, daß *Sphaeria cinerea* Fuckel (Symb. myc. 1869, p. 114) mit obiger Art identisch ist. In der Tat zeigte mir die Untersuchung der Original-Exemplare der beiden Arten in den Fung. rhen. No. 911 und 2044, daß die *Sph. corticola* nur die spärlich und schlechter entwickelte *Sph. cinerea* ist. Berlese gibt auch an, daß die *Sphaeria lejostega* Ellis 1881 damit identisch ist. Schon Ellis erkannte die Ähnlichkeit der beiden Formen miteinander und das von Rehm in Ascom. exs. No. 1189 ausgegebene europäische Exemplar von *Sph. lejostega*, das er mit einem Original des Pilzes verglichen hatte (Ann. Myc. 1912, X. Bd., p. 539) ist in der Tat nur die *Sph. corticola*.

Pilz wurde bisher als *Cucurbitaria* von Fuckel, *Metasphaeria* von

Saccardo, *Leptosphaeria* von Winter und Eliasson betrachtet. Rehm (l. c.), welcher fand, daß einzelne Sporen auch eine Längswand aufweisen, stellte 1912 den Pilz zu *Pleosphaerulina*. Der Pilz gehört aber in keine dieser Gattungen. Auch als *Catharinia* oder *Peltosphaeria* kann er nicht aufgefaßt werden.

Abgesehen von anderen Eigentümlichkeiten weicht er von allen mir bekannten Sphaeriaceen dadurch ab, daß er eine strenge senkrechtparallel faserige Peritheziummembran besitzt, was bisher unbekannt war. Er stellt daher eine neue Gattung noch unbekannter Verwandtschaft dar, die ich *Griphosphaeria* nenne.

Die unter dem Periderm oder der Epidermis sich entwickelnden 400—600  $\mu$  großen Perithezien sind rundlich, an der Basis flach und oben etwas kegelig. An der Basis ist die Perithezien-Membran 12—15  $\mu$  dick und in dem bis 200  $\mu$  breiten Mittelteil derselben aus mehreren Lagen von 6—8  $\mu$  großen, eckigen, dünnwandigen Parenchymzellen aufgebaut. Seitlich ist die Membran 30  $\mu$  dick und besteht aus zwei Schichten von dicht senkrecht parallel verwachsenen Hyphen. Die innere etwa 7  $\mu$  dicke Schicht besteht aus blassen flachgepreßten Hyphen, während die Hyphen der äußeren 20—25  $\mu$  dicken Schichte braun und 2—3  $\mu$  dick sind und einen runden Querschnitt haben.

Alle diese Hyphen gehen von der Parenchymplatte in der Mitte der Basis aus und laufen genau parallel aufwärts bis gegen das 50—60  $\mu$  weite Ostiolum hin, wo die Peritheziummembran rasch 60  $\mu$  dick wird, was dadurch zustande kommt, daß die Parallelhyphen 4—8  $\mu$  breit und kurzgliedrig werden, daher dieser oberste dickwandige Teil der Membran parenchymatisch wird. Von dieser Parenchymzone aus gehen wieder schinälere Hyphen nach oben ab, die das Ostiolum begrenzen.

Die Paraphysen sind sehr zarthäutig, 2—3  $\mu$  breit, sehr lang und voller Ölträpfchen. Die zylinderischen Schläuche sind zarthäutig und oben etwa halbkugelig verdickt. Mit Jod färbt sich eine sehr dünne breite Querplatte an der Unterseite der Scheitelverdickung.

#### *Griphosphaeria* v. H. n. G.

Perithezien eingewachsen, nur mit der Mündung vortretend, rundlich, häutig, in der Mitte der Basis und am Ostiolum parenchymatisch, sonst streng senkrecht dünn-parallelhyphig. Paraphysen zarthäutig, lang, fädig, voll Ölträpfchen. Schläuche zylindrisch, zarthäutig, kurzgestielt, oben mit fast halbkugeliger Verdickung, unter der sich eine dünne Querplatte mit Jod bläut. Sporen hyalin, phragmospor, z. T. diktyospor.

#### *Griphosphaeria corticola* (Fuck.) v. H.

Syn.: *Sphaeria corticola* Fuckel 1869,

*Sphaeria cinerea* Fuckel 1869,

*Sphaeria lejostega* Ellis 1881,

- Leptosphaeria corticola* (Fuck.) Sacc. 1878,  
*Metasphaeria corticola* (Fuck.) Sacc. 1883,  
*Metasphaeria cinerea* (Fuck.) Sacc. 1883,  
*Metasphaeria lejostega* (Ell.) Sacc. 1883,  
*Leptosphaeria lejostega* (Ell.) Eliasson 1896,  
*Pleosphaerulina corticola* (Fuck.) Rehm 1912.  
*Sphaerulina salicina* Sydow 1913.

### CCXXVI. Über *Sphaeria typhicola* Cooke.

Der Pilz ist nicht ganz richtig beschrieben in Grevillea 1877, V. Bd., p. 121. In der Sylloge Fung. 1883, II. Bd., p. 264 wird derselbe zu *Pleospora* gestellt. Auch Berlese (Nuovo Giorn. bot. ital. 1888, XX. Bd., p. 40 und Icon. Fung. 1900, II. Bd., p. 8) führt ihn als *Pleospora* an. Ebenso Winter in seiner Bearbeitung der Pyrenomyzeten 1887, p. 495.

Derselbe kommt nur auf *Typha*-Arten vor. Die Angabe Saccardos, daß er auch auf Grashalmen auftritt, beruht auf einer falschen Bestimmung (Michelia 1882, II. Bd., p. 602), denn das betreffende von Libert in den Ardennen gesammelte Exemplar, ausgegeben in Roumeguère, F. gall. ex. No. 1597, ist nach Berlese (Nuov. G. bot. it. l. c. p. 41) *Pyrenophora trichostoma*.

Der seltene Pilz wurde in England entdeckt. Indessen wurde er 1893 auch in Frankreich von Fautrey auf *Typha latifolia* gefunden. Mein Exemplar dieses Fundes in Roumeg., F. sel. exs. No. 6468 enthält denselben zwar nicht, doch geht aus den Angaben über die Schläuche und Sporen auf der Etikette mit Sicherheit hervor, daß es sich nur um die *Pleospora typhicola* (Cooke) handeln konnte.

Aus Deutschland scheint der Pilz nicht bekannt geworden zu sein. Die betreffende Angabe in der Syll. Fung. röhrt wahrscheinlich von Liberts falsch bestimmtem Funde her. Exsikkate aus Deutschland gibt es von diesem Pilze nicht. Hingegen wurde der Pilz von P. Strasser am Sonntagsberge in Niederösterreich wieder gefunden (Ann. Myc. 1911, IX. Bd., p. 86).

Bei Saccardo und Winter, die offenbar den Pilz nicht kannten, sind die Beschreibungen desselben unvollkommen. Berlese gab eine ausführliche Charakteristik der Art, welche aber gerade im Hauptpunkte falsch ist. Er übersah, daß die Sporen flachgedrückt sind und nur aus einer Lage von Zellen bestehen, mithin der Pilz in die Gattung *Clathrospora* Rabenhorst (Hedwigia 1857, I. Bd., p. 116, Taf. XX, Fig. 3) gehört.

*Clathrospora typhicola* (Cooke) v. H. hat nach im März 1916 am Sonntagsberge gesammelten Exemplaren zerstreut stehende, eingewachsene, kugelige, etwas rauhe, bis  $350-400\text{ }\mu$  große, schwarzbraune Fruchtkörper, welche die dünne darüberliegende Gewebsschicht mit einer stumpfkegeligen  $80\text{ }\mu$  hohen und  $60\text{ }\mu$  breiten Mündungspapille durchsetzen. Äußerlich verraten sich dieselben nur durch einen kleinen schwarzen Punkt. Außen zeigen die Fruchtkörper subhyaline bis braune  $3-5\text{ }\mu$  breite abstehende Hyphen. Die

Membran ist 32—40  $\mu$  dick und besteht aus 6—8 Lagen von wenig flachen, Ölträpfchen enthaltenden, 6—8  $\mu$  großen eckigen, dünnwandigen, braunen Parenchymzellen. Paraphysoider Fäden sehr zahlreich, fädig, 2—3  $\mu$  dick, mit vielen kleinen Ölträpfchen, verklebt. Schläuche keulig, kurz knopfig gestielt, 160—230  $\approx$  36  $\mu$ . Sporen meist zu 8 (oder auch weniger), zweireihig, flachgedrückt, elliptisch-länglich, 48—65  $\mu$  lang, 17—23  $\mu$  breit, und 13—14  $\mu$  dick, außen mit einer dicken Schleimhülle versehen, aus einer einfachen Lage von dünnwandigen, öltropfenreichen Zellen bestehend, stets mit 3 Querwänden und einer meist ganz durchgehenden Längswand versehen, also aus 8 Zellen bestehend. Von der Seite gesehen erscheinen die Sporen daher 4zellig. An den Querwänden, oft auch oben und unten an der Längswand sind die Sporen oft sehr stark eingeschnürt. Nicht reine Seiten- oder Flächenansichten der Sporen sind betreffend die Art der Teilung derselben irreführend.

Die reifen Fruchtkörper ragen frei in die großen Lufträume der Blattscheiden hinein und sind nur mit ihrem Scheitel außen befestigt. Ein Ostiolum fehlt. Der Pilz ist eine nicht ganz typische Pseudosphaeriacee, also eine echte *Clathrospora*, da die Grundart dieser Gattung auch eine Pseudosphaeriacee ist. Als Nebenfrucht des Pilzes ist die damit vergesellschaftet auftretende *Phoma Typhae* Oud. zu betrachten.

Keine Fleckenbildung. Pykniden kugelig, eingewachsen, schwarz, 360  $\mu$  groß mit 12  $\mu$  dicker Membran, die aus drei Lagen von offenen 5—10  $\mu$  großen Zellen besteht. Ostiolum auf kleiner Papille, rundlich, 30  $\mu$  weit, unscharf begrenzt. Träger sehr kurz, einfach. Conidien hyalin, elliptisch-länglich ohne Ölträpfchen, 4—5  $\approx$  2  $\mu$ . Nukleus des Pilzes blaß rötlich gefärbt.

Nach Oudemans (Bot. Centralbl., Beihefte, 1902, XI. Bd., p. 534) sollen die Pykniden bis 1 mm groß werden, was gewiß falsch ist.

Der Pilz tritt mit der *Clathrospora* sowohl auf den Stengeln wie auf den Blättern auf, kann daher auch *Phyllosticta* genannt werden.

#### CCXXVII. Über *Teichospora pruniformis* Karst.

Der Pilz scheint nach dem Exemplare in Rehm, Ascom. exs. No. 1995 bisher nur einmal in Mitteleuropa gefunden worden zu sein. Rehms Exemplar ist aber schlecht entwickelt und alt, daher auch seine Angaben über die Art in Ann. Myc. 1912, X. Bd., p. 357 mangelhaft sind.

Der Pilz wurde nun 1917 von P. P. Strasser auf lebender glatter Rinde der Zitterpappel am Sonntagsberge in Niederösterreich in sehr gut ausgereiftem Zustande wieder gefunden. Da derselbe bisher nur von Karsten (Bidrag känned. Finnl. Nat. 1873, p. 66) beschrieben wurde und gerade die *Teichospora*-Arten sehr unbeständig sind, mache ich im Folgenden genauere Angaben über denselben.

Es ist kein Zweifel, daß kaum halb so viele *Teichospora*-Arten vorhanden sind als beschrieben wurden. Von der obigen Art ist *T. kansensis*

Elk. et. Ev. gewiß nicht verschieden. Aber auch *T. oblongispora* E. et Ev., *pomiformis* K. v. *Populi* K. und *vinosa* Passerini sind wahrscheinlich nur Formen derselben.

Alle diese Arten sind als *Teichospora*-Arten (Fuckel 1869) beschrieben worden, allein es ist fraglich, ob sie in diese Gattung gehören, denn dieselben wachsen ganz oberflächlich, während gerade die Typusart der Gattung *Teichospora* Fuckel 1869 (Symb. mycol., p. 161), die *T. Morthieri* Fuck. = *T. ignavis* (de Not.) Karst. ursprünglich unter dem Periderm eingewachsene Perithezien hat, die erst nach Abwurf desselben oberflächlich werden.

Danach wäre nicht, wie bisher angenommen wurde, *Teichospora* Fuckel 1869 = *Strickeria* Körber 1865, sondern gleich *Karstenula* Spegazzini 1880, da die Sporen keine Schleimhülle haben.

Die von Anfang an oberflächlich stehenden Arten müssen zu *Strickeria* gestellt werden.

Die *Strickeria pruniformis* (Karst.) v. H. hat ganz oberflächliche auf dem glatten Periderm der lebenden Rinde zerstreut oder in lockeren Herden sitzende bis 300  $\mu$  große kugelige oder oben meist etwas kegelige Perithezien, die am Scheitel glänzen, sonst etwas rauh sind. Mit der Basis sitzen sie in einer dünnen Filzschichte, die aus braunen 2—2.5  $\mu$  breiten Hyphen besteht und sich an den Perithezien etwas hinaufzieht. Die kohlig-ledrige, leicht schneidbare Perithezienmembran ist 25—28  $\mu$  dick und besteht aus 9—10 Lagen von flachen, mäßig derbwandigen 8—10  $\mu$  großen Zellen. Das rundliche, 20  $\mu$  weite Ostium ist von braunen, stumpfen, parallelen, kurzen Hyphenenden begrenzt. Die Paraphysen sind zahlreich, lang, oben stark verzweigt und netzig verwachsen. Dieselben sind ganz verschleimt, so daß nur das 1  $\mu$  breite plasmareiche Lumen derselben sichtbar wird. Die Schläuche sind keulig, gleichmäßig derbwandig, oben abgerundet, und geben mit Jod keine Blaufärbung. Hingegen färbt sich manchmal die ganze Schlauchschicht nach längerer Einwirkung von Jod blaß-blau. Dieselben sind bis 120—130  $\asymp$  16  $\mu$  groß, mit 8 zweireihig stehenden durchscheinend braunvioletten länglich-keulig-spindeligen, an den Enden abgerundeten 24—28  $\asymp$  8—9.5  $\mu$  großen Sporen, welche fast stets 7 Querwände und eine unterbrochene Längswand aufweisen. Die Schläuche haben einen 20  $\mu$  langen, unten knöpfigen Stiel. Die obere Hälfte der Sporen ist meist etwas breiter als die unten. An den Querwänden sind dieselben nicht oder kaum eingeschnürt.

### CCXXVIII. Über die Gattung *Phomatospora* Saccardo.

Die Gattung wurde aufgestellt 1875 in Nuov. Giorn. bot. ital. VII. Bd., p. 306 auf Grund der *Sphaeria phomatospora* Berk. et Br. (Ann. Mag. nat. Hist. 1852, 2. S., IX. Bd., p. 380, Taf. XI, Fig. 33). Die Gattung ist durch zylindrische Schläuche mit einreihig stehenden, länglichen hyalinen, einzelligen Sporen ausgezeichnet. Auch wird angegeben, daß Paraphysen

völlig fehlen sollen. Allein die Untersuchung der Grundart *Phomatospora Berkeleyi* Sacc. zeigte mir, daß doch sehr zarte Paraphysen vorhanden sind. Dieselben sind zwar nicht reichlich vorhanden und schwer zu sehen, allein auch die Membran der Schläuche ist sehr zart und oft kaum wahrzunehmen. Die Perithezienmembran ist ledrig-häutig und besteht aus kleinen gestreckten Zellen und schmalen Hyphen, ist also mehr plektenchymatisch aufgebaut. Das Ostiolum ist auf einer schwarzen Papille, die oft stark kegelig bis fast zylindrisch vorragt.

Eine ganz typische Art der Gattung, aber mit viel größeren Sporen, ist die *Phomatospora hydrophila* Henn. et Kirschst. (Verhandl. bot. Ver. Brandenb. 1900, 41. Bd., p. XI) in Rehm, Ascom. exs. No. 1342. Hier sind die Paraphysen ganz deutlich und reichlich vorhanden und der Perithezienmembranbau ganz ebenso wie bei der Grundart.

Der schwarze vorstehende Mündungskegel ist bis  $120\text{ }\mu$  hoch. Mit dieser Art ist zweifellos identisch *Phomatospora cupularis* (Winter) Sacc. 1887 auf derselben Nährpflanze in Frankreich.

Andere untersuchte in die Gattung gestellte Pilze gehören nicht in dieselbe.

*Phomatospora Fragariae* Krieg. et Rehm ist eine *Physosporella*. *Ph. therophila* (Desm.) Sacc. und *Ph. Kriegeriana* Rehm sind *Diaporthopsis*-Arten.

Was die Stellung der Gattung anlangt, so versetzten Winter und Schröter dieselbe zu den Gnomoniaceen. Das ist aber unrichtig, denn *Phomatospora* hat keinen Diaportheen-Nukleus.

Ich fand nun, daß *Phomatospora* ganz so wie die echten *Ceratostomella*-Arten gebaut ist, sowohl was die Perithezienmembran als was die Schlauchschicht anlangt. Daher ist *Phomatospora* eine *Ceratostomella* Sacc. ohne oder mit kurzem Schnabel.

Letztere Gattung wurde von Saccardo 1878 in Michelia I, p. 370 auf Grund von *Ceratostomella vestita* Sacc. und *C. cirrhosa* (P.) aufgestellt. Diese Arten haben zylindrische Schläuche mit einreihigen hyalinen, einzelligen länglichen Sporen. Diese haben an den abgerundeten Enden je ein Ölropfchen, genau so wie die echten *Phomatospora*-Arten. Paraphysen sind vorhanden, aber wie die Schläuche sehr zart und leicht zu übersehen. Die Perithezienmembran ist ledrig, kleinzelig-faserig.

Daher ist *Phomatospora* eine Ceratostomacee. Diese Familie ist eine künstliche, die noch studiert werden muß.

Die Gattung *Ceratostomella* im heutigen Umfange enthält zweierlei gattungsverschiedene Elemente. Typische Arten mit häutig-ledrigen Perithezien und zylindrischen Schläuchen und Arten mit brüchigen, kohlgewebigen parenchymatischen Perithezien, eiförmigen Schläuchen mit schwachgekrümmten mehrreihig stehenden Sporen und sehr langem dünnem Schnabel.

Als Typus dieser letzteren Arten muß *Ceratostomella pilifera* (Fries) betrachtet werden. Diese gehören in eine eigene Gattung, die ich *Linostoma* nenne (*Linostoma piliferum* (Fr.) v. H.).

CCXXXIX. Über die Gattung *Ceriospora* Nießl.

Als Typus dieser in Verhandl. naturf. Ver. Brünn 1876, XIV. Bd., p. 169 aufgestellten Gattung bezeichnet Nießl die *Sphaeria ceriospora* Duby. Nießl betrachtet den Pilz als mit den Diaportheen verwandt, daher stellte Winter die Gattung zu den Gnomonieen, deren typische Gattung zu den Diaportheen gehört. Die Untersuchung des Pilzes hat mir gezeigt, daß derselbe zunächst mit *Didymella* und *Didymosphaeria* verwandt ist. Die Form der Schläuche ähnelt zwar sehr denen von *Diaporthe*, sie sind aber ungestielt, an der etwas abgeflachten oder abgerundeten Spitze wenig verdickt, und hier färbt sich eine Querplatte mit Jod blau. Das Verhalten der Schlauchspitze ist daher ganz anders als bei den Diaportheen. Außerdem sind zahlreiche lange, echte Paraphysen vorhanden.

Schröter (Pilze Schlesiens, 1897, II. Bd., p. 393) stellt den Pilz in die Gattung *Hindersonia* Moug. et Nestl. 1843. Mit welchem Rechte ist nicht klar. Daß Maugeot und Nestler 1843 eine Gattung *Hindersonia* aufgestellt haben, ist um so unwahrscheinlicher, als Maugeot und Léveillé 1846 (Ann. scienc. nat., 3. S., V. Bd., p. 289) die *Hindersonia Lupuli* als Konidienpilz aus den Vogesen beschrieben haben mit 4—5 zelligen Sporen. Auch fehlt die Gattung *Hindersonia* Moug. et Nestl. in Pfeiffers Nomenclator botanicus. Léveillé setzt *Hindersonia* statt *Hendersonia* wahrscheinlich nur infolge eines Schreibfehlers (s. Pfeiffer).

Schröter führt *Hindersonia Lupuli* M. et Lév. als synonym zur *Ceriospora Dubyi* N. an, was falsch ist. *Hindersonia* Lév. ist vollkommen gleich *Hendersonia* Berkeley 1841 (Ann. Mag. nat. Hist., VI. Bd., p. 430). Fries nahm diese Gattung ohne Änderung in Summ. veget. scand. 1849 p. 416 an.

Nach Berkeley 1841 und Fries 1849 wäre *Hendersonia* B. = *Hendersonia* Sacc. Syll. Fung. plus *Stagonospora* Sacc. (Michelia, 1880, II. Bd., p. 8). Saccardo glaubte, daß die Grundart *Hendersonia elegans* Berk. gefärbte Sporen hat. Daher stellte er zu *Hendersonia* die Arten mit gefärbten Sporen, und die mit hyalinen Sporen zu *Stagonospora*. Das ist aber falsch, denn Berkeley gibt ausdrücklich an, daß die Konidien der Grundart *Hendersonia elegans* Berk. farblos sind. Daher ist *Stagonospora* Sacc. 1880 = *Hendersonia* Berk. 1841.

Die *Hendersonia elegans* Berk. fehlt in der Syll. Fungorum als solehe. Es ist aber sicher, daß *Hendersonia dolosa* Sacc. et R. (Michelia, 1882, II. Bd., p. 630) und *Hendersonia pauperior* Karsten (Meddel. Societat. Faun. et Flora fennic. 1885, XI. Bd., p. 12) damit zusammenfallen. Da Fries die Gattung *Hendersonia* Berk. ohne Änderung 1849 angenommen hat, besteht sie heute noch im Sinne ihrer Grundart zu Recht. Fries führt zwar als erste Art die *Hendersonia acinosa* an, die nach Cooke eine *Diplodia* sein soll, und hat als zweite Art die *H. exilis* (A. et Schw.) Corda, die ganz zweifelhafter Natur ist, allein als neunte Art hat er die *H. elegans* Berk. und aus seiner Gattungsbeschreibung geht hervor, daß er unter *Hendersonia* nur

Formen verstanden wissen wollte, die lange, vielfach quergeteilte (farblose oder gefärbte) Konidien haben.

Nach *Hendersonia* kommt bei Fries gleich die Gattung *Diplodia* Fries mit zweizelligen (hyalinen oder gefärbten) Konidien, und mit der Grundart *D. subiecta* Fr., die noch heute als *Diplodia* gilt.

Indessen ist *Diplodia* Fries 1834 gleich *Sporocadus* Corda 1839 nach dessen Typusart (*Sporocadus herbarum* Cda.).

Nach dem Gesagten müßten fernerhin die *Stagonospora*-Arten den Gattungsnamen *Hendersonia* Berk. erhalten, und die Arten der heutigen Gattung *Hendersonia* Sacc. einen neuen Gattungsnamen, für den ich *Phaeohendersonia* vorschlage.

Noch sei bemerkt, daß die von Desmazières (Ann. scienc. nat. 1849, 3. S., XI. Bd., p. 341) versuchte Verbesserung der Gattungsbeschreibung von *Hendersonia* ganz verfehlt ist und daher mit Recht keinen Anklang gefunden hat.

Nach allem Gesagten ist es klar, daß Schröters Anwendung des Namens *Hindersonia* Moug. et N. eine mißverständliche ist und Nießls Name *Ceriospora* zu Recht besteht.

Obwohl die Grundart von *Ceriospora* Nießl hyaline zweizellige Sporen hat und danach Nießl die Gattung auch beschrieben hat, schreibt Berlese (Icon. Fung. 1894, I. Bd., p. 29) derselben vierzellige gefärbte Sporen zu und rechnet daher zur Gattung auch Pilze mit vierzelligen, gefärbten Sporen, wie *Ceriospora xantha* Sacc. und *C. montaniensis* (E. et Ev.) Berl. Andererseits stellt er die *C. Dubyi* N. in die Gattung und bildet sie auf Tafel XVIII, Fig. 2 mit zweizelligen, hyalinen Sporen ab. Es ist klar, daß dieser Vorgang falsch ist. Die Arten mit vierzelligen, gefärbten Sporen gehören in eine eigene Gattung, die ich *Keißleria* nenne, nach dem bekannten Mykologen Dr. Karl Keißler. Kustos am Wiener Hofmuseum.

Als Grundart dieser neuen Gattung betrachte ich die *Keißleria xantha* (Sacc.) v. H.

Die *Ceriospora xantha* Saccardo (Michelia 1877, I. Bd., p. 36) wurde als einfache Sphaeriacee beschrieben und als solche auch in den *Fungi italici* Taf. 188 und in Berlese, Icon. Fung. 1894 Taf. XVIII abgebildet. Die Untersuchung zeigte mir aber, daß dieselbe eine Melogrammee mit gut entwickeltem Stroma ist. Dieses entwickelt sich unter dem Periderm und ist an den dünnen *Clematis*-Zweigen in Form von Längsstreifen entwickelt, die an den sterilen Stellen etwa 100  $\mu$  dick sind, wo sich aber die einzeln oder in kleinen Gruppen oder kurzen Reihen stehenden Perithezien befinden, 500  $\mu$  dick wird. Das Stromagewebe ist parenchymatisch, innen und unten blaß oder hyalin, außen jedoch schwarzbraun. Oben ist das Stroma scharf begrenzt, unten und seitlich verläuft das hyaline Gewebe allmählich.

Die fast kugeligen Perithezien sind etwa 360  $\mu$  groß, 60—120  $\mu$  tief im Stroma eingelagert und haben einen unscharf begrenzten 140  $\mu$  langen, 60  $\mu$  breiten Hals, mit dem sie die Stromadecke durchbrechen und der oben warzig, schwarz vorragt. Der Halskanal ist weit und mit schönen zahlreichen Periphysen ausgekleidet. Die Perithezienmembran ist 10—12  $\mu$  dick, hellbraun und besteht aus vielen Lagen von ziemlich großen, stark zusammengepreßten dünnwandigen Parenchymzellen. Die Paraphysen sind sehr zahlreich, fädig, bis 280  $\mu$  lang, schleimig verschmolzen. Die bis über 110  $\mu$  langen, 10—12  $\mu$  breiten, spindelig-keuligen Schläuche sind zarthäutig und an der verschmälert abgerundeten mit Jod sich nicht färbenden Spitze fast halbkugelig verdickt. Die beiden Endzellen der Sporen sind fast hyalin. Unter den Perithezien ist das blasse Stroma-gewebe noch bis 160  $\mu$  dick.

*Keißleria* ist von *Melogramma* eigentlich nur durch die kleineren, weicheren Stromata mit einem bis wenigen Perithezien und die geschwänzten Sporen wenig genug verschieden.

Viel auffallender als bei dieser Art tritt die Melogrammeen-Natur der Gattung *Keißleria* hervor bei der ganz ebenso gebauten *Ceriospora montaniensis* E. et Ev. (North-Am. Pyren. 1892, p. 391), die zuerst 1888 (Journ. of Mycol. IV. Bd., p. 64) als *Lophiostoma* beschrieben wurde. Die Stromata sind hier knollenförmig, scharf begrenzt und sitzen schließlich oberflächlich. Wenn die Stromata nur ein Perithezium enthalten, sehen sie wie einfache Fruchtkörper aus und wurden als solche beschrieben. Oft führen sie aber auch mehrere Perithezien. Die Stromata sind auch unten braun und stehen meist in Reihen. Der Pilz hat *Keißleria montaniensis* (E. et Ev.) v. H. zu heißen.

*Ceriospora Ribis* P. Henn. et Plöttn. (Verh. bot. V. Brandenbg. 1900, 41. Bd., p. 97). Rehm (Ann. Myc. 1906, IV. Bd., p. 479) nannte den Pilz *Melanconis ribincola*, gab jedoch keine Beschreibung. Die Perithezien stehen manchmal einzeln und brechen mit einem derben Schnabel durch das Periderm, meist sind sie aber zu 2—6 valloid gehäuft, ihre Schnäbel, die oft über 0,5 mm weit vorragen, verwachsen zu einer rundlichen 360  $\mu$  breiten schwarzen Scheibe, mit welcher sie durchbrechen. Die schwarzen Schnäbel sind verbogen, oft knotig und von kurzen, braunen Hyphenenden rauh. Die zylindrischen Schläuche sind ungestielt und geben mit Jod keine Blaufärbung. Die Sporen sind bleibend hyalin. Paraphysen sehr zahlreich, lang, schleimig verschmolzen.

Danach ist die Originalbeschreibung mehrfach unrichtig. Untersucht wurde das Originalexemplar in Rehm, Ascom. exs. No. 1333 (bei welchem die Schnäbel nicht vorragen) und Tranzsch.-Serebr., Mycoth. ross. No. 177 mit weit vorstehenden Schnäbeln.

Der Pilz kann nur als *Melanconis* oder *Hercospora* aufgefaßt werden, und mag bis zur Auffindung der Nebenfrüchte *Melanconis Ribis* (H. et Pl.) S. et Tr. (Syll. F. XXII. Bd., p. 376) genannt werden. Da aber ein *Melan-*

*conium* auf *Ribes* bisher nicht bekannt ist, ist die Stellung des Pizes bei *Melanconis* zweifelhaft, während die *Rabenhorstia ribesia* C. et M. vermutlich die *Dothiorella Ribis* ist.

*Ceriospora fuscescens* Nießl (Verh. naturf. Ver. Brünn 1876, XIV. Bd., p. 169), deren Originalexemplar ich Dank der Güte Hofrat v. Nießls untersuchen konnte, ist von demselben sehr gut beschrieben. Der sehr unscheinbare Pilz entwickelt sich 5—7 Zellschichten unter der Epidermis. Die bis 310  $\mu$  breiten und hohen Perithezien stehen nie einzeln, sondern sind zu 5, 6 und mehreren in Längsreihen miteinander verwachsen und öfter zum Teile so verschmolzen, daß zwischen je zweien nur eine ganz dünne, blasse, einfache Scheidewand vorhanden ist. Indessen kommt es nicht zur Bildung eines deutlichen Stromas. Die Perithezienmembran ist unten und seitlich 12—20  $\mu$  dick und braun, oben dunkler und bis über 50  $\mu$  dick. Sie besteht aus vielen Lagen von stark zusammengepreßten, bald nur 6—8  $\mu$ , bald viel größeren, dünnwandigen, braunen Zellen. Unten und auch zwischen den Perithezien oben findet sich ein spärlicher, aus braunen 1.5—3  $\mu$  breiten Hyphen bestehender Filz. Oben zeigt sich auf einer mehr weniger entwickelten Papille ein rundliches oder längliches 20—40  $\mu$  weites, unscharf begrenztes Ostiolum. Die die Perithezienreihe deckende Faserschicht der Rinde reißt spaltenförmig auf und entblößt den Pilz nur wenig. Die zahlreichen, meist 90—110  $\approx$  16  $\mu$  großen Schläuche sind sehr zarthäutig, oben verschmälert abgestutzt, spindelig-keulig, unten in einen 20  $\mu$  langen Stiel allmählich verschmälert. Im wenig verdickten flachen Schlauchscheitel färbt sich eine Querplatte mit Jod schön blau, welche vom Porus durchbrochen, daher ringförmig ist. Die zahlreichen langen Paraphysen sind dünnfäidig und schleimig verschmolzen. Zwischen denselben finden sich viele entleerte 5—6  $\mu$  breite Schläuche, die sich durch die Blaufärbung ihrer Spitze verraten. Die hyalinen zweizelligen Sporen sind beidendig scharf spitz, spindelig oder keulig-spindelig, meist gerade, sehr zarthäutig und mit reichem homogenem oder feinkörnigem Inhalt. Sie sind meist 34—36  $\approx$  8  $\mu$  groß und haben oben eine 10  $\mu$  lange, unten eine 6  $\mu$  lange hyaline Zilie, die manchmal verkümmert ist.

Der Pilz kann nur als eine sehr bemerkenswerte *Ceriospora* angesehen werden.

#### CCXXX. Über die Gattung *Ceriosporella* Berlese.

Die in *Icones Fung.* 1894, I. Bd., p. 121 aufgestellte Gattung wird von Berlese als hyalinsporige *Ceriospora* bezeichnet. Berlese versteht aber unter *Ceriospora* unrichtigerweise Pilze mit gefärbten Sporen und mehreren Querwänden.

Als erste Art führt Berlese die *Ceriosporella Patouillardii* (Let.) B. auf. Dieselbe wurde 1885 in *Revue mycol.* VII. Bd., p. 153 wieder als *Ceriospora Ulicis* Pat. beschrieben. Nach den Beschreibungen und der Abbildung in Patouillard, *Tabulae analyt.* 1883 No. 497 dürfte der Pilz

nur eine Form von *Lophiotrema praemorsum* (Lasch) sein. Auch *Enchosphactria santonensis* Sacc. (Syll. Fung. II. Bd., p. 206) wäre damit zu vergleichen.

Danach wäre *Ceriospora* Berl. eine zweifelhafte Gattung, die noch aufgeklärt werden muß.

Die zweite Art der Gattung beruht auf *Sphaerella bicalcarata* Cesati (Hedwigia 1872, XI. Bd., p. 181). Dieser in Rabenh., F. europ. No. 1561 ausgegebene Pilz wurde von Nießl (Verh. nat. Ver. Brünn, XIV. Bd., p. 169) für eine *Diaporthe* gehalten. Ich fand in der Tat an meinem Exemplare des Pilzes in Briosi e Cavara, I Fung. parass. No. 193 nur die *Phomopsis Chamaeropsis* (Cooke) v. H. mit  $5-8 \approx 2 \mu$  großen spindeligen Konidien, so daß es naheliegend war, Nießls Ansicht für richtig zu halten. Auch die Abbildung des Pilzes bei Briosi e Cavara l. c. spräche nicht gerade gegen diese Auffassung. Allein die Untersuchung das Original-exemplares des Pilzes zeigte mir, daß derselbe eine typische an die anatomischen Verhältnisse der Blattstiele von *Chamaerops* angepaßte *Ceriospora* ist.

Die etwa  $400 \mu$  breiten,  $195 \mu$  dicken, fast linsenförmig flachen Perithezien entwickeln sich etwa eine Zellschichte tief unter der Epidermis, sind unregelmäßig rundlich und stehen einzeln oder in kleinen Gruppen dicht nebeneinander. Die mäßig dünne Peritheziensmembran ist dunkelbraun. Oben zeigt sich eine kleine Mündungspapille, welche die Epidermis durchbricht, aber nicht vorsteht. Letztere ist über den Perithezien durch eingewachsene schwarzbraune Hyphen klypeusartig geschwärzt. Wenn die Perithezien einzeln stehen, wie in dem Exemplare in Erb. Critt. Ital. Ser. II. No. 1167, ist dieser Klypeus nur wenig deutlich, bei dem besser entwickelten Stücke in Rabenhorsts No. 1561, wo die Perithezien häufig in dichten Gruppen stehen, fließen die Klypei zu einem bis einige Millimeter großen Flecken zusammen, die ein Stroma vortäuschen.

Der Pilz weicht von der Grundart *Ceriospora Dubyi* nur habituell ab, was durch die anatomischen Eigenheiten der Palmenblattstiele bedingt wird. Die Schläuche sind spindelig keulig, etwa  $100 \approx 13 \mu$  groß, eben etwas verschmälert und an der mit Jod keine Blaufärbung gebenden Spitze fast halbkugelig verdickt. Paraphysen lang, fädig, zahlreich, mit vielen Ölträpfchen, schleimig verbunden.

Der Pilz ist also keine *Diaporthe*, sondern hat *Ceriospora bicalcarata* (Ces.) Sacc. zu heißen.

Jene Askomyzeten, welche unter einer dicken und harten Epidermis eingewachsen sind, wie sie bei Bambusen, Palmen usw. vorkommt, zeigen oft eigentümliche Anpassungserscheinungen. Entweder brechen die kohlenigen Perithezien spitzkegelig hervor, so bei *Pteridospora javanica* (Fragm. No. 377, VIII. Mitt. 1909), *Leptosphaeria Trochus* (Fragm. No. 225, VI. Mitt. 1909), *Astrophaeriella fusispora* (Ann. Myc. 1913, XI. Bd., p. 260), oder ohne Veränderung der Gehäuseform, wie bei *Anthostomella* (*Astrocytis*)

*mirabilis*. Bei *Astrosphaeriella prorumpens* (Ann. Myc. 1916, XIV. Bd., p. 436) brechen die kohligen Perithezien nur mit dem Scheitel hervor. Wenn die Perithezien aber zart- und weichhäutig sind, werden sie ganz flach und wird das darüber liegende Gewebe deckelartig abgeworfen, so bei *Merrilliopeltis Calami* (Fragm. No. 694, XIII. Mitt. 1911). Auch *Hysterostegiella valvata* (Fragm. No. 1010, XIX. Mitt. 1917) verhält sich so. Bei *Pemphidium nitidum* (Fragm. No. 694) und *Ceriospora bicalcarata* kommt es nur zu einer Klypeusbildung ohne Deckelabwurf. Das sind eigentlich keine Gattungs-eigenschaften der betreffenden Pilze, sondern Anpassungs-erscheinungen an das Substrat. Die betreffenden Pilze sehen äußerlich ganz anders und oft sehr eigenartig aus, sind aber im wesentlichen ebenso gebaut wie ihre nächsten Verwandten auf normalen Unterlagen.

#### CCXXXI. Über *Sphaeria pustula* Persoon.

Der in Synopsis method. Fungorum 1801, p. 91 beschriebene, gut bekannte Pilz wurde von Fries zu *Phoma* gestellt, von Berkeley zu *Isothea* Fries, von Cesati et de Notaris zu *Sphaerella* Fries, von Auerswald zu *Gnomonia* und von Karsten zu *Hypospila*.

Die Untersuchung zeigte mir aber, daß er in keine dieser Gattungen gehört.

Der Pilz hat ein wenig ausgebildetes Stroma, das die ganze Blattdicke einnimmt und nur oben wie unten in Form je eines kleinen Klypeus entwickelt ist, die mit den Epidermisaußenwänden verwachsen sind. In der Mitte seitlich ringsum ist von Stromagewebe nichts zu sehen. Das Gewebe der beiden Klypei ist sehr klein-zellig. Blattoberseits ist der Klypeus sehr klein, wie es scheint auch manchmal gar nicht entwickelt und 16  $\mu$  dick. Blattunterseits ist derselbe größer und 20—25  $\mu$  dick. Jedes Stroma enthält nur ein Peritheziun, dessen 12—16  $\mu$  dicke weiche Membran aus 3—4 Lagen von stark zusammengepreßten Zellen besteht, deren äußere Lagen schmutzig violettblau gefärbt sind. Die Mündung ist seitenständig und sitzt auf einem kurzkegelförmigen, kaum vorragenden Schnabel. Jedes Peritheziun ist von einer homogenen, später öfter körnigen, 10 bis 12  $\mu$  dicken, harten, kontinuierlichen Schichte eingeschlossen, welche die Wandung der kugeligen Höhlung, in der das Peritheziun liegt, überzieht und sich leicht von dem letzteren ablöst.

Diese Schichte besteht aus einer hyalinen organischen Grundmasse, in der viel oxalsaurer Kalk kristallinisch eingelagert ist, den man mit Salzsäure herauslösen kann. Derselbe wird zweifellos von den Perithezien ausgeschieden und ist offenbar eine Art Schutzmittel desselben.

Der Peritheziennukleus ist diaporthoid. Die hyalinen, spindelförmigen Sporen sind meist zweizellig, doch auch 3—4-zellig.

Der Pilz gehört in eine eigene bisher monotypische Gattung, die ich *Chalcosphaeria* nenne.

CCXXXII. Über die Gattung *Ophiognomonia* Saccardo.

Diese Gattung wurde 1882 in der Syll. Fung. I. Bd., p. 419 als Unter-gattung von *Gnomoniella* aufgestellt und 1899 (Syll. Fung. XIV. Bd., p. 643) zur Gattung erhoben.

Die Typus-Art *O. melanostyla* (D. C.) Sacc. hat keine Spur eines Stromas, ziemlich derbwandige, schwarzbraune, großzellige Perithezien und einen schwarzen in der Mitte aufgesetzten Schnabel. Der Nukleus ist ausgesprochen diaporthoid.

Die zweite Art *O. procumbens* (Fuck.) Berl. (Icon. Fung. 1900, II. Bd., p. 146 (*Linospora procumbens* Fuckel 1869 = *Gnomonia pleurostyla* Auersw. 1869) ist ganz ähnlich, hat aber einen seitenständigen Schnabel und weiche, zarthäutige, zartwandig-großzellige Perithezien, deren Membran dünn und durchscheinend schmutzig violett, blaß gefärbt ist. Man ersieht daraus, daß bei diesen Pilzen auf Färbung und Weichheit der Perithezienmembran kein zu großes Gewicht gelegt werden darf. Bei beiden Arten sind die Membranzellen oben senkrecht gereiht.

CCXXXIII. Über die Gattung *Phoma* Fries.

Die Gattung wurde schon 1819 in Fries, Novitiae Florae sueciae V. p. 80 aufgestellt. Hier erscheint als Grundart der Gattung die *Sphaeria Pustula* P. also ein Pyrenomyzet, der heute in der Gattung *Hypospila* Fries 1849 steht.

Maßgebend für die Beurteilung der Gattung ist jedoch Fries, Syst. myc. 1823, II. Bd., p. 546. Die Beschreibung der Gattung ist hier ganz falsch. Fries glaubte, daß keine Schläuche vorhanden sind. Später wurde er jedoch durch Berkeley darüber belehrt, daß Schläuche da sind und in Summa vegetab. scand. 1849 p. 421 wird die Gattung *Phoma* als zu den Askomyzeten gehörig erklärt. Sowohl 1823 wie 1849 führt Fries als erste Art der Gattung *Phoma salignum* (Ehrh.) Fr. an.

Dieser Pilz wurde von Fuckel (Symb. myc. 1869, p. 124) in seine Gattung *Linospora* gestellt. Sie entspricht aber nicht dem Typus dieser Gattung (*L. candida* Fuck. = *Cryptoderis lamprotheca* (Desm.) Auerswald), welche der Typus der Gattung *Cryptoderis* Auersw. 1869 ist. Daher ist *Linospora* Fuckel 1869 = *Cryptoderis* Auersw. 1869.

Nach dem Erscheinen von Fries' Summa veget. scand. 1849 war daher die Sachlage ganz klar: *Phoma* Fr. 1849 ist eine Sphaeriaceen-Gattung mit der Grundart *Phoma salignum* (Ehrh.) Fr., die ein wohlbekannter Pilz ist.

Alle älteren Mykologen bis zum Jahre 1849 faßten indes *Phoma* als Pyknidenpilz auf.

Dieser unrichtige Zustand wurde nun unglücklicherweise dadurch befestigt, daß Desmazières in demselben Jahre 1849 in Ann. scienc. nat. 3. S., XI. Bd., p. 332 die Gattung *Phoma* neu charakterisierte. Der-

selbe beschrieb dieselbe als Pyknidenpilz mit Konidienträgern und sehr kleinen, hyalinen, länglichen Konidien mit zwei einständigen Ölträpfchen.

Liest man, was Desmazières in seiner ausführlichen Bemerkung zu seiner Gattungsbeschreibung noch hinzufügt, so gewinnt man die Überzeugung, daß er eigentlich die *Phomopsis*-Arten im Auge hatte, wie schon der Umstand zeigt, daß er auf die zwei Ölträpfchen ein besonderes Gewicht legt und *Phoma* mit *Leptostroma* vergleicht, was wohl bei den *Phomopsis*-Arten, nicht aber bei jenen Formen tunlich ist, die heute als echte *Phoma*-Arten gelten.

Nach Desmazières wäre also *Phoma* eigentlich gleich *Phomopsis* Sacc. v. H. In der Tat finden sich unter den 10 *Phoma*-Arten, die er als typisch gleich anführt, 3 *Phomopsis*-Arten (4. *Ph. lirella* D., 9. *Ph. subordinaria* D. und 10. *Ph. albicans* Rob.).

Im übrigen zeigte mir die Untersuchung, daß schon die erste von ihm angeführte Art (*Ph. strobiligena* D.) eine *Sclerophoma* v. H. ist. Ebenso die achte (*Ph. punctiformis* D.). Die zweite Art (*Ph. siliquastrum* D.) ist offenbar unreife *Carlia* (*Mycosphaerella*) *Cruciferarum* (Fr.). Die dritte Art (*Ph. Lingam* D.) gehört zu *Plenodomus*. Die fünfte (*Ph. errabunda* D.) und die siebente Art (*Ph. occulta* D.) gehören zu *Sclerophomella* v. H. Die sechste Art (*Ph. exigua* D.) ist eine unhaltbare Mischart, zum Teile aus unreifen Askomyzeten bestehend, zum Teile *Sclerophomella* und *Phoma* im heutigen Sinne enthaltend.

Man sieht, daß *Phoma* im Sinne von Desmazières' Beschreibung *Phomopsis*, nach der Grundart *Sclerophoma*, und im übrigen eine unhaltbare Mischgattung ist.

Offenbar hat Desmazières seine Gattung *Phoma* nur theoretisch aufgestellt, auf den Angaben fußend, die Fries 1823 bei der Gattung machte.

Trotzdem sind alle späteren Autoren dem Vorgehen von Desmazières gefolgt und nicht Fries. Selbst der darüber besser belehrte Berkeley nahm 1860 in *Outlines of British Fungology* p. 313 die Gattung *Phoma* im Sinne von Desmazières auf. Ebenso Lambotte, Fuckel, Westendorp, Kickx usw.

Unter diesen Umständen war es begreiflich, daß auch Saccardo 1880 (*Michelia*, II. Bd., p. 4) *Phoma* Fr. als Sphaeroidee aufnahm, daher nun in der *Sylloge Fungorum* *Phoma* als große Sphaeroideen-Gattung angeführt ist.

Ich kann mich aber trotz der mit einer Änderung der Auffassung von *Phoma* Fr. verbundenen Unzuträglichkeiten diesem Vorgange aller Autoren nicht anschließen. Übrigens sind die Folgen der Annahme von *Phoma* als Sphaeriaceen-Gattung durchaus nicht so bedeutend, als es im ersten Augenblitche erscheinen mag, denn die Gattung *Phoma* der Autoren (non Fries 1849) ist schon jetzt in einem großen Auflösungsvorgang begriffen. Ein sehr großer Teil der Arten derselben steht heute schon in

den Gattungen *Phyllosticta*, *Phomopsis*, *Sclerophoma*, *Sclerophomella*, *Leptophoma*, *Macrophoma*, *Coleophoma*, *Plectophoma*, *Stictochorella*, *Plenodomus* usw., und weitere genauere Untersuchungen werden gewiß noch viele Arten aus der Gattung ausscheiden. Es scheint mir, daß sehr viele scheinbar echte Arten der Gattung *Phoma* Aut. zu den Sclerophomeen gehören werden, da sie keine Konidienträger zeigen.

#### CCXXXIV. Über *Phoma saligna* Fries.

Sowohl im Systema mycol. 1823, II. Bd., p. 546, wie in Summa veget. scandin. 1849, p. 421 ist dieser wohlbekannte Pilz die Grundart der Gattung *Phoma* Fries 1819—1823. *Phoma* ist daher eine Askomyzeten-Gattung.

*Phoma saligna* Fr. wurde von Fuckel (Symb. myc. 1869, p. 124 sub *Sphaeria Capreae* D. C.) in seine Gattung *Linospora* gestellt. Sie entspricht aber nicht dem Typus derselben *Linospora candida* Fuck., gleich *Cryptoderis lamprotheca* (Desm.) Auersw., welche keine fadenförmigen Sporen hat. Doch steht der Pilz noch heute überall in der Gattung *Linospora*, die heute bei den Clypeosphaeriaceen steht, eine künstliche Familie, die aufgelassen werden muß.

Dem Pilze wird ein schwarzes Stroma (Schröter) oder Pseudostroma (Winter) zugeschrieben. Schröter schreibt ihm auch schwarze Perithezien zu.

Die Untersuchung desselben zeigte mir aber, daß derselbe, für sich betrachtet, nur als Hyponectrie aufgestellt werden könnte. Die Perithezien haben eine oft ganz dünne, doch auch bis 15—18  $\mu$  dicke hyaline oder sehr blasse, fleischige Membran, die aus vielen Lagen stark zusammengepreßter, sehr zartwandiger, oft gestreckter, meist großer Parenchymzellen besteht. Auch der nicht immer entwickelte Schnabel ist weich, oben blaß und nur unten außen dunkler gefärbt. Er besteht aus parallelen Hyphen. Die zylindrischen bis 230  $\mu$  langen Schläuche liegen gegenüber der oben meist seitlich stehenden Mündung unten parallel nebeneinander. Sie sind unten lang und fein zugespitzt und oben abgestutzt. Sie scheinen am oberen Ende den charakteristischen Bau der Diaportheen zu besitzen, was aber ihrer Schmalheit wegen schwer sicher festzustellen ist. Paraphysen fehlen völlig. Der Nukleus wird wohl Diaportheen-artig gebaut sein, doch tritt dieser Bau wegen der langen schmalen Schläuche nicht besonders hervor.

Jedes Perithezium ist nun in einem echten Stroma eingebettet, das die ganze Blattdicke einnimmt und oben und unten mit der Epidermis-außewand verwachsen ist. Dieses Stroma erscheint zwar schwarz, dünne Querschnitte lehren aber, daß dasselbe im Innern ganz hyalin ist und nur aus sehr zarten Hyphen besteht, die das Mesophyllgewebe ausfüllen, und ringsum aus einem kleinzellig-parenchymatischen, lebhaft bräunlich-gelben Gewebe besteht, das nach innen allmählich in das hyaline Binnengewebe übergeht. Die Konsistenz des Stromagewebes ist eine festfleischige

oder wachsartige. An dickeren Schnitten erscheint dasselbe allerdings dunkelbraun bis schwärzlich, allein mazeriert man dasselbe durch Kochen mit Kalilauge, so überzeugt man sich leicht davon, daß die dunkle Färbung von den abgestorbenen Inhalten der Blattzellen und nicht von den Pilzhypfen herrührt. Nach Kochen mit Kalilauge färben sich die Schläuche mit Jod schwach blau.

Trotz dieser Hypnœctriæn-artigen Beschaffenheit des Pilzes ist es aber klar, daß der Pilz doch nur zu den Diaportheen gestellt werden kann, da er mit mehreren Gnomonieen-Gattungen ganz nahe verwandt ist und die Einreihung der Pilze nicht nach einzelnen Merkmalen, sondern nach der Summe aller geschehen muß.

#### CCXXXV. Über *Sphaeria cryptoderis* Léveillé.

Wurde 1848 in Ann. scienc. nat., 3, S., IX. Bd., p. 144 beschrieben. Desmazières beschrieb ihn 1851 wieder l. c. 3. S., XVI. Bd., p. 315 unter dem Namen *Sphaeria lamprotheca* D. Im Jahre 1854 (Hedwigia No. 6, p. 25, Taf. IV, Fig. 5) beschrieb ihn Rieß als neue Art und Gattung: *Pleuroceras ciliatum*. Im Jahre 1869 (in Gonnermann u. Rabenh., Mycol. europ. Heft V—VI, p. 29) stellte Auerswald für denselben die Gattung *Cryptoderis* auf und nannte ihn *Cryptoderis lamprotheca* (D.) Awld. In Fuckel, Symb. myc. 1869 erscheint er als die Grundart seiner neuen Gattung *Linospora* als *Linospora candida* Fuck.

Daraus ergibt sich, daß *Pleuroceras* Rieß 1854 = *Cryptoderis* Auerswald 1869 = *Linospora* Fuckel 1869 ist, und der Pilz *Pleuraceras cryptoderis* (Lév.) v. H. genannt werden muß.

Die gute Diaportheen-Gattung *Pleuroceras* Rieß hat kein Stroma, die eingewachsenen Perithezien sind braun, dünn und weichhäutig, liegend, schief, mit seitенständigem Schnabel; die zweizelligen Sporen sind schmal, fast doppelspindelig und zerfallen leicht in ihre Hälften.

#### CCXXXVI. Über die Gattung *Mamania* Cesati et de Notaris.

Die Gattung wurde 1863 in Comment. Soc. crittog. ital. I., Bd. IV, p. 210 aufgestellt. Die Gattungsbeschreibung ist hier sehr umfassend und wenig sagend. Als Typusart der Gattung hat die *Sphaeria fimbriata* Persoon zu gelten, welche zuerst angeführt wird. Von der *Sphaeria Coryli* Batsch sagen die Autoren, daß sie bereits Abweichungen zeigt. Außer diesen zwei Arten stellten sie — vorläufig — noch ein Dutzend Diaporthe-Arten in die Gattung, wie sie sagen, der Sporen wegen: „Sporen länglich, 2—4 zellig, oder mit wenigstens 4 Ölträpfchen, hyalin.“ Offenbar verstanden Cesati und de Notaris eigentlich das unter *Mamania*, was später Nitschke *Diaporthe* nannte. Nachdem nun aber die Gattung *Diaporthe* sich allgemeine Geltung verschafft hat und nach der heutigen Auffassung die Gattungen nach der Typusart beurteilt werden müssen, welche in diesem Falle die *Mamania fimbriata* (P.) C. et de Not. ist, so

halte ich an der bisherigen Auffassung, wie sie von Winter, Schröter u. a. geübt wurde, fest.

*Mamiania fimbriata* muß nach ihrem Baue als eine typische Diaporthee betrachtet werden. Der Pilz besitzt ein flaches Stroma, das ringsum eine schwarze, kohlige, 40—100  $\mu$  dicke Kruste zeigt, die nur dort durch runde, weiche, blonde Stellen unterbrochen ist, wo, stets blattunterseits, die Schnäbel der Perithezien nach außen durchbrechen. Der weiße Ring, von welchem die Schnäbel am Grunde ihres vorstehenden Teiles umgeben sind, röhrt nicht, wie von Winter, Schröter, Theissen u. a. angegeben wird, von der Blattempidermis her, sondern von dem hyalinen Gewebe der Durchbruchsstellen der Stromata.

Das Binnengewebe der Stromata besteht aus hyalinen, senkrecht parallel stehenden Zellen und Hyphen. Dasselbe schließt niemals Blattgewebe ein. Die Stromata entstehen ursprünglich in dem Schwammparenchym der Blätter zwischen der Palisadenschicht und der unteren Epidermis. Am Rande der Stromata bleiben diese Gewebe auch später meist frei von dem Pilze, während sie weiter nach innen auch von dem kohligen Gewebe der Stromakruste ausgefüllt werden, so daß die Stromata schließlich oben und unten mit den Epidermisaußenwänden verwachsen sind. In dem bis über 300  $\mu$  dicken hyalinen Kerngewebe entstehen nun die natürlich anfänglich hyalinen Perithezien, die aber schon lange vor der Reife ganz schwarz, mehr minder kohlig werden. Die etwa 35—40  $\mu$  dicke Perithezienmembran zeigt außen eine 25  $\mu$  dicke, aus flachen, kohligen, in 4—5 Lagen stehenden Zellen bestehende Schicht, auf der eine dünnere hyaline, aus stark zusammengepreßten Hyphen bestehende folgt. Nach dieser Darstellung ist, was Theissen (Ann. Myc. 1916, XIV. Bd., p. 437) sagt, richtig zu stellen.

Der Peritheziennukleus ist typisch diaporthoid. Die Sporen sind sehr ungleich zweizellig.

Der älteste Name des Pilzes wäre eigentlich *Mamiania spiculosa* (Batsch) Traverso 1905.

Die zweite Art *Mamiania Coryli* (Batsch) Ces. et de Notaris 1863 verhält sich im wesentlichen genau so wie die Typusart, nur sind hier die Sporen einzellig. Die Perithezien haben hier auch eine 20—40  $\mu$  dicke Wandung, die aber weniger gefärbt und nur oben ganz schwarz wird. Für diese Art muß eine neue Gattung, *Mamianiella*, aufgestellt werden.

Die Gattung *Mamiania* C. et de N. unterscheidet sich von *Hypospila* Fries 1849 nach der dort angeführten *H. bifrons* (D. C.) nur durch den weit vorstehenden Schnabel und die derbwandigen, schwarzbraunen Perithezien. *H. bifrons* hat keinen merklichen Schnabel.

#### CCXXXVII. Über die Gattung *Hypospila* Fries.

Wurde aufgestellt 1825 in *Systema orbis vegetab.* I. Pl. homonemeae p. 109 auf Grund von *Spiloma inustum* Acharius.

Auch in Summa vegetab. scand. 1849, p. 421 gibt Fries die *Sphaeria inusta* (Ach.) Fr. (Elench. Fung. 1828, II. Bd., p. 88) eigens als Typus der Gattung an. Das ist aber ein verschollener Pilz auf Baumrinden in Guinea, der wohl am besten unberücksichtigt bleibt.

Daher muß heute bis auf weiteres die *Hypospila bifrons* (D. C.) Fries als der Typus der Gattung angenommen werden.

Dieser Pilz unterscheidet sich nun aber von *Mamiania fimbriata* wesentlich nur dadurch, daß die Perithezien keinen vorstehenden Schnabel haben und dünnhäutig ( $8\ \mu$ ), weich und nur bräunlich, nicht kohlig sind. Bei beiden Gattungen sind die Sporen sehr ungleich zweizellig.

#### CCXXXVIII. Über die Gattung *Ceuthocarpon* Karsten.

Die Gattung wurde aufgestellt 1873 in Bidrag till Känned. af Finnl. Natur och Folk, Helsingfors p. 22 auf Grund von *Xyloma populinum* Persoon (Syn. meth. Fung. 1801, p. 107). Der Pilz stand später bei *Sphaeria* (Fries. System. myc. 1823, II. Bd., p. 459), *Hypospila* (Fries, Summ. veg. scand. 1849, p. 421), *Linospora* (Schröter). *Ceuthocarpon populinum* (P.) K. soll sich nach Karsten von *Phoma Capreae* (D. C.) v. H., der Typus-Art von *Phoma* Fries, durch blasses, mündungslose Perithezien und vielleicht vielzellige Sporen unterscheiden. Winter schreibt ihm eine schwarze pfriemliche, oft gebogene Mündung und Schröter schwarze Perithezien zu. Alle diese Angaben sind aber unrichtig.

Die Untersuchung zeigte mir, daß sich der Pilz ganz so wie *Phoma Capreae* verhält, nur ist das Stromagewebe kohlig, die Perithezien sind hyalin, mit parenchymatischer, aus bis  $12\ \mu$  großen Parenchymzellen bestehender Wandung, und hyaliner, zylindrischer,  $40-60\ \mu$  dicker und  $50-80\ \mu$  hoher, kaum vorstehender Mündungspapille.

Die Gattung *Ceuthocarpon* steht daher der Gattung *Phoma* Fries sehr nahe, kann aber doch wohl bis auf weiteres unterschieden werden.

#### CCXXXIX. Über *Nitschkia* Otth und *Winterina* Saccardo.

In meinem Fragmente No. 1048 (XX. Mitt. 1917) habe ich angegeben, daß diese zwei Gattungen zusammenfallen. Von der Meinung ausgehend, daß die zwei hiesigen *Nitschkia*-Arten, die einander sehr ähneln, jedenfalls gattungsgleich sind und bei dem Umstände, daß es mir nicht gelang, über die Grundart von *Nitschkia*, die *N. Fuckelii* Ntke. = *N. cupularis* (P.) ins Klare zu kommen, ging ich von der zweiten Art aus, der *N. tristis*.

Der Grund, warum mir der Bau der *N. cupularis* unklar blieb, lag, wie ich nun fand, darin, daß die von mir geprüften Exemplare derselben gar nicht diese Art waren, sondern Alterszustände von *Gibberella pulicaris*, die äußerlich der *N. cupularis* fast völlig gleichen und meist für diese Art gehalten werden.

Schon Schröter (Pilze Schlesiens 1894, p. 313) deutete an, daß diese zwei Pilze miteinander verwechselt werden, und der Pilz, den Saccardo

in Michelia 1880, II. Bd., p. 52 als *Coelosphaeria Fuckellii* (Ntke.) Sacc. beschreibt, ist gewiß eine alte *Gibberella* gewesen, denn die *Nitschka*-Arten haben keine solche Nebenfrucht, wie die daselbst angegebene *Phoma Fuckellii* Sacc.; diese ist zweifellos eine *Cyanophomella* v. H., wie sie für die *Gibberella*-Arten charakteristisch ist.

Die *Gibberella pulicaris* kommt häufig zusammen mit der ebenso gemeinen *Tubercularia vulgaris* vor, die reichlich Konidien entwickelt. Diese werden dann durch Regen in die entleerten Perithezien der *Gibberella* hineingeschlemmt; diese Konidien in den Perithezien sehen allantoiden Schlauchsporen täuschend ähnlich und sind die Ursache, warum alte Exemplare der häufigen *Gibberella pulicaris* fast stets für die seltene *Nitschka cupularis* gehalten werden, wie ich mich an einigen Exsikkaten überzeugte.

Fuckel (Symb. myc. 1869, p. 165) gibt merkwürdigerweise an, daß zu *Nitschka cupularis* das *Fusarium* gehört, das man nicht selten in den Fruchtkörpern von *Stilbospora angustata* und *Stegosporium pyriforme* findet. Dieses *Fusarium* habe ich in Fragm. No. 154 als *F. cirrosum* v. H. beschrieben; es gehört zur *Nectria Stilbosporae* Tul., dessen Angaben und Bilder gut stimmen (Sel. Fung. Carp. 1865, III. Bd., p. 71, Taf. XI. Fig. 15, 18).

Nachdem ich endlich in den Exsikkaten Fuckel, F. rhen. No. 968, und Rehm, Ascom. exs. No. 983, die echte *Nitschka cupularis* in gut entwickeltem Zustande auffand, konnte ich mich davon überzeugen, daß diese Grundart der Gattung allantoidsporig ist und Paraphysen besitzt. Die Schläuche sind keulig, oben abgerundet, unten allmählich ziemlich lang gestielt. Die Paraphysen sind nicht sehr reichlich, 3—4  $\mu$  dick und nicht verschleimend. In meinem Systeme der allantoidsporigen Sphaeriaceen (Österr. bot. Zeitschr. 1916, 66. Bd., p. 54) paßt die Gattung ganz gut in die Familie der Calosphaeriaceen. S. Fragm. CCLXII.

Die Untersuchung der zweiten Art, *Nitschka tristis* (P.), hat mir in Übereinstimmung mit meinem früheren Ergebnisse gezeigt, daß dieselbe einen typischen Diaportheen-Nukleus besitzt. Paraphysen fehlen völlig. Die sehr zarthäutigen Schläuche sind spindelig und füllen die ganzen Perithezien aus in vielen Schichten. Die zylindrisch spindeligen zarthäutigen Sporen sind meist gerade und meist zweizellig mit 4 Öltröpfchen.

Ganz genau ebenso gebaut, nur mit viel kleineren Sporen und Schläuchen, ist die *Winteria tuberculifera* Ellis et Everhart (Proceed. Acad. nat. scienc. Philadelphia 1891, p. 240), welche der Typus der Gattung *Winterina* Saccardo 1899 (Syll. Fung. XIV. Bd., p. 589) ist. Wie ich schon 1906 (Sitzber. K. Akad. Wiss. Wien, Mat.-nat. Kl. Bd. 115, Abt. 1, p. 1215) angab, hat dieser Pilz einen Diaportheen-Nukleus. Die wiederholte Untersuchung des von Feltgen auf *Fraxinus* in Luxemburg gefundenen Exemplares, sowie die Prüfung eines von mir auf *Acer* am Schneeberge in Niederösterreich 1902 gesammelten, bestätigten das frühere Ergebnis.

Daraus folgt, daß *Nitschkia tristis* nicht in die Gattung gehört und *Winterina tristis* (P.) v. H. genannt werden muß.

Nach Berleses Bildern (Icon. Fung. III. Bd., 1902) und den Beschreibungen der Pilze gehören zu:

1. *Nitschkia*: *Suberis* (Winter); *corticata* (E. et Ev.); *anceps* (Sacc. et Malbr.) und vielleicht auch *Granati* Fabre.
2. *Winterina*: *Calyculus* (Mont.) v. H.; *pezizoidea* Pat.
3. *Tympanopsis* Starbäck. Nebst *T. euomphala* (B. et C.) St. noch *Coelosphaeria Beccariana* Berl. et Pegl.
4. *Leptosporella* Penz. et Sacc.: *leptosporoides* (Wint.) v. H.; *fusario-spora* E. et Ev.
5. *Loranthomyces* v. H.: *media* Sacc. (?).

*Calosphaeria recedens* Nießl ist nach der Beschreibung gewiß eine *Romellia* Berl. und keine *Nitschkia*, wohin sie Berlese stellt.

#### CCXL. Über *Cephalotheca Kriegerii* Rehm.

Der Pilz ist beschrieben in Ann. Myc. 1909, VII. Bd., p. 405 und in Rehm, Ascomyc. exsicc. No. 1850 sowie in Krieger, F. saxon. No. 2062 ausgegeben. Nach Rehm sollen die Sporen außerhalb der Schläuche bräunlich sein. Das ist aber nicht der Fall. Rehm hat den Pilz völlig verkannt, denn derselbe ist eine *Gnomoniella*.

Der Pilz wächst auf abnormalen Standorten in und zwischen weißem Papier. Die schwarzen kugeligen 200—250  $\mu$  großen Perithezien sind teils einzeln, teils in kleinen Haufen im Papier eingewachsen und brechen hervor. Viele wachsen zwischen den Papierblättern (scheinbar) oberflächlich. Sie besitzen stets ein rundliches 13—16  $\mu$  breites Ostiolum, das auf einer deutlichen Mündungspapille sitzt, die öfter zu einem kurzen Schnabel verlängert ist. Die Perithezienmembran ist violettkohlig, 20  $\mu$  dick und besteht aus etwa 4 Lagen von wenig zusammengepreßten Zellen. Der Nukleus ist *Diaporthe*-artig gebaut und besteht aus zahlreichen länglichen 18—22  $\times$  7—9  $\mu$  großen Schläuchen und spärlichen Pseudoparaphysen. Der ganze Nukleus samt den Sporen färbt sich mit Jod weinrot. Die Sporen liegen zu 8, 2—3-reihig im Schlauch, sind hyalin, einzellig und 8—9  $\times$  3—3.5  $\mu$  groß. Sie sind länglich, an den etwas verschmälerten Enden abgerundet, auf der einen Seite flach oder etwas konkav, haben keine, oder zwei kleine endständige Ölropfchen.

Der Pilz hat *Gnomoniella Kriegerii* (Rehm) v. H. zu heißen. Es ist wahrscheinlich, daß er mit einer auf Pflanzen schmarotzenden Art identisch sein wird, doch fand ich keine solche unter den beschriebenen. *Gnomoniella tubaeformis* (Tode) hat ähnliche, aber viel größere Sporen und Schläuche. Möglicherweise ist der Pilz eine schlecht ernährte Zwergform, die sich daher nicht ohne weiteres identifizieren läßt.

CCXLI. Über *Cryptospora* und *Cryptosporella*.

Diese zwei Gattungen stehen heute bei den Melanconideen, während indes alle anderen Gattungen dieser typische Paraphysen aufweisen, wird bei den obgenannten zweien der Mangel von Paraphysen betont. Dies deutet darauf hin, daß dieselben einen *Euvalsa*-artig gebauten Nukleus besitzen. Die Prüfung der mir zur Verfügung stehenden Arten derselben ergab folgendes.

1. *Cryptosporella hypodermia* (Fries) Sacc. Hat einen *Euvalsa*-artig gebauten Nukleus. Eine Nebenfrucht dieser Art ist nicht bekannt, denn die von Fuckel dafür ausgegebene ist eine unreife *Sphaeropsis* (*Macrophoma*) (Ztschr. f. Gährungsphys. 1915, V. Bd., p. 208).

2. *Cryptosporella Daldiniana* (de Not.) Sacc. Von dieser Art habe ich nur ganz unreife Perithezien gesehen, mit der gut entwickelten Nebenfrucht. Diese ist ein typisches *Fusicoccum* Corda (non Saccardo) und als *Fusicoccum Lesourdeanum* Sacc. et R. beschrieben. Da die echten *Cryptosporella*-Arten als Nebenfruchtgattung *Fusicoccum* Cda. (non Sacc.) besitzen, ist anzunehmen, daß es sich hier um eine echte *Cryptosporella* mit *Euvalsa*-artig gebautem Nukleus handelt.

3. *Cryptosporella aurea* (Fuck.) Sacc. hat einen *Euvalsa*-artig gebauten Nukleus. Die Nebenfrucht ist ein typisches *Fusicoccum* Corda, *F. amygdalinum* (Sacc.) v. H.

4. *Cryptosporella populina* (Fuck.) Sacc. Mein Originalexemplar in Fuckel, F. rhen. No. 2004 ist unreif, stimmt aber äußerlich vollkommen mit dem ebenso benannten Exemplare in Rehm, Ascomyc. exs. No. 1377 überein, das daher richtig bestimmt ist. Die Schlauchsporen sind hier (auch in Glyzerin liegend) fast stets deutlich zweizellig, die Querwand ist aber sehr zart und daher bisher übersehen worden. Da zugleich der Nukleus *Euvalsa*-artig gebaut ist, ist der Pilz eine *Diaporthe* (*Chorostate*). Meine Vermutung, daß der Pilz seit Fuckel auch schon als *Diaporthe* beschrieben werden sein wird, hat sich als richtig erwiesen. Denn *Diaporthe* (*Chorostate*) *populea* Sacc. (Bull. soc. bot. Belgique 1887, p. 174) ist gewiß derseibe Pilz; das von mir so bestimmte Exemplar vom Sonntagsberge in Niederösterreich (Zool. Bot. Ges. Wien 1915 p. 101) stimmt vollkommen mit Rehms Exsikkat No. 1377 überein, hat aber ganz scharf und deutlich zweizellige Sporen. Beim Pilze vom Sonntagsberge ist auch die *Phomopsis*-Nebenfrucht mit 20—24  $\times$  1  $\mu$  großen hakig gebogenen Stylosporen vorhanden.

Auch *Diaporthe pulchella* Sacc. (Atti R. ist. veneto scienz. 1884, II. Bd., Ser. VI. p. 437) ist nach der Beschreibung und den Exemplaren in Roumeguère, F. sel. ex. No. 7017 und Fautrey, Herb. Crypt. Côte d'or No. 2193 genau der gleiche Pilz, der *Diaporthe* (*Chorostate*) *populina* (Fuck.) v. H. genannt werden muß.

Die angebliche Nebenfruchtform des Pilzes: *Cryptosporium coronatum* Fuckel ist nach Fragm. 988 (1916, XVIII. Mitt.) als nicht existierend zu streichen.

5. *Cryptosporella Niesslii* (Kunze) Sacc. hat nach dem teils unreifen teils überreifen Originalexemplare in Rabenh., F. europ. No. 2349 einen *Euvalsa*-artig gebauten Nukleus. Die wenigen gesehenen reifen Sporen waren schmal spindelförmig, einzellig, hyalin und etwa  $12 \asymp 2.5$  groß. Daß dieser Pilz keine *Cryptosporella* ist, deutet nicht nur die Kleinheit der Sporen an, sondern geht aufs klarste aus Nießls bestimmten Angaben hervor, der in der Mitte der Stromata eine sphärische Höhlung fand, die mit verblühten Konidienträgern ausgekleidet war. Offenbar handelt es sich hier um eine *Phomopsis* und ist der Pilz eine *Diaporthe*, die aber schlecht entwickelt ist und daher nicht ohne Weiters zu erkennen. Diese *Diaporthe* ist wiederholt beschrieben worden, wie aus folgendem hervorgeht.

Auf Ahornzweigen sind 25 *Diaporthe*-Arten beschrieben, die aber meist viel größere Sporen haben. Neun Arten haben kleinere Sporen: *D. Zoppii* Sacc., Sp.  $8-10 \asymp 3-3.5 \mu$ ; *Hystrix* (Tode), Sp.  $12-14 \asymp 2.5 \mu$ ; *Hystricula* Sacc. et Speg., Sp.  $12-14 \asymp 2.5 \mu$ ; *blepharodes* (Berk. et Br.), Sp. spindelförmig,  $12-13 \mu$ ; *fallaciosa* Nitschke, Sp.  $12-14 \asymp 4 \mu$ ; *acerina* Peck, Sp.  $12-15 \asymp 4 \mu$ ; *Niesslii* Sacc. (non Kunze), Sp.  $15 \asymp 3-4 \mu$ ; *Aceris* Fuckel (= *myinda* (C. et Ell.) Sacc.), Sp.  $12-14 \asymp 4$ ;  $14-17 \asymp 5 \mu$ ; *pustulata* (Desm.) Sp.  $16-19 \asymp 3.5-4 \mu$ .

Von diesen 9 Arten kommen hier nur die vier ersten in Betracht, die wahrscheinlich miteinander identisch sind. Sie haben alle schmal spindelförmige, undeutlich septierte, beidendig spitze, mit mehreren Ölropfchen versehene, kleine Sporen.

Nach Journ. of Botany 1886, XXIV. Bd., p. 131 sind *D. Hystrix* und *D. Hystricula* nur Formen desselben Pilzes, der auch als *Sphaeria stylophora* Berk. et Br. und als *Sphaeria ampullasca* Cooke beschrieben wurde.

Die Untersuchung des Exemplares von *Diaporthe Hystrix* (Tode) in Thümen, Mycoth. univers. No. 1158 zeigte mir nun, daß davon *Cryptosporella Niesslii* (Kze.) nicht verschieden ist. Letzterer Pilz ist sicher nur eine schlecht entwickelte *D. Hystrix*, welche danach wahrscheinlich sechsmal als neue Form beschrieben wurde.

6. *Cryptosporella sphaerostoma* (Nitsch.) Sacc. ist nach Fragm. CCXV gleich *Valsa cincta* Fries und daher zu streichen.

7. *Cryptospora suffusa* (Fries) Tul. hat einen *Euvalsa*-artig gebauten Nukleus und als Nebenfrucht *Disculina* v. H. (= *Cryptosporium* Sacc. (non Kunze); *Disculina Neesii* (Cda.) v. H. (s. Fragm. No. 988).

8. *Cryptospora Betulae* Tul. verhält sich ganz ebenso. Die Nebenfrucht ist *Disculina betulina* (Sacc.) v. H.

9. *Cryptospora corylina* Tul. (Sel. Fung. Carp. 1863, II. Bd., p. 174) hat einen *Euvalsa*-Nukleus. Eine Nebenfruchtform war bisher mit voller Sicherheit nicht bekannt. Tulasne zieht zwei kleine zwischen den Ascus-Stromaten auftretende Spermogonien mit zylindrischen, gekrümmten  $13 \asymp 2.5 \mu$  großen Spermatien hierher, allein es ist durchaus unsicher, ob sie zum Pilze gehören.

Ich fand indes 1916 im Wiener-Walde auf *Corylus*-Zweigen eine typische *Disculina*, welche der *Disculina Neesii* (Cda.) v. H. ganz ähnlich ist, aber nur  $30-41 \approx 4-5.5 \mu$  große Konidien hat. Diese *Disculina corylina* v. H. zu nennende Form ist gewiß die bisher unbekannt gewesene Nebenfrucht von *Cryptospora corylina* Tul.

10. *Cryptospora chondrospora* (Ces.) Sacc. ist nach meinen Auseinandersetzungen in Ann. Myc. 1904, II. Bd., p. 41 eine Hypocreacee, die *Pseudomassaria chondrospora* (Ces.) Jacz. genannt werden muß. *Dubitatio* Speg. (= *Spegazzinula* Sacc.) unterscheidet sich von *Pseudomassaria* Jaczewski hauptsächlich durch die gefärbten Sporen.

11. *Cryptospora anthostomoides* Rehm (Hedwigia 1882, 21. Bd., p. 118) hat fadenförmige, vielzellige Sporen, die in ihre Glieder zerfallen und sehr zarte fadenförmige Paraphysen. Hat offenbar mit *Cryptospora* nichts zu tun und ist der Typus der Gattung *Winterella* Sacc. (Syll. F. II. p. 364, XIV, p. 620).

12. *Cryptospora Aesculi* Fuckel (Symb. myc. 1869, p. 193) ist nach dem Originalexemplare in den F. rhen. No. 2003 eine unreife *Diaporthe* und vielleicht von *Diaporthe Hippocastani* (Cooke) nicht verschieden. (S. Fragm. zur Myk. 1916, XVIII. Mitt. No. 977.)

13. *Cryptospora femoralis* (Peck) hat nach dem Exemplare in Ellis and Everh., F. Columb. No. 730 einen *Euvalsa*-Nukleus und ist eine echte *Cryptospora*, die der *Cr. suffusa* nahe steht, aber steif gerade, gegen die stumpfen Enden hin etwas dickere Sporen hat. Diese sind immer einzellig, und nicht zweizellig, wie Berlese, Icon. Fung. 1900, II. Bd., p. 158, Taf. 176, Fig. 1 angibt und zeichnet.

14. *Cryptospora aculeans* (Schw.) ist nach den Angaben von Ellis and Everhart, in North Americ. Pyrenomyc. 1892, p. 535 und dem Exemplare derselben in F. Columb. No. 1237 eine typische *Diaporthe* (*D. aculeans* (Schw.) v. H.), die auch als *Valsa Rhos* Cooke, *Valsa albovelata* B. et C. und *Valsa stilbostoma* Fries beschrieben wurde.

15. *Cryptospora cinctula* (C. et P.) Sacc. (= *Valsa cinctula* Cooke et Peck 1878 im 29. Report N. Y. State Mus. pag. 59, Taf. II, Fig. 21—24) kann leicht für eine sogar typische *Cryptospora* gehalten werden, ist aber eine ganz typische *Silia*. Erstens weil sehr zahlreiche, aber sehr zarte und rasch verschleimende Paraphysen vorhanden sind, ganz so wie bei *Silia ferruginea*. Zweitens weil die jungen Stromata, wie sie in dem Exemplar in Ellis and Everhart, F. Columb. No. 236 vorhanden sind, keine Spur der *Disculina*-Nebenfruchtform zeigen, wie sie den *Cryptospora*-Arten kommt; drittens weil die Sporen 3 (nach Peck bis 7) Querwände aufweisen, während *Cryptospora* stets einzellige Sporen hat.

In dem gut ausgereiften Exemplar in Rehm, Ascom. No. 2047 sind die Sporen bis  $80 \approx 4-5 \mu$  groß. Sie zeigen zahlreiche verschieden große Ölträpfchen und sind scheinbar einzellig. In Glyzerin gebracht, verschwinden die Ölträpfchen und werden 3 Querwände deutlich sichtbar. Nach

Peck sind die Sporen nur  $56 \approx 5 \mu$  groß. Ellis und Everhart fanden die Sporen nur  $35-45 \approx 3-3.5 \mu$  groß. Ich fand sie aber in den F. Columb. No. 236, wo der Pilz nicht gut ausgereift ist  $68 \approx 3.5 \mu$  groß, ohne Ölträpfchen und scharf vierzellig. Die Paraphysen und sehr zarten Schlauchstiele verschleimen sehr stark, infolgedessen die Schläuche sich wie beim *Euvalsa*-Nukleus-Typus leicht loslösen und wegschwimmen. Indessen verraten die zahlreichen in Reihen liegenden Ölträpfchen das Vorhandensein von Paraphysen und sind dann letztere leicht direkt zu sehen.

Die Sporen zeigen an beiden Enden bisher übersehene sehr kurze Schleimanhänsel.

Der Pilz hat *Sillia cinctula* (C. et P.) v. H. zu heißen und steht der *Sillia ferruginea* nahe.

Auch die von mir nicht gesehenen Arten: *Cryptospora Caryae* Peck, *Cr. Richoni* Sacc. (= *Cr. Quercus* Richon non Allesch.) und *Cr. trichospora* (C. et P.) Sacc. haben septierte Sporen und könnten *Sillia*-Arten sein (s. Berlese, Icon. Fung., 1900, II. Bd., p. 160). Ebenso die nach Ellis und Everhart, North-Am. Pyrenomyc. 1892, p. 534 mit *Sillia cinctula* verwandte *Cryptospora tomentella* (Peck).

16. *Cryptospora albofusca* (C. et E.) hat nach dem Exemplare in Ellis und Everhart, F. Columb. No. 36 deutlich dreimal scharf septierte Sporen und die Ascosporen verklebende Paraphysen, ist daher eine *Sillia* (*S. albofusca* (C. et Ell.) v. H.).

Wäre mit *Cr. Richoni* Sacc. (= *Cr. Quercus* Rich. non All.) zu vergleichen.

17. *Cryptosporella (Cryptosporina) Macrozamiae* P. Henn. ist nach Fragm. z. Myk. 1911, XIII. Mitt. No. 696 eine mit *Botryosphaeria* verwandte Dothideaceen-Gattung (*Cryptosporina* P. Henn. emend. v. H., non v. Höhnel, österr. bot. Ztschr. 1905, 55. Bd., p. 54).

18. *Cryptospora quercina* Feltgen ist gleich *Lasiosphaeria sorbina* (Nyl.) Karst. = *Bizzozeria veneta* Sacc. et Berl., siehe Sitzber. K. Akad. Wien, math.-natur. Kl. 1906, 115. Bd., Abt. I, p. 1248 und das Fragm. über die Gattung *Bizzozeria*.

Außer den behandelten und genannten Arten sind 16 *Cryptosporella*- und 8 *Cryptospora*-Arten beschrieben worden, die noch zu prüfen sind. Aus den gemachten Angaben ergibt sich, daß nur 3 sichere *Cryptosporella*- und 4 sichere *Cryptospora*-Arten unter den geprüften gefunden wurden.

Diese beiden Gattungen gehören nicht zu den Melanconideen, sondern zu den *Diaporthineen*.

#### CCXLII. Über die Stellung der Gattung *Mazzantia* Montagne.

Der Typus der in Montagne, Syll. Cryptog. 1856, p. 245, aufgestellten Gattung ist *Sphaeria Galii* Fries (Elenchus Fung. 1828, II. Bd., p. 105). Schon Fries bemerkte die eigenartige Sklerotien-Natur des Pilzes. Auch Montagne hebt die sklerotioide Beschaffenheit des Stromas des Pilzes

hervor und beschreibt die vielgestaltigen, durchsichtigen, stärkeähnlichen Zellen der Stromasubstanz.

Die Stellung des Pilzes war bisher völlig rätselhaft. Er wird zwar von den neueren Autoren zu den Dothideaceen gestellt, allein schon Winter bemerkte, daß er gewiß nicht dazu gehört.

Theissen (Ann. Myc. 1915, XIII. Bd., p. 191) hält unrichtigerweise das hyaline Gewebe des Stromainnern, das er als zartwandig beschreibt, für Rinden- oder Holzparenchym und stellt den Pilz zu den Hypocreaceen. Es ist aber klar, daß ein Pilz, der ringsum eine kohlige Kruste zeigt, keine Hypocreacee sein kann.

Genau ebenso, wie *Mazzantia Galii* (Fr.) ist auch *M. Napelli* (Ces.) gebaut. Die Untersuchung dieser zwei Arten hat nun gezeigt, daß beide ganz typische Diaportheen sind, mit einzelligen Sporen und anfänglich sklerotiumartigem, stark entwickeltem Stroma. Der ganz unreife sterile Pilz ist ein typisches Sklerotium, mit dünner, kohlinger Kruste und hyalinem Kerne, der nur aus sehr dickwandigen, verschieden gestalteten, dicht aneinander schließenden Zellen besteht. Er ist bei *M. Galii* tief eingewachsen, bei *M. Napelli* reicht er mit der Kruste bis in die Epidermis. In dem weißen Kerne des Sklerotiums entstehen nun, wie bekannt, einige Perithezien, zum Beweise, daß das Ganze nur ein Stroma ist, das durch die starke Verdickung der Zellen des Innern eine sklerotienartige Beschaffenheit angenommen hat. Um nun zu entscheiden, in welche Gruppe von stromatischen Sphaeriaceen der Pilz gehört, ist es nötig, den ganz reifen Pilz zu prüfen. Von den vielen untersuchten Exemplaren beider Arten zeigte nur das in Rehm, Ascomyc. No. 1176 b ausgegebene Stück von *M. Napelli* völlig reife Perithezien. Diese erwiesen sich mit voller Sicherheit als Diaportheen-Schlauchfrüchte. Die Schläuche füllten den ganzen Perithezien-Raum und waren ganz so gebaut, wie die der echten *Diaporthe*-Arten. Sie zerteilten sich rasch in der Zusatzflüssigkeit und waren von spärlichen, bis 8  $\mu$  dicken, sehr langen und zarthäutigen Pseudoparaphysen umgeben, ganz so wie dies bei den meisten *Diaporthe*-Arten zu sehen ist.

Daher sind die genannten beiden *Mazzantia*-Arten Diaportheen mit stark und eigenartig entwickeltem Stroma und einzelligen Sporen. Einzellige Sporen hat auch *Diaporthopsis* Fabre 1883 (Ann. scienc. nat. XV. Bd., p. 35). *Diaporthopsis nigrella* (Awd.) Fabre hat ganz ähnliche Schlauchsporen wie *Mazzantia Galii*, aber ein weit ausgebreitetes, sehr dünnes, den Stengel meist ganz umgebendes Stroma und in das Holz eingesenkte Perithezien. Bekanntlich wechselt bei den Diaportheen die Art und Stärke der Ausbildung des Stromas außerordentlich und stellt nun die Gattung *Mazzantia* eine weitere Ausbildungsform der Stromata der Diaportheen dar.

*Mazzantia sepium* Penz. et Sacc. unterscheidet sich von den beiden obigen typischen Arten dadurch, daß die Stromata nicht sklerotoid entwickelt sind, mit der kleineren oberen Hälfte in der Rinde sitzen, während

die größere Hälfte nur durch eine tief in den Holzkörper eindringende Saumlinie angedeutet ist. An dem Exemplar in Krieger, F. sax. No. 1728, fand ich gut ausgereifte Perithezien, die einen Diaportheen-Nukleus zeigten. Die Perithezien entstehen wie bei *Diaporthe-Tetrastaga* in der Rinde. Diese Form unterscheidet sich von den *Tetrastaga*-Arten eigentlich nur durch die einzelligen Sporen und bestätigt das oben über die Diaportheen-Natur von *Mazzantia* Gesagte vollkommen.

In der Beschreibung des Pilzes in den Ann. Myc. 1915, XIII. Bd., p. 192 heißt es, daß sich die Perithezien im Holzkörper entwickeln und daß ein Sklerenchymring vorhanden ist, der aufgelöst wird. Bei *Calystegia sepium* kommt aber ein Sklerenchymring gar nicht vor, und sah ich zwar im Holzkörper die tief eindringende schwarze Saumlinie, niemals aber Perithezien. Diese sind höchstens mit der Basis in das Holz eingesenkt. Diese Darstellung ist daher falsch.

*Mazzantia Gougetiana* (M.) Fuck. besitzt nach dem ganz sterilen Exemplare in Fuckel, F. rhen. No. 796 ganz ähnliche in der Rinde sitzende, sklerotioide Stromata, wie *M. Galii*, wird also auch eine Diaporthe sein. Die Stromata reichen außen, wie bei *M. Napelli*, bis in die Epidermis.

Bei einem gut ausgereiften Stücke von *M. Gougetiana* auf *Galeobdolon* (W. Krieger 1915) reichten die Stromata mit dem unteren Drittel in den Holzkörper hinein, während die Lokuli ganz in der Rinde saßen. Der Nukleus war diaportheenartig gebaut. Schläuche sehr zarthäutig, spindelig, mit verschmälert abgerundeten Enden,  $8-10 \approx 1.8-2 \mu$ , ganz so wie bei *Diaporthe* mit 4 Ölträpfchen.

Nach W. Krieger entwickelt *M. sepium* manchmal vorstehende schwarze Schnäbel, wie *Diaporthe*.

Mit diesen Ergebnissen steht in gutem Einklang dasjenige, was über die Nebenfrüchte der *Mazzantia*-Arten bekannt ist. Für diese habe ich die Formgattung *Mazzantiella* aufgestellt. Die beiden sicheren Arten: *Mazzantiella sepium* (Sacc.) v. H. und *M. Galii* (Sacc.) v. H. gleichen den Hauptfruchtformen völlig, haben aber statt Schläuchen einzellige, gerade, unten spitze, oben stumpfe, länglich-zylindrische  $12-14 \approx 3-4.5$  bzw.  $8-12 \approx 1.7-3 \mu$  große Konidien mit auffallenden, endständigen kleinen Ölträpfchen. Diese zwei Formen passen durch ihre stromatische Natur und die Beschaffenheit der Konidien sehr gut in die Reihe der Nebenfruchtformgattungen der Diaporthen, die Phomopseen, wie *Phomopsis*, *Phomopsella*, *Malacostroma* usw.

Zu *Mazzantia Napelli* soll die ganz ungenügend beschriebene *Placosphaeria Napelli* Maire et S. (Syll. F. XVI. Bd., 1902, p. 898) gehören, mit länglich-spindeligen, einzelligen, geraden oder gekrümmten,  $12 \approx 3 \mu$  großen Konidien, die an der Spitze eine hyaline  $16 \approx 1 \mu$  große Cilie tragen sollen. Ich habe an den vielen untersuchten Exemplaren von *M. Napelli* vergeblich nach dieser Nebenfrucht gesucht, und bezweifele daher ihre Zugehörigkeit.

Wenn das in Ann. Myc. 1915, XIII. Bd., p. 193 über *Septomazzantia* Theiss. et S. n. G. Gesagte richtig ist, dann ist diese Gattung offenbar gleich *Diaporthe-Euporthe*. Da indes bei *Typha* ein geschlossener Holzkörper nicht vorhanden ist, ist mir die Darstellung am angegebenen Orte nicht verständlich. Die zweite Art, *Septomazzantia Bicchiana* (de Not.) muß wohl auch eine *Diaporthe* im weiteren Sinne des Wortes sein.

#### CCXLIII. Über *Phomatospora Kriegeriana* Rehm.

Der Pilz ist in Krieger, F. saxon. No. 2114, ausgegeben worden, scheint aber noch unbeschrieben zu sein.

Derselbe wächst auf dünnen Stengeln von *Lysimachia vulgaris* und ist eine bemerkenswerte Form, die durch die fleischige Beschaffenheit der Perithezien und des Stromas von *Diaporthopsis* wenig verschieden ist. Der Pilz entwickelt sich bald ganz im Rindenparenchym und sitzt dann auf dem Holzkörper, bald im Holze, bald noch tiefer an der Grenze vom Holze und dem Marke, oft tief ins letztere eindringend. Nur im letzteren Falle ist eine dünne schwarze Saumlinie zu sehen. Diese Saumlinie liegt etwa 7 Markzellagen tiefer als die Perithezien. In den Markzellen zwischen den Perithezien und der Saumlinie findet man kaum 1—2  $\mu$  breite hyaline Hyphen, die von den Perithezien ausgehen und an der Saumlinie, die den tangentialen Wänden der Markzellen folgt, schwärzlich werden. In den Zellen jenseits der Saumlinie fehlen diese Hyphen, woraus zu schließen ist, daß die Saumlinie zum Pilze gehört. Aus diesem Grunde stelle ich denselben zur *Diaporthopsis*. Nach der Fleischigkeit und die im allgemeinen hellere, bräunlich-rötliche Färbung des Pilzes könnte man in demselben eigentlich eine stromatische Hyponectriee vermuten.

Der Pilz ist sehr vielgestaltig und schwierig. Wenn er tief sitzt, ist vom Stroma nur oben am Schnabel, der dann bis über 200  $\mu$  lang wird, etwas zu sehen. Dann stehen die Perithezien auch einzeln. Sitzt derselbe in der Rinde oder wenig tiefer, dann sind meist 2—3 Perithezien, sei es in einer einfachen Längsreihe, sei es in rundlichen valsoiden Gruppen, miteinander verwachsen, und ist das blasse, nur außen dunklere, parenchymatische, fleischige Stroma gut entwickelt. Sitzen die Perithezien ganz in der keine Bastfasern führenden Rinde, so bilden sie zu 2—4 runde Stromata, die am Stengel deutlich vorragen, und haben einen kurzen Hals. Zwischen den Holzfasern entwickelt stehen die Perithezien meist in kurzen Reihen, sind dann auch meist länglich und stark flachgepreßt, während sie in der Rinde kugelig sind. Die Perithezien haben entweder jedes für sich einen Schnabel, der die Epidermis durchdringt und etwa 130  $\mu$  weit (100—120  $\mu$  dick) vorragt, oder je zwei stromatisch verwachsene Perithezien münden mit ihren Schnäbeln in einem gemeinschaftlichen Diskus, der aus faserig-fleischig-weichem Gewebe besteht. Im letzteren Falle stehen die Perithezien schief oder sogar fast tangential, so daß die Schnäbel scheinbar seitlich entspringen, während die einzelnstehenden

Perithezien einen zentralen, meist aufrechten Schnabel haben. Letztere haben eine 10—12  $\mu$  dicke Membran, die aus vielen Lagen von blassen oder rotbräunlichen, stark zusammengepreßten Zellen besteht, während die stromatisch verbundenen Perithezien eine oft 30—40  $\mu$  dicke Membran zeigen.

Die 200—300  $\mu$  großen Perithezien haben einen *Diaporthe*-Nukleus ohne Spur von Paraphysen. Die zarthäutigen, zylindrisch-spindeligen Schläuche messen 58—100  $\times$  6—8  $\mu$ . Die hyalinen, einzelligen, zarthäutigen, breitspindeligen, beidendig spitzen, 14—16  $\times$  5—6  $\mu$  Sporen haben einen gleichmäßig feinkörnigen Inhalt und stehen meist einreihig in den Schläuchen.

Vergleicht man den Pilz mit *Diaporthopsis nigrella* (Nießl) Fabre, dem Typus der Gattung, in Rabenh.-Wint., F. europ. No. 3356, wo die Perithezien an der Grenze von Holz und Mark stehen, so erkennt man eine vollständige Übereinstimmung mit der analogen Form des beschriebenen Pilzes. Die hyalinen Hyphen nur innerhalb der Saumlinie, die Beschaffenheit der Saumlinie selbst sind bei beiden vollständig gleich. *D. nigrella* ist zwar dunkler gefärbt, aber in keinem ihrer Teile kohlig, sondern weich, eher fleischig und nicht schwarz unter dem Mikroskop, sondern dunkelbraun-violett.

Danach ist also der beschriebene, wegen der abweichenden Formen, die er zeigt, durchaus nicht leicht richtig zu erfassende Pilz eine typische *Diaporthopsis*, die *D. Kriegeriana* (Rehm) v. H. zu heißen hat.

#### CCXLIV. Über *Sphaeria therophila* Desmazières.

Der in Ann. scienc. nat. 1851, 3. S., XVI. Bd., p. 310 beschriebene Pilz ist in Desmazières, Pl. crypt. France 1850, No. 2076, ausgegeben. Er wurde von Auerswald zu *Leptosphaeria* (Mycol. europ. V., VI. H., Taf. XII, Fig. 158) und in der Syll. Fungor I. Bd., p. 433 zu *Phomatospora* gestellt.

Die Untersuchung des Originalexemplares zeigte mir, daß der Pilz eine *Diaporthopsis* Fabre 1883 (Ann. scienc. nat. 6. S., XV. Bd., p. 35) mit einem nur als epidermalem Clypeus entwickelten Stroma ist. Er hat *Diaporthopsis therophila* (D.) v. H. zu heißen.

Man sieht auf den *Juncus*-Halmen nur kleine schwarzbraune, zerstreute oder in kurzen Reihen stehende glatte Flecke. Die kugeligen 140—230  $\mu$  breiten, mit dem 70—80  $\mu$  langen und 40—50  $\mu$  breiten Halse, 210  $\mu$  hohen Perithezien stehen in den Flecken tief eingewachsen meist einzeln, doch auch zu wenigen verschmolzen. In der Epidermis findet sich ein dünner Clypeus, der aus kleinen braunen Zellen und dünnen Hyphen besteht. Der Perithezienhals ragt nur in Form einer flachen Warze vor. Der Clypeus zeigt von oben gesehen ein rundliches scharf begrenztes 4—6  $\mu$  weites Ostium. Die Perithezienmembran ist braun, weich, 6—8  $\mu$  dick und besteht aus einigen Lagen von gewundenen 3—4  $\mu$  breiten Parenchymzellen. Paraphysen fehlen völlig. Die sehr zarthäutigen Schläuche sind meist

zylindrisch und etwa  $60 \times 4-6 \mu$  groß. Sie stehen in mehreren Schichten übereinander. Die meist schief einreihig stehenden Sporen sind gerade, hyalin, spindelförmig, spitzendig,  $6.5-9 \times 3 \mu$  groß und einzellig; doch schien es mir, daß sie manchmal nahe dem unteren Ende eine Querwand haben. Sie zeigen an den Enden je einen kleinen Öltropfen.

Der Pilz ähnelt der *Diaporthopsis nigrella* (Nießl) Fabr mikroskopisch im Gewebebau sehr.

#### CCXLV. Über *Diaporthe trinucleata* Nießl.

Der in Verhandl. naturf. Ver. Brünn 1876, XIV. Bd., p. 52 Sep. beschriebene Pilz soll dreizellige Sporen haben. Da dies selten vorkommt und bei Diaportheen sonst überhaupt nicht, untersuchte ich ein Nießlsches Originalexemplar. Ich fand, daß selbst die völlig ausgereiften und selbst überreifen Perithezien stets nur einzellige Sporen mit meist, aber nicht immer, drei Ölträpfchen besitzen. Wenn diese sehr groß sind, täuschen sie dreizellige Sporen vor. Doch kann man sich durch Reagentien leicht davon überzeugen, daß die Sporen auch im überreifen Zustande stets einzellig sind. Auch die von Nießl beschriebenen Spitzchen an den Sporendenden waren nicht zu finden, sie sind jedenfalls kein normales Vorkommen. Der Pilz verhält sich auch in der Beschaffenheit der Perithezien und Stromata genau so wie die von mir studierten *Diaporthopsis nigrella* (N.) Fabr. und *D. Kriegeriana* (Rehm) v. H. Das Gewebe desselben ist selbst in dem Schnabel der Perithezien niemals kohlig, sondern besteht aus schmutzig violetten, dünnen Hyphen und kleinen Parenchymzellen. Bei *Diaporthopsis trinucleata* (N.) v. H. konnte ich auch niemals eine Saumlinie sehen. Aber auch bei den beiden anderen genannten Arten ist die Saumlinie nur sehr dünn und nicht kohlig, sondern schmutzig violett. Die *D. trinucleata* tritt manchmal auch im Rindenparenchym auf und zeigt dann viel Stromagewebe, ganz so wie *D. Kriegeriana*.

Diese drei *Diaporthopsis*-Arten, unter welchen sich auch der Gattungstypus befindet, zeigen, daß diese Gattung keine ganz echte Diaporthee ist. Sie wird vielleicht besser als zu den Hyponectrieeen gehörig betrachtet werden müssen. Sicher scheint mir, daß sie diesen eher näher steht als den echten *Euporthe*-Arten, die übrigens daraufhin noch näher geprüft werden müssen.

#### CCXLVI. Über *Sphaeria platanoides* Pers. und deren Nebenfrucht.

Dieser häufige Pilz wird von verschiedenen Autoren bald als *Valsa* (Currey, Berkeley), bald als *Diaporthe* (Nitschke) oder *Calospora* (Nießl) betrachtet. Winter stellt ihn zu *Pseudovalsa* und Schröter stellte für denselben die Gattung *Calosporella* auf.

In Fragment No. 977 (XVIII. Mitt. 1916) gab ich schon an, daß derselbe eine typische *Diaporthe* ist, eine der wenigen Arten dieser Gattung, die deutlich vierzellige Sporen haben. Damit steht nun in bestem Einklang;

daß man denselben in Gesellschaft einer typischen *Phomopsis* findet, wie dies nur bei den *Diaporthe*-Arten der Fall ist. Schon Cooke (Grevillea 1885, XIII. Bd., p. 93) bemerkte diese Nebenfrucht des Pilzes und nannte sie *Phoma platanoidis*. Ich fand sie öfter im Wiener-Walde mit der Schlauchfrucht zusammen.

Die *Phomopsis platanoidis* (Cooke) Died. zu nennende Form hat nach meinen Exemplaren flachkegelige Stromata, die an der Basis 500  $\mu$  breit und 235  $\mu$  hoch sind. Die Basalschicht ist wenig entwickelt und blau, die von dem Mündungskanal durchsetzte Deckschicht ist deutlich graubraun, parenchymatisch und bis 140  $\mu$  dick. Der flache Lokulus zeigt oben und unten stark verbogene Wände, ist also nicht einfach linsenförmig. Die einfachen Konidienträger sind 15—20  $\approx$  1—1.5  $\mu$  groß. Die Konidien sind länglich-spindelig, meist mit abgerundeten Enden, gerade oder kaum gebogen und 10.5—12  $\approx$  2.5—3  $\mu$  groß. Sie zeigen zwei deutliche Öltropfen. Fädige Hakenkonidien waren nicht zu finden, doch Übergänge zu solchen. Die Konidiengröße wechselt jedenfalls sehr, denn nach Cooke beträgt sie 7—8  $\approx$  3  $\mu$ , nach Diedicke 7.—10  $\approx$  3  $\mu$ . Die meisten isolierten *Phomopsis*-Arten sind wohl unbestimmbar.

#### CCXLVII. Über *Calospora* und *Calosporella*.

Die Typus-Art der in Fuckel, Symb. myc. 1869, p. 190 mit drei Arten angeführten Gattung *Calospora* Nitschke ined. ist *Calospora occulta* Fuck. Dieser Pilz ist nach dem Originalexemplar in den F. rhen. No. 2262 eine *Diaporthe*, die ich *Diaporthe abnormis* v. H. genannt habe, da es schon eine *D. occulta* (Fuck.) Ntke. gibt.

Daher ist *Calospora* Nitschke-Fuck. 1869 = *Diaporthe* Nitschke 1870. Da nun aber die Gattung *Calospora* Ntke.-Fuck. nicht beschrieben wurde und die beiden weiteren *Calospora*-Arten bei Fuckel zu anderen Gattungen gehören, so bleibt der Name *Diaporthe* erhalten.

Die zweite Art ist *Calospora hapalocystis* (B. et Br.) Nitschke in litt. Diese stellt jedenfalls eine eigene Gattung dar, und diese hat Nitschke in litt. offenbar *Calospora* nennen wollen. Daher ist *Calospora* Fuckel von *Calospora* Nitschke eigentlich verschieden.

Die dritte Art ist *Calospora aucta* (Tul.) Fuckel, welche jetzt in der Gattung *Pseudoralsa* steht, künftig aber wahrscheinlich in eine eigene Gattung gestellt werden muß.

*Calospora* Fuckel umfaßt daher drei Gattungs-verschiedene Pilze. Obwohl nun der Name *Calospora* eigentlich schon durch Nitschke und Fuckel in mehrdeutigem Sinne verbraucht worden war, hat Saccardo doch 1883 (Syll. Fung. II. Bd., p. 231) den Namen wieder verwendet. Die Grundart von *Calospora* Sacc. ist *C. Platanoidis* (P.) Nießl. Diese Art ist aber, wie ich schon angegeben habe, eine *Diaporthe* mit großen, deutlich vierzelligen Sporen.

Da nun der Name *Calospora* schon vor Saccardo verbraucht war und mehrdeutig ist, muß er ganz fallen gelassen werden, wie dies schon Winter und Schröter taten.

Danach besteht die Gattung *Calosporella* Schröter 1897 mit der Typus-Art *Calosporella Platanoides* (P.) v. H. (= *C. Innesii* (Curr.) Schröter) zu Recht.

### CCXLVIII. Über *Didymella Salicis* Grove.

Diese von mir nicht gesehene Art (Syll. Fung. 1891, IX. Bd., p. 667) ist nach der Beschreibung zweifellos nichts anderes als die häufige *Diaporthe salicella* (Fr.) Sacc.

### CCIL. Über die Diaporthe-Arten auf *Aesculus*.

Für Europa sind auf *Aesculus Hippocastanum* 8 Diaporthe-Arten beschrieben worden. Dazu kommt noch eine auf *Aesculus californica* beschriebene amerikanische Art, die nur ungenau bekannt ist.

1. *Diaporthe* (Ch.) *Aesculi* (Fuckel) v. H. Der in Fuckel, Symb. mycol. 1896, p. 193 als *Cryptospora Aesculi* Fuck. beschriebene Pilz ist nach dem Originalexemplare in den F. rhen. No. 2003 eine *Diaporthe*, wie schon Winter (Gymnoasc. und Pyren. 1887, p. 775) vermutete und ich in Fragm. No. 977 (XVIII. Mitt. 1916) angab. Die Schlauchsporen sind nach Fuckel 26—28  $\approx$  7—8  $\mu$  groß und nach Winter zweizellig mit fädigen Anhängseln. Ich sah nur unreife Schläuche.

2. *Diaporthe* (T.) *conegeanensis* Sacc. et Speg. (Michelia 1877, I. Bd., p. 29). Die Schläuche werden 1877 mit 50—55  $\approx$  6—8  $\mu$ , 1914 (Annal. Myc., XII. Bd., p. 289) mit 58—60  $\approx$  9.5—10.5  $\mu$  angegeben. Soll in *Euporthe* übergehen. Sporen 14—16  $\approx$  3—4  $\mu$ , 14—15  $\approx$  4—4.2  $\mu$ .

3. *Diaporthe* (T.) *Aesculi* Cooke et Harkn. 1881 (Grevillea, IX. Bd., p. 86) in Californien. Sporen 18  $\approx$  3.5  $\mu$ .

4. *D.* (Ch.) *Oudemansii* Sacc. (Syll. Fung. 1882, I. Bd., p. 611). Wurde von Oudemans (Archives Neerland. 1873, VIII. Bd., p. 61) für *Cryptospora Aesculi* Fuck. gehalten, ist aber davon schon durch die nur 13  $\approx$  3—4  $\mu$  großen Sporen verschieden, wurde daher von Saccardo neubenannt.

5. *Diaporthe* (Ch.) *Hippocastani* (Cooke) B. et V. (Addit. Syll. F. 1886, p. 105) in Grevillea 1885, XIII. Bd., p. 98 sub *Valsa*. Hat 25—28  $\approx$  5—7  $\mu$  große Sporen mit hyalinen Anhängseln. Original ausgegeben in Rabh.-Winter, F. europ. No. 3752.

6. *Diaporthe* (Ch.) *aesculicola* (Cooke) B. et V. (l. c.), in Grevillea 1885, XIV. Bd., p. 47 sub *Valsa*. Mit 20  $\approx$  4  $\mu$  großen Sporen. Wohl sichere Exemplare in Rehm, Asc. exs. No. 1804 und Krieger, F. sax. No. 2022.

7. *Diaporthe* (E.) *Kriegeriana* Rehm 1908 (Ann. Myc., VI. Bd., p. 321). Sporen 12—14  $\approx$  4  $\mu$ . Schläuche 50—55  $\approx$  9  $\mu$ .

8. *Diaporthe* (T.) *transiens* Sacc. 1913 (Ann. Myc., XI. Bd., p. 558). Schläuche 33—36  $\approx$  7  $\mu$  (?); Sporen 15—16  $\approx$  4—4.3  $\mu$ .

9. *Diaporthe* (T.) *densa* Sacc. 1914 (Ann. Myc., XII. Bd., p. 289). Schläuche  $48-50 \approx 6 \mu$ . Sporengroße nicht angegeben.

Von diesen 9 Formen konnte ich nur die zwei angegebenen Original-exemplare untersuchen, ferner die unter No. 6 angeführten Exsikkate. Außerdem studierte ich ein lehrreiches Exemplar aus dem Wienerwald und drei Aufsammlungen von Krieger, September 1912, von dem gleichen Standorte, einem Garten bei Pirna in Sachsen.

Das Studium der Beschreibungen und der genannten Exemplare lehrte mir, daß diese 9 beschriebenen Formen vielleicht nur zwei, höchstens aber drei wirklich verschiedene Arten sind. Zunächst ist es sicher, daß *D. Aesculi* (Fuck.) v. H., *D. Hippocastani* (C.) B. et V. und *D. aesculicola* (C.) B. et V. derselbe Pilz sind. Wahrscheinlich ist auch *D. Aesculi* C. et H. nur die *Tetrastaga*-Form desselben.

Dieser Pilz hat  $80-90 \approx 11-12 \mu$  große, spindelig-keulige, lang und dünn gestielte Schläuche. Die Perithezienmembran ist dickwandig und aus großen, derbhäutigen, braun-kohligen Parenchymzellen aufgebaut. Die Sporen wechseln in der Größe sehr. Die als *D. aesculicola* ausgegebenen Exemplare haben  $14-22 \approx 3-5 \mu$  große Sporen. Diese haben anfänglich kurze hyaline, fädige Anhängsel, die aber bald abfallen. Das von mir im Wiener-Walde gesammelte Stück zeigte aber  $20-24 \approx 5.5-7 \mu$  große Sporen, die öfter fädige Anhängsel zeigten, waren also nur wenig kürzer als die der *D. Hippocastani* mit  $25-28 \approx 5-7 \mu$  und der *D. Aesculi* (Fuck.) mit  $26-28 \approx 7-8 \mu$  Größe zugeschriebenen Sporen. Offenbar handelt es sich um eine in der Sporengroße sehr wechselnde Art, die bisher mit Sicherheit nur als *Chorostaga* beobachtet wurde.

Was die übrigbleibenden 5 Formen anlangt, so ersieht man aus den Beschreibungen, daß sie sich offenbar alle sehr nahestehen. Doch halte ich es für möglich, daß es sich um zwei Arten handelt.

Die eine hätte über  $50 \mu$  lange und  $9-10.5 \mu$  breite Schläuche, während die andere unter  $50 \mu$  lange und  $6-7 \mu$  breite Schläuche besäße.

Die erstere Art wäre die *D. coneglanensis*, die in *Euporthia* übergeht. Offenbar ist *D. Kriegeriana* die *Euporthia*-Form dieser Art. Die zweite Art wäre die *D. transiens* Sacc. Diese soll bis 1 mm lange Schnäbel haben. Allein Krieger fand auf demselben Standorte gleichzeitig drei Formen mit völlig gleichen Sporen und Schläuchen, die also zweifellos eine und dieselbe Art sind, und von welchen die eine ziemlich lang vorragend geschnäbelte Perithezien zeigt und genügend der *D. transiens* entspricht, die zweite keine Schnäbel aufweist und als *D. densa* gelten kann, und die dritte teilweise halb oder ganz im Holzkörper sitzende Perithezien hat und ganz gut der *D. Kriegeriana* entspricht. Daher glaube ich, daß alle diese Arten nur Formen einer einzigen sind, die dann als *D. coneglanensis* Sacc. et Speg. zu bezeichnen wäre.

Die erwähnten drei Formen Kriegers haben  $50-60 \approx 5-7 \mu$  große Schläuche und  $12-14 \approx 2-3 \mu$  große, spindelige, an den Enden stumpf-

liche, meist gerade Sporen. Sie sind bald *Tetrastaga*-, bald *Chorostate*-, bald *Euporthe*-artig entwickelt.

### CCL. Über die *Diaporthe*-Arten der Caprifoliaceen.

Nitschke ist bei der Bearbeitung der Gattung *Diaporthe* von der Annahme ausgegangen, daß die Arten derselben zumeist nur auf einer bestimmten Pflanzenart oder Gattung auftreten. Ferner nahm er an, daß der Ort der Entwicklung der Perithezien, ob im Holze oder in der Rinde für die einzelnen Arten der Gattung beständig ist. Endlich schrieb er auch der Anordnung der Perithezien, ob valsoid oder diatrypoid usw. eine große Bedeutung zu. Die Folge davon war die Aufstellung einer großen Anzahl von *Diaporthe*-Arten, deren jetzt schon gegen 550 beschrieben sind. Allein diese Annahmen von Nitschke sind falsch, und es ist gewiß, daß die Zahl der tatsächlich verschiedenen und sicher erkennbaren *Diaporthe*-Arten eine sehr viel geringere ist. Zur Aufstellung vieler falscher Arten haben im Laufe der Zeit auch andere Umstände geführt, so die mangelhafte Substratkenntnis, die Beschreibung von unreifen oder notreifen Formen usw. In einigen meiner Fragmente (No. 71, 1053) habe ich gezeigt, daß Nitschkes Einteilung der Gattung in die Untergattungen *Euporthe*, *Tetrastagon* und *Chorostate* unhaltbar ist und nicht selten eine und dieselbe Art, je nach ihrer Entwicklung, bald in die eine, bald in eine andere dieser Untergattungen gehören würde.

Alle diese Erfahrungen kann man jedesmal machen, wenn man die *Diaporthe*-Arten untersucht, die für eine Nährpflanzengattung oder eine Familie aufgestellt wurden.

Als auf Caprifoliaceen wachsend sind 13 *Diaporthe*-Arten angegeben worden. Das Studium derselben zeigte mir, daß 2 davon in andere Gattungen gehören, 2 zweifelhafter Stellung sind, und die übrigen 9 meiner Auffassung nach nur Substrat- und Stromaformen einer Art sind.

*Diaporthe calosphaeroides* Ellis et Everhart auf *Sambucus* (Proceed. Acad. nat. Scienc. Philadelphia 1893—94, p. 142) hat nach der Beschreibung lange Paraphysen und allantoide, schließlich zweizellige (?) Sporen. Wird eine *Calosphaeria* sein.

*Diaporthe megalospora* Ellis et Ev. (l. c. 1890—91, p. 235) auf *Sambucus* hat nach dem sicheren Exemplare in Rehm, Ascom. exs. No. 2093, zahlreiche, lange, 3—4  $\mu$  breite, öltröpfchenreiche Paraphysen und ist eine *Melanconis*.

*Diaporthe stereostroma* Ell. et Ev. (l. c. 1894—95, p. 338) auf *Symporicarpus* soll nach der Beschreibung Paraphysen haben und von *D. Ryckholtii* sehr verschieden sein. Wenn Paraphysen vorhanden sind, liegt keine *Diaporthe* vor. Ist aber nach der sonstigen Beschreibung vielleicht doch nur eine *Chorostate*-Form der *D. Ryckholtii*.

*Diaporthe Sambuci* Ell. et Ev. (l. c. 1893—94, p. 449) auf *Sambucus* soll nach der Beschreibung undeutliche Paraphysen haben, und Sporen,

die an den Enden kleine schiefe Anhängsel besitzen. Könnte aber trotzdem die *Chorostate*-Form von *D. spiculosa* sein.

Die übrigbleibenden 9 Arten stammen im Gegensatze zu den 4 obigen aus Nordamerika alle aus Europa. Es sind dies *D. circumscripta* Otth und *D. spiculosa* (A. et S.) N. auf *Sambucus*; *D. Beckhausii* N. und *Chorostate anceps* Sacc. (Ann. Myc. 1914, XII. Bd., p. 288) auf *Viburnum*; *D. Rykholttii* (West.) N. und *D. marchica* Rehm auf *Symporicarpus*, sowie *D. cryptica* N., *D. didymelloides* Sacc. et Malbr. und *D. microplaca* Sacc. (Ann. Myc. 1912, X. Bd., p. 316) auf *Lonicera*. Von 7 dieser Arten konnte ich teils sichere Exemplare, teils Originale (*D. circumscripta* Otth in Fuckel, F. rhen. No. 1989 und *D. marchica* Rehm in Sydow, M. march. No. 553) untersuchen. Nur von *D. didymelloides* S. et M. sah ich nur das Stück in Roumeg., F. gall. No. 6114 (leg. Fautrey 1892), das aber auch richtig sein wird. *Chorostate anceps* Sacc. sah ich nicht.

Die Untersuchung der Perithezien, Schläuche und Sporen dieser 7 Arten zeigte mir, daß offenbar alle derselbe Pilz sind. Sporen und Schläuche sind bei allen soweit gleich, daß man sie nicht sicher voneinander unterscheiden kann. Die Perithezien aller sind, von der sehr wechselnden Schnabellänge, der hier gar keine Bedeutung zukommt, abgesehen, von derselben Beschaffenheit der Membran, die eine ganz charakteristische schmutzig grau-violette Färbung besitzt und aus großen, flachen zarthäutigen Parenchymzellen besteht. Die Perithezien aller Arten sind teils ganz in der Rinde eingesenkt, teils mehr minder tief in den Holzkörper eingelassen. *D. spiculosa* wird zu *Euporthia* gestellt und *D. Beckhaustii* zu *Tetrastaga*; allein ein von Krieger gesammeltes Exemplar der letzteren Art erwies sich als eine *Euporthia*, denn die meisten Perithezien waren bis über die Hälfte ins Holz eingesenkt. *D. circumscripta* Otth hat nach dem Originalexemplare genau die gleichen Perithezien, Schläuche und Sporen, wie die *D. spiculosa*, nur ist die Saumlinie viel stärker ausgebildet, allein die letztere Art hat auch eine oft gut entwickelte Saumlinie. Auch finden sich bei *D. circumscripta* viele Perithezien bis zur Hälfte ins Holz eingesenkt, so wie bei *D. spiculosa*. Was Rehm als *D. marchica* beschrieb, ist offenbar die *Chorostate*-Form von *D. Rykholttii* und sehr wahrscheinlich identisch mit *D. stereostroma* E. et Ev.

An dem sehr kümmerlichen Exemplare von *D. didymelloides* in F. gall. No. 6114 sitzen die Perithezien ganz in der Rinde, allein es ist im Gegensatze zur Beschreibung (Michelia 1882, II. Bd., p. 594) in der inneren Rinde eine ganz deutliche Saumlinie vorhanden; der Pilz ist offenbar die *Tetrastaga*-Form von *D. cryptica* N.

Ich gewann schließlich die Überzeugung, daß die untersuchten 7 Arten nur Substrat- und Stromaformen der *Diaporthe spiculosa* (A. et S.) Ntke. sind.

Was die *Chorostate anceps* Sacc. anlangt, so sagt der Autor selbst, daß der Pilz auch mit fast gesonderten Perithezien auftritt. Ist offenbar eine *Chorostate*-artige Form der *D. Beckhaustii* ohne Wert, also auch eine Form

der *D. spiculosa*. *Diaporthe* (E.) *microplaca* Sacc. auf *Lonicera* soll nur  $30-35 \approx 7 \mu$  große Schläuche und  $10-12 \approx 3 \mu$  große Sporen haben. Ist vielleicht eine Kümmerform.

### CCLI. Über die Diaporthe-Arten auf *Cornus*.

Auf *Cornus* sind fünf *Diaporthe*-Arten beschrieben worden.

1. *Diaporthe albocarnis* Ellis et Ev. Nach der Beschreibung in Proceed. Acad. nat. sc. Philadelphia 1893—94 p. 140 sind zahlreiche lange Paraphysen vorhanden und werden die Sporen manchmal bräunlich. Danach ist der Pilz gewiß keine *Diaporthe*.

2. *Diaporthe sphingiophora* Oudemans 1873. Die Beschreibung in Arch. Neerl. VIII. Bd., p. 64, Taf. VII, Fig. 11 zeigt eine auffallende Ähnlichkeit mit jener von *D. salicella* (Fr.) und liegt vielleicht eine falsche Bestimmung der Nährpflanze vor, was am Original zu studieren sein wird. Auch ist der Pilz nicht wieder gefunden worden, was die Art sehr verdächtig macht.

3. *Diaporthe* (T.) *Corni* Fuckel 1869. Sp.  $12-13 \approx 3 \mu$ .

4. *Diaporthe cornicola* Ellis et Holway (Syll. F. XIV, p. 546) scheint nach der Beschreibung von *D. Corni* nur durch die etwas ins Holz eindringenden Perithezien verschieden zu sein und so einen Übergang zur folgenden Art zu bilden.

5. *Diaporthe* (E.) *crassicollis* Nitschke 1870, Sp.  $12-14 \approx 3 \mu$ . Scheint nach der Beschreibung und den in Krieger, F. sax. No. 24 und 2219, ausgegebenen Exemplaren nur durch die ins Holz eingesenkten Perithezien und die oft, aber durchaus nicht immer (infolge feuchten Standortes), ausgewachsenen Schnäbel verschieden. Ich halte diese Art nur für eine Form von *D. Corni*.

Danach wird es auf *Cornus* bisher nur eine einzige Art der Gattung geben.

### CCLII. Über die Diaporthe-Arten auf *Corylus*.

Auf *Corylus* sind 11 *Diaporthe*-Arten angegeben, die nach meinen Studien aber nur fünf sind. Daraus ergibt sich nach meiner vorläufigen Auffassung folgende Synonymie.

1. *Diaporthe decadens* (Fries) Fuckel 1871 (Symb. myc. I. Ntr., p. 218) (Fries unter *Sphaeria* 1823). Sporen  $12 \approx 4$  nach Fuckel. Dazu gehörten *D. revellens* Nitschke 1870, Sporen  $11-14 \approx 3-4 \mu$ , *D. tumulata* (Cooke et Ellis) 1876, Sporen  $11-14 \approx 3-4 \mu$  und wahrscheinlich auch *D. (T.) pusilla* Sacc. (Ann. Myc. 1914, XII. Bd., p. 289).

2. *Diaporthe leucopis* (Fries) Sacc. 1891. (Fries unter *Sphaeria* 1823). Sporen nach Quélet  $20 \mu$ . Dazu gehört *D. conjuncta* (Nees?) Fuck. 1869 (Nees? unter *Sphaeria* 1817). Sporen  $17-20 \approx 3.5-4 \mu$ .

3. *Diaporthe Tessera* (Fries). Fuckel 1871 (Fries unter *Sphaeria* 1823). Sporen  $15-22 \approx 5-7 \mu$  mit kleinen Anhängseln. Dürfte in *D. decadens* übergehen (s. a. Fuckel, Symb. myc. 1869, p. 204).

4. *Diaporthe pyrrhocystis* (B. et Br.) Fuckel 1869 (Berk. und Broome als *Sphaeria* 1859). Sporen 23—26  $\infty$  7, breit elliptisch, mit Anhängseln. Kommt auch auf *Alnus* (leg. Krieger) vor. Nach Fuckel auch auf *Castanea* (?). Ist an der feurig gelbbraunen Perithezienmembran und den breit abgerundeten Sporen leicht zu erkennen.

5. *Diaporthe sulphurea* Fuckel 1869. Sporen 21—24  $\infty$  7—8  $\mu$ . Bei Exemplaren aus dem Wiener-Walde 20—29  $\infty$  6·5—9  $\mu$  und bis 30  $\infty$  11  $\mu$ . Dazu gehört *D. affinis* Sacc. 1877 (*Michelia* I, p. 28). Sporen 25—30  $\infty$  10 bis 12  $\mu$ , ferner *D. flavovirens* Ottb 1878 (*Syll. F. XIV. Bd.*, p. 545). Sporen 21—23  $\infty$  6  $\mu$ .

*Diaporthe Quercus* Fuckel, *F. Coryli* Rehm in Rabenh., *F. europ.* No. 2426, ist, wie schon Winter angibt, *Diaporthe Betuli* (P.) auf *Carpinus*, wovon ich mich auch überzeugt habe.

### CCLIII. Über die Diaporthe-Arten auf Eichen.

Als auf Eichen wachsend werden 15 *Diaporthe*-Arten angegeben. Von diesen ist *D. Taleola* (Fr.) Sacc., die Grundart der Gattung *Caudospora* Starbäck auszuscheiden. Ungenügend bekannte und zweifelhafte Arten sind ferner *D. dichaenoides* (B. et C.) Sacc. (*Syll. F. I*, p. 616) und *D. subpyramidalis* (B. et C.) Sacc. (*I. c. I*, p. 636). Die übrigbleibenden 12 Arten sind teils untereinander sicher identisch, teils wahrscheinlich nur Formen von 5 Arten.

1. *Diaporthe* (T.) *Quercus* Fuckel 1873. Sporen 10·5—13  $\infty$  3  $\mu$ . *D. Woolworthii* (Peck) Sacc. (Peck als *Valsa* 1876). Sporen 10—12  $\infty$  2·5 bis 3·5  $\mu$  und *D. crinigera* Ell. et Ev. 1891, Sporen 10—13  $\infty$  3—3·5  $\mu$  dürften nur *Chorostate*-artige Formen davon sein.

2. *Diaporthe* (Ch.) *oxyspora* (Peck) Sacc. (Peck als *Valsa* 1876). Sporen 12—15  $\infty$  3  $\mu$  mit fädigen Anhängseln. *D. (Ch.) densissima* Ellis 1883, Sporen 11—15  $\infty$  1·5—2  $\mu$  mit fädigen Anhängseln, wird wohl derselbe Pilz sein.

3. *Diaporthe* (Ch.) *leiphemia* (Fries) Sacc. (Fries als *Sphaeria* 1823). Sporen 15—21  $\infty$  4·5—5  $\mu$ . Damit ist nach *Fragment. No. 1056 (XX. Mitt. 1917)* *D. (Ch.) dryophila* (Nießl) Sacc. identisch. Ebenso ist *D. (Ch.) fuscula* (Cooke) Berl. et Vogl. 1885, Sporen 18—20  $\infty$  3·5  $\mu$ , wahrscheinlich identisch. *D. (Euporthe) spinulosa* Karsten 1873, Sporen 14—22  $\infty$  5—6  $\mu$  halte ich für eine abnormale Holzform davon. *D. (Ch.) Raveneliana* Thüm. et Rehm 1878 ist nach Ellis und Everhart, North-Am. Pyrenom. 1892, p. 429 mit *D. leiphemia* identisch. Die Untersuchung des Originals in Thümen, Myc. univ. No. 865, hat mir gezeigt, daß der Pilz in der Tat nichts anderes ist als eine kurzsporige Form von *D. leiphemia*. Die Sporen sind meist nur 12—14  $\infty$  3·5—4  $\mu$ , selten bis 17  $\infty$  4  $\mu$  groß. Die Originalbeschreibung, wo von vielen Paraphysen die Rede ist, ist wesentlich falsch.

4. *Diaporthe* (T.) *insularis* Nitschke 1870. Sporen 12—16  $\infty$  3—4  $\mu$ . Perithezien mit sehr langen Schnäbeln.

5. *Diaporthe* (Ch.) *quercina* Nitschke 1869 ist nach Rehm eine Form von *D. Carpini* (P.) Fuck. Sporen walzlich, stumpf, ohne Anhängsel,  $15 \approx 3 \mu$ . Schlüche  $60 - 7 \mu$ .

#### CCLIV. Über die Diaporthe-Arten auf Weiden.

Als auf Weidenarten wachsend werden 17 *Diaporthe*-Arten angegeben. Davon sind aber 5 auszuscheiden.

1. *Diaporthe Spina* Fuckel 1869 hat kein Stroma und ist nach Fragment No. 1057, XX. Mitt., 1917 eine *Gnomonia*.

2. *Diaporthe* (Ch.) *punctata* (Cooke) Berl. et Vogl. (Syll. F. IX. Bd., p. 703) ist sicher eine Mischart, die auch auf Lindenzweigen wachsen soll und noch aufzuklären ist.

3.—5. *Diaporthe spiculosa* (A. et S.) N., *D. Tessera* (Fr.) Fuck. und *D. syngenesia* (Fr.) Fuck. werden zwar als auch auf Weiden wachsend angegeben, doch ist ihr Vorkommen auf Weiden ganz unwahrscheinlich und beruhen die betreffenden Angaben vermutlich auf falschen Bestimmungen.

Die übrigbleibenden 12 Arten sind meiner Auffassung nach wahrscheinlich nur fünf Arten oder Formen davon.

1. *Diaporthe* (Ch.) *Briardiana* Sacc. 1884 (Syll. F. IX, 703). Sporen  $12 - 14 \approx 4 \mu$ , *D. (T.) verecunda* Sacc. et Fl. (S. F. XVII, 674) 1902, Sporen  $11 - 13 \approx 2.8 - 3 \mu$  und *D. (T.) extranea* Sacc. 1914 (Ann. Myc. XII. Bd., p. 289), Sporen  $11 - 12 \approx 2.3 - 2.5 \mu$  sind miteinander offenbar identisch und wahrscheinlich nur Formen von *D. Briardiana*.

2. *Diaporthe* (T.) *Humboldtiana* Speg. 1880 (S. F. I, 685). Sporen 13 bis  $14 \approx 4 - 5 \mu$ ; *D. (E.) catamarcensis* Speg. 1909 (S. F. XXII, 384), Sporen  $12 - 15 \approx 3 - 4 \mu$ , wie die vorige auch aus Chili, ist wahrscheinlich nur eine Form derselben.

3. *Diaporthe* (Ch.-T.) *salicella* (Fries) Sacc., Fries 1823 als *Sphaeria*. Sporen  $16 - 18 \approx 5 - 5.5 \mu$ . *Diap. (T.) convexa* (Preuß) Sacc. (Preuß 1852?) Syll. F. I, 600; ist nicht näher bekannt, aber sehr wahrscheinlich nichts als die häufige *D. salicella*. *D. (T.) santonensis* Sacc. 1884 (S. F. IX, 717), Sporen  $14 - 18 \approx 5 \mu$ ; ist wohl nur *D. salicella*.

4. *Diaporthe* (E.) *forabilis* N. 1870. Sporen  $13 - 17 \approx 3 - 4 \mu$ . Kommt aber meist nur auf Pappel vor.

5. *Diaporthe* (Ch.) *Tessella* (P.) Rehm (Persoon 1801 als *Sphaeria*). Sporen  $45 - 60 \approx 8 - 10 \mu$ . *D. (Ch.) glyptica* (Berk. et Curr.) Sacc. 1851 (?), Syll. F. I, 629, Sporen  $45 - 55 \mu$  lang, und *D. (Ch.) mucronata* (Peck 1876) Sacc. (S. F. I, 629), Sporen  $40 - 50 \mu$  lang, sind davon gewiß nicht verschieden.

#### CCLV. Über *Anthostoma amoenum* Nitschke und *A. rhenanum* Fuckel.

Diese beiden Arten sind in Fuckel, Symbol. mycol. 1869, p. 224, unvollständig beschrieben. Von *Anthostoma rhenanum* hat Winter (Pilze Deutschlands usw. 1887, II. Bd., p. 760) eine ausführliche Beschreibung

gegeben, hingegen von *A. amoenum* nur die Fuckelsche, da sein Original-exemplar in den F. rhen. No. 2052 ganz unbrauchbar war.

*Anthostoma amoenum* Fuck. wurde nie wieder gefunden, was darauf hindeutet, daß seine Aufstellung auf einem Fehler beruht. Mein Original-exemplar dieses Pilzes ist zwar auch schlecht und ganz überreif, doch fand ich wenigstens die Sporen in den Stromaten. Dieselben sind elliptisch-spindelförmig, an den Enden stumpflich oder spitz und  $27-28 \approx 10-12 \mu$  groß und gleichen vollkommen denen von *A. rhenanum*. Auch die Stromata beider Arten gleichen sich völlig. Es ist daher sicher, daß beide Arten identisch sind. *A. amoenum* (Nke.) steht vor der anderen Art und muß daher dieser Name angewendet werden.

Im Wiener Walde fand ich den Pilz auf *Carpinus Betulus*, wo er bisher noch nicht angetroffen wurde.

Schröter bemerkte daher mit Recht, daß *A. amoenum* von *A. rhenanum* kaum verschieden zu sein scheint (Pilze Schlesiens, 1897, II, p. 434).

#### CCLVI. Über *Aglaospora thelebola* (Fr.) Tul. und seine Nebenfruchtformen.

Der Pilz wurde von Tulasne (Sel. Fung. Carp., II. Bd., 1863, p. 166, Taf. XXI, Fig. 1—18) mit seinen beiden Nebenfruchtformen genau beschrieben und abgebildet.

Die Stellung des Pilzes im System war bisher schwankend. Saccardo (Revue myc. 1881, III. Bd., p. 45) stellte ihn zu *Melanconis*. Da derselbe aber nicht *Melanconium* als Nebenfrucht hat, meint Winter (Pilze Deutschlands 1887, I. Bd., II. Abt., p. 781), daß er vielleicht besser zu *Hercospora* Tul. gebracht würde. Allein zu *Hercospora* Tul. dürfen nur Pilze gebracht werden, die *Rabenhorstia* oder *Naemospheara* als Nebenfrucht haben. Schröter (Pilze Schlesiens, II. Bd., 1897, p. 440) nennt den Pilz *Valsaria thelebola*, wobei er aber unter *Valsaria* (im Gegensatze zu Rehm, Winter, Saccardo u. a.) *Hercospora* Tul. versteht. *Valsaria* im Sinne Schröters ist eine unnatürliche Gattung, da die drei darin stehenden Arten ebensovielen Gattungen angehören. Es ist kein Zweifel, daß *Aglaospora thelebola* eine eigene Gattung darstellt, die ich *Pseudovalsella* nenne. *Pseudovalsella* unterscheidet sich von *Melanconis* und *Hercospora* Tul. durch die ganz anders beschaffenen Nebenfruchtformen.

Letztere sind nun zwei, die beide die gleichen Gehäuse besitzen, ja häufig ihre sehr voneinander verschiedenen Konidien in demselben Gehäuse entwickeln, wie dies Tulasne schildert und abbildet und auch ich gesehen habe. Das Gehäuse (oder der Konidien-führende Hohlraum) ist oben in der Mitte des Ascus-Stromas tief eingesenkt, flach und mit einem langen Hals das darüber befindliche Stromagewebe durchbrechend. Es ist unregelmäßig rundlich, öfter schwach gelappt und bis über  $1500 \mu$  breit und bis  $560 \mu$  hoch. Innen ist es ringsum mit meist einfachen bis über  $40 \approx 1 \mu$  großen Trägern ausgekleidet, die schwach gekrümmte 5 bis  $12 \approx 1 \mu$  große Spermatien bilden. Wenn braune, längliche, bis  $38 \approx 10.5 \mu$

große, 3—4-zellige Konidien gebildet werden sind die Träger ziemlich kurz und breit. Manchmal entstehen beide Konidien in demselben Hohlräum und zwar so, daß an gewissen Stellen der Wandung nur die einen und an anderen die andern gebildet werden. So sehr schön in dem Exemplar in Tranzschel et Serebrianikow, Mycoh. rossica No. 340.

Saccardo (Syll. Fung. 1882, I. Bd., p. 605) hielt die Spermatienform für eine *Cytospora* und die andere für eine *Stilbospora* (*St. thelebola* Sacc.).

Allein die echten *Cytospora*-Arten sind Nebenfrüchte von Euvalseen und ist die obige Form schon durch das kaum lappige Gehäuse von *Cytospora* verschieden. Ich stelle daher für diese Form eine eigene Formgattung: *Cytosporopsis* v. H. auf.

Da die Konidienform ein geschlossenes Gehäuse hat, kann es keine *Stilbospora* sein. Der Pilz ist gewissermaßen eine stromatische *Hendersonia* und stellt eine neue Formgattung dar, die ich *Hendersoniopsis* nenne (*Hendersoniopsis thelebola* (Sacc.) v. H.).

Nach Tulasne ist die *Cytosporopsis*-Form in Klotzschi, Herb. viv. Mycol. (1832) No. 168b sub *Cytospora chrysosperma* (*alnicola*) ausgegeben worden.

Der Pilz ist noch zweimal als neue Form beschrieben worden.

Zunächst ist *Psecadia umbrina* Bonorden (Abh. Naturf. Ges. Halle, 1864, VIII. Bd., p. 131, Taf. II., Fig. 6) = *Cytospora umbrina* (Bon.) Sacc. (Syll. Fung. 1884, III. Bd., p. 259) nach der ausführlichen Beschreibung und den Bildern sicher dieser Pilz.

Ferner ist *Naemaspore Alni* Allescher (Hedwigia 1895, 34. Bd., p. 279) nach dem Originalexemplar in Allescher und Schnabl, F. bav. No. 484, die Spermatienform desselben Pilzes. Alleschers Beschreibung ist danach ganz falsch.

Ob die Gattung *Psecadia* Fries (Summa veg. scand. 1849, p. 414) aufrecht zu erhalten ist, kann nur durch Prüfung der drei von Fries dazugestellten Pilze festgestellt werden.

Der Pilz muß *Cytosporopsis umbrinus* (Bon.) v. H. genannt werden. Die Gattung *Cytosporopsis* v. H. unterscheidet sich von *Cytospora* durch das nicht gelappte Gehäuse, von *Cytophoma* v. H. durch die einfachen Konidienträger.

Eine der *Hendersoniopsis thelebola* (Sacc.) v. H. verwandte Form ist wohl der von Fuckel (Symb. myc. I, Nachtr. 1871, p. 25 (313) als zweite Nebenfruchtform von *Pseudovalsa Berkeleyi* (Tul.) angegebene Pyknidenpilz. Bei diesem haben aber die vierzelligen braunen Sporen an der Spitze ein 75  $\mu$  langes hyalines Anhängsel, analog den dazugehörigen Schlauchsporen. Danach wird wohl *Pseudovalsa Berkeleyi* in eine eigene mit *Pseudovalsella* verwandte Gattung (*Hapalocystis* Auerswald?) zu stellen sein. Der dazugehörige Pyknidenpilz, von Saccardo (Syll. Fung. II, p. 138) *Hendersonia Berkeleyi* genannt, wird wohl auch eine eigene Formgattung darstellen.

Indessen ist der Pilz von Fuckel nicht ausgegeben und nicht wieder gefunden worden.

*Pseudovalsa hapalocystis* (B. et Br.) wird sich nach Fuckels Angaben (Symb. myc. 1869, p. 191) ähnlich verhalten.

#### CCLVII. Über *Melanconis modonia* Tulasne.

Die ursprüngliche Gattung *Melanconis* Tulasne (Select. Fung. Carp. 1863, II. Bd., p. 115) erscheint heute in die vier Gattungen:

*Melanconis* Sacc. 1882, *Melanconiella* Sacc. 1882, *Pseudovalsa* Ces. et. de Not. 1863 und *Calospora* Sacc. 1882 geteilt.

Der Name *Calospora* Nitschke in Fuckel, Symb. Myc. 1869, p. 190, kommt nicht in Betracht, da die Gattung nicht charakterisiert wurde, und die Typus-Art derselben (*C. occulta* Fuckel = *Diaporthe abnormis* v. H.) eine *Diaporthe* ist.

In die Gattung *Melanconis* Sacc. dürfen nur solche Arten gestellt werden, welche zweizellige hyaline Schlauchsporen und *Melanconium*-Arten als Nebenfrüchte haben.

Daher gehört *Melanconis modonia* Tul. nicht in die Gattung, denn die Schlauchsporen dieser Art sind im Alter blaßbräunlich und ferner teilweise 3—4-zellig. Ferner ist die Nebenfrucht ein *Coryneum*, mit braunen, mehrfach quergeteilten Konidien.

Dieselbe hat *Pseudovalsa modonia* (Tul.) v. H. zu heißen.

#### CCLVIII. Über *Hercospora Kornhuberii* Bäumler.

Der in Annalen d. K. K. naturhist. Hofmuseums in Wien 1899, XIII. Bd., p. 440, Taf. XVI, Fig. 1 beschriebene Pilz ist nach dem Originalexemplar aus dem Wiener Hofmuseum *Caudospora Taleola* (Fries) Starbäck auf Eichenrinde (und nicht wie angegeben auf Bergahornrinde). Der Pilz ist nicht gut entwickelt und hat der Autor reife Sporen nicht gesehen, obwohl dieselben spärlich vorhanden sind.

#### CCLIX. Über *Valsa leptasca* C. et P.

Der von Cooke und Peck 1878 im 29. Report N. Y. State Mus. p. 59 beschriebene Pilz wird heute als *Cryptosporiella* betrachtet, wohin er aber nicht gehört. Derselbe wächst auf Zweigen von *Rhus typhina*, hat lange, dünne zylindrische Schläuche und hyaline einzellige, länglich-elliptische, mit zwei Ölträpfchen versehene Sporen, die einreihig stehen. Die Perithezien sind klein, zahlreich im schwärzlichen, warzenförmigen, hervorbrechenden Stroma und haben nur eine Mündungspapille und keinen langen Hals. Paraphysen werden in der Originalbeschreibung nicht erwähnt, doch deuten die langzyklischen Schläuche an, daß typische Paraphysen vorhanden sind.

Ich habe den Pilz nicht gesehen, doch ist es mir nicht zweifelhaft, daß die in Bull. soc. myc. 1896, XII. Bd., p. 64, Taf. V., Fig. 2 beschriebene

und abgebildete *Cryptosporella tenuis* Sacc., die auf *Corylus Avellana* wächst, damit ganz nahe verwandt ist. Für diesen Pilz und die *Valsa leptasca* stellt Saccardo die Untergattung *Flagoletia* auf, die zu *Cryptosporella* gehören soll. Da aber die echten *Cryptosporella*-Arten einen *Euvalsa*-artig gebauten Nukleus haben, hat *Flagoletia* mit dieser Gattung nichts zu tun.

Es ist nun keinem Zweifel unterworfen, daß der auf *Prunus spinosa* wachsende in Rehm, Ascomyc. No. 2033, als *Cryptosporella (Flagoletia) leptasca* (P. et C.) Sacc. v. *tenuis* Sacc. ausgegebene Pilz, den ich untersuchen konnte, mit der auf *Corylus* wachsenden *Cr. tenuis* Sacc. mindestens ganz nahe verwandt ist.

Die Form auf *Prunus spinosa* bildet zahlreiche, dicht stehende, bald ganz kleine, bald etwas größere, meist quergestreckte, bis 25 mm lange und meist 0,5 mm breite **Stromata**, die oft nur wenige, manchmal bis etwa 10 Perithezien enthalten, sich in der äußeren Rinde unter dem Periderm entwickeln und mit **fast** ihrer ganzen Größe, aber nur wenig hervorbrechen. Das **Stromagewebe** ist innen und außen braun, sehr undeutlich kleinzelig-körnig. Die darin lagernden Perithezien stehen meist locker, sind eikugelig, 160—300  $\mu$  **breit**, haben eine schwarze, opake, 10—20  $\mu$  dicke, aus vielen Lagen stark **zusammengepreßter**, schwarzbrauner, kleiner Zellen bestehende Membran **und** zeigen oben eine glänzend schwarze etwa 100  $\mu$  hohe und 140  $\mu$  **breite** Mündungspapille, welche aus dem braunen Stroma vorragt. Das rundliche Ostiolum ist etwa 40  $\mu$  breit. Häufig ragt auch der obere **braun** bestäubte Teil der Perithezienwandung hervor. Der Nukleus besteht aus zahlreichen steif fadenförmigen, zartwandigen, 2  $\mu$  breiten, oben **nicht** verdickten typischen Paraphysen und zylindrischen, etwa 100  $\times$  3  $\mu$  **großen**, unten 20  $\mu$  lang gestielten Schläuchen, die 8 einreihig stehende, **einzelige**, hyaline, meist mit 2 Ölträpfchen versiegene zartwandige, elliptisch-längliche, an den stumpfen Enden verschmälerte, 8—9  $\times$  2—2,5  $\mu$  **große** Sporen enthalten. Jod gibt nirgends Blaufärbung.

Die Richtigkeit der Angaben über *C. tenuis* vorausgesetzt, wird dieser Pilz davon verschieden sein. Derselbe muß mit den zwei anderen Arten in eine eigene Gattung gestellt werden, die *Flagoletia* (Sacc.) genannt werden muß. Da die Perithezien im **Stroma** nicht valloid gehäuft sind, sondern unregelmäßig und meist **locker** angeordnet sind, kann *Flagoletia* nicht als Melankonidee betrachtet werden, um so weniger, als eine dazugehörige Nebenfrucht nicht bekannt ist. Ich halte ihn als zunächst mit *Valsaria* verwandt und stelle *Flagoletia* daher zu den Melogrammeen.

Bis auf weiteres sind 3 Arten der Gattung *Flagoletia* anzunehmen.

1. *Flagoletia leptasca* (C. et P.) auf *Rhus typhina*,
2. *Fl. tenuis* (Sacc.) auf *Corylus Avellana*, und
3. *Fl. Rehmiana* v. H. auf *Prunus spinosa*.

Diese drei Arten dürften einander nahe stehen und müssen noch vergleichend geprüft werden.

Die Gattung *Flageoletia* (Sacc.) kann wie folgt charakterisiert werden. Stroma hervorbrechend, nicht valsoid. Perithezien unregelmäßig angeordnet, mit Mündungspapille (ohne langen Hals). Paraphysen zahlreich, typisch. Ascii zylindrisch, gestielt. Sporen einreihig, hyalin, einzellig, länglich, klein. Nebenfrucht unbekannt; Melogrammeen.

*Cryptospora innata* (B. et C.) Sacc. (Syll. Fung. I, p. 470) und *Cryptospora umbilicata* (P.) Berl. et Vogl. (Berlese, Icon. Fung. 1900, II, p. 161) sind vielleicht auch *Flageoletia*-Arten.

#### CCLX. Über *Sphaeria Desmazieri* Fries.

Die von Fries 1851 in litt. ad Desmazières aufgestellte Art ist in Desmazières, Pl. crypt. France 1832, No. 563 ausgegeben, aber nicht beschrieben worden.

Die Untersuchung des Originalexemplares hat mir gezeigt, daß der Pilz mit *Valsaria rubricosa* (Fr.) Sacc. identisch ist.

Nach Rehm (Ann. Myc. 1906, IV. Bd., p. 472) sind im Gegensatze zu Saccardo und Winter *Valsaria rubricosa* und *V. insitiva* Ces. et de Not. voneinander nicht verschieden.

Bei dieser Gelegenheit sei bemerkt, daß *Valsaria actidia* Berk. et Rav. 1885 mit *V. megalospora* Auersw. 1866 identisch sein wird.

#### CCLXI. Über *Naemaspore sclerotoides* Allescher.

Der in Hedwigia, 1896, 35. Bd., p. (33) beschriebene Pilz wurde von Diedicke (Krypt. Fl. Brandenb. 1914, IX. Bd., p. 548) zu *Cryptosporina* gestellt, mit der wenig geänderten Beschreibung Alleschers.

Der Pilz ist nach dem Originalexemplare in Sydow, Mycoth. march. No. 4376 nichts anderes als ein ganz unreifes Stroma von *Hypoxyylon fuscum* (P.). Allescher hat die die jungen Perithezien ausfüllenden Paraphysen für Konidien und ihre Träger gehalten.

#### CCLXII. Über die allantoidsporigen Sphaeriaceen.

Die allantoidsporigen Sphaeriaceen wurden bisher in allen veröffentlichten Systemen in zahlreiche Familien verteilt, die auch Sphaeriaceen mit anders beschaffenen Sporen enthalten. Indessen ist es keinem Zweifel unterworfen, daß die allantoidsporigen Sphaeriaceen alle miteinander meist sehr nahe verwandt sind, und eine sehr natürliche Gruppe bilden, die von den andersporigen Sphaeriaceen ganz abgetrennt werden muß.

Mehrere Gattungen und Arten, die bisher als allantoidsporig betrachtet wurden, müssen ausgeschieden werden.

So *Nitschka tristis* (P.) und *N. Calyculus* Mont., die zur Diaportheen-Gattung *Winterina* Sacc. gehören.

Ferner *Diatrypeopsis Spegazzini*, die eine hellsporige *Nummularia* ist (s. Ann. Myc. 1908, VI. Bd., p. 91).

Dann *Endoxyla* Fuckel, welche nach Fragm. 886 (1915, XVII. Mitt.) eine Sektion von *Anthostoma* darstellt. Endlich *Bizzozeria* Sacc. et Berl., welche gleich ist *Lasiosphaeria* Ces. et de Not. *Calosphaeria polyblasta* Rom. et Sacc. ist nach meiner Auffassung eine *Cesatiella* (Ann. Myc. 1905, III. Bd., p. 328).

Die Zahl der bisher aufgestellten sicheren Gattungen allantoidsporiger Sphaeriaceen beträgt 26. Viele davon erwiesen sich bei näherem kritischen Studium als unhaltbar. Ein großer Teil derselben wurde als paraphysenlos beschrieben, obwohl zahlreiche, aber rasch verschleimende Paraphysen vorhanden sind, wodurch der Unterschied zwischen mehreren Gattungsgruppen hinfällig ist. In der bisherigen Systematik der hierher gehörigen Pilze wurde auf die Ausbildung des Stromas oder sein Fehlen ein viel zu großes Gewicht gelegt, und der Bau des Nukleus der Perithezien zu wenig beachtet und oft völlig verkannt.

Das Studium der hierher gehörigen Pilze ergab mir folgendes System derselben.

#### *Allantsphaeriaceen* v. H.

##### I. *Diatrypeen* v. H. (non Aut.).

Paraphysen typisch, zahlreich, verschleimend und die Ascii verklebend. Ascii ringsum wandständig, in einer Lage angeordnet, nicht das ganze Perithezium ausfüllend. Perithezien stets mit typischem Ostiolum, meist derbwandig. Stroma fehlend, angedeutet, oder gut entwickelt.

###### A. Ascii achtsporig.

- a) Stroma fehlend oder nur angedeutet; Perithezien zerstreut, eingewachsen. Nebenfrucht: *Cytosporina* . . . . . *Cryptosphaeria* Grev.  
(Syn.: *Massalongiella* Speg.).
- b) Stroma deutlich, schwach entwickelt, Perithezien valsoid gehäuft; Nebenfrucht: *Libertella* . . . . . *Quaternaria* Tul.
- c) Stroma meist gut entwickelt, eutypoid; Perithezien nicht gehäuft; Nebenfrucht: *Cytosporina* . . . . . *Eutypa* Tul.
- d) Stroma meist gut entwickelt, diatrypoid; Perithezien gehäuft.
  - a) Nebenfrucht: *Cytosporina* . . . . . *Eutypella* Nitschke.
  - b) Nebenfrucht: *Libertella* . . . . . *Diatrype* Fries.

###### B. Ascii vielsporig.

- a) Stroma, mehr minder eutypelloid, hervorbrechend;  
Nebenfrucht: *Libertella* . . . . . *Diatrypella* Ces. et de Not.  
Syn.: *Cryptovalsa* Berlese p. parte.
- b) Stroma eutypoid, ausgebreitet, Perithezien nicht gehäuft  
*Cryptovalsa* Ces. et de Not. (non Berl.).  
Syn.: *Allescherina* Berlese.

##### II. *Calosphaerieen* v. H.

Paraphysen typisch, lang, nicht verschleimend. Ascii ringsum wandständig, sitzend oder gestielt, oder auf längeren Trägern traubig sitzend

und dann ungestielt. Ostium stets typisch entwickelt. Perithezien meist derbwandig. Stroma fehlend, oder angedeutet.

I. Perithezien auf einem Basalstroma rasiig, meist kurz dick gestielt; hervorbrechend bis oberflächlich, warzig-rauh, schüsselförmig einsinkend; Ostium sehr klein; Schläuche gestielt . . . *Nitschlia* Ottb.  
Syn.: *Coelosphaeria* Sacc. p. p.

II. Nicht so.

A. Ascii vielsporig, eiförmig, auf langen Trägern traubig sitzend, unge-  
stielt . . . . . *Pleurostoma* Tul.  
Syn.: *Neoarcangelia* Berlese.

B. Ascii achtsporig.

- a) Ostium flach, Perithezien langwollig, bleibend eingewachsen.  
Asci größer, langgestielt . . . . . *Enchnoa* Fries.
- b) Ostium scheibig-flach. Perithezien kahl. Asci klein, sitzend,  
auf Trägern traubig angeordnet . . . . . *Romellia* Berl.
- c) Ostium warzenförmig, kurz.  
a) Perithezien meist valsoid gehäuft . . . . . *Erostella* (Sacc.).  
Syn.: *Togninia* Berl.

- b) Perithezien zerstreut . . . . . *Jattaea* Berlese.
- d) Perithezien langhalsig.

- a) Perithezien zerstreut . . . . . *Wegelina* Berl.
- b) Perithezien valsoid gehäuft . . . . . *Calosphaeria* Tul.  
Sect. I. *Eucalosphaeria*, Asci lang gestielt, nicht traubig.  
Sect. II. *Calosphaerina*, Asci klein, sitzend, traubig.  
Sect. III. *Calosphaeriella*, Asci sitzend, nicht traubig.

### III. *Valseen* v. H. non Aut.

Typische Paraphysen fehlen, oder meist spärliche zartwandige, breite, septierte, lange Pseudoparaphysen vorhanden. Asci zartwandig, in mehreren Lagen fast stets die ganze Perithezienhöhlung ausfüllend, nicht miteinander verklebt, im Wasser sich leicht verteilend, wobei die offenbar sehr verschieden langen, sehr zarten Stiele aufgelöst werden. Perithezien meist dünnwandig, mit typischem Ostium. Stroma vorhanden oder angedeutet.

Der Umstand, daß, wie es scheint, zu *Peroneutypa heteracantha* (Sacc.) Berl. die *Cytosporina heteracantha* Sacc. (Syll. F. 1884, III. Bd., p. 603) als Nebenfrucht gehört, deutet darauf hin, daß *Peroneutypa* und *Scoptria* mit *Eutypa*, beziehungsweise *Eutypella* verwandt sind und möglicherweise Diatrypeneen sind, was an frischem Material nachzuprüfen ist.

Die *Valseen* v. H. sind allantoidsporige Diaportheen und werden daher in dem endgültigen System der Sphaeriaceen zu denselben gebracht werden müssen, da mir der Bau des Nukleus wichtiger erscheint als die Sporenform.

A. Mit Phaeostilbeen-Nebenfrucht. Schnäbel sehr lang vorstehend.

a) Perithezien in *Eutypella*-artigen Stromaten zu vielen gehäuft

*Scoptria* Nitschke

Syn.: *Peroneutypella* Berlese.

b) Stroma ausgebreitet, meist nur angedeutet, Perithezien einzeln oder in kleinen Gruppen . . . . . *Peroneutypa* Berlese.

B. Ohne Phaeostilbeen-Nebenfrucht.

a) Stroma meist valsoid, wenig entwickelt, von dem Rindengewebe kaum verschieden, ohne gesonderte Basalschicht. Perithezienhälse kurz oder vorragend. Scheibe selten rein weiß. Schläuche 4- oder 8-sporig. *Cytospora* ohne gesonderte Basalstromaschichte (*EuCytospora*) . . . . . *Valsa* Fr. p. p.

Syn.: *Euvalsa* Ntke. als Sektion.

b) Stroma valsoid, aus Pilzgewebe gut entwickelt, mit deutlicher, gesonderten Basalschicht. Scheibe meist rein weiß. Perithezienhälse nicht oder kaum vorragend. *Cytospora* mit gesonderter Basalschicht (*Leuco-Cytospora*)

a) Schläuche 4—8-sporig: *Leucostoma* Ntke. als Sektion.

β) Schläuche vielsporig: *Valsella* Fuckel.

c) Stroma knollig, sklerotoid, ohne eigentliche Mündungsscheibe etwas vorbrechend; Perithecien parallel (nicht valsoid) stehend. Schläuche 4—8-sporig . . . . . *Valseutypella* v. H.

#### IV. *Coronophoreen* v. H.

Perithezien ohne Ostiolum, schließlich unter Ausschleuderung des gesamten Inhaltes oben weit schalenförmig aufreißend, außen rauh, schollig-kohlig, innen fleischig-lederig, derbwandig, meist ohne Stroma, einzeln rasiig, oder in valsoiden Gruppen stehend. Schläuche selten sitzend, kurz oder meist lang und dünn gestielt, mit oder ohne Pseudoparaphysen, 8- bis vielsporig, in einem oder einigen dichten Haufen radiär an der Wandung sitzend. Sporen hyalin, allantoid, meist mit 2—4-teiligem Plasma, schließlich oft zweizellig.

A. Asci achtsporig, sitzend oder kurz gestielt; Perithezien mit einem oben innen angewachsenen zylindrischen Quellkörper, einem dünnen Basalstroma in einem sparrigen Hyphenfilz eingesenkt zerstreut aufgewachsen . . . . . *Coronophorella* v. H.

B. Asci vielsporig. Stroma fehlend oder basal.

a) Asci meist lang gestielt. Perithezien normal eingewachsen.

a) Asci sehr lang und dünn gestielt. Perithezien innen oben mit einem (zylindrischen Quellkörper, einzeln oder valsoid gehäuft eingewachsen . . . . . *Cryptosphaerella* Sacc.-v. H.

β) Asci kürzer oder länger, dünner oder dicker gestielt. Quellkörper fehlend . . . . . *Coronophora* Fuck.-v. H.

b) Ascii sitzend. Perithezien meist rasig, oberflächlich, oder stark her vorbrechend, mit Basalstroma. Sporen im keuligen Schlauche meist zweireihig-dachig angeordnet. Keine typische Coronophoree

*Fracchiaea* Sacc.

Erläuternd seien zu diesem Systeme noch folgende Bemerkungen gemacht.

Die Gattung *Massalongiella* Speg. kenne ich zwar nur aus Berleses Angaben und Bildern (Icon. Fung. 1902, III. Bd.), diese zeigen aber gar keinen Unterschied gegenüber *Cryptosphaeria*. Es ist nicht wahrscheinlich, daß zwischen diesen beiden Gattungen ein Unterschied in den Paraphysen besteht. Ich betrachte sie daher bis auf weiteres als synonym.

*Eutypa* zeigt typische Paraphysen und ist daher keine Valsee. Vergleicht man in Berleses Werk die Bilder von *Eutypella* und *Diatrype*, so erkennt man, daß diese zwei Gattungen in der Askusfrucht sich völlig gleichen. *Diatrype* zeigt Paraphysen; der überall angegebene Mangel derselben ist falsch. Man kann daher diese zwei Gattungen nur an der Nebenfrucht unterscheiden, die aber bei den wenigsten Arten derselben bekannt ist.

Berlese teilt die Gattung *Cryptovalsa* Ces. et de Not., je nachdem die Perithezien gehäuft sind oder nicht, in zwei Gattungen: *Cryptovalsa* Berl. und *Allescherina* Berl. Ich würde aber nicht, wodurch sich *Cryptovalsa* Berl. von *Diatrypella* unterscheiden soll. Man darf auch nicht übersehen, daß eutypoide Formen oft an berindeten Zweigen eutypelloid auftreten. So tritt *Eutypa flavovirens* Tul. in Krieger, F. sax. No. 1332 als typische *Eutypella* auf. Dies war schon Tulasne, Nitschke u. a. bekannt. Man darf daher auf das Stroma kein zu großes Gewicht legen. Daher fasse ich *Cryptovalsa* im Sinne von Cesati und de Notaris auf und kann die Gattung *Allescherina* Berl. nicht anerkennen. Verschiedene *Cryptovalsa*-Arten müssen einfach zu *Diatrypella* gestellt werden.

*Pleurostoma* Tul. und *Neoarcangelia* Berl. gleichen sich innen und außen vollkommen. Nur, daß bei letzterer Gattung die Ostiola mehr nach oben gerichtet sind. Indessen sind dieselben auch bei *Pleurostoma* durchaus nicht stets seitlich stehend, wie die in Rehm, Ascom. exsic. No. 2078 ausgegebenen Exemplare zeigen. Daher hat *Neoarcangelia* Berlese keine Berechtigung. *Enchnoa* Fries hat den Nukleusbau von *Eucalosphaeria* und gehört daher zu den Calosphaeriaceen (siehe Fragm. z. Myk. 1909, IX. Mitt., No. 442).

Ich habe die Aufteilung von *Calosphaeria* vorläufig nach dem Vorgange Berleses angenommen, obwohl sie nur auf die äußeren Verhältnisse beruht, und eine Zerteilung nach dem sehr verschiedenen Bau des Nukleus richtiger wäre.

Nachdem ich die *Eutypa heterocantha* Sacc. als verwandt mit *Scoptria* N. erkannte, welche Gattung sehr zweifelhafter Natur war, konnte ich feststellen, was *Scoptria* ist. Es ist eine zweifellose, wenn auch nicht

völlig typische Euvalsee, aus der man auch eine eigene Familie machen könnte. Die Phaeostilbeen-Nebenfrucht tritt nicht konstant auf und kann nicht als ausschlaggebendes Kennzeichen der Gattung betrachtet werden. *Peroneutypa* Berl. und *Peroneutypella* Berl. können nach den eingesehenen Arten und den Abbildungen bei Berlese kaum nebeneinander aufrecht erhalten werden. Ich habe *Peroneutypa* nur vorläufig angenommen.

*Coronophorella* v. H. (Fragm. 442 l. c.) ist zwar nach dem, was ich an dem sehr schlechten Wiener Originalexemplare feststellen konnte, gewiß eine eigenartige Coronophoree, indessen müssen bessere Funde abgewartet werden, um völlig sicheres erzielen zu können. Insbesondere muß noch festgestellt werden, ob die *Phomopsis*-Nebenfrucht wirklich dazu gehört, was mir jetzt recht unwahrscheinlich ist.

Eine genaue Prüfung der Sporen der Coronophoreen überhaupt an ganz frischen Exemplaren muß noch lehren, ob und inwieweit dieselben von echten Allantosporen abweichen.

Die neue Gattung *Valseutypella* v. H. beruht auf *Diatrype tristicha* de Notaris 1867 in Rehm, Ascomyc. exs. No. 2174 und wird später behandelt werden.

### CCLXIII. Über die Gattung *Scoptria* Nitschke.

Diese in Pyrenomycetes germanici 1867, p. 83, aufgestellte Gattung gründet sich auf *Scoptria isariphora* N., einen Pilz, der von Nitschke nur einmal und seither nicht wieder gefunden wurde. Nach dem Autor hat der Pilz keine echten Paraphysen, statt deren treten zwischen den jungen Schläuchen sehr zarte, gegliedert septierte, breite, sehr lange Pseudoparaphysen auf. Danach könnte der Pilz eine Euvalsee sein. Allein Nitschke stellte ihn zu den Diatrypen. Nitschke beschrieb nun noch eine auffallende Nebenfruchtform des Pilzes, eine Stilbacee, die nach seinen Angaben zur Gattung *Harpographium* Sacc. (Michelia 1880, II. Bd., p. 33; Fungi ital. Taf. 13) gehört.

Da Nitschkes Angaben über Paraphysen, wie ich mich oft überzeugte, unverläßlich sind, das Auftreten einer Stilbacee als Nebenfrucht einer Valsee ganz ohne Analogie war, und ich das Original des Pilzes nicht kannte, vermutete ich irgend einen Irrtum des Autors, um so mehr als die Gattung völlig verschollen blieb. Indessen gelang es mir auch ohne Originalexemplar auf einem Umwege festzustellen, daß der Pilz existiert und gut bekannte Verwandte hat.

Saccardo beschrieb 1873 (Atti soc. Veneto-Trentina Scienz. nat., Padova, II. Bd., p. 129, Taf. XIV, Fig. 35—42) die *Valsa heteracantha*, die nach Beschreibung und Abbildung eine echte *Scoptria* ist, und so wie die Nitschkesche Art ein *Harpographium*, das zwischen den langen Schnäbeln herauswächst, als Nebenfrucht besitzt. Es ist dies das *Harpographium fasciculatum* Sacc. (Michelia 1877, I. Bd., p. 76 sub *Graphium*).

Die *Scoptria heteracantha* (Sacc.) v. H. ist in Südeuropa häufig und wächst auf den Zweigen vieler Laubhölzer, ist auch im südlichen Nordamerika verbreitet und wurde aus Amerika auch unter den Namen *Valsa hylodes* E. et Ev., *Valsa atomaeospora* Cooke und *Eutypa echinata* E. u. Ev. wiederholt neu beschrieben (Ellis and Everhart, North Americ. Pyrenomyc. 1892, p. 502).

Dieser Pilz ist oft ausgegeben worden, ich konnte ihn näher prüfen und so feststellen, was *Scoptria* ist.

Zunächst überzeugte ich mich davon, daß das *Harpographium* tatsächlich eine Nebenfrucht der *Scoptria* ist, Nitschkes Beobachtung daher richtig ist. Durch Kalilauge aufgehelle Medianschnitte durch den Pilz zeigen, daß das *Harpographium* aus den unteren Partien der Schnäbel herauswächst.

Die Perithezien sind derbwandiger als bei *Euvalsa*, auch sind sie nicht ganz mit den Ascis ausgefüllt, die nur  $20 \times 5 \mu$  groß sind, ferner sind die relativ langen, sehr dünnen parallelen Stiele der Ascis deutlich zu sehen, es weicht daher der Nukleusbau von dem *Euvalsa*-Typus etwas ab. Indessen stehen die kleinen Ascis dicht aneinanderstoßend in sehr zahlreichen Lagen und fehlen typische Paraphysen vollständig und fand ich nur spärliche, sehr zarte Pseudoparaphysen. Daher muß *Scoptria* als Euvalseen betrachtet werden. Sie bildet aber ein wichtiges Bindeglied im Bau des Nukleus zwischen den typischen Euvalseen und dem Sphaeriaceen-Typus, und zeigt den von mir schon vermuteten Weg an, auf welchem sich der Euvalseen-Typus aus dem gewöhnlichen Sphaeriaceen-Typus des Nukleusbauens entwickelt hat: die Ascis werden kleiner, die Stiele sehr dünn und sehr verschieden lang, so daß die Ascis in sehr verschiedener Höhe liegen, zugleich verschwinden die Paraphysen völlig und werden die Ascusstiele im Wasser löslich.

Berlese hat (Icon. Fung. 1902, III. Bd., p. 80 u. 82) die beiden Gattungen *Peroneutypa* und *Peroneutypella* aufgestellt. Er selbst charakterisiert diese beiden Gattungen als *Eutypa* und *Eutypella* mit sehr langen Perithezienhälsen. Wenn man aber die Artbeschreibungen studiert, so fällt einem auf, daß (mit einer einzigen Ausnahme) alle Arten auffallend kleine Ascis und Sporen haben. Ferner, daß bei einigen Arten Phaeostilbeen-Nebenfruchtformen angegeben und abgebildet werden, und endlich, daß er *Scoptria isariphora* N. als erste (also Typus-)Art zu *Peroneutypella* stellt.

Meine auf diese Tatsachen gegründete Vermutung, daß die Arten dieser beiden Gattungen Berleses, nicht wie Berlese sagt, einfach *Eutypa*- und *Eutypella*-Arten mit sehr langen Hälsen, sondern Formen sind, deren Nukleus so wie bei *Scoptria* gebaut ist, wurde durch die Prüfung einiger Arten (*Peroneutypa bellula* (Desm.) Berl., *Peroneutypella scoparia* (Schw.) Berl., *P. Leopoldina* Rehm) vollkommen bestätigt. Alle zeigten denselben Bau des Nukleus wie *Scoptria heteracantha*.

Dabei überzeugte ich mich auch davon, daß die Phaeostilbeen-Form keine konstante Begleiterscheinung ist. Während das Originalexemplar von *Peroneutypa bellula* (Desm.) Berl. in Desmazières, Pl. crypt. France 1843 No. 1274 keine Spur davon zeigte, war dieselbe in dem Exemplar in D. Saccardo, Mycoth. ital. No. 283, wenn auch bereits verblüht, reichlich vorhanden.

Daher ist nicht das Vorhandensein der Phaeostilbee, sondern der Nukleusbau das Maßgebende bei der Feststellung, ob eine Form zu *Scoptria* gehört. Nach meinen Beobachtungen und den Bildern bei Berlese können die beiden Gattungen *Peroneutypa* und *Peroneutypella* schwer nebeneinander aufrechterhalten werden. Bei *Peroneutypa bellula* ist überhaupt kaum ein Stroma zu finden und stehen die Perithezien teils einzeln, teils in valsoiden kleinen Häufchen. *Scoptria* muß nach dem Gesagten als interessante Eualseengattung betrachtet werden.

#### CCLXIV. Über die Gattung *Valsa* Fries sensu Nitschke.

Die Gattung *Valsa* ist in Nitschke, Pyrenomyc. germanici 1867, p. 122, ausführlich charakterisiert worden. In dieser Charakteristik wird der Mangel von Paraphysen ausdrücklich erwähnt: Nitschke teilt die Gattung in 5 Untergattungen, nämlich *Eutypa* (Tul.), *Cryptosphaeria* N., *Eutypella* N., *Euvalsa* N. und *Leucostoma* N.

Winter (Pilze Deutschlands usw. II. Abt. Ascomyceten, 1887, p. 672) führt 9 Untergattungen bei *Valsa* auf, nämlich *Eutypa* (Tul.), *Endoxyla* Fuckel, *Cryptovalsa* Ces. et Not., *Cryptosphaeria* Grev., *Cryptosphaerella* Sacc., *Eutypella* N., *Euvalsa* N., *Leucostoma* N. und *Valsella* Fuckel. Diese Untergattungen wurden später mit Ausnahme von *Leucostoma* zum Range von Gattungen erhoben.

Als die typischen Vertreter der Gattung *Valsa* müssen die Arten der Subgenera *Euvalsa* und *Leucostoma*, wohin auch *Valsella* gehört, betrachtet werden. Heute wird unter *Valsa* (im engeren Sinne) *Euvalsa* N. plus *Leucostoma* N. verstanden. Diese echten *Valsa*-Arten haben nun einen Bau des Peritheziennukleus, der ganz eigenartig ist und vollständig abweicht von dem der 6 erstangeführten Untergattungen von *Valsa* bei Winter (welche den 3 ersten bei Nitschke entsprechen).

I. Bei den echten *Valsa*-Arten und bei *Valsella* sind die Perithezien dünnwandig und werden ganz ausgefüllt mit in mehreren Reihen übereinander stehenden Ascis, ohne echte Paraphysen (höchstens mit wenigen, breiten, bandförmigen Pseudoparaphysen). Die Ascis sind nicht miteinander verklebt (was sonst die Paraphysen besorgen), daher sich die Ascis in Wasser leicht voneinander lösen und verteilen. Die sehr zarten Stiele der Ascis werden hierbei gelöst.

II. Bei den 4 ersten Untergattungen von *Valsa* und bei *Eutypella* sind die Perithezien derbwandig und ringsum mit einer einfachen Lage von

Schläuchen ausgekleidet, die zwischen zahlreichen fadenförmigen, mit Öltröpfchen versehenen, bald verschleimenden dünnen Paraphysen liegen, durch welche sie verklebt werden, weshalb sie sich an Schnitten im Wasser nicht verteilen. In der Mitte zeigen diese Perithezien trocken stets eine rundliche glänzend-schwarzwandige Höhlung, da die Ascis(trocken) niemals den ganzen Perithezienraum ausfüllen, sondern nur eine verschieden dicke Wandschicht bilden.

An Durchschnitten trockenen Materials kann man schon mit der Lupe die *Euvalsa*-artig gebauten Formen von den übrigen unterscheiden.

Die Untersuchung einer Anzahl von Arten zeigte mir folgendes.

I. *Eutypa* Tul. Die geprüften Arten (*spinosa* (P.) Tul., *polycocca* (Fr.) K., *Acharii* Tul., *aspera* (N.) Fuck., *nitida* (N.) Sacc., *flavovirens* Tul. und *lata* (P.) Tul.) verhielten sich alle gleich und entsprechen genau dem II. Typus. *Eutypa* Tul. gehört zu den Diatrypeen.

II. *Endoxyla* Fuckel. In Fragm. No. 886 (1915, XV. Mitt.) habe ich gezeigt, daß diese Gattung mit *Euvalsa* nichts zu tun hat und eine Sektion der Gattung *Anthostoma* darstellt.

III. *Cryptovalsa* Ces. et de Not. Die untersuchten Arten (*protracta* (P.) Ces. et de Not., *ampelina* (Fuck.), *effusa* (Fuck.)) gehören genau zum II. Typus und zu den Diatrypeen.

IV. *Cryptosphaeria* Grev. Diese Gattung ist nach den untersuchten Arten (*millepunctata* Grev., *populina* (P.)) ganz nahe mit *Quaternaria* verwandt (s. Fragm. z. Myk. 1915, XVII. Mitt., No. 885), gehört zu den Diatrypeen und ist nach dem II. Typus gebaut.

V. *Cryptosphaerella* Sacc. gehört nach den Fragmenten 1906, II. Mitt. No. 74 u. IV. Mitt. No. 162 zu den Coronophoreen, die einen eigenen Bautypus darstellen. Siehe auch Fragm. No. 442, 1909, IX. Mitt.

VI. *Eutypella* N. Schon 1904 gab ich in Ann. Myc., II. Bd., p. 46 an, daß bei dieser Gattung Paraphysen vorhanden sind. Die nun an *E. ventricosa* Fuck., *stellulata* (Fr.), *Sorbi* (A. u. S.), *prunastri* (P.), *Padi* (Kze.) und *cerviculata* (Fr.) wiederholte Untersuchung ergab das gleiche Resultat. *Eutypella* gehört zum II. Typus und zu den Diatrypeen.

VII. bis IX. *Euvalsa*, *Leucostoma* und *Valsella* sind typische Valseen (Typus I).

Aus dem Gesagten ergibt sich, daß in der alten Gattung *Valsa* Pilze zusammenge stellt waren, die 4 verschiedenen Familien angehören.

Echte Valseen sind nur *Valsa* (s. str.) und *Valsella*.

Diatrypeen sind *Eutypa*, *Cryptovalsa*, *Cryptosphaeria* und *Eutypella*.

*Endoxyla* gehört zu *Anthostoma*, welche Gattung bei Winter und Nitschke nebst anderen Gattungen mit Unrecht zu den Valseen gestellt wird. Für diese Gattungen muß eine neue, noch zu begründende Familie aufgestellt werden.

## CCLXV Über die Coronophoreen v. Höhnel.

In den Fragmenten No. 74 (1906) und 162 (1907) habe ich gezeigt, daß die *Coronophora*- und *Cryptosphaerella*-Arten von den Calosphaeriaceen völlig verschieden sind. Ich habe daher für diese zwei Gattungen die Familie der Coronophoreen aufgestellt, zu welchen später in Fragment No. 442 (1909) noch die Gattung *Coronophorella* v. H. kam.

Die Arten dieser Familie haben keine Spur eines Ostiums, ferner meist lang und dünn gestielte Schläuche, ihre Perithezien reißen schließlich oben weit auf und wahrscheinlich bei allen wird der ganze Nukleus hierbei herausgeschleudert. Nach der Entleerung der Perithezien fand ich in denselben öfter ein eigenartiges, näher beschriebenes Gebilde, einen aus hyalinen, schleimigen Zellen aufgebauten, zylindrisch-kegeligen, etwa 200—250  $\mu$  langen und 160—180  $\mu$  dicken Körper. Nachdem ich diesen Körper an Schnitten durch volle Perithezien niemals zu sehen bekam, mußte ich ihn für ein Gebilde halten, das erst während der plötzlichen Entleerung der Perithezien entsteht. Ich nahm daher an, daß er dadurch entsteht, daß sich bei der Entleerung der Perithezien die innere hyaline Schicht der Perithezienmembran von der äußeren ablöst und sich zu dem zylindrisch-kegeligen Gebilde zusammenzieht, wodurch gleichzeitig der ganze Inhalt der Perithezien hinausgeschleudert werden mußte. Von dieser mir damals unabweislich scheinenden Annahme ist die Darstellung in meinem Fragmente No. 74 geleitet.

Da die Coronophoreen seltene Pilze sind, gelang es mir seither nicht, gutes Material zur endlichen, völlig sicheren Klarstellung des Sachverhaltes zu erhalten, bis ich vor kurzem fand, daß der in Rehm, Ascomyceten No. 2036, als *Valsella Crataegi* Allescher ausgegebene Pilz nicht diese Art ist, sondern *Cryptosphaerella annexa* (Nitsch.) v. H. (= *Coronophora moravica* Petrak in Ann. Myc. 1914, XII. Bd., p. 476). Nun konnte ich weitere Untersuchungen anstellen. Um über den Bau eines Peritheziums völlig ins klare zu kommen, ist es nötig, genügend dünne Medianschnitte durch dasselbe herzustellen. Das ist nun bei den Coronophoreen deshalb schwer, weil bei diesen die weichledrigen Gehäuse im trockenen Zustande, in welchem sie geschnitten werden müssen, eine ganz unregelmäßige Gestalt haben, so daß es unmöglich ist, sie in der richtigen Lage einzuschließen, daher es nur ganz zufällig gelingt, einen brauchbaren Medianschnitt zu erhalten. Solche Schnitte zeigten mir nun, daß entgegen meiner bisherigen Überzeugung, der oben erwähnte hyaline zylindrische Körper schon im noch geschlossenen Perithezium enthalten ist. Derselbe sitzt oben mit seiner etwas verbreiterten Basalfläche gerade dort innen der Wandung auf, wo sich das (fehlende) Ostium finden sollte. Die Achse des Körpers wird in der Regel von einem kleinen braunzelligen 160—180  $\approx$  16—20  $\mu$  großen, manchmal unterbrochenen, öfter auch ganz fehlenden Zylinder gebildet, der der braunen Außenschicht der Perithezienwandung aufsitzt, also ein Fortsatz der Wandung ist. Diese Achse steckt in einer

70—80  $\mu$  dicken Hülle, die aus hyalinen stark gallertig verdickten inhaltsreichen Zellen besteht, die innen der Länge nach gestreckt sind, außen aber der Quere nach. Das Ende dieses Gallertzyinders ist im noch geschlossenen Perithezium abgerundet, nach der Entleerung aber gallertigfaserig. Das ganze Gebilde entsteht durch örtliche Verdickung der Perithezienmembran, insbesondere der hyalinen Innenschicht. In der Umgebung der Basis des Gallertzyinders ist die Perithezienmembran öfter etwas dünner; wahrscheinlich findet dort das Aufreißen derselben statt. Der ganze übrige Raum der Perithezien ist dicht mit den sich gegenseitig polyedrisch flachdrückenden, breit spindelförmigen, zartwandigen 40—52  $\approx$  10—12  $\mu$  großen Schläuchen ausgefüllt, von deren 1—1·5  $\mu$  dicken langen Stielen nichts zu sehen ist. Die Schläuche sitzen dicht radiär auf einem hyalinen, zelligen Polster auf; manchmal scheinen 2—3 solcher Polster vorhanden zu sein, die dann entsprechend kleiner sind. Paraphysen fehlen völlig.

Offenbar sind die zylindrischen Gebilde Quellkörper, die im Augenblitze des Aufreißens der Perithezien sich plötzlich stark vergrößern, das Perithezium zum großen Teil ausfüllen und hierdurch den Nukleus hinaus schleudern.

Daß auch bei *Coronophora gregaria* (Lib.) Fuck. und *C. angustata* Fuck. der Nukleus hinausgeschleudert wird, ist gewiß, denn man findet bei diesen Arten keine Spur eines Ostiolums und die entleerten Perithezien stets weit schalenförmig offen. Nach Fuckel (Symb. mycol. 1871, I. Ntr., p. 321) wird auch bei *C. macrosperra* Fuck. der Nukleus als hyaline Masse ausgestoßen. Daraus wäre zu schließen, daß auch bei diesen drei Arten ein Quellkörper vorhanden ist. Indessen hat mir die genaue Untersuchung von mehreren gut entwickelten Perithezien von *C. gregaria* und von zwei Perithezien von *C. macrosperra* gezeigt, daß bei diesen beiden Arten ein Quellkörper fehlt.

In meinem Fragmente No. 162 habe ich über *C. macrosperra* auf Grund der Untersuchung des einzigen, ganz überreifen Peritheziums, das mir zur Verfügung stand, einige Angaben gemacht, die ich nun, da ich zwei gut reife Perithezien untersuchen konnte, zu verbessern in der Lage bin.

*C. macrosperra* ist nur von Fuckel gefunden worden, und zwar an der Innenseite morscher Eichenrinde, also offenbar an einem abnormalen Standorte. Die Perithezien sind aufrecht eiförmig und stehen ganz oberflächlich und vereinzelt. Sie zeigen keine Spur eines Ostiolums und sind im entleerten Zustande schalenförmig aufgerissen. Ein Quellkörper ist weder an Schnitten noch an Quetschpräparaten zu sehen. Die Schläuche stehen in einigen dicht radiären Gruppen innen an der Wandung. Sie sind nicht, wie bei *Cryptosphaerella annexa* sehr dünn und lang gestielt, sondern der Stiel ist stets breit, bis 8—10  $\mu$ , und geht allmählich in den sporenführenden Teil des Schlauches über; er ist oft nur halb so lang wie dieser, öfter aber auch länger als derselbe. Die Schläuche enthalten

jedenfalls mehr als 32 Sporen, gewiß etwa 50—70. Zwischen den Schläuchen konnte ich mit Sicherheit 6—10  $\mu$  breite, lange, eingeschnürt gegliederte Pseudoparaphysen sehen.

Daher kann *C. macrosperma* nicht zu *Cryptosphaerella* gestellt werden, wie ich das früher, wenn auch mit Zweifel tat. Den nun gemachten neuen Beobachtungen zufolge müssen die Coronophoreengattungen anders charakterisiert werden.

### Coronophoreen v. H.

Perithezien ohne Ostiolum, schließlich unter Ausschleuderung des gesamten Inhaltes, oben weit schalenförmig aufreißend, außen schollig-kohlig, innen fleischig-lederig, derbwandig, meist ohne Stroma eingewachsen, meist in valsoiden Haufen stehend. Schläuche kurz oder lang, dünn oder dick gestielt, mit oder ohne Pseudoparaphysen, 8 bis vielsporig, in einem oder einigen dichten Haufen radiär an der Wandung sitzend. Sporen hyalin, allantoid, mit 2—4-teiligem Plasma, schließlich oft zweizellig.

- I. *Cryptosphaerella* Sacc. Ohne Stroma. Schläuche vielsporig, mehr spindelförmig, sehr dünn und lang gestielt. Innen oben an der Wandung mit zylindrisch-kegeligem Quellkörper. Einzige Art: *C. annexa* (Nke.) v. H.
- II. *Coronophorella* v. H. Mit dünnem Basalstroma. Perithezien in einer Filzschicht eingebettet. Quellkörper vorhanden. Schläuche kurz gestielt, achtsporig. Einzige Art: *C. chaetomoiae* (P. et S.) v. H.
- III. *Coronophora* Fuck. Ohne Stroma. Schläuche oft breiter gestielt, mehr minder urnenförmig, vielsporig. Ohne Quellkörper.
  1. *Coronophora gregaria* (Libert) Fuckel (Typus).
  2. *C. angustata* Fuckel.
  3. *C. abietina* Fuckel.
  4. *C. macrosperma* Fuckel.

In meinem Schema des Systems der Allantosphaeriaceen in Österr. botan. Zeitschr. 1916, 66. Bd., p. 54 habe ich die eigenartige Gattung *Fracchiaea* Sacc. zu den Coronophoreen gestellt.

Ich habe nun Gelegenheit genommen, das sehr gute Exemplar der Typus-Art *Fracchiaea heterogenea* Sacc. in Spagazzini, Dec. Myc. Argentinae No. 41, genauer zu untersuchen und gefunden, daß zwar diese Art keine typische Coronophoree ist, aber doch bei diesen ihren richtigen Platz haben wird.

Medianschnitte zeigen, daß bei *Fracchiaea* die Perithezienmembran aus einer äußeren kohligen und inneren etwa 20  $\mu$  dicken hyalinen Schicht besteht. Letztere schwilzt nun am Peritheziumscheitel bis auf 70  $\mu$  Dicke an, ist hier 20  $\mu$  weit, rundlich durchbrochen und löst sich hier in einen Kranz von Periphysen auf. Diese innere hyaline Schicht hat daher ein typisches Ostiolum. Die äußere kohlige Schicht ist zwar in der Ostiolar-

gegend dünner, aber nicht durchbrochen. Auch auf Flächenschnitten findet man kein Ostium. Die kohlige Schicht reißt bei der Entleerung der Perithezien lappig ein und öffnet sich schließlich weit schalenförmig. Es ist also hier das Ostium zwar in der inneren, hyalinen Schicht, nicht aber in der äußeren kohligen Schicht vorgebildet.

Solche Ostiola sind bei borkigrauen oder beborsteten Perithezien keine seltene Erscheinung.

Da die echten Coronophoreen kein Ostium haben, wären sie eigentlich, schematisch genommen, Perisporiaceen. Allein ich zweifle nicht daran, daß sie sich aus Sphaeriaceen mit Ostiole entwickelt haben, also Formen sind, bei denen sich ein anderer Öffnungsmechanismus herausgebildet hat.

Noch bemerke ich, daß das angebliche Exemplar von *Fracchiaea heterogaea* Sacc. in Cavara, F. longob. exs. No. 234, *Ditopella fusispora* ist!

#### CCLXVI. Über die Gattungen *Fracchiaea* Sacc. und *Coronophora* Fuck.

Gelegentlich meiner Studien über die Systematik der allantoidsporigen Sphaeriaceen mußte auch die Frage gelöst werden, betreffend die nähtere Verwandschaft der Gattung *Fracchiaea* Sacc. (Atti Soc. Ven. Trent. Scienz. nat. Padova 1873, II. Bd., p. 115, Taf. XII, Fig. 3—7). Der Autor hält die Gattung mit *Nitschka* Ottb verwandt.

Beim Studium eines 1903 bei Iaize in Bosnien auf Weidenzweigen gesammelten Pilzes, den ich als *Fracchiaea heterogaea* Sacc. erkannte, fiel mir dessen Ähnlichkeit mit der Gattung *Coronophora* Fuckel (Symb. myc. 1869, p. 229) auf.

Später beschrieb ich 1909 in diesen Fragmenten (VII. Mitt. No. 312) die *Fracchiaea Coniferarum* als neue Art. Seither vermutete ich, daß dieser Pilz mit *Coronophora abietina* Fuckel (Symb. myc. I, Nachtr. 1871, p. 324) identisch sein könnte. Da Fuckels Beschreibung seiner Art ganz unzureichend ist und der offenbar höchst seltene Pilz von ihm nicht ausgegeben wurde, konnte ich nur ein bei Römerstadt in Mähren gesammeltes Exemplar, das zweifellos Fuckels Art ist, zum Vergleiche heranziehen (s. Fragm. z. Myk. 1907, IV. Mitt., No. 162). Es stellte sich heraus, daß *Fracchiaea Coniferarum* von *Coronophora abietina* völlig verschieden ist. Letztere hat ganz typische *Coronophora*-Schläuche. Wenn gut entwickelt ist der eigentliche sporenerfüllte Ascus breit spindelförmig und  $40 \asymp 16 \mu$  groß. Nach oben hin ist derselbe kegelig verschmäler und sehr dickwandig, so daß das Schlauchlumen daselbst nur einen etwa  $12-14 \asymp 2 \mu$  großen Kanal bildet, durch den die Sporen entleert werden. Nach unten zu ist der Schlauch kegelig in einen bis  $120 \mu$  langen und  $2-3 \mu$  breiten Stiel rasch verschmäler. Im Gegensatz dazu hat *Fracchiaea Coniferarum* überall dünnwandige, oben abgerundete, stumpfe und breite, nach unten zu in einen kurzen, breiten, noch mit Sporen erfüllten Stiel allmählich

verschmälerte,  $100-110 \approx 10-16 \mu$  große Schläuche. Letzterer Pilz ist eine echte *Fracchiaea*, wie mir der Vergleich desselben mit dem Original-exemplare von *Fracchiaea heterogenea* Sacc. in Saccardo, Mycothec. Veneta No. 88 (aus Rehms Herbar), zeigte. Dieses Original ist zwar nicht gut entwickelt, genügte aber im Vereine mit meinem Exemplare aus Iaize, das damit übereinstimmt, mich davon zu überzeugen, daß *Fracchiaea* eine Coronophoreen-Gattung ist.

Die Perithezien bilden sich auf einem schwarzen, wenig entwickelten Basalstroma in kleinen Rasen in der Rinde und brechen hervor, so daß sie schließlich scheinbar oberflächlich stehen. Sie sind unregelmäßig kugelig,  $360-400 \mu$  breit, außen borkig-rauh, und haben eine  $60-120 \mu$  dicke kohlige Membran, die bis auf die etwa  $25 \mu$  dicke hyaline oder subhyaline Innenschicht aus violettkohligen Zellen besteht. Im äußeren Teile sind diese Zellen offen, derbwandig und bis  $15$  und  $22 \mu$  breit. Weiter nach innen sind sie dünnwandig und etwas abgeflacht, ebenso wie die der hyalinen Innenschicht. Außen sitzen hier und da  $12-24 \approx 4-12 \mu$  große, schwarze, opake, spitz kegelförmige Stacheln, zwischen den warzenförmigen oder unregelmäßigen Vorsprüngen, der Perithezienmembran auf. Ein Ostiolum fehlt, doch zeigt die sich beim Zerdrücken der Perithezien öfter ablösende hyaline Innenschicht oben eine rundliche etwa  $22 \mu$  breite Öffnung, welche offenbar einem Ostiolum entspricht, indessen ist in der kohligen Schicht der Perithezienmembran keine Spur von einem solchen zu sehen. Einmal sah ich, daß die ganze Innenschicht der Perithezienmembran beim Zerdrücken des Peritheziums als geschlossener Sack heraustrat. Jedenfalls müssen die Perithezien bei der Reife unregelmäßig aufbreißen.

An der Basis der Perithezien ist die hyaline Innenschicht dicker und hier sitzen dicht nebeneinander die zahlreichen Schläuche. Breite, sehr zarte Pseudosparaphysen sind spärlich vorhanden. Die ungleich reifenden Schläuche sind überall zartwandig, keulig, oben bis  $16 \mu$  breit und abgerundet, nach unten allmählich auf  $7 \mu$  verschmälert und bis über  $100 \mu$  lang. Die hyalinen, zylindrischen, an den Enden stumpfen, meist schwach gekrümmten Sporen sind  $8-10 \approx 1.5-1.8 \mu$  groß. Sie haben öfter eine zarte Querwand in der Mitte, wie dies auch sonst bei Coronophoreen kommt, und sind anfänglich im Ascus um die Axe herum in einigen Reihen schießend, dachartig angeordnet. Sie treten in den Schläuchen in der Zahl von  $50-100$  auf.

Aus dieser Beschreibung erhellt, daß sich *Fracchiaea* von *Coronophora* eigentlich nur durch die nicht gestielten Schläuche und die dachförmig gelagerten Sporen unterscheidet. Auf das schwach entwickelte Basalstroma ist weniger Gewicht zu legen. *F. brevibarbata* (B. et C.) Sacc. mit langgestielten Schläuchen, ist offenbar eine *Coronophora*- oder *Cryptosphaerella*-Art (s. Berlese, Icon. Fung. III. Bd., 1902, p. 27, Taf. 35, Fig. 2).

CCLXVII. Über *Valsa sphaerostoma* Nitschke und *Valsa macrostoma* Rehm.

Die erstgenannte in Nitschke, Pyrenomyc. germanici 1870, p. 218, beschriebene und zu *Euvalsa* gestellte Art wird von Winter (Gymnoascom und Pyrenomyc. 1887, p. 771) zu *Cryptospora* Tul. gestellt und von Saccardo (Michelia 1877, I. Bd., p. 30) zu *Cryptosporella* Sacc.

Diese Einreihungen sind aber falsch, denn nach Nitschke hat der Pilz eine *Cytopora* mit  $5-7 \vee 1 \mu$  großen Spermatien als Nebenfrucht, während die echten *Cryptospora*-Arten *Fusicoccum* Corda (non Saccardo) und die *Cryptosporella*-Arten *Disculina* v. H. (= *Cryptosporium* Sacc. non Kunze) zu Nebenfruchtgattungen haben.

*Valsa sphaerostoma* N. ist daher trotz seiner meist geraden und öfter länglichen Sporen eine echte Valsee. Auffallenderweise ist dieser Pilz bisher nur ein einziges Mal von Nitschke und seither von Niemanden wieder gefunden worden. Derartige verschollene Formen sind immer verdächtig und beruhen meist auf einem Irrtum. Dies ist gewiß auch hier der Fall, denn vergleicht man die Beschreibung von *Valsa sphaerostoma* mit jener von *Valsa cincta* Fries in Nitschkes Werk, so bemerkt man eine so weitgehende Übereinstimmung dieser beiden nur auf *Prunus*-Zweigen vorkommenden Arten, daß nicht daran gezweifelt werden kann, daß sie dieselbe Form sind. Nitschke gibt zwar bei *Valsa cincta* an, daß die dazugehörigen Spermatien meist  $6-8 \vee 1.5-2 \mu$ , also größer als bei *Valsa sphaerostoma* (mit  $5-7 \vee 1 \mu$ ) sind, allein, da, wie schon Fries erkannte, *Cytopora rubescens* die Nebenfrucht von *Valsa cincta* ist, und diese Form, wie ich fand, meist  $6-7 \vee 1 \mu$  große Spermatien besitzt, ist Nitschkes obige Maßangabe offenbar nicht allgemein gültig.

Nach allem muß als sicher angenommen werden, daß die verschollene *Valsa sphaerostoma* N. und *Valsa cincta* Fries derselbe Pilz sind. Man könnte dies nun allerdings für unmöglich erklären, weil Nitschke die *Valsa sphaerostoma* zu *Eu-Valsa-circinnatae* stellt, während die *Valsa cincta* eine Leucostoma ist. Allein man kann sich leicht davon überzeugen, daß die eigene Stomasubstanz bei *Valsa cincta* nur wenig entwickelt ist; ebenso ist die schwarze Grenzschichte, die das Stroma ringsum abschließt, manchmal sehr dünn und wenig ausgeprägt, so daß sie leicht übersehen werden kann. Dies kann man bei jener Form von *Valsa cincta* sehr schön sehen, die Rehm als *Valsa macrostoma* beschrieben hat. Vergleicht man Querschnitte durch das Exemplar von *Valsa cincta* in Rabenh., F. eur. No. 49, mit solchen von *Valsa macrostoma* in Rehm, Ascom No. 2035, so erkennt man, daß sich beide Pilze vollkommen gleichen bis auf die Stärke der Ausbildung der schwarzen Grenzschicht und die Sporen, die bekanntlich bei *Valsa cincta* in Form und Größe sehr wechseln. Während das als *Valsa cincta* bezeichnete Exemplar eine gut entwickelte schwarze Grenzschicht zeigt, ist diese bei *Valsa macrostoma* dünn und wenig hervortretend. Indes hat sie auch Rehm bemerkt, da er in der Beschreibung

sagt, daß das Stroma unten schwarz berandet ist (26. Ber. nat. Verein Augsburg 1881, p. 45). Daraus hätte er ersehen können, daß die *Valsa macrostoma* zu *Leucostoma* gehört und nicht zu den Circinnatae, wohin er sie stellte. *Valsa sphaerostoma* N., *cincta* Fr. und *macrostoma* Rehm sind derselbe Pilz.

Daß *Valsa Lauro-Cerasi* Tulasne (Scl. F. Carp. 1863, II. Bd., p. 196) nur eine Form von *Valsa cincta* ist, gibt schon Nitschke (Pyren. germ. 1870, p. 229) an. Aber auch *Valsa Ceuhosporae* Cooke (Grevillea 1879, VII. Bd., p. 83) auf *Prunus Lauro-Cerasus* ist offenbar derselbe Pilz. Die Sporen sind hier allerdings größer (10—12  $\mu$ ) als bei Tulasnes Pilz (6·5  $\mu$ ), allein bei *Valsa cincta* wechseln Form und Größe derselben außerordentlich. Nach Cooke gehört zu seiner Art die *Ceuospora Lauri* Greville (Scott. crypt. Flora 1827, V. Bd., Tafel und p. 254) als Nebenfrucht. Diese wächst nicht, wie Greville angibt, auf den Blättern von *Laurus nobilis*, sondern wie seine Abbildung zeigt, auf solchen von *Prunus Lauro-Cerasus* und ist offenbar identisch mit der *Cytopora Lauro-Cerasi* Fuckel, deren blattbewohnende Form Fuckel in Fung. rhen. No. 629 ausgegeben hat und mit Recht als Nebenfrucht von *Valsa Lauro-Cerasi* Tul. betrachtet. Übrigens tritt diese *Cytopora* auf den Blattstielen und Zweigen auf.

Auch die Selbständigkeit der *Valsa microstoma* Ntke. (l. c. p. 193) ist mir nach dem sicheren Exemplare in Fuckel, F. rhen. No. 1972 durchaus zweifelhaft. Im Querschnitte gleicht sie durchaus der *V. macrostoma*, nur daß die schwarze Grenzschicht' völlig fehlt. Ich bin geneigt sie nur für eine seltene Grenzform zu halten, die durch alle Übergänge mit *V. cincta* verbunden ist. Auffallend ist auch, daß sie seit Fuckel und Nitschke nicht wieder gefunden wurde. Demnach wäre *Valsa cincta* eine in der Ausbildung des eigenen Stromagewebes äußerst variable Form, die alle Übergänge zwischen *Euvalsa* und *Leucostoma* bietet. Auf die Unterschiede in der Größe der Konidien ist gar kein Gewicht zu legen, da diese sehr wechselt, wie schon Nitschke hervorhebt.

#### CCLXVIII. *Calosphaeria ulmicola* v. H. n. sp.

Perithezien kohlig, kugelig, etwa 300  $\mu$  breit, kleine valsoide Gruppen bildend, unter dem Periderm entwickelt, mit einem etwa 320  $\mu$  langen, 70  $\mu$  dickem Schnabel, außen mit schwarzbraunen, 6—7  $\mu$  dicken Hyphen besetzt. Schläuche zahlreich, oben abgestumpft, nach unten keilig verschmäler, achtsporig, sitzend, in Büscheln auf kurzverzweigten Trägern sitzend, mit mehrmals längeren, etwa 2  $\mu$  breiten Paraphysen, 20—22  $\approx$  4—5·5 breit. Sporen zweireihig im Schlauche, allantoid, schwach gekrümmmt, hyalin, 6  $\approx$  1·5  $\mu$  groß.

Auf dürren Zweigen von *Ulmus* sp. in Presbaum, Wiener Wald, Juni 1916.

Die Art ist nahe verwandt mit *Calosphaeria ciliatula* (Fries), die auf Birkenzweigen auftritt; sie ist von dieser Art hauptsächlich durch die kürzeren Schläuche und etwas größeren Sporen verschieden.

CCLXIX. Über *Eutypella Prunastri* (P.) Sacc. F. *Crataegi* Rehm.

Diese angeblich auf Ästen von *Crataegus Oxyacantha* auftretende Form wächst nach dem Originalexemplar in Rehm, Ascomycet. exs. No. 1894, auf *Prunus spinosa*, muß daher gestrichen werden.

Bei dieser Gelegenheit sah ich, daß die Sporen dieses Pilzes von Nitschke mit  $6-8 \approx 1.5 \mu$  zu groß angegeben sind. Danach sind sie auch von allen späteren Autoren zu groß angegeben. Die Extreme sind Traverso (Flora it. cryp. I, 2, p. 116)  $6-8 \approx 2 \mu$  und Berlese (Icon. Fung. III, p. 70)  $6-7 \approx 2 \mu$ . Winter schreibt  $6-8 \approx 0.5 \mu$ , was ein Lapsus sein wird. Ich fand die Sporen an mehreren geprüften Exemplaren  $5-6$ , selten  $7 \mu$  lang, und  $1-1.2 \mu$  breit; also wesentlich kleiner.

CCLXX. Über *Ostropa albocincta* Berk. et Curtis.

Der in Journ. Linn. Societ. 1869, X. Bd., p. 372 beschriebene Pilz ist nach dem Originalexemplare in Fungi Cubens. Wrightiani No. 726 eine typische *Schizostoma* Sacc. *Schizostoma ovinum* Ell. et Ev. 1893 (Syll. Fung. XI. Bd., p. 382) ist sehr wahrscheinlich derselbe Pilz, der durchaus falsch beschrieben wurde.

Die Perithezien sind ursprünglich eingewachsen, an der stark morschen Rinde, auf der sie sitzen, scheinbar oberflächlich, kugelig, etwa  $900 \mu$  breit, violettkohlig, unten mit 100, seitlich 140, oben bis  $200 \mu$  dicker Wandung, die aus zahlreichen Lagen von dünnwandigen, etwas abgeflachten, manchmal in Reihen stehenden, offenen Parenchymzellen besteht. Sie zeigen oben einen etwa  $0.5$  mm langen, schmalen Spalt, durch den sie sich öffnen und der in einem schwarzen, elliptisch-lanzettlichen Mündungsflecke sitzt, der zu beiden Seiten von je einem weißen, meist dreieckigen Flecke begrenzt wird. Diese beiden weißen Flecke bilden mit dem lanzettlichen schwarzen Mittelflecke zusammen meist eine zierliche abgerundet rhombische Zeichnung, deren kürzerer Diameter vom Mündungsspalt gebildet wird. Die weiße Färbung der Seitenflecke, die öfter weiter ausgebrettet sind, röhrt von einem dünnen, schollig-krümeligen, in Wasser, Alkohol und Kalilauge unlöslichen Überzug her, der wahrscheinlich aus einer wachsartigen Substanz besteht. Infolge der starken Verdickung der Perithezienmembran am Mündungsspalte ist dieser etwa  $200 \mu$  tief und zeigen die Perithezien oben eine Art von konvexen Discus. Die sehr zahlreichen Paraphysen sind langfädig,  $1-1.5 \mu$  dick, oben stark baumartig verzweigt; sie liegen in einer festen Schleimmasse eingebettet. Die zahlreichen, achtsporigen Schlüsse sind lang und dünn gestielt, spindelig-keulig, dünnwandig, etwa  $90 \mu$  lang und  $10 \mu$  breit. Die Sporen liegen zweireihig, sind durchscheinend schmutzig-violett, spindelig-länglich, mit stumpflichen Enden, gleich-zweizellig, in der Mitte nicht oder wenig eingeschnürt, gerade,  $18-26 \approx 5-6.5 \mu$  groß.

Was die Gattungsbenennung des Pilzes anlangt, so ist der Typus der Gattung *Schizostoma* Ces. et de Not. 1863: *Schizostoma Montagnei* Ces. et de

Not. (= *Sphaeria schizostoma* Mont.). Dieser Pilz hat aber hyaline zweizellige Sporen, ist daher eine *Lophiosphaera* Trevisan 1877. Saccardo hat nun (Michelia, 1878, I. Bd., p. 337) die Lophiostomaceen mit zweizelligen hyalinen Sporen statt in die Gattung *Schizostoma* Ces. et de Not. 1863 zu stellen, in die Gattung *Lophiosphaera* Trev. 1877 eingereiht, was nicht angeht.

Es müssen daher fernerhin die Lophiostomaceen mit zweizellig hyalinen Sporen zu *Schizostoma* Ces. et de Not. 1863 (Syn.: *Lophiosphaera* Trev. 1877) gestellt werden, von welcher Gattung *Schizostoma* Sacc. 1878 (non Ces. et de Not.) verschieden ist. Die jetzigen *Schizostoma*-Arten müssen einen anderen Gattungsnamen erhalten.

Da nun *Ostropa albocincta* eine *Schizostoma* Sacc. 1878 ist und für diesen Pilz Saccardo 1883 in der Syll. Fung. II. Bd., p. 805 die Untergattung *Ostropella* aufgestellt hat, muß der in Rede stehende Pilz *Ostropella albocincta* (B. et C.) v. H. genannt, und müssen auch die übrigen bisherigen Arten der Gattung *Schizostoma* Sacc. (non Ces. et de Not.) zu *Ostropella* (v. H. als Gattung) gestellt werden.

### CCLXXI. Über die Gattung *Gloniella* Saccardo.

Die Gattung wurde aufgestellt in Sylloge Fungorum 1883, II. Bd., p. 765. Als Typusart muß *Gloniella lapponica* (Karsten) Sacc. = *Hysterium lapponicum* Karsten (Mycol. fennica 1873, II. Bd., p. 234) betrachtet werden.

Nach der Beschreibung des Pilzes ist es keinem Zweifel unterworfen, daß diese Art eine echte Hysteriacee ist, die sich aber, wie Karsten sagt, der Gattung *Lophiostoma* nähert. Es ist ein hervorbrechender, Holz bewohnender Pilz. Auch die folgenden 7 Arten von *Gloniella* bei Saccardo l. c. sind Holz und Rinden bewohnende Pilze, wahrscheinlich lauter echte Hysteriaceen mit derben kohligen Gehäusen, die anfänglich tief eingewachsen sind und hervorbrechen.

Nun hat aber der Autor später auch Formen in die Gattung eingereiht, die dünnhäutig sind, unter der Kutikula sitzen und nicht hervorbrechen. Diese Formen können nicht bei *Gloniella* verbleiben, können aber auch nicht zu *Hypoderma* gestellt werden, deren typische Arten in der Epidermis eingewachsen sind.

Ähnlich verhält sich die Sache auch bei Rehm. Während derselbe ursprünglich in seinem Diskomyzeten-Werke in der Gattung *Gloniella* nur die *Gl. Typhae* (Fuck.) stehen hat, welche, wie es scheint, dem Typus der Gattung entspricht, stellte er in Ber. bayr. bot. Gesellsch., München 1912, XIII. Bd., p. 114 vier Arten dazu, die aber in ebensoviele Gattungen gehören. *Gloniella sarmentorum* Rehm (non de Not.) hat intraepidermale Fruchtkörper und einzellige Sporen und gehört in die Gattung *Hypodermellina* v. H.

*Gloniella filicina* (Lib.?) Mouton wächst subkutikulär, hat 2—4 zellige Sporen und ein dünnes derbes, nur oben entwickeltes *Lembosia*-ähnliches

Gehäuse. Für diese Form stelle ich die Gattung *Leptopeltis* v. H. auf. *Gloniella perexigua* (Speg.) Sacc. hat ein subkutikuläres, einzellschichtiges, nicht kohliges, ringsherum entwickeltes Gehäuse und 2—4 zellige Sporen. Für diese Formen stelle ich die Gattung *Leptopeltella* v. H. auf. Die beiden Gattungen unterscheiden sich also durch das Gehäuse. Danach zerfällt die Gattung *Gloniella* Sacc. in vier Genera.

In Fragm. No. 1004 habe ich die Gattung *Gloniella* auf jene Formen beschränkt, welche der jetzigen Gattung *Leptopeltella* entsprechen. Allein da die Gattung *Gloniella* Sacc. auf Grund ihres Typus erhalten bleiben muß, habe ich nun die obigen zwei neuen Gattungen aufgestellt.

Als Typus der Gattung *Leptopeltis* hat zu gelten *L. filicina* (Lib.) v. H. Für diese Gattung ist die *Lembosia*-artige Beschaffenheit des Gehäuses charakteristisch. Das häutig-kohlige Gehäuse ist nur oben entwickelt und geht niemals unten durch, wie das bei *Leptopeltella* (Typus: *L. perexigua* (Speg.) v. H.) stets der Fall ist. Bei *Leptopeltella* macht der Pilz nie den Eindruck einer Lembosie und ist das zarthäutige Gehäuse nie kohlig, die Zellen sind dünnwandig und am scharfen, nach unten umgebogenen Rande des Gehäuses radiär gestreckt. Die beiden neuen Gattungen stehen sich gewiß sehr nahe, wenn man aber die Typen derselben kennt, wird man sie leicht auseinanderhalten und ihre Berechtigung erkennen.

Schon Rehm bemerkte 1887 in seinem Diskomyzeten-Werke, daß in der Gattung *Gloniella* Sacc. zweierlei Arten stecken, Hysteriaceen und Hypodermeen. Anstatt nun aber den Namen *Gloniella* auf die zu den Hysteriaceen gehörigen Arten zu beschränken, entsprechend der Typusart und den darauf folgenden, machte er es umgekehrt, und stellte für die Hysteriaceenarten die neue Gattung *Hysterochonium* R. 1887 auf. Diese Gattung ist daher gleich *Gloniella* Sacc. *Gloniella* Rehm 1887 hat überdies nur eine Art, *Gloniella Typhae* (Fuck.), welche eine echte *Gloniella* Sacc. ist. Daher ist auch *Gloniella* Rehm 1887 mit der gleichnamigen Gattung *Saccardos* identisch.

### CCLXXII. Über die Hysteriaceen.

Zu den Hysteriaceen, die gegenwärtig wohl allgemein als Diskomyzeten betrachtet werden, wurden bisher alle jene Ascomyceten gestellt, deren Fruchtkörper etwas gestreckt ist und mit einem Längsspalte aufreißt. Schon eine vorläufige Prüfung zeigt indes, daß die zahlreichen, heutigen Hysteriaceengattungen höchst verschieden gebaute Fruchtkörper besitzen, daher die Familie der Hysteriaceen in ihrem heutigen Umfange eine ganz unnatürliche ist.

Als typische Hysteriaceengattungen muß man *Hysterium* und einige damit augenscheinlich verwandte betrachten. Eine zweifellos ganz typische Art der Familie ist *Hysterium pulicare* P. Diese häufige Art kommt in vielen Formen vor. Eine derselben ist das *Hysterium globosum* P. mit kugeligen, kurz dick gestielten Fruchtkörpern. Diese Form kann mit viel

größerem Rechte als Lophiostomacee gelten und erweist den innigen Zusammenhang der Lophiostomaceen mit den Hysteriaceen. In der Tat sind, wie die nähere Prüfung lehrt, letztere nichts anders als Lophiostomaceen mit mehr oder minder gestreckten Perithezien. Daher sind die Hysteriaceen Pyrenomyzeten und keine Diskomyzeten. Die Lophiostomaceen und Hysteriaceen bilden zusammen eine natürliche Gruppe, die ich Hystero-stomeen nenne und die durch charakteristische Fruchtkörper, die mit einem kürzeren oder längeren vorgebildeten Spalt sich öffnen, ausgezeichnet sind, wodurch sie sich von den übrigen Pyrenomyzeten unterscheiden.

Im Gegensatze zu den Perithezien und Apothezien haben die Hysteriaceen Hysterothezien als Fruchtkörper, denn diese verdienen wohl eine eigene Benennung.

Ein eingehendes Studium hat mir gezeigt, daß von den mindestens 57 heute bei den Hysteriaceen stehenden Gattungen nur 11 echte Abkömmlinge von Lophiostomaceen sind, also wirklich dazu gehören. Alle übrigen gehören in andere Familien, deren nicht weniger als 13 vertreten sind.

Von den heutigen Hysteriaceengattungen sind 5 Sphaeriaceen, 8 Lembosieen, 5 Phaciadiaceen, 1 Cenangiee, 3 Patellariaceen, 6 Dothideaceen, 1 Heterosphaeriacee, 4 Hypodermaen, 2 Ostropeen, 1 Thrausmatopeltinee, 5 Tryblidiaceen, 1 ist eine Flechte, 1 ist zu streichen und die Stellung von zweien ist zweifelhaft.

Was nun die echten Hysteriaceengattungen anlangt, so sind es die folgenden.

1. *Bulliardiella* Sacc. in Syll. Fung. 1883, II. Bd., p. 764 als Unter-gattung von *Mytilidion* aufgestellt. In Syll. Fung. 1905, XVII. Bd., p. 902 zur Gattung erhoben. Enthält die *Mytilidion*-Arten mit zweizelligen braunen Sporen. Typus-Art: *Mytilidion lineare* Rehm, Ascom. exs. No. 216, (Ber. nat. Ver. Augsburg 1881, 26. Bd., p. 55).

2. *Farlowiella* Sacc. Im II. Bd., Syll. Fung. 1883 p. 727 als *Farlowia* Sacc. (non Agardh 1876) aufgestellt. Im Jahre 1891 (Syll. Fung. IX. Bd., p. 1100) als *Farlowiella* Sacc. Sporen braun, länglich, einzellig, unten mit hyalinem Anhängsel. Typus-Art: *Hysterium repandum* Bloxam. (Duby in Mém. Soc. Phys. Hist. nat. Genéve 1861, XVI. Bd., p. 27).

3. *Gloniella* Sacc. 1883 (Syll. Fung. II, p. 765). Sporen hyalin, mehr-mals quergeteilt, länglich. Typus-Art: *Hysterium lapponicum* Karst. Mycol. Fennica 1873, II. p. 234). *Hysteroglonium* Rehm 1887 in seinem Diskomyzetenwerke p. 35 aufgestellt, ist gleich *Gloniella* Sacc. (nach der Typus-Art); aber auch *Gloniella* Rehm 1887 l. c. ist gleich *Gloniella* Sacc., denn *Gloniella Typhae* (Fuck.) ist eine echte *Gloniella* Sacc.

4. *Gloniopsis* de Notaris 1851 (Giorn. bot. ital. II, 2, p. 23). Sporen hyalin, mauerförmig geteilt. Typus-Art: *Gloniopsis decipiens* de Not. l. c.

5. *Glonium* Mühlberg (Cat. pl. Am. septentr., Lancaster 1813, p. 101). Typus-Art: *Glonium stellatum* Mühl. l. c.

Syn.: *Solenarium Mühlenbergii* Kunze 1817.

*Solenarium byssoides* Sprengel 1813.

Diese Form ist von Kunze (Mycol. Hefte 1817, I. Heft, p. 47, Taf. II, Fig. 24) beschrieben und abgebildet worden. Aus seiner Darstellung ist über die Stellung des Pilzes nichts ganz Sichereres zu entnehmen. Die Untersuchung eines guten Exemplares aus Hildebrand Herb. cryptog. zeigte mir aber, daß derselbe in der Tat eine Hysteriacee ist, die mit *Glonium graphicum* (Fr.) Duby nahe verwandt ist.

Die Perithezien sitzen auf einem dicken braunschwarzen Subiculum, das aus dunkelbraunen, glatten, septierten, geraden, verzweigten 4—8  $\mu$  breiten Hyphen besteht, die von der Basis der Perithezien auslaufen. Diese sind linienförmig, wenig verbogen, schwarz, fast matt, 1—2.5 mm lang, 240  $\mu$  breit und 360  $\mu$  dick. Sie zeigen oben die Mündungsfurche, liegen in großen Gruppen ziemlich parallel und dicht nebeneinander und sind mit den Enden zu längeren einfachen oder gabelig verzweigten Fäden verwachsen, die nach außen hin strahlig verlaufen. Der Querschnitt der Perithezien ist aufrecht eiförmig. Die Wandung derselben besteht ganz aus violettrotbraunen, derbwandigen, offenen, nicht gestreckten 6—9  $\mu$  großen Parenchymzellen und ist unten 80—100, seitlich 30  $\mu$  dick. Am Mündungsspalt sind die Ränder auf 60  $\mu$  verdickt. Das Hypothecium ist hyalin-parenchymatisch. Die Schläuche sind zylindrisch, derbwandig, oben abgerundet, achtsporig, unten kurzknotig sitzend, 70—100  $\cong$  9—12  $\mu$  groß. Jod färbt die Schläuche gar nicht, zeigt aber viel Glykogen in denselben an. Paraphysen zahlreich, fädig, länger als die Schläuche, oben verklebt. Sporen zweireihig, hyalin, spindelig, meist etwas gekrümmmt, gleich-zweizellig, an der Querwand schwach eingeschnürt, Enden verschmälert stumpflich, obere Zelle etwas breiter, 24  $\cong$  5  $\mu$ .

*Glonium stellatum* Mühl. ist der Typus der auf einer Hyphenfilzunterlage sitzenden *Glonium*-Arten. Diese sitzen ganz oberflächlich, auch dann, wenn der Hyphenpilz fehlt, wie das bei *Glonium graphicum* öfter vorkommt, während die *Glonium*-Arten ohne Filz stets ursprünglich eingewachsen sind und mehr minder hervorbrechen. Es ist zweckmäßig, für diese Arten wenigstens eine Untergattung (*Psiglonium* v. H.) aufzustellen.

6. *Hysterographium* de Not. (non Corda) 1851 (Giorn. bot. ital. II, 2, p. 21). Typusart: *Hysterium Fraxini* Pers. *Hysterographium* Corda 1842 (Icon. Fung. V. p. 77) ist nach der Typusart: *Hysterium pulicare* P. = *Hysterium* Tode.

7. *Hysterium* Fries 1823 (non Tode). Die Gattung wurde zuerst von Tode aufgestellt in Schrift. d. Berl. Ges. naturf. Freunde 1784, V. Bd., p. 53, Taf. II. Die hier aufgeführte Art: *H. quadrilabiatum* Tode, sowie die in Tode, Fungi Mecklenb. 1790, Fasc. I, p. 30 angeführte zweite Art: *H. bilabiatum* Tode scheinen gar keine Pilze zu sein, denn sie finden sich in der späteren Literatur nicht mehr vor; nur in Fries, Syst. myc., II. Bd., 1823, p. 594 findet sich die Bemerkung: *H. bilabiatum et quadrilabiatum*

*labiatum* Tode ipse revocavit, woraus hervorgeht, daß Tode diese Arten selbst widerrufen haben muß. Die Gattung *Hysterium* Tode existiert daher nicht.

In Persoon, Observ. myc. 1796, I. Bd., p. 83 erscheint als Typusart *Hysterium quercinum* P., welche Art heute zu *Colpoma* Wallroth gestellt werden muß, während in Persoon, Synops. Fung. 1801, I. Bd., p. 77 als Typusart *H. mytilinum* P. zu gelten hätte, das ein *Lophium* Fries ist. In Fries, Observ. myc. 1815, I. Bd., p. 192 erscheint als Typusart *H. varium* Fr., das heute als *Tryblidiella* Sacc. gilt. In Nees, System der Pilze 1817, p. 282 ist die Typusart *H. valvatum* Nees, eine *Therrya* (P. et S.) 1882 = *Coccophacidium* Rehm 1888. Man ersieht aus dieser Zusammenstellung, daß die älteren Autoren unter *Hysterium* was anderes verstanden, als dies heute der Fall ist.

Erst Fries führt in System. mycol. 1823, II. Bd., p. 579 das *H. pulicare* P. als Typus der Gattung an. Dasselbe tut er auch in Summa veget. scand. 1849, p. 368.

Daher muß es heute heißen *Hysterium* Fries 1823 (non Tode).

8. *Lophium* Fries 1823 (Syst. mycol. II, p. 533). Typusart: *Lophium mytilinum* (P.) Fr. Sporen fadenförmig.

9. *Mytilidion* Sacc. 1883 (Syll. F. II, p. 760) = *Mytilinidion* Duby 1861 (Mém. Soc. Phys. hist. nat. XVI. Bd., p. 22). Typusart: *Mytilidion aggregatum* (D. C.). Sporen mit einigen Querwänden gefärbt. Die Typusart tritt oft nur mit Konidien auf (s. Rehm, Hyst. u. Discom. 1887—96, p. 24).

10. *Ostreion* Sacc. 1883 (Syll. F. II, p. 765). Typusart: *Ostreion americanum* (Duby) Sacc. (Duby, l. c., p. 22, Taf. I, Fig. 1 sub *Ostrechnion*). Die Typusart *Ostrechnion europacum* Duby ist nach Rehm (Hedwigia 1886, 25. Bd., p. 180) eine Wachstumsform von *Hysterium pulicare* Pers. *Ostreion* Sacc. hat große spindelförmige, gefärbte, mit vielen Querwänden versehene Sporen.

11. *Dichaena* Fries wurde zuerst in Syst. orb. veget. I. Pl. Homonemeae 1825, p. 108 auf Grund von *Opegrapha macularis* Achar. aufgestellt und 1828 in Elench. Fung. 1828, II. Bd., p. 141 als Untergattung von *Hysterium* angeführt, dann 1849 in Summa veget. scand., p. 402 wieder als Gattung mit der Typusart *Dichaena rugosa* Fr. erwähnt, welche mit *Opegrapha macularis* Ach. identisch ist. *Dichaena rugosa* umfaßt die beiden jetzt als *Dichaena quercina* (P.) und *D. faginea* (P.) unterschiedenen Arten.

Die Untersuchung von *Dichaena quercina* hat mir gezeigt, daß dieselbe nur als Hysteriacee aufgefaßt werden kann. Sie hat in dichten Rasen stehende Hysteriothezien mit lederig-kohligen, dick-wandigen Gehäusen, die sich in den äußeren Schichten des Periderms entwickeln und hervorbrechen. Die Gehäuse sind außen borkig-rauh, bestehen aus kleinen, mehr minder deutlich gereihten dunkelbraunen, derbwandigen Parenchymzellen. Der Fruchtboden ist konkav. Epithezium und Hypothezium fehlen. Die Gehäuse sind länglich und öffnen sich mit einem Spalt; erst im über-

reifen Alterszustande runden sie sich öfter ab. Die Mündungsränder sind dünn und scharf und zeigen deutliche Periphysen. Nach Paoli (Nuovo Giorn. bot. ital. 1905, XII. Bd., p. 94) sind die Sporen bleibend einzellig, lang, hyalin, aber zuletzt gefärbt.

Ein Grund, die Gattung *Dichaena* in eine eigene Familie zu stellen, liegt nicht vor.

Die echten Hysteriaceengattungen können nach folgender Übersicht bestimmt werden.

A. Hysterothecien meist länglich oder linienförmig; seitlich nicht stark zusammengepreßt, oben ohne Kiel.

a) Hysterothecien dicht rasig gehäuft; Sporen groß, einzellig, schließlich gefärbt . . . . . 1. *Dichaena* Fries.

ß) Nicht so.

a) Ohne Subikulum, hervorbrechend-oberflächlich.

1. Sporen braun, einzellig . 2. *Farlowiella* Sacc.

2. Sporen hyalin, zweizellig . 3. *Psilogramnium* v. H.

3. Sporen hyalin, mit 2 bis mehr Querwänden . . . 4. *Gloniella* Sacc.

4. Sporen ebenso, aber gefärbt . . . . . 5. *Hysterium* Fries.

5. Sporen hyalin, mauerförmig geteilt . . . . 6. *Gloniopsis* de Not.

6. Sporen ebenso, aber gefärbt . . . . . 7. *Hysterographium* de Not.

b) Mit braunem Subikulum; ganz oberflächlich.

7. Sporen hyalin, zweizellig 8. *Glonium* Mühl.

B. Hysterothecien mehr minder aufrecht muschelförmig, oberflächlich, seitlich stark zusammengepreßt, oben mit Kiel.

8. Sporen braun, zweizellig 9. *Bulliardiella* Sacc.

9. Sporen braun, mit 2 bis mehr Querwänden . . . 10. *Mytilidion* Sacc.

10. Sporen sehr groß, spindelförmig, mit sehr zahlreichen Querwänden, gefärbt . . . . . 11. *Ostreion* Sacc.

11. Sporen hyalin, fadenförmig 12. *Lophium* Fries.

Über die nicht zu den Hysteriaceen gehörigen Gattungen ist noch folgendes zu bemerken.

*Acrospermum* Tode 1790. Die Typusart *A. compressum* Tode ist ein unzweifelhafter Pyrenomyzet mit rundlichem typischen Ostium mit Periphysen. Steht meiner Ansicht nach durch *Bombardiastrum* Pat. und *Bombardiella* v. H. in Beziehung zu *Bombardia* Fries, die nach Fragm. No. 117 von *Podospora* Ces. kaum verschieden ist. Wäre daher den Sorariaceen anzuschließen.

*Actidium* Fries wurde aufgestellt in Observat. mycolog. 1815, I. Bd., p. 190, Taf. III, Fig. 1. Die Typus-Art ist hier *Actidium Acharii* Fr. Dieser Pilz ist nach der Abbildung gewiß nichts anderes als *Eutypa Acharii* Tul. oder eine verwandte *Eutypa*-Art.

Maßgebend ist jedoch Fries, Syst. mycol. 1823, II. Bd., p. 593 wo die Typus-Art *Actidium hysteroides* Fr. ist. Von dieser Art konnte ich das Originalexemplar aus dem Herbar Fries in Upsala untersuchen. Schon die sternförmige Beschaffenheit des oberflächlich aufsitzenden Pilzes zeigt, daß der Pilz keine Hysteriacee sein kann, denn diese stammen zweifellos von den Lophiostomaceen ab, aus denen sich kein sternförmiger, oberflächlicher Pilz entwickeln kann. Obwohl der Pilz opak-schwarz ist und daher im allgemeinen keine Struktur zeigt, konnte ich doch an einer Stelle am Rande eine deutliche radiäre Anordnung der Zellen der Decke wahrnehmen. Ferner sah ich die Fruchtkörper stellenweise am Rande deutlich kurz braun gewimpert; und endlich war an einer Stelle ein Stückchen eines aus braunen, dazugehörigen Hyphen bestehendes Subikulum zu sehen. Aus diesen Angaben geht hervor, daß *Actidium hysteroides* Fr. gewiß keine Hysteriacee, sondern so gut wie sicher eine Lembosiee oder die Nebenfrucht einer solchen sein muß.

Fries führt in Syst. myc. l. c. *Hysterium globosum* Pers. als Synonym von *Actidium hysteroides* an. Ich fand in der Tat in Fries Herbar unter dem letzteren Namen einen schwarzen kugeligen Pilz aus Frankreich, gesammelt von Dufour. Dieser Pilz erwies sich als *Hysterium alneum* (Ach.) F. *pedicellatum* Schum. Damit stimmt der Umstand überein, daß Persoon in Synops. meth. Fung. 1801, p. 98 unmittelbar nach dem *Hysterium globosum* das *H. pulicare* (P.) = *H. alneum* (Ach.) behandelt.

*Aldona stella nigra* Raciborski (Paras. Algen u. Pilze Javas, Batavia 1900, I. Teil, p. 19) ist eine Phaciacee. Der Pilz entwickelt unter der Epidermis der Blattunterseite ein rundliches, großes, farbloses, gallertig-plektenchymatisches, 20—45  $\mu$  dickes, flaches, am Rande weiter wachsendes Stroma, in dem bis 2 cm lange, 0,5 mm breite strahlig nach außen verlaufende, oft gabelig verzweigte Fruchtkörper entstehen. Diese zeigen eine konkave, braunzellige 250  $\mu$  breite, 10—12  $\mu$  dicke Basalschicht und eine kohlige, opake, sich in und unter der Epidermis entwickelnde, 300 bis 500  $\mu$  breite, 30—50  $\mu$  dicke Decke, die mit einem Längsspalt aufreißt und die flache Fruchtscheibe ganz entblößt. Die linienförmigen Fruchtkörper entwickeln sich und reifen allmählich von der Mitte der Stromata ausgehend nach außen, wachsen also am Rande fort. Eine ganz eigenartige aber sichere Phaciacee.

*Angelina rufescens* (Schw.) Duby ist eine Cenangiee. Siehe Durand in Journ. Mycol. 1902, 8. Bd., p. 108.

*Alyographum* Libert 1834 (*Ailographum* Corda, *Aulacographum* Montagne, *Xylographum* Ces., *Aulographum* Sacc. und Aut.).

Die Typus-Art *A. Hederae* Lib. ist wie die meisten übrigen Arten eine Microthyriace-Lembosiee.

*Lembosiopsis* Theiß. (Ann. Myc. 1913, XI. Bd., p. 435) fällt offenbar mit *Aylographum* Lib. zusammen.

*Aporia* Duby (Mém. Soc. Phys. hist. nat. Genève 1861, XVI. Bd., p. 51) ist zu streichen. Sind ganz unreife Arten von *Lophodermium* Chev. und *Lophodermellina* v. H. Die Paraphysen mit ihren Ölträpfchen wurden für Schläuche und Sporen gehalten.

*Baggea* Auerswald (Hedwigia 1866, V. Bd., p. 1, 1868, Taf. I., Fig. 9) wurde vom Autor zu den Hysteriaceen gestellt. Rehm versetzte dieselbe in seinem Diskomyzetenwerke zu den Patellariaceen, jedoch 1912 in Ber. Bayr. bot. Gesellsch. München, XIII. Bd., p. 105 wieder zurück zu den Hysteriaceen, wo sie auch in der Sylloge Fungorum steht. Boudier behandelt die Gattung nicht.

Die Untersuchung des von Rehm gesammelten Exemplares in Thümen, Mycoth. univers. No. 278, von *Baggea pachyascus* Awd. zeigte mir, daß der Pilz ein Diskomyzet ist, der am besten als Patellariacee eingereiht wird.

Derselbe sieht äußerlich einem *Glonium* täuschend ähnlich. Er entwickelt sich in den äußersten Schichten von entrindeten, morschen Eichenästen, steht aber oberflächlich. An Querschnitten sieht man, daß er mit verschmälterter, fast kurzstieliger Basis aufsitzt und weit schalenförmig offen ist. Das Gewebe ist weichkohlig, kleinzelig parenchymatisch, Zellen etwa 3—4  $\mu$  groß. Das Excipulum ist unten 20  $\mu$  dick und wird nach oben dünner. Die Fruchtscheibe ist oben breit flach und schwarz, da die zahlreichen, fädigen Paraphysen ein dickes, schwarzes Epithecium bilden, das oft ein geschlossenes Gehäuse vortäuscht. Der Pilz ist meist langgestreckt, spindelförmig, öffnet sich dann der Länge nach; damit ist er jedoch noch keine Hysteriacee; dasselbe kommt natürlich bei allen schmalen, gestreckten Diskomyzeten vor, wie *Angelina*, *Rhytidhysterium*, ferner auch bei linienförmigen Microthyriaceen, wie *Lembosia*, *Morenoëlla*, *Aylographum*. Überdies ist *Baggea* oft rundlich, mit eben solcher Öffnung.

*Colpoma quercinum* (P.) Wallroth (*Colpoma nigra* (Tode) v. H.) ist eine mit *Therrya* Penz. et Sacc. 1882 (= *Coccophacidium* Rehm 1888) verwandte Phaciadiacee, die sich unter dem Periderm entwickelt.

*Cycloschizion Brachylaenae* (Rehm) P. Henn. ist eine Parmulinee (Ann. Myc. 1915, XIII. Bd., p. 206).

*Delphinella* Saccardo (Syll. Fung. 1891, IX. Bd., p. 1103) als UnterGattung von *Glonium*. *Pleodothis* Clements 1909 (Genera of Fungi, Minneapolis, p. 56) ist damit synonym. Ebenso jedenfalls auch *Hariotia* Karsten 1889 und *Plowrightiella* Sacc. 1895. Ist eine Dothioreengattung mit vielsporigen Schläuchen.

*Delpinoëlla* Sacc. 1899 (Syll. Fung. XVI. Bd., p. 658) ist nach der Beschreibung in Ann. Myc. 1917, XV. Bd., p. 452 eine Sphaeriacee, mit *Erikssonia*, *Paidania* und *Periaster* verwandt.

*Dielsiella* P. Henn. 1903 ist eine Parmulineengattung (Ann. Myc. 1915, XIII. Bd., p. 208).

*Erikssonia pulchella* Penz. et Sacc. (Icon. Fung. jav. 1904, p. 62) ist eine mit *Paidania* Racib. verwandte Sphaeriacee (Ann. Myc. 1915, XIII. Bd., p. 314).

*Graphyllum* Clements 1901 (Syll. F. XVII, Bd., p. 913) wäre angeblich von *Hysterographium* durch dünnhäutige Fruchtkörper verschieden. Ist eine langgestreckte *Clathrospora* Rabh.

*Hadotia nivalis* Maire 1906 (Syll. F. XXII. p. 574) muß nach der Beschreibung eine Lembosiee mit fadenförmigen Sporen sein.

*Actidium pulchellum* Rick (Broteria 1905, IV. Bd., p. 161) scheint auch eine *Hadotia* zu sein.

*Henriquesia lusitanica* Passerini et Thümen ist nach dem Originalexemplare in v. Thümen, Herb. myc. oecon. No. 690, auf dem sich auch die Originalbeschreibung findet, ein Diskomyzet, der sich von *Scleroderris* fast nur durch die einzelligen Sporen unterscheidet. Die Gattung ist daher zu den Heterosphaeriaceen zu stellen.

Der Pilz entwickelt unter dem Periderm ein schwarzes, stark hervorbrechendes Stroma, das aus parallel senkrecht gereihten, offenen, mäßig dünnwandigen, etwa 6—8  $\mu$  großen Parenchymzellen besteht und etwa 80  $\mu$  dick ist. Auf dem Stroma sitzen mit verschmälerter Basis, manchmal kurz gestielte, 400—800  $\mu$  breite, runde oder längliche bis 300  $\mu$  hohe schwarze, ledrige, trocken fast horngige Apothezien, die sich ganzrandig, rundlich oder länglich öffnen. Das Excipulum ist bis zum am Querschnitte abgerundeten Rande fast gleichmäßig etwa 60  $\mu$  dick und besteht aus etwa 15 Schichten von in Längsreihen liegenden braunen, offenen, kaum gestreckten, 6—8  $\mu$  großen, mäßig dünnwandigen Parenchymzellen. Die unten oft konische Subhymenialschicht ist farblos parenchymatisch, etwa 50—60  $\mu$  dick. Die Hymenialschicht ist 130  $\mu$  dick und besteht aus zahlreichen, dünnen fädigen Paraphysen, die länger als die Ascii sind, aber kein gefärbtes Epithezium bilden, und überall gleichmäßig dünnwandigen, zylindrisch-keuligen, oben abgerundeten, unten in einen kurzen 4  $\mu$  dicken Stiel verschmälerten 96—100  $\approx$  15—17  $\mu$  großen, achtsporigen Schläuchen, die mit Jod keine Färbung geben. Die zweireihig liegenden Sporen sind hyalin, einzellig, länglich-spindelig oder etwas keulig, mit verschmälerten, abgerundeten Enden, gerade oder schwach gebogen und 22—40  $\approx$  4—7  $\mu$  groß. Sie haben einen gleichmäßig feinkörnigen oder homogenen Inhalt ohne Ölträpfchen.

*Henriquesia italica* Cav. et Sacc. ist nach den Angaben und Figuren von Paoli in Nuovo Giorn. bot. ital. 1905, XII. Bd., Append. p. 92 eine typische *Patinella*, mit dickem oliv-braunem Epithezium und hat *Patinella italica* (Cav. et Sacc.) v. H. zu heißen. Eine Angabe über die Jodreaktion fehlt.

*Hypoderma* D. C. und *Hypodermella* Tubeuf sind Hypodermeengattungen, haben mit den Hysteriaceen nichts zu tun.

*Hypodermopsis Sequoiae* Earle 1902 (Syll. F. XVII, p. 909) wird nach der Beschreibung eine Phaciacee mit vierzelligen braunen Sporen sein.

*Hysteriopsis brasiliensis* Spegazz. 1906 (Syll. F. XXII, p. 571) ist nach der Beschreibung von *Hysteropsis* Rehm 1887 ganz verschieden und sicher ein Diskomyzet.

*Hysteropatella* Rehm 1890 (Hysteriaceen und Discomyc. 1887—96, p. 367) mit der Typusart: *H. Prostii* (Duby) R. wurde von Rehm anfänglich zu den Patellariaceen, 1912 jedoch zu den Hysteriaceen gestellt.

Die Untersuchung der Typusart zeigte mir, daß dieselbe eine Patellariacee ist, die äußerlich einem *Glonium* gleicht, jedoch eine im Querschnitte flache Fruchtscheibe zeigt, mit schwarzem Epithezium. Sieht mikroskopisch ganz einer *Baggea* gleich, nur ist das weichkohlige Gehäuse derbwandiger und unten flach.

*Hysteropsis* Rehm 1887 ist nach Fragm. No. 395, VIII. Mitt. 1909 eine eigenartige Phaciacee. Die wiederholte Untersuchung hatte dasselbe Ergebnis. Siehe Ann. Myc. 1917, XV. Bd., p. 328.

*Hysterostomella* Spegazz. 1883 gehört zu den Parmulineen (Ann. Myc. 1915, XIII. Bd., p. 222).

*Lembosia* Léveillé 1843 gehört zu den Microthyriaceen, s. Theissen in Ann. Myc. 1913, XI. Bd., p. 425.

*Lembosiella* Sacc. Ebenso.

*Lophodermella* v. H., gegründet auf *Hypodermella sulcigera* (Link) Tubeuf, muß zu den Phaciaceen gestellt werden.

*Lophodermium* Chevallier 1826 ist nach der Typusart: *L. arundinaceum* (Schrad.) Chev. eine Phaciacee, von *Lophodermella* v. H. durch die Sporen verschieden.

*Lophodermellina* v. H. umfaßt die bisherigen *Lophodermium*-Arten, die sich intraepidermal (d. h. in der Epidermis) entwickeln. Gehört zu den Dermopeltineen v. H.

*Mendogia* Raciborski 1900 (Paras. Alg. u. Pilze Javas, Batavia, III. Teil, p. 31) ist eine Parmulineengattung. Damit ist synonym *Uleopeltis* P. Henn. 1904 (Ann. Myc. 1915, XIII. Bd., p. 217). *Uleopeltis bambusina* Syd. 1914 ist wahrscheinlich identisch mit *Mendogia bambusina* Racib. 1900. *Uleopeltis manaensis* P. Henn. muß heißen *Mendogia manaensis* (P. H.) Theiß. et Syd.

*Merilliopelets Calami* P. Henn. 1908 ist nach Fragm. No. 694, XIII. Mitt. 1911, eine einfache Sphaeriacee, mit *Didymella* verwandt.

*Microstelium hyalinum* Patouillard (Bull. soc. myc. France, 1899, XV. Bd., p. 208, Taf. IX, Fig. 1) wird als eine Hypocreacee beschrieben und als mit *Barya* und *Acrospermum* verwandt erklärt. Jedenfalls keine Hysteriacee, bei denen sie in der Syll. Fung. XVI. Bd., p. 672 steht.

*Morenoëlla* Spegazzini ist eine Lembosieengattung. S. Theissen in Ann. Myc. 1913, XI. Bd., p. 427.

*Nymanomyces Accris-laurini* (Pat.) Racib., der Typus der angeblichen Hysteriaceen-Gattung *Nymanomyces* P. Henn. (*Monsunia*, Leipzig, I, p. 28), ist nach genauer Untersuchung eine intraepidermale Dermopeltinee mit mächtig entwickeltem Stroma.

*Ostropa* Fries 1849 ist eine mit *Robergea*, *Stictis*, *Schizoxylon*, *Apostemidium* und *Vibrissa* nahe verwandte Diskomyzettengattung.

*Parmularia* Léveillé ist eine ganz unreife *Schneelia* Speg. (Ann. Myc. 1915, XIII. Bd., p. 199).

*Parmulariella* P. Henn. ch. em. v. Höhnel gehört zu den Parmulineen (Fragm. No. 639, XII. Mitt. 1910 und Ann. Myc. 1915, XIII. Bd., p. 205).

*Phragmographum* P. Henn. 1905 ist nach Fragm. No. 682, XIII. Mitt. 1911 eine Flechte, *Opegraphella* Müll. Arg.

*Pleoglonis* Clements 1909 = *Delphinella* Sacc.

*Pseudographis* Nylander 1855 ist eine Tryblidiaceengattung.

*Rhytidhystereum* Spegazzini 1882 steht in der Syll. Fung. bei den Hysteriaceen. Rehm (Ann. Myc. 1904, II. Bd., p. 523) erkannte, daß sich die Gattung von *Tryblidiella* Sacc. (= *Tryblidium* Dufour (non Rebentisch)) nur durch die Sporen unterscheidet. Er nimmt *Rhytidhystereum* als Untergattung von *Tryblidiella* Sacc., und gibt an, daß diese Gattung zu den Dermateaceen gehört. *Tryblidiella* stellte Rehm 1889 zu den Cenangieen. Erst 1912 erkannte er, daß die Gattung zu den Tryblidiaceen gehört, was ganz richtig ist. Zu diesen gehören noch die Gattungen *Tryblidiopsis* K., *Pseudographis* Nyl., *Tryblidium* Rbtisch. und *Melachroia* Boud. Auch *Crumenula* de Not. wird hier besser stehen als bei den Cenangieen.

*Robergea* Desmazières 1847 gehört, wie ich mich überzeugte, trotz der Ähnlichkeit mit einem Pyrenomyzeten zu den Diskomyzeten, wie schon Rehm annahm. Siehe Ann. Myc. 1917, p. 335.

*Schizacrospermum filiforme* P. Henn. 1899 ist nach Fragm. No. 693, XIII. Mitt. 1911 eine Sphaeriacee, *Ophioceras* Sacc.

*Schizothyrium acerinum* Desm. 1849, der Typus der Gattung, ist nach dem Originalexemplare eine Thrausmatopeltinee. *Schizothyrium* Desm. 1849 = *Epipeltis* Theiß. 1913 (Die Gattung *Asterina*, Wien 1913, p. 26).

*Schneelia* Spegazzini 1883 ist eine Parmularinee (Ann. Myc. 1915, XIII. Bd., p. 199).

*Syngonium* Penzig et Sacc. 1904 ist nach Fragm. No. 446, IX. Mitt. 1909 alte, infizierte *Nymanomyces* P. Henn. und daher zu streichen.

*Sporomega degenerans* (Fries) Corda 1842 ist ein *Lophodermium* Chev., das sich unter dem Periderm kräftig entwickelt. *Sporomega* Cda. und *Colpoma* Wallr. bleiben erhalten.

*Tryblidiella* Sacc. = *Tryblidium* Dufour (non Rebentisch) gehört zu den Tryblidiaceen (s. Ann. Myc. 1904, II. Bd., p. 522). Sporen braun, zweizellig.

*Tryblidium calyciforme* Rebentisch 1804 ist eine Tryblidiacee mit hyalinen, mauerförmig geteilten Sporen.

CCLXXIII. Über die Gattung *Phaeosphaerella* Karsten.

Diese Gattung wurde 1880 in Meddelang. Soc. Faun. et Fl. Fenn., 16. Heft, p. 28 auf Grund der *Sphaeria macularis* Fries (Syst. mycol. 1823, II. Bd., p. 502) aufgestellt.

Die heutige Synonymie dieses Pilzes ist nach Traverso (s. Ann. Myc. 1912, X. Bd., p. 421): *Phaeosphaerella macularis* (Fr.) Trav.; *Sphaeria geographica* Fr.; *Sphaeria Perisporium* Corda; *Sphaerella macularis* Auersw. usw.; *Sphaerella maculosa* Sacc.; *Phaeosphaerella maculosa* (Sacc.) Karsten.

*Phaeosphaerella* soll sich von *Sphaerella* nur durch die gefärbten Sporen unterscheiden.

Ich habe nun von der Typusart zwar kein Originalexemplar gesehen, es ist aber gewiß, daß das gut ausgereifte Exemplar in der Mycoth. march. No. 3265, das mit Winters ausführlicher Beschreibung stimmt, derselbe Pilz ist.

Die Untersuchung dieses Exemplares hat mir nun gezeigt, daß *Phaeosphaerella macularis* eine Pseudosphaeriacee ist. Die dicht herdenweise auftretenden, eingewachsenen, mit dem Scheitel durch die Epidermis dringenden Stromata sind fast kugelig und nur 85—120  $\mu$  groß. An der Basis sind sie blaß, oben ist eine 12  $\mu$  dicke Kruste vorhanden, die nach unten hin allmählich dünner wird und aus wenigen Lagen von deutlichen, 6—10  $\mu$  großen, eckigen, wenig abgeflachten Parenchymzellen besteht. Der einzige Lokulus ist mit einem weichen, hyalinen Gewebe ausgefüllt, in dem die fast zylindrischen, etwa 60  $\times$  12  $\mu$  großen Schläuche parallel liegen. Sie grenzen zum Teile aneinander, zum Teile sind sie durch schmale, hyaline Zellreihen voneinander getrennt. Oben bildet sich ein rundliches, 20—25  $\mu$  großes Ostiolum aus.

Man ersieht daraus, daß der Pilz ganz anders als *Sphaerella* gebaut und eine winzige Pseudosphaeriacee ist.

Auch die von mir in Fragm. z. Myk. 1913, XV. Mitt., No. 799 beschriebene *Phaeosphaerella Aceris* ist, wie mir die wiederholte Untersuchung zeigte, eine Pseudosphaeriacee.

Dasselbe gilt für *Phaeosphaerella phaeidasca* (Schröter) in Pilze Schlesiens, II. Bd., 1897, p. 342 (sub *Mycosphaerella*). Hier entstehen die herdenweise auftretenden Stromata in der Epidermis, sind 100  $\mu$  breit und 75  $\mu$  dick; unten sind sie blaß, oben zeigen sie eine aus 4  $\mu$  breiten Zellen bestehende 10  $\mu$  dicke Kruste. Die wenigen, 44—56  $\mu$  langen, 16—22  $\mu$  dicken Ascii sind in einem hyalinen Gewebe eingebettet. Die 24—26  $\times$  8  $\mu$  großen zweizelligen Sporen sind olivengrün, werden zuletzt braun und nach ihrer Ausstoßung vierzellig. Hierdurch bildet der Pilz einen Übergang zur Gattung *Scleroplecta* v. H.

Was *Phaeosphaerella Juncaginearum* anlangt, so wird dieser von Schröter (l. c.) beschriebene Pilz jedenfalls auch eine hierher gehörige Pseudosphaeriacee sein. Allein Schröter hat zu demselben das *Asteroma*

*Juncaginearum* Rabenhorst (Deutschl. Krypt. Flora 1844, p. 140) als steriles Myzel gezogen. Dieses gehört gewiß nicht dazu. Es ist dies mit genügender Sicherheit aus den von Desmazières in Pl. crypt. France 1850, No. 1989 ausgegebenen beiden Exemplaren zu ersehen. Dieselben sind mit dem Namen *Asteroma Calvadosii* Roberge bezeichnet und in Ann. scienc. nat. Botan. 1851, 3. Ser., 16. Bd., p. 302 beschrieben.

Das eine Exemplar auf *Triglochin palustre* zeigt nur das sterile Myzel. Das andere auf *Triglochin maritimum* zeigt neben dem *Asteroma*-Myzel noch unreife Perithezien in großer Zahl, die teils mitten im *Asteroma*-Myzel liegen, teils zerstreut auf den Stängeln daneben. Diese unreifen Perithezien hat schon Desmazières als zum *Asteroma*-Myzel gehörig richtig erkannt. Die nähere mikroskopische Untersuchung hat mir gezeigt, daß das *Asteroma*-Myzel genau die gleiche schwarz-violette Färbung wie die Perithezienmembranzellen hat und von diesen ausgeht. Beide gehören zweifellos zusammen. Die Perithezien sind nun von Schröters *Mycosphaerella Juncaginearum* völlig verschieden. Sie sind schwarz, flach, rundlich, oben häufig genabelt, 300  $\mu$  breit und 130  $\mu$  dick und entstehen ein paar Zellagen unter der Epidermis. Außen zeigen sie eine schwarze, 4—12  $\mu$  dicke, fast opake, ringsherumgehende, parenchymatische Kruste und innen einen hyalinen, deutlich zelligen Nukleus, in dessen Mitte eine kleinzellige Partie zu sehen ist, die der Ort ist, wo die Entwicklung der Ascí beginnt.

Es gelang mir auch festzustellen, was aus diesen unreifen Fruchtörpern wird, da ich genau die gleichen Fruchtörper, ebenso unreif, aber daneben auch ausgereift an dem Exsikkate in der Mycoth. marchica No. 9886 unter dem unrichtigen Namen *Pleospora Triglochinis* Har. et Br. fand.

Dieses Exsikkat zeigt neben einer, wie es scheint neuen *Leptosphaeria* (Sp. 24  $\approx$  6—7  $\mu$ , vierzellig) sehr wenig *Asteroma*-Myzel und neben ganz unreifen auch gut ausgereifte Perithezien einer neuen *Scleroplea* (Sporen 32—40  $\approx$  14—16  $\mu$ , mit 7 Querwänden; Ascí 120—150  $\approx$  35—48  $\mu$ ). Da *Asteroma*-Myzel vorhanden ist und die unreifen Perithezien vollkommen mit denen im Exsikkate Desmazières' übereinstimmen, so ist kein Zweifel, daß die *Scleroplea* der reife Zustand des Pilzes von Desmazières ist.

Derselbe muß nun *Scleroplea Juncaginearum* (Rabenh.) v. H. genannt werden. *Asteroma Juncaginearum* Rab. = *Asteroma Calvadosii* Roberge sind der sterile, resp. unreife Zustand desselben.

Schröters Pilz muß *Phaeosphaerella Juncaginearum* (Schröter) (non Rabenhorst-Lasch) genannt werden.

*Ectostroma Triglochinis* Oudemans (Ned. Kruidk. Arch., 3. Ser., 11. Bd., 1. Stück, p. 324) ist offenbar gleich *Asteroma Juncaginearum* Rhb.

#### CCLXXIV. Über *Spaeria Myricariae* Fuckel.

Der in Fuckel, Symb. myc. 1873, II. Ntr., p. 22 beschriebene Pilz ist in den F. rhen. No. 2437 ausgegeben. Saccardo reihte ihn als *Sphaerella* ein (Syll. Fung. 1882, I. Bd., p. 491). Winter stellt ihn jedoch

nur mit Zweifeln in diese Gattung, da er zwischen den Schläuchen eine Masse fand, die er als vielleicht aus Paraphysen entstanden hält. Die Untersuchung zeigte mir, daß derselbe eine Pseudosphaeriacee ist, die von *Wettsteinina* gattungsverschieden ist und die neue Gattung *Mycosphaerellopsis* darstellt.

Die bis  $200\text{ }\mu$  großen, rundlichen, oben flachkegelig verschmälerten Stromata sind ganz parenchymatisch aufgebaut. Die dunkelbraune Kruste ist  $15-20\text{ }\mu$  dick und geht allmählich in das hyaline Binnenparenchym über. Ein Ostiolum fehlt. Die parallelstehenden keuligen Schläuche sind anfänglich durch Reihen von gestreckten Zellen voneinander getrennt.

Der Pilz hat *Mycosphaerellopsis Myricariae* (Fuck.) v. H. zu heißen.

Zu den Pseudosphaeriaceen (s. Verh. zool.-bot. Ges. Wien 1916, 66. Bd., p. 313) sind nun noch zu stellen *Phaeospharella* Karst., *Scleroplella* v. H., *Monascostroma* v. H.; *Mycosphaerellopsis* v. H., *Physalospora* Nießl (= *Pyreniella* Theiß), *Hypoplegma* Th. et Syd., *Pseudoplea* v. H.

### CCLXXV. Über *Leptosphaeria personata* Nießl.

Der Pilz ist in Rabenhorst, F. europ. No. 1933 ausgegeben und beschrieben. Nach Berlese, Icon. Fung. 1894, I. Bd., p. 60, Taf. 46, Fig. 3 ist *Leptosphaeria obesula* Sacc. damit identisch. Allein seine Abbildung zeigt ganz anders geformte Sporen, als Nießls Originalexemplar. Dazu kommt noch der Umstand, daß die *L. obesula* bisher nur auf dikotylen Pflanzen (*Angelica*, *Spiraea*, *Acer* nach Mouton), während die *L. personata* N. bisher nur auf *Aira caespitosa* angetroffen wurde. Danach halte ich Berleses Angabe für falsch. Leider enthält mein Originalexemplar von *L. obesula* in Roumeguère, F. sel. exs. No. 4953 keine Spur des Pilzes. Ebenso sind die Exsikkate Roumeg., F. sel. exs. No. 4343 und Sydow, Myc. marchica No. 4237 falsch.

Nach der Beschaffenheit der Ascii gehört *L. obesula* sehr wahrscheinlich mit *L. personata* in dieselbe Gattung, doch werden sie spezifisch verschieden sein.

Die Untersuchung des Originals von *L. personata* Nießl hat mir nun gezeigt, daß der Pilz eine neue interessante Pseudosphaeriaceengattung darstellt, die ich *Scleroplella* nenne.

Die die Halme in dichten Heerden rings umgebenden Stromata entstehen einige Zell- oder Faserlagen unter der Epidermis, sind bald rundlich oder länglich und  $70-100\text{ }\mu$  dick. Die kleinsten sind nur  $150 \asymp 120\text{ }\mu$  groß, meist sind sie aber  $200-360\text{ }\mu$  lang und  $100-180\text{ }\mu$  breit. Das darüber liegende Gewebe reißt spaltig auf und werden so die Stromata bloß gelegt. Innen und unten ist das Stromagewebe hyalin, plektenchymatisch, weich- und kleinzelig. Oben und seitlich zeigt sich eine  $8-20\text{ }\mu$  dicke Kruste, die aus vielen Lagen von offenen, dünnwandigen, unregelmäßig polyedrischen, braunen  $4-6\text{ }\mu$  großen Zellen besteht. Von oben gesehen zeigen die Stromata je nach ihrer Größe 1—11 meist rund-

liche, etwa 40—50  $\mu$  breite hellere Stellen, unter welchen man die Schläuche sehen kann. An diesen helleren Stellen bilden sich schließlich kleine Öffnungen, durch welche die Sporen austreten. Man glaubt, daß die Stromata abgegrenzte Lokuli besitzen; von solchen ist jedoch an Querschnitten nichts zu sehen, dabei sind jedoch die Schläuche nicht regellos im Stromagewebe eingebettet, sondern sie stehen in konischen Gruppen, so zwar, daß bei guter Entwicklung unter jeder der hellen Stellen der Stromakruste eine solche konische Gruppe zu stehen kommt. Die kleinsten Stromata zeigen nur eine Austrittsöffnung, die größeren mehrere und verhalten sich so, als wenn sie miteinander verschmolzen kleine Stromata wären. Dadurch bildet der Pilz einen Übergang von *Wettsteinina*, *Pyrenophora* usw. zu den zusammengesetzten Formen.

Die Schläuche sind sehr verschieden gestaltet, meist birnförmig-rhomboïdisch und 40—60  $\approx$  21—24  $\mu$  groß. Die zu 8 zwei- bis dreireihig im Askus liegenden, schön oliv-braun gefärbten, stets vierzelligen Sporen haben eine ziemlich derbe Wandung und zarte Teilungswände. Sie sind meist 24—26  $\approx$  7—8  $\mu$  groß und in der Mitte schwach eingeschnürt; die obere ellipsoidische Hälfte ist etwas breiter als die untere mehr zylindrische. Die Enden sind breit abgerundet.

*Scleroplella* v. H. n. G. (Pseudosphaeriaceae).

Stromata eingewachsen, rundlich oder länglich, einfach (d. h. mit einer Austrittsöffnung) oder zusammengesetzt (mit 2 bis mehreren Austrittsöffnungen), innen weich und blaßzellig-plectenchymatisch, außen mit einer braunen Kruste versehen, an der Basis (stets?) blaß. Ascii in Gruppen eingewachsen, aneinanderstossend oder durch Gewebsplatten getrennt, kurz und breit, achtsporig. Bildung von Lokuli fehlend. Sporen braun, quergeteilt, mehrzellig.

Typus-Art: *Scleroplella personata* (Nießl) v. H.

Syn.: *Leptosphaeria personata* Nießl.

Gewiß gehören noch andere *Leptosphaeria*-Arten in die Gattung, insbesondere sind jene Arten, die kurze dicke Schläuche und keine Paraphysen sowie mehr kurzzylindrische Sporen haben, daraufhin zu prüfen.

*Lepidosphaeria Silens acaulis* de Not. ist nach dem, was ich an dem schlecht entwickeltem Exemplare in Rabh.-Wint., F. europ. No. 2765 gesehen habe, gewiß eine *Scleroplella*. Die Pseudothezien sind hier birnförmig, etwa 100  $\mu$  hoch und 60  $\mu$  breit.

*Leptosphaeria Plemeliana* Nießl (Österr. bot. Ztschr. 1881, 41. Bd., p. 346) habe ich nicht gesehen, gehört aber nach der Beschreibung „Paraphysen zart, spärlich“ sehr wahrscheinlich zu *Scleroplella*.

*Sphaerella primulaccola* Winter (Hedwigia 1880, 19. Bd., p. 166), von Saccardo zu *Leptosphaeria*, von Berlese (Icon. Fung. 1894, I. Bd., p. 123) zu *Sphaerulina* gestellt, soll oberflächliche Perithezien haben. Allein nach

dem schlecht entwickelten Originalexemplare in Rabenh.-Wint., F. europ. No. 2849 entstehen sie unter der Epidermis und stehen erst nach dem Abwurfe derselben scheinbar oberflächlich; ist gewiß eine nur 80—100  $\mu$  große, kugelige *Scleroplectella*. Ich halte es für zweckmäßig, die verschiedenen Arten von Perithezien-ähnlichen Fruchtkörpern mit eigenen Namen zu belegen, wie, Pseudothezien (Pseudophaeriaceen), Dothithezien (einhäusige Stromata der dothidealen Pilze), Lophiothezien (Lophiostomaceen), Hysterothezien (Hysteriaceen), Katothezien (Trichothyriaceen), Thyrothezien (Microthyriaceen).

#### CCLXXVI. Über *Hendersonia (Piestospora) innumerosa* Desmazières.

Der Pilz ist beschrieben in Ann. scienc. nat. Bot. 1851, 3. Ser., 16. Bd., p. 305 und in Desmaz., Pl. crypt. France 1853, No. 71 ausgegeben. Die Untersuchung desselben zeigte mir, daß er eine neue Pseudophaeriaceengattung mit nur einem Schlauche im kleinen Stroma ist, mit zweizelligen grünlich- oder gelblich-hyalinen Sporen; ich nenne diese auffallende Gattung *Monascostroma*.

Die nur 36—50  $\mu$  großen rundlichen Stromata bekleiden die Halme von *Juncus maritimus* ringsum in großer Menge. Sie stehen in 1—2 Reihen in den schmalen Parenchymstreifen zwischen den subepidermalen Sclerenchymfaserbündeln. Sie entwickeln sich in den Atemhöhlen der Spaltöffnungen in Form eines rundlichen, kleinzelig parenchymatischen Gewebeballens, dessen oberer Teil durch die Spaltöffnungen hervorbricht und hier einen kalottenförmigen bis 60  $\mu$  breiten und 18  $\mu$  hohen Polster bildet, der die Spaltöffnungszellen ganz bedeckt und der Epidermis aufsitzt. Dieser Polster erscheint jedoch von der Cutikula bedeckt, zum Beweise, daß zu Beginn seiner Entwicklung die Spaltöffnungen noch geschlossen und unreif waren. Von den Polstern laufen subkutikuläre, graubräunliche, 3—5  $\mu$  breite, knorrige, stark septierte Hyphen aus, die der Hauptsache der Quere nach angeordnet sind und die hypodermalen Faserbündel kreuzend zu den anstoßenden Parenchymrillen der Halme gelangen.

Der Nukleus der Stromata ist hyalin, kleinzelig parenchymatisch. Die Wandung ist unten und seitlich etwa 6  $\mu$  dick, braun parenchymatisch. Im Nukleus sitzt stets nur ein kugeliger 25—28  $\mu$  großer, seltener breit-elliptischer 32  $\vee$  20  $\mu$  großer Schlauch, dessen oft dicke Wandung schließlich gelatinös wird. Im Schlauche liegen 8 grünlich- oder gelblich-hyaline, stets zweizellige, bogig gekrümmte, 20—27  $\vee$  4—7  $\mu$  große Sporen mit derber, gelatinöser Wandung. Die Sporen sind spindelig, mit verschmälert-abgerundeten Enden. Der reiche Plasmehalt der beiden Zellen ist zweiteilig. Jod gibt keine Blaufärbung der Asc. Bei der Reife öffnen sich die Stromata oben unregelmäßig, etwa 12  $\mu$  weit. Nach Kalilauge-Behandlung zerfallen die Sporen leicht in ihre zwei Hälften.

Der Pilz hat *Monascostroma innumerosa* (Desm.) v. H. zu heißen.

*Monascostroma* v. H. n. G.

Pseudosphaeriaceae. Stromata klein, sich in den Atemhöhlen entwickelnd und kalottenförmig vorbrechend, parenchymatisch, sich oben schließlich unregelmäßig, wenig öffnend. Im hyalinen parenchymatischen kleinzelligen Binnengewebe nur ein eikugeliger Schlauch. Sporen zu 8, subhyalin, zweizellig, ausgestoßen, im Alter bräunlich, zarthäutig.

Typus-Art: *Monascostroma innumerosa* (Desm.) v. H.

Syn.: *Hendersonia (Piestospora) innumerosa* Desmaz. 1851.

*Stagonospora innumerosa* (Desmaz.) Sacc. 1884.

Auf der Epidermis sieht man zwischen den Stromaten zahlreiche graubräunliche, zarthäutige, zweizellige Sporen, scheinbar ohne Inhalt,  $28-30 \times 8-9 \mu$  groß. Die obere Zelle ist wenig breiter und länger als die untere. Die Enden sind etwas verschmälert abgerundet. Dies sind die ganz reifen ausgeworfenen Sporen des Pilzes.

Da nur ein Schlauch im Lokulus liegt, könnte man auch daran denken, den Pilz als Myriangiacee aufzufassen. Da derselbe jedoch eingewachsen ist und oben sich schließlich öffnet, liegt seine Verwandtschaft doch noch näher bei den Pseudosphaeriaceen. Immerhin bildet der Pilz ein interessantes Bindeglied zwischen diesen Abteilungen.

CCLXXVII. Über die Gattung *Physalospora* Nießl.

Das Originalexemplar der Typus-Art dieser 1876 in Verh. naturw. Ver. Brünn, XIV. Bd., p. 170 aufgestellten Gattung, *Ph. alpestris* N. ist nach Nießls Mitteilung an Theissen (Ann. Myc. 1914, XII. Bd., p. 183) nicht mehr vorhanden. Letzterer hat nun nach Nießls Angaben angenommen, daß *Physalospora alpestris* eine einfache, eingewachsene Sphaeriacee mit Paraphysen und einzelligen, hyalinen Sporen ist und davon ausgehend eine Revision der Gattung in Verh. zoolog.-bot. Ges. Wien 1916, 66. Bd., p. 365 vorgenommen, die er in den Ann. Myc. 1916, XIV. Bd., p. 409 fortsetzte. Er prüfte im ganzen 107 Arten und fand, daß nur 13 Arten davon gute *Physalospora*-Arten in seinem Sinne sind.

Es ist aber klar, daß diese Revision auf ganz unsicherer Basis steht, denn auch aus den besten älteren Beschreibungen selbst der gewissenhaftesten Autoren kann man für die heutige Systematik der Askomyzeten und ihrer Nebenfruchtformen nichts Sichereres entnehmen, da damals niemand wußte, was eine Dothideacee eigentlich ist, zu schweigen von den Pseudosphaeriaceen. Damals sah jeder Autor Paraphysen und Mündungsöffnungen, auch wenn keine da sind, und Berlese bildet in seinen Icones Fungorum noch 1902 bei *Coronophora* Ostiola ab, wo keine Spur davon vorhanden ist.

Was nun die *Physalospora alpestris* anlangt, so geht schon aus Nießls Angaben hervor, daß dies ein höchst charakteristischer Pilz ist, der trotz seiner Kleinheit sehr große Schläuche und Sporen hat, was ganz ungewöhnlich ist. Dieser Umstand in erster Linie, sowie namentlich der, daß

die nach der Beschreibung offenbar verwandte *Physalospora Festucae* (Lib.) Sacc. eine Pseudosphaeriacee ist, wovon ich mich ebenso wie Theißens überzeugt habe, ließen in mir die Vermutung aufkommen, daß auch *Ph. alpestris* eine solche ist.

Im Verfolge dieses Gedankens schien es mir wahrscheinlich, daß letzterer Pilz, der auf Blättern von *Carex sempervirens* in der Gegend von Prein in Niederösterreich entdeckt, dann aber auf solchen von *Carex alba* in der Schweiz wieder gefunden wurde, offenbar gar nicht selten sein werde, aber bisher wenig beachtet wurde, wie so viele andere auf dünnen Grasblättern auftretende eingewachsene Pilze.

Dies erwies sich als tatsächlich so. Denn schon das dritte von mir geprüfte dürre Blatt von *Carex sempervirens* aus den niederösterreichischen Kalkalpen in meinem Herbar, zeigte mir den unverkennbaren Pilz in schönster Entwicklung.

Die Untersuchung erwies nun, daß der Pilz in der Tat eine interessante Pseudosphaeriacee ist. Die zerstreuten, oft in Reihen stehenden Stromata sind bald fast kugelig, bald zylindrisch, bis 170  $\mu$  breit, oder 180  $\mu$  hoch und 120  $\mu$  breit und direkt unter der Epidermis eingewachsen. Sie zeigen keine Spur einer Mündung und auch keine Papille oben, scheinen also die Epidermis nicht zu durchbohren, und erst nach dem völligen Vermorschen der dünnen Blätter frei zu werden. Die Kruste ist überall ziemlich gleichmäßig 20  $\mu$  dick und besteht aus 3—4 Lagen von 8—12  $\mu$  großen schwärzlichvioletten Zellen, die mehr minder abgeflacht sind. Das Binnengewebe besteht unten aus senkrecht parallelen Reihen von 3—5  $\mu$  breiten gestreckten Zellen, die oben über den Schläuchen in ein schleimig-verdicktes, hyalines unregelmäßiges Parenchym übergehen. Die ziemlich zahlreichen Schläuche sind dickkeulig, stiellos, oben derbwandig und abgerundet, bis  $110 \approx 16$ —24  $\mu$  groß. Sie geben mit Jod keine Blaufärbung und liegen parallel zwischen den senkrechten Zellreihen, die sich schließlich zu paraphysenähnlichen, zellig gegliederten Fäden voneinander trennen. Die zu 8 zweireihig liegenden Sporen sind sehr zarthäutig, zeigen einen feinkörnigen reichlichen gelblichgrünen Inhalt, sind beidendig abgerundet, länglich zylindrisch, einzellig und bis 26—28  $\approx 8$ —9  $\mu$  groß.

Der Pilz unterscheidet sich von *Physalospora Festucae* (Lib.) durch die noch peritheziennäheren Stromata und den Mangel einer durchbrechenden Scheitelpapille.

Da die jetztgenannte Art der Typus der Gattung *Pyreniella* Theiß. ist, so ist *Pyreniella* Theiß. 1916 = *Physalospora* Nießl 1876.

Jene 13 Arten, die nach Theißens Untersuchung echte *Physalospora*-Arten sein sollten, gehören in eine neue Gattung, die ich *Physosporella* nenne.

Unter Berücksichtigung von Theißens Angaben wären echte *Physalospora*-Arten: *Phys. alpestris* Nießl; *Festucae* (Lib.) Sacc.; *oxystoma* Sacc. et Ell.; *rhodina* Berk. et Curt.; *Geranii* Cke. et Mass.; *foliorum* (Sacc.) v. H.; *Pittospori* Alm. et Cam.; *fusispora* S. et R. (?); *Moutonii* S. et S. (?).

Echte *Physospora*-Arten wären: *Physospora sanguinea* (Rehm) v. H.; *Hoyae* v. H.; *Lepachidis* (E. et Ev.) v. H.; *inanis* (Schw.) Sacc. (?); *congensis* P. Henn.; *Phyllodii* (Cke et Mass.) v. H.; *Diedückei* (Jaap) v. H.; *necans* (Rehm) v. H.; *Coffeae* (Speg.) v. H. (?); *Symploci* (Rac.) v. H. (?); *Malbranchei* (K.) v. H.; *Calami* (Syd.) v. H.; *transversalis* (Syd.) v. H. Auch *Physospora Clarae bona* (Speg.) v. H. gehört hierher und ist keine *Plectosphaera* Th., welche Gattung nach meiner Untersuchung mit *Phyllachora* zusammen fällt.

Eine typische Pseudosphaeriacee ist die *Physalospora Rhododendri* (de Not.) Rehm = *Sphaerella Rhododendri* de Not. 1863 = *Physalospora alpina* Spegazz. 1880 mit 35—48  $\times$  8—12  $\mu$  großen Sporen mit gelblichem feinkörnigem Inhalt. Siehe die Figur 99, Taf. VII in Auerswald, Mycol. Europ. 1869. Rehm sagt (Ann. Myc. 1907, V. Bd., p. 536) „Paraphysen großzellig, fast parenchymatisch verklebt“.

*Physalospora neglecta* Petch (Ann. Bot. G. Peradeniya 1909. IV. Bd., V. p. 304) ist nach der Beschreibung gewiß eine echte Art der Gattung.

Ferner erachte ich als echte *Physalospora*-Arten nach den Beschreibungen noch: *Ph. hyperborea* Rostrup (XVI, p. 459) und *Lagunculariae* Rehm (l. c. p. 113).

### CCLXXVIII. Über *Pleosphaerulina Briosiana* Pollacci.

Der in Atti R. Ist. Bot. Univ. Pavia, nov. ser., vol. VII (1902) p. 51, Tab. III beschriebene Pilz ist in Briosi e Cavara, I. Fung. parass. No. 383, in D. Saccardo, Myc. ital. No. 1290 und in Krypt. exs. Mus. pal. Vindobon. No. 1816 ausgegeben.

Der Pilz wurde von Bubák in der Wiener landw. Zeit. 1909, No. 93 genauer beschrieben und abgebildet. Bubák übersah, daß der Pilz kein echtes Ostium hat und daß zwischen den wenigen Schläuchen kleine in Reihen oder schmalen Bändern stehende, oft etwas quergestreckte Zellen auftreten, was zeigt, daß der Pilz eine Pseudosphaeriaceae ist.

*Pleosphaerulina* Pass. 1891 (= *Pringsheimia* Schulzer 1866) ist eine zweigbewohnende, ganz deutlich stromatische Dothideacee, während der in Rede stehende Pilz einzeln stehende, kleine peritheziähnliche Pseudosphaeriazeen-Stromata hat, die oft nur einen einzigen Schlauch enthalten, doch auch 2—5 solche.

Der Pilz stellt eine neue Pseudosphaeriazeen-Gattung dar, die ich *Pseudoplea* nenne.

#### *Pseudoplea* n. G. v. H.

Pseudosphaeriacee. Stromata klein, peritheziähnlich, rundlich, eingewachsen, mit dem Scheitel vorbrechend. Ohne echtes Ostium, parenchymatisch. Schläuche knopfig sitzend, nur wenige, eiförmig, achtsporig, derbwandig, mit Jod keine Blaufärbung gebend, durch oft unvollkommene

Zellschichten voneinander getrennt. Sporen hyalin, länglich, mauerförmig geteilt.

Grundart: *Pseudoplea Briosiana* (Poll.) v. H.

Syn.: *Pleosphaerulina Briosiana* Pollacci 1902.

In die Gattung gehören gewiß noch mehrere als *Pleosphaerulina*, *Pleospora* und *Catharinia* beschriebene Arten.

Auf Papilionaceen sind mehrere Pilze beschrieben, die gewiß mit der *Pseudoplea Briosiana* nahe verwandt sind.

So *Pleosphaerulina Phaseoli* Syd. (Phill. Journ. Scienc. 1913, VIII. Bd., p. 271), *Pleospora americana* Ell. et Ev. (auf *Pisum*); *Pleospora hyalospora* Ell. et Ev. (auf *Lathyrus*); *Pleospora guaranitica* Speg. (auf Blättern krautiger Papilionaceen), ferner sind *Pleospora pallida* Sacc. et Speg. (auf *Plantago*); *Pleospora vitrea* Rostrup (auf *Potentilla*); *Sphaerulina Dryadis* Starbäck; *Pleosphaerulina californica* Berlese (auf Resedaceæ); *Catharinia Rostrupii* Berlese (auf *Poa*); *Catharinia Rubi* Oudem.; *Pleosphaerulina argentinensis* Spegazz. (auf *Datura*); *Pleosphaerulina smilacicola* Speg.; *Pleosphaerulina Oryzae* Miyake; *Pleosphaerulina Phragmitis* Rehm nach den Beschreibungen gewiß lauter *Pseudoplea*-Arten.

#### CCLXXIX. Über *Sphaerulina myrtillina* Fautr. et Sacc.

Der in Bull. Soc. Mycol. France, 1900, XVI. Bd., p. 21, Taf. II, Fig. 2 beschriebene Pilz ist nach den sicheren von Krieger und Wagner im Erzgebirge gesammelten Exemplaren (Rehm, Ascom. exs. No. 1433, Rabenh.-P., F. europ. No. 4463, Krieger, F. saxon. No. 1723) eine *Pseudosphaeria* mit vierzelligen, hyalinen, bis  $44 \times 21 \mu$  großen Sporen, deren beide mittlere Zellen nur je  $6 \mu$  hoch sind, während die Endzellen  $16 \mu$  hoch sind. Letztere haben einen grobkörnigen, erstere einen glänzenden homogenen Inhalt. Die Sporenhaut ist  $1.8 \mu$  dick. Die Stromata sind im Blattgewebe eingewachsen, oben flach und mit der Epidermis-außewand verwachsen, ohne Spur einer Mündung. Sie sind unregelmäßig gestaltet, etwa  $150 \mu$  hoch,  $120 \mu$  breit. Die Wandung ist oben schwarz,  $10 \mu$  dick, unten und seitlich braun, einzellschichtig und  $4 \mu$  dick, parenchymatisch. Das hyaline Binnengewebe ist außen kleinzellig parenchymatisch und zwischen den wenigen (etwa 4), sackförmigen, bis  $100 \times 46 \mu$  großen Schläuchen, gestrecktzellig. Die Schläuche sind kurz, unten knopfig. Ihre Wandung gleichmäßig  $4 \mu$  dick und färbt sich mit Jod nicht. Sehr viel Glykogen zwischen den bis 8 Sporen. Die Stromata sind außen von wenigen kurzen abstehenden Hyphenenden etwas rauh. Der bemerkenswerte Pilz hat *Pseudosphaeria myrtillina* (F. et S.) v. H. zu heißen.

#### CCLXXX. Über *Metasphaeria biseptata* Rostrup.

Von diesem 1904 in Norwegen auf Blättern von *Carex vesicaria* entdeckten Pilze, kenne ich zwar nur die kurze Beschreibung in der Syll. Fung. XVII. Bd., p. 704, allein es ist kein Zweifel, daß ein von W. Krieger

auf *Carex (stricta?)*-Blättern 1891 und 1892 bei Pirna in Sachsen gefundener Pilz dieselbe Art ist. In der Beschreibung sind über die Sporen keine Maßangaben vorhanden und wird offenbar unrichtigerweise gesagt, daß die unterste Zelle der Sporen doppelt so lang ist als die beiden oberen. Allein es ist bekannt, daß, wenn Schlauchsporen sehr ungleichzellig quer geteilt sind, stets die untere Zelle die kleinere ist.

Bei Kriegers Pilz treten die unter der Epidermis der Blattoberseite eingewachsenen, eiförmigen, oben verjüngten, 120—150  $\mu$  breiten, 150 bis 170  $\mu$  hohen Fruchtkörper auf den morschen Blättern meist in lockeren Längsreihen auf, die längliche, wenig deutliche Blattflecke und oft die ganzen Blätter bedecken. Um den Scheitel derselben sind in der Epidermis braune 3—4  $\mu$  breite, netzig oder parenchymatisch verbundene Hyphen eingewachsen, die graubraune Flecken bilden. Im übrigen sind die Fruchtkörper außen glatt und kahl; sie haben eine etwa 10  $\mu$  dicke Außenschicht, die aus wenigen Lagen von dunkelbraunen, ziemlich derbwandigen, etwas flachen, 8—12  $\mu$  großen Parenchymzellen besteht. Eine vorgebildete Mündung fehlt völlig, die Fruchtkörper reißen oben unregelmäßig ziemlich weit auf. Paraphysen fehlen. Die meist 6—8 Schläuche sind dickkeulig, ungestielt, derbwandig, achtsporig und 76—90  $\asymp$  16—22  $\mu$  groß. Sie sind in einem ölreichen, zarten, ziemlich spärlichen, gestreckten Parenchym eingelagert. Jod gibt keine Blaufärbung der Schläuche. Die Sporen liegen zweireihig, sind hyalin, elliptisch mit verschmälerten und abgerundeten Enden, manchmal etwas keulig, mäßig dünnwandig, auf einer Seite oft abgeflacht, stets dreizellig und 22—28  $\asymp$  7—8  $\mu$  groß. Die beiden unteren Zellen sind je 4—5  $\mu$  hoch, die obere ist 12—15  $\mu$  lang. Die Sporen sind nicht ganz gut ausgereift, aber ich sah sie auch außerhalb der Schläuche. Vermutlich ist Rostrups Originalexemplar noch weniger reif gewesen.

Aus dieser Beschreibung geht hervor, daß der Pilz eine *Pseudosphaeria* v. H. ist und *Pseudosphaeria bisepata* (Rostr.) v. H. zu heißen hat. Bekanntlich sind Schlauchpilze mit dreizelligen Sporen sehr selten, weshalb diese Form von größerem Interesse ist.

#### CCLXXXI. Über die Verwandtschaft der Gattung *Dothiora* Fries.

Im Fragment No. 76, II. Mitt. 1906 habe ich angegeben, daß *Dothiora* Fries, eine Gattung, die, wie dort erörtert, bis dahin sehr verschieden beurteilt worden ist, eine Dothideacee ist. Da damals eigentlich nicht festgestellt war, was eine Dothideacee ist, da ferner um diese Zeit auch die Myriangiaceen noch nicht sicher umschrieben und die von mir entdeckten Pseudosphaeriaceen noch unbekannt waren, so waren damals auch die Dothideaceen der einzige Ort, wo *Dothiora* vorläufig untergebracht werden konnte. Nachdem ich nun aber seither in einer Reihe von Fragmenten gezeigt habe, was eine Myriangiacee und eine Dothideacee ist

und daß es auch eine Reihe von scheinbar einfachen Sphaeriaceen gibt, die eigentlich stromatischer Natur sind und Beziehungen zu den Dothideaceen und Myriangiaceen erkennen lassen, nämlich die Pseudosphaeriaceen, und es hierdurch klar wurde, daß *Dothiora* keine Dothideacee sein könne, ist es an der Zeit, neuerlich an die Frage der Stellung der Gattung *Dothiora* heranzutreten.

Als ich *Dothiora* für eine Dothideacee erklärte, verglich ich sie mit *Monographus* und *Scirrhia*, da ich bei diesen Gattungen ebensowenig wie bei *Dothiora* eine Mündungsöffnung finden konnte. Betreffend *Dothiora* und *Monographus* ist diese Beobachtung ganz richtig. *Monographus* ist in der Tat eine *Phaciaceae* und keine Sphaeriacee, wie Theißens und Sydow (Ann. Myc. 1915, XIII. Bd., p. 190) angeben.

*Scirrhia* hingegen hat quergestellte in Längsreihen angeordnete Mündungen, die durch einen Längsriß in der darüber liegenden Epidermis freigelegt werden. Ich hatte offenbar zu alte Stücke untersucht, wo die Stromadecken bereits im Zerbröckeln begriffen waren. Übrigens ist Theißens und Sydows Beschreibung der *Scirrhia rimosa* falsch (l. c. p. 414).

Würde bei *Dothiora* das flache Hymenium regelmäßig entwickelt sein und die Decke als Ganzes abgeworfen werden, so könnte man daran denken, die Gattung zu den Phaciaceen zu stellen. Allein das Hymenium ist ganz unregelmäßig entwickelt und die Decke bröckelt ebenso unregelmäßig ab. Auch spricht der dothideale Aufbau des Stomas aus großen offenen senkrecht gereihten Zellen entschieden gegen die Auffassung von *Dothiora* als phacidialen Filz.

Vergleicht man ihn nun mit einigen typischen Myriangiaceen auf Querschnitten, so erkennt man, daß derselbe offenbar am nächsten mit *Myriangium* verwandt ist.

Es ist kein Zweifel, daß *Dothiora* ein wenig hervorbrechendes *Myriangium* ist, bei welchem die Schlüche stark gestreckt und in einer Ebene angeordnet sind, während das zwischen ihnen liegende Gewebe fast ganz verschwunden ist. So wie bei *Myriangium* bröckelt das darüber liegende Gewebe ganz unregelmäßig ab, die Schlüche freilegend.

Es gibt noch drei Gattungen, die sich ganz so verhalten wie *Dothiora* und mit dieser die natürliche Familie der Dothioreen bilden.

Es sind dies *Sydotia* Bresadola (Hedwigia 1895, 34. Bd., p. (66)), *Harriotia* Karsten (Journ. Bot. 1889, III. Bd., p. 206) und *Bagnisiella* Speg., letztere Gattung nach Theißens und Sydows Angaben (l. c. p. 651).

Die Dothioreen sind wahrscheinlich Glieder einer Reihe, die zu echten Discomyceten führen, und zwar vermutlich zu den Tryblidiaceen. Es ist aber sicher, daß die Discomyceten mehrere Stämme darstellen mit verschiedenen Wurzeln, die zum Teile auch den Myriangiaceen entspringen werden. Daß diese phylogenetisch eine große Rolle spielen, habe ich schon in dem Fragment No. 244, VI. Mitt. 1909 angegeben.

Theiß (Verh. zool. bot. 9. 1916, 66. Bd., p. 313) hat die Dothioreen nebst einer Reihe von anderen Gattungen zu den Pseudosphaeriaceen gestellt. Aber abgesehen davon, daß *Epiphyma* Th. und *Parodiella* Speg. nach meinen genauen Untersuchungen ganz echte Sphaeriaceen sind und daß *Botryosphaeria* als Dothideaceen-Gattung aufgefaßt werden muß, dürfen zu den Pseudosphaeriaceen nur solche Gattungen gestellt werden, welche als Anfangsglieder einer Reihe betrachtet werden können, die zu den Sphaeriaceen führen, nämlich *Physalospora* Nießl (= *Pyreniella* Theiß), *Pilgeriella* P. Henn; *Wettsteinina* v. H., *Pseudosphaeria* v. H., *Scleroplea* Oud. und *Pyrenophora* Fries. Dazu kommen noch nach meinen neueren Studien *Phaeosphaerella* Schröt.; *Monascostroma* v. H.; *Scleroplea* v. H., *Mycosphaerellopsis* v. H. und *Pseudoplea* v. H.

#### CCLXXXII. Über die Gattung *Sydowia* Bresadola.

Die Gattung ist in Hedwigia 1895, 34. Bd., p. (66) ohne genauere Untersuchung und daher ganz unrichtig beschrieben und die einzige Art derselben in Sydow, *Mycotheca marchica* No. 4243 ausgegeben worden.

Der Pilz sitzt in dichten Herden auf dünnen Tannenzweigen. Die Untersuchung zeigte mir, daß derselbe von *Dothiora* Fries 1849 und *Hariotia* Karsten 1889 wesentlich nur durch die Sporen verschieden ist, die vierzellig, ohne Längswand, sind.

Die Fruchtkörper entwickeln sich im Periderm, sind zylindrisch-scheibenförmig,  $310 \mu$  breit,  $260 \mu$  hoch oder wenig größer. Die Wandung ist ringsum ziemlich gleich, etwa  $60 \mu$  dick und besteht aus schwarzbraunen etwa  $8-19 \mu$  großen offenen ziemlich derbwandigen Parenchymzellen, die wenig deutlich senkrecht gereiht sind. Mit der oberen Fläche, die grobschollig zerrissen ist, werden die Fruchtkörper frei, ohne indes vorzuragen. Der unten und oben flache, etwa  $210 \mu$  breite,  $120 \mu$  hohe Lokulus wird durch Abbröckeln und Zerreissen der Decke frei. Der Nukleus besteht aus zahlreichen, bis  $100 \asymp 12 \mu$  großen keuligen Schläuchen, die mit Jod keine Färbung geben, zahlreiche Sporen enthalten und zwischen welchen sich, von der Basis bis zur Decke reichend, mehr minder zahlreiche, zellig gegliederte, etwa  $2 \mu$  breite in das Deckengewebe übergehende Fäden befinden, wodurch sich der Pilz als Pseudosphaeriaceenähnlich gebaut erweist. Die hyalinen Sporen erinnern in der Form und Beschaffenheit sofort an die von *Dothiora*, zeigen aber nie eine Längswand und sind stets vierzellig. Sie sind meist spindelig-keulig und  $12-16 \asymp 4-5 \mu$  groß, zarthäutig, mit homogenem Plasma.

*Dothiora*, *Sydowia* und *Hariotia* bilden eine sehr natürliche Gruppe; siehe Theiß in Verhandl. zool.-bot. Ges. Wien 1916, 66. Bd., p. 313.

#### CCLXXXIII. Über *Sphaeria strobiligena* Desmazières.

Der Pilz ist beschrieben in Ann. scienc. nat. Botan. 1846, III. Serie, VI. Bd., p. 75 und in Desmazières, Pl. crypt. France 1849, No. 1772 ausgegeben.

Der Pilz ist in der Sylloge fungorum, I. Bd., p. 552 als *Didymella* angeführt, dann 1891 im IX. Bande p. 672 als *Hariotia* bei den Sphaeriaceen und Seite 1103 als *Glonium (Delphinella)* bei den Hysteriaceen.

Karsten stellte 1889 (Journ. Botan., III. Bd., p. 206) für den Pilz die Sphaeriaceengattung *Hariotia* auf, die sich nach seiner unrichtigen Beschreibung von *Mycosphaerella* durch die vielsporigen Schläuche und dadurch unterscheiden sollte, daß die Perithezien mit einem Spalt auftreßen, was falsch ist. Karsten übersah auch die Paraphysen.

Mouton (Soc. roy. botan. Belgique 1889, XXVIII. Bd., p. 79) fand den sehr seltenen und verschollen gewesenen Pilz in Belgien und stellte ihn zu *Glonium*, also zu den Hysteriaceen.

Da er sich von *Glonium* durch vielsporige Schläuche unterscheidet, stellte Saccardo für ihn die Sektion *Delphinella* (Syll. Fung. 1891, IX. Bd., p. 1103) der Gattung *Glonium* auf.

Der Pilz ist nach dem Originalexemplar eine mit *Dothiora* verwandte Form. Die Stromata entstehen unter der Epidermis auf den Apophysen von *Pinus Laricio* und brechen hervor. Sie sind rundlich oder länglich, meist nur 200—300  $\mu$  groß, oft aber verschmelzen mehrere miteinander, besonders der Länge nach und werden dann etwa 800  $\mu$  lang. Sie enthalten meist nur einen Lokulus, öfter aber auch mehrere. Die Stromata sind etwa 200—250  $\mu$  dick und aus mehr minder deutlich senkrecht gereihten, meist 7—8  $\mu$  großen, kohligen Parenchymzellen aufgebaut. Die Basalschicht ist etwa 40  $\mu$  dick und zeigt dünnwandige senkrecht gereihte Zellen. Die Decke ist 30—60  $\mu$  dick, außen zerrissen-rauh und opak. Die Lokuli sind meist rundlich, 160  $\mu$  breit und 100—110  $\mu$  hoch; öfter verschmelzen zwei ganz oder zum Teil miteinander, wo sie dann bis 240  $\mu$  breit werden. Sie öffnen sich oben meist unregelmäßig rundlich durch Ausbröckeln der Decke, nur wenn zwei Lokuli verschmolzen sind entsteht eine längliche Öffnung. Der Nukleus ist *Dothiora*-artig beschaffen und von Mouton beschrieben worden.

Mit *Hariotia strobiligena* (Desm.) K. ist wahrscheinlich nahe verwandt der auf dürren Kiefern Zweigen gefundene und von Brefeld (Unters. a. d. Gesamtgeb. d. Mykologie 1891, X. Heft, p. 269, Taf. IX, Fig. 33) *Dothidea polyspora* genannte Pilz. Die rundlichen 1 mm breiten Stromata sollen ähnlich gebaut sein wie die von *Dothidella* und in den Perithezienhöhlungen (Lokuli) 105—123  $\times$  16—18  $\mu$  große langkeulige, kurzgestielte Schläuche enthalten, in denen 32 zweizellige, hyaline, spindelförmige, 15—20  $\times$  4—5  $\mu$  große Sporen vorkommen. Nach diesen bestimmten Angaben ist kaum zu bezweifeln, daß dieser Pilz keine Sphaeriacee ist. Indessen wird er von *Hariotia strobiligena* spezifisch verschieden sein, denn diese hat kleinere Stromata und viel kleinere Sporen, die nicht spindelförmig sind, sondern oben abgerundet und unten zugespitzt, wie mir das Originalexemplar zeigte und auch Mouton angibt.

Saccardo hat (Syll. Fung. 1895, XI. Bd., p. 376) für Brefelds Pilz die Untergattung *Plowrightiella* in der Gattung *Plowrightia* und Clements (Genera of fungi 1909, p. 49) hierfür die Gattung *Pleodothis* aufgestellt.

Nach dem Gesagten wird Brefelds Pilz wohl *Hariotia polyspora* (Bref.) v. H. genannt werden müssen und sind die Namen *Hariotia* Karsten 1889, *Delphinella* Sacc. 1891, *Plowrightiella* Sacc. 1895 und *Pleodothis* Clements 1909 synonym.

#### CCLXXXIV. Über *Pycnoderma bambusinum* Sydow.

Der in Ann. Myc. 1914, XII. Bd., p. 563 beschriebene Pilz wurde ursprünglich zu den Brefeldineen, später zu den Microthyriaceen gestellt.

Die Untersuchung des Originalexemplars in Sydow, Fung. exotici exsiccati No. 406 zeigte mir, daß derselbe von Sydow nicht in allen Punkten richtig beschrieben und meines Erachtens eine ganz typische, aber merkwürdige Myriangiacee ist. Er wächst oberflächlich. Unter demselben befindet sich in der Epidermis der Bambusblätter und in dem Blattparenchym ein hyalines oder blaß rötlich-violettes lockeres, hyphiges Hypostroma, dessen Fäden wahrscheinlich durch die Spaltöffnungen hervortreten und das flache oberflächliche Stroma bilden. Dieses ist am Rande scharf begrenzt, radiär gebaut und aus etwa 4—6  $\mu$  breiten Zellen aufgebaut, die nicht oder nur wenig gestreckt sind, deren radiale Wände derb, während die Querwände dünn sind. Das ganze Gewebe ist ursprünglich schmutzig weinrot gefärbt, wird aber bald lebhaft gelbbraun. Das Stroma ist dünn, ausgebreitet, am Rande wenig breitlappig. Öfter verschmelzen mehrere Stromata miteinander. Dieselben sind 20—32  $\mu$  dick und bestehen aus einigen Lagen von senkrecht gereihten meist 3—4  $\mu$  breiten, im Querschnitte viereckigen Parenchymzellen. Die Decke ist etwas dunkler, einzellschichtig und 2—3  $\mu$  dick. Im Stroma liegen lockerer oder dichter die Schläuche in einer einfachen Schicht nebeneinander, durch wenigstens eine Lage von Parenchymzellen voneinander getrennt.

Aus dieser Beschreibung wird es klar, daß der Pilz eine echte Myriangiacee ist. Er ist als eine Form anzusehen, die die Verbindung zwischen der Grundgattung *Myriangium* mit den Polystomelleen herstellt.

#### CCLXXXV. Über *Actidium Haenkei* Nees v. Esenb.

Von dieser Form konnte ich ein Originalexemplar aus dem Wiener Hofmuseum untersuchen.

Es trägt die Aufschrift: „*Actidium Haenkei* N. v. E. In foliis *Styracis tomentosae* (teste Presl) e Mexico. Herbar Haenke“, und besteht aus einem Blatte, das zweifellos von einer *Styrax*-Art herrührt, auf dem drei nicht ganz reife Stromata einer *Schneepia* sitzen.

Die Stromata sind 2,5—3,5 mm breit, in der Mitte höckerig und gegen außen mit 30—40 Riefen versehen, welche meist nicht ganz bis zum

Rande reichen. Die Dicke der Stromata in den Riehen ist etwa 170  $\mu$ . Der dünne, schmal gesäumte Rand ist durchaus nicht gekerbt oder gezähnt. Die Riehen sind bis etwa 1 mm lang. Die Stromata sind an zahlreichen Punkten angeheftet. Paraphysen zahlreich, fädig. Schläuche meist ganz unreif, schleimig-dickwandig, etwa 80—100  $\times$  20—25  $\mu$ . Sporen nur vereinzelt zu sehen, elliptisch oder eiförmig, gleich zweizellig oder untere Zelle schmäler, 18  $\times$  6·5  $\mu$ .

Von *Schneepia guaranitica* Speg. ist der Pilz, wie der Vergleich mit guten Exemplaren zeigte, sicher ganz verschieden. Hingegen wäre es möglich, daß *Schneepia Arechavaletae* Speg. (Bol. Acad. sc. Cordoba, 1889, XI. Bd., p. 581) damit identisch ist, wie dies schon Spegazzini vermutete. Der Pilz hat *Schneepia Haenkei* (Nees) v. H. zu heißen.

#### CCLXXXVI. Über *Diedickea singularis* Sydow.

Der in Ann. Myc. 1913, XI. Bd., p. 268 beschriebene Pilz wird als Pyrenothyriee aufgefaßt und als mit *Trichopeltatum* Speg. und *Eriothyrium* Speg. verwandt erklärt.

*Trichopeltatum pulchellum* Speg. (Bol. Acad. nac. scienc. Cordoba 1889, XI. Bd., p. 603) ist jedoch die Nebenfrucht von *Trichopeltis pulchella* Speg. und daher sicher eine *Peltopycnidiee* v. H. (in Falck, Myc. Unt. u. Ber., I. Bd., p. 603), zu welchen ich irrtümlich *Ischnostroma* Sydow gestellt habe.

*Eriothyrium dubiosum* Speg. (l. c. p. 291) ist nach der Beschreibung gewiß keine Pyrenothyriee, sondern sehr wahrscheinlich die Nebenfrucht einer Coccodiniee v. H. (= *Naetrocymbae* v. H.), während die zweite Art (l. c. p. 292) *E. fuegianum* Speg. eine Pyrenothyriee sein muß.

Die Untersuchung der *Diedickea* hat mir gezeigt, daß dieselbe bis auf weiteres wohl als Pyrenothyriee aufgefaßt werden kann, trotz mancher Eigenheiten. Der Pilz wächst oberflächlich und ist das Subikulum zu einer Membran verwachsen, die aus unregelmäßig angeordneten meandrisch verwachsenen gestreckten Zellen besteht. Auffallend ist, daß die 3  $\mu$  dicke Epidermisaußenwand unter dem Pilze mehr minder verdickt ist, häufig bis auf 8  $\mu$ , manchmal jedoch bis auf 12—14  $\mu$ . In diesen verdickten Stellen sieht man ein sehr kleinzelliges hyalines Gewebe, dessen Zellen bei guter Entwicklung 1·5—2·5  $\mu$  groß und mehr minder deutlich senkrecht gerichtet sind. Ob dieses subkutikuläre Gewebe zum Pilze gehört, läßt sich nicht feststellen.

#### CCLXXXVII. Über *Microdothella culmicola* Sydow.

Der in Philipp. Journ. Scienc. 1914, IX. Bd., p. 169 beschriebene und abgebildete Pilz wird von Theissen und Sydow im Systeme der *Dothideales* in Ann. Myc. 1915, XIII. Bd., p. 174 zu den Munkielleen gestellt, deren

Schlauchstroma unter der Kutikula liegt. Die Untersuchung des Original-exemplars zeigte mir jedoch, daß die Stromata ganz oberflächlich sitzen. Weder an der Quere, noch an der Länge nach geführten Querschnitten ist auch nur eine Andeutung davon zu sehen, daß die Kutikula die Stromata überzieht. Im Gegensatze dazu sieht man die Epidermisaußenwand in gleicher Dicke und Beschaffenheit unter den Stromaten durchziehen. Mit diesem Befunde steht in Übereinstimmung, daß die Stromata schon am einzellschichtigen strahlig-faserigen Rande und noch mehr in der Mitte mehr minder rauh sind. Dem entsprechend lösen sie sich schon bei schwachem Seitendrucke leicht ab und sind mit der Lupe gesehen matt und nicht glänzend, wie dies bei den subkutikulären Formen fast stets der Fall ist.

In der Bestimmungstabelle l. c. wird angegeben, daß Paraphysen fehlen, während in der Gattungsbeschreibung l. c. p. 259 es heißt, daß die Paraphysen untypisch sind und in der Originalbeschreibung die Schläuche als paraphysiert angegeben werden. Ich fand nun ganz typische, fadenförmige, schleimig verbundene zahlreiche lange Paraphysen.

Nach dem Gesagten gehört *Microdothella* zu den Polystomelleen. Sie ist unter diesen ganz nahe mit *Ellisiodothis* verwandt und scheint mir nur eine kleine vereinfachte Form davon zu sein. Da ich *Ellisiodothis iniquans* nicht untersuchen konnte, kann ich nicht sagen, ob diese zwei Gattungen genügend voneinander verschieden sind.

#### CCLXXXVIII. Über *Leptostroma litigiosum* Desmazières.

Der Pilz ist beschrieben und ausgegeben in Desmaz., Pl. crypt. France 1843, No. 1327. Derselbe wurde in Michelia 1880, II. Bd., p. 113 zu *Leptothyrium* gestellt und von Diedicke (Ann. Myc. 1913, XI. Bd., p. 175) in eine eigene Gattung, *Pycnothyrum*, versetzt.

Die Untersuchung des Originalexemplares hat mir nun gezeigt, daß dasselbe keine Spur einer Nebenfrucht aufweist, sondern nur einen ganz unreifen Askomyzeten, und zwar jenen, der jetzt allgemein als *Microthyrium litigiosum* Sacc. (Michelia, 1879, I. Bd., p. 496) gilt. Alle Autoren haben bisher diesen Pilz als Microthyriacee angesehen, auch Theissen in österr. Bot. Ztschr. 1912, 62. Bd., p. 431. Allein derselbe ist eine oberflächlich wachsende Dothideacee, und zwar eine neue mit *Leptodothis* Th. et S. (Ann. Myc. 1915, XIII. Bd., p. 248) verwandte Polystomelleen-Gattung, die ich *Dothithyrella* nenne. Der Bau des Pilzes ist folgender.

In einzelnen Epidermiszellen befindet sich ein lockeres braunes Hyphen gewebe, das einzelne Zweige durch die Poren der Außenwand treibt, die auf der Kutikula oberflächlich wachsende, bald sehr kleine, bald ganz unregelmäßige, oft netzig durchbrochene größere, etwa  $20\text{ }\mu$  dicke Stromata

bilden. An den sterilen Stellen ist das Stroma dünn und besteht hier aus senkrechten palissadenartig angeordneten Reihen von braunen Zellen. Die Decke ist einzellschichtig und besteht aus schön radiär gereihten  $3\text{ }\mu$  breiten viereckigen Zellen. Die kleinen Einzelstromata haben nur eine strahlig gebaute schildförmige Decke, die in der Mitte über dem bald rundlichen, bald flachen  $30-45 \approx 16\text{ }\mu$  großen Lokulus einen kleinen unregelmäßigen Porus zeigt. Bei den größeren Stromaten sind mehrere bis viele Schilder miteinander verwachsen und sind in den Zwischenräumen die Zellen der Decke unregelmäßig angeordnet. Flächenschnitte zeigen, daß Paraphysen manchmal ziemlich reichlich vorhanden sind, andere Male aber völlig fehlen. Die Sporen sind meist zweizellig und stets hyalin, doch kommen auch häufig 3—4-zellige Sporen vor.

Die Gattung wäre folgendermaßen zu beschreiben.

#### *Dothithyrella* n. G.

Polystomelleae. Hypostroma in den Epidermiszellen, braunzellig. Schlauchstroma oberflächlich, an vielen Stellen angeheftet, dünn; freies Myzel fehlend. Jeder Lokulus hat seine eigene strahlig gebaute, einzellschichtige, braune, schildförmige Deckschicht. Sterile Stromateile aus palissadenartig-senkrechtstehenden Zellreihen bestehend. Lokuli rundlich oder flach, mit hyaliner Basalschicht. Paraphysen fäidig, oft fehlend. Schlüche eiförmig, achtsporig. Sporen 2—4-zellig, hyalin.

Typus-Art: *Dothithyrella litigiosa* (Desm.) v. H.

Syn.: *Leptostroma litigiosum* Desmazières 1843.

*Microthyrium litigiosum* Saccardo 1879.

Was die angebliche Nebenfrucht des Pilzes anlangt, so habe ich zwar an dem Exemplare desselben in Rehm, Ascomyc. Nr. 1248 auf den Stromaten viele kleine stäbchen- oder würstchenförmige Konidien gefunden, mich aber ganz vergeblich bemüht, die dazu gehörigen Konidienlokuli im Stroma zu finden. An Querschnitten habe ich mich davon überzeugt, daß diese Konidien nicht in eigenen Lokuli entstehen, sondern auf der Oberseite der Stromata heraussprossen.

Ich bin daher überzeugt, daß eine solche Nebenfrucht gar nicht existiert und die betreffenden Angaben von Saccardo und Diedicke auf Irrtümern beruhen. Sie haben die Konidien gesehen und vorausgesetzt, daß sie unter den Schildern entstehen müssen und danach ihre Angaben gemacht. Es ist ja klar, daß zu einer Polystomellacee *Leptothyrium*-artige oder gar *Pycnothyrium*-artige Nebenfrüchte gar nicht gehören können. Jedenfalls gehören die von ihnen vielleicht doch gesehenen Nebenfrüchte nicht zum Pilze.

In meinem neuen System der Fungi imperfecti (in Falck, Mycol. Unters. u. Berichte I. p. 361) habe ich *Pycnothyrium* Died. gleich *Diplopeltis*

Pass. gesetzt, von der Voraussetzung ausgehend, daß beide Gattungen *Pyrenomyiaceen* sind. Nachdem dies nun für *Pyrenomyium* nicht gilt, ist die angegebene Synonymie unrichtig.

#### CCLXXXIX. Über Sphaeria Robertiani Fries.

Meine Vermutung, daß diese in Fries, System. myc. 1823, II. Bd., p. 564 beschriebene Form, welche von Fries in Summ. veget. scand. 1849, p. 421 in die Gattung *Stigmatae* versetzt wurde und daher jetzt unrichtigerweise stets als *Stigmatae* gilt, eine Leptopeltinee sein könnte, hat die nähere Untersuchung nicht bestätigt. Eigentlich spricht schon das gruppenweise Auftreten der Fruchtkörper gegen die gehabte Vermutung. Der Pilz ist zweifellos eine kleine *Munkiella*. Die kleinen meist runden Stromata sind unter der Kutikula eingewachsen, an der flachen Basis meist hyalin und zeigen eine fast halbkugelige Decke, die von oben gesehen meist eine, öfter aber auch zwei hellere runde Stellen zeigen, welche das entstehende Ostium andeuten. Innen ist meist nur ein Lokulus vorhanden, doch kommen auch zwei vor, die dann durch hyalines Gewebe voneinander getrennt sind. Die Basis der Lokuli ist nicht flach, sondern konkav und die mit untypischen Paraphysen gemischten Schläuche stehen nicht parallel, konvergieren gegen das Ostium hin. Von oben gesehen zeigt sich die Decke in der Mitte aus kürzeren, gegen den Rand hin längeren verbogenen, mäandrisch verschlungenen Zellen aufgebaut, die am Rande auch lappig werden und daselbst mehr minder deutlich strahlig verlaufen. Die Stromata sind am Rande nicht scharf abgesetzt, sondern bilden eine allmählich verlaufende Randmembran, die strahlig gebaut ist und als dünnes wenig entwickeltes Stroma aufgefaßt werden muß. Nach diesem Verhalten kann der Pilz nur als Munkiellee aufgefaßt werden. Da Paraphysen vorhanden sind, die Lokuli rundlich und die hyalinen oder subhyalinen Sporen ungleich zweizellig sind, gehört der Pilz zu *Munkiella* und muß *Munkiella Robertiana* (Fr.) v. H. genannt werden. Er stellt der Typus-Art *M. Caaguazu* Speg. gegenüber eine den zarten Blättern, auf denen er wächst angepaßte, kleinere, etwas einfacher gebaute Form dar, die kaum verdient in eine eigene Gattung gestellt zu werden.

Inzwischen hat sich auch Theissen (Ann. Myc. 1916, XIV. Bd., p 426) mit dem Pilz befaßt und denselben mit *Coleroa* und *Vizella* in eine eigene Familie gestellt. Mit seinen diesbezüglichen Angaben und Auffassungen kann ich mich nicht einverstanden erklären. Wollte man die Sporen des Pilzes als gefärbt ansehen (sie sind blaß grünlich), so müßte für denselben eine neue Gattung aufgestellt werden, was ich aber nicht für berechtigt halte.

*Vizella* halte ich für eine Leptopeltinee und *Coleroa* Rabh. hat oberflächliche Perithezien und nicht nur ein subkutikuläres membranartiges

Stroma, sondern auch ein oft stark entwickeltes unter der Epidermis eingewachsenes hyalines, das manchmal sogar blattunterseits wieder Perithezien bildet. Überdies hat *Coleroa Chaetomium* noch eine Überwinterungsschlauchfrucht mit unter der Oberhaut eingewachsenen Perithezien, die sich von *Venturia* nicht unterscheiden läßt.

Demnach halte ich Theißens Stigmataceen für einen Fehlgriff.

#### CXC. Über *Sphaeropsis Juniperi* Desmazières.

Der Pilz ist beschrieben in Annal. Scienc. nat. 1849, III. Serie, XI. Bd., p. 276 und in Desmazières, Pl. crypt. France 1849, No. 1864 ausgegeben.

Schon aus der Beschreibung ist zu ersehen, daß der Pilz ein längliches Stroma mit einigen Lokuli hat, und daher keine *Sphaeropsis* oder *Phoma* sein kann, wohin der Pilz in der Syll. Fung. 1884, III. Bd., p. 101 gestellt wird. Der Umstand, daß die Sporen fast kugelig und nur  $3\cdot3 \mu$  groß sein sollen, ist Verdacht erregend, da nicht selten die Ölträpfchen aus unreifen Perithezien für Sporen angesehen werden. Die Untersuchung des Originalexemplares zeigte mir in der Tat, daß der Pilz eine kleine unreife Dothideacee ist. Nur in wenigen Schläuchen fand ich spindelförmige, hyaline, zweizellige, etwa  $10 \times 2 \mu$  große Sporen.

Der Pilz ist seither zweimal als *Sphaerella* beschrieben worden.

*Sphaerella Juniperi* Fautr. et Roumg. (Revue mycol. 1891, XIII. Bd., p. 166) ist nach dem Originalexemplare in Roumeg., F. sel. exs. No. 5833 vollkommen identisch mit *Sphaeropsis Juniperi* Desm. Da dieses Exemplar ziemlich gut ausgereift ist, konnte ich den Pilz näher untersuchen.

Die Stromata sind länglich, etwa  $300 \mu$  lang und  $150 \mu$  breit, und entwickeln sich meist blattunterseits unter der Epidermis, durch die sie etwas hervorbrechen. Sie stehen meist in Längsreihen und verschmelzen öfter zu mehreren bis zu über 1 mm langen Stromaten. In jedem Stroma sind nur 2—4 Lokuli enthalten, die im Flächenschnitte rundlich oder länglich und  $60—100 \mu$  breit sind. Die Stromata sind  $100—120 \mu$  dick und bestehen aus offenen etwa  $6 \mu$  breiten braunen Parenchymzellen, sind also dothideoid gebaut, und nicht mit der Epidermis verwachsen. Jeder Lokulus hat ein rundliches, etwa  $15 \mu$  breites Ostium. Die Lokuli sind nicht in einer Längsreihe, sondern unregelmäßig angeordnet. Paraphysen fehlend oder undeutlich. Asci zahlreich, parallel stehend, zylindrisch-keulig, kaum gestielt,  $45 \times 6 \mu$ . Die acht Sporen stehen zweireihig, sind hyalin, zweizellig, spindelförmig, zartwandig, gerade, beidendig spitz und  $10—12 \times 2—2.5 \mu$  groß. Der Pilz ist zwar nicht völlig ausgereift, doch dürften die Sporen bleibend hyalin sein.

Derselbe Pilz ist auch recht schlecht in Myc. italica No. 289 als *Sphaerella Juniperi* Fautr. ausgegeben.

Vergleicht man die über den Pilz gemachten Angaben mit der Beschreibung von *Sphaerella juniperina* Ellis (Americ. Nat. 1883, XVII. Bd., p. 917 (n. g.)) so erkennt man, daß diese Art wahrscheinlich mit der früheren identisch ist. Offenbar war der Pilz noch weniger ausgereift als das beschriebene Exemplar.

Die Synonymie und Nomenklatur des Pilzes ist folgende:

*Dothidella Juniperi* (Desm.) v. H.

Syn.: *Sphaeropsis Juniperi* Desmazières 1849.

*Sphaerella juniperina* Ellis 1883.

*Phoma Juniperi* (Desm.) Sacc. 1884.

*Laestadia juniperina* (Ell.) Sacc. 1891.

*Sphaerella Juniperi* Fautr. et Roumeg. 1891.

## Mycologische Mitteilungen.

Von F. Theissen S. J.

(Mit 4 Textfiguren.)

### I. Die Gattung Lasiobotrys.

*Lasiobotrys Lonicerae* Kunze (Mycol. Hefte II [1823] p. 88) ist Typ der Gattung. Er bildet epiphyll (zuweilen auch hypophyll)  $\frac{1}{2}$ — $1\frac{1}{2}$  mm große kreisrunde, flache fleckenartige Lager, zerstreut oder dicht gelagert, jedes von einem rostfarbenen Ringfleck umgeben, der die ganze Blattdicke durchsetzt, ein Zeichen, daß das Blattgewebe abgetötet wird; bei dichter Saat ist die ganze betreffende Blattfläche,  $\frac{1}{4}$ — $\frac{1}{2}$  des Blattes, abgestorben.

Untersuchen wir einen dieser runden, 1 mm großen schwarzen Flecken. Unreif zeigen sie nur eine matte körnelige Kruste (subkutikuläres Hypostroma); reif enthalten sie in einer flachen Schicht 15—20 schwarze „Gehäuse“ von 240—280  $\mu$  Größe; diese liegen dicht aneinander, sich eben berührend (in alten Lagern sind die mittleren schon ausgefallen und nur die randständigen übrig); sie sind oben flach, meist eingesunken, ohne jedes Ostiolum.

Diese „Gehäuse“ sind aber nicht die Perithezien; letztere liegen im Kranze um jedes dieser Gehäuse herum. Die Scheingehäuse sind nur sklerotiale Stromakörper, oben breit, nach unten verschmälert, also mit überhängenden Flanken; von den Flanken gehen zahlreiche steife bräunliche Stelzenhyphen hinab auf das Blatt. Die Perithezien sind kaum halb so hoch als die Sklerotien, also durch die überhängenden Flanken geschützt und durch die Stelzenhyphen, welche über sie übergreifen, noch wie von einem Gitter festgehalten. Da jedes der Sklerotien zwischen 6—10 Perithezien deckt, wie die Henne die Küchlein unter den Flügeln, so ergibt sich für ein Lager von 15—20 solcher Fruchtkörper auf einem

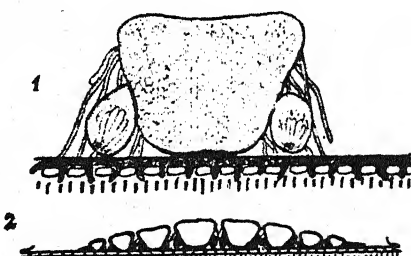


Fig. 1. *Lasiobotrys Lonicerae* Kunze.  
1. Querschnitt durch ein Stroma mit Perithezien.  
2. Querschnitt durch ein ganzes Lager.

Millimeter 100—200 Perithezien, von welchen man unter der Lupe aber nicht ein einziges sieht; man sieht nur die breiten genabelten Sklerotenscheitel. Hebt man aus dem Lager ein einzelnes Sklerotium heraus und dreht es um, so daß die an Mangrove-Wurzeln erinnernden Stelzenhyphen radiär abstehen und der Perithezienkranz sichtbar wird, dann hat man das Wintersche Bild (vgl. auch Nat. Pfl. Fam. p. 335).

Hypostroma einschichtig zwischen Kutikula und Epidermis, auch noch zwischen die Epidermiszellen eindringend, dunkelbraun, im Innern des Blattes nur noch als farbloses, kaum sichtbares Nährmyzel. Sklerotien mit schwarzer Kruste, polygonalzellig mit schwarzen scharfen Zellwänden, innen aus parallelen senkrechten Reihen gelblich-weißer Markzellen. Perithezien birnförmig, etwa 100  $\mu$  hoch, 80 breit, dünn lederig, ohne Ostiolum, aus 8  $\mu$  großen braunen Zellen parenchymatisch. Asken am Grunde in einer Rosette ohne Paraphysen, wie bei *Sphaerella* von verschleimten Fadenresten begleitet, oben dickwandig, keulig, 45—58  $\approx$  10—12  $\mu$ , meist (nicht immer) achtsporig.

Winters Beschreibung (Die Pilze p. 70) ist also sehr zutreffend, während Saccardo (Syl. F. I, p. 29) die irrite Angabe macht, die Perithezien lägen in den Sklerotien eingeschlossen.

Reife Lager wurden von Kabát in Tiro! im August gesammelt, auf noch lebenden wie absterbenden Blättern (vgl. Ann. Myc. 1915 p. 108); Herrn Dr. Bubák bin ich verbunden für gütige Übersendung von Blättern dieser Sammlung.

Es sind vier Arten zu unterscheiden.

#### Hypostroma schwarzbraun.

Sklerotien kreisförmig, 280  $\mu$ ; Sporen 10  $\approx$  4 . . . . *Lonicerae*

Sklerotien fast prismatisch, 160  $\mu$ ; Sporen 16  $\approx$  5 . . . *affinis*

#### Hypostroma farblos.

Sklerotien innen grünlich-weiß, Zellen 13  $\mu$ , deutlich . *Butleri*

Sklerotien innen weiß, Zellen 8  $\mu$  verschleimend . . . *hispanica*

#### 1. L. *Lonicerae* Kze. — Syll. F. I, p. 29.

Auf verschiedensten *Lonicera*-Arten in ganz Europa.

Lager  $1\frac{1}{2}$ — $1\frac{1}{2}$  mm. Sklerotien locker genähert, lose aufsitzend, ringsum mit schwarzer Kruste, 280  $\mu$  breit, 150  $\mu$  hoch, innen gelblich-weiß, Zellen 12—14  $\approx$  8—10  $\mu$ , deutlich.

Perithezien birnförmig, 85  $\approx$  70  $\mu$ , braun, Zellwände deutlich.

Hypostroma braunschwarz. Sporen 8—10  $\approx$  4—5  $\mu$ .

#### 2. L. *affinis* Harkn. — Syll. F. IX, p. 374.

a) Original auf *Lonicera hispida* in Californien (untersucht); b) auf *Lonicera californica*, San Mateo county, Californien, lgt. Copeland (ex „Pacific Slope Fungi“ 1820 sub *Las. Lonicerae*).

Auf beiden Blattflächen entwickelt, 2—5 mm groß, auf der weißen Unterseite des Blattes mit violettfarbigem Fleck. Sklerotien dicht, eine

einige chagrinierte Oberfläche bildend, 160  $\mu$  hoch, oben ebenso breit, mit steil prismatisch abfallenden Flanken, auch unten dunkel begrenzt wie die vorige Art.

Perithezien 90  $\asymp$  80  $\mu$ , braun, Zellwände deutlich.

Hypostroma sehr dunkel, nach Bau und Lage wie bei *Lonicerae*.

Sporen hellbraun, 14—16  $\asymp$  5—6  $\mu$ , zweizellig ungleich (Verhältnis 2 : 1).

### 3. *L. hispanica* Theiß. et Syd.

Auf *Lonicera arborea*, Sierra Nevada, August 1891; P. et Rigo No. 516. Epiphyll. Lager 2—3 mm.

Sklerotien dicht; aber nur berührend, 220—250  $\mu$ , schwach genabelt, am Grunde nicht schwarz-krustig, sondern mit verengtem Fuß farblos in das Hypostroma einmündend; inneres Mark weiß, Zellen 8  $\asymp$  6  $\mu$  groß, mit ganz undeutlichen verschleimenden Umrissen.

Perithezien 60  $\asymp$  50  $\mu$ , bräunlich, Zellwände ebenfalls verschwommen.

Hypostroma ganz farblos, nach Bau und Lage wie bei 1.

Stelzenhyphen fahlbräunlich, 3  $\mu$  breit. Fruchtschicht unreif.

### 4. *L. Butleri* Theiß. et Syd.

Auf *Lonicera* sp., Bhowali, Naini-Tal, Ostindien; lgt. E. J. Butler, Juli 1917 (vgl. Ann. Myc. 1911, p. 383 sub *L. Lonicerae*). Epiphyll. Lager 2—5 mm.

Sklerotien sehr dicht, wie bei *affinis* eine einzige chagrinierte Oberfläche bildend, 150—200  $\mu$  groß, schwach genabelt, innen grünlich-weiß, Zellen hexagonal, 13  $\mu$  groß, deutlich umgrenzt.

Perithezien klein, 50—55  $\asymp$  40  $\mu$ , Zellwände undeutlich wie bei voriger.

Hypostroma farblos, wie vorige.

Stelzenhyphen fahl, 3  $\mu$  breit. Fruchtschicht unreif.

## II. Über *Vestergrenia* Rehm.

In Hedwigia 1901 p. 100 stellte Rehm eine Gattung *Vestergrenia* auf, welche in der Sylloge F. XVI, p. 465 in *Guignardiella* Sacc. et Syd. abgeändert wurde, da schon eine gleichlautende Gattung, *Vestergrenia* Sacc. et Syd., bestand (Syll. F. XIV, p. 998). Letztere war damals aber nur eine Untergattung (zu *Leptostromella*), welche nach den Brüsseler Regeln keine Prioritätsrechte besitzt. Rehms Gattung *Vestergrenia* bleibt demnach zu Recht bestehen.

Der Typ der Gattung, *Vestergrenia nervisequa*, ist im südlichen Brasilien auf dem strauchigen großblättrigen *Solanum auriculatum* sehr häufig. Zuerst wurde der Pilz von Ulé gefunden, später von Rick und mir oft wieder gesammelt; er ist ausgegeben in Rick, F. austro-amer. 61; Theiß., Decades F. brasil. 3; Rehm, Ascom. 1846 (in letzteren nicht „unentwickelt“, wie Rehm meint, sondern vollständig reif).

Die Perithezien sind nicht „sessilia“, sondern im Blatt eingesenkt, von der unveränderten Epidermis bedeckt, letztere mit dem Scheitel nur aufstoßend. Das Palissadengewebe wird von den Gehäusen teils hinabgedrückt, teils gespalten, geht also entweder ganz unter den Gehäusen durch oder wenigstens mit der Unterhälfte. Die Gehäuse sind flachkugelig, etwa  $250 \mu$  breit,  $150 \mu$  hoch, in der oberen Hälfte derbwandig, unten zarter und heller; Ostium wenig typisch, mehr eine durch Aufreißen des Scheitels entstandene Öffnung, nicht vorragend. Membran in der oberen Hälfte aus länglichen, etwas gewundenen Zellen bestehend, welche vom Scheitel aus meridian abwärts reihenweise geordnet sind, daher etwas an radiäre Membranstruktur wie bei Stigmateen oder Trichothyrieen erinnernd, in Wirklichkeit von diesen durchaus verschieden.

Nukleus ganz wie bei *Physalospora Clerodendri* Syd. (vgl. Verhandl. zool. bot. Gesellsch. Wien, 1916, p. 387); Asken grundständig, zart, aufrecht parallel, aber verschieden lang gestielt (einige sitzend, andere kurz oder länger gestielt, oben oval, dicht gedrängt, daher scheinbar in mehreren

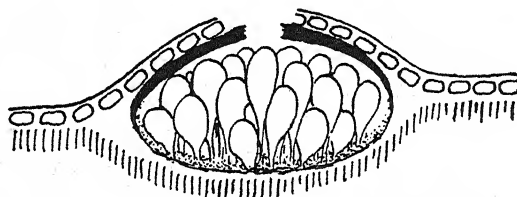


Fig. 2. *Vestergrenia nervisequia* Rehm.

Lagen übereinander den ganzen Hohlraum füllend). Paraphysen völlig fehlend. Sporen farblos, einzellig,  $20 \times 8 \mu$ , unten und oben breit gerundet, etwas oval.

*Physalospora Clerodendri* Syd. ist demnach auch eine *Vestergrenia*; sie reicht etwas tiefer in das Mesophyll hinein und besteht in der oberen Hälfte aus mehr isodiametrischen Zellen. Auch *Physalospora chaenostoma* Sacc. gehört hierher.

*Vestergrenia* Rehm 1901 (non Sacc. et Syd. subg.) char. emend.

Syn.: *Guignardiella* S. et S. (1902).

Perithezien unter der Epidermis eingesenkt, bedeckt bleibend, flachkugelig, in der oberen Hälfte derb, unten dünn, ohne eigentliches Stroma; Ostium untypisch zerrissen. Asken am flachen Grunde bodenständig, zart, verschieden gestielt, daher scheinbar mehrschichtig den Nukleusräum füllend. Paraphysen ganz fehlend. Sporen einzellig, farblos.

1. *Vestergrenia nervisequia* Rehm — a. a. O.

Syn.: *Guignardiella nervisequia* (Rehm) S. et S.

2. *V. Clerodendri* (Syd.) Theiß.

Syn.: *Physalospora Clerodendri* Syd. — vgl. Verhandl. zool. bot. Gesellsch. Wien, 1916, p. 387.

3. *V. chaenostoma* (Sacc.) Theiß.

Syn.: *Physalospora chaenostoma* Sacc.

*Haplodothis chaenostoma* (Sacc.) Th. — a. a. O. p. 389.

### III. Kurze Darstellung der Gattung *Pseudothisis*.

*Pseudothisis* bildet auf Blättern, Stengeln oder Früchten braune, höckerige, 1—1 1/2 (2) mm große Stromata, welche oberflächlich erscheinen. Die Nährpflanzen sind mit einziger Ausnahme von *Casearia* sämtlich Legumi-

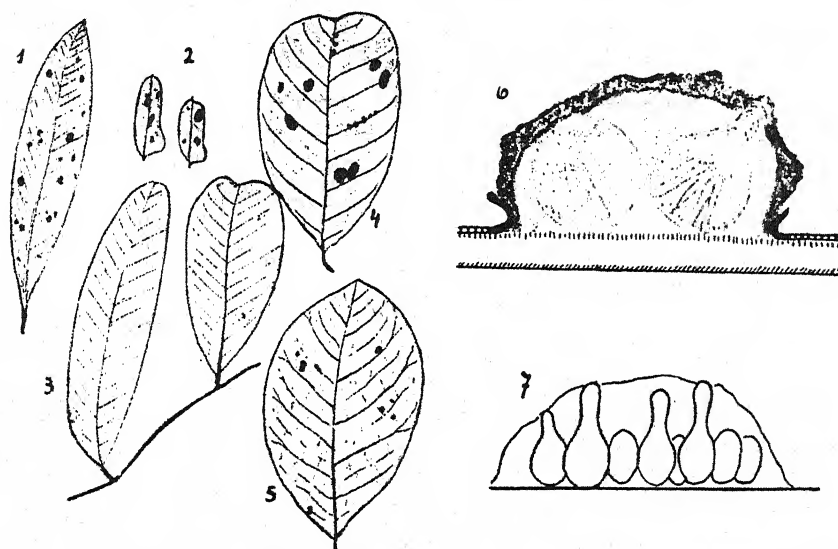


Fig. 8. Blatt der Matrix von 1. *Pseudothisis coccodes*, 2. *machaeriophila*, 3. *Munkii*, 4. *pulchella*, 5. *Machaerii*. 6. *Pseudothisis subcoccoedes* (Speg.) Th., Querschnitt. 7. *Pseudothisis pulchella* (Speg.) Th. auf Legumen von *Dalbergia*; Konturen eines Stromas mit Perithezien.

nosen. Das Stroma entwickelt sich zwischen Epidermis und Palissaden (bzw. der subepidermalen Schicht, wenn hypophyll wachsend), bildet in der Epidermis einen Clypeus und wölbt sie auf. In diesem Stadium ist der Pilz von *Phyllachora* (bzw. *Catacauma*) äußerlich nicht zu unterscheiden. Dann wird die glänzend schwarze Epidermis stärker gewölbt und rissig gesprengt, wobei ein braunes oder braunrotes rauhes Stroma zum Vorschein kommt und heranwächst; die schwarze Epidermis wird großenteils in Fetzen abgeworfen, so daß von ihr gewöhnlich nichts mehr zu sehen ist. Das Stroma steht jetzt mit flacher Basis den Palissaden auf, ohne in diese einzudringen, steht also in Epidermhöhe d. h. fast oberflächlich. An diesen rauhbraunen freistehenden Stromata, umgeben

von jüngeren noch Phyllachoraartigen, erkennt man äußerlich die *Pseudothisis*.

Das Stroma selbst besteht aus einer dunklen festeren Kruste und dem etwas lockeren Innern; letzteres ist oft sehr reduziert oder fehlt, oder es ist kompakt und dann immer rötlich *Myrmecium*-artig; oben auf dem Stroma sind zuweilen noch Reste der abgeworfenen Klypeusepidermis zurückgeblieben.

Die Perithezien stehen der Stromabasis auf und durchstoßen mit dem Hals die Kruste; es sind kurzhalsige *Valsaria*-Perithezien, meist kugelig, zuweilen langhalsiger flaschenförmig, seltener flach niedergedrückt (*geralensis*). Ihre Wand ist wie das anschließende Stroma, oft etwas dunkler braun (*Munkii*), zuweilen sehr hell, weich und dünn; der Hals ist periphysiert.

Stromadichte, Farbe und Weichheit der Gehäuse, ferner die äußere Größe der Stromata wechselt naturgemäß nach der Nährpflanze. Aber auch am gleichen Strauch oder Baum kann die Ausbildung verschieden sein, je nachdem der Pilz auf dem Blatt oder Blattstiel oder dünnen Zweigen sitzt (*Cascariae*) oder auf Blatt und Hülse (*Dalbergiae*).

Der *Valsaria*-artige Nukleus enthält Schläuche mit Paraphysen und acht braunen, ungleich zweizelligen Sporen von  $9-12 \frac{1}{2} \times 4 \frac{1}{2}-5 \frac{1}{2} \mu$  Größe; die obere Sporenzelle ist größer, aber die untere doch nicht so papillenartig klein wie etwa bei *Coccodiscus*, so daß darin ein generischer Unterschied läge.

Bisher sind 7 südamerikanische Formen bekannt geworden, 4 asiatische (Philippinen, Papuasien, Java, Indien) und 1 afrikanische (Kongo). Sie sind so schwer zu unterscheiden, daß man alle als eine Art *coccodes* (Lév.) betrachten könnte; die Abweichungen liegen innerhalb der spezifischen Spielweite, so daß eine morphologische Unterscheidung nicht möglich ist. Um jedoch eine getrennte Bezeichnung der geographischen und Matrixformen zu ermöglichen, mag es ratsam sein, die historischen Namen zu belassen.

In perithezienartigen kleineren Höhlungen des Stromas werden kugelige hellbraune Konidien erzeugt (festgestellt bei zwei brasiliischen und drei asiatischen Formen), welche zuweilen noch einen zentralen helleren Fleck oder Gürtel aufweisen.

*Pseudothisis* Theiß. et Syd. — Ann. Myc. 1914, p. 274.

Verbesserte Diagnose: Valsariee, auf den unveränderten Palissaden (bzw. subepidermalen Schicht) ruhend, anfangs von dem glänzend schwarzen epidermalen Klypeus bedeckt, später letzteren sprengend und abwerfend, rauhbraun hervortretend und dann scheinbar oberflächlich. Stroma rotbraun, etwas weich. Perithezien eingesenkt, mit weicher brauner bis heller Wand und weichem periphysierten Hals, der eben die Stromakruste durchsetzt. Asken paraphysiert, radial-wandständig, zylindrisch-keulig,

achtsporig. Sporen braun, ungleich zweizellig, an beiden Enden stumpf, glatt. — Konidienlokuli im Stroma mit kugeligen einzelligen hellbraunen Konidien. — Von *Anisomyces* Th. et S. durch Klypeus verschieden.

### I. Südamerika.

#### 1. Ps. *Machaerii* (Rehm) Th. et Syd. — a. a. O.

Syn.: *Dothidella Machaerii* Rehm in *Hedwigia* 1897, p. 377; *Syll. F. XIV*, p. 676. Hypophyll auf *Machaerium*, Rio de Janeiro. — Zerstreute wenige kleine ( $\frac{1}{2}$  mm) Stromata mit 1—3 Perithezien. Blatt der Nährpflanze elliptisch, ziemlich derb, 35—40 mm lang, 16—20 breit. Perithezien kugelig.

#### 2. Ps. *machaeriophila* (P. Henn.) Th.

Syn.: *Dothidea machaeriophila* P. Henn. in *Hedwigia* 43 (1904), p. 256. *Dothidella machaeriophila* Sacc. in *Syll. F. XVII*, p. 847.

Epiphyll auf *Machaerium* sp., Amazonas (dünne kleine Fiederblättchen, etwa 16 mm lang, 4 breit, oben mit Spitzchen, unten mit einseitiger asymmetrischer Ausbuchtung, hypophyll gräugrün).

Stroma  $\frac{1}{2}$ —1 mm. Perithezien wie vorige. Morphologisch kaum verschieden.

#### 3. Ps. *coccodes* (Lév.) Theiß. et Syd. — Ann. Myc. 1915, p. 565.

Syn.: *Sphaeria coccodes* Lév. — Ann. Sc. nat. 1845, III, p. 50.

*Physalospora coccodes* (Lév.) Sacc. — *Syll. F. I*, p. 446; IX, p. 597.

*Phyllactora coccodes* (Lév.) E. et E. — *North Am. Pyrenom.* p. 597.

Berkeleys *Dothidea coccodes* Fr. in *Cuban Fungi* 867 ist verschieden. Auf einer Leguminose, Brasilien (Blatt länglich-elliptisch, zugespitzt, nach unten langsam verschmälert,  $40 \times 10$  mm, derb). Der Pilz tritt epiphyll dicht zerstreut auf,  $\frac{3}{4}$  mm. Perithezien dünnwandig, weich, kugelig, zwei bis drei in einem Stroma,  $300-350 \mu$  groß, kurzhalsig.

#### 4. Ps. *Munkii* (Speg.) Theiß.

Syn.: *Dothidea Munkii* Speg. in *F. Guar.* I, No. 289.

*Roussoella Munkii* Speg. in *F. Puigg.* No. 329; *Syll. F. IX*, p. 1045.

Auf *Quebrachia* sp., Brasilien, epiphyll; vgl. *Ann. Myc.* 1915, p. 185. Die Matrix könnte mit der von *coccodes* identisch sein. Der Pilz ist noch jung, meist noch *phyllactora*-artig (deshalb von Spegazzini erst als *Dothidea* beschrieben) meist 1 mm groß. Sporen mit hellem Querstreifen in jeder Zelle (wie bei der indischen *Bauhiniae*). Perithezien bis zu sechs in einem Stroma, etwas niedergedrückt kugelig.

#### 5. Ps. *pulchella* (Speg.) Theiß.

Syn.: *Munkiella pulchella* Speg. in *Roumeg. F. Gall.* 3246; *Syll. F. IX*, p. 1035.

Auf *Dalbergia variabilis*, epiphyll, Brasilien; so auch Rhab. W. 3461; hierher auch die von Rick und mir gesammelten Exemplare auf gleicher Nährpflanze (Blätter und Hülsen!) aus Rio Grande do Sul sub *Roussoella*

*subcoccodes* Theissen, Decades 4 und 142. *Cocconia Machaerii* P. Henn. (Syll. 18, p. 160) wird wohl eher zu (1) gehören.

Stromata  $\frac{1}{2}$ — $1\frac{1}{2}$  mm groß, innen blaß und weich, meist stark gesellig, zuweilen im Kreise um eine *Phyllachora* herum. Auf den Hülsen ließen die Stromata oft zusammen zu 2—3 mm großen rauhen Knollen; auf anderen bleiben sie winzig klein und isoliert; in den größeren, welche auch dementsprechend höher werden (bis 1,2 mm gegen 0,6—0,8 gewöhnliche Höhe), werden die Perithezien ebenfalls lang flaschenförmig bis ein mm hoch, sehr dicht gedrängt.

6. *Ps. subcoccodes* (Speg.) Theiß.

Syn.: *Roussoella subcoccodes* Speg. in F. Puigg. I, p. 549 no. 329; Syll. F. IX, p. 1045.

Auf einer kletternden Leguminose mit elliptischen kahlen Blättern, Apiahy. Hierher wohl auch von mir gesammelte Blätter einer kletternden Leguminose mit länglichen Blättern (6—8  $\asymp$  2 cm).

7. *Ps. Caseariae* Theiß. n. spec.

Auf Blättern, Blattstielen und Ästchen von *Casearia* sp. in Rio Grande do Sul (früher als *subcoccodes*); vgl. Ann. Myc. 1915, p. 186. Epiphyll, meist nur  $\frac{1}{2}$ —1 mm, seltener bis  $1\frac{1}{2}$  (auf den holzigen Teilen dichtstehend, meist länglich, reihenweise zusammenliegend). Sporen 12—14  $\asymp$  5—6  $\mu$ . Perithezien niedergedrückt kugelig bis kugelig, auf dem Holz bis 1 mm hoch (Hals allein 300—350  $\mu$  lang). Stroma oben oft weinrot. Konidienlokuli peripherisch, kugelig—elliptisch, mit kugeligen bis elliptischen, 6—8  $\asymp$  6  $\mu$  großen hellbraunen Konidien, die oft in der Mitte einen hellen Gürtel oder Fleck aufweisen.

8. *Ps. mauaensis* (P. Henn.) Th. et Syd. — Ann. Myc. 1915, p. 338.

Syn.: *Dothidea mauaensis* P. Henn. in Hedwigia 1904, p. 88; Syll. F. XVII, p. 853.

Hypophyll auf einer *Dalbergiazee*, Rio de Janeiro. — Stromata in kleinen etwas kreisförmigen Gruppen beisammen. Perithezien in dem kompakten rotbraunen Stroma, dicht gelagert, zu mehreren in jedem Stroma, kugelig, groß, 350—400  $\mu$ , den 200  $\mu$  langen Hals nicht eingerechnet.

9. *Ps. Centrolobii* (P. Henn.) Theiß.

Syn.: *Dothidea Centrolobii* P. Henn. in Hedwigia 1904, p. 255; Syll. F. 17, p. 853.

*Achorella Centrolobii* (P. H.) Th. et S. in Ann. Myc. 1915, p. 341.

Auf *Centrolobium*, Tarapoto, Peru. Epiphyll; Stroma  $\frac{3}{4}$ — $1\frac{1}{2}$  mm, erst glänzend schwarz, dann aus dem Klypeus hervorbrechend rotbraun. Sporen wie bei *Caseariae* ziemlich lang, 11—13  $\asymp$  5—5  $\frac{1}{2}$   $\mu$ . Wie früher bemerkt, ist in Querschnitten eine selbständige Perithezienmembran nicht sicher festzustellen und die Art darum den Dothideen zugeteilt worden; aber der Pilz ist nach allem so vollkommen übereinstimmend mit den übrigen *Pseudothisis*-Arten (vgl. a. a. O.), daß dieser Umstand nicht ins Gewicht fallen kann.

10. **Ps. geralensis** (Rehm) Th. et Syd. — Ann. Myc. 1915, p. 228.

Syn.: *Hysterostomella geralensis* Rehm in Hedwigia 1900, p. 212; Syll. F. XVI, p. 656.

Epiphyll auf unbestimmten Blättern in Brasilien (von Rehm fraglich als *Ficus* bezeichnet). Stroma 1—2 mm breit, mit zahlreichen Perithezien, innen sehr locker, fast nur aus der Krustenschicht bestehend. Kugelige braune Konidien vorhanden. Perithezien etwas niedergedrückt kugelig, mit deutlicher brauner Membran.

## II. Asien.

11. **Ps. cingulata** Syd. — Engl. bot. Jahrb. 1916, p. 257.

Auf Blättern einer schlingenden Leguminose, nordöstl. Neu-Guinea. Stroma auf beiden Blattseiten, subepidermal-oberflächlich, kaum  $\frac{1}{2}$  mm groß, rotbraun. Perithezien 1—3, kugelig, kurzhalsig. Sporen 10—12  $\approx 4-4\frac{1}{2} \mu$ , die bedeutend größere Oberzelle oft mit hyalinem Streifen. Konidien kugelig, braun, einzellig, 7—10  $\mu$ .

12. **Ps. Pterocarpi** Syd. — Ann. Myc. 1915, p. 339.

Syn.: *Dothidea Pterocarpi* Syd. — Phillip. Journ. Sc. 1913, p. 280. Epiphyll auf *Pterocarpus indicus*. Sporen 10—13  $\approx 5-7 \mu$ . Stroma  $\frac{1}{2}-1$  mm, subepidermal (nicht subkutikulär, wie es irrtümlich Ann. Myc. l. cit. heißt).

13. **Ps. Bauhiniae** Theiß. n. n.

Auf *Bauhinia Vahlii*, Calcutta, Indien.

Die Kollektion enthält gleichzeitig eine *Phyllachora*, die von Winter als *Trabutia Bauhiniae* beschrieben wurde mit farblosen einzelligen Sporen; v. Höhnel beschrieb (Fragm. No. 774) die *Pseudothisis* als *Roussocella Bauhiniae*, fand aber keine reife Fruchtschicht, nur braune kugelige Konidien (*Contothyrium*) und unreife Asken; die *Phyllachora* hielt er für das *Conothyrium* der *Roussocelia*. Vgl. dagegen Ann. Myc. 1915, p. 491; die *Roussocella* ist eine echte *Pseudothisis* mit reifen typischen Sporen, 10—11  $\approx 4-5\frac{1}{2} \mu$ , ungleichzellig, mit hyalinem Querstreifen in jeder Zelle (wie bei *Ps. Munkii*); die Konidien entstehen in der *Pseudothisis*; die *Phyllachora* ist ein Pilz für sich, der nur mit *Pseudothisis* vergesellschaftet ist, wie es in dieser Gattung öfter vorkommt. Die Wintersche *Trabutia* muß also für die *Phyllachora* gelten und die *Pseudothisis* einen neuen Namen erhalten.

14. **Ps. Milletiae** (Rac.) Th.

Syn.: *Myrmaecium Milletiae* Rac. in Bull. Acad. Sc. Cracovie 1909, p. 391.

Auf *Milletia sericea*, Buitenzorg, Java.

Original nicht gesehen, nach der Beschreibung gehört die Art jedoch offenbar hierher: Stroma 1—5 mm breit, farblos weich, zwischen Epidermis und Palissaden, mit epidermalem Klypeus, der später rissig gesprengt wird; die Kruste des vortretenden Stromas wird dunkler. Perithezien kurzhalsig, linsenförmig oder rund, 100—190  $\mu$  hoch, 200—260  $\mu$  breit. Sporen 7—9  $\approx 3-4 \mu$ , ungleich zweizellig, braun, die Oberzelle mit hyalinem Quer-

streifen (wie bei *Bauhiniae* und *Munkii*). „Paraphysen fehlen“, würde nicht zu *Pseudothis* stimmen; im Hinblick auf die sonstige auffallende Übereinstimmung dürfte diese Angabe angezweifelt werden.

### III. Afrika.

#### 15. *Ps. congensis* Theiß. n. n.

Syn.: *Homostegia Pterocarpi* Pat. et Har. in Bull. Mus. Hist. nat. de Paris, 1911, p. 368.

Auf *Pterocarpus erinaceus*, Chari, Congo. — Stroma epiphyll, klein, meist nur  $\frac{1}{2}$  mm, ein- bis zweihäusig. Sporen braun, ungleich zweizellig,  $10 \times 4 \mu$  (die Angabe „sporis transverse biseptatis“ beruht auf einem

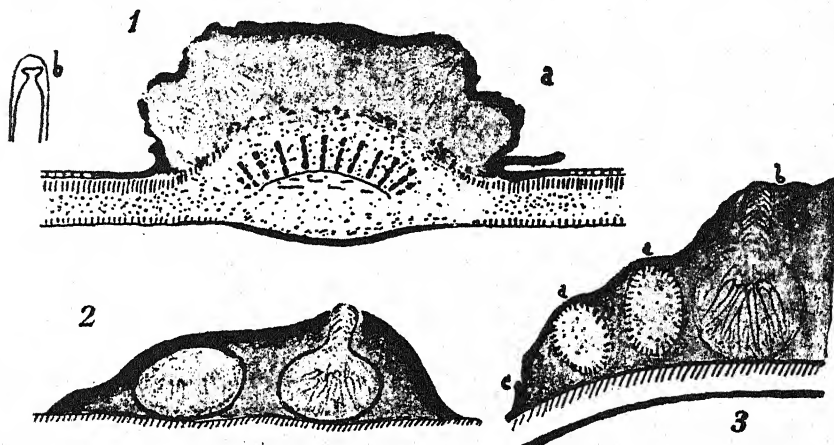


Fig. 4. 1. *Causalais Myrtacearum* Th. — a) Querschnitt durch ein Stroma auf einem Blattnerv, mit den Resten des Clypeus bedeckt; b) Schlauchspitze.  
2. *Pseudothis Munkii* (Speg.) Th. — Querschnitt durch ein noch von dem Clypeus bedecktes Stroma.  
3. *Pseudothis Caseariae* Th. auf Casearia-Stengeln; Randteil eines Stromas im Querschnitt: a) Pykniden, b) Peritheziump, c) Clypeusrand.

Irrtum der Autoren; vgl. Ann. Myc. 1915, p. 608). Konidien kugelig, braun, einzellig.

#### 16. *Causalais* n. gen. [Etymon καύσαλις = Brandblase].

Wie *Pseudothis*, Sporen einzellig farblos. (Klypeus epidermal, kohlig, glänzend schwarz, aufspringend, aber nicht ganz abgeworfen wie bei *Pseudothis*. Stroma auf den Palissaden stehend, von dem aufgewölbten Epidermalklypeus bedeckt, innen weich und weiß, an der Kruste bröckelig-violettbraun. Perithezen krugförmig, mit weicher heller Wand, mit dem periphysierten Hals die Kruste erreichend.)

#### *Causalais Myrtacearum* (Rick) Theiß.

Syn.: *Pseudorhytisma Myrtacearum* Rick.

Der in der „Broteria“ V, 1906, p. 38 beschriebene Pilz ist in Ricks Fungi austro-americ. 132 ausgegeben; auch sammelte ich ihn selbst in

Rio Grande do Sul auf *Campomanesia*-Blättern (Myrtazee). Die 2—5 mm großen Stromata sehen aus wie eine *Phyllachora*, bzw. *Catacauma*, springen aber rissig auf (meist am Rande), so daß Rick sie als Phacidiee auffaßte. In Wirklichkeit bestehen sie aus einem hellen Mark, welchem zahlreiche Perithezien eingelagert sind.

Stroma subepidermal, d. h. auf den Palissaden ruhend, von der hoch aufgewölbten Epidermis bedeckt, welche in einen undurchsichtigen, kohlig-harten Klypeus umgewandelt ist; Klypeus außen glänzend schwarz. Inneres Stroma weißzellig, nur an der Basis etwas bröckeliges violettfarbiges Stroma wie auch oben unter dem Klypeus, besonders an den aufgesprungenen Stellen. Daß der Klypeus wie bei *Pseudothis* ganz abgeworfen wird, habe ich nirgends beobachten können. Perithezien krugförmig, die ganze Stromahöhe einnehmend, mit Hals 340—400  $\mu$  hoch, 250—320  $\mu$  breit, mit ganz weicher, aber gelb gefärbter faseriger Wand, mit dem periphysierten Hals die Kruste erreichend. Asken radial wandständig, paraphysiert, fast zylindrisch, 10—12  $\mu$  breit, 100—130 lang; die acht Sporen ein- bis zweireihig, länglich elliptisch, einzellig, farblos, 24—26  $\times$  9—10  $\mu$ .

Den Perithezien gehen ähnliche Lokuli voraus mit einzelligen länglichen farblosen, 8—12  $\times$  2—3  $\mu$  großen Konidien.

Häufig ist die gleichzeitige Ausbildung eines Schlauchstromas auf beiden Blattseiten einander gegenüber (sonst vorzugsweise epiphyll), beide natürlich nur subepidermal, so daß das pilzfreie Blatt fast unverändert mitten durch beide hindurchgeht (abgesehen von Zügen ganz farblosen Maschengewebes, welche von der Basis der Stromata aus in das Mesenchym eindringen); diese täuschen noch mehr eine blattdurchsetzende *Phyllachora* vor.

Auf der Blattspreite sind die Stromata gewöhnlich kreisförmig, 2—3 mm; auf dem Mittelnerv wie auf den Blattstielen werden sie länglicher, bis 5 mm, kräftiger, stärker aufgewölbt und auch stärker aufreißend.

Auf denselben Blättern kommt nun gleichzeitig noch eine richtige *Phyllachora* vor (zu welcher auch die in Rehms Ascom. 1790 und meinem Decades F. brasili. 40 und 41 unreif ausgegebenem Exemplare sub *Dothidella? placentiformis* Rehm gehören). Ich nenne dieselbe

#### *Phyllachora Rickiana* Theiß. n. spec.

Klypeus epidermal, auf beiden Blattseiten, 2—3 mm breit, außen glänzend schwarz, aufgewölbt (die befallene Blattstelle ist bis 500  $\mu$  dick gegen 270  $\mu$  normaler Dicke), kohlig, 40—50  $\mu$  dick. Mesenchym wenig verändert, stellenweise in hyalines undeutliches zartes Pilzstroma verwandelt. Perithezien von einer Epidermis zur andern reichend, kugelig, mit Hals, ungefähr 400—430  $\mu$  hoch und breit, nicht eng beisammen liegend, epiphyll mündend, mit brauner, deutlicher, in der Dicke stark wechselnder Membran. Asken wandständig radial, paraphysiert, länglich,

68—78  $\approx$  14—15  $\mu$ . Sporen zweireihig, elliptisch, 10—13  $\approx$  6  $\mu$ , farblos, einzellig.

Von allen auf Myrtaceen in Brasilien beschriebenen Arten (vgl. Ann. Myc. 1915, p. 535) besonders durch die Eigenart des Stromas und die großen Perithezien verschieden.

#### IV. Verschiedenes.

1. *Lophiotrema Rickii* Theiß. n. sp. — Fig. 1d.

*Cryptospora* sp. in Rick, Fungi austro-amer. 300.

Auf Halmen der *Guadua taquara*, São Leopoldo, Brasilien.

Perithezien eingesenkt, meist reihenweise, ohne Stroma, nur mit dem elliptisch verbreiterten Scheitel vorragend, flaschenförmig. 650  $\mu$  lang (davon etwa 200—250  $\mu$  auf den Halsteil entfallend), 350  $\mu$  breit; Halsteil zylindrisch, oben zu dem 250  $\mu$  breiten zusammengepreßten Scheitel erweitert; Ostium spaltförmig. Membran ziemlich dünn, 14—18  $\mu$  dick, aus stark gekräuselten, verflochtenen, braunen, etwas weichen Hyphen gekröseartig gewoben. Askus wandständig radial, reich paraphysiert, jodnegativ, ohne Porus, zylindrisch-keulig, nach unten ganz allmählich verschmäler, 120—140  $\approx$  16—19  $\mu$  (p. sp. 110), oben etwas verdickt, achtsporig. Sporen schief übereinander deckend, farblos, länglich, S-förmig gekrümmt, 6—7 zellig, beiderseits zugespitzt, 40—50  $\approx$  5  $\mu$ . — Figur siehe Ann. Myc. 1917, p. 274.

2. *Microthyrium Laurentianum* P. Henn.

Auf *Coffea*-Blättern, Kongo; Berliner Museum.

Nach den auf der Scheda angebrachten Zeichnungen fand Henning myzellose radiäre Gehäuse von 180  $\mu$  Größe, keulige paraphysierte Schläuche und hyaline zweizellige Sporen. Demnach läge ein *Microthyrium* vor. Die Etikette trägt außerdem noch den Vermerk „n. gen. Eurotiacearum“, was natürlich mit der Zeichnung schwer zusammenstimmt.

Das Exemplar enthält reichlich Myzel einer *Meliola*, das von den hellbraunlichen zarten, 2—3  $\mu$  breiten Hyphen des „*Microthyrium*“ nach Art eines *Trichothyrium* stark über- und umspinnen ist. Auf den *Meliola*-Hyphen verlaufen diese Hyphen längs parallel, wodurch erstere gerieft erscheinen, ebenso die keuligen Hyphopodien der *Meliola*; nebenher strahlen die zarten Hyphen einzeln wirr aus. Dem Myzel sitzen zahlreiche keulige Perithezien frei auf, etwa 85  $\mu$  groß, angefeuchtet mit deutlicher vortretender Papille, trocken schüsselförmig einsinkend, rauh, aber nicht grobwarzig; ihre Membran ist häufig, aus 8—11  $\mu$  großen, polygonalen, gelbbraunen Zellen parenchymatisch gebaut (radiär gebaute Gehäuse sind auf dem Original überhaupt nicht vorhanden). Askus in der unteren Kugelhälfte parietal-radial, keulig, paraphysiert, 54—68  $\approx$  10—12  $\mu$ , achtsporig; Sporen farblos, zweireihig, 14—16  $\approx$  4—5  $\mu$ . Ähnliche kleinere Perithezien enthalten 2—3 4-zellige, längliche, hellbraune Konidien von wechselnder Größe, meist 16—20  $\approx$  4  $\mu$ .

Der Pilz ist also eine epiphytische Sphaeriazee und zu *Dimerinopsis* Syd. gehörig, die dritte Art dieser Gattung (vgl. Ann. Myc. 1917, p. 202) und *Dimerinopsis Laurentiana* (P. Henn.) Theiß. zu nennen.

3. *Mycosphaerella Euryae* Theiß. n. sp.

Blattflecken bleich-grau, schwarz umrandet, beiderseits sichtbar, 3—10 mm. Perithezien eingesenkt, kugelig, 100—120  $\mu$ , braun parenchymatisch, ohne echtes Osticulum, meist hypophyll mündend und dort schwarz punktförmig etwas vortretend. Asken zylindrisch-keulig, radial, zwischen verschleimenden Fasern, achtsporig. Sporen farblos, länglich schmal, keulenförmig (Oberzelle  $3\frac{1}{2}$   $\mu$  breit, Unterzelle  $2\frac{1}{2}$ —3), 18—21  $\mu$  lang, etwas oberhalb der Mitte septiert.

Auf Blättern der *Euryae chinensis*, Tokyo, lg. M. Shirai, 6. 1899, socio *Aulographo Euryae* Syd. (vgl. Syll. F. XVI, p. 659).

4. *Aulographum Myrtaceae* Theiß. n. sp.

Epiphyll. Rasen matt schwarz, krustig, 3—6 mm, kreisförmig. Hyphen oberflächlich, braun, septiert, verzweigt, 5  $\mu$  breit; derbwandig; Hypopodien abwechselnd, aufrecht zylindrisch, gebogen bis leicht gelappt, 5  $\mu$  breit und 8  $\mu$  hoch, oder kurz kopfig 5—6  $\mu$ . Gehäuse linear, gerade oder gebogen, oberflächlich, 180—240  $\mu$  lang, 35—50  $\mu$  breit, spaltig aufspringend, radiär gebaut, invers. Asken paraphysiert, elliptisch, sehr kurz gestielt, 24—28  $\approx$  14—16  $\mu$ , achtsporig, dickwandig. Sporen farblos, zweizellig, 8—10  $\mu$  lang, Oberzelle 3—4  $\mu$  breit, Unterzelle 2—3  $\mu$ , stark eingeschnürt. Paraphysen undeutlich.

Auf Blättern einer *Campomanesia*, S. Leopoldo, Rio Grande do Sul, Brasilien; lg. Theissen.

5. *Phacidina gracilis* (Nießl) v. H.

Syn.: *Myiocpron Lycopodii* Rostr. — Syll. XI p. 379.

Rostrups *Myiocpron* wurde auf *Lycopodium complanatum* in Jütland gefunden. Die Fruchtkörper sind zerstreut, aber häufig, kreisförmig bis elliptisch, 200—280  $\mu$  groß, glatt, scharfrandig, braunschwarz, etwas glänzend, im Zentrum rissig aufspringend und im Alter oder bei Anfeuchtung die sternförmigen Lappen zurückbiegend, wobei die gelbliche Fruchtscheibe zum Vorschein kommt. Der Pilz ist scheinbar oberflächlich, der Querschnitt beweist jedoch, daß er subkutikular wächst; die Deckschicht ist braun, undeutlich kleinzellig, fest mit der Kutikula verklebt; dies in Verbindung mit dem flachen farblosen Hypothecium (auf der unveränderten Epidermis) und Diskus-Hymenium beweist, daß er keine Microthyriee, sondern eine Hypodermee ist und zu *Phacidina* gehört.

Beim Nachschlagen fand sich nun, daß auf *Lycopodium* schon ein *Phacidium gracile* bekannt ist; ich konnte Exemplare aus F. exs. austro-hungarici 2376 vergleichen, die mit Nießls Original bestimmt identisch sind (am klassischen Fundort Laibach auf gleicher Nährpflanze von Voss gesammelt); sie sind äußerlich und mikroskopisch von Rostrups Original

nicht zu unterscheiden (auch die Diagnosen stimmen ja vollständig überein). Die Übereinstimmung nach Matrix und Pilz ist derart, daß auch kein Anlaß zur Aufstellung einer eigenen Varietät vorliegt. — Über *Phacidina* v. H. vgl. Ber. D. Bot. Gesellsch. 1917, p. 418 sowie Ann. Myc. 1917, p. 324.

6. *Gaillardiella melioloides* Rehm (olim *Otthia*) in *Hedwigia* 1901, p. 107; Syll. F. XVI, p. 507.

Die Art ist identisch mit *Gibbera Mikaniae* (P. Henn.) Rick et Th. Name und Synonymie lauten demnach:

*Gibbera melioloides* (Rehm) Th.

Syn.: *Otthia melioloides* Rehm.

*Gaillardiella melioloides* Rehm.

*Dothidella Mikaniae* P. Henn.

*Gibbera Mikaniae* (P. Henn.) Rick et Th.

*Winteromyces caespitosus* Speg.

Vgl. Ann. Myc. 1917, p. 183.

## Über die Spezialisation der Peronospora auf einigen Scrophulariaceen.

Von Ernst Gäumann.

(Mit 6 Textfiguren.)

Infektionsversuche mit mehreren Peronospora-Arten, nämlich der *Peronospora parasitica* auf Cruciferen (Gäumann 1916 und 1918a), der *Peronospora calotheca* auf Rubiaceen (Gäumann 1918b) und noch unpublizierte Versuchsreihen mit der *Peronospora Alsinearum*, der *Peronospora Viciae* und der *Peronospora Trifoliorum* haben gezeigt, daß in der Gattung Peronospora eine womöglich noch weitergehende biologische Spezialisierung eingetreten ist als bei manchen Uredineen. So befällt die Peronospora auf *Sisymbrium officinale* nur wieder *Sisymbrium officinale* und keine andere Crucifere, auch nicht einmal *Sisymbrium Sophia* oder *Sisymbrium Loeselii*; ebenso vermag die Peronospora auf *Asperula odorata* nur wieder Exemplare ihrer Wirtsart zu befallen, aber keine andere Rubiacee usw.

Durch variationsstatistische Messungen der Conidiendimensionen wurde ferner der Nachweis erbracht, daß die Mehrzahl dieser biologisch spezialisierten Formen sich auch morphologisch unterscheiden, indem sie in der Form und der Größe der Konidien, z. T. sogar im Bau der Konidenträger, voneinander differieren. Es ist also umgekehrt der Schluß erlaubt, daß jedenfalls zwei sich morphologisch unterscheidende Peronospora-Formen auf zwei verschiedenen Wirtspflanzen sich auch biologisch in bezug auf diese zwei Wirte ausschließen und demnach als gute Arten zu betrachten seien.

Es sind zwar gegen diese Schlußfolgerung mehrere Einwände zu gewärtigen. Einmal wäre es ja möglich, daß ein und dieselbe Wirtspflanze als Sammelwirt für mehrere Peronospora-Arten fungierte, ein Fall, der z. B. von Alfred Fischer (1892, p. 449 und 452) für *Arenaria serpyllifolia* und von Magnus (1893, p. 72 und 74) für *Spergula vernalis* angenommen worden ist. In diesem Falle wäre natürlich eine bloß auf morphologische Studien gestützte Speziesunterscheidung nicht angängig, da ja auf demselben Blatt und in demselben Rasen zwei Peronospora-Arten sich vermischt haben könnten. Wie ich aber in einer demnächst in den Beiträgen zur Kryptogamenflora der Schweiz erscheinenden ausführlichen Darstellung der Gattung Peronospora zu zeigen hoffe, können diese Angaben von Fischer und Magnus nicht mehr aufrecht erhalten werden.

Andererseits ist aber tatsächlich für die *Aggregatae* eine Modifikation dieses Sammelwirtsvorhältnisses nachgewiesen, indem einige von ihnen auf den vegetativen und auf den reproduktiven Teilen je eine besondere Peronospora-Art tragen. Wenn nun auch die betreffende Wirtspflanze bis zu einem gewissen Grade einen Sammelwirt darstellt, indem sie ja zwei Peronospora-Arten beherbergt, so weicht sie doch vom normalen Sammelwirtstypus insofern ab, als jede dieser zwei Arten auf bestimmte Organe der Phanerogame lokalisiert ist und schon deshalb kaum einer Verwechslung unterliegt. Einzig Lind hat hier einen eigenartigen Standpunkt vertreten, indem er auf *Chrysanthemum segetum* (Sydow, Phycom. et Protom. 309) eine *Peronospora Radii f. foliicola* beschreibt. Dieses Vorgehen läßt sich aber, wie ich in der schon erwähnten Monographie ausführlicher darlegen werde, kaum genügend motivieren, und es bleibt daher das Verfahren zu Recht bestehen, daß man zwei morphologisch verschiedene Peronospora-Formen auf zwei verschiedenen Wirtspflanzen oder auf verschiedenen Organen derselben Wirtspflanze ohne weiteres und im speziellen ohne Infektionsversuche als besondere Arten betrachten darf; denn eine Vermischung von zwei Peronospora-Arten in demselben Rasen ist nach unsrern bisherigen Kenntnissen nicht möglich..

Es bietet nun ein nicht geringes Interesse, nach diesen Gesichtspunkten die gesamte Gattung Peronospora durchzuarbeiten und zu untersuchen, welche Mannigfaltigkeit der Modifikationen in diesem weiten Gebiet eingetreten ist. Ein kleines Abbild dieser Verhältnisse sollen die nachfolgenden Darstellungen geben, die einzigt den falschen Meiltau auf der Gattung *Veronica* und auf zwei Arten der Gattung *Linaria* betreffen. Aus der Gattung *Veronica* habe ich dabei folgende Materialien konsultiert, für deren Überlassung ich den Herren Dr. P. Cruchet in Payerne (Schweiz), Prof. Dr. Ed. Fischer in Bern, Prof. Dr. H. O. Juel in Uppsala, Prof. Dr. G. Lagerheim in Stockholm und Dr. Eug. Mayor in Perreux (Schweiz) auch hier meinen ergebenen Dank wiederhole.

*Veronica polita* Fries. Champs au bord du lac à Colombier. 12. 4. 08. (Herb. Mayor).

*Veronica Anagallis* L. Fossée entre Belmont et Perreux sur Boudry. 30. 7. 16. (Herb. Mayor).

*Veronica arvensis* L. Teplitz, Frühling 1872. leg. F. de Thuemen (fung. austr. 835).

*Veronica Beccabunga* L. Zihlkanal bei Nidau (Bern). 6. 17. leg. E. Gäumann (Herb. Bot. Inst. Bern).

*Veronica Chamaedrys* L. Marienberg bei Aussig (Böhmen). 27. 3. 1900. leg. Fr. Bubák (Vestergren, Microm. rar. sel. 343).

*Veronica fruticans* Jacq. Bord de la route des Chalets de Mayens à la Bergerie Poyeux. Environs de Leysin. 1. 7. 17. (Herb. Mayor).

*Veronica hederifolia* L. Ung. Altenburg. 4. 85. leg. Linhart (fung. hung. 488).

*Veronica officinalis* L. Marienspring bei Cladow. 6. 90. leg. P. Sydow (Myc. March. 2969).

*Veronica polita* Fries. Champs entre le Villaret et Corcelles. 17. 4. 08.  
(Herb. Mayor).

*Veronica praecox* All. Karlstein (Böhmen). 11. 5. 01. leg. Fr. Bubak (Vestergren, Microm. rar. sel. 709).

*Veronica prostrata* L. Wilmersdorfer Wiesen, Berlin. 5. 88. leg. P. Sydow  
(Myc. March. 1978).

*Veronica scutellata* L. Svend berg  
(Fyen). 2. 9. 82. leg. C. J. Johanson (Herb. Bot. Inst. Uppsala).

*Veronica serpyllifolia* L. Djur-gården, Stockholm. 29. 5. 83. leg. O. Juel (Herb. O. Juel).

*Veronica teucrium* L. Bei Salgesch (Wallis). 23. 5. 15. leg. Ed. Fischer (Herb. Bot. Inst. Bern).

*Veronica Tournefortii* Gmel. En Pramay, Payerne. 23. 4. 08. (Herb. P. Cruchet).

*Veronica triphyllus* L. Schöneberg bei Berlin. 5. 87. leg. P. Sydow. (Myc. March. 1346).

*Veronica urticifolia* Jacq. Bois entre la Fontaine Froide et les Pâturages du Creux du Van. 16. 7. 03. (Herb. Mayor).

*Veronica verna* L. Teplitz, Frühling 1872, leg. de Thuemens (fung. austr. 417).

In bezug auf die Oosporen stimmt die Peronospora auf diesen 17 *Veronica*-Arten, die man bisher als *Peronospora grisea* zusammenfaßte, mit den Angaben der früheren Autoren überein; das Epispor ist im großen und ganzen glatt und weist nur einige wenige unregelmäßige Falten auf. Die Angabe von Berlese (1904, p. 224), daß die „Perinie“ membranartig und mit feinen Warzen dichtbesetzt sei, bezieht sich wohl auf die Oogonwand, die auch hier, wie bei so zahlreichen andern Peronospora-Arten, nur schwer vom Epispor zu unterscheiden ist. Immerhin habe ich die Oosporen nur gefunden auf *Veronica arvensis* und *Veronica verna*.

Hinsichtlich der Konidienträger herrscht eine ähnliche Übereinstimmung, wenn auch nicht in so weitgehendem Maße; denn es fehlt hier nicht an

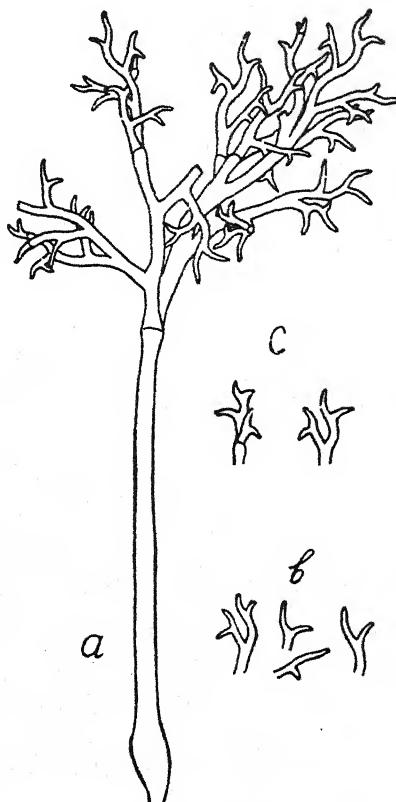


Fig. 1 (Vergr. 175).  
a) Konidienträger der Peronospora auf *Veronica scutellata*.  
b) Gabeln der Peronospora auf *Veronica fruticans*.  
c) Gabeln der Peronospora auf *Veronica serpyllifolia*.

kleinen Unterschieden, die einem bei durchgehender Betrachtung in die Augen springen und bei denen doch der Entscheid schwer zu treffen ist, ob es sich nur um individuelle Modifikationen handelt oder ob tatsächlich eine konstante Formverschiedenheit vorliegt. So zeigen in Fig. 1 die Gabeln der Peronospora auf *Veronica serpyllifolia* und *Veronica fruticans* gegenüber denjenigen von *Veronica scutellata* leicht bemerkbare Differenzen, indem sie meist etwas kürzer, unter Umständen sogar etwas dicker sind, gleichmäßiger auslaufen und der kleiderhaken- oder sigmaförmigen Rückwärtskrümmung entbehren. Sowie man aber solche Einzelheiten scharf umgrenzen will, zerrinnen sie einem unter den Händen, und ich begnüge

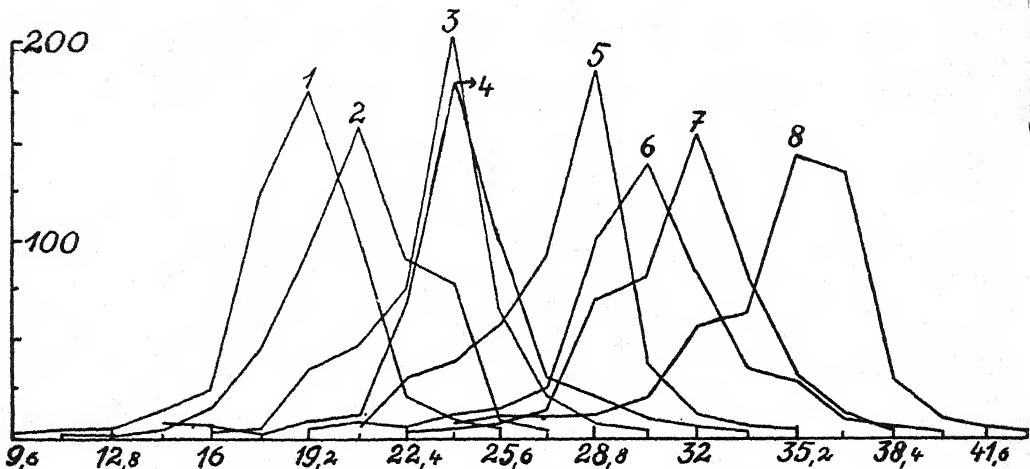


Fig. 2. Kurve 1: Längenkurve der Konidien auf *Veronica polita*.  
 Kurve 2: Längenkurve der Konidien auf *Veronica serpyllifolia*.  
 Kurve 3: Längenkurve der Konidien auf *Veronica Beccabunga*.  
 Kurve 4: Längenkurve der Konidien auf *Veronica hederifolia*.  
 Kurve 5: Längenkurve der Konidien auf *Veronica scutellata*.  
 Kurve 6: Längenkurve der Konidien auf *Veronica fruticans*.  
 Kurve 7: Längenkurve der Konidien auf *Veronica officinalis*.  
 Kurve 8: Längenkurve der Konidien auf *Veronica Anagallis*.

mich deshalb, hier auf diese etwas voneinander abweichenden Eindrücke hingewiesen zu haben.

Weit klarer liegen nun aber die Verhältnisse hinsichtlich der Konidien, die ja auch gegenüber den Konidienträgern den Vorteil der geometrisch weit elementarer Form besitzen. Um ihre Dimensionen eindeutiger charakterisieren zu können, maß ich von jeder Wirtspflanze 500 Konidien in Länge und Breite und stellte die Resultate in den Figuren 2 und 3 zusammen, wobei die Abszissen die Maßstabskala, die Ordinaten die Zahl der gemessenen Konidien wiedergeben.

Fig. 2 gibt die Längenunterschiede zwischen den verschiedenen Formen wieder und zeigt in besonders schöner Weise, wie die Kurven, trans-

gredierend, sich stellenweise decken, so daß es, hätte man nur sie zur Verfügung, unter Umständen nicht ganz leicht sein könnte, die verschiedenen Konidienformen auseinander zu halten. Vollends unmöglich wäre das für die Formen auf *Veronica Beccabunga* und auf *Veronica hederifolia*, deren Kurvengipfel ja über derselben Abszisse liegen. Hier aber greifen die Breitenkurven helfend ein und lassen erkennen, daß auch dort, wo die Längen nicht voneinander zu unterscheiden sind, wie z. B. in den Kurven 3 und 4, dann doch die Breitenunterschiede derartige Werte erreichen, daß die mehr kugelige oder mehr ellipsoidische Gestalt der betreffenden

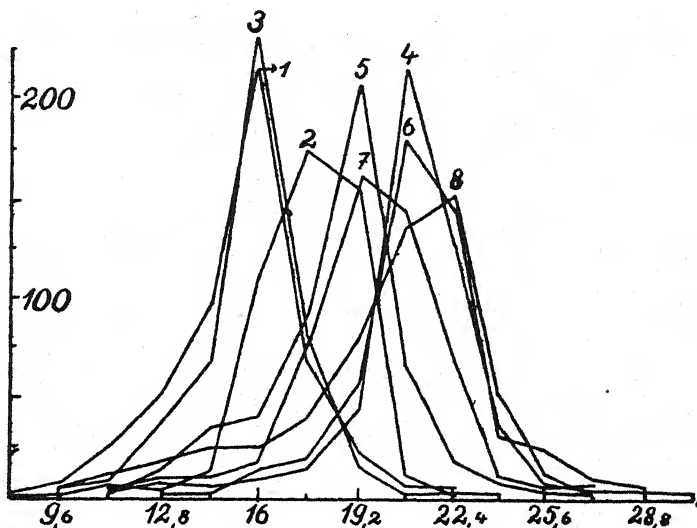


Fig. 8. Kurve 1: Breitenkurve der Konidien auf *Veronica polita*.  
 Kurve 2: Breitenkurve der Konidien auf *Veronica sordidifolia*.  
 Kurve 3: Breitenkurve der Konidien auf *Veronica Beccabunga*.  
 Kurve 4: Breitenkurve der Konidien auf *Veronica hederifolia*.  
 Kurve 5: Breitenkurve der Konidien auf *Veronica scutellata*.  
 Kurve 6: Breitenkurve der Konidien auf *Veronica fruticans*.  
 Kurve 7: Breitenkurve der Konidien auf *Veronica officinalis*.  
 Kurve 8: Breitenkurve der Konidien auf *Veronica Anagallis*.

Konidien eine Verwechslung ausschließt. Was hier für die Kurven 3 und 4 speziell hervorgehoben wurde, gilt in ähnlicher Weise auch für die andern, so für Kurve 6 und 7 usw. Bei allen macht sich also eine hinlänglich charakterisierbare individuelle Form geltend, eine Erscheinung, die vielleicht noch besser in der nachfolgenden Tabelle der Mittelwerte zu erkennen ist, welche aus den obenstehenden Kurven berechnet wurde. Die dritte Kolonne „mittlere Länge durch mittlere Breite“ gestattet dabei, sich unabhängig von den empirischen Größenzahlen eine Vorstellung oder eine Skizze von der mehr kugeligen oder mehr ellipsoidischen Gestalt der betreffenden Konidien zu machen.

	Mittelwert der Längenkurve	Mittelwert der Breitenkurve	Mittlere Länge dividiert durch mittlere Breite
<i>Veronica polita</i> . . . . .	19,07 $\mu$	15,24 $\mu$	1,24
<i>Veronica serpyllifolia</i> . . . . .	20,90 $\mu$	17,76 $\mu$	1,18
<i>Veronica Beccabunga</i> . . . . .	23,65 $\mu$	16,10 $\mu$	1,47
<i>Veronica hederifolia</i> . . . . .	24,67 $\mu$	21,28 $\mu$	1,16
<i>Veronica scutellata</i> . . . . .	27,46 $\mu$	18,66 $\mu$	1,47
<i>Veronica fruticans</i> . . . . .	30,75 $\mu$	21,63 $\mu$	1,42
<i>Veronica officinalis</i> . . . . .	31,74 $\mu$	19,94 $\mu$	1,59
<i>Veronica Anagallis</i> . . . . .	35,26 $\mu$	21,02 $\mu$	1,68

In dieser Zusammenstellung fällt auf, daß selbst Wirtspflanzen von sehr ähnlichem Aussehen und jedenfalls außerordentlich verwandten ökologischen Ansprüchen, wie z. B. *Veronica Beccabunga* und *Veronica Anagallis*, von ganz verschiedenen Peronospora-Arten befallen werden. Diese bloß auf morphologische Betrachtung gestützte Ansicht gewinnt an Wahrscheinlichkeit bei der Berücksichtigung der geographischen Verbreitung dieser beiden Pilze. Die Peronospora auf *Veronica Beccabunga* findet sich sehr häufig durch ganz Europa, von Irland bis Rußland, verbreitet, während umgekehrt die Form auf *Veronica Anagallis* nur für wenige Standorte in der Schweiz, Tirol, Schlesien, Brandenburg und Schweden angegeben wird.

Was die Verteilung der andern 9 *Veronica*-Wirte auf diese 8 Peronospora-Formen betrifft, so findet sich die Peronospora von *Veronica polita* auch auf *Veronica agrestis* wieder, diejenige auf *Veronica serpyllifolia* auf *Veronica arvensis*, *Veronica Chamaedrys*, *Veronica praecox*, *Veronica prostrata*, *Veronica teucrium*, *Veronica Tournefortii* und *Veronica verna*, diejenige auf *Veronica hederifolia* auf *Veronica triphyllum* und die auf *Veronica officinalis* wahrscheinlich auf *Veronica urticifolia*.

Es ist nach allem dem wohl klar, daß die *Peronospora grisea* Unger, wie sie z. B. noch Alfred Fischer (1892, p. 470) auffaßt, in mindestens 8 besondere Arten aufgespalten werden muß. Dabei kann aber der Ausdruck der *Peronospora grisea* dennoch erhalten bleiben; denn er wurde ursprünglich von Unger (1847, p. 315) nur für die Form auf *Veronica Beccabunga* geschaffen, und erst die späteren Autoren haben ihn auf die ganze Gattung *Veronica* erweitert. Mit *Peronospora grisea* Unger bezeichnen wir also in Zukunft nur noch die Form auf *Veronica Beccabunga*; für die andern 7 Formen müssen neue Namen geschaffen werden, die sich am Schluß dieser Arbeit zusammengestellt finden.

Ob nicht später eine noch weitergehende biologische Aufspaltung dieser Peronospora-Formen vorgenommen werden muß, bleibt natürlich speziellen Infektionsversuchen vorbehalten. So ist z. B. die Stellung der Form auf *Veronica urticifolia* noch recht unsicher.

Neben dieser Spezialisierung der Peronospora auf die einzelnen Wirts-spezies, <sup>w</sup>ir gewissermaßen als die normale Spezialisierung bezeichnen

können, findet sich aber bei den Scrophulariaceen auch der Fall realisiert, daß innerhalb derselben Pflanze auf verschiedenen Organen zwei verschiedene Peronospora-Arten parasitieren. Bei der Revision eines von Lagerheim in Schweden gesammelten Exsikkates fand ich auf der Korolle von *Linaria vulgaris* eine ganz andere Form als ich sie früher auf den Laubblättern derselben Wirtspflanze beobachtet hatte. Die Äste und Gabeln waren gerade, steif, unter einem spitzen Winkel von der Verzweigungsstelle abgehend, während sie bei der gewöhnlichen Form bogig geschwungen sind und stärker gespreizte Verzweigungssysteme bilden, wie dies aus Fig. 4 unschwer zu ersehen ist. Der unter a dargestellte Konidienträger

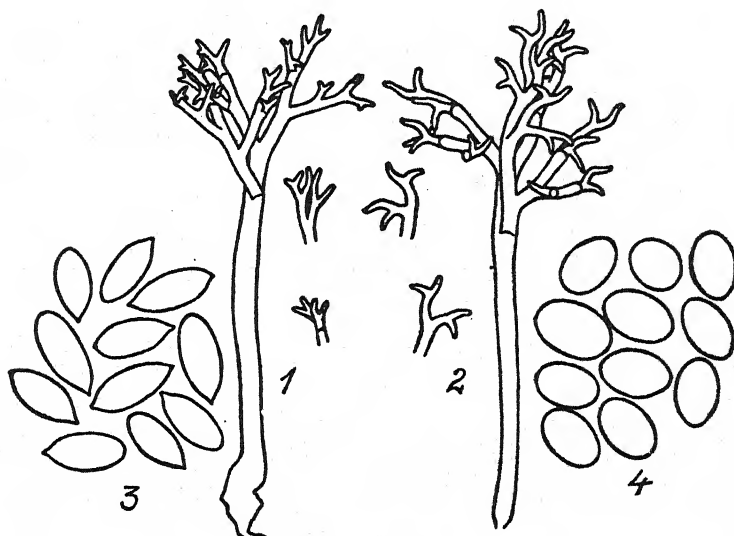


Fig. 4 (Vergr. 175).

1. Konidienträger und Gabeln der Peronospora auf der Korolle von *Linaria vulgaris*.
2. Konidienträger und Gabeln der Peronospora auf den Laubblättern von *Linaria vulgaris*.
3. Konidien der Peronospora auf der Korolle von *Linaria vulgaris*.
4. Konidien der Peronospora auf den Laubblättern von *Linaria vulgaris*.

macht es ferner bei Berücksichtigung von Fig. 1 leicht verständlich, wie de Bary (1863, p. 119) dazu kam, die Peronospora auf *Linaria vulgaris* als etwas robustere Form zur *Peronospora grisea* zuzählen. Die Verwandtschaft ist in der Tat ganz frappant.

Die Peronospora-Form auf den Laubblättern und die auf den Blüten von *Linaria vulgaris* unterscheiden sich aber nicht nur in ihren Konidienträgern, sondern auch in ihren Konidien (Fig. 4, Gruppe 3 und 4), was in gleicher Weise aus den zugehörigen Längen- und Breitenkurven (Fig. 5 und 6) hervorgeht.

Es unterliegt demnach keinem Zweifel, daß wir es hier wie bei den schon zitierten *Aggregatae* mit zwei verschiedenen Peronospora-Arten zu

tun haben, von denen die eine laubblattbewohnend, die andere blütenbewohnend ist. In nomenklatorischer Beziehung war ich ursprünglich geneigt, beide für neue Arten zu halten. Es existiert zwar bereits eine laubblatt-

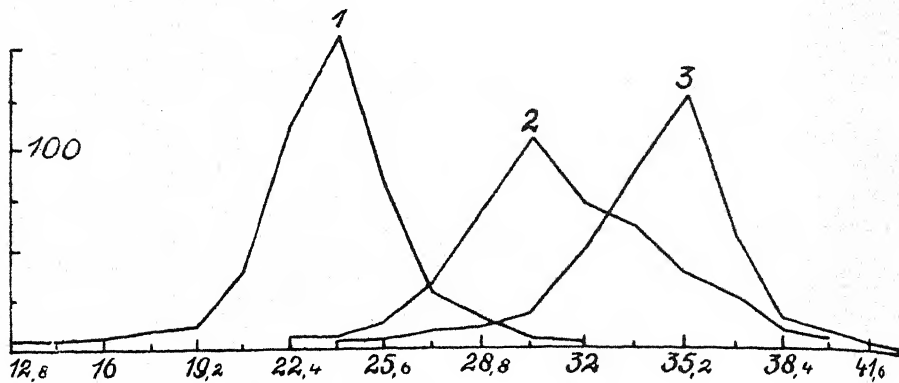


Fig. 5. Kurve 1: Längenkurve der Konidien auf *Linaria minor*.  
 Kurve 2: Längenkurve der Konidien auf den Laubblättern von *Linaria vulgaris*.  
 Kurve 3: Längenkurve der Konidien auf der Korolle von *Linaria vulgaris*.

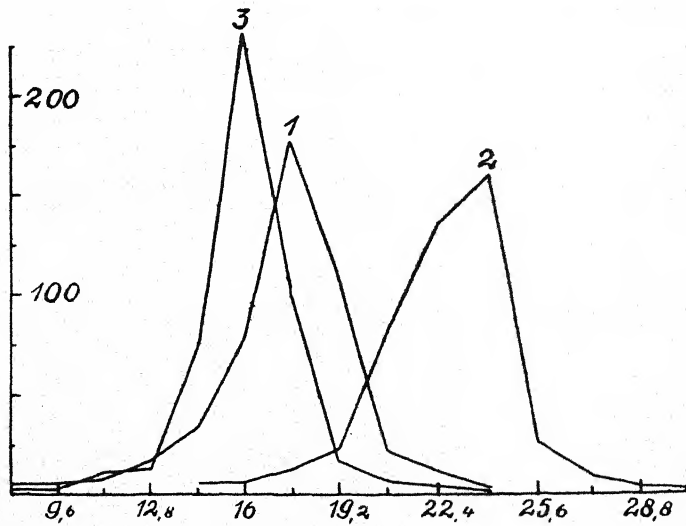


Fig. 6. Kurve 1: Breitenkurve der Konidien auf *Linaria minor*.  
 Kurve 2: Breitenkurve der Konidien auf den Laubblättern von *Linaria vulgaris*.  
 Kurve 3: Breitenkurve der Konidien auf der Korolle von *Linaria vulgaris*.

bewohnende *Peronospora Linariae* Fuckel auf *Linaria minor* (Fuckel, 1867, fungi rhenani 1903). Doch sind die Konidien der Form auf *Linaria vulgaris* beträchtlich größer, was auch durch die folgende Zusammenstellung dargetan wird.

	Mittelwert der Längenkurve	Mittelwert der Breitenkurve	Mittlere Länge dividiert durch mittlere Breite
<i>Linaria minor</i> . . . . .	23,78 $\mu$	17,88 $\mu$	1,37
<i>Linaria vulgaris</i> (Laubblätter) . . . .	31,04 $\mu$	22,66 $\mu$	1,37
<i>Linaria vulgaris</i> (Korolle) . . . . .	34,66 $\mu$	16,06 $\mu$	2,16

Analog dem Beispiel der *Veronica*-bewohnenden Peronospora-Formen mußten also auch die Formen auf *Linaria vulgaris* und auf *Linaria minor* als besondere Arten aufgefaßt werden. Für die Form auf der Korolle von *Linaria vulgaris* war mir in jener Zeit neben der *Peronospora violacea* Berk. eine näher verwandte Spezies nicht bekannt.

Einige Zeit später ergab es sich bei der Untersuchung der bisher nur aus Rußland bekannten *Peronospora Corollae* Tranzschel auf der Blütenkrone von *Campanula persicifolia*, daß diese Form mit derjenigen auf der Korolle von *Linaria vulgaris* sowohl in den Konidienträgern als der Form und der Größe der Konidien so vollständig übereinstimmt, daß die beiden für eine einzige Art gehalten werden müssen. Immerhin blieb ja die Möglichkeit bestehen, daß sie sich vielleicht doch noch bei Infektionsversuchen als biologische Unterarten entpuppen würden, indem ja die eine nur aus Rußland (cf. Tranzschel, 1895, p. 214), die andere nur aus Schweden bekannt war. Doch mußte später auch diese Annahme fallen gelassen werden, indem Lagerheim an derselben Lokalität in Schweden (Strengnäs, Södermannland; cf. Vestergren, Microm. rar. sel. 344 und 1668) sowohl die *Peronospora Corollae* auf der Krone von *Campanula persicifolia* als meine „neue“ Art auf der Krone von *Linaria vulgaris* beobachtet hat. Der Umstand, daß die neue Peronospora auf *Linaria vulgaris* gerade an derselben Lokalität und offenbar nur dort gefunden wurde wie die *Peronospora Corollae* und die Berücksichtigung ihrer völligen morphologischen Übereinstimmung, die um so leichter zu konstatieren ist, als die Konidienträger und die Konidien der *Peronospora Corollae* sehr charakteristische Formen aufweisen, muß zum Schlusse führen, daß die beiden auch biologisch miteinander übereinstimmen und daß höchstwahrscheinlich die Form von *Campanula persicifolia* auf *Linaria vulgaris* übergegangen ist. In diesem Sinne müßte das Exemplar in Vestergren, Microm. rar. sel. 1668 auf den Namen der *Peronospora Corollae* Tranzschel umgeschrieben werden.

Sollten die Infektionsversuche die Vermutung der biologischen Identität dieser beiden Formen bestätigen, so stünden wir vor der auffälligen Erscheinung, daß die blütenbewohnenden Peronospora-Formen weniger streng spezialisiert sind als die laubblattbewohnenden und daß sie sogar Vertreter von verschiedenen Wirtsfamilien, z. B. der Campanulaceen und der Scrophulariaceen, zu befallen vermögen.

Das gemeinsame Vorkommen einer laubblattbewohnenden und einer blütenbewohnenden Peronospora-Art auf derselben Wirtspflanze, wie dies also für *Linaria vulgaris* hier neu nachgewiesen ist, gibt überdies zu

interessanten biologischen Fragen Anlaß. Da beide mit Oosporen überwintern (cf. z. B. Magnus, 1889, p. 145), so muß offenbar auch die blütenbewohnende Art den Stengel hinaufwachsen, aber durch ungünstige Bedingungen am Fruktifizieren verhindert werden. Andererseits wäre z. B. bei experimenteller Untersuchung die Frage zu beantworten, ob die Konidien der blütenbewohnenden Form nur wieder die Blüten zu infizieren vermögen, oder ob sie auch in den Blättern Myzel bilden, das aber steril bleiben würde, bis es in die Blüten hinaufgewachsen ist. Ferner wäre die Frage zu studieren, ob nicht auch die laubblattbewohnende Form in die Blüten hinaufzuwachsen und sich dort mit der *Peronospora Corollae* zu vergesellschaften vermag, indem ein solches Hinaufwachsen in die Blütenkrone z. B. von Magnus (1894, p. 39) für die *Peronospora Cheiranthi* auf *Chiranthus Cheiri* beobachtet worden ist.

Zum Schluß stelle ich die Formen, die als neue Arten betrachtet werden müssen, noch einmal zusammen und versehe sie mit den entsprechenden Diagnosen.

**Peronospora agrestis** n. sp. Caespitulis mollibus, griseo-violaceis, totum tergum foliorum tegentibus; conidiophoris singulis vel plurimis ē stomatibus emergentibus, 200—600  $\mu$  altis, 4—8ies dichotome ramosis; truncō  $1\frac{1}{2}$ — $2\frac{1}{2}$  totius altitudinis efficienti, 5—9  $\mu$  crasso, basi leviter tumida; ramis leviter curvatis vel undulatis; furcis terminalibus rectangulis, fere literae graecae sigma similiter curvatis vel ramis utribus paene rectis, 8—20  $\mu$  longis; conidiis ellipsoideis, leviter griseo-violaceis, 9—26, fere 17—20  $\mu$  longis, 8—23, fere 15—18  $\mu$  latis. Longitudine media 19,07  $\mu$ , latitudine media 15,24  $\mu$ . Oosporis 36—57  $\mu$  diam., episporio crasso, flavo, levi vel paullo reticulato. Habitat in foliis vivis *Veronicae politae* Fries. Fungus in foliis vivis *Veronicae agrestis* L. huc pertinere videtur.

**Peronospora verna** n. sp. Differt a *Peronospora agresti* conidiis maioribus, 10—27, fere 19—22  $\mu$  longis, 8—23, fere 16—20  $\mu$  latis. Longitudine media 20,90  $\mu$  latitudine media 17,76  $\mu$ . Habitat in foliis vivis *Veronicae serpyllifoliae* L. Peronosporae formae in foliis vivis *Veronicae arvensis* L., *Veronicae Chamaedrys* L., *Veronicae praecocis* All., *Veronicae prostratae* L., *Veronicae teucrii* L., *Veronicae Tournefortii* Gmel. nec non *Veronicae verna* L. huc pertinere videntur.

**Peronospora arvensis** n. sp. Differt a *Peronospora agresti* conidiis maioribus, 14—34, fere 22—26  $\mu$  longis, 11—31, fere 19—23  $\mu$  latis, longitudine media 24,67  $\mu$ , latitudine media 21,28  $\mu$ . Habitat in foliis vivis *Veronicae hederifoliae* L. Peronosporae forma in foliis vivis *Veronicae triphylli* huc pertinere videtur.

**Peronospora palustris** n. sp. Differt a *Peronospora agresti* conidiis maioribus, 20—36, fere 26—39  $\mu$  longis, 10—27, fere 17—20  $\mu$  latis. Longitudine media 27,46  $\mu$ , latitudine media 18,66  $\mu$ . Habitat in foliis vivis *Veronicae seutellatae* L.

**Peronospora saxatilis** n. sp. Differt a *Peronospora agresti* conidiis maioribus, 19—40, fere 28—32  $\mu$  longis, 12—29, fere 19—23  $\mu$  latis; longitudine media

30,75  $\mu$ , latitudine media 21,63  $\mu$ . Habitat in foliis vivis *Veronicae fruticantis* Jacq.

*Peronospora silvestris* n. sp. Differt a *Peronospora agresti* conidiis maioribus, 22—39, fere 28—34  $\mu$  longis, 10—26, fere 18—22  $\mu$  latis. Longitudine media 31,74  $\mu$ , latitudine media 19,94  $\mu$ . Habitat in foliis vivis *Veronicae officinalis* L. Peronosporae forma in foliis vivis *Veronicae urticifoliae* Jacq. forsitan hoc pertinet.

*Peronospora aquatica* n. sp. Differt a *Peronospora agresti* conidiis maioribus, 24—43, fere 33—38  $\mu$  longis, 9—27, fere 20—23  $\mu$  latis. Longitudine media 35,26  $\mu$ , latitudine media 21,02  $\mu$ . Habitat in foliis vivis *Veronicae Anagallidis* L.

Botanisches Institut der Universität Bern, Mai 1918.

---

Zitierte Literatur.

- Berlese, A. N. 1904. Saggio di una monografia delle Peronosporacee (Rivista di Patologia vegetale X. Portici).
- De Bary, A. 1863. Recherches sur le développement de quelques champignons parasites. (Ann. sc. nat. Bot. IV. Sér. XX, p. 5—148.)
- Fischer, Alfred. 1892. Phycomycetes (Rabenhorst's Kryptogamenflora. Bd. 1, Abt. IV. Leipzig).
- Gäumann, E. 1916. Zur Kenntnis der Peronospora parasitica (Pers.) Fries. (Vorl. Mitt. Centr. Bl. f. Bakt. II. Abt. VL, p. 576—578.)
- Gäumann, E. 1918a. Über die Formen der Peronospora parasitica (Pers.) Fries. Ein Beitrag zur Speziesfrage bei den parasitischen Pilzen. (Beih. Bot. Centr. Bl. XXXV, Abt. I, p. 1—143.)
- Gäumann, E. 1918b. Zur Kenntnis der Peronospora calotheca De Bary. (Svensk Bot. Tidskr. XII.)
- Magnus, P. 1889. Über das epidemische Auftreten der Peronospora Linariae Fuckel auf Linaria minor im Berliner Universitätsgarten. (Sitzungsber. Gesellsch. naturf. Freunde Berlin, Nr. 7, p. 145—146.)
- Magnus, P. 1893. Die Peronosporen der Provinz Brandenburg. (S.-A. Abh. Bot. Ver. Prov. Brandenburg. XXXV, p. 1—86.)
- Magnus, P. 1894. Das Auftreten der Peronospora parasitica, beeinflußt von der Beschaffenheit und dem Entwicklungszustande der Wirtspflanze. (Ber. Deutsch. Bot. Gesellsch. Generalvers. Heft. p. (39)—(44).)
- Tranzschel, W. 1895. Peronospora Corollae n. sp. (Hedwigia, XXXIV, p. 214.)
- Unger, F. 1847. Beitrag zur Kenntnis der in der Kartoffelkrankheit vorkommenden Pilze und der Ursache ihres Entstehens. IV (Bot. Zeitung V, p. 305—317.)
-

## Neue Literatur.

- Arthur, J. C. Orange rusts of Rubus (Bot. Gazette LXIII, 1917, p. 501—515, 1 fig.).
- Bancroft, C. K. The leaf disease of rubber. Conditions in Surinam (Journ. Board agr. Bristish Guiana X, 1917, p. 93—103).
- Bensaude, M. Sur la sexualité chez les champignons Basidiomycètes (Compt. Rend. Acad. Sc. Paris XIX, 1917, p. 286—289).
- Bethel, E. Puccinia subnitens and its aerial hosts (Phytopathology VII, 1917, p. 92—94).
- Bijl, P. van der. Note on Polyporus lucidus Leyss, and its effect on the wood of the willow (S. African Journ. Sc. XIII, 1917, p. 506—515, 6 fig., 5 tab.).
- Bijl, P. van der. Note on Polysaceum crassipes DC. a common fungus in Eucalyptus plantations round Pretoria (Transact. roy. Soc. S. Africa VI, 1917, p. 209—214, 6 tab.).
- Bijl, P. van der. Heart rot of Ptaeroxylon utile (Sneezewood) caused by Fomes rimosus (Berk.) (Transact. roy. Soc. S. Africa VI, 1917, p. 215—226, 6 tab.).
- Blagaic, K. Boletus conglobatus, eine neue Species (Hedwigia LX, 1918, p. 10—11).
- Boas, Fr. Weitere Untersuchungen über die Bildung löslicher Stärke bei Schimmelpilzen mit besonderer Berücksichtigung der Frage nach der Eiweißsynthese der Schimmelpilze (Biochem. Zeitschr. LXXXVI, 1918, p. 110—124).
- Boedyn, K. und van Overeen, C. Mykologische Mitteilungen. Serie I. Ascomyceten. Erstes Stück. Über das Vorkommen von Carotinkristallen in zwei neuen Pezizaarten (Hedwigia LIX, 1918, p. 307—312, tab. II).
- Bokorny, Th. Zur Kenntnis der physiologischen Fähigkeiten der Algen-gattung Spirogyra und einiger anderer Algen. Vergleich mit Pilzen. (Hedwigia LIX, 1918, p. 340—393.)
- Bokorny, Th. Aufzucht von Hefe bei Luftzutritt unter Anwendung von Harnstoff als N-Quelle und von verschiedenen C-Quellen. Zucker-assimilationsquotient (Biochem. Zeitschr. LXXXIII, 1917, p. 133—164).

- Brierly, W. B. On a tree of *Aesculus pavia* killed by *Botrytis cinerea* (Kew Bulletin 1917, p. 315—331, 2 fig.).
- Briosi, G. Sopra una nuova malattia dei bambu (Atti r. Acc. Lincei Roma XXV, 1916, p. 528—532).
- Brooks, Ch., and Cooley, J. S. Effect of temperature aeration and humidity on Jonathan-spot and scald of apples in storage (Journ. agr. Research XI, 1917, p. 287—317, 2 tab.).
- Brož, O. Die wichtigsten Pilzkrankheiten der gebräuchlichsten Gemüsepflanzen (Mitt. k. k. landw.-bakter. u. Pflanzenschutzstat. Wien 1917, 35 pp.).
- Bruderlein, J. Le *Rhizopus Maydis* n. sp. (Bull. Soc. bot. Genève 2, IX, 1917, p. 108—112).
- Büren, G. von. Beitrag zur Biologie und Entwicklungsgeschichte von *Protomyces inundatus* Dangeard (Mitteil. Naturf. Ges. Bern 1917, 24 pp., 5 fig., 2 tab.).
- Burkholder, W. H. The perfect stage of *Gloeosporium venetum* (Phytopathology VII, 1917, p. 83—91, 3 fig.).
- Castella, F. de. Anthracnose or blackspot of the vine (*Manginia am-pelina*, V. and P.) (Journ. Dep. Agr. Victoria XV, 1917, p. 404—421, 16 fig.).
- Castella, F. de. Notes on downy mildew (*Plasmopara viticola*, B. and de T.) (Journ. Dep. Agr. Victoria XV, 1917, p. 685—700, 2 fig.).
- Cleland, J. B., and Cheel, E. Notes on Australian Fungi. No. 3 (Journ. and Proc. Roy. Soc. N. S. Wales L, 1916, p. 105—129).
- Colley, R. H. Diagnosing white-pine blister-rust from its mycelium (Journ. Agr. Research XI, 1917, p. 281—286, 1 tab., 1 fig.).
- Conn, H. J. Soil flora studies. V. Actinomycetes in soil (Bull. New York Agr. Exp. Stat. no. 60, 1917, p. 1—25).
- Cook, M. T., and Schwarze, C. A. Apple scab on the twigs (Phytopathology VII, 1917, p. 221—222).
- Cotton, A. D. George Edward Massee (Proc. Linn. Soc. London 1916/17, p. 49—51).
- Cruchet, P., Fischer, Ed., und Mayor, Eug. Über die auf der botanischen Exkursion vom 9.—13. August 1916 im Unterengadin gesammelten Pilze (Beiträge zur geobotan. Landesaufnahme 4. Herausgegeben von der pflanzengeographischen Kommission der schweizer. naturforsch. Ges. Zürich 1918, p. 72—79).
- Doidge, E. M. South African Perisporiales (Transact. roy. Soc. S. Africa V, 1917, p. 713—750, tab. LVII—LXVI).
- Douglass, B. Mushroom poisoning (Torreya XVII, 1917, p. 171—175, 207—221).
- Duggar, B. M., Severy, J. W., and Schmitz, H. Studies in the physiology of the fungi. IV. The growth of certain fungi in plant decoctions (Ann. Missouri bot. Gard. IV, 1917, p. 165—173, 4 fig.).

- Duthie, A. V. African Myxomycetes (Transact. roy. Soc. S. Africa, VI, 1917, p. 297—310).
- Elliott, J. A. Taxonomic characters of the genera Alternaria and Macrosporium (Amer. Journ. Bot. IV, 1917, p. 439—476, tab. 19—20).
- Edgerton, C. W., and Moreland, C. C. Experiments on varietal resistance to the bean and cotton anthracnose disease (Bull. Louisiana Agr. Exp. Stat. no. 155, 1916, p. 1—24).
- Elkan, K. Über eine neue Mikrosporie-Epidemie in München (München 1917. 8° 13 pp.).
- Eriksson, J. Développement primaire du mildiou (*Phytophthora infestans*) au cours de la végétation de la pomme de terre (Revue gén. de Bot. XXXIX, 1917, p. 257—260, 305—320, 335—349, 376—380).
- Ewart, A. J. The cause of the bitter pit (Proc. roy. Soc. Victoria, N. S. XXX, 1917, p. 15—20).
- Faes, H. Les maladies des plantes cultivées et leur traitement. 2. édit. (Lausanne 1917, 8° 276 pp.)
- Faulwetter, R. C. Wind-blown rain, a factor in disease disseminations (Journ. Agr. Research X, 1917, p. 939—648).
- Fawcett, H. S. Preliminary note on the relation of temperature to the growth of certain parasitic fungi in cultures (Johns Hopkins Univ. Circ. no. 293, 1917, p. 193—194).
- Fischer, Ed. Mykologische Beiträge 11—14 (Mitteil. Naturforsch. Ges. Bern 1917, p. 58—95, 3 fig.).
- Fragoso, R. G. Dos hongos nuevos de la flora española descritos por el profesor P. A. Saccardo (Bol. r. Soc. española Hist. nat. XVII, 1917, p. 396—397).
- Fragoso, R. G. Acerca de la „Rhabdospora Ephedrae“ (Auersw.) Sacc. (Bol. r. Soc. española Hist. nat. XVII, 1917, p. 398—399).
- Fragoso, R. G. Introducción al estudio de la flórula de micromicetos de Cataluña (Publ. Junta Ciencias nat. Barcelona 1917, 8°, 187 pp.).
- Gäumann, E. Ein Beitrag zur Kenntnis der lappländischen Saprolegnien (Bot. Notiser 1918, p. 151—159).
- Grossenbacher, J. G. Crown-rot of fruit-trees: histological studies (Amer. Journ. Bot. IV, 1917, p. 477—512, tab. 21—27).
- Grove, W. B. Septoria Chenopodii: an example and a warning (Journ. of Bot. LV, 1917, p. 346—348).
- Grove, W. B. The British species of Phomopsis (Kew Bulletin 1917, p. 49—73, 2 tab.).
- Güssow, H. F. The pathogenic action of Rhizoctonia on potato (Phytopathology VII, 1917, p. 209—213, 1 fig.).
- Guilliermond, A. Levaduras del pulque (Bol. Direcc. Etud. biol. Mexico II, 1917, p. 22—28).

- Hall, C. I. I. van der. De bruine wortelschimmel (*Hymenochaete noxia*) (Teysmannia XXVIII, 1917, p. 289—295).
- Harshberger, J. W. A textbook of mycology and plant pathology (Philadelphia, P. Blakiston's Son & Co., 1917, 779 pp., 271 fig.).
- Harter, L. L. Podblight of the Lima bean (*Phaseolus lunatus* L.) caused by *Diaporthe Phaseolorum* (Journ. Agr. Research XI, 1917, p. 473—504, 11 fig., 2 tab.).
- Hedgcock, G. C. and Hunt, N. R. New species of *Peridermium* (Mycologia IX, 1917, p. 239—240).
- Hinterthür, L. Praktische Pilzkunde. Führer durch unsere häufigeren eßbaren und schädlichen Pilze, mit Anleitung zum Sammeln, zur Pilzkultur usw. 2. Auflage (Braunschweig 1917, 8°, XIX, 99 pp.).
- Höhnel, Fr. v. Über die Benennung, Stellung und Nebenfruchtformen von *Sphaerella Fries* (Ber. Deutsch. bot. Ges. XXXV, 1917, p. 627—631).
- Höhnel, Fr. v. System der Diaportheen (Ber. Deutsch. bot. Ges. XXXV, 1917, p. 631—638).
- Hook, J. M. van. Indiana fungi. III. (Proc. Indiana Ac. Sc. (1915) 1916, p. 141—148).
- Hotson, J. W. Notes on bulbiferous fungi with a key to described species (Botan. Gazette LXIV, 1917, p. 265).
- House, H. D. The Peck testimonial exhibit of mushroom models (Torreya XVII, 1917, p. 178—180).
- Humphrey, H. B. *Puccinia glumarum* (Phytopathology VII, 1917, p. 142—143).
- Jaap, O. Achtes Verzeichnis zu meinem Exsiccatenwerk „Fungi selecti exsiccati“, Serien XXIX bis XXXII (Nummern 701—800), nebst Beschreibungen neuer Arten und Bemerkungen (Verhandl. Bot. Verein Prov. Brandenburg LIX, 1917, p. 24—40).
- Jackson, H. S. The Uredinales of Indiana (Proc. Indiana Ac. Science 1915 (1916), p. 429—475).
- Janka, G. Die Schwammprobe zur Prüfung der Wirksamkeit eines Holzprägnierungsmittels auf die Widerstandsfähigkeit des Holzes gegen Pilzzerstörung (Centralbl. ges. Forstwesen XLIII, 1917, p. 15—23, 1 tab., 1 fig.).
- Jokl, Milla. *Pythium conidiophorum* nov. spec. Ein Parasit von Spirogyra (Österr. bot. Zeitschr. LXVII, 1918, p. 33—37, tab. I).
- Kauffman, C. H. Tennessee and Kentucky fungi (Mycologia IX, 1917, p. 159—166).
- Kayser, E. Contribution à l'étude des fermentes alcooliques (Compt. Rend. Acad. Sc. Paris CLXV, 1917, p. 1020—1022).
- Keissler, K. v. Revision des Sauterschen Pilzherbars (mit besonderer Berücksichtigung der von Sauter neubeschriebenen Pilze) (Annal. k. k. Naturhistor. Hofmuseum Wien XXXI, 1917, p. 77—138).

- Kern, F. D. North American species of *Puccinia* on *Carex* (*Mycologia* IX, 1917, p. 205—238).
- Killermann, S. Neuer Fund von *Sarcosoma globosum* (Schmidel) Rehm bei Regensburg (*Hedwigia* LIX, 1918, p. 313—318, tab. III, 2. fig.).
- Klebahns, H. Über Spezialisierung und spezialisierte Formen im Bereich der Pilze (Die Naturw. V, 1917, p. 543—550).
- Knuchel, H. Der Stand der Hausschwammforschung (Schweiz. Zeitschr. Forstwesen LXVIII, 1917, p. 141—149, 1 tab.).
- Kunkel, L. O. A method of obtaining abundant sporulation in cultures of *Macrosporium solani* E. et M. (*Torreya* XVII, 1917, p. 123).
- Lange, J. E. Studies in the Agarics of Denmark. Part 3: *Pluteus*, *Collybia*, *Inocybe* (Dansk bot. Ark. 1917, 3 tab.).
- Lek, H. A. A. van der. Contribution à l'étude du *Rhizoctonia violacea* (Mededeel. van de Rijks Hoogere Land-, Tuin- en Boschbouwschool Wageningen XII, 1917, p. 94—112, tab. I—IX).
- Lendlner, A. Un *Sclerotinia* parasite du *Matthiola valesiacana* (Gay) Boiss. (Bull. Soc. bot. Genève 2, IX, 1917, p. 21—29, 3 fig.).
- Lind, J., Rostrup, S., og Ravn, F. K. Oversigt over Landbrugsplanternes Sygdomme i 1916 (Tidsskr. Planteavl. 1917, 26 pp.).
- Lindfors, Th. Om vissnesjuka hos gurkor förorsakad av *Verticillium alboatrum* Rke. et Berth. (Meddel. no. 159 från Centralanstalten för försöksväsendet på jordbruksområdet. Bot. avdeln. no. 13, 1917, 14 pp., 3 fig.).
- Lek, H. A. A. van der. *Rhizina inflata* (Schäff.) Sacc., een wortelparasiet van Coniferen (Tijdschr. Plantenziekten XXIII, 1917, p. 1—14, 2 tab.).
- Lloyd, C. G. The genus *Radulum* (Cincinnati, Ohio, May 1917).
- Lloyd, C. G. Mycological notes. No. 48—50 (Cincinnati, Ohio, 1917, p. 669—684, 685—700, 701—716).
- Lüdi, W. *Puccinia Petasiti-Pulchellae* nov. spec. (Centralbl. Bakter. II. Abt. XLVIII, 1917, p. 76—88, 2 fig.).
- Maffei, L. Nuovi micromiceti liguri (Atti r. Acc. Lincei Roma XXV, 1916, p. 339—341).
- Maire, R. Champignons Nerd-Africains nouveaux ou peu connus (Bull. Soc. Hist. nat. Afrique Nord VIII, 1917, p. 134—200, 2 fig.).
- Maire, R. Maladies des végétaux ligneux de l'Afrique du Nord 3. (Bull. Stat. Rech. for. N. Afrique I, 1917, p. 183—186).
- Maire, R. *Schedae ad Mycothecam Boreali-Africanam* (Bull. Soc. Hist. nat. Afrique Nord VIII, 1917, p. 242—261, 2 fig.).
- Matthey, I. E. Quelques cas d'empoisonnement par le *Tricholoma tigrinum* (Le Rameau de Sapin II, 1917, p. 37—39, 41—42).
- Mc Dougall, W. B. Some edible and poisonous mushrooms (Bull. Illinois State Lab. Nat. Hist. XI, 1917, p. 418—555, 1 fig., tab. 85—143).

- Mc Murran, S. M. Walnut blight in the eastern United States (Bull. U. S. Dept. Agr. no. 611, 1917, 7 pp., 2 tab.).
- Meinecke, E. P. The white pine blister rust and the ches'nut bark disease (Monthly Bull. State Com. Hist. Calif. VI, 1917, p. 268—279).
- Melchers, L. E. *Puccinia triticina* Erikss. Leaf-rust of winter wheat causes damage in Kansas (Phytopathology VII, 1917, p. 224).
- Migula, W. Die Brand- und Rostpilze. Ein Hilfsbuch zu ihrem Erkennen, Bestimmen, Sammeln, Untersuchen und Präparieren (Stuttgart, 1917, 132 pp., 10 tab.).
- Müller, H. C., und Molz, E. Weitere Versuche zur Bekämpfung des Steinbrandes beim Winterweizen in den Jahren 1914/15 und 1916/17 (Fühlings landw. Zeitung LXVI, 1917, p. 417—427).
- Mundt, C. Danmarks spiselige Svampe. Kortfattet vejledning till at benytte Svampene som Naeringsmiddel og till at undgaa Forstyrninger ved dem. 3. udg. (Kjobenhavn 1917, 8° 125 pp. 32 fig. col.).
- Murrill, W. A. The taxonomy of the Agaricaceae (Amer. Journ. Bot. IV, 1917, p. 315—326).
- Murrill, W. A. Illustrations of fungi. XXVI. (Mycologia IX, 1917, p. 185—190, 1 tab.).
- Nowell, W. Citrus canker (Monthly Bull. State Com. Hort. Calif. VI, 1917, p. 282—286, 3 fig.).
- Nowell, W. The fungi of internal boll disease (West Indian Bulletin XVI, 1917, p. 152—159).
- Nowell, W. Internal disease of cotton bolls in the West-Indies (West Indian Bull. XVI, 1917, p. 203—235).
- O'Gara, P. J. A new leaf-spot disease of *Polygonum persicaria* (Mycologia IX, 1917, p. 248, 1 tab.).
- O'Gara, P. J. The occurrence of *Colletotrichum solanicolum* O'Gara on egg plant (Phytopathology VII, 1917, p. 226—227, 1 fig.).
- Orton, W. A. Watermelon diseases (Farmers Bull. U. S. Dep. Agr. no. 821, 1917, p. 1—18, 11 fig.).
- Pammel, L. H. Recent literature on fungous diseases (Transact. Iowa State Hist. Soc. LI, 1917, p. 248—288).
- Peglion, V. Sulla morfologia e sulle condizioni di sviluppo della *Sclerotinia trifoliorum* (Atti r. Acc. Lincei Roma XXV, 1916, p. 521—524).
- Peglion, V. Il male della sclerozio della *Forsythia viridissima* (Atti r. Acc. Lincei XXV, 1916, p. 655—657).
- Peglion, V. Svernamento di *Oidium* spec. parassita della *Photinia serrulata* (Atti r. Acc. Lincei Roma XXV, 1916, p. 341—342).
- Penard, E. Observations sur une Chytridinée des terres antarctiques (Bull. Soc. bot. Genève 2, IX, 1917, p. 7—8).
- Petch, T. Additions to Ceylon fungi (Ann. r. Bot. Gard. Peradeniya VI, 1917, p. 195—256).

- Pierce, R. G. Early discovery of white pine blister rust in the United States (*Phytopathology* VII, 1917, p. 224—225).
- Rands, R. D. Early blight of potato and related plants (*Res. Bull. Wisconsin Agr. Exp. Stat.* no. 42, 1917).
- Rant, A. The white root-fungus of Cinchona (*Rec. Trav. Bot. Neerland.* XIV, 1917, p. 143—148, 1 tab., 1 fig.).
- Rayner, M. C. Recent developments in the study of endotrophic myco-rhiza (*New Phytologist* XV, 1916, p. 161—175).
- Rees, C. C. The rusts occurring on the genus *Fritillaria* (*Amer. Journ. Bot.* IV, 1917, p. 368—373, 3 fig.).
- Rose, D. H. Blistér spot of apples and its relation to a disease of apple bark (*Phytopathology* VII, 1917, p. 198—208, 3 fig.).
- Rudolph, B. A. A new leaf-spot disease of cherries (*Phytopathology* VII, 1917, p. 188—197, 3 fig.).
- Sawyer, W. H. jr. The development of *Cortinarius pholideus* (*Amer. Journ. Bot.* IV, 1917, p. 520—532, tab. 28—29).
- Schaffnit, E., und Voss, G. Versuche zur Bekämpfung des Kartoffelkrebses im Jahre 1916 (*Zeitschr. f. Pflanzenkrankh.* XXVII, 1917, p. 339—346).
- Schellenberg, H. C. Zur Kenntnis der Entwicklungsverhältnisse von *Mycosphaerella Fragariae* (Tul.) Lindau (*Vierteljahrsschr. naturf. Ges. Zürich* LXII, 1917, p. 383—392, 2 tab.).
- Schwarz, E. Über Vergiftungen mit dem Knollenbläterschwamm (*Amanita phalloides*) (*Abhandl. nat. Ges. Rostock* 1917, 19 pp.).
- Shantz, H. L., and Piemeisel, R. L. Fungus fairy rings in eastern Colorado and their effect on vegetation (*Journ. Agric. Research* XI, 1917, p. 191—245, 15 fig., tab. 10—30).
- Shear, C. L. Endrot of cranberries (*Journ. Agr. Research* XI, 1917, p. 35—41, 3 fig., 1 tab.).
- Spaulding, P. Needle rust on *Pinus resinosa* (*Phytopathology* VII, 1917, p. 225).
- Stakman, E. C., and Piemeisel, F. J. Biologic forms of *Puccinia graminis* on cereals and grasses (*Journ. Agric. Research* X, 1917, p. 429—495, 7 tab.).
- Stevens, N. E., and Hawkins, L. A. Some changes produced in strawberry fruits by *Rhizopus nigricans* (*Phytopathology* VII, 1917, p. 178—184).
- Stevens, N. E. and Wilcox, R. B. Rhizopus rot of strawberries in transit (*Bull. U. S. Dept. Agr.* no. 531, 1917, p. 1—22, 1 fig.).
- Stewart, F. C. Witches-brooms on hickory trees (*Phytopathology* VII, 1917, p. 185—187).
- Tabor, R. J., and Barratt, K. On a disease of the beach caused by *Bulgaria polymorpha*, Wettst. (*Ann. Appl. Biol.* IV, 1917, p. 20—27, 1 tab.).

- Tanaka, T. New Japanese fungi. Notes and translations. I. (Mycologia IX, 1917, p. 167—172).
- Thaxter, R. New Laboulbeniales, chiefly dipterophilous American species (Proc. Amer. Acad. Arts and Sc. LII, 1917, p. 649—721).
- Trommsdorf, R. Über die Wachstumsbedingungen der Abwasserpilze Leptomitus und Sphaerotilus (Centralbl. f. Bakt. 2. Abt. XLVIII, 1917, p. 62—76).
- Wakefield, E. M. Nigerian fungi. III. (Kew Bulletin 1917, p. 105—111).
- Wakefield, E. M. Fungi exoticci. XXIII. (Kew Bulletin 1917, p. 308—314).
- Waterman, H. J. Amygdaline als voedsel voor Fusarium (Versl. kon. Akad. Wetensch. Amsterdam XXVI, 1917, p. 30—33).
- Weir, J. R. Montana forest tree fungi. I. Polyporaceae (Mycologia IX, 1917, p. 129—137, 1 tab.).
- Weir, J. R. Sparassis radicata, an undescribed fungus on the roots of conifers (Phytopathology VII, 1917, p. 166—177, 5 fig.).
- Weir, J. R. Note on Xylaria polymorpha and X. digitata, (Phytopathology VII, 1917, p. 223—224).
- Weir, J. R., and Hubert, E. E. Observations on forest tree rusts (Amer. Journ. Bot. IV, 1917, p. 327—335, 2 fig.).
- Weir, J. R., and Hubert, E. E. Recent cultures of forest tree rusts (Phytopathology VII, 1917, p. 106—109).
- Wester, P. J. Notes on Citrus canker affection at the Lamao Experiment Station (Philippine agr. Rev. X, 1917, p. 253—260).
- Weston, W. H. Observations on an Achlya lacking sexual reproduction (Amer. Journ. Bot. IV, 1917, p. 354—367, 1 tab.).
- Will, H. Noch einige Mitteilungen über das Vorkommen von lebens- und vermehrungsfähigen Zellen in alten Kulturen von Sproßpilzen (Centralbl. f. Bakt. 2. Abt. XLVIII, 1917, p. 35—41).
- Wollenweber, H. W. Conspectus analyticus Fusariorum (Ber. Deutsch. Bot. Ges. XXXV (1917) 1918, p. 732—742).
- Wollenweber, H. W. Über Fusarium roseum Link (Ber. Deutsch. bot. Ges. XXXV, (1917) 1918, p. 743—745).
- Wolff, J. et Geslin, B. Action de quelques levures du Schizosaccharomyces Pombe sur l'inuline et ses produits de dégradations (Compt. Rend. Soc. Biol. Paris LXXX, 1917, p. 839—840).
- Wormald, H. The „blossom wilt and canker“ disease of apple trees (Journ. Board Agr. XXIV, 1917, p. 504—513).
- Yasuda, A. Eine neue Art von Isaria (Bot. Mag. Tokyo XXXI, 1917, p. 208—209, 1 fig.).
- Yates, H. S. Fungi collected by E. D. Merrill in Southern China (Philippine Journ. Sc. Sect. C. Botany XII, 1917, p. 313—316).
- Zeller, S. M. Studies in the physiology of the fungi. III. (Ann. Missouri Bot. Gard. IV, 1917, p. 93—164, 5 tab., 1 fig.).

- Bachmann, E. Beziehungen der Kieselflechten zu ihrer Unterlage. III. Bergkristall und Flint (Ber. Deutsch. Bot. Ges. XXXV, 1917, p. 464—476, 8 fig.).
- Durfee, T. Lichens of the Mt. Monacknock region, N. H. — No. 9. (Bryologist XX, 1917, p. 99.)
- Fink, B. The rate of growth and ecesis in Lichens (Mycologia IX, 1917, p. 138—158).
- Herre, A. C. Preliminary notes on the Lichens of Whatcom County, Washington (Bryologist XX, 1917, p. 76—84).
- Oehrstedt, G. Usnea longissima Acharius (1810) (Bot. Notiser 1917, p. 203—204).
- Nienburg, W. Über die Beziehungen zwischen den Algen und Hyphen im Flechtenthallus (Zeitschr. f. Botanik IX, 1917, p. 529—545).
- Sättler, H. Allgemeines und Methodisches aus der Lichenologie (Aus der Natur XIII, 1916/17, p. 138—143, 182—190, 14 fig.).
- Zschacke, H. Die mitteleuropäischen Verrucariaceen. Nachträge zu 1 und 2 (Hedwigia LX, 1918, p. 1—9).

## Inhalt.

	Seite
Theissen, F., und Sydow, H. Vorentwürfe zu den Pseudosphaeriales . . . . .	1
Höhnel, Franz v. Mycologische Fragmente . . . . .	35
Theissen, F. Mycologische Mitteilungen . . . . .	175
Gäumann, Ernst. Über die Spezialisation der Peronospora auf einigen Scrophulariaceen . . . . .	188
<b>Neue Literatur</b> . . . . .	<b>200</b>

# Annales Mycologici

Editi in notitiam Scientiae Mycologicae Universalis

---

Vol. XVI. 1918. No. 3—6.

---

## Rehm: Ascomycetes exs. Fasc. 56 und 57.

Kritisch bearbeitet von Prof. Dr. Franz v. Höhnel in Wien.

Aus dem Nachlasse des Medizinalrates Dr. Heinrich Rehm hat Prof. Dr. Neger in Tharandt zwei Faszikel der wichtigen Ascomyceten-sammlung des Genannten zusammengestellt, mit den Nummern 2126 bis 2175. Diese müssen als der Abschluß des ganzen Werkes gelten.

Diese 50 Schlußnummern habe ich nun, soweit sie mir von Interesse schienen, näher studiert und im folgenden die erhaltenen Ergebnisse zusammengestellt.

Eine Anzahl der Etiketten sind unvollständig oder enthalten unrichtige Angaben. Ich habe dieselben, soweit es mir möglich war, ergänzt und verbessert. Nur bei wenigen blieben mir der Fundort und der Name des Sammlers unbekannt. Mehrere Arten erwiesen sich als falsch bestimmt. Über einige Nummern habe ich die erhaltenen Befunde ausführlich mitgeteilt, bei anderen nur das Schlußergebnis angeführt. Bei diesen wird die ausführliche Begründung an anderer Stelle erfolgen.

2126. *Vibrissa truncorum* (Alb. et Schw.) Fries. Auf Erlenholz. Leg. Ade, in einem Quellbach bei Brückenau, Unterfranken, VI. 1915.

2127. *Pyrenopeziza Gentianae* (Fuck.) Rehm auf *Gentiana asclepiadea*. Leg. Keissler, zwischen Palfau und Wildalpe (Steiermark), VII. 1912.

*Pyrenopeziza Gentianae* hat nach dem Originalexemplare in Thümen, Mycoth. univ. No. 1415 bis über 0·5 m große Apotheken mit hyalinem 40—80  $\mu$  dicken aus 8—10  $\mu$  großen Parenchymzellen bestehenden Hypothecium und ein wenig entwickeltes aus braunen 4—5  $\mu$  breiten, ziemlich parallelen Hyphen bestehendes Hypostroma; das weitere ist aus Rehms Beschreibung zu ersehen.

Der vorliegende Pilz hat keine Spur eines Hypostomas. Die runden oder länglichen Apotheken stehen in Herden, sind 200—300  $\mu$  groß und 130  $\mu$  hoch und brechen wenig hervor. Das innen scharf begrenzte Gehäuse ist unten 28  $\mu$  dick, wird gegen den glatten Rand hin dünner, besteht unten aus offenen dünnwandigen braunen 6—10  $\mu$  großen Parenchymzellen, und ist in der 40  $\mu$  breiten Randzone braun parallelfaserig.

Das hyaline Hypothecium ist nur  $12 \mu$  dick und besteht aus sehr dünnen strahlig-parallelen Hyphen. Paraphysen fädig, unten  $1 \mu$  oben  $1.5 \mu$  breit. Schläuche keulig, breit sitzend, spitz,  $32 \approx 6 \mu$ . Jod bläut den sehr kleinen Schlauchporus. Sporen zu 8 zweireihig, einzellig, länglich, meist etwas keulig-spindelig, gerade,  $6-8 \approx 1.5-1.8 \mu$ .

Der Pilz ist offenbar *Pyrenopeziza compressula* Rehm, F. *Gentianae* Rehm (Discomycetenwerk p. 619), die auf derselben Nährpflanze auftritt. Vergleicht man den Pilz mit *Pyrenopeziza compressula* R. auf *Lotus*, so erkennt man, daß die Form auf *Gentiana asclepiadea* davon artlich verschieden ist. Letztere Form hat außen glatte Apotheken, während die *P. compressula* ein gegen den Rand hin geripptes Excipulum besitzt.

Der Pilz hat *Excipula Gentianae* (Rehm) v. H. zu heißen. Unter *Excipula* Fr.-v. H. sind die echten, stromalosen, hervorbrechenden Mollisien zu verstehen.

#### 2128. *Cenangium furfuraceum* (Roth) de Not.

*F. querceti* Rehm, auf Eiche.

Leg. Ade, Rupboden bei Brücknau. April 1914.

Der Pilz ist falsch bestimmt und unreif. Es ist *Cenangium quercicola* Romell (Bot. Notis. 1895, p. 75), vollkommen mit dem Original in Romell, F. exc. praes. scand. No. 199 übereinstimmend. Der Pilz hat spitze, steife, etwas vorragende schmal lanzettliche Paraphysen und ist die Grundart der Gattung *Cenangiopsis* Rehm 1912 (Ber. bayr. bot. Ges. München, XIII. Bd., p. 189). Er hat *Cenangiopsis quercicola* (Romell) Rehm zu heißen.

Die echten *Cenangium*-Arten müssen alle zu *Encoelia* Fr. gestellt werden. Siehe auch meine Mycol. Fragm. No. CLII in Ann. Myc. 1917, XV. Bd., p. 341.

#### 2129. *Naevia aeruginosa* (Fuck.) Rehm. Auf trockenen Stengeln. Leg. Dr. A. Zahlbruckner bei Szentgyörgy, Preßburger Komitat, Ungarn (200 m ü. M.).

Der Pilz hat spindelig längliche, an den Enden abgerundete, gerade oder kaum gekrümmte, hyaline,  $19-25 \approx 4-5 \mu$  große vierzellige Sporen und  $64-115 \approx 12-14 \mu$  große keulige, unten kurzgestielte Schläuche, die mit Jod keine Färbung geben. Er ist daher falsch bestimmt und ist eine stengelbewohnende Form von *Stictis atrocyanea* Fries (System. myc. 1823, II. Bd., p. 199). Fuckel stellte den Pilz zu *Xylographa*, und Rehm zu *Propolidium* Rehm 1888. Letztere Gattung ist von *Propolidium* Sacc. 1884 mit zweizelligen Sporen verschieden.

Mit *Stictis atrocyanea* Fries ist vollständig identisch *Stictis atrovirens* Fries in Seler. suec. Nr. 278, sowohl nach Cordas Beschreibung als auch nach dem untersuchten Original von Fries. Siehe Corda, Icon. Fung. 1838, II. H., p. 37 Fig. 130. Der Artname „*atrovirens*“ auf dem Exsikkate in Scl. suec. Nr. 278 beruht offenbar nur auf einem Schreibfehler von Fries, denn dieser hat nirgends eine *Stictis atrovirens* beschrieben.

Mit *Stictis atrocyanea* Fr. ganz nahe verwandt und vielleicht nur eine kürzesporige Form davon ist *Stictis stictica* Fries (System. mycol. 1823, II. Bd., p. 197). Dieser Pilz ist die Grundart der Gattung *Xylogramma* Wallroth 1833. Nun ist aber *Stictis stictica* Fr. ein *Durella* Tul. 1865. Daher fallen diese zwei Gattungen zusammen. Das in Fuckel, F. rhen. Nr. 2472 ausgegebene Exemplar von *Xylogramma sticticum* (Fr.) Wallr. zeigte mir auch die für die Gattung *Durella* bezeichnende Nebenfruchtsform, *Cystotricha* Berk. et Br. Da die *Durella*-Arten bald rundliche, bald längliche Apothecien haben, können die zwei Gattungen *Durella* und *Xylogramma* nicht auseinander gehalten werden.

Von *Stictis atrocyanea* Fr. völlig verschieden sind die zwei Pilze, welche Saccardo in Mycoth. Veneta Nr. 1199 (auf *Paulownia*) und Rehm in Ascom. exs. 1976 (auf *Olea*) ausgegeben haben. Diese sind viel größer, haben eine flache, weit offene, blaugrau bestäubte Fruchtscheibe, eine flache, hyaline mikroplektenchymatische Basalschicht, ein seitlich scharf begrenztes Hymenium, dünne, oben nicht verbreiterte aber stark verzweigte Paraphysen und eine bläuliche fleischige Decke. Diese Pilze sind ganz so gebaut wie *Melittosporium* Corda, und unterscheiden sich von dieser Gattung nur dadurch, daß sich die Fruchtschicht mit Jod nicht bläut und die Sporen nur Querwände aufweisen. Sie stellen eine neue Gattung dar, die ich *Melittosporiella* v. H. nenne. Der Bau beider Gattungen, die echte hellfarbige fleischige Stictideen sind, ist phazidial.

Ich nenne die beiden einander gleichen Pilze *Melittosporiella pulchella* v. H.

*Stictis atrocyanea* Fr. wurde von Corda zu *Cryptodiscus* gestellt. Allein der Pilz hat ein braunes, anfänglich grünblaues Epithezium, Paraphysen, die oben etwas verbreitert, gefärbt und verzweigt sind, und ein schließlich dunkelbraunes Gehäuse. Es ist klar, daß er als Stictidee nicht betrachtet werden kann. Er gehört zu den Patellariaceen. Er ist auch in der Tat unter diesen wieder zu finden, denn der Pilz, den Rehm als *Patellaria proxima* Berk. u. Br. beschreibt und der trotz Rehms Zweifeln gewiß die echte Art dieses Namens ist, ist nichts anderes als die Altersform von *Stictis atrocyanea* Fries. Beide Pilze stimmen vollkommen miteinander überein. Der Pilz ist aber keine *Patellaria*, denn sein Aufbau ist nicht parenchymatisch, sondern im wesentlichen parallelfaserig.

Es ist derselbe daher eine *Durella* und hat *Durella atrocyanea* (Fr.) v. H. zu heißen. Er ist nahe verwandt mit und ebenso gebaut wie *Durella macrospora* Fuckel (Symb. myc. 1869 p. 281), die von Rehm mit Unrecht zu *Patellaria* gestellt wurde.

Auch *Xylographa caulincola* Fuckel (Symb. myc. 1873, II. Ntr., p. 48) ist derselbe Pilz auf Baldrianstengeln, wie aus der vollkommen übereinstimmenden Beschreibung hervorgeht. Rehm stellte diese Form auf p. 1253 seines Discomycetenwerkes schließlich zu *Phragmonaeva*. *Durella*

*atrocyannea* kommt demnach nicht nur auf harten und weichen Hölzern, sondern auch auf Stengeln vor.

Diese Ergebnisse, welche zeigen, wie es heute noch mit der speziellen Systematik dieser Pilze steht — dieselbe Art ist in Rehms Werk viermal in drei verschiedenen Gattungen beschrieben und gehört in keine derselben — werden nun vollkommen bestätigt durch die Auffindung der Nebenfruchtform der *Durella atrocyannea*. Mein Original der *Xylographa caulincola* Fuckel in dessen F. rhen. No. 2671 zeigt nämlich keine Spur des Schlauchpilzes, dafür aber eine demselben ganz ähnliche, nur zarter gebaute Nebenfrucht, die von Fuckel übersehen und bei der Ausgabe des Exsikkates mit der Schlauchfrucht verwechselt wurde. Diese Nebenfrucht von *Durella atrocyannea* ist nun eine von *Cystotricha striola* Berk. et Br. nur an den etwas kleineren Konidien ( $7-9 \vee 17-2 \mu$ ) kaum zu unterscheidende Form. Die *Cystotricha striola* ist aber, wie bekannt (s. Fragm. No. 538, XI. Mitt. 1910), die Nebenfrucht von *Durella compressa* P., daher muß auch Fuckels Pilz eine *Durella* sein, nämlich die *Durella atrocyannea* (Fr.) v. H. mit der Nebenfrucht *Cystotricha atrocyannea* v. H. Der Artnamen dieser Formen ist nicht sehr passend, weil er nur für die jüngeren Zustände derselben zutrifft, im Alter sind sie dunkelbraun.

Es scheint, daß die meisten echten *Durella*-Arten anfänglich mehr minder grünblau gefärbt sind.

Nach dem oben Gesagten müssen die echten *Durella*-Arten alle zu *Xylogramma* Wallr. gestellt werden.

Auf den Stengeln der No. 2129 wächst auch eine kleine Patellariacee mit  $300-350 \mu$  großen rundlichen schwarzen parenchymatischen oberflächlichen Ascomaten, keuligen,  $85-96 \vee 21-25 \mu$  großen kurzgestielten Schläuchen, die mit Jod keine Blaufärbung geben und lange hyalin bleibenden, schließlich bräunlichen, eilänglichen  $25 \vee 11 \mu$  großen, zarthäutigen Sporen mit 3 Querwänden und einer Längswand, sowie Paraphysen, die ein braunes Epithezium bilden. Ist vielleicht eine neue Gattung, mit *Tryblidium* verwandt.

2130. *Pseudorhytisma Bistortae* (D. C.) Juel. Auf *Polygonum viviparum* (nicht *Bistorta*, wie auf der Etikette steht) ex. F. Neger, Djupvand bei Geiranger, Norwegen, VIII. 1913.

Ist nach meinem mykologischen Fragmente No. CXLIV in Ann. Myc. 1917, XV. Bd., p. 334 eine stromatische Stictidee und keine Phaciacee.

2131. *Graphyllum dakotense* Rehm auf *Andropogon scoparius*. Leg. Dr. F. J. Brenckle, Kulm, N. Dakota, III. 1914.

Ob die Grundart *Graphyllum Chloës* Clements (Syll. Fung. XVII. Bd. p. 913) ebenso gebaut ist, ist mir nicht bekannt, doch so gut wie sicher. Wenn dies der Fall ist, dann ist *Graphyllum* Clem. keine Hysteriaceengattung, sondern eine mehr minder langgestreckte *Clathrospora* Rabenh.

1857, mit entwickeltem, oder fehlendem Ostiolum. Die Grundart *Clathrospora Elynæ* Rabh. gehört zu den Pseudophaeriaceen.

*Clathrospora dacotensis* (Rehm) v. H. ist eine wenig typische Pseudophaeriacee.

2132. *Meliola rubicola* P. Henn. auf *Rubus morifolius*, Leg. K. Hara, Kawauye Mura, Prov. Mino, Japan, IX. 1912.

Ist identisch mit *Sphaeria calostroma* Desm. (s. Ann. Myc. 1917, XV. Bd., p. 363). Wenn man die Gattung *Irene* Th. et S. (Ann. Myc. 1917, XV. Bd., p. 194) annimmt, muß der Pilz *Irene calostroma* (Desm.) v. H. genannt werden. *Meliola manca* Ell. et Ev., *M. sanguinea* E. et Ev. und *M. Puiggarii* Speg. sind derselbe Pilz.

2133. *Asterina diplocarpa* Cooke auf *Sida* sp. Leg. Rick, São Leopoldo, Brasilien, 1913. Comm. Theissen.

2134. *Melanospora marchica* Lindau. Der Pilz wurde von F. W. Neger in Reinkultur gezogen; Konidien *Urocystis*-ähnlich. Perithezen mit reifen Schläuchen wurden durch Aussaat dieser Konidien auf sterilisierten Möhren erhalten. Comm. F. W. Neger. Vgl. Mykol. Zentralbl. 1914. Die sogenannten Konidien sind Bulbillen, offenbar identisch mit *Papulospora* Preuß, *Helicosporangium* Karsten. Siehe v. Höhnel in Ber. d. deutsch. bot. Ges. 1917, 35. Bd., p. 357.

2135. *Nectria cinnabarina* (Tode) Fr. var. *Daphnes* Rehm auf Stämmchen von *Daphne* sp.; Leg. Ade, Ruckberg bei Reußendorf (Rhön) Mai 1913.

Dieser Pilz stellt eine überreife, dunkel verfärbte, fast glatte Form der *Nectria cinnabarina* (Tode) Fr. dar und fällt mit *N. cinnabarina* (Tode) Fr. var. *kermesina* (Otth) Weese (sub *Nectria kermesina* Otth in Berner Mittlg., 1870, p. 103), Weese in Sitzungsber. K. Akad. d. Wissensch., Wien, math.-naturw. Kl., Abt. 1, 125. Bd., 1916 p. 541—546) zusammen. Schläuche konnte ich bei den Exemplaren des Rehmschen Pilzes nicht beobachten, doch weisen die Sporen die typische Form derer von *N. cinnabarina* auf.

Daß Rehm im Irrtum sei, wenn er annimmt, als sei sein Pilz die erste für *Daphne* angegebene Hypocreacee, hat v. Keißler (Beihefte z. Botan. Zentralblatt, 34. Bd., Ab. II., 1916, p. 67) bereits mitgeteilt. v. Keißler hat die var. *Daphnes* Rehm auf Grund der Rehmschen Angaben als Synonym zu *N. cinnabarina* (Annales Mycologici XIII, 1915, p. 2) gezogen. J. Weese, Wien.

2136. *Gibberella Saubinetii* (Mont.) Sacc. Auf Karyopsen von *Avena sativa*, Leg. S. Jto, Sapporo, Prov. Jschikari, Japan.

Stimmt gut zu den Angaben in Wollenweber, Fusaria autographice delineata 1916, Taf. 43 bis 46. Winters Angabe, daß die Perithezen schön blau sind, ist unrichtig, sie sind schmutzig violett.

2137. *Hypocrea citrina* (P.) Fries. Auf Erde, Laub und Baumstümpfen fast auf der ganzen Erde verbreitet.

Leg. v. Höhnel, auf einem morschen Stumpf im Viehoferin-Wald bei Presbaum im Wiener Walde, Sommer 1916.

2138. *Phyllachora Sorghi* von Höhnel auf *Sorghum vulgare*. Leg. S. A. Reyes, Los Banos, Philippinen, X. 1913.

Das Original der Art ist in Rehm, Ascom. exs. Nr. 1841 ausgegeben.

2139. *Phyllachora Canarii* P. Henn. auf *Canarium villosum*. Leg. S. A. Reyes. Los Banos, Philippinen. XI, 1913.

Die Sporen zeigen häufig ein unregelmäßig zweiteiliges Plasma und sind dann scheinbar zweizellig. Daher wird wohl, wie Theissen und Sydow sagen (Ann. Myc. 1915, XIII. Bd., p. 517), *Dothidella Canarii* Rehm (Phil. Journ. Scienc. 1913, VIII. Bd., p. 398) derselbe Pilz sein.

Der Pilz wurde auch von den Genannten als echte *Phyllachora* betrachtet, allein die Untersuchung zeigte mir, daß derselbe trotz seines Aussehens eine eigenartige *Polystigma* ist. Verschiedene Eigentümlichkeiten des Pilzes weisen darauf hin, daß der Pilz keine *Phyllachora* sein kann. Die Sporen sind spindelförmig, zeigen keinen grobkörnigen Inhalt, sondern ein fast homogenes Plasma und eine ziemlich derbe Wandung. Die Schläuche sind ziemlich lang gestielt, spindelig und oben verschmälert abgestutzt. Oben zeigen dieselben eine deutliche Struktur, was bei *Phyllachora* niemals vorkommt. Eine echte Klypeusbildung fehlt völlig. Es sind nur Scheinklyplei vorhanden, die genau auf die beiden Epidermen beschränkt sind und nur aus den abgestorbenen Epidermiszellen bestehen, deren Inhalte opakschwarz geworden sind. Pilzhypen sind in diesen Scheinklypei nicht zu finden. Die Perithezien haben eine ringsum gleichmäßig 8—12  $\mu$  dicke Membran, die aus vielen Lagen von zusammengepreßten, sehr zarthäutigen, schmutzig-violettbräunlichen Parenchymzellen besteht, die gefärbte Inhalte aufweisen, die die oft dunklere Färbung derselben bewirken. Die Perithezien liegen in einem stellenweise sehr gut entwickeltem Stroma, das schwammig-locker ist und aus sehr zarten Hyphen besteht, die sich mit Jod blau färben, ganz so wie bei *Polystigma*. Oben zeigen die Perithezien keine vorragende Mündungspapille, daher die Scheinklypei vertiefte Mündungen aufweisen. Die Scheinklypei sind von verdickten Blattadern scharf begrenzt. Scheinklypei sind bei den Hypocreaceen in den Tropen nicht selten. Die betreffenden Pilze sind aber bisher falsch eingereiht worden. So ist die *Guignardia Freycinetiae* Rehm (Phil. Journ. Scienc. 1913, VIII. Bd., p. 184) eine Hypocreacee (*Micronectriopsis* v. H. n. G. in Ann. Myc. 1918, XVI. Bd., p. 59) mit schwarzem Scheinklypeus.

Ich zweifle nicht daran, daß gar mancher bisher als Phyllachoracee beurteilter Pilz zu den Hypocreaceen oder Sphaeriaceen gehört. Nur die genaueste, mit der nötigen Muße ausgeführte Untersuchung jedes einzelnen Falles kann hier Ordnung schaffen.

Der untersuchte Pilz muß bis auf weiteres *Polystigma Canarii* (P. H.) v. H. heißen, wird vielleicht späterhin in eine eigene Gattung zu stellen sein, was sich durch die Auffindung weiterer ähnlicher Formen entscheiden wird.

2140. *Catacauma aspideum* (Berk.) Th. et S. Forma *Fici fulvae* gleich *Phyllachora Fici fulvae* Koorders, auf *Ficus odorata*. Leg. S. et Reyes. Los Banos, Philippinen, X. 1913.

2141. *Melanomma pulvis pyrius* (P.) Fuck. auf Rinde und Holz ausgebreitete Rasen bildend. Leg. Rehm (?), Partenkirchen in Bayern.

2142. *Spaerulina salicina* Sydow. Auf *Salix* sp. Leg. D. F. J. Brenckle. Kulm, N.-Dakota, IV. 1914.

Die Beschreibung der Art findet sich in Ann. Myc. 1913, XI. Bd., p. 262. Der Pilz ist gleich *Sphaeria corticola* Fuckel 1869 = *Sphaeria cinerea* Fuckel 1869 und hat zu heißen *Griphosphaeria corticola* (Fuck.) v. H. (Ann. Myc. 1918, XVII. Bd.). Paraphysen sehr zahlreich und lang. Sporen oft nicht gut ausgebildet, wie dies auch bei Fuckels Exemplaren vorkommt.

2143. *Metasphaeria sepincola* (B. et Br.) F. Crataegi. Leg. W. Krieger, auf abgeschnittenen Ästen von *Crataegus Oxyacantha*, in Schandau in Sachsen, IV. 1911.

Die Sporen haben eine deutliche Schleimhülle. Daher ist der Pilz eigentlich eine *Massarina*. *Massaria microcarpa* Fuckel, *Massaria Winteri* Rehm, *Massaria polymorpha* Rehm, *Massaria Rubi* Fuckel, *Metasphaeria Aquilegiae* Bresadola, *Metasphaeria Callunae* Fautrey, *Massarinula Barbieri* (West.) Rehm, *Melanopsamma Salviae* Rehm u. a. sind einander sehr nahe stehende Formen, die sich nur wenig in der Größe der Sporen und Perithézien voneinander unterscheiden. Wahrscheinlich handelt es sich nur um Formen einer Art, welche auf beliebigen Holzarten und Kräutern sehr häufig ist.

Schon Berkeley und Broome (Ann. Magaz. nat. Hist. 1852, IX. Bd., p. 326) kannten die Veränderlichkeit dieser Formen. Sie glaubten, daß sie das darstellen, was Fries (Syst. myc. 1823, II. Bd., p. 498) *Sphaeria sepincola* nannte. Eine *Sphaeria sepincola* haben aber Berkeley und Broome nicht beschrieben.

Der Pilz, der in der Syll. Fung. 1883, II. Bd., p. 164 als *Metasphaeria sepincola* (Fr. ? Fuck.) Sacc. beschrieben ist, beruht auf den Angaben von Fuckel.

Dieser macht in Symb. myc. 1869, p. 114 andere Angaben über dasselbe Exsikkat, F. rhen. Nr. 2026, wie 1873 im II. Ntr. p. 22, wo er die früher gemachten für unrichtig erklärt. Dies beruht jedoch darauf, daß auf dem Exsikkate sich zwei Pilze vorfinden, beide gut vertreten, nämlich die *Griphosphaeria corticola* (Fuck.) v. H. und die *Pleosphaerulina (Pringsheimia) sepincola* (Fries) Rehm (Ann. Myc. 1912). Auf den erstgenannten Pilz bezieht sich die Angabe vom Jahre 1869, auf den zweiten die vom Jahre 1873.

Da nun in der Sylloge Fung. 1883, II. Bd., p. 164 Fuckels Angaben vom Jahre 1873 angeführt werden, so ist die *Metasphaeria sepincola* Sacc. 1883 die *Pleosphaerulina sepincola* (Fr.) Rehm.

Hingegen ist die *Metasphaeria sepincola* (B. et Br.) Sacc. 1891 im IX. Bande der Syll. Fung. p. 836 die obige vielgestaltige *Massarina*.

2144. *Metasphaeria ambrosiaecola* Atk. v. Ivae Rehm auf *Iva xanthifolia*. Leg. D. I. F. Brenckle, Kulm, N. Dakota, IV. 1910.

Die Stengel sind dicht rasig mit flachen Perithezien bedeckt, fast sämtlich leer. In einigen fand ich  $80 \approx 14 \mu$  große keulige, kurzgestielte Schläuche mit braunen  $26 \approx 8.5 \mu$  großen Sporen und meist 5 Querwänden und einer unterbrochenen Längswand. Die Sporen sind keulig spindelig, in der Mitte wenig eingezchnürt, an den Enden spitzlich.

Ist eine *Pleospora*, vielleicht eine neue Art. Das Material dieser Nummer besteht offenbar aus von Rehm beiseite gelegten Stücken, denn er hat die richtige *Metasphaeria ambrosiaecola* Atk. v. Ivae R. schon früher in No. 1968 ausgegeben und die Grundform auf *Artemisia* in No. 1968. Diese zweiei Exemplare Rehms auf *Iva* und *Artemisia* stellen jedenfalls dieselbe Art dar, ob sie aber die echte von Atkinson beschriebene Form sind O (Syll. Fung. XIV, p. 583), ist zweifelhaft, denn letzterer gibt die Schläuche  $40-60 \approx 10-12 \mu$  groß an, während Rehms Exemplare andere Maße der Schläuche zeigen.

Rehms beide Formen sind dothideale Pilze. Es ist mir nicht zweifelhaft, daß so wie *Leptosphaeria* C. et de Not. (s. Ber. d. deutsch. bot. Ges. 1918, 36. Bd.) aus sphaerialen (*Nodulosphaeria* Rbh.) und dothidealen (*Leptosphaeria* s. str.) Arten besteht, dies auch bei der Gattung *Metasphaeria* der Fall ist. Da Saccardo letztere Gattung 1883 in der Syll. Fung. II. Bd., p. 156 ganz theoretisch für die hyalinsporigen *Leptosphaeria*-Arten aufgestellt hat, kann man nicht sagen, welches die Grundart von *Metasphaeria* ist. In solchen Fällen bleibt nichts anderes übrig, als sich an den Wortlaut der Gattungsbeschreibung zu halten, in diesem Falle um so mehr, als gerade die beiden ersten Arten der Gattung nicht in dieselbe gehören, worüber noch Untersuchungen anzustellen sind.

2145. *Phomatospora migrans* Rehm auf *Arenga saccharifera*. Leg. S. A. Reyes. Los Banos, Philippinen, VIII. 1913.

Die Untersuchung des Pilzes ergab folgendes. Auf den stark vermorschten Blattstielen finden sich weißliche, 1 cm große, längliche unbegrenzte Stellen, auf denen zahlreiche runde oder längliche, 1 mm breite, graue oder schwärzliche verschwommene Flecke auftreten, die unregelmäßig oder mehr miteinander deutlich in konzentrischen Kreisen angeordnet sind. Letztere röhren von unter der Epidermis eingewachsenen Stromaten her, die meist allmählich verlaufen. Die fruchtbaren Teile dieser Stromata sind etwa  $80 \mu$ , die sterilen  $25 \mu$  dick. Die Stromata sitzen zwischen der Epidermis und dem Palissadengewebe und bestehen aus parallelen senk-

rechten Reihen von kurzprismatischen, dünnwandigen,  $10-20 \mu$  großen, violettblau braunen leeren Zellen. In diesen Stromaten sitzen meist nur wenige, flache  $80-150 \mu$  große,  $40 \mu$  hohe Lokuli ohne Spur einer eigenen Wandung. Zwischen den Lokuli sind oft nur 2-3 Reihen von Stroma zellen, die meist gestreckt sind, vorhanden. Der Inhalt der Lokuli ist schlecht entwickelt. Man sieht wenige, dickkeulige, sehr derbwandige, etwa  $64 \approx 25 \mu$  große achtsporige Schläuche, und dazwischen ein krüm meliges Gewebe, das jedenfalls von den Paraphysen herrührt. Die hyalinen, einzelligen, zarthäutigen,  $22 \approx 10 \mu$  großen Sporen liegen 2-3-reihig, zeigen einen grobkörnigen Inhalt und sind spindelig-elliptisch.

Danach ist der Pilz eine schlecht entwickelte *Catacauma*, die *Catacauma migrans* (Rehm) v. H. genannt werden muß. Sie steht der *Catacauma mucosum* (Speg.) Th. et S. (Ann. Myc. 1915, XIII. Bd., p. 373) jeden falls nahe und ist vielleicht nur eine ganz schlecht entwickelte Form davon.

2146. *Valsa ambiens* Fries F. *Elaeagni* Rehm auf *Elaeagnus argentea*.  
Leg. Dr. I. F. Brenkle, Kulm, N. Dakota.

Ist wohl eine Form von *V. ambiens*. Schläuche  $60-74 \approx 7-9 \mu$ ; Sporen zylindrisch, meist gekrümmmt,  $12-20 \approx 3-4 \mu$ , meist  $16 \approx 3.5 \mu$ . Die Stromata sind meist klein, mit wenigen Perithezien, doch treten auch solche mit 10-12 Perithezien auf. Die Mündungsscheibe ist dunkel, klein, etwas quergestreckt, von den Peridermlappen berandet. Die Mündungen verdickt, groß, niedergedrückt-kugelig, meist die ganze Scheibe einnehmend.

2147. *Valsa (Eutypa) Acharii* Tul. auf *Acer* sp. Leg. Rehm (?), Isar auen bei München.

2148. *Valsa (Eutypa) Kusanoi* P. Henn. auf *Phyllostachys bambusoides*.  
Leg. K. Hara, Japan, Prov. Mino, Kawauye Mura, XI. 1912.

Auf den Halmen von Bambuseen sind vier als *Eutypa* beschriebene Formen bekannt, die sich einander sehr nahe stehen und vielleicht nur eine wirkliche Art darstellen.

1. *Eutypa bambusina* Penzig et Sacc. 1897 (*Malpighia*, XI. Bd., p. 501 und *Icon. Fung.* Javanic. 1904, p. 32, Taf. XXIII, Fig. 1).

Die Originalbeschreibung ist unvollständig. Namentlich wird nichts über die Färbung des Stromagewebes gesagt. Berlese (*Icon. Fung.* 1902, III. Bd., p. 56 Taf. 68 Fig. 1), der das Original nachuntersucht hat, gibt an, daß das Stromainnere weiß-gelblich ist, und die allantoiden Sporen subhyalin und  $6-8 \approx 1.5 \mu$  groß sind. Da das Original ganz alt ist und keine Schläuche mehr aufwies, ist anzunehmen, daß das Stroma so wie bei den folgenden Formen innen gelb ist. Nach der nicht sehr deutlichen Abbildung Berleses stehen die Perithecien im Stroma in 2-3 Reihen. Das in Rehm, Ascom. exs., No. 2067 von den Philippinen ausgegebene Exemplar (*Eutypella bambusina* (P. et S.) Berlese) zeigt innen gelbe Stromata, zweireihig stehende Perithezien und  $5-7 \approx 1.8 \mu$  große Sporen mit deut-

lichen endständigen Ölträpfchen. Die Stromata sind bei dieser Art bis 3·5 mm lang.

2. *Eutypa hypoxantha* Starbäck 1899 (Bih. Svensk. Akad. Handl., 25. Bd., Afd. III, No. 1, p. 63) hat meist einreihig stehende Perithezien, innen goldgelb-grünliche Stromata und  $9-10 \times 1\cdot5 \mu$  große, etwas bräunlich werdende Sporen. Bei Starbäck heißt es zwar, daß die Sporen  $4\cdot5 \mu$  breit sind, da aber die zylindrisch-keuligen Schläuche nur  $6 \mu$  breit sind, kann diese Angabe nur auf einem Druckfehler beruhen. Die Stromata dieser Art sind 3—30 mm lang.

Starbäck hält es für möglich, daß diese Art mit *Sphaeria hypoxantha* Léveillé 1846 (Ann. scienc. nat. III. Ser., V. Bd., p. 260) zusammenfällt. Allein dieser gibt an, daß die Stromata gelb sind, und daß die Sporen sehr klein, oval und meist etwas gekrümmmt sind. Er sagt ferner, daß sein Pilz der *Sphaeria Libiseyi* nahe steht. Ein Pilz dieses Namens ist aber in der Literatur nicht zu finden. Wenn er die *Sphaeria Libiseyi* Desmazières 1841 meinen sollte, so wäre sein Vergleich unverständlich, da dieser Pilz kein gelbes Stroma und nicht in Reihen stehende Perithezien hat. Die *Sphaeria hypoxantha* Lév. könnte eine nicht wieder gefundene Hypocreacee sein.

Auf keinen Fall kann Starbäcks Pilz damit zusammenfallen.

3. *Eutypa Barbosae* v. H. (Hedwigia, 1901, 40. Bd., p. (104)), benannt nach dem früheren Direktor des botanischen Gartens in Rio de Janeiro, wurde in Rehm, Ascom. exs. No. 1376 ausgegeben und von diesem für mit *Eutypa hypoxantha* Starb. gleich erachtet. Das ist aber nicht der Fall, denn bei *Eutypa Barbosae* stehen die Perithezien in zwei Reihen in den bis 6·5 mm langen (innen gelben) Stromaten und sind die in Haufen gelblichen Sporen  $6-8 \times 1\cdot5-1\cdot8 \mu$  groß, mit deutlichen endständigen Ölträpfchen.

Der in Theissen, Dec. Fung. bras., No. 25 als *Eutypella bambusina* (P. et S.) ausgegebene Pilz ist identisch mit dem gleichnamigen Pilze in Rick, Fung. austro-americ., No. 87. Rehm (Leaflets Philipp. Bot. 1913, VI. Bd., p. 1942) unterschied diese Form als var. *sulfurea* R.

Diese zwei Nummern sind aber identisch mit *Eutypa Barbosae* v. H.; ob diese Art zur *Eutypella bambusina* (P. et S.) gehört, ist zweifelhaft.

Diese drei Aufsammlungen von mir, Theissen und Rick fanden wohl zweifellos auf derselben Nährpflanze (*Gadua Taquara*), einer *Bambusa*-Art, statt.

4. *Eutypa Kusanoi* P. Henn. (Englers Bot. Jahrb. 1903, 32. Bd., p. 43) hat nach dem wohl richtigen Exemplare in Rehm, Ascom. exs., No. 2148) 2—6 mm lange, innen gelbe Stromata, in welchen die Perithezien in 3—4 Reihen stehen. Die Sporen sind in Massen gelbbräunlich und  $6-8 \times 1\cdot5 \mu$  groß, mit undeutlichen Endträpfchen. Sie sind deutlich schmäler und mehr zylindrisch als bei den obigen 3 Arten.

Nach allem vermute ich, daß es auf den Bambuseen drei unterscheidbare Eutypellaformen gibt, mit innen gelben Stromaten.

1. *Eutypella bambusina* (P. et S.) Berl. 1897 = *Eutypa Barbosae* v. H. 1901 = *E. bambusina* (P. et S.) v. *sulfurea* Rehm 1913.

2. *Eutypella hypoxantha* (Starbäck) v. H. 1899.

3. *Eutypella Kusanoi* (P. Henn.) v. H. 1903.

Reicheres Material muß zeigen, ob diese 3 Arten Übergänge aufweisen.

2149. *Cryptospora suffusa* (Fr.) Tul. Auf Erlenzweigen. Leg. Rehm (?). Isarauen bei München.

Schläuche 60—80  $\varltimes$  12—15  $\mu$ . Winters und Schröters Angaben über die Breite der Schläuche sind viel zu groß.

2150. *Nummularia cinerea* Rehm. an Eichenstämmen. Leg. Dr. I. F. Brenckle, Kulm, N.-Dakota, II. 1915.

Scheint von Rehm nicht beschrieben zu sein. Ist verschieden von *Nummularia cinerea* Patouill. 1895 und identisch mit *Sphaeria atropuncta* Schweinitz, die in Ellis a. Everh., F. Columb., No. 1135 als *Hypoxylon*, in Rehm, Ascomyc. exs., No. 1596 und Rabenh.-Wint., F. europ., No. 3959 als *Anthostoma* ausgegeben ist.

Der Pilz ist eine *Nummularia* und hat *N. atropuncta* (Schw.) v. H. zu heißen.

2151. *Helvella lacunosa* Afz. Am großen Wiener Berge bei Preßbaum im Wiener Walde, 1916, leg. v. Höhnel.

2152. *Humaria jonella* Quélet. In einem Garten in Preßbaum im Wiener Walde, 1916, leg. v. Höhnel.

Stimmt vollkommen mit Boudiers Angaben und Bildern auf Tafel 301 in Icon. Mycol. 1905—1910 überein; dieser nennt den Pilz *Galactinia jonella* (Qu.) Boud. Da sich die Schläuche mit Jod oben blau färben, wäre der Pilz eine *Plicaria* im Sinne Rehms. Denselben fand ich auch bei Purkersdorf am gelben Berg im Wiener Walde und in den Donauauen des Praters bei Wien. Neu für Deutschland und Österreich.

2153. *Humaria tetrica* Quel. (= *Aleurina tetrica* (Qu.) Rehm). Auf morschen Blättern von *Hedera Helix*. Leg. O. Jaap, Triglitz in Brandenburg, IV. 1915.

Es ist mir zweifelhaft, ob der Pilz die *Humaria tetrica* Quél. 1885 ist, weil dieser Pilz auf morschem Efeuholz wachsen soll. Hingegen halte ich es für möglich, daß er mit *Peziza Sejournei* Boudier 1881 (in Icon. Mycol. 1905—10, Taf. 484) identisch ist, da er demselben äußerlich vollkommen gleicht und wie dieser auf morschen Efeublättern auftritt. Indessen hat *Peziza Sejournei* kürzere hyaline Sporen, während der ausgegebene Pilz längere, schließlich rauchgraubraune Sporen hat. Derselbe ist ein inoperkulater Diskomyzet mit faserigem Aufbau und gefärbten, spindel- oder kahnförmigen Sporen. Er teilt mit *Lambertella* v. H. (F. z. Myk. No. 1078)

und *Velutaria* Fuck. das Vorhandensein von gefärbten Sporen, ist aber eine *Ciboria* Fuck. dem Baue nach, daher eine neue Gattung, die ich *Phaeociboria* nenne. Er hat *Phacociboria tetrica* (Qu.) v. H. oder *Phaeociboria Sejournei* (Boud.) v. H. zu heißen, was noch zu entscheiden ist.

2154. *Ciboria echinophila* (Bull.) Sacc. auf faulenden Bechern von *Quercus Cerris* im Wiener Walde, leg. v. Höhnel, 1916.

Wurde bisher nur auf den Fruchthüllen der Edelkastanie gefunden, ist aber im Wiener Walde auf den Bechern der Zerreiche von mir mehrfach gefunden worden. Nach meinem Fragm. No. 1021 (XIX. Mitt. 1917) muß derselbe *Rutströmia echinophila* (Bull.) v. H. genannt werden.

2155. *Sclerotinia nervisequia* Schröter. Auf ganz vermorschten Erlenblättern. Am Sonntagsberge in Niederösterreich 1914, leg. P. Pius Strasser.

2156. *Lachnum Rehmii* (Staritz) Rehm. An alten Stengeln von *Juncus squarrosus*. Fundort und Sammler unbekannt. Eine kurzstielige Form des Pilzes, offenbar die Var. *subfuscum* R.

2157. *Tapesia Rosae* (P.) Fuck. var. *prunicola* Fuckel, auf Zweigen von *Prunus spinosa* am Sonntagsberge in Niederösterreich, VIII. 1914, leg. P. Pius Strasser.

2158. *Helotium fructigenum* (Bull.) Karsten. Auf *Carpinus*-Früchten. Garten in Presbaum im Wiener Walde, 1916, leg. v. Höhnel.

2159. *Atchia glomerulosa* (Ach.) Flotow. Auf *Abies pectinata*, leg. Neger, Kipsdorf im Erzgebirge. Vgl. Neger, Experiment. Unters. über Rußtaupilze, Flora 1917.

2160. *Urnula xanthomelan* (Pers.). Auf Humus am großen Wiener Berg im Wiener Walde, 1916, leg. v. Höhnel. Der Pilz ist nach meinem Fragmente No. 1012 (XIX. Mitt. 1917) eine Tryblidiacee und hat *Podophacidium xanthomelan* (P.) Boud. zu heißen (= *P. terrestre* Nießl, 1872).

2161. *Rhytisma acerinum* (P.) Fr. *F. monspessulanum* Rehm, auf *Acer monspessulanum*. Nach K. Müller (Ber. d. deutsch. Bot. Ges. 1912, XXX. Bd. p. 385) stellen die auf verschiedenen Ahornen wachsenden *Rhytisma*-Arten Gewohnheitsrassen dar. Der Sammler der Nummer ist vermutlich Jaap (Lapad in Dalmatien, 1914, s. Ann. Myc. 1916, XIV. Bd., p. 7).

2162. *Rhytisma Andromedae* (P.) Fr. Auf *Andromeda polifolia*, leg. Neger bei Palfoß im oberen Ottadal (Norwegen), 1913.

Hat nach meinem Systeme der Phacidiales in Ber. d. deutsch. Bot. Ges. 1917, 35. Bd., p. 420 und Ann. Myc. 1917, XV. Bd., p. 317 *Placuntium Andromedae* (P.) Ehrenberg 1818 zu heißen.

2163. *Asterinella Reyesiana* Rehm?

(Keinerlei nähere Angaben; vermutlich von Reyes auf den Philippinen gesammelt.)

Der Pilz ist eine echte *Asterinella*, scheint aber von Rehm nicht beschrieben worden zu sein.

Das dichte Subikulum besteht aus 2·5—4  $\mu$  breiten braunen, verzweigten Hyphen ohne Hyphopodien, die ganz unregelmäßig verlaufen, ziemlich langgliedrig und oft netzförmig verbunden sind. Thyrothezien dunkelbraun 70—80  $\mu$  breit mit hellbrauner radiär gebauter Basalmembran, die wie das Schildchen aus 3—4  $\mu$  breiten, wenig gestreckten Zellen besteht. Paraphysen fehlen. Die wenigen Schläuche sitzen auf einigen bräunlichen Hyphen auf der Basalmembran, färben sich mit Jod ganz blau, sind anfangs fast kugelig (48  $\approx$  48  $\mu$ ), dann eiförmig (52  $\approx$  24—30  $\mu$ ), achtsporig. Sporen dunkelbraun, zweizellig, 22—26  $\approx$  8—12  $\mu$  groß, schließlich unregelmäßig warzig rauh. Beide Sporenzellen sind ziemlich gleichlang, die obere etwas breiter. Die Schläuche liegen in Schleim. Das Schildchen zerreißt bei der Reife in etwa 6 stumpfe Lappen, die ganz hinausgebogen und umgeschlagen werden.

Neben den Thyrothezien kommen auch ganz ebenso aussehende, nur wenig kleinere konidienführende Pyknothyrien vor, die wenige dunkelbraune eiförmige, an der kegelig-spitzen Basis etwas hellere, etwa 18  $\approx$  15  $\mu$  große Konidien enthalten. Diese Nebenfrucht hat *Asterostomula Reyesiana* v. H. zu heißen. Dem Myzel des Subikulums ist stellenweise ein zartes und blasses fremdes Myzel eingemengt mit zahlreich ansitzenden kugeligen braunen, einzelligen, 9  $\mu$  großen Konidien und vielen zarten einzelligen, spitzen, blassen 100—130  $\mu$  langen, unten 3—4, oben 2  $\mu$  dicken Myzelborsten.

Der beschriebene Pilz sitzt blattunterseits, wo er 2—15 mm große, rundliche oder unregelmäßige, oft miteinander verschmelzende, matte, zarte, braune Flecke bildet. Die Nährpflanze ist unbekannt und keine *Anamirta*.

*Asterinella Anamirtae* Syd. (Ann. Mycol. 1914, XII. Bd., p. 558) würde nach der Beschreibung sehr gut übereinstimmen, soll aber graubraune Thyrothezien haben und wird daher mit *A. diaphana* verglichen.

*Asterinella lepidotricha* Th. (Ann. Myc. 1916, XIV. Bd., p. 271) auf unbestimmten Blättern, von Reyes auf den Philippinen gesammelt, aus dem Herbar Rehms, muß nach der Beschreibung ein anderer Pilz sein.

2164. *Seynesia Alstoniae* Rehm n. sp. auf *Alstonia macrophylla*. Leg. Reyes, Los Banos, Ins. Philipp., Oktob. 1913.

Vgl. C. F. Baker, Fungi malayani No. 88 und Leaflets Philipp. Botany 1914, VI. Bd., p. 227.

Ist jedenfalls eine gute Art der Gattung, die von der auf der nahe verwandten Nährpflanze *Tabernaemontana* in Ostafrika wachsenden *Seynesia fusco-paraphysata* P. Henn. (Englers Bot. Jahrb. F. Syst. 1905, 34. Bd., p. 48), die auch wahrscheinlich ein dothidealer Pilz sein wird, ganz verschieden ist.

Die Thyrothezien sitzen blattoberseits sehr locker zerstreut, sind matt schwarz, unregelmäßig rundlich, 400—600  $\mu$  breit, opak, nur am Rande durchscheinend und hier aus 3·5  $\mu$  breiten derbwandigen, dunkelbraunen, septierten, parallel verwachsenen Radialhyphen aufgebaut, die meist 30 bis

90  $\mu$  lang kammartig wimperig vorstehen. Ein Subikulum fehlt völlig. Die Basalschichte bildet ein bräunliches Plektenchym, auf dem die 1-7  $\mu$  dicken, einfach-fädigen, in Schleim eingebetteten hyalinen Paraphysen und die zahlreichen eiförmigen, derbwandigen, etwa  $65 \times 42 \mu$  großen, außen verschleimenden, sich mit Jod ganz blau färbenden Schläuche sitzen. Die dunkel braunvioletten Sporen sind fast gleichzweizellig und  $30-34 \times 11-14 \mu$  groß. Jede der beiden Zellen zeigt in der Mitte eine schmale helle Querzone, die durch das Einreißen des Epispor entsteht. Manchmal ist die obere Zelle 1-2  $\mu$  länger und breiter als die untere. An der Querwand findet sich nur eine schwache Einschnürung. Öfter bleiben die Sporen einzellig, sind dann  $28 \times 11-14 \mu$  groß und zeigen zwei helle Querzonen. Die Sporen können leicht für vierzellig gehalten werden.

2165. *Nectria cyanostoma* Sacc. et Flag. auf Zweigen von *Buxus sempervirens*; leg. Abbé Flageolet, Rigny s. Arrouse, Frankreich. (Atti congr. Bot. Palerino, 1912, p. 53; Saccardo, Sylloge Fung., XVII., p. 787.)

Dieses Exsikkat stellt ein Originalexemplar dieses interessanten Pilzes dar. Die jetzt dunkelblutroten, birnförmigen Perithezien mit dem bläulich-schwarzen, deutlichen Mündungskegel zeigen eine zirka 20  $\mu$  dicke Wandung, die aus 3 bis 4 Lagen mäßig derbwandiger, 8-15  $\mu$  im Durchmesser (d. h. parallel zur Perithezienoberfläche gemessen) Zellen bestehen, welche bei Betrachtung zerquetschter Gehäuse ziemlich geradlinig unregelmäßig vier- bis sechseckig begrenzt erschienen. Da der Pilz leider vollständig überreif ist, konnte ich keine Aski und keine normalen Sporen beobachten. Nach der Originalbeschreibung sind die hyalinen, länglich eiförmigen, beiderseits abgerundeten, mit 2 bis 4 Öltropfen versehenen Sporen 14-16  $\mu$  lang und 5-5 bis 6  $\mu$  breit. Die Maße der Schläuche waren mit 85-90  $\mu$  = 7-8  $\mu$  angegeben.

Nach der Perithezienstruktur gehört *N. cyanostoma* in die Verwandtschaft von *N. Gibbera* Fuck. (Symb. Mycol., 1869, p. 177) (= *Nectria Desmazierii* (De Not.) Fuck.), welcher Pilz wie *Nectria cicatricum* (Berk.) Tul. ebenfalls auf Zweigen von *Buxus sempervirens* aufgefunden wurde. Wegen der auffallenden, auch unter dem Mikroskop bei durchfallendem Lichte in Schnitten graublau erscheinenden Mündungspapille wird *N. cyanostoma* aber mit *N. Gibbera* keinesfalls verwechselt werden können. Von *N. Gibbera* Fuck. hat Verfasser dieser Zeilen in den Sitzungsber. d. Kais. Akad. d. Wissenschaften in Wien, math. naturw. Kl., 1. Abtlg., 125. Bd., p. 557 eine Abbildung gegeben. (J. Weese.)

2166. *Epichloë typhina* (P.) Tul. auf *Festuca montana* M. a. B. (= *F. drymeia* M. et K.) bei Preßbaum im Wiener Walde, 1916 leg. v. Höhnel.

In den Tannen- und Mischwäldern bei Preßbaum tritt der Pilz nur auf der genannten Grasart auf, oft auf vielen Quadratmetern großen Flächen, fast jeden Halm befallend.

2167. *Phyllachora orbicula* Rehm, auf Blättern von *Bambusa Blumeana*.  
Leg. S. A. Reyes. Los Banos, Ins. Philipp. Vgl. Leaflets Philippine Bot. 1914, VI. Bd., p. 2222.

Scheint das Original der Art zu sein. Sporen meist regelmäig ellip-  
tisch,  $13 \times 6-6.5 \mu$ .

2168. *Coleroa atramentaria* (Cooke) auf *Vaccinium uliginosum*, leg.  
Neger, Trondheim, Norwegen, VIII. 1913; unreif.

2169. *Apiospora apiospora* (Dur. et Mtg.) v. H. auf toten Bambusstämmen,  
leg. S. A. Reyes, Los Banos, Ins. Philipp., Comm. Baker No. 1435. (Leaflets  
Phil. Bot. VIII. Bd., p. 2946 und Phil. Journ. Scienc. 1913, p. 183.)

2170. *Didymella superflua* (Awld.) Sacc. var. *Sisymbrii* auf *Sisymbrium strictissimum* leg. Krieger, Wehlen, sächsische Schweiz, 27. V. 1914. Der Pilz ist von *Didymella superflua* (Awld.), mit schwarzbrauner Peritheziemembran, völlig verschieden und eine eigene Art, *Didymella Sisymbrii* (Rehm) v. H.

Perithezien 120—160  $\mu$  groß, 110  $\mu$  dick; Ostium flach, nicht beringt, 30  $\mu$  weit. Peritheziemembran lebhaft hellgelbbraun, aus 3—4 Lagen von 8—12  $\mu$  großen, wenig abgeflachten Zellen bestehend, unten 8  $\mu$ , seitlich 12  $\mu$  dick. Paraphysen langfädig, verklebt. Schläuche sitzend, keulig, 45—54  $\times$  12  $\mu$  groß. Sporen zweireihig, hyalin, zweizellig 12—14  $\times$  4.5—6  $\mu$ . Untere Zelle fast ebenso groß wie die obere.

2171. *Anthostomella Arengae* (Racib.) Rehm. (= *Auerswaldia Arengae* Racib.). Leg. S. A. Reyes, Phil. Ins. Vgl. Leaflets Phil. Bot. Vol. VIII, 1916, p. 2941 (N. ges.).

Es liegt ein ganz anderer Pilz vor. Auf den Blattspindeln einer Palme finden sich helle längliche, von einer schwärzlichen Saumlinie begrenzte Flecke, in denen die Perithezien sitzen. Diese sind 0.8—1 mm breit, haben eine ganz flache Basis und sind oben mit einem gut entwickelten epidermalen Klypeus versehen, der 1.5 mm breit ist und stark kegelig vorragt. Der ganze Pilz ist weichkohlig. An der Spitze des Kegels zeigt sich eine kleine Mündungspapille. Die Schläuche sind zylindrisch, lang gestielt und etwa 170  $\times$  8  $\mu$  groß. Paraphysen fädig, mit vielen Öltröpfchen. Sporen einzellig, opak-schwarz, spindelig, meist einseitig abgeflacht, ohne Schleimhülle, gerade, meist 16—17  $\times$  6.5—7  $\mu$ .

Da der Pilz eine Saumlinie besitzt, muß er als stromatisch angesehen werden. Es ist eine stromatische *Anthostomella*. Derartige Formen gibt es auf Palmen noch mehrere. So die *Anthostomella palmicola* (Awld.) Rb. 1866, die von der *A. pisana* Passer. nicht verschieden ist, und *A. leucobasis* Ell. et Mart. Andere Palmen bewohnende verwandte Formen, bei denen das Stroma besser entwickelt ist, wurden zu *Anthostoma* gestellt. So die *Anthostoma tijbodense* Penz. et Sacc., *Yatay* Speg., *versicolor* Starb., *Cocoës* v. H. Da aber *Anthostoma* (Eu-*Anthostoma*) Nitke. keinesfalls als stromatische

*Anthostomella* betrachtet werden kann, so gehören diese Arten eigentlich nicht in diese Gattung.

Eine zweite Gruppe der Palmen bewohnenden *Anthostomella*-Arten dürfte dothidealer Natur sein. Hierher stelle ich *A. sphaerothecca* Earle und *A. Molleriana* Tr. et Sp. (XVI, 440 und XXII, 98). Außer den genannten Arten sind auf Palmen noch 14 Arten beschrieben, nämlich *Anthostomella consanguinea* (Ces.) Sacc. I, 282 (Sporen elliptisch, 14  $\mu$  breit; *contaminans* (D. et M.) Sacc. I, 280 (Sp. spindelig, 16  $\asymp$  7  $\mu$ ); *hemileuca* Speg. IX, 512 (Sp. elliptisch, mit Anhängsel, 20—24  $\asymp$  8—10  $\mu$ ); *melanosticta* Ell. et Ev. IX, 510 (Sp. cyl.-elliptisch, 19—22  $\asymp$  7—9  $\mu$ ); *minor* E. et Ev. IX, 510 (Sp. 8  $\asymp$  2·5—3  $\mu$ ); *palmacea* (Cooke) Sacc. I, 291 (Sp. elliptisch, 13  $\asymp$  6  $\mu$ ); *sabalensioides* Ell. et Mart. IX, 512 (Sp. mit Anhängseln, 13—15  $\asymp$  3·5—3·7  $\mu$ ); *sultigena* (M.) Sacc., I, 291 (Sp. 20  $\asymp$  10  $\asymp$  5  $\mu$ ); *obtusispora* P. et Sacc. XIV, 502 (Sp. 20—22  $\asymp$  10—11  $\mu$ ); *grandispora* P. et S., XIV, 502 (Sp. 32  $\asymp$  9  $\mu$ ); *mindorensis* Rehm (Phil. Journ. Scienc. 1913, VIII, 398), Sp. elliptisch, 12—15  $\asymp$  7—9  $\mu$ ; *cocoina* Syd. (l. c. 1914, IX, 166), Sp. 8—10  $\asymp$  3·5—5  $\mu$ , elliptisch; *bicincta* Syd. l. c. p. 165), Sporen mit heller Querzone und Schleimhülle, elliptisch, 15—18  $\asymp$  9—10  $\mu$ ; *Coryphae* Rehm.

*Anthostomella grandispora* und *sabalensioides* haben keulige Schläuche, alle anderen zylindrische mit einreihigen Sporen. Es ist fraglich, ob alle diese Arten voneinander spezifisch verschieden sind.

Die vorliegende *Anthostomella Arengae* v. H. zu nennende Art scheint eine neue Form zu sein.

2172. *Valsa Auerswaldii* Nke. F. *ligustrina* Rehm. Auf abgestorbenen Ligusterzweigen. Sammler und Fundort nicht bekannt.

Das untersuchte Exemplar enthält nur *Cytospora carphosperma* Fr. (?) auf einem Wurzelstück mit weichem Holzkörper und großen Gefäßen.

2173. *Diaporthe Robergeana* (Desm.) Nießl auf *Staphylea pinnata*, leg. Ade in Unterfranken, 24. V. 1914.

2174. *Diatrype tristicha* de Not. Auf *Rosa*-Zweigen, leg. I. F. Brenckle, Kulm, N. Dakota, N. Amerika, V. 1914. Der Pilz ist jedenfalls richtig bestimmt und neu für Nordamerika. Er gehört in eine neue Gattung.

*Valseutypella* v. H. n. G. Valseen s. str. Stroma knollig, hart, ohne eingeschlossene Rindenbestandteile, mit dem breiten Scheitel (ohne eigentliche Mündungsscheibe) etwas vorbrechend. Perithezen parallel stehend, echte Paraphysen fehlend, mit Pseudoparaphysen, Schlüsse mehrschichtig stehend, 4—8sporig. Sporen hyalin, allantoid. Perithezenmembran dünnhäutig. Schnäbel nicht gefurcht. Grundart: *Valseutypella tristicha* (de Not.) v. H.

2175. *Berlesiella parasitica* (Fabre) v. Höhnle. (Syn.: *Bertia parasitica* Fabre). Auf *Eutypa* sp. auf Zweigen von *Prunus spinosa*, leg. Flageolet in Frankreich.

Nach meinem Fragmenten zur Mykologie No. 884 (XVII. Mitt. 1915) ist der Pilz eine fast kahle *Berlesiella* Sacc. 1888. Siehe Berlese, Icon. Fung. 1900, I. Bd., p. 111, Taf. 143 und 144.

## Über eine neue Art der Gattung *Leptosphaeria* aus Südost-Galizien.

Von Dr. F. Petrak (Mähr.-Weißkirchen).

Im Laufe der letzten zwei Jahre hatte ich Gelegenheit, während meiner militärischen Dienstleistung in Südost-Galizien eingehende mykologische Studien zu pflegen und vor allem in der Umgebung von Stryj und Stanislau viele seltene Pilze zu sammeln. Die Ergebnisse dieser Studien sollen später, nach Abschluß derselben und Aufarbeitung des gesammelten Materials<sup>1)</sup> veröffentlicht werden. Im Mai dieses Jahres habe ich jedoch in den Wäldern bei Stryj eine neue, sehr interessante *Leptosphaeria* gefunden, welche der in meinen „Beiträgen zur Pilzflora von Mähren und Österr. Schlesien“<sup>2)</sup> eingehend besprochenen *Didymosphaeria Petrakiana* Sacc. äußerlich sehr ähnlich ist, weshalb ich diesen Pilz schon jetzt beschreiben und die Eigenart seines Wachstums ausführlich schildern will.

### *Leptosphaeria Priuscheviana* Petrak nov. spec.

Peritheciis in maculis *Asteromatis Tiliae* Rud. nidulantibus hypophyllis, sparsis vel subgregariis, epidermide tectis, subglobosis vel globoso-lenticularibus, brunneis, ostiole nigrescenti brevissime conico pertusis, 170—220  $\mu$  diam. Ascis clavatis vel oblongo-clavatis, basin versus paullatim angustatis, apice rotundatis vel abrupte attenuatis, obtusis, sessilibus vel brevissime stipitatis, 80—85  $\asymp$  12—15  $\mu$  octosporis. Sporidiis distichis, basin versus saepe monostichis, fusoideis utrinque obtusulis, 4—5-septatis, ad septa manifeste constrictis, guttulas 5—6 in cludentibus, raro rectis, plus minusve curvulis, 23—32  $\asymp$  6—7  $\mu$  fusco-olivaceis. Paraphysibus filiformibus tenuissimis, ascis brevioribus.

In foliis putrescentibus *Tiliae* in silvis prope pagum „Podhorce“ ad urbem „Stryj“, Galiciae meridionali-orientalis, 25. V. 1918 leg. ipse.

Schon im Herbste des Jahres 1917 habe ich in den Wäldern bei Strzalkow, Podhorce und Lotatniki nächst Stryj viele, besonders strauchartige Linden gesehen, auf welchen fast jedes Blatt von einem Pilze befallen war, welchen ich mit *Asteroma Tiliae* Rud. identifizierte. Die große

<sup>1)</sup> Fast alle von mir in Galizien gefundenen Pilze habe ich in reichlichen Mengen gesammelt. Dieses Material wird in zwei neuen Exsikkaten, „Mycotheca carpathica“ und „Fungi polonici“ zur Ausgabe gelangen.

<sup>2)</sup> Ann. Myc. XIV, p. 160—164 (1916).

Trockenheit dieses Jahres war wohl auch die Ursache, daß die von diesem Pilze befallenen Linden schon Ende August fast vollständig kahl waren. Die befallenen Blätter waren nach oben hin sehr stark eingerollt, die Asteromaflecken besonders groß, zuweilen über die ganze Blattfläche verbreitet, oberseits durch die oft sehr dicht verzweigten Fibrillen gleichmäßig schwarzbraun gefärbt, unterseits die charakteristische, grünlich braune Färbung zeigend. Ich sammelte den Pilz in reichlichen Mengen an verschiedenen Orten in den erwähnten Waldungen und habe eine Anzahl der befallenen Blätter mikroskopisch untersucht, in der Hoffnung, vielleicht an diesem Material schon im Herbste irgend eine entwickelte Fruchtform zu finden, jedoch ohne Erfolg. Ich nahm mir aber vor, die betreffenden Standorte im nächsten Frühjahre wieder aufzusuchen und nachzusehen, ob sich auch hier die von mir bei Mährisch-Weißkirchen gefundene *Didymosphaeria* in den Asteromaflecken entwickeln werde.

Ende September wurde ich jedoch nach Stanislau versetzt und hatte zunächst wenig Hoffnung, meine diesbezüglichen Studien bei Stryj wieder aufnehmen zu können. Ich bedauerte dies um so mehr, als ich auch noch viele andere, sehr interessante Pilze, welche ich bis dahin nur in geringen Mengen oder nicht gut entwickelt gefunden hatte, im Frühjahre 1918 zu sammeln beabsichtigte. Durch meinen Freund, Ltn. Rchfr. A. Priuschev, welcher meine mykologischen Studien in Galizien bei jeder Gelegenheit zu fördern trachtet, wurde mir jedoch die Möglichkeit geboten, drei Reisen nach Stryj zu unternehmen und außer der hier beschriebenen, meinem Freunde zu Ehren benannten Art, noch viele andere, besonders interessante und seltene Pilze zu sammeln. Ende März waren — wohl eine Folge des in Galizien an Niederschlägen sehr armen Winters 1917/18 — auf den Lindenblättern in den Asteromaflecken nicht einmal Spuren von Fruchtgehäusen zu finden. Anfangs Mai konnte ich nach langem Suchen unter Tausenden von Blättern nur drei finden, welche deutliche Fruchtgehäuse eines Pilzes erkennen ließen. Mikroskopisch untersucht erwies sich dieser Pilz als ganz jung. Nur Schläuche waren zu sehen, Sporen nirgends zu erkennen.

Schon an dem noch ganz jungen Pilze sind mir einige Merkmale aufgefallen, die ich bei *Didymosphaeria Petrakiana* nicht beobachtet hatte. Makroskopisch schienen die Perithezen viel kleiner zu sein, was darauf zurückzuführen ist, daß dieselben ganz eingesenkt bleiben und das Blattgewebe gar nicht auftreiben, so daß nur das Ostiolum als kleines schwarzbraunes Pünktchen erkennbar ist. Auch waren die Stellen, wo die Gehäuse wuchsen, oft mehr oder weniger gebleicht, hellbraun oder weißlich-grau und nicht so scharf begrenzt wie bei *Didymosphaeria Petrakiana*. Diese ziemlich geringfügigen Unterschiede glaubte ich auf äußere Einflüsse (große Trockenheit, veränderter Standort) zurückführen zu können und zweifelte zunächst nicht an der Identität dieses Pilzes mit der genannten *Didymosphaeria*. Desto größer war meine Überraschung, als ich nach

einiger Zeit bei einer neuerlichen Untersuchung der drei zuerst gefundenen Blätter eine schön entwickelte *Leptosphaeria* erkannte. Auf der dritten Reise nach Stryj, welche ich bald darauf unternahm, ist es mir gelungen, auf einem Standorte zahlreiches, wunderschön entwickeltes Material dieses Pilzes zu finden und zu sammeln. Ich suchte auch noch auf anderen Standorten, wo ich im Spätsommer 1917 *Asteroma Tiliae* beobachtet hatte, nach diesem Pilze, konnte aber nichts finden.

Die Perithezien dieses Pilzes wachsen meist locker zerstreut und folgen häufig den stärkeren Blattnerven, so daß sie dann fast in Reihen angeordnet erscheinen, sind dem Blattparenchym vollständig eingesenkt, häutig, bestehen aus ziemlich durchscheinenden, braunen, dem benachbarten Blattgewebe fast gleichfarbigen Zellen und brechen nur mit dem kurz kegelförmigen mehr oder weniger schwarzbraun gefärbten Ostium hervor, welches von einem 14—16  $\mu$  weiten Porus durchbohrt ist. Schläuche keulig, sitzend oder sehr kurz gestielt, oben nicht oder nur wenig verschmälert, abgerundet, am Grunde knotig verdickt. Sporen fünf- bis sechszellig, selten gerade, meist mehr oder weniger gekrümmmt, zuweilen fast halbmondförmig, die dritte Zelle am größten und deutlich vorragend, an allen Querwänden stark eingeschnürt, schön olivenbraun, in jeder Zelle mit einem kleinen, grünlichen Ölropfchen.

Dies ist also der zweite Pilz, welchen ich in den Flecken von *Asteroma Tiliae* Rud. gefunden habe. Welcher von beiden verursacht die Bildung der Asteromaflecken? Dieser Frage soll jetzt näher getreten werden.

Zunächst könnte wohl angenommen werden, daß der hier beschriebene Pilz ganz zufällig in den Flecken wächst oder vielleicht ein Parasit des Myzels der *Didymosphaeria* ist, so daß dieses zugrunde geht und keine Fruchtkörper bildet. An diese Möglichkeit dachte ich schon, als ich den Pilz sammelte; deshalb habe ich auch auf anderen Standorten gesucht. Hätte ich auf einem solchen Blätter mit *Didymosphaeria Petrkiana* gefunden, so wäre diese Vermutung für mich zur Gewißheit geworden. Wie ich aber bereits erwähnte, waren auf allen anderen Orten Blätter mit Asteromaflecken nicht mehr zu finden.

Ferner könnte man vermuten, daß die *Didymosphaeria* nur eine Jugendform der *Leptosphaeria* ist. Dies trifft bestimmt nicht zu, denn abgesehen von allen Unterscheidungsmerkmalen möchte ich hier ausdrücklich darauf hinweisen, daß schon ganz junge, noch fast hyaline Sporen der *Leptosphaeria* deutlich die 4—5 Querwände erkennen lassen, während die ganz reifen, völlig ausgefärbten Sporen der *Didymosphaeria* stets nur in der Mitte mit einer Querwand versehen sind.

Daß aber die hier beschriebene *Leptosphaeria* mit den Asteromaflecken überhaupt nichts zu tun hat, kann ich schon deshalb nicht glauben, weil die Fruchtkörper dieses Pilzes nur auf der Unterseite dieser Flecken zur Entwicklung gelangen und — wie bei *Didymosphaeria Petrkiana* — auf den von *Asteroma* gänzlich freien Stellen der Blätter niemals zu finden sind.

Schließlich ist noch die Möglichkeit vorhanden, daß *Asteroma Tiliae* Rud. sowohl durch *Didymosphaeria Petrakiana* als auch durch den hier beschriebenen Pilz verursacht werden kann, mit anderen Worten, daß das durch *Didymosphaeria* verursachte *Asteroma* von jenem der *Leptosphaeria* verschieden ist. Ich habe das Material, welches ich von *Asteroma Tiliae* in Mähren und Galizien gesammelt habe, nicht zur Hand, muß deshalb eine eingehende vergleichende mikroskopische Untersuchung desselben auf einen späteren Zeitpunkt verschieben. Äußerlich unterscheidet sich das *Asteroma* der *Leptosphaeria* von jenem der *Didymosphaeria* nicht. Dennoch glaube ich, daß diese Auffassung den Tatsachen entsprechen dürfte, *Didymosphaeria Petrakiana* und *Leptosphaeria Priuscheviana* also zwei Pilze sind, von welchen jeder die bekannten Flecken des *Asteroma Tiliae* Rud. hervorruft. Die von diesen beiden Pilzen verursachten Flecken sind einander jedoch so ähnlich, daß sie — mit freiem Auge wenigstens — nicht zu unterscheiden sind.

## Zur Ernährungsphysiologie einiger Pilze.

Von Friedrich Boas.

### I. Über den Nährwert von Harnstoff und Biuret.

Bereits in einer früheren Arbeit (1) habe ich darauf hingewiesen, daß ernährungsphysiologisch zwischen Harnstoff einerseits und Biuret andererseits trotz der chemisch sehr engen Verwandtschaft ein sehr großer Unterschied besteht. In dieser mehr beiläufigen Notiz der erwähnten Arbeit wurde dann gleichzeitig die irrite Angabe Czapeks (2) berichtigt, daß Harnstoff und Biuret gleichwertig seien; die vorliegende kleine Mitteilung soll den großen Unterschied zwischen Harnstoff und Biuret durch einen vergleichenden, etwas ausführlichen Versuch nochmals hervorheben und neben *Aspergillus niger* auch noch das Verhalten einiger anderer Pilze zu den erwähnten Stickstoffquellen besprechen.

Die zu den Versuchen verwendete Nährösung hatte folgende Zusammensetzung:

Dextrose (reinst.) . . . . .	5 %
Harnstoff (reinst.) . . . . .	0,3 „ (bzw. Biuret)
Saures Kaliumphosphat . . . . .	0,25 „ ( $\text{KH}_2\text{PO}_4$ )
Magnesiumsulfat . . . . .	0,12 „

Als Wasser diente stets aqua destillata, die Versuchstemperatur lag zwischen 32,5—33 °C, geimpft wurde mit dem Platindraht und zur Verwendung kamen gewöhnlich 30 ccm der Nährösung in 100 ccm Erlenmeyerkölbchen.

Der folgende Versuch mit *Asp. niger* soll nun die Unterschiede zwischen Harnstoff und Biuret hinsichtlich ihres Einflusses auf das Wachstum zeigen. Es wurden nämlich erhalten folgende

#### Erntegewichte:

a) mit Harnstoff:	b) mit Biuret:
0,520 g . . . . .	{ nach 4 Tagen } . . . 0,181 g
0,538 „ . . . . .	{ " 4 " } . . . 0,185 "
0,369 „ . . . . .	{ " 6 " } . . . 0,224 "
0,341 „ . . . . .	{ " 9 " } . . . 0,212 "

0,190 g . . . .	nach 12 Tagen . . . .	0,252 g
nicht gewogen . . . .	" 18 " . . . .	0,251 "

Wir sehen aus den Zahlen, daß bei Verwendung von Harnstoff rasch hohe Ernten erzielt werden und daß ebenso rasch unter dem Einflusse von Abbauerscheinungen (Proteolyse) die Erntegewichte sinken, dabei färbt sich die Nährösung intensiv dunkel, die Decken werden äußerst weich und zerfallen bei der geringsten Berührung. Konidienbildung tritt mit dem 4.—5. Tage ein und allmählich entsteht eine intensiv schwarze Decke infolge starker Konidienbildung. Die Säurebildung in der Nährösung ist meist gering, da durch auftretendes Ammoniak Neutralisation der im Stoffwechselverlaufe gebildeten Oxalsäure eintritt. Bei längerer Versuchsdauer und erhöhter Temperatur, als sie hier zur Wirkung kam, kann die Nährösung sogar lakkusalkalisch werden.

Bei Verwendung von Biuret finden wir ein wesentlich langsameres Wachstum. Proteolyse macht sich innerhalb 18 Tagen nicht bemerkbar, die Decken sind sehr arm an Konidien, fast weiß, was schon Czapek beobachtete. Die Decken sind im Gegensatz zu denen des Harnstoffversuches äußerst fest, lederartig zäh, also auch in dieser Hinsicht weit von den auf Harnstofflösung gewachsenen verschiedenen. Die Nährösung färbt sich nicht oder kaum spurenweise und bleibt lange Zeit gleichmäßig sauer, Ammoniak kommt in der Nährösung nicht vor. Die in der Nährösung sich findenden Säuremengen zeigt folgende Übersicht an. Es wurden nämlich verbraucht in der Biuretlösung: ccm n/10 KOH gegen Methylorange<sup>1)</sup> als Indikator bei Verwendung von 10 ccm Nährösung:

In der Ausgangslösung . . . . .	0,00 ccm
nach 6 Tagen . . . . .	1,00 "
" 9 " . . . . .	1,00 "
" 12 " . . . . .	1,65 "
" 18 " . . . . .	1,80 "

Die Säurebildung steigt ebenso langsam und stetig wie die Erntezahlen und bleibt dann ziemlich konstant.

Dagegen läuft bei Verwendung von Harnstoff die Säurebildung wesentlich anders. Sie nähert sich einem Maximum und sinkt dann ganz rapid; schließlich bleibt dann der Säurewert nahezu konstant oder sinkt noch langsam weiter. Die hier herrschenden Verhältnisse zeigt folgende Übersicht. (Nährösung 20% Dextrose, 1% Stickstoffquelle, 33° C).

Es wurden verbraucht ccm n/10 Lauge gegen Kongorot als Indikator

---

<sup>1)</sup> Methylorange ist entschieden dem Kongorot vorzuziehen, die Umschläge sind schärfer, zudem ist es gegen Eiweißabuprodukte nahezu unempfindlich, was von Kongorot nicht gilt. In den älteren Versuchen wurde Kongorot verwendet, wie bei dem folgenden Versuche.

## a) bei Harnstoffernährung:

## Erntegewichte

3,00 ccm 0,1060 g . . . . .	nach 2 Tagen . . . . .	0,35 ccm . . . . .	0,027 g	Nur Säuren von Kongorot
7,7 . . . 0,306 " . . . . .	" 3 " . . . . .	0,50 . . . . .	0,039 "	
10,5 . . . 0,410 " . . . . .	" 4 " . . . . .	0,65 . . . . .	0,052 "	
6,5 . . . 0,520 " . . . . .	" 10 " . . . . .	1,70 cm . . . . .	0,070 "	
2,2 . . . nicht gewogen . . .	" 17 " . . . . .	nicht bestimmt		
	" 47 " . . . . .	2,2 ccm . . . . .	0,140 "	

## b) bei Biureternährung:

## Erntegewichte

3,00 ccm 0,1060 g . . . . .	nach 2 Tagen . . . . .	0,35 ccm . . . . .	0,027 g	Nur Säuren von Kongorot
7,7 . . . 0,306 " . . . . .	" 3 " . . . . .	0,50 . . . . .	0,039 "	
10,5 . . . 0,410 " . . . . .	" 4 " . . . . .	0,65 . . . . .	0,052 "	
6,5 . . . 0,520 " . . . . .	" 10 " . . . . .	1,70 cm . . . . .	0,070 "	
2,2 . . . nicht gewogen . . .	" 17 " . . . . .	nicht bestimmt		
	" 47 " . . . . .	2,2 ccm . . . . .	0,140 "	

Die starke Säureabnahme ist als Folge der weitgehenden Harnstoffspaltung, starker Proteolyse, (einer geringen Säureverzehrung, wenigstens in einem bestimmten Zeitpunkte der Kultur und vielleicht auch einer gewissen Säurezerstörung) zu betrachten. Dagegen ist bei Biureternährung ein ganz langsames Steigen der Säurewerte bemerkbar. Nach Erreichung des Säuremaximums tritt kein nennenswerter Rückgang der Säurewerte ein. (Die mit Kongorot gemessenen Säurewerte lassen sich nicht ohne weiteres mit den Methylorangewerten des ersten Versuches dieser Arbeit vergleichen, des etwas auseinanderliegenden Umschlages der beiden Indikatoren wegen).

Die hier kurz erörterten Beziehungen zwischen Erntegewicht und Säureabnahme soll noch kurz der folgende Versuch etwas ergänzen. (5% Dextrose, 1% Harnstoff. 30, 5° C).

Säureverbrauch gegen Kongorot nach Erntegewichte  
Angewendet 10 ccm Nährösung

1,00 ccm n <sub>10</sub> Lauge . . . . .	1 Tag . . . . .	0,0660 g
2,80 " . . . . .	2 Tagen . . . . .	0,2720 "
3,50 " . . . . .	3 " . . . . .	0,2850 " dicke schwarze Decke
5,50 " . . . . .	4 " . . . . .	0,3100 "
2,70 " . . . . .	6 " . . . . .	0,4640 "
1,50 " . . . . .	13 " . . . . .	0,3710 "

Säureabnahme und Erntegewichtsabnahme laufen nicht parallel, das kommt hier, wie bei vielen anderen (nicht weiter anzuführenden Versuchen) recht deutlich zum Ausdruck. Der Einfluß der beginnenden Proteolyse auf das Erntegewicht ist auch hier sehr deutlich.

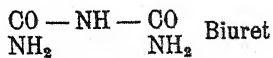
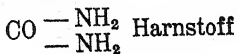
Als Gesamtergebnis ergibt sich, daß Harnstoff eine unvergleichlich bessere Stickstoffquelle darstellt als das ihm sehr nahestehende Biuret. Nur bei Nichtbeachtung des richtigen Zeitpunktes der Ernte, welcher Punkt in der Regel durch einen eigenen Versuch festzustellen ist und durch das Außerachtlassen des großen Einflusses der Proteolyse kann das irrite Ergebnis erhalten werden, daß Harnstoff und Biuret gleichwertige Stickstoffquellen seien; diesen Irrtum finden wir bei Czapek. In den vorliegenden Versuchen wird durch die Tätigkeit der Proteolyse das tatsächliche Verhältnis hinsichtlich des Nährwertes von Harnstoff und Biuret geradezu umgekehrt, als eben nach 12 Tagen bereits bei Harnstoffernährung nur noch 0,190 g Erntegewicht gefunden werden, während bei Biureter-

nährung so ziemlich die maximale Ernte vorhanden ist. So läßt sich unter Umständen zu einem total irrigen Resultat gelangen, wenn die Erntegewichte zu einer beliebig gewählten Zeit festgestellt werden.

Bei Verwendung von Saccharose als Kohlenstoffquelle, wie dies in den Versuchen Czapeks geschah, tritt nun bei Ernährung mit Harnstoff die Proteolyse etwas langsamer ein, infolgedessen werden sich nach längerer Versuchsdauer die Erntegewichte äußerst nahekommen, wie dies auch Czapek tatsächlich fand. Es ist daher zweckmäßig, hier noch einmal auf den großen Einfluß der Proteolyse hinzuweisen, ebenso auf die Tatsache, daß es ganz und gar nicht gleichgültig sein kann, zu welchem Zeitpunkt die Erntegewichte festgestellt werden. Das hat wohl in der letzten Zeit Brenner (3) am eingehendsten in einer großen Arbeit gezeigt. Trotzdem finden wir auch in der allerneuesten Literatur, daß diese sehr wichtige Tatsache vernachlässigt wird. Es sei nur auf eine kürzlich aus dem Laboratorium F. Ehrlichs hervorgegangene Arbeit von Lange hingewiesen. Lange (4) hat den Nährwert mehrerer kompliziert gebauter Stickstoffquellen wie Piperidin, Chinin, Conin usw. untersucht und erst nach Monaten die Ernte bestimmt und aus diesen Erntegewichten den Prozentsatz des zu verarbeitenden Alkaloids berechnet. Dabei hat er jedoch die wichtige Feststellung verabsäumt, ob er im gegebenen Moment den einzigen verwertbaren maximalen Erntewert vor sich hatte. Da in seinen Kulturen stets Ammoniak vorhanden war, so muß angenommen werden, daß seine Erntegewichtszahlen durch sekundäre Einflüsse verändert waren. So hat er zweifellos mit größtenteils zu niedrigen Zahlen gearbeitet, seine quantitativ gedachten Analysen können daher nur qualitative Geltung beanspruchen. Das gleiche gilt natürlich von der Berechnung des Stickstoffgehaltes der Pilzdecken. Von der Richtigkeit dieser Ausstellung kann man sich leicht überzeugen. Man braucht z. B. nur den Stickstoffgehalt der Decken an der Hand der Zahlen Langes nachzurechnen, dann erhält man Werte für den Stickstoffgehalt der Pilztrockensubstanz zwischen 4 und 1,2%! Daher ist es wohl angezeigt, nochmals auf die oben erwähnten Fehler gewöhnlich angewandten Methodik hinzuweisen.

Der ganze Verlauf der Biuretreihe macht den Eindruck, als ob bald durch irgend ein giftiges Stoffwechselprodukt die Wachstumstätigkeit des *Aspergillus niger* gelähmt würde, da ja auch keine Anzeichen von Abbauerscheinungen auftreten, welche sonst allenthalben beobachtet werden können. Welcher Art dieser hemmende Stoff ist, kann nicht angegeben werden. Biuret zerfällt bekanntlich bei stärkerem Erhitzen in Ammoniak und Cyanursäure. Bei der Spaltung des Biuret durch den Pilz dürften ähnliche Vorgänge angenommen werden. Der Cyanursäure kann aus physiologischen Gründen keine Giftwirkung zugeschrieben werden, zudem ist sie ja eine (allerdings höchst minderwertige) Stickstoffquelle für *Aspergillus niger*, wie bereits Czapek beobachtete, außerdem ist sie aber in einer guten Nährlösung, wie z. B. in Dextrose — Asparagin, völlig unwirksam.

auf das Endresultat, wie eine Reihe orientierender Versuche meinerseits ergab. Trotz der chemisch ziemlich großen Ähnlichkeit zwischen Harnstoff und Biuret



bestehen doch physiologisch große Differenzen, welche vorerst noch nicht geklärt sind. Daß diese im vorstehenden angedeutete Giftwirkung des Biurets tatsächlich besteht und wohl für alle Organismen gilt, läßt sich aus den folgenden Berichten über die Keimungsversuche mit *Rhizopus nigricans* sehr schön zeigen: (Nährlösung 5% Dextrose reinst, 1% N — Quelle, Nährsalze wie oben).

Keimungsversuch mit *Rhizopus nigricans*.

Versuchsbeginn 24. 10. 17; Temperatur etwa 15° C.

- |  |   |
|--|---|
| a) Stickstoffquelle Harnstoff:   | b) Stickstoffquelle Biuret:   |
| 26. 10. Reiche Keimung, lange verzweigte normale Keimschläuche. Keimung beendet. | 26. 10. Spurenweise Keimung.  |
| 27. 10. Viel Myzel, einzelne blasig aufgeriebene Zellen.                         | 27. 10. Reichlich Keimung, alle Keimschläuche abnorm., knorrig, etwas blasig, stark gekrümmmt und kurz.   |
| 28. 10. Beginn der Köpfchenbildung. Nährlösung neutral gegen Kongorot.           | 28. 10. Wachstum sehr gering, Myzel dünn, noch immer langsame Keimung zu den eigenartig korallenartig verkrümmten kurzen Keimschläuchen. Nährlösung sauer gegen Kongorot. |

Hier ist die Giftwirkung von Biuret durch die Ausbildung der abnormen Keimschläuche und der Wachstumshemmung deutlich zu erkennen. Ebenso ausgesprochene Unterschiede zwischen Harnstoff und Biuret, wenn auch ohne ausgesprochene Anzeichen einer Giftwirkung, erhält man bei der Keimung der Konidien des sog. *Penicillium brevicaule* Sacc.<sup>1)</sup>, wie der folgende Versuch zeigt:

Versuchsbeginn 25. 10. 17; Nährlösung wie oben.

Länge der Keimschläuche am 27. 10. 17:

a) bei Harnstoff:	b) Biuret:
420 μ      530 μ	110 μ    150 μ    100 μ    150 μ
510 μ      310 μ    330 μ	80 μ     100 μ    50 μ

Es ist hier Harnstoff dem Biuret, wie in allen Versuchen weit überlegen; noch deutlicher tritt diese Tatsache nach 10 Tagen hervor. Es findet nämlich in den Biuretkolben fast kein Wachstum statt, es tritt

<sup>1)</sup> *Penicillium "brevicaule"* Sacc. ist seiner auffallenden Keimung wegen kein *Penicillium*. Darüber soll nächstens berichtet werden.

also sehr bald Wachstumshemmung ein, die Nährösung ist sauer gegen Kongorot, die Reaktion auf Ammoniak mit Neßler Reagens ist negativ. Dagegen zeigen die Harnstoffkulturen intensives Wachstum, es bildet sich eine dicke Decke mit Konidien, die Nährösung ist stark alkalisch gegen Lakmus und die Neßlerprobe auf Ammoniak sehr stark.

Ähnlich verhalten sich die physiologisch übrigens ganz anders wirksamen Kahmpilze, wie z. B. *Mycoderma* (Stamm B. Leberle). Dies zeigt folgender Versuch:

Versuchsbeginn 15. 10. 17; Temperatur 25° C.

#### Wachstum mit

a) Harnstoff:	b) Biuret:
16. 10. Dünne Haut.	16. 10. Kein sichtbares Wachstum.
17. 10. Dicke Haut.	17. 10. Kein sichtbares Wachstum.
18. 10. Starkes Wachstum, starker Bodensatz, Neßlerprobe stark.	18. 10. Ganz geringes Wachstum.

Es verhalten sich also alle untersuchten Organismen, die zudem physiologisch sehr verschieden wirksam sind, nämlich *Aspergillus*, *Rhizopus*, *Penicillium brevicaule*<sup>2)</sup> und *Mycoderma* gegenüber Harnstoff und Biuret stets gleichartig, so daß die Minderwertigkeit oder Giftigkeit des Biuret deutlich bewiesen ist. Auch auf anderem Wege läßt sich dies noch bei *Aspergillus niger* zeigen. Impft man z. B. eine noch nicht zu alte gebrauchte Biuretnährösung zum zweitenmal mit *Aspergillus niger*, nachdem vor der Impfung die Nährösung zu gleichen Teilen mit einer a) Dextrose—Harnstoff-, b) Dextrose—Hefewasserlösung versetzt war, also sehr gute Ernährungsbedingungen geschaffen wurden, so unterbleibt trotzdem die Konidienbildung (bei 30° C). Auch wenn man der gewöhnlichen Biuretlösung von Anfang an kohleinsauren Kalk zusetzt, um die ev. schädliche Säurebildung auszuschalten, so unterbleibt doch eine irgendwie nennenswerte Konidienbildung, es ist also die Unterdrückung der Konidienbildung nicht auf das Vorhandensein der ziemlich hohen Säuremengen zurückzuführen. Die Hemmung der Konidienbildung ist übrigens sofort verschwunden, wenn eine derartige weiße Decke auf eine gute Nährösung oder auf eine Gelatineplatte gelegt wird oder wenn nur die Biuretnährösung abgegossen wird, auch dann tritt meist eine gute Konidienbildung ein. Auf der Biuretnährösung bleibt *Aspergillus* viele Monate am Leben.

Bei Verwendung von Biuret tritt in der Nährösung selbst nach Wochen noch kein Ammoniak auf; ganz anders verhält sich Harnstoff. Daß in älteren Kulturen mit den verschiedensten Stickstoffquellen stets Ammoniak zu finden ist, ist eine längst bekannte Tatsache. Dieses Ammoniak ist aber stets sekundär entstanden, also nicht primär auf

<sup>2)</sup> Auch Arten von *Penicillium* zeigen dasselbe Verhalten; daher kann hier auf die Wiedergabe von weiteren Einzelheiten verzichtet werden.

Desamidierung der verwendeten Stickstoffquellen zurückzuführen. Diese Tatsache ist aber keineswegs trotz ihrer Häufigkeit stets richtig gewürdigt worden, z. B. sei nur auf die bekannten hier einschlägigen Arbeiten von Hagem (5) und Raciborski (6), Butkewitsch u. a. (7) hingewiesen. Brenner (3) betonte vielleicht zuerst, allerdings nur ganz nebenbei, daß z. B. die Konstatierung von Ammoniak durch Raciborski „wohl der Länge der Versuchsdauer zuzuschreiben“ ist. Bei der Wichtigkeit dieser Tatsache für die Frage der Eiweißbildung der Schimmelpilze halte ich es für notwendig, darauf hinzuweisen, daß bis jetzt wohl kaum irgendwo primär, als durch Desamidierung entstandenes Ammoniak, exakt als solches erkannt oder bezeichnet wurde, denn alle angestellten Prüfungen auf Ammoniak nach einer Versuchsdauer von 7,8 oder 10 oder noch mehr Tagen, wie wir dies bei Hagem, Raciborski und vielen anderen Autoren finden, bringen nur den Nachweis sekundär entstandenen Ammoniaks. Der Nachweis primär entstandenen Ammoniaks gelingt nun bei *Aspergillus niger* sehr leicht bei Ernährung mit Harnstoff. Es ist (z. B. aus den Arbeiten Brenners) hinlänglich bekannt, daß *Aspergillus niger* mit dem 4. bis 5. Tag<sup>3)</sup> bei etwa 33 bis 35° C seinen Höhepunkt der Entwicklung erreicht hat; nach dieser Zeit treten rasch Abbauerscheinungen ein. Gelingt es nun, bereits in den ersten Entwicklungstagen Ammoniak nachzuweisen, so kann der Beweis als erbracht gelten, daß das auftretende Ammoniak nur durch Desamidierung der Stickstoffquelle entstanden ist. In diesem Falle ist demnach die durch Desamidierung erzeugte Ammoniakmenge größer als der Ammoniakverbrauch zur Eiweißbildung. Meist ist aber im Anfang der Entwicklung bei Benützung anderer Stickstoffquellen wie Asparagin, Alanin, Pepton Gleichgewicht zwischen Spaltung und Verbrauch vorhanden, infolgedessen mißlingt der Ammoniaknachweis in allen diesen weniger günstigen Fällen.

Bei dem von mir benützten Stamme von *Aspergillus niger* — andere Stämme, z. B. der Brenners, scheinen sich vielleicht anders zu verhalten — läßt sich nun sehr leicht bereits in den ersten Tagen der Entwicklung Ammoniak in der Nährösung nachweisen, wie die folgende Zusammensetzung zeigt. (Nährösung und Bedingungen wie oben.)

Kohlenstoffquelle:	Ammoniakreaktion nach Neßler:		
	nach 2 Tagen	nach 3 Tagen	Konidienbildung
Maltose . . . . .	++ stark	++	stark
Saccharose . . . . .	? unsicher, schwache Gelbfärbung	++	durchweg stark
Raffinose . . . . .	++ stark	++	keine
Laevulose . . . . .	(+) Spur	++	stark
Dextrose . . . . .	(+) Spur	++	mäßig

<sup>3)</sup> Natürlich nur in „guten“ Nährösungen.

Hier handelt es sich also um primär entstandenes Ammoniak, da es ja unmöglich ist, anzunehmen, daß schon hier die Ammoniakreaktion auf Abbauerscheinungen zurückzuführen ist. Der obige Versuch wurde in zahlreichen Abänderungen (Lösung nur kurze Zeit sterilisiert oder nur pasteurisiert, oder aber unsterilisiert unter ständiger Überwachung zwecks Ausschaltung einer Infektion) stets mit gleichem Erfolge durchgeführt. Bemerkenswert ist ferner der Einfluß der Kohlenstoffquelle auf die Stärke und Schnelligkeit des Ammoniakvorkommens in der Nährlösung, besonders abweichend verhält sich anfangs Saccharose. Es nimmt hier Saccharose eine Sonderstellung ein, genau so wie bezüglich ihrer Eignung zur Bildung löslicher Stärke.

Aus dem letzterwähnten Harnstoffversuch geht nun deutlich hervor, daß stets Desamidierung der Stickstoffquelle dem Verbrauch vorhergeht und daß in günstigen Fällen diese Desamidierung auch leicht nachweislich ist. Damit erhalten wir hier hinsichtlich des Vorganges der Eiweißsynthese auf direktem Wege dasselbe Resultat, als es auf mehr indirektem Wege in meiner eingangs erwähnten Arbeit (1) bereits erhalten werden konnte; nämlich daß die Eiweißsynthese in Übereinstimmung mit den Anschauungen von O. Loew, Naegeli, Ehrlich u. a. stets vom Ammoniak aus erfolgt und das ev. bei Verwendung komplizierter gebauter Stickstoffquellen erst eine Desamidierung erfolgt. Der Nachweis der Desamidierung kann nur in besonders günstigen Fällen glücken, wenn nämlich mehr Ammoniak gebildet als verbraucht wird. Dieser Fall ist in den vorliegenden Versuchen gegeben.

## II. Über Selbstvergiftung bei *Cladosporium* und anderen Pilzen.

Während *Aspergillus niger* ein sehr stark säuernder Pilz ist, stellt *Cladosporium* einen sehr wenig säurebildenden Organismus dar. Es sei nun hier das Verhalten von *Cladosporium* gegenüber Harnstoff kurz dargestellt. *Cladosporium* wächst mit Harnstoff als Stickstoffquelle sehr gut, bildet aber bald derartige Mengen von Ammoniak, daß sich das in der Nährlösung vorhandene Magnesium und ebenso die Phosphorsäure unter der Wirkung des freiwerdenden Ammoniaks zu großen prächtigen Kristallen des schwerlöslichen Magnesiumammonphosphats vereinigt. Diese Kristalle hängen von der Unterseite der Decke in großer Anzahl in die Nährlösung hinein und erreichen gut eine Länge je nach der Menge der Nährlösung bis zu 0,5 cm!<sup>4)</sup> Der Nachweis ihrer Zusammensetzung ist sehr leicht zu erbringen. Durch diese starke Ammoniakbildung, die soweit geht, daß z. B. die Nährlösung durch einen Tropfen Phenolphthalein intensiv rot wird, wird der Pilz in ganz kurzer Zeit völlig getötet. Bei 20. bis 22° C tritt in 8 bis 10 Tagen durch eine enzymatische Ammoniakbildung

---

<sup>4)</sup> Auch bei anderen Organismen, wie *Oidium*, *Penicillium* als Zeichen starker Alkalinität der Nährlösung leicht zu beobachten.

unfehlbar der Tod des Pilzes ein. Diese Tatsache kann man z. B. ebenso leicht auf Gelatinekulturen, z. B. Würze oder Hefewassergelatine in Petrischalen oder Erlenmeyerkölbchen beobachten und dürfte jedem, welcher im Laboratorium sich mit *Cladosporium* beschäftigt hat, oft genug aufgefallen sein. Auch hier erzeugen die vom Pilze ausgehenden Enzyme derartige Mengen Ammoniak, daß regelmäßig in kurzer Zeit die ganze Kultur zugrunde geht. Dagegen bleibt der Pilz auf anderen Substraten, wie Bierwürze, Agar-Agar usw. lange am Leben. *Cladosporium* vergiftet sich also bei gegebenen Bedingungen äußerst rasch; dies möchte ich besonders betonen wegen der hieraus sich ergebenden theoretischen Folgen. Irgendeine Regulation von seiten des Pilzes fehlt hier vollkommen; der Pilz erzeugt regulatorisch das spaltende Enzym, ist dann aberrettungslos der Wirkung des von ihm erzeugten Enzyms ausgesetzt, die Enzymtätigkeit geht dann so lange weiter, bis soviel Ammoniak entstanden ist, daß der Tod des Pilzes (und des Enzyms) eintritt. Diese hier kurz angedeutete Erscheinung, nämlich daß manche Pilze den von ihnen eingeleiteten, für ihre Ernährung unerlässlichen Prozessen im späteren Verlaufe der Entwicklung wegen des Auftretens giftiger Prozesse erliegen, ist höchst bemerkenswert. Es ist daraus zu ersehen, daß manche wichtige Lebensvorgänge sich als reine Chemismen erweisen und als solche unabhängig von den Lebensvorgängen rein zwangsmäßig verlaufen.

Diese Tatsache bildet eine bemerkenswerte Ergänzung zu dem Vorhandensein der nicht völlig wegzustreitenden Regulationsfähigkeit der Pilze. Jedenfalls kann die völlige Untersuchung der erwähnten Tatsache zur Klärung unserer Anschauungen über die Regulationsvorgänge beitragen. Benecke z. B. (8) schreibt von dem Regulationsvermögen bei den Vorgängen der Dissimilation, daß die Pilze durch Abspaltung größerer Mengen Ammoniak sich selbst das Grab graben würden, sie lassen es daher im wesentlichen bei der Spaltung zu Aminosäuren bewenden. Für diesen teleologisch gedachten Schluß fehlt aber jeder Nötigungsgrund und tatsächlich sehen wir ja, daß *Cladosporium* sich raschestens vergiftet durch Ammoniakabspaltung nicht bloß aus Harnstoff, sondern auch aus Gelatine.

Der hier skizzierte Fall einer höchst mangelhaften Regulation, der bis zur totalen Selbstvergiftung führen kann, scheint mir in abgeminderter Form allgemein verbreitet zu sein, jedenfalls bei der üblichen Methodik der Pilzforschung. Aber eine scharf ausgesprochene Vergiftung wird in vielen Fällen durch andere Stoffwechselprodukte verdeckt und entzieht sich so der häufigeren Beobachtung.

So können z. B. durch eine einigermaßen nennenswerte Säurebildung viele Pilze der Ammoniakvergiftung entgehen, haben also dadurch einen gewissen Schutz. Durch diese Säurebildung wird dann die mögliche

Selbstvergiftung scheinbar verhindert und eine Art Selbststeuerung vorgetäuscht, die bei kritischer Prüfung vielleicht in vielen Fällen gar nicht oder nur in völlig ungenügender Weise vorhanden ist.

*Cladosporium* vergiftet sich bestimmt mit Ammoniak, wenn die Bedingungen gegeben sind. Fast ebenso sicher, nur etwas langsamer vergiftet sich *Cladosporium* auch durch Säuren bei Ernährung mit den Ammoniaksalzen der stärkeren Säuren wie Salz-, Salpeter- oder Schwefelsäure. (Einen Fall der Säure-Selbstvergiftung bei *Penicillium* hat Wehmer (9) beschrieben.) Bei der Ernährung des Pilzes mit Ammonsalzen der starken Mineralsäuren treten in der Nährösung starke Säuren auf. Diese starken Säuren bedingen anfangs die Ausbildung zahlreicher Riesenzellen der verschiedensten Gestalt. Diese Zellen platzen dann vielfach, durch den in die Nährösung eintretenden Zellinhalt erhält die Lösung eine eigenartige opalisierende Färbung; die Selbstvergiftung tritt also auch hier ein, nur etwas langsamer, führt aber bei längerer Versuchsdauer zur Ausbildung eigenartiger kohlinger Massen, und dann zum Tode des Pilzes. Diese kohligen Mengen bilden sich aus den durch die Säurewirkung umgewandelten Myzelien. So finden wir bei *Cladosporium* eine sehr rasch wirkende Ammoniak- und eine langsam wirkende Säurevergiftung.

Eine in der Hauptsache ähnliche Säurevergiftung finden wir auch bei *Aspergillus* (und anderen Pilzen), doch ist die Säurevergiftung meist nicht so stark wie bei *Cladosporium*. Als äußeres Zeichen der Säurevergiftung (manchmal auch bloß Säurewirkung) finden wir eine oft völlige Unterdrückung der Konidienbildung, besonders bei erhöhter Temperatur. Neben dieser morphologischen Wirkung der Säure ist aber auch eine biochemische Wirkung der Säurevergiftung oder wenigstens beginnenden Giftwirkung zu erkennen, derart, daß in der Nährösung sich reichlich lösliche Stärke findet, worüber man meine Arbeit (10) vergleichen möge. Diese Bildung löslicher Stärke in der Nährösung ist zum Teil sicher eine Giftwirkung der vorhandenen Säure. Nun verträgt *Aspergillus niger* viel Säure — und auch ziemlich viel Alkali, daher kommt es bei diesem Pilz zu keiner ausgesprochenen Säurevergiftung. Im Prinzip aber ist sie auch hier deutlich in ihren Ansätzen zu erkennen.

Bei *Cladosporium*, einer Gattung von geringer physiologischer Wirkungsbreite — sie verträgt wenig Säure und wenig Alkali, ist aber doch im Besitze stark alkalisierender Fermente — tritt eben deswegen die Selbstvergiftung verhältnismäßig leicht ein. So wird ein lebensnotwendiger Prozeß, nämlich der der Eiweißsynthese, in jedem Falle vernichtend für den Pilz; entweder führt er zum Säure- oder zum Alkalitod. Bei anderen Pilzen kann man diesen Mangel hinreichender Regulationsvorgänge, wenn auch schwächer, ebenfalls deutlich erkennen.

**Literaturverzeichnis.**

1. Boas, F., Biochem. Zschr. Bd. 86, p. 110 ff. 1918.
  2. Czapek, Beiträge chem. Physiol. und Pathol. Bd. 1—3. 1902—1903.
  3. Brenner, W., Bakteriol. Zbl. II. Bd. 40. 1914.
  4. Lange, F., Inauguraldissertation. Breslau. 1914.
  5. Hagem, O., Skrift. utg. af Vidensk. Selsk. Christiania. Mathem-naturw. Kl. 1910.
  6. Raciborski, M. Anzeig. Akad. Wissensch. Krakau. Mathem-naturw. Kl. 1906.
  7. Butkewitsch, Wl., Jahrb. wiss. Bot. Bd. 38. 1903.
  8. Benecke, F., in Handbuch. techn. Mykologie. II. Aufl., Bd. I., p. 311.
  9. Wehmer, C., Berichte deutsch. bot. Ges. Bd. XXXI. 1913.
  10. Boas, F., Berichte deutsch. bot. Ges. Bd. 34. 1916 und Biochem. Zschr. Bd. 81. 1917.
-

## Mykologische Mitteilungen.

Von H. und P. Sydow.

### *Puccinia capensis* Syd. nov. spec.

Sori teleutosporiferi amphigeni, praecipue epiphylli, in centro macularum minutarum purpurearum vel violacearum solitarii vel bini consociati, minuti, epidermide bullata diu tecti, subpulverulenti, obscure brunnei; teleutosporae ellipsoideae, ovatae vel oblongae, ad apicem plerumque rotundatae, ad basim rotundatae vel saepius attenuatae, medio plus minusve constrictae, leves vel subleves, dilute brunneae,  $32-42 \approx 16-24 \mu$ , episporio  $1\frac{1}{2}-2 \mu$  crasso, poro germ. cellulae superioris ad apicem cellulae sito et papillula hyalina majuscula obvallato, cellulae inferioris plerumque prope septum sito et subinde etiam papillula distincta obvallato; pedicello brevi, hyalino, deciduo; uredosporae paucae visae immixtae subglobosae vell ellipsoideae, laxe aculeatae, flavo-brunneae vel brunneae,  $25-30 \approx 20-23 \mu$ , membrana ca.  $1\frac{1}{2}-2 \mu$  crassa, poris germ. 2 aequatorialibus praeditae.

Hab. in foliis *Diplopappi asperi*, Somerset East in Capite bonae spei Africae austr. (P. Mac Owan no. 1468).

Auf denselben Blättern, an denen die *Puccinia* auftritt, teilweise auch an gesonderten Blättern, findet sich ein Äzidium. Die Äzidien sind meist auf der Blattunterseite entwickelt, auf gelben rundlichen 3—5 mm großen Flecken ziemlich dicht oder auch lockerer und unregelmäßig angeordnet, schüsselförmig,  $250 \mu$  breit, mit weißem, zerschlitztem Rande. Peridienzellen sich dachziegelig deckend,  $28-35 \approx 17-22 \mu$ . Äzidiosporen eckigrundlich bis ellipsoidisch, dicht feinwarzig, fast hyalin  $18-25 \approx 16-20 \mu$ , mit  $1-1\frac{1}{2} \mu$  dicker Membran. Ob dieses Äzidium in den Entwicklungskreis der *Puccinia* gehört, läßt sich an dem vorliegenden Materiale nicht entscheiden.

*Puccinia aculeatispora* v. Höhn. in Hedwigia LX, 1918, p. 140.

Auf Blättern von ?*Piptadenia*, Rio Acre, Brasilien (Ule no. 3496).

Ist ein *Diorchidium* mit ganz typischem vertikalem Septum und kurzem hyalinem, hinfälligem Stiel. Die von v. Höhnel erwähnten Uredosporen haben wir nicht vorgefunden. Da, wie dies bei *Diorchidium*-Sporen oft der Fall ist, sich die Sporen unter dem Deckglas derartig legen, daß sich beide Zellen völlig decken, was bei dieser Art ebenfalls oft vorkommt, so vermuten wir, daß derartig gelagerte Teleutosporen von v. Höhnel für Uredosporen gehalten wurden. Der Pilz ist übrigens vollkommen identisch mit *Diorchidium acanthostephum* Syd. (Annal. Mycol. XIV, 1916, p. 67, Ule no. 3504). Als Nährpflanze desselben wird zwar *Pithecolobium* spec. angegeben (statt *Piptadenia* bei Ule no. 3496), allein die Matrices der beiden Nummern sind völlig identisch.

*Puccinia phaeosticta* Pat. et Har. in Bull. Soc. Myc. France XXII, 1906, p. 116, Sacc. Syll. XXI, p. 661.

Als Nährpflanze des Pilzes wird *Asystasia* spec. angegeben, was zweifellos auf einem Irrtum beruht. Nach einem von den Autoren erhaltenen Exemplare zu urteilen ist der Pilz mit *Puccinia Thwaitesii* Berk. völlig identisch und lebt auf *Justicia Gendarussa*.

**Desmella** Syd. nov. gen. (Etym. δέσμη).

*Pycnidia* et *aecidia* adhuc ignota. Sori subepidermales, minutissimi, per stomata erumpentes, sine peridio. Uredosporae in apice hypharum per stomata fasciculatim erumpentium solitarie ortae, globosae, ellipsoideae vel ovatae, echinulato-verrucosae, pallide vel saturatius flavae, poris germ. distinctis, paraphysibus nullis. Teleutospores bicellulares, hyalinae, statim germinantes.

Als Typus-Exemplar der neuen Gattung fassen wir den von Henning's unter dem Namen *Uredo Aneimiae* P. Henn. beschriebenen Pilz auf, da dieses Exemplar das einzige ist, welches neben der Uredogeneration auch die bisher unbekannten Teleutosporen trägt. Im Bau der Sori entsprechen die hierher gehörigen Pilze der Gattung *Hemileia*, da die Lager aus Büscheln von Hyphen bestehen, die durch die Stomata hervorbrechen. Die Uredosporen sind bei *U. Aneimiae* recht dickwandig, mit gelber Membran und deutlichen Keimporen versehen, bei den übrigen Arten dünnwandiger und heller gefärbt, auch treten die Keimporen weniger stark hervor. Die *Puccinia*-ähnlichen Teleutosporen, die bei *U. Aneimiae* in großer Menge vorhanden, aber von Henning's trotzdem übersehen worden sind, sind zweizellig, hyalin, sofort keimend, mit zarten Stielchen versehen, sehr oft nach Art von *Diorchidium* seitlich gestielt.

Arthur (cfr. Mycologia VII, 1915, p. 325—326) hegt beträchtliche Zweifel, ob es sich bei diesen Pilzen wirklich um Uredineen handelt. Wir konnten schon bisher diese Zweifel nicht teilen, die übrigens nunmehr, nachdem die dazu gehörigen Teleutosporen aufgefunden worden sind, als völlig beseitigt gelten müssen.

**1. Desmella Aneimiae** Syd.

Syn.: *Uredo Aneimiae* P. Henn. in Hedwigia XXXV, 1896, p. 255; Sacc. Syll. XIV, p. 407.

Uredosporen kugelig bis eiförmig, entfernt und ziemlich derb stachelwarzig, 30—35  $\vartriangleq$  25—32  $\mu$ , gelb, mit  $2\frac{1}{2}$ —5  $\mu$  dicker Membran und recht deutlichen Keimporen. Teleutosporen ellipsoidisch, beidendig abgerundet, am Septum mehr oder weniger stark eingeschnürt, glatt, hyalin, 20 bis 30  $\vartriangleq$  18—21  $\mu$ , mit 1— $1\frac{1}{2}$   $\mu$  dickem Epispor und zarten bis 40  $\mu$  langen, 2  $\mu$  breiten, hyalinen Stielen.

**2. D. mbatobiensis** Syd.

Syn.: *Caeoma mbatobiense* Spieg. in Fungi Guaranitici I, p. 56; Sacc. Syll. VII, p. 865.

Es ist nur die Uredogeneration vorhanden, die völlig der vorigen Art entspricht. Es ist möglich, daß beide in der Tat identisch sind, allein die Nährpflanze der Spegazzinischen Art ist nicht näher angegeben, aber jedenfalls von derjenigen der *D. Aneimiae* ganz verschieden.

### 3. *D. superficialis* Syd.

Syn.: *Caeoma superficiale* Speg. in Fungi Guaranitici I, p. 56; Sacc. Syll. VII, p. 865.

*Uredo superficialis* Lagh. in sched.

*Uredo blechnicola* P. Henn. in Hedwigia XLIII, 1904, p. 165; Sacc. Syll. XVII, p. 458.

Uredosporen kugelig, ellipsoidisch oder eiförmig, ziemlich dicht stachelig, blaßgelblich,  $20-28 \approx 18-24 \mu$ , mit  $1-2 \mu$  dicker Membran und deutlichen Keimporen.

### 4. *D. Gymnogrammes* Syd.

Syn.: *Uredo Gymnogrammes* P. Henn. in Hedwigia XXXIV, 1895, p. 387; Sacc. Syll. XIV, p. 407.

Uredosporen kugelig oder fast kugelig, mäßig stachelig, sehr hell-gelb,  $19-24 \approx 18-22 \mu$ , mit  $1-1\frac{1}{2} \mu$  dicker Membran und wenig deutlichen Keimporen.

*Uredo Nephrolepidis* Diet. in Mém. de la Société neuchâtel. des Sc. nat. V, 1913, p. 576.

Dieser Pilz dürfte *Desmella* sehr nahe stehen. Ob er dieser Gattung zuzuweisen sein wird oder Repräsentant einer eigenen Gattung ist, muß an der Hand reichlicheren Materials untersucht werden, da das Originalmaterial nur sehr spärlich ist. Der Dietelschen Beschreibung ist nachzutragen, daß der Pilz zweierlei Uredosporen ausbildet: feinstachelige dünnwandige mit etwa  $1 \mu$  starker Membrandicke und dickwandige mit etwa  $3 \mu$  starker Membran, die mit gröberen, kurzen, mitunter fast warzenförmigen Stacheln besetzt sind. Ein Unterschied in der Form, Größe und Färbung der beiderlei Sporen ist nicht deutlich erkennbar, die dickwandigen sind vielleicht durchschnittlich etwas voluminöser und die rein kugeligen Formen unter ihnen etwas häufiger als unter den anderen. Keimporen konnten bei keiner von beiden Formen mit Sicherheit nachgewiesen werden. Manche Lager enthalten nur dünnwandige Sporen, dagegen wurden die dickwandigen nie für sich allein angetroffen. Wahrscheinlich treten letztere in Lagern auf, die anfangs nur dünnwandige Sporen erzeugt haben. Beide Formen sind übrigens durch Übergänge miteinander verbunden. Peridie oder Paraphysen fehlen.

Eine weitere neue farnbewohnende Uredineengattung stellt *Uredo Lind-saeae* P. Henn. dar:

*Calidion* Syd. nov. gen. (Etym. καλίδιον).

Uredosori brunneoli, erumpentes, peridio nullo, sed ubique paraphysisibus copiosissimis introrsum curvatis pro maxima parte superiore liberis

utriculatis coloratis cincti; uredosporae pedicellatae, solitarie natae, aculeatae, poris germ. obscuris; teleutosporae adhuc ignotae.

**C. Lindsaeae** (P. Henn.) Syd.

Syn.: *Uredo Lindsaeae* P. Henn. in *Hedwigia* XLIII, 1904, p. 165.

Hab. in foliis Lindsaeae Ulei Hieron., Juruá Miry, Rio Juruá Brasiliae (E. Ule no. 2998); Lindsaeae spec., Manáos, Rio Negro (E. Ule no. 3399).

Eine Beschreibung dieses Pilzes haben wir bereits in *Annal. Mycol.* XIV, 1916, p. 72 gegeben. Die neue Gattung unterscheidet sich danach von allen anderen bisher bekannten Uredineengattungen auf Farnen beträchtlich durch die von sehr zahlreichen, auffälligen, derben, oben freien, gefärbten, schlauchförmigen und sehr dickwandigen Paraphysen umgebenen Uredolager. Die Paraphysen sind stark einwärts gekrümmt und umschließen nestartig die in nur verhältnismäßig geringer Anzahl gebildeten Uredosporen. Die genaue Stellung der Gattung wird erst nach Auffinden der dazugehörigen Teleutosporengeneration angegeben werden können.

**Crossopsora** Syd. nov. gen.

'Uredosori subepidermales, erumpentes, minuti, peridio nullo, sed paraphysisibus plerumque introrsum curvatis cincti; uredosporae globosae usque ellipsoideae, echinulatae, solitarie ortae, membrana hyalina, poris germ. obsoletis; teleutosori et teleutosporae ut in genere *Cronartio*.

1. **Crossopsora Zizyphi** (Syd. et Butl.) Syd. — Typus generis.

2. **C. Premnae** (Petch) Syd.

3. **C. Kemangae** (Racib.) Syd.

Die vorstehend genannten ursprünglich unter *Cronartium* beschriebenen Arten müssen von den typischen Cronartien generisch unterschieden werden, da sie in der Uredogeneration zu stark abweichen. Auch die Arthursche Gattung *Cionothrix* für *Cronartium praelongum* ist besser als eigene Gattung beizubehalten. Außerdem gehören zu dieser Gattung

**Cionothrix usneoides** (P. Henn.) Syd.

**C. andina** (Lagh.) Syd.

**C. Jacksoniae** (P. Henn.) Syd.

**C. egenula** Syd.

**C. Gilgiana** (P. Henn.) Syd.

die sämtlich früher unter *Cronartium* beschrieben wurden.

**Reyesiella anthomycoidea** Sacc. in *Atti dell Accad. Veneto — Trentino — Istriana* X. 1917, p. 58.

Diese neue Uredineengattung und Art muß wieder eingezogen werden, da sie völlig identisch mit *Anthomycetelia Canarii* Syd. (cfr. *Ann. Myc.* XIV, 1916, p. 353) ist. Saccardo's Beschreibung des Pilzes ist übrigens in wesentlichen Punkten unzutreffend.

Bei dieser Gelegenheit sei erwähnt, daß der Name der Uredineengattung *Anthomyces* Diet. inzwischen von J. Grüss (cfr. *Ber. Deutsch. bot.*

Ges. XXXV (1917) 1918, p. 746 für eine neue Saccharomycetengattung nochmals Verwendung gefunden hat. Letztere muß daher neubenannt werden. Wir schlagen für den Grüsschen Pilz nachfolgende Bezeichnung vor:

**Nectaromyces Reukaufii** (Grüss) Syd. (Syn.: *Anthomyces Renkaufii*) Grüss.

**Entyloma Calendulae** (Oud.) De Bary.

Als Nährpflanzen dieses verbreiteten Pilzes werden Arten der Gattungen *Calendula*, *Hieracium*, *Leontodon*, *Arnoseris*, *Erigeron*, *Aster*, *Arnica*, *Asteriscus*, *Pallenis* angegeben. Wir haben die Formen auf den verschiedenen Nährpflanzen an Herbarmaterial nachgeprüft, aber irgend welche durchgreifenden morphologischen Verschiedenheiten nicht feststellen können. Und doch stellen die verschiedenen Formen, wie unsere Beobachtungen in der Natur zeigen, zweifellos eigene biologische Spezies dar, da sie jede für sich nur an Arten derselben Nährpflanzengattung vorkommen dürften. Wir haben die Formen an *Arnoseris*, *Hieracium* und *Leontodon*-Arten oft gesammelt und dabei an einzelnen Lokalitäten, wo die genannten Gattungen zusammen auftraten, konstatiert, daß der Pilz sich immer nur an einer Pflanzenart vorfand. Auch C. Schellenberg (cfr. Die Brandpilze der Schweiz, p. 114) spricht sich schon dahin aus, daß *Entyloma Calendulae* in dem genannten Umfange eine Sammelart darstellt. Auf Grund unserer Beobachtungen in der Natur zerlegen wir die Sammelspezies in folgende, zumindest biologische Arten:

**E. Calendulae** (Oud.) De Bary, ausschließlich auf *Calendula* vorkommend.

Habituell von allen übrigen Formen etwas verschieden durch meist größere und dicke Blattflecke.

**E. Hieracii** Syd. Sehr häufig auf verschiedenen *Hieracium*-Arten. Als Typusform betrachten wir die auf *H. murorum* auftretende.

**E. Leontodontis** Syd. auf *Leontodon*-Arten, Typusform auf *L. hispidus*. Diese Form steht der vorigen sehr nahe, ist aber viel seltener.

**E. Arnoseridis** Syd. auf *Arnoseris minima* in Deutschland recht häufig.

**E. Arnicae** Syd. auf *Arnica montana* in Süddeutschland und der Schweiz.

**E. Asteris-alpini** Syd. auf *Aster alpinus* in der Schweiz.

**E. Erigerontis** Syd. auf *Erigeron elongatus* in Norwegen.

**E. mediterraneum** Syd. auf *Pallenis spinosa* in Dalmatien. Ein von uns untersuchtes Exemplar auf *Asteriscus maritimus* von Corsica gehört vielleicht auch hierher.

**Protomyces Kemneri** Lindf. in Svensk Bot. Tidskr. XII, 1918, p. 226.

Ist nach der Beschreibung zu urteilen wohl sicher identisch mit *Urophlyctis Lathyri* Palm in Svensk Bot. Tidskr. V, 1911, p. 356.

**Anthostomella Arengae** v. Höhn. supra pag. 224.

Der Pilz ist identisch mit *Auerswaldia decipiens* Rehm in Philipine Journ. Sc. Sect. C, 1913, p. 395. Vergl. auch Theissen und Sydow in Ann. Myc. XIII, 1915, p. 300.

**Lasiobotrys Symphoricarpi** Syd. nov. spec.

Amphigena; sclerotia in greges orbiculares 1—1½ mm diam. laxe disposita, sese non vel vix attingentia, orbicularia vel orbiculari-turbinata

240—350  $\mu$  diam., usque 150  $\mu$  alta, circumcirca crusta atra praedita, intus viridulo-albida, e cellulis 8—10  $\asymp$  6—8  $\mu$  metentibus contexta, subtus hyphis flexuosis 2—3  $\mu$  crassis subhyalinis fulta, hypostromate denso atro-brunneo; perithecia sporaeque non visa.

Hab. in foliis vivis Symphoricarpi spec., San Juan Mts., Colorado Americae bor., 7. 1897, leg. E. Bethel.

Die Sklerotien sind nur sehr locker kreisförmig angeordnet, sich gegenseitig nicht berührend, knopfförmig rund, wenig kreisförmig, mit fast hyalinen und zarten Stützhyphen versehen. Die bei anderen *Lasiobotrys*-Arten zahlreich sichtbaren Perithecien fanden wir bei der neuen Art nicht auf, hingegen beobachteten wir mehrfach, daß die „Sklerotien“ nicht überall die gleiche, aus senkrechten Zellenreihen bestehende Struktur aufwiesen, sondern daß peripherisch eine lokulus-artige Zone von 30—40  $\mu$  Breite von ganz anderer sehr undeutlicher Struktur auftritt. Irgend welche Fruktifikation fanden wir in dieser Zone allerdings nicht vor. Solite hier tatsächlich eine Lokuli-Bildung vor sich geben, dann wäre das Fehlen der sonst bei *Lasiobotrys* zwischen den Stützhyphen auftretenden Perithecien bei unserer neuen Art sofort erklärlich. Eine Klärung des Sachverhalts muß weiteren Funden überlassen bleiben.

**Steganopycnis Oncospermatis** Syd. in Ann. Mycol. XIV, 1916, p. 370.

Hab. in rachide foliorum *Oncospermatis horridi*, Taytay, Palawan, 4. 1913, leg. E. D. Merrill no. 8805.

Der Pilz wurde in Ann. Myc. XIV, 1916, p. 370 nach etwas dürftigem Materiale beschrieben. Inzwischen erhaltene bessere Stücke der Originalkollektion zeigten, daß kein fungus imperfectus, sondern ein Schlauchpilz vorliegt. In den älteren Perithecien, die früher zur Untersuchung vorlagen, sind die Schläuche schon völlig aufgelöst. An den neuerdings erhaltenen Stücken waren jedoch jüngere Stadien vorhanden, die den Schlauchpilz in herrlichster Entwicklung zeigen. Die Schläuche sind lang zylindrisch, 160—220  $\asymp$  14—18  $\mu$  groß, mit hyalinen, zarten Paraphysen versehen, 8-sporig. Die Sporen liegen gerade oder schief einreihig und sind von einer sehr deutlichen Schleimschicht, die namentlich an den Polen im Wasser aufquillt, umgeben.

Die Gattung *Steganopycnis* ist am nächsten mit *Astrophaeriella* Syd. (Ann. Myc. XI, 1913, p. 260) verwandt und unterscheidet sich eigentlich nur durch die von einer Schleimschicht umgebenen Sporen. Bei der sicherlich mit unserem Pilze verwandten *Pteridospora javanica* Penz. et Sacc. besitzen die Sporen ebenfalls eine ausgeprägte Schleimschicht, doch unterscheidet sich diese Gattung durch hyaline Sporen.

**Dimerosporium pangerangense** P. Henn. et E. Nym. in Monsunia I, 1899, p. 159; Syll. F. XVI, p. 410.

Auf Rhododendron retusum, Java (E. Nyman).

Ist völlig identisch mit *Lembosia crustacea* (Cke.) Theiß. (cfr. Ann. Myc. XI, 1913, p. 432).

**Dimerosporium Urbanianum** P. Henn. in Hedwigia 1894, p. 231; Syll. F. XI, p. 258.

Auf Cedrela, Portorico (P. Sintenis).

Ist ein weiteres Synonym zu *Parodiopsis melioides* (B. et C.) Maubl.

**Dimerosporium bauhinieola** P. Henn. in Hedwigia XLIII, 1904, p. 355; Syll. F. XVII, p. 536.

Der Pilz ist identisch mit *Henningsomyces tarapotensis* (P. Henn.) Theiß. (= *Parodiella tarapotensis* P. Henn.); cfr. Beihefte bot. Centr. XXIX, 1912, Abt. II, p. 56 et Ann. Myc. XV, 1917, p. 137. Auch dieses Exemplar ist noch nicht völlig ausgereift. Der Speziesname *bauhinicola* hätte vor *tarapotensis*, da von Hennings in derselben Arbeit einige Seiten vorher publiziert, die Priorität, beruht jedoch auf falscher Bestimmung der Nährpflanze und ist daher zugunsten des anderen fallen zu lassen.

**Asteridium elegantissimum** Rehm in Hedwigia XL, 1901, p. 157.

Auf Blättern von Inga, Brasilien, Blumenau, St. Catharina, Ule no. 1146.

Der Pilz ist völlig identisch mit *Parodiella nigrescens* Rehm l. c., p. 154, welche wir in Annal. Mycol. XV, 1917; p. 137 auf Grund der Rehm'schen Angabe, daß die Sporen 2-zellig sind, zu *Henningsomyces* gezogen haben. Die Sporen des *Asteridium* sind nach Rehm anfänglich 2-zellig, später mit 3 Septen versehen. Letztere Angabe beruht sicher auf einem Irrtum, da wir keine einzige 4-zellige, hingegen mehrfach 3-zellige  $40-60 \asymp 9-11 \mu$  große, sehr lange hyaline, außerhalb der Schlüche ganz hellbraune, bei volliger Reife wahrscheinlich dunkler gefärbte Sporen sahen. Die Asken sind bis  $100 \mu$  lang; die kürzeren sitzend oder fast sitzend, die längsstreckten kurz und dick gestielt. Wegen der mehrzelligen Sporen wird der Pilz von *Henningsomyces* generisch unterschieden werden müssen.

**Aulographum juruanum** P. Henn. in Hedwigia XLIII, 1904, p. 382.

Auf Blättern von Rollinia, Rio Juruá, Jurua Miry, Brasilien, Ule no. 3068.

Gehäuse blattoberseits, anfänglich in kleinen gesonderten Gruppen dicht stehend, später oft das ganze Blatt dicht bedeckend, mit spärlichem, freien, hyphopodienlosem Myzel, radiär gebaut,  $140-300 \asymp 100-200 \mu$ . Asken  $50-60 \asymp 40 \mu$ , ohne Paraphysen. Sporen ausgereift braun, glatt,  $26-30 \asymp 10-14 \mu$ , ungleich septiert, untere Zelle doppelt so lang als die obere.

Ist eine typische *Asterinella* und identisch mit *A. Winteriana* (Pazschke) Theiß.

**Aulographum blechnicola** Rehm in Hedwigia XXXIX, 1900, p. 210.

Auf Blättern von Blechnum, Serra Geral, Brasilien, Ule no. 1781.

Eine habituell sehr auffällige Art. Die winzigen, anfänglich runden, später kurz linearen Gehäuse stehen dicht gedrängt ausschließlich in parallelen Reihen hypophyll in den Blattfalten. Lokuli  $55-70 \mu$  hoch, durch gesonderte radiäre Deckschicht getrennt. Hypostroma locker, aus  $2-3 \mu$  dicken, dunkel fuliginen Hyphen bestehend. Asken sitzend, ca.  $0 \asymp 20 \mu$ , achtsporig, ohne Paraphysen. Sporen 2-zellig, in der Mitte oder etwas oberhalb derselben septiert, lange hyalin, zuletzt bräunend (?), ca.

16—18  $\approx$  5 $\frac{1}{2}$ —6  $\mu$ . Falls sich die Sporen wirklich zuletzt bräunen, wird der Pilz zu *Hysterostomella* zu ziehen sein.

Auch das an derselben Stelle beschriebene *A. tropicale* Rehm ist eine typische Polystomellacee, doch zeigte unser Exemplar keine entwickelte Fruchtschicht, so daß wir die generische Zugehörigkeit nicht feststellen konnten.

**Aulographum glonioides** Rehm in Hedwigia XXXIX, 1900, p. 209.

Auf *Chevaliera sphaerocephala*, Rio de Janeiro, Brasilien, Ule no. 2454.

Ausschließlich hypophyll. Luftmyzel netzig, aus hell fuliginen 2 $\frac{1}{2}$  bis 3 $\frac{1}{2}$   $\mu$  breiten hyphopodienlosen Hyphen gebildet. Gehäuse oberflächlich, invers, radiär, linear, 1 $\frac{1}{2}$ —1 mm lang, 160—200  $\mu$  breit. Asken spärlich paraphysiert, 45—60  $\approx$  25—30  $\mu$ , 8-sporig. Sporen oblong, anfangs hyalin, reif braun, glatt, in der Mitte septiert, 22—25  $\approx$  9—10  $\mu$ .

Der Pilz ist *Echidnodes glonioides* (Rehm) Syd. zu nennen und ist *E. Bromeliacearum* (Rehm) Theiß. et Syd. nächst verwandt.

**Aulographum Gaylussaciae** Rehm in Hedwigia XXXVII, 1898, p. 296.

Auf Blättern von *Gaylussacia*, Sta. Catharina, Brasilia, leg. Ule no. 583.

Gehäuse blattoberseits, locker gesellig, oberflächlich, linear, oft etwas gekrümmt, 130—300  $\approx$  60—90  $\mu$ , mit breitem Längsspalte geöffnet, radiär gebaut. Myzel zart, spärlich entwickelt, fuligin, aus 2—3  $\mu$  dicken septierten verzweigten Hyphen bestehend, mit 1-zelligen kleinen 2—3 lappigen Hyphopodien spärlich versehen. Fruchtschicht an dem von uns gesehenen Exemplar noch unentwickelt. Rehm gibt hyaline, nur 6  $\approx$  3  $\mu$  große Sporen an. Sicher sind dieselben ausgereift braun und wenigstens etwas größer. Der Pilz stellt eine typische Lembosiee dar.

**Asterinella Reyesiana** Rehm in Ascom. exsicc. no. 2163.

Auf unbestimmten Blättern, Philippinen. Cfr. auch die Beschreibung von Höhnel's in diesem Hefte p. 220.

Ist völlig identisch mit *Asterinella creberrima* Syd. in Ann. Myc. XV, 1917, p. 247; sogar die Matrices stimmen nach Gattung und Art völlig überein. Eine Beschreibung des Pilzes ist vom Autor nicht veröffentlicht worden.

**Asterina Pandani** Rostr. in Bot. Tidsskrift vol. XXIV, 1902, p. 361.

Auf *Pandanus* spec., Insel Koh Chang, Siam (Johs. Schmidt).

Ist ein typisches *Aulacostroma*, *A. Pandani* (Rostr.) Syd., von dem *A. palawanense* Syd. anscheinend nicht verschieden ist. Die Rostrup'sche Angabe, daß die Sporen nur 15  $\mu$  lang sein sollen, ist falsch. Die Sporengröße beträgt ca. 24—26  $\approx$  11—13  $\mu$ .

**Asterula goyazensis** P. Henn. in Hedwigia 1895, p. 104; Sacc. Syll. XIV, p. 693.

Ad folia coriacea ignota, Meiaponte, Goyaz Brasiliæ, Ule no. 1976.

Der Pilz lebt parasitisch auf dem *Asterostomell-*-Stadium einer nicht mehr näher bestimmmbaren Asterinee, dieselbe außerordentlich reich mit

Gehäusen bedeckend. Hennings hat in seiner Diagnose die Charaktere des Wirtspilzes und seinen *Asterula* miteinander vermischt. Die *Asterula* selbst ist nichts weiter als herrlich entwickelte *Ophiotexis perpusilla* (Speg.) Theiß., die besonders in Südamerika weit verbreitet ist.

**Micropeltis Rolliniae** P. Henn. in Hedwigia 1904, p. 84; Sacc. Syll. XVII, p. 868.

In fol. *Rolliniae emarginatae*, Sta. Catharina, Brasilia (Ule). Ist ebenfalls nichts weiter als *Ophiotexis perpusilla* (Speg.) Theiß.

**Micropeltis Schmidtiana** Rostr. in Bot. Tidsskrift XXIV, 1902, p. 211.

Auf *Apostasia Lobbii*, Insel Koh Chang, Siam (Johs. Schmidt).

Gehäuse *Micropeltis*-ähnlich, aber mit ausgedehntem Algenthalus versehen, daher liegt eine Flechte vor.

**Dothidella Eugeniae** (Thuem.) Berl. et Vogl. in Addit. Syll. p. 240; Syll. IX, p. 1038.

Auf *Eugenia planipes*, Valdivia, Chile (Lechler).

Ist identisch mit *Polystomella granulosa* (Kl.) Theiß. et Syd.

**Pyrenophaetina obtagens** Syd. in Ann. Myc. XIV, 1916, p. 94.

In der Hedwigia LX, 1918, p. 132 bemerkt von Höhnel, daß dieser Pilz entgegen der Angabe in der Originalbeschreibung keine Spur von Borsten aufweise. Die daraufhin vorgenommene erneute Untersuchung des Originalexemplars zeigte, daß unsere diesbezüglichen Mitteilungen vollkommen korrekt sind, da die Fruchtkörper spärlich mit anfangs hyalinen, später bräunlichen stumpfen, mehr weniger schlaffen Hyphen oder Haaren besetzt sind. Auch die Bemerkung v. Höhnels, daß unsere Größenangabe der Sporen fehlerhaft sein dürfte, trifft nicht zu. Wir haben sogar jetzt Sporen gesehen, die noch größer (nämlich bis  $9 \mu$  lang) sind, und sehr zahlreiche, die unseren Größenangaben,  $5\frac{1}{2}$ — $7 \mu$ , völlig entsprechen.

**Cephalosporium? tumefaciens** Wint. in Rabh. Fg. eur. no. 3295.

Die nicht näher angegebene Nährpflanze ist unzweifelhaft eine Lauracee. Der Pilz selbst ist völlig identisch mit *Botryoconis Saccardoi* Syd. und muß nunmehr den Namen *Botryoconis tumefaciens* (Wint.) Syd. führen.

In Bull. Soc. Myc. France XXX, 1914, p. 446 behauptet Maublanc, daß *Botryoconis Saccardoi* Syd. und *B. pallida* Syd., ohne dieselben untersucht zu haben, mit *Clinoconidium farinosum* (P. Henn.) Pat. identisch seien. Das ist falsch, denn die *Botryoconis*-Konidien sind anders geformt, gefärbt und entstehen zu 4—10 in ziemlich dauerhaften Köpfchen, während bei *Clinoconidium* die Konidien einzeln entstehen und farblos sind.

**Drepanoconis fructigena** Rick in Ann. Myc. III, 1905, p. 17.

Auf Früchten von *Oreodaphne* und *Nectandra* in Brasilien.

Der Pilz soll nach der Beschreibung 2-zellige Konidien besitzen und wird daher von Bresadola zu *Marsonia* gestellt. Die Untersuchung ergab, daß die Konidien einzellig sind und der Pilz generisch völlig mit *Drepanoconis larviformis* Speg. übereinstimmt. Die Rick'sche Art ist jedoch durch bedeutend kleinere Konidien gut verschieden.

# Beiträge zur Systematik und Biologie einiger *Plasmopara*-Arten.

Von Alfred Wartenweiler.

(Mit 3 Tafeln und 12 Figuren im Text.)

## Einleitung.

Die vorliegende Untersuchung wurde im botanischen Institut der Hochschule Bern ausgeführt auf Veranlassung meines verehrten Lehrers, Herrn Prof. Ed. Fischer, dem vor Allem für seine reichen Anregungen und sein Interesse an meiner Arbeit meinen tiefgefühlten Dank auszusprechen mir ein Bedürfnis ist. Dem Assistenten des Institutes, Herrn Dr. von Büren, verdanke ich wertvolle Anregungen für die cytologische und biologische Untersuchung, und auch meinen Kameraden Dr. Gäumann und Schweizer bin ich zu Dank verpflichtet für manche Förderung. Das untersuchte Herbarmaterial wurde mir bereitwillig zur Verfügung gestellt von den Herren Dr. Mayor in Perreux und H. Sydow in Berlin, wofür ich die beiden Herren auch hier meiner großen Dankbarkeit versichere. Herr Dr. Mayor hat mich überdies verschiedentlich mit frischem Material versehen und mir mit Standortsangaben viel geholfen. Endlich bin ich Herrn Obergärtner Schenk und dem Personal unseres Gartens für die sorgfältige Pflege der Versuchspflanzen verbunden.

Die Fragestellung, mit der ich an die Gattung *Plasmopara* herantrat, war die, ob die heutigen Arten derselben einheitlich seien, oder ob sie sich bei genauerer Untersuchung als aus allerdings einander sehr ähnlichen kleinen Arten zusammengesetzt erweisen würden. Die eingehende Durcharbeitung der Uredineen besonders ließ als das eine Kriterium in unserer Frage Infektionsversuche erscheinen, und für die morphologische Untersuchung erwies sich schon bei Gäumann (1918) die variationsstatistische Messung der Konidien und die Vergleichung der Trägerformen als sehr erfolgreich. Der Gang der Untersuchung brachte es mit sich, daß in unserem Fall die Infektionsversuche wegen mancher Schwierigkeiten aus den Anfangsstadien nicht herauskamen, trotzdem ich auf 5 verschiedene Arten zum Ziel zu kommen suchte. Das eine Mal wurde ein Büschel von Keimlingen mit den Blättern in Konidienwasser gesteckt,

daß andere Mal legte ich die benetzten Blätter des Infektionsmaterials an die Unterseite von Keimlingen, die im Topf belassen wurden; andere Versuche wurden ausgeführt, indem ich erwachsene Pflanzen mit den Blättern nach unten aufstellte, so daß diese in eine Kristallisierschale tauchten, die mit Konidienwasser gefüllt war, und indem ich dazu noch die Unterseite jener Blätter mit infizierten bedeckte; in weiteren Fällen wurde das Konidienwasser mit einem Pinsel aufgestrichen, und endlich versuchte ich den natürlichen Bedingungen dadurch am nahesten zu kommen, daß ich Töpfe mit gesunden Versuchspflanzen in unmittelbare Nähe von befallenen Pflanzen im Garten stellte. Aber kein einziges der sehr wenigen positiven Resultate, die ich erhielt, halte ich für beweisend, und die negativen sagen erst rechts nichts, da es mir nur in wenigen Fällen gelang, die Keimung des Infektionsmaterials zu verfolgen, trotzdem dieses nach dem Sammeln für 1 Tag unter der Glocke gehalten wurde. Ich verzichte daher auf eine ausführliche Darstellung der Versuche, da sie für einen späteren Untersucher doch keinen Wert haben.

Statt der Spezialisationsfrage drängten sich dann aber andere Probleme in den Vordergrund, und die systematischen Erörterungen bezogen sich mehr auf die großen Abteilungen der Peronosporaceen. Es mögen daher im Folgenden zuerst die Resultate der morphologischen Untersuchung der Konidien und ihrer Träger von einigen *Plasmopara*-Arten gegeben werden, und dann einige biologische Erörterungen, die sich im wesentlichen auf das Problem der Überwinterung unserer Pilzformen beziehen. Die Diskussion über das System der Peronosporaceen, die durch die Trägeruntersuchung aufgerollt wird, soll dagegen einer besonderen Arbeit vorbehalten bleiben, die demnächst folgen wird; hier genüge die Bemerkung, daß meine Untersuchungen gezeigt haben, daß die Aufteilung der Schröterschen Gattung *Plasmopara*, wie sie Wilson (1907) vorgenommen hat, auf unrichtigen Voraussetzungen beruht und daher nicht aufrecht erhalten werden kann. Ich verwende daher im folgenden den Namen *Plasmopara* im Sinne Alfred Fischers (1892). Den Schluß der Arbeit soll eine kurze Darstellung der Ergebnisse bilden.

#### I. Morphologische Untersuchung der Konidien und -Träger einiger *Plasmopara*-Arten und ihr Wert als Speziesmerkmal.

Das Material, das zu dieser Untersuchung diente, war zum Teil von mir selber gesammelt worden, zum größten Teil aber stammt es aus den Herbarien von Herrn Dr. Mayor, Herrn H. Sydow und dem des bernischen botanischen Institutes. Aber auch das selbstgesammelte Material wurde zuerst getrocknet, damit es sich unter den gleichen Bedingungen befindet wie das andere. Vor der Untersuchung wurde es in Milchsäure gekocht und dann einen Tag liegen gelassen, damit die

Quellung möglichst vollständig sei. So diente das Material zu den Konidienmessungen, während es für Zeichnungen und Photographien gefärbt wurde mit Jodjodkali.

### 1. Konidien.

Die genannte Färbung zeigte, daß sich die Quellung nur auf die Membran erstrecke, der Inhalt aber trotz der Milchsäurebehandlung kontrahiert bleibt. Man kann sich daher fragen, ob unter diesen Umständen die Resultate von Messungen so behandelter Konidien genau übereinstimmen mit denen frischer. Groß ist der Unterschied auf keinen Fall, und der Wert derselben liegt ja vor allem darin, daß sie Vergleichswerte geben; darum wurden denn auch die Konidien, die in frischem Zustand zur Verfügung standen, gleich behandelt. Als solche Vergleichswerte eignen sich die Länge der Konidien vom Keimporus oder der ihm entsprechenden Stelle bis zur gegenüberliegenden Wand, und der darauf senkrechte Abstand.

Aber auch diese Vergleichswerte wären von sehr geringem Wert, wenn wahllos alle vorhandenen Konidien gemessen würden; denn das Material könnte im einen Fall nach einem Regenwetter gesammelt worden sein, zu einer Zeit, wo die Neubildung der Konidien ihr Maximum erreicht, und zwar das eine Mal vielleicht kurz nach einem Regenguß, so daß die entstandenen Konidien noch nicht Zeit gehabt hätten, auszuwachsen, das andere Mal erst nach einem Tag, wir es dann also mit ausgewachsenen Konidien zu tun hätten. In andern Fällen aber würden wir vielleicht Material vor uns haben, das nach einer längeren Trockenzeit gesammelt wurde: kurz, eine wahllose Messung aller vorhandenen Konidien würde zu ganz schlechten Vergleichswerten führen. Es ist daher notwendig, auf irgend eine Weise gleich alte Konidien zu messen, und diese Gleichaltrigkeit muß äußerlich feststellbar sein. Leider sind die Plasmopara-konidien nicht gefärbt, sonst könnte man hoffen, einen für ein gewisses Alter charakteristischen Farnton zu finden. Wenn man sich in der Literatur umsieht, so scheint es, der Keimporus, der fast überall als Unterscheidungsmerkmal der Konidien unserer Gattung gegenüber denen der Gattung *Peronospora* angeführt wird, möchte vielleicht zu unserem Zwecke verwendbar sein, d. h. man könnte Konidien miteinander vergleichen, sie also messen, deren Keimporus etwa gleich stark ausgebildet wäre. Aber schon in der Literatur selber findet man Angaben, die darauf schließen lassen, daß dieser Porus wohl bei manchen Arten recht ausgeprägt ist, daß er aber andern Formen fast vollständig fehlt. Beim Messen selber machte ich dann aber die Beobachtung, daß nicht nur in der Art der Porusbildung Verschiedenheiten von Form zu Form vorhanden sind, sondern auch in der Membranbildung, so daß auch die Ausbildung der Membran nicht zur Altersbestimmung der Konidien verwendet werden kann in dem Sinn, daß man z. B. von allen Wirten einer Art Sporen mit

etwa gleich stark entwickelter Membran als gleich alt miteinander vergleichen könnte. Trotzdem es also unmöglich ist, ein in Worte zu fassendes Kriterium eines gewissen Reifestadiums, z. B. dessen der „Reife“, zu geben, so wird man in der Praxis beim Messen nur in ganz wenigen Fällen im Zweifel sein, ob eine vorliegende Konidie gemessen werden dürfe oder nicht, indem man einerseits sich damit begnügen muß, das bestimmte Stadium nicht zu eng zu fassen, sondern es zwischen nicht allzuengen Grenzwerten variieren zu lassen, und in dem andererseits der ganze Habitus der Konidien doch zweifellos erkennen läßt, ob sie noch ganz unreif oder schon wenigstens einigermaßen reif seien.

Die angedeuteten Unterschiede in der Membranausbildung müssen etwas näher beleuchtet werden; denn es scheint, daß sie unter Umständen auch als Charakteristika dienen können für systematische Einheiten unserer Pilzformen auf verschiedenen Wirten. Leider finden sich die interessantesten Verhältnisse von *Plasmopara nivea*<sup>1)</sup> auf einem Wirt, der mir nicht zur Verfügung steht, so wenig wie frisches Pilzmaterial von demselben, *Angelica refracta* (untersucht an Ex. No. 195; leg. M. Miura, Sapporo Hokkaido, May 22, 1907), so daß ich also nur imstande bin, Beobachtungen an Herbarmaterial zu geben, ohne die Vorgänge sukzessive am lebenden Material verfolgen zu können. An Konidien der genannten Form, die man mit Rücksicht auf die Größe als reif zu betrachten geneigt wäre, sieht man nämlich in vielen Fällen die Membran nur in der Umgegend der Ansatzstelle ausgebildet, d. h. deutlich verdickt; andere Sporen weisen eine kalottenförmige Membran an ihrem hintern Teil auf, so daß der vordere als sehr großer Keimporus erscheint; wieder andere endlich haben einen normalen Porus und sind an ihrer ganzen Oberfläche mit einer dicken Membran versehen. Ich kann mir die Verhältnisse nicht anders erklären, als durch die Annahme, daß die Membran erst verhältnismäßig spät gebildet oder wenigstens verdickt wird und daß der Prozeß an der Ansatzstelle beginnt, um nach vorn fortzuschreiten. Bei den anden Formen ist mir nie etwas ähnliches aufgefallen, vielmehr spielt sich hier der Vorgang in der Weise ab, wie ihn Istvanffy und Palinkas (1913 Taf. V Fig. 24—27) darstellen: Die Sporenmembran weist schon an der kleinsten Anschwellung der Trägerendigung die normale Dicke auf, sie ist in keinem Moment der Entwicklung dünner, und der Keimporus entsteht sekundär auf einer

<sup>1)</sup> Erst nach vollendeter Drucklegung meines Manuskriptes konnte ich mir die Arbeit von Caspary (1855) verschaffen, aus der hervorgeht, daß der richtige Name für die Plasmoparaart auf Umbelliferen *Pl. Umbelliferarum* (Caspary) Schroet. lautet. De Bary gebrauchte 1863 in der ausführlichen Beschreibung auch diesen Namen, in der Zusammenstellung der Diagnosen am Schluß aber den seither gebräuchlichen *Pl. nivea*. Leider ist es mir nicht mehr möglich, den Namen in meiner Arbeit zu ändern.

noch nicht näher erforschte Art und Weise. Es wäre zu wünschen, daß dieser Vorgang klar gelegt würde, da bei dieser Arbeit sich vielleicht Beziehungen zwischen der Art der Keimung und dem Auftreten des Porus zeigten.

Alle diese genauen Untersuchungen über den Reifegrad der Konidien wären nicht notwendig, wenn die Größenunterschiede von Wirt zu Wirt erheblich wären. Das ist aber wenigstens in dem Sinne nicht der Fall, als Extreme, die wohl ziemlich weit auseinander liegen können, durch alle möglichen Zwischenstufen auf anderen Wirten miteinander verbunden werden in „gleitender Reihe“. Dieses Vorhandensein von Formen, die sich nur sehr wenig in ihrer Konidiengröße voneinander unterscheiden, ist es, die eine geringe Anzahl von Messungen absolut ungenügend erscheinen läßt, und die Gäumann (1918) dazu führte, ein großes Material nach den Prinzipien der Variationsstatistik zu behandeln, damit er über die individuellen Schwankungen hinweg zu vergleichbaren Mittelwerten komme. Da er in seiner Arbeit die Kritik dieser Methode in ihrer Anwendung für unsern Zweck eingehend durchgeführt hat, kann ich mich dabei kurz fassen und nur hinzufügen, daß der Einfluß des Feuchtigkeitszustandes der Umgebung die Größe der Konidien weitergehend zu beeinflussen scheint, als das früher angenommen wurde, und das ist natürlich bei der Verarbeitung von Herbarmaterial sehr wichtig, von dem man meist nicht weiß, bei oder nach welcher Witterung die Sammlung desselben stattgefunden hat. Immerhin sind die Feuchtigkeitsverhältnisse der Natur selten so extrem, wie sie im Versuch erreicht werden können, und bei unsern Pilzformen übt die Feuchtigkeit einen ebenso großen Einfluß auf die Träger aus, so daß man an diesen ganz sicher erkennen kann, wenn das Wachstum des Pilzes in sehr feuchter Umgebung vor sich ging. Man wird dann natürlich solches Material bei der Messung ausschalten. — Die Präparate mit den Konidien, die die oben erwähnte Behandlung erfahren hatten, wurden gemessen mit Stufenmikrometerokular 2 und Objektiv 7 Leitz; die Verwendung eines Kreuztisches verhinderte die wiederholte Messung derselben Spore.

Betrachten wir nun die auf die angegebene Weise erhaltenen Resultate. Wir können das tun einerseits durch Vergleichung der Mittelwerte, anderseits durch Vergleichung der beim Messen erhaltenen Kurven selber. Die verschiedene Zahl der Messungen ist bedingt durch das mir zur Verfügung stehende Material: mein Bestreben war immer, 1000 Sporen zu messen; aber die Schonung des mir überlassenen Herbarmaterials machte oft eine weitgehende Beschränkung notwendig. (Ich darf vielleicht an dieser Stelle darauf hinweisen, daß es erwünscht wäre, wenn in den Exsikkatensammlungen das Material nicht allzuspärlich bemessen wäre: für 1000 Messungen sind je nach der Dichte des Rasens und der Anzahl der reifen Sporen eben mehrere Präparate notwendig.) Der Vergleich

der Kurven hat gegenüber dem der Mittelwerte den Vorteil, daß man der Kurve sofort bis zu einem gewissen Grad ihre Zuverlässigkeit ansehen kann in ihrer Symmetrie. Es ist ja sonst im allgemeinen Vorsicht geboten in solchen Schlüssen aus der Gestalt der Kurve, und Johannsen (1913) fordert eindringlich die biologische Analyse derselben, resp. des Materials. Damit steht es nun in unserm Fall sehr schlimm. Eine erste Bedingung für die Durchführung derselben ist die Möglichkeit künstlicher Zucht unserer Pilze, die bisher noch nie gelang; denn nur in künstlicher Zucht können wir die Formen unter gleiche Bedingungen bringen. Und das zweite Hindernis ist die Schwierigkeit, die Oosporen

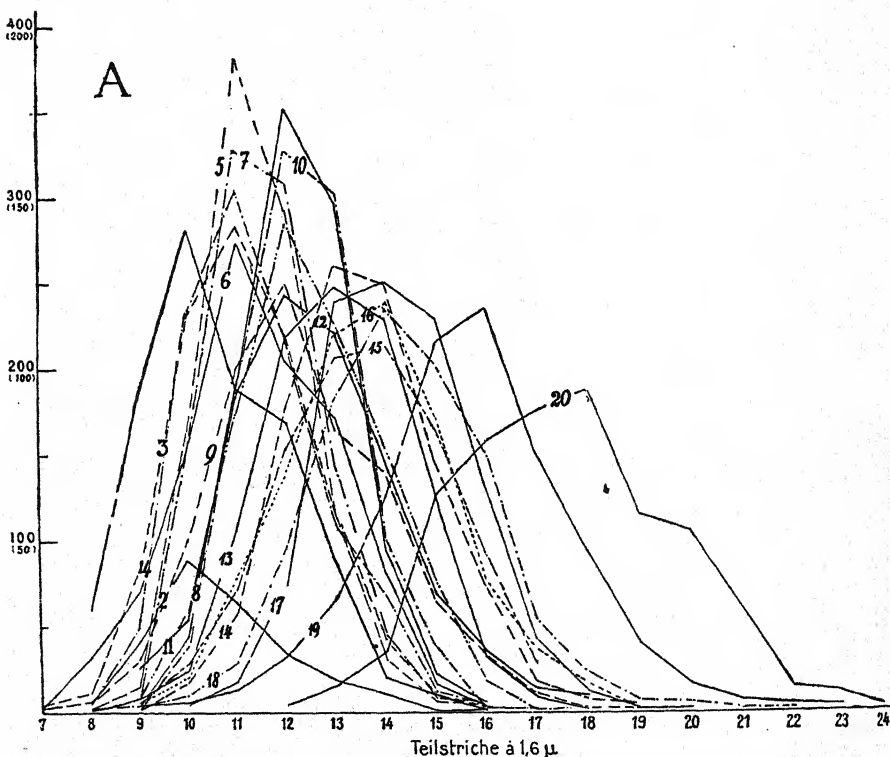


Fig. 1A. *Plasmopara nivea*, Längenkurven der Konidien auf den in der Aufstellung auf S. 258 verzeichneten Wirten.

(Die Nummern der Kurven entsprechen den laufenden Nummern jener Aufstellung. Die nicht eingeklammerten Zahlen des Maßstabes links beziehen sich auf die Kurven, denen 1000 Messungen zugrunde liegen, die eingeklammerten auf diejenigen von 500 oder weniger Messungen.)

zur Keimung zu veranlassen. Erst wenn beide überwunden sind, können wir daran gehen, eine gründliche systematische Bearbeitung durchzuführen. Anderseits darf man aber wahrscheinlich doch annehmen, daß wir auf dem gleichen Wirt etwas vor uns haben wie eine reine Linie, für deren

Reinhaltung der Wirt sorgt. Die Annahme ist allerdings vollständig hypothetisch, und es ist wohl möglich, daß es später unsfern jetzt aufgestellten kleinen Einheiten geht wie den bisherigen Arten; aber wenn wir

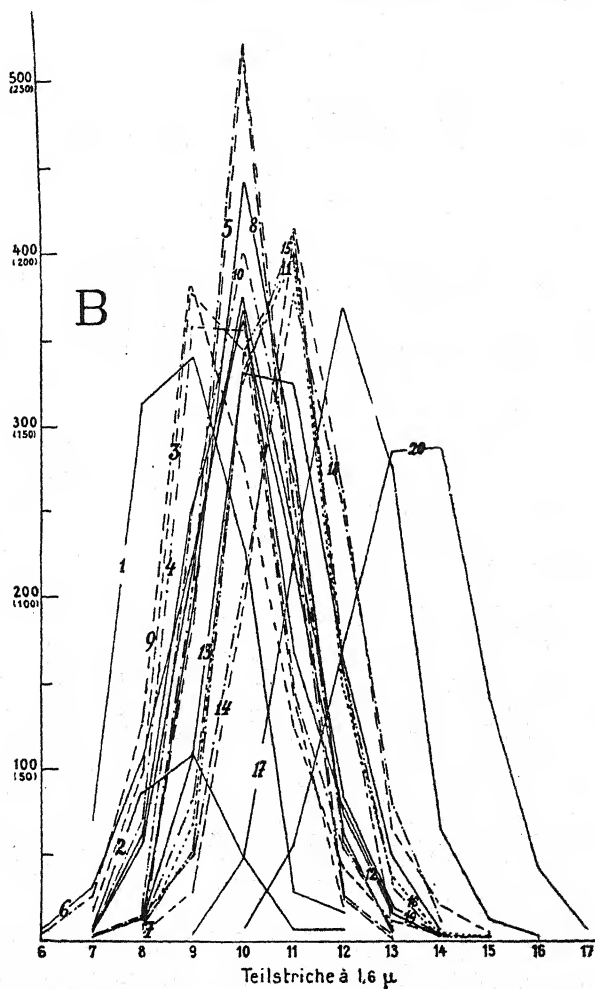


Fig. 1B. *Plasmopara nivea*, Breitenkurven auf verschiedenen Wirten.  
(Siehe die Erklärung der Fig. 1A.)

vorläufig mit jener Annahme rechnen, so erlaubt die Gestalt der Kurve gewisse Schlüsse, z. B. über die Beschaffenheit des gemessenen Materials. Unter der Voraussetzung, daß die ideale Kurve symmetrisch sei (über ihre genauere Beziehung zur binomialen ist damit noch nichts gesagt), können wir aus einer Ausbauchung nach links, wie sie z. B. vorkommt bei *Angelica refracta* (Längenkurve No. 20 Fig. 1A) schließen, daß hier zu viele

junge Sporen gemessen wurden. Es ist also bei der Vergleichung mit andern Mittelwerten der für unsere Form berechnete eher als kleiner zu betrachten, wie der tatsächliche. Es spiegelt sich in der Gestalt dieser Kurve die Unsicherheit in der Bestimmung des Reifegrades, die trotz des früher über diese Form mitgeteilten nicht leicht zu sein scheint. Die Betrachtung der Kurve kann also dazu dienen, die Zuverlässigkeit des Mittelwertes bis zu einem gewissen Maße zu beurteilen. — Es ist bei Mittelwerten, die man auf die angegebene Weise erhalten hat, Usus, den mittleren Fehler hinzuzufügen. Wir haben darauf verzichtet, weil die Ungenauigkeiten, die ihren Grund in mechanischen Fehlerquellen haben

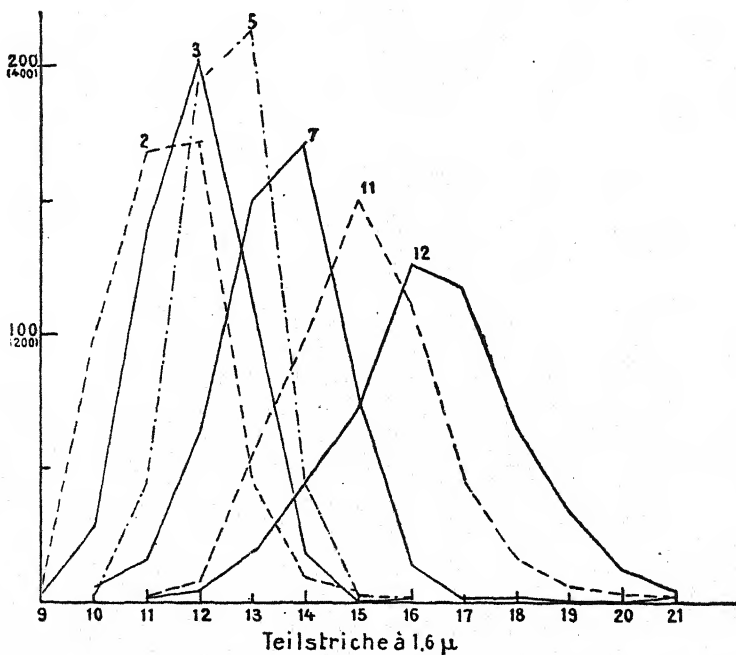


Fig. 2. *Plasmopara pygmaea*, Längenkurven der Konidien auf den in der Aufstellung auf S. 259 verzeichneten Wirten.

(Die Nummern der Kurven entsprechen den laufenden Nummern jener Aufstellung. Die nicht eingeklammerten Zahlen des Maßstabes links beziehen sich auf die Kurven, denen 500 Messungen zugrunde liegen, die eingeklammerten auf diejenigen von 1000 Messungen. Die Kurven der Formen, wo weniger als 500 Messungen vorliegen, sind weggelassen.)

(Bestimmung des Okularmultiplikators, Unsicherheiten beim Messen usw.), viel größer sind als der mathematische mittlere Fehler. Für die weitere Diskussion der Fehlerquellen und der ganzen Arbeitsweise verweise ich auf Gäumann (l. c.). Die Figuren 1, 2, und 3 zeigen die erhaltenen Kurven für die 3 gemessenen *Plasmopara*-Arten; bei der Beurteilung derselben ist immer die Anzahl der Messungen zu berücksichtigen, die aus

der folgenden Aufstellung ersehen werden kann; auf den Figuren wurden die Kurven oft ungleich stark reduziert, damit eine gute Vergleichung möglich sei; es kommt dabei auf das gleiche heraus, ob man sich, z. B. in Fig. 1, vorstellt, die Kurven von 1000 Messungen seien auf 500 reduziert oder die von 500 Messungen auf 1000 erweitert worden. Ein Blick auf die Aufstellung auf S. 259 zeigt die Zahl der Messungen jeder Form.

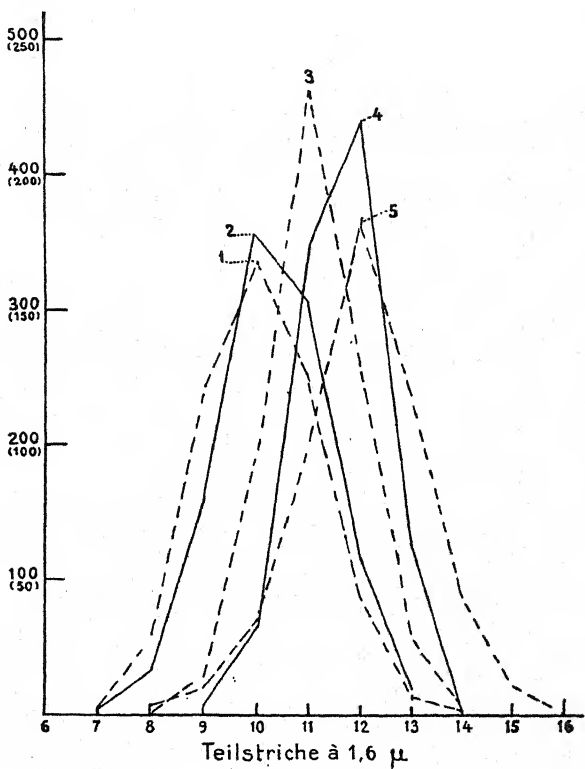


Fig. 3. *Plasmopara dense*, Längenkurven der Konidien auf den in der Aufstellung auf S. 259 verzeichneten Wirten.

(Die Bedeutung der Zahlen des Maßstabes links stimmt mit der in Fig. 1 überein.)

Die laufenden Nummern der nachfolgenden Aufstellung entsprechen den Bezeichnungen der Kurven in den Figuren. (Die gleichen Bezeichnungen tragen auch die Trägerbilder in den Tafeln I und II.) Die Aufstellung stimmt ziemlich überein mit der in meiner vorläufigen Mitteilung (Wartenweiler 1917) gegebenen, nur wurde die Angabe des Breitenindex hinzugefügt, den wir mit Johannsen (1913, S. 169) definieren als 100 Breite : Länge. Ebenso sind hinzugefügt der Ursprung des gemessenen Materials und die seither neu erhaltenen Werte:

I. *Plasmopara nivea* (Ung.) Schroet.

No.	Wirt mit Quellenangabe	Zahl der Messungen	Länge μ	Breite μ	Breiten- index
1.	<i>Selinum carvifolia</i> L. Sydow, Phycomyceten et Protomyceten, No. 229 . . . . .	500	16,99	14,21	83,63
2.	<i>Sium lancifolium</i> M. B. Herb. Treboux, Charkow, 10. V. 10 .	131	17,14	14,25	83,13
3.	<i>Pimpinella major</i> (L.) Hudson Herb. Mayor . . . . .	1000	17,90	15,29	85,42
4.	<i>Aegopodium Podagraria</i> L. Herb. Mayor . . . . .	1000	18,17	15,60	85,84
5.	<i>Pastinaca sativa</i> L. Worblaufen VII. 1916 . . . . .	1000	18,31	16,15	88,20
6.	<i>Archangelica officinalis</i> Hoffm. Sydow, Phycomy. et Proto- myc., No. 120 . . . . .	500	18,32	15,71	85,75
7.	<i>Osmorhiza aristata</i> Mak. et Yabe Ex. No. 196, leg. Miura, May 7, 1907 . . . . .	500	18,58	16,12	86,75
8.	<i>Daucus Carota</i> L. Perreux, 3. X. 17, leg. Wartenweiler, Herb. d. bot. Inst. Bern . . . . .	500	19,63	16,32	83,13
9.	<i>Angelica silvestris</i> L. Herb. Mayor . . . . .	1000	19,65	15,25	77,60
10.	<i>Apium graveolens</i> L. Perreux, 28. VIII. 17, leg. Mayor Herb. d. bot. Inst. Bern . . . . .	500	19,78	16,19	81,85
11.	<i>Anthriscus Cerefolium</i> Hoffm. Herb. Mayor . . . . .	1000	20,04	17,19	85,77
12.	<i>Seseli gummiferum</i> . Sydow, My- coth. Marchica, No. 3064 . .	500	20,18	16,06	79,58
13.	<i>Anthriscus silvester</i> Hoffm. Herb. Mayor . . . . .	1000	20,90	17,12	81,91
14.	<i>Ligisticum Mutellina</i> (L.) Crantz Herb. Mayor . . . . .	1000	21,61	17,93	82,97
15.	<i>Palimbia salsa</i> . Sydow. Mycoth. Marchica, No. 3065 . . .	500	21,70	17,05	78,57
16.	<i>Foeniculum vulgare</i> Miller. Herb. Mayor . . . . .	1000	21,87	17,21	78,69
17.	<i>Conium maculatum</i> . Rabenh. Fungi europaei. No. 1743. . .	500	22,78	19,40	85,16
18.	<i>Laserspitum latifolium</i> L. Herb. Mayor . . . . .	1000	22,89	17,73	77,59
19.	<i>Peucedanum palustre</i> (L.) Mönch. Lobsigensee, 3. VIII. 16, leg. Wartenweiler, Herb. bot. Inst. Bern . . . . .	1000	25,03	16,19	64,68
20.	<i>Angelica refracta</i> Fr. leg. Miura, May 22, 07 . . . . .	500	28,00	21,48	76,72

II. *Plasmopara pygmaea* (Ung.) Schroet.

No.	Wirt mit Quellenangabe	Zahl der Messungen	Länge $\mu$	Breite $\mu$	Breiten-index
1.	<i>Anemone canadensis</i> . North Dakota Fungi, No. 461 . . . . .	50	18,21	16,82	89,62
2.	<i>Anemone caroliniana</i> Walt. Ascomycetes and Lower Fungi. G. W. Wilson & F. J. Seaver, No. 66 . . . . .	500	18,24	16,22	88,92
3.	<i>Isopyrum thalictroides</i> . Fungi Schemnitzienses, 17. V. 88 . . . . .	500	19,05	16,88	88,61
4.	<i>Thalictrum alpinum</i> L. Lappland, 10. VIII. 17, leg. Gäumann. Herb. bot. Inst. Bern . . . . .	84	20,02	16,40	81,92
5.	<i>Atragene alpina</i> L. Sydow, Phyc. et Protomyc., No. 230 . . . . .	500	20,03	17,77	88,71
6.	<i>Anemone ranunculoides</i> L. Vestergren, Micromycetes rariores selecti, No. 1531 a . . . . .	31	21,52	19,15	88,98
7.	<i>Anemone Hepatica</i> L. Herb. Mayor . . . . .	1000	21,66	19,50	90,03
8.	<i>Anemone quinquefolia</i> L. Fungi Columbiani, E. Bartholomew, No. 3448 . . . . .	62	22,16	18,78	84,52
9.	<i>Anemone Raddeana</i> Rgl. Ex., No. 198, leg. Miura, May 11, 06	35	22,22	19,70	88,66
10.	<i>Anemone flaccida</i> . Sydow, Fungi exoticci exsiccati, No. 358 . . .	33	22,64	20,17	89,81
11.	<i>Anemone alpina</i> L. Herb. Mayor . . . . .	1000	24,15	20,48	84,80
12.	<i>Anemone nemorosa</i> L. Herb. Mayor . . . . .	1000	26,12	20,67	79,13

III. *Plasmopara densa* (Rabh.) Schroet.

No.	Wirt mit Quellenangabe	Zahl der Messungen	Länge $\mu$	Breite $\mu$	Breiten-index
1.	<i>Euphrasia Rostkoviana</i> Hayne. Herb. Mayor . . . . .	1000	16,14	13,41	83,08
2.	<i>Euphrasia Odontites</i> L. Herb. Mayor . . . . .	1000	16,57	14,31	86,36
3.	<i>Alectorolophus hirsutus</i> All. Herb. Mayor . . . . .	1000	17,85	16,13	90,36
4.	<i>Alectorolophus parviflorus</i> Wllr. Fungi Eichleriani Lfg. II, No. 36	500	18,91	16,27	85,51
5.	<i>Alectorolophus minor</i> Wimm. & Grab. Herb. Mayor . . . . .	1000	19,81	17,01	88,09

Ich verzichte auf einen weitläufigen Kommentar dieser Werte und der Kurven und will nur aufmerksam machen auf den Breitenindex von *Pl. nivea* auf *Peucedanum palustre* (19), der von den andern, die sich innerhalb enger Grenzen bewegen, beträchtlich abweicht. Der kleine Wert für die Konidien der genannten Form sagt uns, daß diese viel länglicher sind als die andern, indem ein Breitenindex von 100 runden, ein größerer in die Breite gezogenen Formen entspricht, während ein kleinerer der Ausdruck ist für Formen, deren Längsachse die größte ist, und zwar wird diese mit sinkendem Breitenindex immer größer im Verhältnis zur Breite. Der kleine Index der Form auf *Peucedanum palustre* deutet also an, daß die Konidien derselben viel länglicher sind als alle andern. Man kann das auch aus der Lage der Kurven (Fig. 1 Kurve 19) erkennen: während im allgemeinen (z. B. bei Kurve 20) einer stark rechts liegenden Längskurve eine ebensolche Lage der Breite entspricht, ist dem bei *Peucedanum palustre* nicht so: einer rechts außen liegenden Längskurve entspricht eine Breitenkurve von ziemlich mittlerer Lage. Bis zu einem gewissen Grade läßt sich diese Abweichung aus den Außenbedingungen verstehen, indem ich in Feuchtigkeitskulturen von *Anthriscus silvester* manchmal anormal lange Konidien fand und *Peucedanum palustre* an feuchten Standorten lebt; aber die Abweichung scheint mir entschieden weiter zu gehen als die so erklärbaren.

## 2. Konidienträger.

Die Unterschiede zwischen den Trägern auf den verschiedenen Wirten suchte ich dadurch festzustellen, daß ich von jedem Wirt eine große Anzahl mit dem Zeichenapparat zeichnete; aber das Resultat war nicht erfreulich: bei einigermaßen starker Vergrößerung können die Verästelungen nicht alle bei der gleichen Einstellung gesehen werden; verschiebt man aber diese, so bewegen sich gewöhnlich die Ansatzpunkte, so daß die Kontinuität der Linien gestört wird. Auch wird sich der Zeichner nur allzuleicht in Unterschiede „hineinzeichnen“, wenn er schließlich vieles doch von freier Hand ergänzen muß. Ich hegte daher immer stärker den Wunsch, eine naturgetreuere und objektivere Darstellung zu finden, und schließlich erwies sich die Mikrophotographie als gangbarer Weg, nachdem die Färbung der Träger sich als gut durchführbar gezeigt hatte. Subjektiv ist bei diesem Verfahren nur noch die Auswahl der zu photographierenden Träger; das ist immerhin auch noch ein wichtiger Punkt; denn auch die Trägerformen sind, so deutlich die Unterschiede sich am typischen Beispiel zeigen mögen, durch Übergänge miteinander verbunden, und man kann es wohl als möglich bezeichnen, von allen *Plasmopara*-Arten, ja vielleicht sogar auch von allen Peronosporeen einzelne Träger zu finden, die mit ebenso ausgewählten anderer Arten ziemlich genau übereinstimmen. Es wird das vor allem dann möglich sein, wenn man sich verschiedener Feuchtigkeitsverhältnisse bei der Kultur bedient. Die

Auswahl der zu photographierenden Objekte ist also doch noch ein wichtiger subjektiver Punkt, und sie wird oft auch noch beeinflußt durch das Bestreben, nicht allzu große und verzweigte Träger abzubilden, weil hier das hindernd in den Weg treten würde, was wir schon beim Zeichnen als Hindernis empfanden. Nun sind allerdings die Träger der *Plasmopara*-Arten einfacher gebaut als die der meisten *Peronospora*-Arten, so daß die Schwierigkeiten nicht allzu groß waren, auch wenn man sich eifrig bemühte, den beiden genannten Fehlern auszuweichen. Es war denn auch bei vielen Formen sogar eine 300fache Vergrößerung möglich, andere erlaubten nur eine 200fache, und die später zu besprechenden Träger vom Peronosporatypus konnten eben wegen dieser Habituseigentümlichkeit (Dichotomie des Hauptstammes mit ziemlich tiefer Teilung) nur 110fach vergrößert werden, wenn die beiden sich oft gegenseitig umwindenden Äste des Hauptstammes in die gleiche Bildebene fallen sollten. Für die gute Durchführung der Mikrophotographie bin ich Herrn Scharschawski, Mikrophotograph in Bern, sehr verbunden.

Auf Tafel I sind die Träger von *Pl. nivea* von den mir erreichbaren Wirten zusammengestellt; nur unter dem Material von *Sium lancifolium* fand ich keinen, der sich zu 300facher Vergrößerung geeignet hätte wie die andern<sup>1)</sup>. Beim Vergleichen der Formen fällt einem zuerst die Verschiedenheit in der Größe auf. Aber gerade die Höhe der Träger ist ein Charakter, der mit sehr viel Vorsicht beurteilt werden muß; denn unter verschiedenen Feuchtigkeitsbedingungen ist es ein Leichtes, verschieden hohe Träger auf dem gleichen Wirt zu bekommen. Die Fig. 4 der Tafel I zeigt ja nebeneinander aus der gleichen Spaltöffnung herauskommend zwei Träger, von denen der eine nur halb so hoch ist als der andere. Es wurde aus diesem Grund nicht ein Hauptaugenmerk darauf gerichtet, daß die abzubildenden Träger in ihrer ganzen Länge erhalten seien: war die Krone charakteristisch und gut ausgebildet und wollte sich ein vollständiger Träger nicht finden, so begnügte ich mich schließlich auch mit Formen, die wie die Fig. 9 nur die erstere zeigen. Trotz dieser Mannigfaltigkeit der Höhe scheint es mir nach langer Beobachtung aber doch, daß die Kleinheit der Träger z. B. von *Conium maculatum* (Tafel I Fig. 17), *Laserpitium latifolium* (I, 18) und *Angelica refracta* (I, 20) nicht zufällig sei.

Die gleiche Abhängigkeit von den Außenbedingungen, namentlich von der Feuchtigkeit, sehen wir auch in der Stärke der Verzweigung; aber auch in dieser Beziehung scheinen mir gewisse Typen im ganzen doch charakteristisch und sind von den andern Formen auch bei Beachtung jenes Umstandes deutlich zu unterscheiden. Trotzdem ich bemüht war,

<sup>1)</sup> Die Publikationsschwierigkeiten machten eine Beschränkung der Bilder notwendig; es wurden daher einige Träger, die keine besondern Eigentümlichkeiten zeigten, beim Druck weggelassen; der Vergleich der Figurennummern mit denen der Aufstellung auf S. 258 zeigt, welche Formen in Betracht kommen.

dem Allgemeinhabitus sich möglichst nähernde Typen von *Anthriscus Cerefolium* (I, 11) und *A. silvester* (I, 18) zu finden und abzubilden, so erkennt man dennoch diese beiden Formen vor den andern unschwer daran, daß ihre Verästelung sehr spärlich ist mit kurzen Ästchen. Das Bild von *A. Cerefolium* kommt dabei dem in der Natur am häufigsten anzutreffenden Habitus entschieden näher. Unsere Beobachtungen stimmen in dieser Beziehung gut zu denen, die Mangin (1895 p. 94—95) an *Pl. nivea* gemacht hat: seine Fig. 10 I stellt einen Träger auf dem „Cerfeuil“ dar, der sich von denen auf „Panais“ und „Angélique“ (Fig. 10 II resp. III 1. c.) auch durch seine Schmächtigkeit und Armästigkeit unterscheidet. Hingegen weisen unsere Figuren der Formen von *Pastinaca sativa* und *Angelica silvestris* (Taf. I Fig. 5 resp. 9) lange nicht die Unterschiede auf, auch ist die Stärke der Verästelung bei unsren Bildern eher umgekehrt verteilt als bei Mangin, und seine Größenunterschiede zeigen unsere Bilder nicht. Wir werden es also in letzterem Fall mit Einflüssen der Außenbedingungen zu tun haben, auf die Mangin auch aufmerksam macht; aber auch auf seinen Bildern ist der Unterschied zwischen den beiden letzteren Formen und dem „Cerfeuil“ weit größer und charakteristischer als der zwischen jenen Formen selber, so daß ich nach eingehendem Studium von Material verschiedenster Herkunft doch an spezifische Eigentümlichkeiten der beiden *Anthriscus*-Formen glaube. Ebenso wenig zufällig sind die Abweichungen, die die Bilder von *Conium maculatum* (I, 17) und *Laserpitium latifolium* (I, 18) zeigen: die Träger der erstenen Form sind fast durchwegs noch spärlicher verzweigt und kleiner als die der *Anthriscus*-arten, und die von *Laserpitium* weisen überhaupt nicht mehr den Habitus der *Pl. nivea* auf, wie die Fig. 5 und 6 der Tafel III lehren, die einen Vergleich von typischen Trägern der Art (Fig. 6) mit denen von *Laserpitium* (Fig. 5) erlauben. Die Ähnlichkeit mit den in der gleichen Tafel abgebildeten Trägern von *Pl. densa* (III, Fig. 1 und 2) ist sogar weit größer, und sie wird noch vermehrt durch das gelegentliche Auftreten ziemlich dichotom geteilter Typen auch bei der Form auf *Laserpitium*. Wir werden der sehr interessanten Form im biologischen Teil wieder begegnen.

Ich muß hier noch kurz auf einen Irrtum von Alfred Fischer (1892) aufmerksam machen, der p. 429 die Länge der Träger von *Plasmopara nivea* als durchschnittlich 55  $\mu$  angibt. So kleine Formen gehören aber zu den seltesten Ausnahmen und zeigen ohne weiteres den Charakter von Mißbildungen. Der Fehler hat seinen Weg auch in die Flora von Migula gefunden (Migula 1910 p. 159) unter kleiner Variation „etwa 60  $\mu$  lang“. Berlese (1902 p. 88) gibt die Höhe richtiger an, zu 150—300  $\mu$ . *Pl. nivea* gehört nach ihm demnach nicht zu den *Supinae* Alfred Fischers, wo dieser sie eingereiht hatte. Ebenso wenig aber darf man sie wie Wilson (1907 p. 399) zu den Formen stellen, die durchschnittlich über 300  $\mu$  hoch sind; die durchschnittliche Höhe der Formen auf *Conium* und *Laserpitium*

liegt unter 200  $\mu$ . Jede derartige Einteilung ist überhaupt unmöglich angesichts der Tatsachen.

Weit größer sind die Unterschiede zwischen den Trägern der *Plasmopara pygmaea* auf ihren verschiedenen Wirten, die auf Tafel II in 200-facher Vergrößerung dargestellt sind, da sich die 300fache für diese Formen nicht als geeignet erwies, wegen der Dicke des Trägerstammes und besonders wegen eines Charakters dieser Art, der auf den meisten unserer Bilder deutlich zum Ausdruck kommt: fast in allen Fällen tritt aus einer Spaltöffnung ein ganzes Büschel von Trägern heraus. Die Verschiedenheit der Trägertypen drängt sich beim ersten Anblick der Bilder auf. Die Figuren 1 und 2 könnte man zur Not noch verwechseln mit den Trägern der *Pl. nivea*, die Fig. 8 und 12 aber zeigen einen ganz andern Habitus, den man bis jetzt für charakteristisch für unsere Art hielt. (Vgl. A. Fischer 1892 Fig. 69 a und Berlese 1902 Fig. 10). Die Verschiedenheit der Träger ist aber für einige Formen schon lange bekannt. Caspary (1855 cit. n. De Bary 1863) trennte auf Grund von Trägercharakteren seine *Peronospora Hepaticae* auf *Anemone Hepatica* von der *P. pygmaea* auf *Anemone nemorosa* und *ranunculoides*; De Bary aber unterschied die Varietäten *vulgaris* und *elongata*, welch letztere sich durch 1—4 Zweige unter dem Scheitel von der dieser Zweige entbehrenden ersteren auszeichnet. Nach seinen Beobachtungen aber sollen die beiden „Varietäten“ auf allen 3 *Anemone*-Arten vorkommen; Casparys *P. Hepaticae*, die ungefähr der var. *elongata* De Barys entspricht, wäre also nicht eine selbständige Art. Mir scheint in diesem Fall Caspary doch recht zu haben; denn wenn als Ausnahme auch auf *Anemone nemorosa* und *A. ranunculoides* verzweigte Träger vorkommen, so sind sie auf *A. Hepatica* viel häufiger. Ob Casparys Art wieder zu Ehren kommen soll, hängt ab von dem Resultat von Infektionsversuchen. Die starke Verzweigung, die nicht dem offiziellen *pygmaea*-Typus entspricht, ist aber nicht auf *A. Hepatica* allein zu finden; auch *A. canadensis* (II, 1) und *A. caroliniana* (II, 2), etwas weniger ausgeprägt auch *Atragene alpina* (II, 5) und *Anemone Raddeana* (II, 9) weisen sie auf. Natürlich besteht hier wieder einige Abhängigkeit des Verzweigungsgrades von den Feuchtigkeitsverhältnissen; aber es ist kaum anzunehmen, daß die sehr charakteristischen Verschiedenheiten nur diese Ursache haben. Man könnte zur Not an eine derartige Erklärung des verschiedenen Verzweigungsgrades denken; aber auch wenn wir von diesem ganz absehen, können wir Formen, wie sie durch die Figuren 1 und 3 der Tafel II dargestellt werden, leicht unterscheiden durch einen andern Charakter: die Gestalt der letzten Auszweigungen. In meiner vorläufigen Mitteilung (Wartenweiler 1917) habe ich einige Maße dieser letzten Auszweigungen gegeben. Es zeigte sich beim Messen deutlich, daß die extremen Formen derselben in ihrer Länge wie in ihrer Dicke ziemlich weit auseinander liegen, durch Mittelformen auf andern Wirten aber mehr oder weniger verbunden werden in gleitender Reihe.

Diese Unterschiede sind kaum durch Verschiedenheit der Außenbedingungen zu erklären. Sonst wäre ihre Konstanz auf den einzelnen Wirten ein Rätsel.

Wie sehr die Höhe der Träger durch ihr Alter und die Bedingungen modifiziert werden kann, zeigen wiederum die Figuren selber, wo wir z. B. in Fig. 9 Taf. II einzelne Träger sehen, die nur halb so hoch sind wie die andern. Daher wird man solchen Größenunterschieden kein großes Gewicht beilegen dürfen, und der Vergleich von Fig. 4 mit Fig. 3 oder 10 zeigt, daß Alfred Fischer wohl recht hat, wenn er (1892 p. 431) die Vermutung ausspricht, Johansons *Peronospora alpina* möchte höchstens eine kleine Form der *Pl. pygmaea* sein. Es ist wohl möglich, daß unter zahlreicherm Material als es mir durch die Güte von Herrn Dr. Gämänn zur Verfügung stand, größere Träger der *Pl. alpina* zu finden gewesen wären. Auf alle Fälle unterscheidet sich diese Form in denselben nicht erheblicher von den andern als diese unter einander. Ich würde sie daher vorläufig wieder der *Pl. pygmaea* einverleiben nach dem Vorschlage Alfred Fischers.

Nur ganz kurz und vorläufig will ich hier die in der Einleitung angedeutete Ablehnung der Wilsonschen Aufteilung der Gattung *Plasmopara* Schroeter an einem Beispiel begründen. Nach Wilson gehört die eben beschriebene Art in seine engere Gattung *Plasmopara*, die sich von seinem Genus *Rhysotheca* unter anderem auch dadurch unterscheiden soll, daß der Verzweigungsmodus ihrer Träger „more nearly dichotomous“ ist als der monopodiale der *Rhysotheca*-Formen (Wilson 1907 p. 398). Ein Blick auf die Tafel II genügt, um die Unhaltbarkeit dieser Ansicht außer Zweifel zu stellen. Auf weitere Widersprüche werden wir in der angekündigten späteren Arbeit zu sprechen kommen.

Von *Plasmopara densa* gebe ich nur die Bilder der Träger von zwei Wirten, die besonders interessant sind. Betrachten wir die Fig. 1 der Tafel III, so bemerken wir links 2 Träger, die recht stark an die von *Pl. nivea* erinnern in ihrer Verzweigungsart. Der quer liegende etwas mehr rechts aber weicht von diesem Typus ganz beträchtlich ab, indem seine Hauptaxe ziemlich weit unten geteilt ist in zwei ungefähr gleich starke Seitenzweige, und die gleichen Verhältnisse zeigt der äußerste Träger rechts, nur verdecken sich in diesem Fall die Seitenzweige gegenseitig. Die gleichen Verhältnisse, die diese Figur für *Euphrasia nemorosa* zeigt, sehen wir in Fig. 2 dargestellt für *Alectorolophus parviflorus*: links und rechts außen dichotome Typen, wobei sich besonders links die beiden Seitenzweige bedecken, und in der Mitte einige Beispiele der monopodialen Verzweigungsart. Das Vorhandensein der dichotomen Typen erlaubte nur eine 110fache Vergrößerung, da sonst die beiden Zweige nicht in die gleiche Bildebene gefallen wären. Was bedeutet nun dieses Vorkommen der beiden Typen nebeneinander? In jeder Pilzflora wird man finden, daß dichotom verzweigte Träger charakteristisch seien für die Gattung *Peronospora* im Gegensatz zu *Plasmopara* mit monopodialen Trägern. Aus dem daraus erwachsenden Widerspruch kämen wir auch dann nicht her-

aus, wenn sich die Form auf *Euphrasia* mit *Peronospora lapponica* identifizieren ließe, was wegen der Färbung der Konidien, dem Verzweigungsgrad und der Oosporenbeschaffenheit nicht möglich ist, was hingegen das Vorkommen eines Keimporus in beiden Fällen erlaubte (Vgl. die Diagnose der *P. lapponica* in Alfred Fischer 1892 p. 472); denn dann hätten wir einfach mit *Peronospora*-Typen solche von *Plasmopara* vermischt, im andern Fall umgekehrt. Auch die Konsequenzen aus dieser Tatsache seien in der späteren Arbeit gegeben.

Ich habe darauf verzichtet, Trägerbilder von den andern mir zur Verfügung stehenden Wirten von *Pl. densa* zu geben, da sie nicht viel Neues zeigen; eine Annäherung an den dichotomen Typus ist in den meisten Fällen nicht zu erkennen. Für diesen Fall würde also die Wilsonsche Auffassung stimmen; die Formen genügen dann aber in anderen Punkten nicht seiner Diagnose der engeren Gattung *Plasmopara*.

De Bary (1863 p. 108) unterscheidet auch von *Pl. densa* 2 Varietäten, die denen der *Pl. pygmaea* genau entsprechen sollen und die auch nicht auf einzelne Werte beschränkt seien. Die Unterschiede sind aber nach meinen Beobachtungen hier lange nicht so groß wie dort und lassen sich leicht verstehen als Folgen verschiedener Außenbedingungen.

Wenn wir die großen Trägerverschiedenheiten ins Auge fassen, die uns die Tafeln deutlich machen, so können wir die Frage nicht unterdrücken, ob die Verschiedenheit der Träger von *Pl. pusilla* auf den europäischen Geraniumarten von denen der *Pl. Geranii* auf den amerikanischen größer sei als die hier innerhalb derselben Art gefundenen, und ob man also nach dem heutigen Stande der Dinge mit Recht diese beiden Arten voneinander unterscheide; ob nicht unter Umständen die Formunterschiede auf den europäischen oder amerikanischen Werten untereinander gleich groß oder größer seien als die zwischen den europäischen und den amerikanischen. Leider steht mir zur Lösung dieser Frage nicht genug Material zur Verfügung; schon die europäische Form scheint wenigstens bei uns sehr selten zu sein mit Ausnahme der Form auf *Geranium silvaticum*, und es bleibt zu untersuchen, ob nicht viele andere Angaben auf Mißverständnissen beruhen, sei es infolge Verwechslung der Werte — Magnus (1890 p. 6) gibt *Pl. pusilla* auf *Geranium pratense* an „sehr häufig auf Wiesen bei Davos“; an diesem Standort kommt aber die genannte *Geranium*-Art nicht oder nur äußerst selten vor, wohl aber häufig *G. silvaticum*, die sicher gemeint ist —, sei es infolge von Verwechslungen mit Imperfekten wie z. B. *Ramularia*, die makroskopisch ein täuschend ähnliches Bild geben. Letzteres scheint auch bei andern Formen nicht selten vorzukommen. So kann ich, trotzdem man das nach dem makroskopischen Aussehen nicht vermuten würde, keine Spur von *Pl. densa* finden auf No. 301 der *Mycotheca Rossica* von Tranzschel et Serebrianikow, die den Pilz auf *Pedicularis palustris* zeigen sollte, und auch in hiesiger Gegend habe ich manchmal diese Pflanze mitgenommen, da mir das Aussehen sicher dafür

zu bürgen schien, daß ich diesmal die *Pl. densa* gefunden hätte — und jedesmal war es nicht der Fall. Ganz gleich ging es mir oft mit *Bartschia alpina*, auf der *Pl. densa* auch vorkommen soll, und Herr Dr. Mayor, ein ausgezeichneter Pilzfinder, teilt mir mit, daß es ihm ebenso ergangen sei. Das will nicht unbedingt sagen, daß die betreffenden Literaturangaben falsch seien, es kann sich ja um lokalisierte Vorkommnisse handeln. Wir haben in der Schweiz trotz eifrigen Suchens auch nie eine *Plasmopara* auf *Melampyrum*-Arten finden können, und doch wird eine solche von Bucholtz (1909) so genau beschrieben, daß ein Irrtum nicht vorliegen kann. Das oben genannte Beispiel zeigt aber doch, daß manchmal etwas Mißtrauen gegenüber den Angaben auch bewährter Forscher am Platz und Nachuntersuchung dringend notwendig ist.

Trotzdem ich keine neue systematische Bearbeitung der Gattung *Plasmopara* vornehmen will, muß ich hier auf eine Bemerkung zurückkommen, die Otth über eine Form von *Pl. nivea* gemacht hat, da mir sein Originalmaterial zur Verfügung steht. Handschriftlich auf einem Herbarexemplar und nachher gedruckt auf den Etiketten zu Exsikkaten (No. 701 der schweiz. Kryptogamen von Wartmann und Winter als *Peronospora nivea forma Pastinaceae*) bemerkt nämlich der genannte Autor zu *Pl. nivea* auf *Pastinaca* (ich zitiere den gedruckten Text, der dem Sinn nach mit der handschriftlichen Bemerkung übereinstimmt): „De Bary scheint einigermaßen ungewiß zu sein, ob diese auf *Pastinaca* vorkommende *Peronospora* mit der *P. nivea* wirklich identisch sei, und hat, wie es scheint, so wenig als ich, die Oosporen derselben zu untersuchen Gelegenheit gehabt. Die blaß violettlilafarbigen Rasen stimmen auch nicht gut zu obigem Speziesnamen. Otth.“ Mir scheint, daß der Autor die Beobachtung an Herbarmaterial gemacht hat; denn an frischem konnte ich sie nicht bestätigen. Nun hängt aber die Farbe des Rasens an trockenem Material noch viel mehr als an frischem ab von der Dichte desselben, indem bei dünnem Stand der Bäumchen die Blattfarbe mehr hindurchschimmert und so ein Farbton wie der oben beschriebene entsteht. Die Dichte des Rasens aber hängt wenigstens zum Teil ab von den Außenbedingungen, die ja, wie wir sahen, die Größe und den Verzweigungsgrad der Bäumchen bestimmen, und es scheint mir sehr wahrscheinlich, daß auch die Zahl der pro Spaltöffnung austretenden Bäumchen mit den Feuchtigkeitsverhältnissen variiert, indem bei feuchtem Wetter das Myzel sich im Innern der Blätter viel reichlicher entwickelt und daher auch zu reichlicherer Fruktifikation imstande ist. Andererseits hängt aber die Rasendichte auch ab von der Zahl der Spaltöffnungen pro Flächeneinheit, und so bin ich denn nach genauer Untersuchung zu dem Resultat gekommen, daß man diese Merkmale nicht systematisch verwenden darf, zum mindesten nicht vor der Anstellung ausgedehnter Versuche zur Feststellung ihrer Abhängigkeit von äußeren Faktoren. Kommt man nach solchen zu dem Schluß, daß sie dennoch zu gebrauchen seien, so steht

die Form auf *Pastinaca* nicht allein da in ihrer Abweichung: die Rasen auf *Pimpinella major* sind noch weniger dicht, und auch auf andern Wirten, kann man Abweichungen vom gewöhnlichen Habitus bemerken. Ich lege aus dem gleichen Grund nicht viel Wert auf die Beschreibung der äußern Erscheinung der Pilze, wie sie z. B. Wilson gibt: sogar im Genus *Albugo* scheinen diese Charaktere nicht konstant zu sein, was schon die Widersprüche in der Literatur erwarten lassen<sup>1)</sup>.

Wir haben im Verlauf der Darstellung mehrmals aufmerksam gemacht auf den Einfluß der Außenbedingungen, auf die Gestalt der Konidienträger, Konidien und andere Pilzcharaktere. In einigen Fällen aber schien uns diese Erklärung doch nicht zu genügen wegen der Größe der festgestellten Verschiedenheiten in ihrer Spezialisation auf einzelne Wirte, und wir müssen daher nach anderen Erklärungen für diese Fälle suchen. Am naheliegendsten ist da die Annahme, daß der Wirt einen Einfluß ausübe auf die Gestalt des Pilzes. Allerdings sagt Ed. Fischer (1917 p. 14), daß es mit dem Tatsachenmaterial, das für eine solche Möglichkeit spreche, nicht glänzend bestellt sei, und in der Tat drängen die bisherigen Erfahrungen auf mykologischem Gebiet<sup>2)</sup> eine andere Erklärung auf: es möchte sich in unserem Fall handeln um spezialisierte Formen, die nicht nur in ihrem biologischen Verhalten sich unterscheiden, sondern auch morphologische Verschiedenheiten aufweisen. Die Entscheidung der Frage, welche Annahme in jedem Fall die richtige ist, kann nur gegeben werden durch Infektionsversuche. Ich war daher bemüht, solche auszuführen; aber wie schon in der Einleitung bemerkt, ergaben dieselben gar keine verwendbaren Resultate. Es ist aber ganz gut möglich, daß solche Versuche an einem andern Ort ohne große Schwierigkeiten ausgeführt werden können; denn es scheint mir immer wahrscheinlicher, daß die Eigenart des Wassers, das zur Verwendung kommt, einen entscheidenden Einfluß auf die Keimfähigkeit (und vielleicht auch auf die Art der Keimung!) ausübt, und zwar stellen die verschiedenen Arten jedenfalls verschiedene Ansprüche; für *Pl. nivea* schien mir das Berner Brunnenwasser geeigneter als gekochtes, während für *Pl. densa* das umgekehrte Verhalten wahrscheinlich ist.

<sup>1)</sup> Auch De Bary (1863 p. 50) machte aufmerksam auf die charakteristische Erscheinungsweise der *Pl. nivea* auf gewissen Wirten: „Ainsi le *P. Umbelliferarum* surtout quand il habite l'*Aegopodium Podagraria* paraît toujours former des glâques circonscrites qui ne s'étendent que peu et que lentement“. In der Tat tritt der Pilz auf diesem Wirt meist in dieser Erscheinungsweise auf; aber nicht selten fand ich ihn auch die ganzen Blattunterseiten überziehend. Die Erscheinungsweise ist wohl weniger bedingt durch einen Charakter des Pilzes als durch Feuchtigkeitsverhältnisse und Eigenschaften des Blattgewebes, das z. B. in verschiedenen Altersstadien verschieden großen Widerstand bietet.

<sup>2)</sup> und besonders bei der nah verwandten Gattung *Peronospora* (Gäumann 1. e.).

Nicht viel wertvoller als meine eigenen Versuche scheinen mir die Angaben Mangins (1895 p. 95) zu sein, der *Pl. nivea* von der „Angélique“ auf „Cerfeuil“ übertragen haben will. Wir erfahren da gar nichts über die Methode, so daß wir uns kein Urteil über die möglichen Fehler bilden können, und wer die Schwierigkeiten der Sache kennt, wird sehr skeptisch sein gegenüber gelegentlichen Versuchen.

Ebenso resultatlos waren meine Bemühungen, Pflanzen durch keimende Oosporen zu infizieren. Die Versuche wurden im Herbst 1916 eingeleitet nach der Methode, die v. Büren (1915 p. 36) als „Kistchenversuch“ beschrieben hat. Die wahrscheinliche Ursache des Mißerfolges soll im biologischen Teil diskutiert werden.

Schließlich könnte man zur Lösung unserer Frage Beobachtungen aus der Natur anführen, die aber nicht absolut beweisend sind und die wir darum übergehen, da wir die Frage so wie so offen lassen müssen.

## II. Beobachtungen über die Überwinterung von *Plasmopara nivea*.

Im Verlaufe der Untersuchung, die mich in engen Kontakt brachte mit den Pilzformen, die ich messen und mit denen ich Versuche machen wollte, bot sich Gelegenheit zu allerhand biologischen Beobachtungen, von denen die wichtigsten und die am aufmerksamsten verfolgten hier dargelegt werden sollen.

### 1. Perennierendes Myzel auf *Laserpitium latifolium*.

Herr Prof. Fischer machte zuerst die Beobachtung, daß an einem Standort dieses Wirtes in Wengen (Berner Oberland) einzelne Pflanzen an der Unterseite aller ihrer Blätter vollständig mit Pilzrasen von *Pl. nivea* bedeckt sind, während in nächster Nähe ganz gesunde Pflanzen vorkommen können, und er hatte die Güte, mich darauf aufmerksam zu machen, daß die Ursache dieses sonderbaren Verhaltens im Perennieren des Myzels liegen könnte. Ich suchte daher auf Handschnitten durch den Blattstiel nach Myzelpuren, war aber nicht imstande, solche aufzufinden. Daher fixierte ich am 12. Juli 1916 Stücke von Blattstielen in Chromessigsäure und färbte die hergestellten Mikrotomschnitte mit Chlorzinkjod, abermals ohne Erfolg. Im Frühjahr 1917 begann ich, da meine Bemühungen zur Beschaffung der von Mangin (1895 p. 64—65) empfohlenen spezifischen Myzelfarbstoffe wegen des Krieges ohne Resultat geblieben waren und die vorhandenen aus irgendwelchem Grunde den Anforderungen nicht entsprachen — Grüblers Orcein, das dem von Mangin empfohlenen Orseiline BB entsprechen soll, ist nicht in Wasser, sondern in Alkohol löslich —, Versuche mit andern Farben zu machen, und ich erhielt schließlich ganz anständige Präparate von Myzel in Blättern von *Anemone nemorosa*, indem ich die nach Mangin vorbehandelten Blattstücke 15 Minuten in eine Mischung von Bayrisch Blau und Orange legte. Eine Doppelfärbung kam dadurch allerdings nicht zustande; aber ich hatte doch den Eindruck,

daß sich bei dieser Mischung der blaue Farbstoff etwas weniger an die Zellbestandteile heftete und das Myzel daher etwas besser unterschieden sei. Ich versuchte nun die Färbung natürlich auch an meinen Schnitten, und ohne daß ich sie erst der komplizierteren Vorbehandlung unterwerfen mußte, bekam ich schon beim ersten Versuch deutliche Myzelstränge zu Gesicht, bei denen allerdings der Inhalt gefärbt war, und nicht die Wand, wie das nach der Manginschen Behandlung der Fall wäre. Die charak-

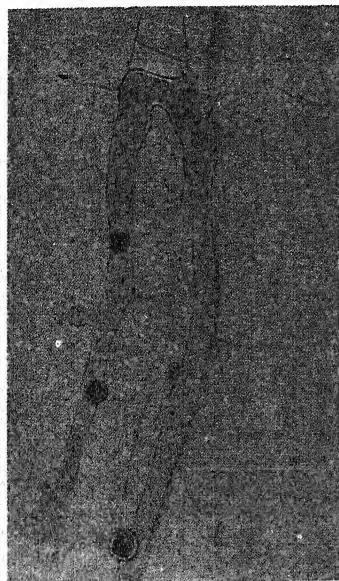


Fig. 4. Myzel von *Plasmopara nivea* im Blattstiel von *Laserpitium latifolium*, Längsschnitt.  
(Leitz Imm.  $\frac{1}{12}$ , Ok. 3; beim Druck auf  $\frac{1}{4}$  reduziert.)

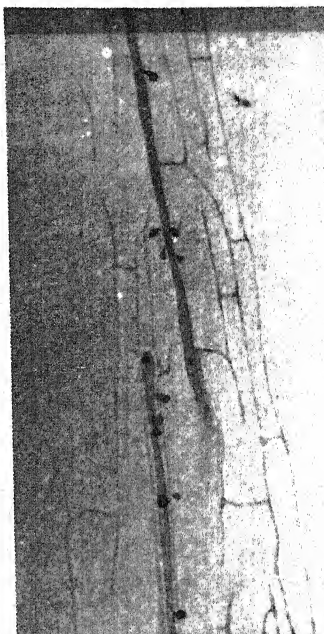


Fig. 5. Myzel von *Plasmopara nivea* im Blattstiel von *Laserpitium latifolium*, Längsschnitt.  
(Leitz Obj. 6. Ok. 3, auf  $\frac{1}{2}$  reduziert.)

teristischen bläschenförmigen Haustorien machten die Wahrscheinlichkeit groß, daß hier wirklich Myzelien der *Pl. nivea* vorlägen. Später gelang es mir auch mit den gebräuchlichen Farbstoffen deutliche Bilder zu erzielen, die allerdings wiederum nicht Doppelfärbungen lieferten, aber dennoch an Deutlichkeit nichts zu wünschen übrig ließen. Die Textfigur 4 z. B. zeigt eine Stelle, wo das Myzel im Gewebe des Blattstieles (Längsschnitt) deutlich hervorgehoben ist (Flemmings 3 Farben). Textfigur 5 demonstriert bei schwächerer Vergrößerung das Bild, das einem bei der Färbung mit Bayrisch Blau entgegentritt, und Textfigur 6 wieder stärker vergrößert einen Querschnitt durch die Stelle des Blattstieles, wo mit

Hämatoxylin gefärbte Myzel- und Haustorienquerschnitte deutlich zu sehen sind. In allen Fällen ist das Myzel streng interzellulär, und nur die Haustorien dringen in die Zellen ein. Dieser Umstand müßte natürlich auf Bildern, wo Myzel- und Zellwände verschieden gefärbt wären, ungleich besser sich zeigen lassen.

Am 18. Juni 1917 fand ich an dem genannten Standort wieder ziemlich viele infizierte Pflanzen, und ich fixierte diesmal nicht nur Stengelstücke, sondern auch Teile eines langen Rhizoms. Textfigur 7 zeigt die Orientierung der fixierten Teile. Handschnitte in der Nähe der Fixierung 1 zeigten große Anhäufungen von gelblichen Gebilden, die sich mit Bayrisch Blau färbten, die ich aber nicht gleich als Myzel anzusprechen wagte. Ich versah damals eine nach einem solchen Präparat gemachte

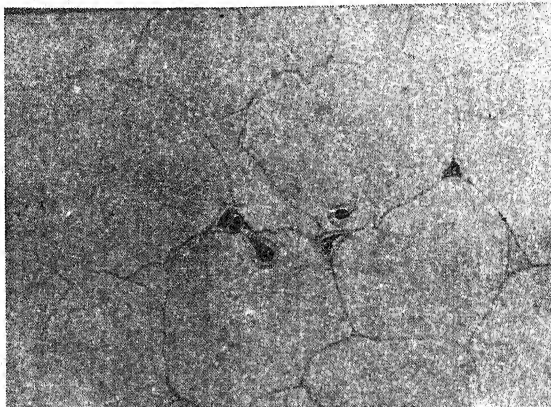


Fig. 6. Myzel von *Plasmopara nivea* im Blattstiel von *Laserpitium latifolium*, Querschnitt.  
(Leitz Imm.  $\frac{1}{12}$ , Ok. 8, auf  $\frac{1}{3}$  reduziert.)

Zeichnung mit der Bemerkung „Myzel oder Zellen?“ Für die erstere Deutung sprach die auffallende Färbung, sprachen auch die bläschenförmigen Gebilde, die sehr haustorienähnlich aussahen und sich genau der Länge des eigentümlichen Gebildes entlang gruppierten, deren genauer Zusammenhang aber natürlich an einem Handschnitt nicht festgestellt werden konnte; für die letztere aber das ziemlich häufige Vorkommen von Scheidewänden, das dem ohne seine Umgebung gezeichneten Gebilde den Habitus einer Zellreihe aus einem Parenchym gab. Eine andere Stelle im gleichen Präparat zeigte wieder den letzteren Charakter; aber hier war nun die Menge und Anordnung der bläschenförmigen Gebilde so aufdringlich, daß wirklich nur noch die Annahme blieb, man hätte es hier mit Myzelanhäufungen zu tun, und die Frage war nur noch, ob es sich wirklich um das Myzel der *Plasmopara nivea* oder aber eines andern Pilzes handle. Ersteres schien von vornherein wahrscheinlich, da an der Pflanze die Anwesenheit eines andern Pilzes nicht notiert worden war und das Rhizom

vollständig gesund zu sein schien, und da die bläschenförmigen Gebilde sehr den Bildern glichen, die De Bary (1863 Pl. 7 Fig. 8) und Mangin (1895 Fig. 5) für *Plasmopara densa* gegeben hatten. Um aber die Wahrscheinlichkeit dieser Deutung noch zu erhöhen und überhaupt sicherzustellen, daß diese Myzelanhäufungen im Frühjahr in die neuen Blätter hinaufsteigen und sie infizieren können, wurden am gleichen Tag, da die Fixierung vorgenommen wurde, 6 infizierte Stöcke ausgegraben, so gut, als sich das bei dem felsigen Untergrund und außerordentlich tief hinuntergehenden Rhizomen machen ließ. Am folgenden Tag wurden die Stöcke im Berner botanischen Garten eingetopft und in ein Versuchshaus gestellt, wo sie überwinterten. Eine zweite Serie infizierter *Laserpitium* wurde

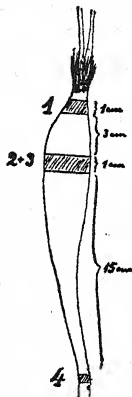


Fig. 7 zeigt die Orientierung der fixierten Teile aus dem Rhizom einer *Laserpitium latifolium*-Pflanze (schematisch).

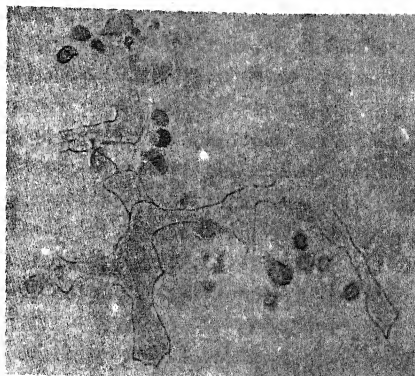


Fig. 8. Myzel von *Plasmopara nivea* im Rhizom von *Laserpitium latifolium*, Längsschnitt. Fixierung 1. (Leitz Imm.  $\frac{1}{12}$ , Ok. 8, auf  $\frac{1}{8}$  reduziert.)

am 2. Juli am gleichen Standort ausgegraben und gleich behandelt wie die vorigen. Über das Resultat dieser Versuche werden wir später berichten und uns zunächst noch das Myzel etwas genauer ansehen.

Die Textfigur 8 stellt eine Partie aus einem Längsschnitt durch das Rhizom dar von der Fixierung 1 (s. Textfigur 7): der 1 cm lange Ausschnitt war der Länge nach ein paarmal zerschnitten worden, damit die Fixierungsflüssigkeit besser eindringen, und ein so entstandenes Stück hatte ich der Länge nach mit dem Mikrotom in eine Serie von Schnitten zerlegt. Da eine sehr intensive Differenzierung notwendig war, um die Einzelheiten des Myzels deutlich werden zu lassen, wurden die Zellwände des Rhizomgewebes ganz entfärbt, so daß ich sie auf der Zeichnung nicht mehr andeuten konnte, ich hätte denn die Phantasie walten lassen. Aus manchen andern Bildern aber kann man schließen, daß das Myzel immer streng interzellulär ist, und mit diesen Anhaltspunkten kann sich jedermann die Lage der Zellwände in unserem Bild selbst rekonstruieren. Ausgesprochene

Scheidewände im Myzel suchen wir in unserem Bild vergebens; vielleicht aber können uns die Einstülpungen der Myzelwand, wie sie die Figur links oben zeigt, andeuten, wie man die oben beschriebenen Wände entstanden zu denken habe<sup>1)</sup>). Ähnliche Bilder könnten in großer Zahl hier wiedergegeben werden. An den Stellen der Textfigur 8, wo die Membranen allmählich undeutlich werden und das Myzel auf eine Strecke ganz verschwindet, mag dasselbe irgendwelche Krümmungen nach oben oder unten aus der Bildebene hinaus aufgewiesen haben. Die Haustorien zeigen genau die Eigentümlichkeiten, die De Bary und Mangin an ihnen beobachtet hatten; dagegen war ich nur in ganz wenigen Fällen imstande, einen Zwischenraum zwischen der „Scheide“ und der Wand des Haustoriums selber zu sehen, wie dies Fig. 5 von Mangin l. c. zeigt. Es hängt dies zusammen mit der Eigentümlichkeit der Pianesefärbung. Dieser Farbstoff stellt ein Gemisch von mehreren Farben dar (Sieben 1913 p. 65), und je nach der chemischen Beschaffenheit der gefärbten Teile bleibt der eine oder der andere Farbstoff mehr haften, so daß das Bild alle möglichen Färbungen und Nuancen aufweist, sofern das Präparat aus verschiedenen chemischen Substanzen zusammengesetzt ist. Nun scheint es, daß das Haustorium einen chemischen Einfluß ausübt auf seine Umgebung. Nur so kann ich mir die Tatsache erklären, daß der oben genannte Raum in meinen Präparaten in fast allen Fällen einen grünen bis ganz dunkeln Ton aufwies im Gegensatz zu der lichten roten Färbung der Myzelwände. Nur die Haustorien selber zeigten zur Ausnahme auch jenen dunklen Ton; es mag sich dabei aber vielleicht handeln um Schnitte durch die Peripherie dieser Organe. Der chemische Einfluß scheint aber in manchen Fällen noch weiter zu reichen als bloß bis zur „Scheide“ der Haustorien: wenn nämlich in eine Zelle sehr viele derselben eindringen, so kann diese, im Gegensatz zu den andern, in denen nur der Kern gefärbt ist, einen dunkelroten Farbton aufweisen, der kaum auf die Häufung des Farbstoffes in der Nähe der vielen Haustorien allein zurückgeführt werden kann. Ich sah ein Bild dieser Art in besonders schöner Ausprägung in einem Präparat der Fixierung 1.

Ein anderes Bild aus dieser Region, wiederum einen Längsschnitt, zeigt die Textfigur 9. Hier können auch die Konturen der Wirtszellen gut verfolgt werden, und man sieht deutlich, daß die Myzelstränge sich

<sup>1)</sup> Gewöhnliche Scheidewände wie bei andern Pilzformen wurden in letzter Zeit auch für viele Phycomyceten in alternden Teilen beobachtet, und besonders für *Pythium*-Formen beschrieb Butler (an account of the genus *Pythium* and some Chytridiaceae, Mem. Dept. Agr. India Vol. I 1907) eigentümliche zäpfchenförmige Einwüchse in das Lumen der Hyphen; aber die Erscheinung des Myzels der *Pl. nivea* im Rhizom von *Laserpitium* gleicht keiner dieser Eigentümlichkeiten. Höchstens die „stroma-like“ Hyphenknäuel der Phytophthora auf *Hevea brasiliensis* (Dastur in Mem. Dept. Agr. India Vol. VIII 1916) zeigen ebenso weitgehende Abweichungen von der gewöhnlichen Erscheinungsweise der Phycomycetenhyphen.

überall zwischen diesen hindurchzudringen bemüht sind. Im oberen Teil des Bildes sehen wir einen Strang nur leicht angeschnitten, während unten mehrere solche parallel laufend sichtbar sind, die zum Teil mit Membranen abgeschlossen erscheinen, zum Teil aber einfach ein Schmälerwerden des Stranges und schließlich dessen Aufhören erkennen lassen, was darauf deutet, daß die Fortsetzung desselben in einem höhern oder tieferen Schnitt gesucht werden muß.

Darf ich diese Myzeleigentümlichkeiten an Präparaten der Fixierung 1, also von oberen Teilen des Rhizoms, demonstrierte, soll nicht zu der Meinung verleiten, daß sie nur da zu finden wären oder als würden überhaupt nicht so tief hinunter Myzelsspuren gefunden. Ein Querschnitt durch das Rhizom in der Gegend der Fixierung 4 lehrt das Gegenteil (siehe Tafel III Fig. 3). Eine Zeichnung würde die Sache deutlicher machen; aber die Photographie soll den objektiven Bestand zeigen. Bei aufmerksamer Betrachtung derselben wird man nach und nach die Grenzen mehrerer Zellen unterscheiden können, und man wird dann auch erkennen, daß in den meisten Fällen nicht nur die durch die Differentiation fast entfärbte Zellwand sichtbar ist, sondern daß sich ein dunkler Strich bemerkbar macht. Das ist das im Präparat rot gefärbte Myzel. Dem dunklen Strich entlang aber sieht man auf beiden Seiten dunkel und dick konturierte Kreislein angeordnet; das sind die Haustorien. Die photographierte Stelle findet sich nicht weit unter der Rinde des Rhizoms noch außerhalb der Stele; von ihr geht aber ein Myzelzug ab, der zwischen den Gefäßbündeln hindurch sich nach innen zieht, ohne aber bis ins Zentrum zu gelangen. An einer andern Stele des gleichen Querschnittes können wir dieselbe Verteilung konstatieren: immer sehen wir die Hauptmasse des Myzels außerhalb der Stele liegen und nur „Ausläufer“ zwischen die Gefäße vordringen. Innerhalb von Gefäßen habe ich niemals Myzel gesehen. Nach dem gegebenen Bild ist nicht daran zu zweifeln, daß noch viel tiefer hinunter Myzelsspuren gefunden werden könnten, und doch war die Stelle der Fixierung 4, der unser Querschnitt entstammt, mehr als 20 cm tief unter dem Boden gelegen! Wegen äußerer Schwierig-

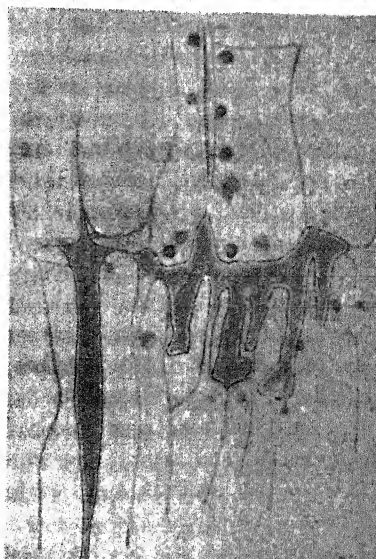


Fig. 9. Myzel von *Plasmopara nirea* im Rhizom von *Lasperpitium latifolium*, Längsschnitt. Fixierung 1. (Leitz Imm. 1/16, Ok. 8, auf 1/2 reduziert.)

Kreislein angeordnet; das sind die Haustorien. Die photographierte Stelle findet sich nicht weit unter der Rinde des Rhizoms noch außerhalb der Stele; von ihr geht aber ein Myzelzug ab, der zwischen den Gefäßbündeln hindurch sich nach innen zieht, ohne aber bis ins Zentrum zu gelangen. An einer andern Stele des gleichen Querschnittes können wir dieselbe Verteilung konstatieren: immer sehen wir die Hauptmasse des Myzels außerhalb der Stele liegen und nur „Ausläufer“ zwischen die Gefäße vordringen. Innerhalb von Gefäßen habe ich niemals Myzel gesehen. Nach dem gegebenen Bild ist nicht daran zu zweifeln, daß noch viel tiefer hinunter Myzelsspuren gefunden werden könnten, und doch war die Stelle der Fixierung 4, der unser Querschnitt entstammt, mehr als 20 cm tief unter dem Boden gelegen! Wegen äußerer Schwierig-

keiten war es mir nicht möglich, das Rhizom tiefer bloßzulegen und abzuschneiden.

Verfolgen wir nun das Schicksal der oben erwähnten eingetopften Pflanzen! Von allen trieben dieses Frühjahr (1918) nur deren zwei überhaupt aus; alle andern gingen zugrunde. Es ist das allerdings nicht verwunderlich, da es sozusagen in keinem Fall möglich ist, das Rhizom unbeschädigt zu bekommen, so daß mir auch von gesunden Pflanzen, die für Infektionsversuche dienen sollten, nur ganz wenige Exemplare nicht abstarben. Diejenigen aber, deren Rhizom mit Myzel vollgestopft ist, werden natürlich um so empfindlicher sein und an der Schnittstelle leicht faulen. Von dem einen der beiden Töpfe, die doch austrieben, konnten am 2. März die ersten Anzeichen des Auswachsens festgestellt werden, und am 4. April zeigte er zwei ziemlich lang gestielte Blättchen, die bis dahin zart gewesen waren und ein frisches Grün gezeigt hatten. Nun aber wurden sie fast plötzlich blaß und lederartig, und die beiden Fiederhälften klappten zusammen, so daß der Hauptnerv den First des so gebildeten Daches darstellte. Dieser selbst aber fing dann schnell an sich zu krümmen und damit natürlich das ganze Blättchen. Der andere Topf zeigte zu dieser Zeit nur ein noch normales Blättchen. Ich vermutete natürlich, die Blättchen des ersten seien von dem nachwachsenden Myzel erreicht worden und bemühte mich, mit der Lupe Rasen der *Plasmopara* zu finden, aber ohne Erfolg. Daher gedachte ich sie sich noch ein wenig erstarken zu lassen, um mit einer Glasglocke das Austreten der Träger zu beschleunigen; aber bei meiner nächsten Inspektion fand ich, daß beide Blättchen ein Raub der Schnecken geworden waren. Sofort stellte ich die beiden Pflanzen auf verkehrte Töpfe in einen großen Teller voll Wasser, um den Zerstörern den Zugang unmöglich zu machen. Unterdessen war zu dem einen Blättchen im andern Topf ein zweites gekommen, und zwar aus dem andern Ast des Rhizoms, das ziemlich weit unter der Erde eine Verzweigung aufwies. Dieses junge Blättchen machte sehr rasche Fortschritte, während das andere plötzlich die gleichen Störungen zeigte, die ich vorhin für die Blättchen des andern Topfes beschrieben habe, und am 21. Mai folgte das andere nach. Ich suchte mir natürlich Klarheit darüber zu verschaffen, ob diese Erscheinung einfach charakteristisch sei für ein gewisses Wachstumsstadium der normalen gesunden Pflanze, trotzdem das nicht wahrscheinlich erschien, da man sich nicht gut hätte vorstellen können, wie aus einer so verkrüppelten Anlage ein normales Blatt hervorgehen könne. Um Klarheit zu bekommen, schnitt ich am 5. Juni von dem am schlechtesten aussehenden Blatt eine Fieder ab, um sie zu untersuchen, und das Ergebnis der Untersuchung erklärte ohne Zwang, warum die andern Fiedern des Blättchens nach und nach abstarben wie auch das ganze andere Blättchen, und warum heute ohne Mithilfe der Schnecken — der Vorgang konnte verfolgt werden — keine Spur mehr von ihnen zu schen ist. Im andern Topf wurden unterdessen wieder zwei Blättchen

gebildet; aber das eine zeigt heute schon wieder die ersten Stadien der Verkrüppelung (Mitte Juni 1918). Die Textfigur 10 stellt einen Handschnitt quer durch das oben erwähnte Blättchen dar. Das Myzel erschien in den noch zarten Blättchen so grob, daß man wieder zuerst sich gründlich überzeugen mußte, ob man es wirklich mit Myzel zu tun habe. Die Haustorien waren wieder vorhanden; aber im übrigen hatte man an manchen Stellen wirklich nicht den Eindruck von Myzel „fäden“; die Erscheinung steht der im Rhizom an Unregelmäßigkeit und Massigkeit oft nicht nach. An den meisten Orten schienen allerdings die Bildungen auf den unteren Teil des Blättchens beschränkt, nur selten zogen Stränge auch bis an die Palissadenzellen hinauf, wie dies in der Textfigur 10 der Fall ist.

Um mir Sicherheit in der Deutung der Erscheinung zu verschaffen, wollte ich einen Vergleich ziehen mit Myzelen in andern Blättern, und da mir im Augenblick nur *Plasmopara densa* auf *Alectrolophus minor* in frischem Material zur Verfügung stand, stellte ich Schnitte her durch pilzbefallene Blättchen dieser Pflanze, die nun allerdings gar nicht für meine Annahme sprachen: hier traf ich nämlich wirkliche Pilzfäden von ziemlich gleichmäßiger Durchmesser, und als Haustorien konnte man höchstens einige Anschwellungen deuten, die aber ebensogut junge Seitenzweige darstellen konnten. Unter diesen Umständen schien es mir am ratsamsten, Herbarmaterial von *Laserpitium* selber zu untersuchen; denn es konnten den im ersten Teil festgestellten Unterschieden der Träger auch solche des Myzels parallel gehen. Ein Querschnitt durch ein in Milchsäure gekochtes Blatt von *Laserpitium* glich nun wieder sehr meinen Bildern von den jungen Blättchen dieser selben Art: das Myzel ziemlich unregelmäßig, bis in das Palissadengewebe hinaufsteigend, diesmal aber wieder mit einer Menge von Haustorien versehen, die denen in meinen Bildern genau entsprachen. Dieser Befund stellte meine Annahme, daß die Erscheinung in Textfigur 10 Myzel, und zwar von *Plasmopara nivea* sei, vollkommen sicher; denn auf den Präparaten von Herbarmaterial konnte ich die Myzelbildungen verfolgen in ihrem Zusammenhang mit den Trägern, und auch die Deutung der entsprechenden Bildungen im Rhizom hatte an Wahrscheinlichkeit gewonnen. Es fragte sich nun nur noch, ob wirklich das Myzel der Form auf *Laserpitium* sich so sehr von dem auf andern Wirten oder das von *Pl. nivea* von dem der *Pl. densa* unterscheide, wie es nach den Befunden auf *Alectrolophus* scheinen wollte.

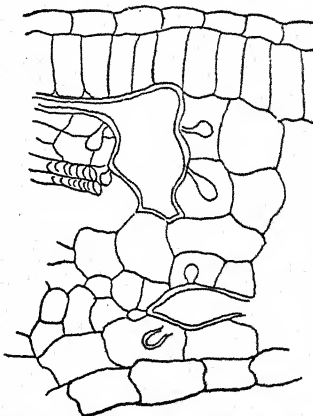


Fig. 10. Myzel von *Plasmopara nivea* in einem jungen Blättchen von *Laserpitium latifolium*, Handschnitt. (Leitz Obj. 7, Ok. 3, auf  $\frac{1}{2}$  reduziert.)

Um dies zu entscheiden, machte ich Schnitte durch Blätter von *Aegopodium Podagraria*, die aus dem Herbarium Mayor stammten und in Milchsäure gekocht wurden, und hier fand ich nun Bilder, die man mit der Textfigur 10 verwechseln könnte: unregelmäßiges und ungleich dickes Myzel, zum Teil auf der Innenseite der untern Epidermis, zum Teil bis an die obere hinaufreichend und die Haustorien, die in großer Zahl vorhanden, sogar in deren Zellen hineinschickend. Ein Unterschied des Myzelhabitus könnte also nur zwischen den beiden *Plasmopara*-Arten bestehen; aber auch den halte ich nicht für wahrscheinlich, sondern glaube, die Verschiedenheiten darauf zurückführen zu können, daß das Myzel auf *Alectrolophus* in ganz lockeren, zum Teil schon desorganisiertem Gewebe wuchs, während es sich in den andern Fällen in kompakten Geweben ausbreitete. Dabei bleibt die Frage offen, wie es sich im ersten Fall ernährt. *Plasmopara densa* kann aber sicher auch Haustorien haben; De Barys Zeichnungen von solchen wurden überdies nach Material von *Al. minor* gemacht. (De Bary 1863 Pl. 7 Fig. 8.)

Das Schicksal der jungen Blättchen, die aus den infizierten Rhizomen auswuchsen, stellt uns vor die Frage, wie denn in der Natur die Blätter der befallenen *Laserpitien* doch zur normalen Größe auswachsen können. Man muß jedenfalls annehmen, daß sich der Pilz in den feuchten Versuchshäuschen in optimalen Bedingungen befand und so die Pflanzen überwältigen konnte, während dem in der Natur nicht so ist. Übrigens kann man in der Natur auch beobachten, daß die infizierten Blätter im Anfang nur mit Mühe wachsen<sup>1)</sup>.

Beim Zeichnen des Myzels im Rhizom fiel mir immer wieder die Dicke der Membran und deren Neigung zu Einfaltungen und Querbildungen auf, und ich dachte schließlich an die Möglichkeit, es könnte sich dabei um einen Apparat zur Speicherung von Reservestoffen handeln, wie ihn Tiesenhausen (1912 Fig. 16) bei *Dictyuchus spec?* gefunden hat, wobei

<sup>1)</sup> Man könnte allerdings diese Resultate mit den Verhältnissen bei *Phytophthora infestans* parallelisierend, auch die Ansicht vertreten, daß die jungen Blättchen, die vom Myzel erreicht werden, wie dort die Zweige, nicht lebensfähig seien und absterben (Vgl. Pethybridge: Considerations and experiments on the supposed infection of the potato crop with the blight fungus... by means of mycelium derived directly from the planted tubers, Sci. Proc. R. Dublin Soc. XIII 1911 p. 14 u. 15), womit die Annahme des Perennierens in unserm Sinn in Frage gestellt wäre. Aber man sieht auch in der Natur schon sehr junge Blättchen völlig infiziert und charakteristisch verändert, so daß man nicht wie bei der Kartoffelkrankheit vor der Frage steht, wo der Pilz während der langen Zeit stecke, die zwischen dem Beginn des Auswachsens der Staude und dem Auftreten der Krankheit verstreicht. Andererseits zeigt unser Fall, daß äußerlich gesundes Aussehen von Stengeln oder Blattstielen nicht zu bedeuten braucht, daß darin kein Myzel enthalten sei: die Stengel befallener *Laserpitien* unterscheiden sich von denen gesunder äußerlich auf keine Weise.

es sich allerdings nicht um morphologische, sondern nur um physiologische Ähnlichkeit handelt. Aber die Dicke ist im Vergleich zu der an andern Stellen im Rhizom nicht viel beträchtlicher; der Eindruck kam daher, daß ich die Rhizombilder immer mit Immersion, also starker Vergrößerung betrachtete, während ich im Gedächtnis das Bild hatte, wie es sich bei geringerer Vergrößerung zeigt. Messungen der Membrandicke gaben ein unbefriedigendes Resultat, da diese um  $1\text{ }\mu$  herum schwankt, was bei einer Kombination von Imm.  $1/12$  mit Mikrometerstufen-Okular 2 Leitz einem einzigen Teilstrich entspricht, und da kann natürlich keine große Genauigkeit erreicht werden, wenn nicht die Unterschiede sehr groß sind. Die Wände der Konidienträger scheinen mir eher etwas dünner zu sein als  $1\text{ }\mu$ , die Wanddicke des Myzels im Blattstiel (Textfigur 4) scheint geringer, die der Myzelien im Rhizom eher größer; dabei müßte man aber jeweils wissen, ob der Schnitt ganz quer durchgeht oder ob die größere Dicke die Folge schieferer Schnittlage ist. Wenn also auch die Unterschiede nicht groß sind, so scheinen mir doch die Wände im Rhizom etwas dicker. (Meine erste vorläufige Mitteilung (Wartenweiler 1918) ist in diesem Sinne zu berichtigten.) Es fehlt nicht an einer Erklärung, die die Reservestoffbehälter-Hypothese verstehen ließe. Wie wir später sehen werden, stellt ein großer Teil der Oosporenwand unserer Pilzformen nichts anderes dar als eine Ablagerung von Reservestoffen, die bei der Keimung aufgelöst werden, und man könnte sich wohl vorstellen, daß im Rhizom etwas Ähnliches vor sich ginge. Beobachtungen an zahlreichem Material und zu verschiedenen Jahreszeiten müßten die Frage entscheiden. Ich kam auf den Gedanken auch deshalb, weil im Rhizom das Myzel fast leer erscheint; aber auch das bedarf der Nachprüfung; denn die Myzelien, in denen ich den Inhalt schön färben konnte und wo auch die Kerne sich ganz deutlich zeigten, stammten aus andern Teilen der Pflanze oder von andern Wirten; sie wurden aber auch in einer andern Flüssigkeit (Juel) fixiert, und da wäre es wohl möglich, daß die andere (Chromessigsäure) den Inhalt nicht gut fixiert hätte und er nur deswegen zu fehlen scheint<sup>1)</sup>.

Ich glaube, daß alle die oben gegebenen Daten genügen dürften, um die Annahme eines perennierenden Myzels von *Plasmopara nivea* auf *Laserpitium latifolium* zu rechtfertigen, wenigstens für den untersuchten Fall. Ob aber unser Pilz auf diesem Wirt immer und an allen Standorten perenniert, ist eine Frage, zu deren Lösung ich noch nicht genug Anhaltspunkte habe. Gegen die Annahme scheinen mir vor allem einige meiner Herbarexemplare zu sprechen, die nicht einen vollständigen Überzug aller und der ganzen Blätter aufweisen, wie das im besprochenen

<sup>1)</sup> Die Textbilder lassen die Unterschiede, die der Myzelinhalt in den verschiedenen Fällen zeigt, nicht erkennen; zur deutlichen Demonstration wurde der Inhalt überall gleichmäßig angedeutet. Für deren Ausarbeitung zur Reproduktion bin ich Herrn A. Wartenweiler in St. Gallen sehr zu Dank verpflichtet.

Fall sich verhielt. So die Exemplare, die ich am 2. August 1916 zwischen Côte des Fées und Les Verrières sammelte zu einer Zeit, da ich noch nicht über die dargelegten Resultate verfügte; sonst würde ich nicht verfehlt haben, einige Rhizome auszugraben. Andererseits könnte man aber auch annehmen, daß hier vielleicht nur wegen äußerer Verhältnisse (Trockenheit z. B.) die Rasen nicht in Menge nach außen dringen konnten, trotzdem das Myzel die ganze Pflanze erfüllte. Es will mir zwar scheinen, als wiesen die Blätter auch nicht die bleiche, lederige Beschaffenheit auf wie die andern; aber man müßte dies an frischem Material konstatieren können, das mir nicht zur Verfügung steht. Auf keinen Fall aber ist das Perennieren auf den genannten Standort im Berner Oberland beschränkt, da das Herbarium Mayor Exemplare von den verschiedensten Gegenden der Schweiz aufweist, Wallis, Graubünden, Jura usw., alle mit dem charakteristischen Habitus, der zur Vermutung des Perennierens geführt hat.

Es wäre sehr interessant, Fälle zu finden, wo der Pilz nicht perennierte; denn sie ließen einige Literaturangaben besser verstehen und könnten vielleicht Anhaltspunkte dafür geben, wie man sich die Erstinfektion der Pflanzen vorzustellen hat.

Was den ersten Punkt anbetrifft, so mache ich aufmerksam auf eine Notiz Berleses (1902 p. 90), der in seiner Beschreibung von *Plasmopara nivea* berichtet: „Secondo il Comes dalle foglie la malattia passa nelle radici, ma io ciò non ho potuto confermare. Non di rado strappai dal terreno piante con molte foglie fortemente assalite dal parassita, od anche profondamente malate, ma rinvenni sempre le radici perfettamente sane. Probabilmente l'alterazione delle radici, specie nelle ombrellifere coltivate, a radice carnosa, deriva da altre cause morbose che possono influire allorquando la pianta, indebolita dalla perdita di molte foglie, non oppone una efficace resistenza ai parassiti radicali“. Leider wird aus der angeführten Stelle nicht klar, welche Arbeit von Comes in Betracht kommt, und die „*Crittagamia agraria*“, um die es sich am ehesten handelt, konnte ich mir nicht verschaffen. So kann ich denn auch keine Klarheit darüber bekommen, welche Wirte in Frage stehen — Berlese redet von Sellerie, Petersilie, Rübe, Kerbel „usw.“ —, ob Comes seine Behauptung auf morphologische Untersuchungen stützt und auf welchen Pflanzen er diese durchgeführt hat, oder ob er nur wie Berlese Wurzeln kranker Pflanzen ausriß und diese dann krank fand. Ich dachte, es werde sich am ehesten um *Daucus Carota* handeln, die nach Alfred Fischer (1892 p. 430) oft schwer heimgesucht wird von *Pl. nivea* und untersuchte daher Exemplare dieser Pflanze, die stark von unserem Pilz befallen waren; einerseits solche, deren Wurzeln in schlechtem Zustande waren, und die ich, da sie sich zum Einbetten nicht mehr eigneten, auf Handschnitten untersuchen mußte, und andererseits bettete ich anscheinend gesunde Rhizome von Pflanzen ein, deren Blätter aber stark mit Pilzrasen bedeckt waren. In

keinem Fall konnte ich eine Spur von Myzel finden<sup>1)</sup>. Wenn Comes seine Behauptung auch auf mikroskopische Untersuchung und an *Daucus Carota* stützte, würde sich eben die Frage stellen, die wir bei *Laserpitium* streiften, ob nämlich unter Umständen an gewissen Standorten (oder bei gewissen Rassen?) der Pilz nicht perenniere, während die gleiche Form an andern Orten das tut. Einen Fall in der amerikanischen Literatur kann man vielleicht so deuten. Clinton (1904 p. 343) schreibt über die Überwinterung der *Pseudoperonospora cubensis*: „Second, the fungus may carry over winter in the south on hosts that grow outdoors the year around. Hume (Downy mildew of the Cucumber. Ann. Rept. Fla. Expt. Stat. 12—13: 30. 1900) states that this is true in Florida“. Ich konnte mir leider die zitierte Arbeit nicht verschaffen, so wenig als die, auf die Wilson, der ungefähr das gleiche berichtet wie Clinton (Wilson 1907 p. 414) verweist (Bull. S. Car. Agr. Exp. Sta. 116: 7. 1905). Ich suchte dann näheren Aufschluß bei Melhus (1905); aber dieser Autor kennt den Fall gar nicht, obgleich die zitierten Arbeiten vor seiner Zusammenstellung erschienen sind. So ist es mir also auch in diesem Fall unbekannt, ob sich die Angaben auf mikroskopische Untersuchung stützen und ob der Pilz in Florida auf allen Wirten, soweit wenigstens diese ausdauernd sind, perenniere, oder ob dies nur auf einem Wirt der Fall ist, was bedingen würde, daß der Pilz von diesem auf die andern überzugehen imstande ist. Ich weiß auch nicht, ob, wenn der letztere Fall vorliegt, der gleiche Wirt in den nördlicheren Gegenden auch vorkommt und es anscheinend klimatische Faktoren sind, die hier über Perennieren oder Nichtperennieren entscheiden. Es wäre die Lösung dieser Frage sehr wertvoll, weil man sich daraus eine Meinung darüber bilden könnte, inwiefern man das Perennieren einer Peronosporaceenform systematisch verwenden darf. Allerdings könnte man von einer nicht unbedingt auf die andere schließen, besonders wenn zwei klimatisch sehr verschiedene Gebiete in Frage kommen. Wir haben bei der Untersuchung der Träger von *Pl. nivea* gesehen, daß die auf *Laserpitium* stark von den andern abweichen (siehe Tafel I und III), und es fragt sich, ob das Perennieren ein weiteres Merkmal sei, das die Form (nicht nur in einzelnen klimatisch oder anders bedingten Fällen) von den andern trennt, oder ganz genau ausgedrückt, ob das Perennieren in diesem Fall ein genotypischer Charakter sei. In der letzteren Fassung, die aber allein unsere Frage befriedigend formuliert, ist sie allerdings ein Problem, das noch von mancher andern Seite als den hier genannten, in Angriff genommen werden muß.

<sup>1)</sup> Auf welche Quellen Masseé seine Bemerkung über *Plasmopara nivea* stützt (1913 p. 21: „In many plants the mycelium of the fungus is perennial in the root, and grows up with the above-ground parts year by year“) ist mir nicht bekannt; wenn die Bemerkung von Comes zugrunde liegt, so ist die Sache jedenfalls noch nicht spruchreif.

Die Lösung unserer anfänglichen Frage, ob *Pl. nivea* auf *Laserpitium* in allen Fällen perenniere oder nicht, würde vielleicht einen Beitrag liefern können zur Erklärung der erstmaligen Infektion, sagten wir oben. Diese ist nämlich nicht so selbstverständlich, was schon die Tatsache vermuten lässt, daß in unmittelbarer Nähe von Pflanzen, deren sämtliche Blattfiedern auf ihrer Unterseite vollständig mit dickem *Plasmopara*-Rasen überzogen sind, ganz gesunde Pflanzen vorkommen, und wenn es auch nicht gesagt ist, daß systematisch so weit voneinander stehende Pilzformen die gleichen Verhältnisse aufweisen, so lassen doch die Befunde von Büren (1916 p. 123) an *Volkartia* vermuten, daß auch in unserem Fall die Erstinfektion nicht eine so selbstverständliche Sache sei wie bei den nicht perennierenden Formen. Es wäre daher erfreulich, wenn die genannten Herbalexemplare von Côte des Féées solche darstellten, die frisch infiziert worden wären und doch nicht das perennierende Myzel aufwiesen. Die Frage muß weiteren Untersuchungen vorbehalten bleiben. Ich will nur noch bemerken, daß in den Blättern der kranken Pflanzen von Wengen trotz des perennierenden Myzels reichlich Oosporen gebildet werden. Ein am 2. November 1917 eingeleiteter Kistchenversuch, der die Möglichkeit der Erstinfektion durch diese Sporen zeigen sollte, ergab kein Resultat, da in diesem Frühjahr keine der vier *Laserpitium*-Pflanzen austrieb. Leider war es mir nicht möglich, jemals infizierte Laserpitien blühend zu finden, was nach den im Folgenden darzulegenden Befunden an andern *Plasmopara*-kranken Umbelliferen vielleicht auch zu einer Erklärung der Erstinfektion führen könnte. Es will das aber nicht heißen, daß sie niemals zum Blühen kämen; denn die in den Matten stehenden Exemplare werden vor der Blütezeit gemäht und man kann nachher also nur noch die an den Waldrändern stehenden untersuchen; aber andererseits ist es auch nicht verwunderlich, wenn der starke Angriff des Pilzes sie nicht zum Blühen kommen läßt.

Außer *Laserpitium* und *Daucus* untersuchte ich noch Rhizome und Stengel von *Aegopodium Podagraria*, *Anthriscus silvester*, *Ligusticum Mutellina* und *Geranium sylvaticum* an Mikrotomschnitten nach Myzel, konnte aber in keinem Fall Spuren von solchem finden. Nur bei der letzgenannten Pflanze war ich lange Zeit im Ungewissen, indem ich schon auf ungefärbbten Präparaten im Lumen der Gefäßbündel Gebilde fand, die recht an Haustorien erinnerten, und zwischen den Gefäßen zogen sich Stränge von der gleichen gelblichen Farbe durch, die man als Myzel anzusprechen versucht war. Da sie sich aber bei der Färbung ganz anders verhielten als die beschriebenen Myzelien, indem sie überhaupt keine Farbe annahmen, glaube ich nicht mehr, daß wir es mit Myzel zu tun haben, da es ja auch nicht recht zu begreifen wäre, was die Haustorien in den Lumina der Gefäße zu tun hätten, indem sie kaum befähigt sind, die hier zirkulierenden Stoffe aufzunehmen. Andererseits würde aber das Fehlen der sonst so charakteristischen „Haube“ der Haustorien nicht viel beweisen, da sie eben

zusammenhängen könnte mit der Tatsache, daß die Gebilde nicht in eine volle Zelle, sondern in einen Hohlraum hineinragen. Wie sie aber sonst zu deuten sind, ist mir noch nicht klar. Am nächsten liegt die Annahme von Thyllen; aber die fixierten Stiele waren noch in vollem Wachstum begriffen, und es wurde eine eigentümliche Lokalisation der Gebilde festgestellt, indem nur wenige Gefäße solche aufwiesen, diese dann aber in ganzen Reihen. Im Querschnitt eines Gefäßes war immer nur ein solches Gebilde zu finden, das von einer Seite her in das Lumen hineinragte. Wahrscheinlich handelte es sich aber doch um Thyllenbildung.

Mehr Aussicht auf Erfolg dürfte man haben, wenn man infizierte Pflanzen von *Isopyrum thalictroides* auf perennierendes Myzel untersuchte; denn die Exsikkate dieser Pflanze, die ich untersuchte, waren dem ganzen Stiel nach hinunter mit Pilzrasen bedeckt, und es scheint mir nicht wahrscheinlich, daß es sich dabei um Stengelinfectionen handle; auch ist der Wirt eine ausdauernde Pflanze. Leider kommt er in der Schweiz nur an einer Stelle vor, so daß ich der Frage kaum werde weiter nachgehen können. Die Samen der Exsikkate waren gesund.

Der beschriebene Fall von perennierendem Myzel ist nicht der einzige in unserer Gattung, und in der Familie der Peronosporaceen sind schon ziemlich viele andere Beispiele bekannt geworden, die Melhus (1915) sammelte. Anfänglich glaubte ich, daß die Zusammenstellung sehr unvollständig sei, da Wilson 1907 p. 400 bzw. 414 von *Plasmopara Geranii* und *Pseudoperonospora cubensis* Perennieren des Myzels berichtet und Melhus diese Fälle nicht nennt. Es handelt sich aber dabei nur um eine verschiedene Auffassung des Begriffes „Perennieren“. Aus den Arbeiten von Halsted (1890 und 1891), auf die Wilson seine Angabe für *Pl. Geranii* stützt, wird nämlich ersichtlich, daß es sich in diesem Fall handelt um die Infektion junger Pflanzen im Herbst, in deren Gewebe der Pilz überwintert. Und bei *Pseudoperonospora* wird es sich wahrscheinlich auch um eine Überwinterung des Pilzes in oberirdischen Geweben des Wirtes handeln. Man kann ja den Ausdruck „perennieren“ für dieses Verhältnis brauchen; aber dann ist die Zahl der perennierenden Peronosporen eine enorme, und es scheint mir entschieden besser, den Begriff aufzufassen wie Melhus es tut, d. h. von perennierendem Myzel nur dann zu reden, wenn dieses im Winter aus den Organen, in denen es gewöhnlich lebt, sich zurückzieht auf unterirdische Dauerorgane der Pflanzen. Oder man müßte für diesen Fall einen besonderen Namen schaffen.

## 2. Oosporen in den Früchten von *Aegopodium Podagraria* und *Ligusticum Mutellina*.

Am 13. Mai 1918 wollte ich unter meinen Versuchspflanzen eine Anzahl auslesen, um Infektionsversuche zu machen mit dem Material von *Aegopodium*, daß ich tags zuvor gefunden hatte, und da ich wegen der Unsicherheit der Infektionen immer den Wirt, auf dem ich das Material

fand, auch mit in den Versuch einbezog, suchte ich also auch *Aegopodium*-Pflanzen. Zu meinem größten Erstaunen fand ich aber einen der Töpfe mit Keimlingen dieser Pflanze vollständig infiziert mit *Plasmopara*. Ich dachte natürlich zuerst an eine Spontaninfektion, da im botanischen Garten der Pilz jedes Jahr auf den in den Hecken wachsenden Aegopodien auftrat, war aber immerhin frappiert, daß nur einer der sieben nebeneinander stehenden Töpfe von *Aegopodium* infiziert war, dieser aber äußerst stark. Auch standen die Aegopodien, die als Infektionsquelle in Betracht kamen, ziemlich weit entfernt, und zudem war das Wetter in den vorhergehenden Wochen und Tagen außergewöhnlich trocken gewesen, von einem Regen keine Rede. Und noch sonderbarer berührte es, daß ein Topf mit Keimlingen von *Ligusticum Mutellina*, der von dem infizierten *Aegopodium*-Topf durch zwei solche ohne Infektion getrennt war, auch ein krankes Blättchen aufwies. Da Exemplare der letzteren Art außer den wenigen im Alpinum des Gartens in weiter Umgebung nicht vorkommen, glaubte ich aus dem ganzen Unglück, das natürlich die Resultate aller in diesem Sommer auszuführenden Infektionsversuche noch problematischer mache als sie ohnehin schon waren, wenigstens eine Folgerung ziehen zu dürfen, daß nämlich *Plasmopara nivea* von *Aegopodium* auf *Ligusticum* übergehen könne. Es hätte dann allerdings eine genaue Vergleichung noch nachzuweisen gehabt, daß das Pflänzchen mit dem infizierten Blättchen nicht einem beim Säen vielleicht unter die *Ligusticum*-Samen gelangten *Aegopodium*-Samen sein Dasein verdanke. Denn das Ergebnis wollte auch wieder nicht recht stimmen: in unserer Zusammenstellung der Konidiennittelwerte steht *Aegopodium* unter den kleineren, *Ligusticum* unter den größeren Formen, und eine Infektionsmöglichkeit hätte entweder den Wert unserer Messungen sehr in Frage gestellt oder das Problem des Wirtseinflusses akut werden lassen. Um die Sache sicher zu stellen, legte ich eine Anzahl benetzter infizierter *Aegopodium*-Keimlinge auf den betreffenden Topf von *Ligusticum* und bedeckte ihn mit einer Glasglocke.

Alle die genannten Unstimmigkeiten mahnten aber daran, daß die Annahme einer Spontaninfektion doch nicht die einzige Möglichkeit darstelle, und da vor kurzer Zeit der Assistent unseres Institutes, Herr Dr. v. Büren, in Umbelliferenfrüchten Myzel und Sporen von Protomyzeten gefunden hatte (v. Büren 1918 p. 121ff), stellte sich die Frage, ob nicht in ähnlichen Verhältnissen die Lösung der Widersprüche gefunden werden könnte. Ich untersuchte daher die wenigen in dem Topf noch vorhandenen Fruchthüllen, nachdem ich sie in Milchsäure gekocht hatte, und gleich das erste Präparat zeigte Gebilde, die schwerlich etwas anderes sein konnten als Oosporen unseres Pilzes, Textfigur 11 zeigt eine solche Stelle. Ganz leicht ist deren Identifikation allerdings nicht; denn in den meisten Fällen erhält man ein Bild, das nicht genau dem entspricht, welches Berlese (1902 p. 89) von den Oosporen der *Pl. nivea* gibt: meist ist die Oogonwand dünner im Verhältnis zu der der Oospore, und, was die Identifikation

noch mehr erschwert, die letztere füllt das Oogon meist so vollständig aus, daß es wenigstens innerhalb des Gewebes, wo noch Zellkonturen hindernd sich geltend machen, manchmal unmöglich ist, die beiden Membranen deutlich auseinander zu halten. In diesem Fall ist es dann nicht leicht, die Gebilde zu unterscheiden von den erwähnten Sporen des *Protomyces macrosporus*, die allerdings in *Aegopodium*-Samen noch nie gefunden wurden, dort aber wohl auch vorkommen könnten. Ein Unterscheidungsmerkmal ist freilich noch die Größe. Einige Messungen der Sporen gaben einen Mittelwert, der genau mit der Zahl übereinstimmt, die Alfred Fischer (1892 p. 429) angibt für die Größe der Oosporen der *Plasmopara nivea*, nämlich 40  $\mu$  Durchmesser, während nach v. Büren (1915 p. 77, 87) die Sporen von *Protomyces macrosporus* einen Durchmesser von 50—70  $\mu$  haben,

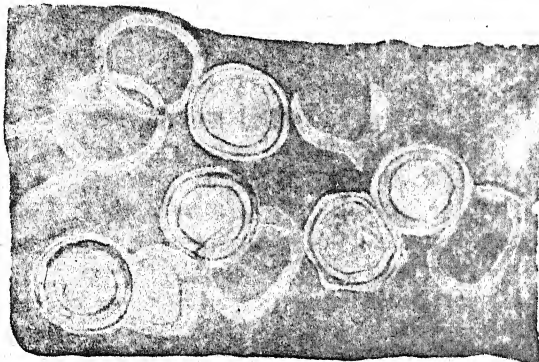


Fig. 11. Oosporen und leere Oogonien von *Plasmopara nivea* in der Fruchtschale von *Aegopodium Podagraria*. (Leitz Obj. 5, Ok. 3, auf  $\frac{1}{2}$  reduziert.)

die von *Volkartia umbelliferarum*, die aber kaum in Betracht kommen, da dieser Pilz auf *Aegopodium* nie gefunden wurde, 45—75  $\mu$  lang und 30—60  $\mu$  breit sind und eine viel dünnerne Membran haben. Entscheidend wäre dieser Unterschied angesichts der großen Variabilität beider Sporenarten nicht; aber zusammen mit der in günstigen Fällen möglichen morphologischen Identifikation dürfte er doch die Wahrscheinlichkeit groß machen, daß die gefundenen Sporen wenigstens nicht solche von *Protomycetaceen* sind. Und eine Verwechslung der Oosporen mit solchen von *Pythium*-Arten kann auch kaum vorliegen, da keine Spur von andern Organen eines *Pythium* bemerkt werden konnte und die Oosporen fast aller Arten dieser Gattung kleiner sind.

Ich untersuchte nun auch die Samen vom gleichen Standort, die ich noch besaß und fand auch da in manchen derselben wieder diese Oosporen. Sie waren von mir selbst am 27. September 1917 in Kronbühl bei St. Gallen gesammelt worden. Beim Sammeln dachte ich natürlich noch nicht an die Möglichkeit einer Fruchtinfektion; aber auch wenn ich es getan hätte,

so wäre es mir kaum möglich gewesen, gesunde von kranken Aegopodien zu unterscheiden, da zu diesem Zeitpunkt die Blätter wenigstens an feuchten Standorten wie an dem in Frage stehenden schon ganz verschwunden sind und die Infektionen auf *Aegopodium* schon viel früher fast plötzlich aufhören, so daß man von einem gewissen Moment an keine infizierten Blätter mehr finden kann oder diese wenigstens äußerst selten sind. Darauf fangen dann die Blätter an, einen gelblichen Ton zu bekommen, und schließlich gehen sie zugrunde.

Neben den Oosporen bemerkte ich in der Fruchtwand oft eigentümliche Hohlräume, begrenzt durch eine Membran, die der Oogonwand in ihrer Beschaffenheit auffallend glich. Ich halte diese Gebilde für die Überreste gekeimter Oosporen, wobei ich die Frage vorläufig offen lassen muß, wo deren Wand hingekommen sei. Die Verfolgung der Keimung muß Licht in diese Frage bringen, und es ist zu erwarten, daß unsere Pilzformen nicht allzu starke Abweichungen von *Pythium* und *Phytophthora* aufweisen, bei welchen an einigen Beispielen nachgewiesen ist, daß die inneren Lagen der Oosporenwand — vielleicht alle Bestandteile derselben mit Ausnahme der vom Periplasma gebildeten Perinie — Ablagerungen von Reservestoffen darstellen, die vor der Keimung aufgelöst werden. (Vgl. Trow 1901 p. 283, Pethybridge 1914 p. 189, Dastur 1916 p. 239.) Es würde also nach der Keimung nur noch ein ganz dünnes Häutchen übrig bleiben „so thin as to be practically invisible“ (Pethybridge l. c. p. 190), und dessen gänzliches Verschwinden kein Wunder mehr bedeuten.

Alle diese Erscheinungen lassen mir eine andere Deutung der „Spontaninfektion“ von *Aegopodium Podagraria* wahrscheinlicher erscheinen als die zu Anfang dieses Abschnittes geschilderte: ich glaube jetzt bestimmt, daß die Infektion der Keimlinge erfolgte durch die keimenden Oosporen, die sich in der Fruchtschale fanden. Wenn man die Vorgänge bei der Keimung von Umbelliferensamen verfolgt, so scheint einem in der Tat eine solche Annahme auf recht wenig Hindernisse zu stoßen; stehen doch die Cotyledonen in manchen Fällen noch in unmittelbarem Kontakt mit der Fruchtschale, wenn das ganze Pflänzchen schon eine Höhe von 4—5 cm hat. In der Hoffnung, vielleicht den Weg des Myzels verfolgen und eventuell dabei gerade die Keimungsart der Oosporen feststellen zu können, die Berlese (1902 p. 89) als mit Zoosporen erfolgend angibt, fixierte ich die zwei Fruchtschalen, in denen ich noch Cotyledonen stecken fand, in Juelscher Lösung und zerlegte sie nach dem Einbetten in Schnitte von  $6\text{ }\mu$ , was bei der Sprödigkeit der Objekte keine leichte Sache war und nicht lückenlose Serien ergab. Bis jetzt bin ich noch nicht zu meinem Ziel gekommen, indem ich zwar wohl Myzel in dem Teil der Cotyledone fand, der noch in der Fruchtschale steckte, indem es mir aber noch nicht gelang, dasselbe bis an den Rand oder gar darüber hinaus bis an die Fruchtwand zu verfolgen. Ein solcher Erfolg setzte lückenlose Serien voraus, und zudem müßte man zum voraus die Wachstumsrichtung des

Myzels genau kennen, um die Schnittrichtung danach wählen zu können. Nur die Verarbeitung von sehr zahlreichem Material kann hier irgendwelchen Erfolg bringen.

Der genannte Versuch, der erweisen sollte, ob der Pilz wirklich übergehe von *Aegopodium* auf *Ligusticum*, schien sehr zugunsten der Bejahung dieser Frage zu sprechen; aber der Erfolg war doch verdächtig stark, und die Pilzrasen waren auch auf den Keimlingen der letzteren Pflanze zu finden, die auf keinen Fall mit dem Infektionsmaterial in Berührung gestanden hatten. So drängte sich der Gedanke auf, es könnte auch in diesem Fall eine Infektion von Oosporen in der Fruchtschale hier vorliegen. Die Untersuchung bestätigte die Vermutung: auch hier fanden sich sowohl in einigen leeren Fruchtschalen als auch auf noch ungesäten Samen, die ich am 10. August 1917 auf der Jochalp zwischen Tschiertschen und Prada im Kanton Graubünden gesammelt hatte, reichlich Oosporen. In diesem Fall wurde die Unterscheidung von den *Protomyces*-Sporen besonders wichtig; denn bald wiesen die Keimlinge neben *Plasmopara* noch einen andern Pilz auf, den Herr Dr. v. Büren als *Protomyces macrosporus* identifizierte und der auch nur durch Keimung von Sporen in irgendwelchen Teilen der Frucht auf unsere Pflanzen gelangt sein konnte. Die Mehrzahl der gefundenen Sporen aber gehörte sicher der *Plasmopara* an. (Unterdessen ist es wahrscheinlich geworden, daß auch bei *Pl. nivea* auf *Pimpinella major* das gleiche Verhalten möglich ist.)

Es erhebt sich nun die Frage nach dem weiteren Verhalten des Myzels in beiden Fällen, speziell um die Entscheidung, ob dasselbe durch die Cotyledonen hinunter wächst, um auf diesem Weg in die Blätter und den Vegetationspunkt zu gelangen, oder ob die Infektion der Blätter, die schon in sehr frühen Stadien erfolgt, wo die Cotyledonen sich noch nicht von der Fruchtschale befreit haben, durch die Konidien geschieht, die sich auf den letzteren bilden. Sollte das Myzel große Wanderungen unternehmen, so fragte es sich auch, ob es nicht auch in die Wurzel hinunter gelange und so vielleicht zum Perennieren käme. Um die Frage zu entscheiden, fixierte ich am 14. Mai von befallenen Keimlingen von *Aegopodium Podagraria* ein Stück des Stiels von einem jungen Blatt, sowie die Stelle, wo die Cotyledonen in das Würzelchen münden und wo auch die Abgangsstelle des ersten Blättchens samt dem Vegetationspunkt sich findet, in der Juelschen Lösung. Die Schnitte zeigten, daß das Myzel ziemlich stark in dem Gewebe der Cotyledonen herumwuchert. Die Textfigur 12 zeigt das Bild eines Myzelfadens, der eine eigentümlich schwach ausgebildete Membran, reichlichen Inhalt und gut erkennbare Kerne aufweist, welche man bequem mit denen des Wirtsgewebes vergleichen kann. Auch ließen die Schnitte erkennen, daß Myzelstränge bis zu der Ansatzstelle der Cotyledonen hinunter zu finden sind; niemals aber gelang es mir, solche den Weg in den Vegetationspunkt nehmen zu sehen, und

auch die kleine Knospe einer andern Pflanze zeigte keine Myzelspuren. Wohl fand ich solche im Stiel des ersten Blättchens bis tief hinunter. Diese konnten aber von dem aus dem infizierten Blatt hinuntersteigenden Myzel stammen. Auch in einem Blattstiel des ersten Blättchens von *Ligusticum Mutellina* fand ich sichere Zeichen, daß hier Myzel gewesen sein mußte; denn nicht nur das Blättchen selbst, das am Absterben war, sondern auch sein Stiel wiesen tief hinunter Oosporen auf. Auch in diesem Fall war kein Grund vorhanden zur Annahme, daß das Myzel unten hindurch gewachsen sei; ebenso gut konnte es von dem durch Konidien infizierten Blättchen hinuntergewandert sein. Die Anwesenheit von Konidienträgern bürgte dafür, daß es sich hier um *Plasmopara*-Oosporen und -Myzel handelte. Es ist in dem jungen zarten Gewebe des Keimlings nicht verwunderlich, daß das Myzel sich ziemlich frei bewegen kann; es verwundert eher, daß es nicht die ganzen Cotyledonen erfüllt. Meine Befunde stützten sich jedoch nur auf wenige Fälle, so daß es wohl denkbar ist, daß in andern Fällen und andern Altersstufen doch eine Wanderung in das Hypocotyl hinunter und durch das Stielchen des Blättchens wieder hinauf stattfindet. Ob dabei auch die Wurzel erreicht und bewohnt wird, weiß ich nicht; das Auftreten der Pilze auf den in Frage stehenden Wirten spricht nicht dafür. Wohl aber fand ich einmal, nachdem ich Infektionsmaterial einen Tag in der Feuchtigkeit gelassen hatte, an den

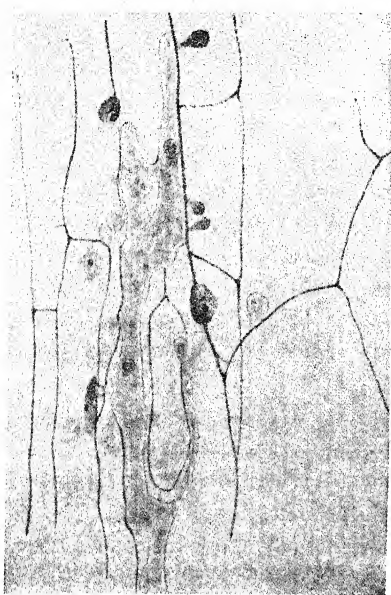


Fig. 12.  
Myzel von *Plasmopara nivea* in einem Cotyledo  
von *Aegopodium Podagraria*, Längsschnitt.  
(Leitz Imm.  $\frac{1}{12}$ , Ok. 3. auf  $\frac{1}{8}$  reduziert.)

Blattstielen von *Aegopodium* der ganzen Länge nach hinunter Rasen, die vielleicht für die Annahme von wandernden Myzelien sprechen. Die seit diesen Untersuchungen weiter gewachsenen Keimlinge, welche im Falle von *Aegopodium* allerdings versetzt wurden, während die von *Ligusticum* ruhig sich weiter entwickeln konnten, sind heute ganz gesund ohne die geringsten Anzeichen von Krankheit; die ehemals stark befallenen gingen zugrunde, zum Teil unter Oosporenbildung wie im oben erwähnten Fall. Es ist diese Tatsache eine Bestätigung der Behauptung Berleses (1898 p. 172), daß für die Bildung der Wintersporen die Jahreszeit nur einen indirekten Einfluß hat und sie einfach gebildet werden, wenn die Wirtspflanze nicht mehr recht arbeitet.

Ich muß allerdings bemerken, daß sich die Weiterentwicklung der Keimlinge in einem Gewächshaus vollzog, da sie nicht Infektionsherde geben sollten, und da ist es wohl möglich, daß die Pflänzchen rascher wuchsen, als sie in der Natur tun würden und der Pilz infolgedessen nicht Schritt halten konnte. Im Fall von *Laserpitium* müßten wir allerdings gerade die umgekehrte Annahme machen, daß nämlich der Pilz unter diesen Umständen sich in optimalen Bedingungen befindet und die Pflanze überwältigen könne.

Alle meine Beobachtungen lassen mich als die wahrscheinlichste Darstellung des normalen Sachverhaltes in der Natur die folgende erscheinen: In günstigen Fällen erreicht das Myzel der *Plasmopara nivea* wenigstens auf den beiden genannten Wirten die Blüte oder diese wird von Konidien infiziert, und es werden in der Fruchtwand Oosporen gebildet. Diese finden in dem feuchten Boden optimale Überwinterungsbedingungen und infizieren auf eine noch genau zu untersuchende Weise die Cotyledonen, die sehr lange in der Samenschale stecken. Diese Infektion hat vielleicht nur den Zweck, die ersten Konidien zu produzieren, die Produktion aber nach Möglichkeit zu sichern. Die so entstandenen Sporen infizieren dann auch erwachsene Pflanzen, und so entsteht die große Epidemie.

Diese Erklärung läßt die Verhältnisse in der Natur weniger rätselhaft erscheinen, als dies bis jetzt der Fall war. Die Frage nach der ersten Infektion im Frühling hatte mich schon lange beschäftigt. Ich hatte große Mühe, Oosporen zu finden, indem die meisten Wiesen gemäht werden, bevor der Pilz zu deren Bildung schreitet, und andererseits waren die Pflanzen im Frühjahr beim Zeitpunkt der ersten Infektionen, auf die ich schon seit drei Jahren ein wachses Auge hatte, immer schon so groß, daß ich nur widerstrebend an die Möglichkeit glaubte, die Infektionen kämen her von den am Boden liegenden Oosporen, die doch bei der Keimung nur wenige Konidien bilden konnten. Noch rätselhafter war die Sache bei der Annahme einer Zoosporenkeimung, wie sie Berlese (1903 p. 89) für *Plasmopara nivea* angibt. Aus dem genannten Grunde verwunderte ich mich auch nicht, daß keiner meiner Kistchenversuche zur Oosporenlösung ein Resultat hatte: auch in diesem Fall waren die Versuchspflanzen, soweit sie überhaupt austrieben, zur Zeit der ersten Infektion in der Natur schon so groß, daß man wirklich nicht erwarten konnte, deren Blätter würden noch erreicht werden. Vielleicht kann eine unter dem gewonnenen Gesichtspunkt durchgeführte Untersuchung Licht bringen in andere Fälle. So ist es immer noch eine große Frage, wie die ziemlich spät im Jahr stattfindende Infektion von *Pastinaca sativa* zustande kommt: Oosporen suchten auf dieser Pflanze De Bary, Otth und ich vergebens.

Auch die hier dargelegte biologische Eigentümlichkeit ist nur für die Gattung *Plasmopara* und die übrigen Peronosporeen neu<sup>1)</sup>. Ohne An-

<sup>1)</sup> Bei der Revision der Literatur finde ich in De Bary 1863 die Angabe, daß er die *Pl. nivea* auch schon im Pericarp von *Meum athamanticum* fand. Er scheint aber der Sache nicht weiter nachgegangen zu sein, wenigstens finde ich nirgends weitere Reflexionen oder Versuche.

spruch auf Vollständigkeit will ich hier nur einige ähnliche Fälle namhaft machen, die ich Alfred Fischer entnehme. Schon er kennt das Vorkommen von Oosporen der *Pl. viticola* in den Früchten von *Vitis*-Arten (Alfred Fischer 1892 p. 436), und Istvanffy hat unterdessen die Beobachtung wieder gemacht. Ferner sind nach jenem Autoren (l. c. p. 448) die Oosporen von *Peromospora Holsti* in „Blättern, Stengeln und Blüten“ zu finden; bei *P. Arenariae* (p. 449) trifft man sie „am häufigsten in den Blüten, deren Boden, ebenso wie der Fruchtknoten und die Samenknoten oft vollgestopft davon sind“. Bei *P. violacea*, wo der Pilz auf die chlorophyll-freien Blütenteile angewiesen ist, werden „die Staubfäden mit Oosporen . . . überhäuft, . . . nie konnten in den Fruchtknoten, deren Samenbildung unterdrückt wird, Oosporen gefunden werden“ (p. 457). Auch *P. Radii* ist auf Blütenteile beschränkt, und Oosporen werden nur in den Randblüten gefunden, diese sind dann aber oft vollgestopft; der ganze Blütenkopf bleibt steril und verfault (p. 459). Bei *F. Euphorbiae* fand De Bary (1863 p. 118) Oosporen in den Hüllblättern der Infloreszenzen von *Euphorbia falcata*, und von *P. Linariae* fand sie Magnus auch in den Scheidewänden und Plazenten reife Samen enthaltender Kaspeln (nach A. Fischer p. 471). Das Material zu Ruhlands zytologischen Untersuchungen an *P. Alsinearum* (Ruhland 1903) stammte aus den „Fruchtknoten der Wirtspflanze, welche sehr reichlich von Oosporen in allen Stadien durchsetzt waren“, und ich selber fand Myzel von *P. arborescens* in Früchten von *Papaver dubium* und von *P. affinis* in solchen von *Fumaria officinalis*, über dessen weiteres Verhalten ich später zu berichten hoffe.

Ob bei einer von diesen Formen die Vorgänge bei der Samenkeimung verfolgt wurden, ist mir nicht bekannt; die Deutung, die uns für unsere Fälle die beste zu sein schien, kann jedenfalls nicht auf alle dieselben ausgedehnt werden. So verfault das Fruchtfleisch der *Vitis*-Früchte, und wenn die Oosporen auch in nächster Nähe des Keimlings verbleiben, so ist der Kontakt mit demselben doch nicht ein so unmittelbarer wie in unserem Fall: für die Überwinterung der *Plasmopara viticola* spielt das perennierende Myzel sicher eine weit wichtigere Rolle. In andern Fällen ist direkt das Ausbleiben der Samenbildung oder das Verderben der ganzen befallenen Blütenstände beobachtet; da kann es natürlich auch nicht zu Keimlingsinfektionen kommen. *P. Linariae* aber verdiente eine genauere Untersuchung unter diesem Gesichtspunkt.

*Sclerospora macrospora* weist nach Peglion (1910 p. 585) Verhältnisse auf, die in ihrer Wirkung den hier angetroffenen ähnlich sein können. Er fand Spuren von Myzel in den Resten der Eihaut; der Keimling, das Albumen und die Samenhülle zeigten hingegen niemals Spuren von Ansteckung. Der Autor machte Aussaatversuche mit den befallenen Samen und erhielt Keimlingsinfektionen, sofern er die Samen säte und sie nicht nachreifen ließ; es handelte sich eben nicht um Oosporen, sondern um Myzelteile, die offenbar längeres trockenes Lagern nicht aushalten.

Sehr viel Ähnlichkeit mit unserer Annahme hat die Deutung, die Clinton (1906) für die Verhältnisse bei *Phytophthora Phaseoli* gibt. Oosporen dieses Pilzes wurden nach langem Suchen erst von ihm gefunden, und zwar in den Samen von stark infizierten Hülsen der Limabohne; nicht alle solche Samen enthalten zwar Sporen; aber in manchen konnten sie doch gefunden werden, und zwar in den Samenschalen und Cotyledonen. Die befallenen Samen bringen aber, sofern sie überhaupt keimen nicht ohne weiteres kranke Pflanzen hervor; Clinton konnte sogar in keinem Falle solche erhalten. Der Autor hält es für sehr wahrscheinlich, daß nicht eine direkte Einwanderung von Myzel aus den kranken überwinternten Samen in die junge Pflanze stattfindet, sondern daß auf den Samen, wenn sie gepflanzt werden, sich wenige Konidien bilden, die dann für sekundäre Infektionen sorgen. Also Verhältnisse, die mit den unsrigen so weit übereinstimmen, als es die Morphologie der Wirtspflanze nur erlaubt!

### III. Konsequenzen unserer Untersuchungen für die Systematik der drei untersuchten Plasmopara-Arten.

Die folgenden Darlegungen sollen lediglich den Zweck haben, die Resultate unserer Untersuchungen mit Rücksicht auf die einzelnen Formen zusammenzustellen, statt, wie dies bis jetzt geschah, mit Rücksicht auf gewisse Eigenschaften. Dabei können sich allfällige Korrelationen im Verhalten mehrerer Eigenschaften zeigen. Auf keinen Fall möchte ich die Beschreibungen einzelner Formen als verkappte Taufen aufgefaßt wissen; denn voreilige Taufen haben die Systematik der Peronosporaceen schon genügend verwirrt. Ich bin zwar der vollen Überzeugung, daß die Resultate von Infektionsversuchen wohl erlauben würden, die festgestellten Verschiedenheiten zur Aufspaltung der untersuchten Arten zu benutzen; aber was uns not tut, ist nicht eine endlose Vermehrung der „Pilz“-Arten, sondern sind Untersuchungen über das Verhältnis derselben zu der Art als allgemeiner systematischer Einheit, die, man mag sie im übrigen enger oder weiter fassen, sich doch nur auf den Genotypus stützen darf. Über das Verhältnis der beiden „Arten“ aber haben wir auch nicht die geringste Ahnung.

Wenn wir uns also fragen, ob eine Korrelation zwischen den Eigenschaften der Träger und denen der Konidien bestehe, so können wir darauf nicht eine allgemeine Antwort geben. Es ist am besten, wenn wir die Frage für die einzelnen untersuchten Arten gesondert betrachten.

#### 1. *Plasmopara nivea*.

Bei dieser Art sehen wir die Form mit den abweichendsten Konidien (auf *Peucedanum palustre*) Träger aufweisen, die von denen der meisten andern Formen nicht unterschieden werden können, und andererseits zeigen wohl die beiden *Anthriscus*-Arten, die in den Trägern wenigstens bei typischen Formen leicht von den andern zu unterscheiden sind, ziemlich gleich große Konidien, die aber mitten in der Reihe der andern

mit den gewöhnlichen Trägern stehen. Und wohl finden wir einige Formen mit abweichenden Trägern bei den größten in bezug auf die Mittelwerte der Konidien, aber mitten unter ihnen wieder eine mit typischen Trägern. Auch unter den andern Formen mit großen Konidien weisen die Träger-eigentümlichkeiten kaum eine Verwandtschaft auf; die Form auf *Laserpitium* tritt ja ganz aus dem *nivea*-Schema heraus in bezug auf die Träger. Man darf also auf jeden Fall nicht von einer durchgehenden Korrelation zwischen Konidiengröße und Trägerhabitus sprechen, wenn auch einzelne Fälle etwas derartiges andeuten.

Dem Versuch, die abweichenden Formen zu charakterisieren, wollen wir die Bemerkung vorausschicken, daß auf jedem der zu nennenden Wirte Träger gefunden werden können, die der Beschreibung nicht entsprechen. Sollten die Beschreibungen als Diagnosen gedacht werden und allen vorkommenden Trägern genügen, so müßte man nicht nur für die ganze *Plasmopara nivea*, sondern auch für alle *Plasmopara*-Arten die Diagnose setzen: „Es kommen alle kleineren Trägertypen der Peronesporen vor“. Wenn wir uns aber, wie dies ja auch in den Beschreibungen der heutigen Arten geschieht, an die am häufigsten anzutreffende Gestalt der Träger halten, so können wir die Formen etwa wie folgt beschreiben:

- a) Typus der *Plasmopara nivea*: Träger 100—300  $\mu$  hoch und 5—9  $\mu$  dick, meist steif aufrecht, an der Basis mit mehr oder weniger ausgeprägter Anschwellung, nach oben sich meist etwas verjüngend, an der Spitze allmählich in ein oder mehrere Sterigmen auslaufend. 1—4 Seitenzweige gehen meist unter ziemlich stumpfem Winkel ab, können ziemlich lang werden und laufen an ihrem Scheitel wieder in ein bis mehrere Sterigmen aus, wie die sehr kurzen sekundären Seitenzweige, wenn solche überhaupt vorhanden sind. Sterigmen an den Zweigenden allmählich sich verschmälernd, pfriemlich-zylindrisch von verschiedener Länge, meist 8—13  $\mu$ , aber auch bis 20  $\mu$  lang werdend.

Diese sehr variable Trägerform wird in den folgenden Beschreibungen als „Typus“ bezeichnet; sie ist zu finden auf allen in unserer Liste auf S. 258 aufgezeichneten Wirten, die nicht unten unter den abweichenden Formen stehen. Es besteht kein Zweifel darüber, daß nach Ausführung von Infektionsversuchen man auch unter diesen Formen noch für bestimmte Wirte charakteristische und auf diese beschränkte Formen finden kann. So scheint mir die Form auf *Ligusticum Mutellina* etwas abzuweichen; aber bevor man die Variationsbreite unter verschiedenen Außenbedingungen eingehend studiert hat, darf man in der Isolierung bestimmter Formen wohl kaum weiter gehen, als ich es getan habe.

(Der Ausdruck „Sterigma“ für die letzten Auszweigungen ist etwas ungewöhnlich; aber er erlaubt, die Beschreibungen nicht noch schwerfälliger zu machen, als sie ihrer Natur nach schon sind.)

- b) Formen auf *Anthriscus silvestris* und *Cerefolium*: Häufigste Trägerhöhe um 160  $\mu$  herum, bei feuchtem Wetter aber bis doppelt so hoch; die Dicke ist meist erheblicher als beim Typus, im Mittel etwas über 7  $\mu$ , aber bis unter 4  $\mu$  sinkend und über 9  $\mu$  steigend; basale Anschwellung nicht ausgesprochen. Hauptstamm steif aufrecht, nach oben nur wenig oder gar nicht verjüngt; sehr oft ohne eigentliche Seitenzweige; es können aber auch mehrere solcher unter stumpfem Winkel abgehen und bis zu ziemlicher Länge ausgebildet werden. Sie sind dann meist kaum dünner als der Hauptstamm, nach oben auch nicht verjüngt, sondern plötzlich eingeschnürt und ein oder mehrere Sterigmen tragend, oder sie verzweigen sich in mehrere ganz kurze und sich meist nach vorn verbreiternde sekundäre Seiten„zweige“, die auch plötzlich abgesetzt mehrere Sterigmen tragen. Sterigmen meist merklich kürzer und dünner als beim Typus, schwach gebogen, meist sehr gehäuft. Konidien mit folgenden Mittelwerten:

Auf *A. silvestris* . . 20,90  $\mu$  Länge, 17,12  $\mu$  Breite,

„ *A. Cerefolium* . 20,04  $\mu$  „ , 17,19  $\mu$  „

- c) Form auf *Conium maculatum* (nur nach einem Exsikkat): Träger gewöhnlich unter 200  $\mu$ ; Stamm meist etwas dicker als beim Typus, gegen unten etwas erweitert, aber ohne deutliche Anschwellung. steif aufrecht; Seitenzweige, wenn überhaupt vorhanden, äußerst kurz, meist allmählich in die Sterigmen auslaufend, seltener sind diese wie bei den Formen auf *Anthriscus* deutlich abgesetzt; Sterigmen zylindrisch, schwach gebogen, etwa gleich groß wie beim Typus oder etwas dicker, im ganzen Habitus an einfachere Formen der *Pl. pygmaea* erinnernd. Konidienmittelwerte: 22,78  $\mu$  Länge, 19,40  $\mu$  Breite.

- d) Form auf *Laserpitium latifolium*: Träger gewöhnlich unter 200  $\mu$ ; Stamm dünner als beim Typus, manchmal steif aufrecht, sehr oft aber geschlängelt, sogar die Stämme verschiedener Träger umeinander gewickelt; Seitenzweige oft unter spitzem Winkel abgehend, manchmal so stark wie der Hauptstamm, so daß die Verzweigung dichotom ist. Zweige ganz kurz und allmählich in ein bis drei Sterigmen auslaufend oder länger und dann selten noch einmal verzweigt. Meist fehlen aber Seitenzweige völlig. Sterigmen zylindrisch, fast gerade bis S-förmig gekrümmmt, oft länger als beim Typus. Der ganze Habitus hat viel Ähnlichkeit mit dem einfachen Träger von *Pl. densa*.

Konidienmittelwerte: 22,89  $\mu$  Länge, 17,73  $\mu$  Breite.

Myzel (immer?) im Rhizom des Wirtes perennierend.

- e) Form auf *Angelica refracta* (nur nach einem Exsikkat): Träger gewöhnlich um 200  $\mu$  hoch, aber auch bis zu 300  $\mu$ ; Hauptstamm etwa so dick wie beim Typus mit kaum ausgesprochener basaler

Anschwellung, nach oben etwas verjüngt; gerade aufrecht oder verschieden gebogen, oft wie bei *Laserpitium* direkt die Sterigmen tragend, oder mit wenigen, meist kurzen, seltener ziemlich langen Seitenzweigen, die allmählich in zwei Sterigmen auslaufen oder solche an ihren sekundären Seitenzweigen tragen. Sterigmen eher dicker als beim Typus, zylindrisch, gerade oder etwas gekrümmmt. Konidien groß, mittlere Länge  $28 \mu$ , mittlere Breite  $21,48 \mu$ , in der Jugend mit ganz zarter Membran; diese wird erst an der ziemlich großen Konidie wahrscheinlich von deren Ansatzpunkt aus verdickt zur normalen Dicke.

- f) Form auf *Peucedanum palustre*: Träger wie beim Typus; aber Konidien viel länglicher. Mittlere Länge  $25,03 \mu$ , mittlere Breite  $16,19 \mu^1$ .

## 2. *Plasmopara pygmaea*.

Bei dieser Art sind die festgestellten Unterschiede in der Konidiengröße nicht ganz so groß wie bei *Pl. nivea*; hingegen zeigen die Träger erheblichere Unterschiede. Wenn wir wiederum nach den Korrelationen fragen, so ist die gleiche Antwort zu geben wie bei *Pl. nivea*: einerseits haben wir ein Beispiel ausgezeichneter Korrelation bei den Formen auf *Anemone canadensis* und *A. caroliniana*, die die kleinsten Konidien der Art aufweisen, während ihre Träger zu den größten gehören und auch sonst Eigentümlichkeiten aufweisen, die in den bisherigen Diagnosen der *Pl. pygmaea* nicht berücksichtigt wurden. Ferner zeigen auch die auf *Anemone Raddeana* und *A. flaccida* gemeinsame Trägercharaktere bei ziemlich gleich großen Konidien. Aber die Sporen auf *Isopyrum thalictroides*, welche Form nach den Trägereigenschaften in unmittelbare Nähe der eben genannten zwei Formen gehört, stehen in unserer Liste der Mittelwerte (S. 259) abseits,

---

<sup>1)</sup> Meine Resultate stimmen nicht schlecht mit denen von Caspary überein, die mir erst nach der Drucklegung meiner Arbeit zu Gesicht kamen. Er unterscheidet nämlich von *P. Umbelliferarum* folgende Varietäten:

a) *Conii* forma minor, stipitibus  $1/_{17}-1/_{11}$ " altis, ordinibus ramorum 1—2, ramellis ultimi ordinis brevissimis, subulatis, rectis, acrosporis maioribus (auf *Conium maculatum*).

b) *Angelicae*, forma maior, stipitibus  $1/_{13}-1/_{7}$ " altis, ordinibus ramorum 2—4, ramellis ultimi ordinis longioribus, paululum curvatis; acrosporis maioribus (auf *Angelica silvestris*).

γ) *Chaerophylli*, ut antecedens, ramellis ordinis ultimi rectis (auf *Chaerophyllum silvestre*).

δ) *Aegopodii*, forma maior, stipitibus  $1/_{6}-1/_{5}$ " altis, ordinibus ramorum 2—3, ramellis ultimi ordinis rectis, brevissimis, acrosporis maioribus  $1/_{173}-1/_{142}$ " latis,  $1/_{149}-1/_{123}$ " longis (auf *Aegopodium Podagraria*).

Also auch hier die Form auf *Conium* deutlich kleiner als die andern: die Beschaffenheit der Sterigmen ist bei Untersuchung von zahlreichem Material nicht so charakteristisch.

und noch weniger kann man von einem Zusammenfallen der beiden Eigenschaften reden bei den Formen auf *Anemone ranunculoides*, *A. Hepatica* und *A. nemorosa*, die man mit Rücksicht auf ihr Vorkommen in der Natur am ehesten als identisch anzusehen geneigt wäre, während mit Rücksicht auf die Träger vielleicht die Form auf *A. Hepatica* abgesondert werden müßte; nach den Konidienmassen aber steht *A. nemorosa* weit von den andern. Vielleicht sind also alle drei Formen selbstständig; von einer Korrelation beider Charaktere kann keine Rede sein.

Wenn wir die verschiedenen Typen zu charakterisieren versuchen, so geschieht das wieder unter allem Vorbehalt in bezug auf den Einfluß der Außenbedingungen, die ich natürlich an dem Material, das mir nur in getrockneter Form zur Verfügung stand, nicht prüfen konnte, und andererseits verfügte ich von einigen Formen nicht über mehrere Exsikkate, was unter unter Umständen ein sehr einseitiges Bild gibt. Daher werde ich nur die Formen charakterisieren, deren Unterschied von den andern so groß ist, daß er jedenfalls die so bedingten Schwankungen übersteigt. (Vergleiche die Tafeln!)

- a) Formen auf *Anemone canadensis* und *caroliniana*: Träger meist über 200  $\mu$  hoch, mitunter sogar 300  $\mu$  übersteigend; Dicke um 15  $\mu$  herum, ungeteilte Basis nicht so hoch wie bei den meisten andern Formen der Art, sondern mitunter nicht einmal die Hälfte der Trägerhöhe. Seitenzweige 3—4 und mehr, meist ziemlich horizontal abstehend und eine ansehnliche Höhe erreichend, am Ende und an ganz kurzen aufgeblasenen sekundären Seitenzweigen gehäuft zylindrische bis konische Sterigmen tragend, die viel kürzer und dünner sind als bei den andern Formen (selten über 8  $\mu$  lang und 1—2  $\mu$  dick).

#### Conidienmittelwerte:

<i>A. canadensis</i>	18,21 $\mu$	Länge,	16,32 $\mu$	Breite,
<i>A. caroliniana</i>	18,24 $\mu$	" ,	16,22 $\mu$	" .

- b) Formen auf *Anemone Raddeana* und *flaccida*: Träger meist nicht 200  $\mu$  hoch, auch die Dicke meist etwas geringer als bei den Formen a); Verzweigung wie bisher als typisch für die Art gehalten: ungeteilte Basis mindestens 3—4; Seitenzweige, wenn überhaupt vorhanden, sehr kurz, sofort in einige Sterigmen auslaufend oder nur am Scheitel des Hauptstammes Sterigmen. Diese sind viel länger und dicker als die andern Formen (bis zu 17  $\mu$  lang und 2—4  $\mu$  dick, zylindrisch und gerade oder schwach gebogen. Konidien ziemlich groß. Mittelwerte für die Form:

auf <i>A. Raddeana</i>	22,22 $\mu$	Länge,	19,70 $\mu$	Breite,
" <i>A. flaccida</i>	22,64 $\mu$	" ,	20,17 $\mu$	" .

Die Träger der andern untersuchten Formen stehen zwischen diesen Extremen, und es lassen sich vorläufig höchstens drei Formen noch scharf

charakterisieren in dem Sinn, daß deren Träger in den Jugendstadien oder bei Wachstum in der Trockenheit kaum von den andern verschieden sind, daß sie aber, wenn ihnen gute Wachstumsbedingungen gegeben sind, sich reichlicher verzweigen als die andern Formen, auch wenn diese unter gleichen Bedingungen standen.

- c) Form auf *Atragene alpina*: der Form a) sich nähernd; aber meist etwas niedriger und spärlicher verzweigt, die Sterigmen nicht so sehr gehäuft und etwas größer. Konidien von  $20,03 \mu$  mittlerer Länge und  $17,77 \mu$  mittlerer Breite.
- d) Form auf *Anemone Hepatica*: der Diagnose Alfred Fischers für *Pl. pygmaea* entsprechend (die allerdings die Höhe überhaupt etwas zu gering angibt, indem diese in vielen Fällen  $200 \mu$  erreichen kann); aber mehr zu reichlicher Verzweigung geneigt als die folgenden Formen. Konidienmittelwerte:  $21,66 \mu$  Länge,  $19,5 \mu$  Breite.

Die Form auf *Thalictrum alpinum* (= *Plasmopara alpina* (Joh.) Rosenb.) steht in bezug auf die Konidiengröße in der Nähe von *Anemone ranunculoides* und scheint in den Trägern mit dieser Form und der auf *Anemone nemorosa* übereinzustimmen, so daß ich sie gestützt auf morphologische Charaktere nicht abzugliedern vermag. Der Schöpfer der *Pl. alpina* hat sich wohl zu wenig Rechenschaft gegeben über die Variabilität der Trägerform. Bei der Form auf *Isopyrum thalictroides* müßte man sich auf die Eigentümlichkeit stützen, daß kleine Konidien zusammen mit dem *Raddeana-flaccida*-Typus der Träger vorkommen, um sie von diesem unterscheiden zu können. Aber dann müßte man konsequenterweise das gleiche Prinzip auf *Anemone alpina*, *A. nemorosa* anwenden; letztere trennt man aber nur ungern von *A. ranunculoides*, so daß ich es vorläufig mit diesem Hinweis bewenden lassen will; vielleicht daß man nach Ausführung von Infektionsversuchen hier noch etwas weiter kommt. Auch *Anemone quinquefolia* kann erst auf diese Weise eine befriedigende Stellung erhalten. Wir könnten vorläufig ähnlich wie bei *Pl. nivea* die Träger der Formen auf *Anemone nemorosa*, *A. ranunculoides*, *A. alpina* und *A. quinquefolia* als „Typus“ von *Pl. pygmaea* zusammenfassen; sie entsprechen den bisherigen Beschreibungen unserer Art.

### 3. *Plasmopara densa*.

Aus den Resultaten für diese Art wage ich noch gar keinen Schluß zu ziehen. Wohl scheint es, daß die Konidien der Formen auf *Euphrasia* kleiner seien als die auf *Alectrolophus*; aber die Unterschiede sind so klein, daß sie ebenso gut zufällig sein können. Und die dichotomen Träger sind nicht beschränkt auf die Formen einer Gattung. Es ist sogar klar, daß die Feuchtigkeitsverhältnisse auf die Art der Verzweigung einen großen Einfluß haben, der übrigens nicht auf unsere Gattung beschränkt ist, indem Feuchtigkeitskulturen immer größere Annäherung an den grazileren dichotomen Typus erkennen lassen.

Die moderne Untersuchung von Ulbrich (1905) über die Gattung *Anemone* erlaubt wenigstens für *Pl. pygmaea* einige Überlegungen über das Verhältnis der Systematik der Pilzformen zu der der Wirte, die aber natürlich beim Fehlen von Infektionsversuchen fragmentarisch bleiben müssen und sich nur auf morphologische Pilzcharaktere stützen können. Wir können also z. B. nicht feststellen, ob sich im biologischen Verhalten der Formen von *Pl. pygmaea* Verhältnisse wiederfinden, wie sie Ed. Fischer (1913) für *Puccinia Pulsatillae* Kalchbr. fand, die streng auf Wirte einer Sektion der Untergattung *Pulsatilla* beschränkt ist. Morphologisch kann von einer solchen Parallelie nicht die Rede sein; denn wir treffen in der Reihe zunehmender Konidiengröße nicht nur Formen auf Anemonen verschiedener Sektionen, sondern überhaupt solche auf Wirten verschiedener Ranunculaceengattungen ohne bestimmte Reihenfolge. Und auch in bezug auf die Trägercharaktere steht z. B. die Form auf *Isopyrum thalictroides* denen auf gewissen *Anemone*-Arten näher als die Formen auf Arten dieses Genus unter sich. Und doch scheint mir bei eingehender Untersuchung eine bestimmte Gesetzmäßigkeit nicht zu fehlen, die aber darauf deutet, daß nicht die systematische Stellung der Wirte, sondern deren geographische Verbreitung eine gewisse Rolle spielt.

Vergleichen wir die Formen auf Wirten der Sectio *Anemonanthea* D. C. des Subgenus *Euanemone* Prantl — *A. ranunculoides* L., *A. Raddeana* Regel, *A. nemorosa* L., *A. quinquefolia* (= *A. nemorosa* L., subspec. *americana* L., var. *quinquefolia*) und *A. flaccida* (= *A. baicalensis* Turczaninoff subspec. *flaccida*) miteinander, so finden wir, daß sich sowohl in Konidiengröße als in Trägerform *A. Raddeana* und *A. flaccida* sehr nahe stehen, und daß sich die andern drei Formen in den Trägern auch ziemlich gleichen, während die Konidienmaße keine näheren Beziehungen erkennen lassen. Nun bemerken wir aber, daß sich die Verbreitungsgebiete der beiden ersten Formen zum großen Teil decken und auch in bezug auf den Charakter der Standorte weitgehende Übereinstimmung herrscht, indem Ulbrich für *A. Raddeana* (p. 220) angibt: „Sie wächst in schattigen Laub- und Nadelwäldern und Gebüschen der Mandschurei, Nordkoreas, Japans und Sachalins“ und für *A. flaccida* (p. 232): „Vorherrschende Form schattiger feuchter Standorte, besonders der Laubwälder Chinas und Japans, doch auch der Nadelwälder Sachalins“. Daraus darf man allerdings angesichts des Verhaltens unserer drei einheimischen Waldanemonen nicht sofort auf völlige Identität der beiden Formen schließen; aber die Konzidenz der morphologischen Charaktere mit der geographischen Verbreitung der Wirte gibt doch zu denken. Und wenn wir andererseits die nahe Verwandtschaft von *A. nemorosa* und *A. quinquefolia* ins Auge fassen und damit den großen Unterschied in der Konidiengröße der sie bewohnenden Pilzformen vergleichen, der doch wohl auch bei zahlreicher Messungen und Berücksichtigung der Variabilität nicht ganz verschwinden dürfte, so scheint mir auch da die Annahme von „geographischen Formen“ wenigstens

diskutabel. Das Verhalten der Formen auf *A. nemorosa* und *A. ranunculoides* zueinander hoffe ich noch experimentell bestimmen zu können.

Die in Trägerform und Konidiengröße übereinstimmenden und sich vor allem in ersterer von den andern Formen ganz deutlich unterscheidenden Formen auf *A. caroliniana* und *A. canadensis* (= *A. dichotoma L.*) — das Pendant zu *A. Raddeana* und *A. flaccida* — zeigen wiederum ein teilweises Zusammenfallen der Wirtsverbreitungsgebiete und große Ähnlichkeit in der Wahl des Standortes, indem wir es in beiden Fällen mit Steppenpflanzen Nordamerikas zu tun haben (*A. canadensis* kommt daneben aber auch in Asien vor); die beiden Wirte gehören aber zu verschiedenen Sektionen von Euanemone.

Ich glaube also, daß, wenn überhaupt von einer Gesetzmäßigkeit gesprochen werden kann, diese darin besteht, daß die Pilzformen gleicher Gebiete sich in manchen, aber bei weitem nicht allen Fällen gleichen, nicht aber die auf Wirten von naher systematischer Verwandtschaft. Für die erstere Annahme scheinen mir allerdings sehr stark zu sprechen die Beschränkung des *Raddeana-flaccida*-Typus von *Pl. pygmaea* auf Japan und Umgebung und des *canadensis-caroliniana*-Typus, auf Nordamerika, während auf andern Wirten der Sektion *Anemonanthea*, zu der die Wirte des ersten Typus gehören, andere Ausbildungen der *Pl. pygmaea* gefunden werden und die Wirte des zweiten Typus verschiedenen Sektionen angehören.

Mehr Sicherheit in unsere Angelegenheit können nur weitere Untersuchungen über die Variabilität der Trägerformen und Infektionsversuche bringen.

### Literaturverzeichnis.

- Berlese, A. N. 1898. Über die Befruchtung und Entwicklung der Oospaere bei den Peronosporeen. Jahrbücher f. wiss. Botanik. Bd. 31.
- Berlese, A. N. 1902. Saggio di una monographia delle Peronosporacee. Rivista di patologia vegetale. Vol. IX.
- Bucholtz, F. 1909. Verzeichnis der bisher für die Ostseeprovinzen Rußlands bekannt gewordenen Peronosporineae. Korr.-Bl. d. Naturforscher-Vereins zu Riga. Bd. LII.
- von Büren, G. 1915. Die schweiz. Protomycetaceen mit besonderer Berücksichtigung ihrer Entwicklungsgeschichte und Biologie. Beitr. z. Krypt.-Flora d. Schweiz. Bd. V, Heft 1.
- von Büren, G. 1917. Beitrag zur Kenntnis des Myzels der Gattung Volkartia R. Maire (v. Büren). Mitteil. d. naturf. Gesellschaft Bern a. d. Jahre 1916.
- von Büren, G. 1918. Beitrag zur Biologie und Entwicklungsgeschichte von *Protomyces inundatus* Dang. Mitteil. d. naturf. Gesellschaft Bern a. d. Jahre 1917.
- Caspary, R. 1855. Über einige Hyphomyceten mit zwei- und dreierlei Früchten. Monatsber. Kgl. Preuß. Akad. Wiss. Berlin.

- Clinton, G. P. 1905. Downy mildew, or Blight, *Peronoplasmopara Cubensis* (B. & C.) Clint., of Musk Melons and Cucumbers. Rept. Connecticut Agr. Expt. Station f. th. year 1904.
- Clinton, G. P. 1906. Downy Mildew, *Phytophthora Phaseoli Thaxt.* of Lima beans. Rept. Connecticut Agr. Expt. Stat. f. the year 1905.
- Dastur, J. F. 1916. *Phytophthora* on *Vinca rosea*. Mem. of the Dept. of Agricult. in India. Vol. VIII.
- De Bary, A. 1863. Recherches sur le développement de quelques champignons parasites. Ann. Sc. nat. Partie Botanique. Sér. IV, Vol. XX.
- Fischer, A. 1892. Phycomycetes. Rabenhorsts Kryptogamen-Flora. Bd. I, Abt. IV.
- Fischer, Ed. 1913. Beiträge zur Biologie der Uredineen, 5. Mycolog. Centralblatt. Bd. 3, p. 214—220.
- Fischer, Ed. 1917. Der Speziesbegriff und die Frage der Speziesentstehung bei den parasitischen Pilzen. Verh. d. schweiz. naturf. Ges., 98. Jahresvers., Schuls. 1916.
- Gäumann, E. 1918. Über die Formen der *Peronospora parasitica* (Pers.) Fries. Beihefte z. bot. Centralblatt.
- Halsted. 1890. Notes upon Peronosporaceae for 1890. Bot. Gaz. Vol. 15.
- Halsted. 1891. Notes upon Peronosporaceae for 1891. Bot. Gaz. Vol. 16.
- Johannsen, W. 1913. Elemente der exakten Erblichkeitslehre. 2. Auflage, Jena 1913.
- Istvanffi et Palinkas. 1913. Études sur le Mildou de la vigne. Ann. d. l'inst. centr. ampérol. R. Hongrois. T. IV.
- Magnus, P. 1890. Erstes Verzeichnis der ihm aus dem Kanton Graubünden bekannt gewordenen Pilze. Sep. a. d. XXXIV. Jahresb. d. naturf. Gesellsch. Graubündens.
- Massee, G. & I. 1913. Mildews, Rusts and Smuts, a synopsis of the families Peronosporaceae, . . . London.
- Melhus, I. E. 1915. Perennial mycelium in species of Peronosporaceae related to *Phytophthora infestans*. Journ. of Agricultural Research. Vol. V, No. 2.
- Migula, W. 1910. Kryptogamen-Flora v. Deutschland usw. Bd. III, 1. Teil. Gera 1910.
- Peglion, V. 1910. Über die Biologie der *Sclerospora*, eines Parasiten der Gramineen. Centralbl. f. Bact. II. Abt., Bd. 28.
- Pethybridge, G. 1914. Further observations on *Phytophthora erythroseptica* Pethybr., and on the disease produced by it in the Potato plant. Sc. Proc. of the R. Dublin Soc. Vol. XIV, N. S.
- Ruhland, W. 1903. Studien über die Befruchtung der *Albugo Lepigoni* und einiger Peronosporaceen. Jahrb. f. wiss. Bot. 39.
- Sieben, H. 1913. Einführung in die botanische Mikrotechnik. Jena, Gust. Fischer.
- Tiesenhausen, M. 1912. Beiträge zur Kenntnis der Wasserpilze der Schweiz. Arch. f. Hydrobiol. und Planktonkunde. Bd. VII.
- Trow, A. H. 1901. Observations on the biology and citology of *Pythium ultimum* sp. Annals of Botany. Vol. IV, 1.
- Ulbrich, E. 1905. Über die systematische Gliederung und geographische Verbreitung der Gattung *Anemone* L. Bot. Jahrb. f. Systematik usw. v. Engler. Bd. 37.

- Wartenweiler, A. 1917. Beiträge zur Kenntnis der Gattung *Plasmopara*.  
Annales Mycologici. Vol. XV.
- Wartenweiler, A. 1918. Zur Biologie der Gattung *Plasmopara*. Verh. d.  
schweiz. naturf. Ges., 99. Jahresvers., Zürich 1917.
- Wilson, G. W. 1907. Studies in North American Peronosporales II. Contribu-  
tions from the New York Bot. Garden, No. 95. (From the Bull. of the  
Torrey Bot. Club, Vol. 34.)
- 

### Erklärung der Tafeln.

Die Mikrophotographien wurden nach Präparaten gemacht, die in Milchsäure gekocht und mit JJK. gefärbt worden waren. Die zugrunde liegenden Exsikkate sind für die Träger der Tafeln I und II in der Aufstellung auf S. 258 unter den entsprechenden Nummern verzeichnet, sofern sich unten nicht besondere Nachweise finden.

#### Tafel I.

Konidienträger von *Plasmopara nivea* auf folgenden Wirten (bei 300facher Vergrößerung photographiert, beim Druck um  $\frac{1}{9}$  reduziert):

- Fig. 3. *Pimpinella magna* (Herb. Otth in Herb. bot. Inst. Bern).  
 „ 4. *Aegopodium Podagraria*.  
 „ 5. *Pastinaca sativa* (Worblaufen-Bern, VII. 1916).  
 „ 6. *Archangelica officinalis*.  
 „ 9. *Angelica silvestris* (Sydow, Mycotheca germanica No. 779).  
 „ 11. *Anthriscus Cerefolium*.  
 „ 12. *Seseli gummiferum*.  
 „ 13. *Anthriscus silvester* (Wabern-Bern, 16. V. 17).  
 „ 14. *Ligusticum Mutellina* (Rosenlaui, Haslital, 12. VIII. 10, leg. Ed. Fischer,  
Herb. bot. Inst. Bern).  
 „ 15. *Palimbia salsa*.  
 „ 16. *Foeniculum officinale*.  
 „ 17. *Conium maculatum*.  
 „ 18. *Laserpitium latifolium*.  
 „ 19. *Pucedanum palustre*.  
 „ 20. *Angelica refracta*.

#### Tafel II.

Konidienträger vom *Plasmopara pygmaea* auf folgenden Wirten (bei 200facher Vergrößerung photographiert, beim Druck um  $\frac{1}{9}$  reduziert):

- Fig. 1. *Anemone canadensis*.  
 „ 2. „ *caroliniana*.  
 „ 3. *Isopyrum thalictroides*.  
 „ 4. *Thalictrum alpinum*.  
 „ 5. *Atragene alpina*.  
 „ 6. *Anemone ranunculoides*.  
 „ 7. „ *Hepatica*.  
 „ 8. „ *quinquefolia* (Ascomyc. und lower fungi, Wilson & Seaver No. 93).

Fig. 9. Anemone Raddeana.

- " 10. " flaccida.
- " 11. " alpina-sulphurea (Herb. Mayor).
- " 12. " nemorosa.
- " 13. Pulsatilla pratensis (Sydow, Phycomyceten et Protomyceten No. 163).

T a f e l III.

Objekte bei unten angegebener Vergrößerung photographiert, beim Druck um  $\frac{1}{2}$  reduziert).

Fig. 1—3. Konidienträger von *Plasmopara densa* auf (Vergrößerung 110):

- 1. Euphrasia nemorosa (Sydow, Phyc. et Prot. No. 285).
- " 2 u. 3. Alectrolophus parviflorus (Fungi Eichleriani Lief. II. No. 36).
- " 4. Myzel von *Plasmopara nivea* im Rhizom von *Laserpitium latifolium*, Querschnitt, Fixierung 4 (siehe Textfig. 7) (Vergrößerung 170).
- " 5. u. 6. Konidienträger von *Plasmopara nivea* auf (Vergrößerung 150):
- " 5. *Laserpitium latifolium* (Exs. wie Taf. I Fig. 18).
- " 6. *Sium lancifolium* (Exs. wie No. 2 der Aufstellg. v. Pl. *nivea* auf S. 258).

## Zwei neue Fusarien, *Fusarium luteum* und *Fusarium rubrum* nebst Untersuchungen über die Bedeutung der Anastomosen.

Schweizerische Versuchsanstalt für Obst-, Wein- und Gartenbau, Wädenswil.

Von Dr. E. Paravicini.

(Mit Tafel.)

Bisher wurde in Europa erst eine Fusarienspezies, die Kernobst zum Faulen zu bringen vermag auch nach der pathologischen Seite hin beschrieben; es ist dies *Fusarium putrefaciens* Osterwalder (No. 9). Außerdem wurde von Appel und Wollenweber (No. 2) *Fusarium Willkommii* Lindau aus dem Kerngehäuse eines faulen Apfels isoliert, die Fäulnisscheinungen werden nicht näher beschrieben. Ferner liegt von Jacky (No. 5) eine Notiz vor, wonach *Fusarium apioigenum* Sacc. einmal in Proskan auf einem faulen Apfel gefunden wurde; allerdings ist diese Art ungenügend beschrieben, weshalb die Richtigkeit dieser Angabe schon angezweifelt wurde (No. 9 pag. 336). Von Wollenweber (No. 16 pag. 49) wird *Pirus* als Wirtspflanze von sieben Fusarien genannt; es sind dies folgende: *F. arcuatum* Berk. et Curt., *F. bulbigenum* Cke. et Mass., *F. cerealis* (Cke.) Sacc., *F. fructigenum* Fries, *F. herbarum* (Corda) Fries, *F. pyrochroum* (Desm.) Sacc., *F. viride* (Lechm.) Wr. Dabei wird *F. putrefaciens* als Synonym von *F. herbarum* aufgefaßt. Im Laufe meiner Ausführungen werde ich mich stets an die Diagnose von *F. putrefaciens* Osterwalder (No. 9) halten, da sie für die Verhältnisse des Pilzes als Parasit des Apfels gilt, ohne aber damit die Ansicht von Wollenweber, daß *F. herbarum* und *F. putrefaciens* identisch seien, angreifen zu wollen. In Amerika erregt nach Lewis *F. gemmipera* Aderhold (No. 1) und nach Wollenweber (Briefliche Mitteilung vom 22. Mai 1918) *F. helianthi* Wr. Apfelfäule.

Aus obigem ergibt sich, daß für Mitteleuropa als wichtigster Fäulniserreger der Gattung *Fusarium* *F. putrefaciens* Osterwalder zu betrachten ist, eine Art, die insbesondere an älterem Lagerobst, d. h. erst nach Neujahr größern Schaden anrichtet, während vor diesem Zeitpunkt *Mucor piriformis* Fischer, *Penicillium crustaceum* L. und *Monilia fructigena* Pers. die häufigeren Schädlinge sind. Über die Ursachen dieses zeitlich getrennten

Auftretens der verschiedenen Fäulnispilze gehen die Ansichten noch auseinander.

Zum Zwecke einer cytologischen Untersuchung der sog. Anastomosen, wie sie bei den Konidienformen der Askomyceten häufig zu treffen sind, und wie sie auch für die keimenden Sporen von *F. putrefaciens* von Osterwalder beschrieben und abgebildet wurden, isolierte ich von einer größeren Anzahl Äpfel und Birnen eine Anzahl Stämme dieses Pilzes. Diese zeigten unter sich eine Reihe von Verschiedenheiten, daß sie als konstante Rassen dieser Art aufgefaßt werden dürfen. Diese Unterschiede beziehen sich nur auf einige morphologische Merkmale und auf das physiologische Verhalten in künstlicher Kultur, nicht aber auf die durch sie erzeugten Fäulniserscheinungen. Schon Wollenweber vertrat die Ansicht, daß dieser Pilz in verschiedene Rassen zerfällt (Briefliche Mitteilung an Herrn Osterwalder vom 15. Juni 1912). Es gelang mir bis jetzt drei Stämme zu isolieren, die ich mit A, B und C bezeichne. Ihre Unterschiede ergeben sich aus folgender Tabelle.

	Stamm A	Stamm B	Stamm C
<b>Kulturelles Verhalten:</b>			
1. Wachstum auf Gelatine	Lockeres Luftmyzel	Ausgebreitetes flaches Myzel	Lockeres Luftmyzel
2. Verflüssigung der Gelatine	Stark verflüssigend	Schwach verflüssigend	Stark verflüssigend
3. Farbe	Grünlich gelb	Gelb bis rötlich	Dunkel weinrot
<b>Morphologisches Verhalten:</b>			
1. Sporengroße	38—48 $\mu$	33—42 $\mu$	30—41 $\mu$
2. Sporenform	Sichelförmig mit stets abgestumpften Enden	Sichelförmig mit spitzen oder abgeschrägten Enden	Sichelförmig mit spitzen oder abgeschrägten Enden
3. Zahl der Septen im Mittel	5	4	4
4. Konidienträger	Stets einfach wirtelig	Stets einfach wirtelig	Einfach oder doppelt wirtelig
5. Chlamydosporen	Einzelne	Einzelne	Perlschaurartig aneinander gereiht

Außerdem traten noch zwei Formen auf, die sich nicht nur in allen morphologischen Eigenschaften, sondern auch im erzeugten Krankheitsbild sowohl von *F. putrefaciens* als auch von *F. gemmipera* und *F. helianthi*, die als Fäulniserreger bis dahin bekannt geworden sind, scharf unterscheiden, so daß sie als neue Arten aufgefaßt werden dürfen.

**Fusarium luteum n. sp.**

Diese Spezies wurde von zwei Birnen verschiedener Sorte isoliert; auf Jaminette bildete sie einen dicken, rein weißen Myzelüberzug, auf Comtesse de Paris traten aus den Lentizellen kleine, gelblich bis weiße, strahlige Myzelflöckchen. Nach den Fäulniserscheinungen zu schließen waren zwei verschiedene Erreger zu vermuten; jedoch ergab sich aus dem Vergleich der Reinkulturen, als auch aus den Infektionsversuchen, daß es sich nur um eine Spezies handelte, die aber je nach der Beschaffenheit der Fruchtsorte, auf der sie wächst, ein verschiedenes Aussehen besitzt und verschiedene Fäulniserscheinungen hervorruft. Die ausgeführten Infektionsversuche bestätigten diesen Befund, doch trat auch auf Jaminette nie mehr ein so üppiges fast die Hälfte der Birne umfassendes rein weißes Myzelpolster auf, sondern diese blieben stets kleiner und maßen im günstigsten Falle drei Zentimeter im Durchmesser. Die botanische Untersuchung ergab, daß dieser Pilz zu den Fusarien zu zählen ist, was mir aber um so mehr auffiel, als *F. putrefaciens* andere Fäulniserscheinungen hervorruft. Dieser Pilz zerstört in erster Linie das Kerngehäuse und wächst von da nach außen. Ferner nimmt das Fruchtfleisch der befallenen Äpfel einen ausgesprochen bitteren Geschmack an, zugleich schrumpft dasselbe etwas zusammen, ohne aber eine weiche, nasse Konsistenz anzunehmen, wie es bei der *Mucor*- oder *Penicillium*-fäule der Fall ist. Die Infektion erfolgt durch die bei einigen Sorten (Goldparmäne, Danziger Kant-Apfel, Welsch Kampanner) offenbleibende Griffelröhre oder durch Verletzungen am Kelch oder am Stielansatz. Infolge davon ist anfänglich der Frucht äußerlich nichts anzusehen. Erst in späteren Stadien wird die Epidermis abgetötet, so daß dann die Wasser verdunstung nicht mehr gehemmt wird und die Frucht stärker einschrumpft. Zugleich tritt aus den Lentizellen das grünlichgelbe bis rötliche Myzel und verbreitet sich spinngewebartig an der Oberfläche. Auf Birnen verhält sich die Art ähnlich, doch erzeugt sie dann keine Bitterstoffe; sie befällt überhaupt vorwiegend Äpfel, viel weniger Birnen.

Die von *F. luteum* erzeugten Fäulniserscheinungen sind davon etwas abweichend. Die Infektion erfolgt durch Verletzungen; in dieser Beziehung verhält sich diese Art wie die meisten Fäulnispilze des Obstes (*Mucor piriformis*, *Monilia fructigena*, *Penicillium crustaceum*), die alle typische Wundparasiten sind. Ferner befällt vorliegende Spezies vorwiegend Birnen und erzeugt auf Äpfeln nur geringfügige Fäulniserscheinungen. Ich habe, um diese Verhältnisse zu verfolgen, eine größere Anzahl verschiedener Apfel- und Birnensorten mit *F. luteum* geimpft und gefunden, daß dieser Pilz eine Anzahl Birnensorten leicht, einige weniger leicht zur Fäulnis bringt, hingegen die verwendeten Apfelsorten nicht oder nur sehr schwach angreift. Die Resultate dieser Versuche sind in folgender Tabelle zusammengestellt.

Datum der Infektion: 18. März 1918.

Fruchtsorte	Kontrolle am 3. April 1918	Kontrolle am 16. April 1918
<b>Birnensorten:</b>		
Käthchens Liebling	Faulstelle ca. 3 cm im Durchmesser	Ganze Frucht verfault
Jaminette	Frucht zur Hälfte verfault	Frucht total verfault, an der Oberfläche große weiße Myzelpolster
St. Germain de Vauquelin	Faulstelle ca. 3 cm	Frucht stark verfault, an der Oberfläche kein Myzel (vgl. pag. 305)
Olivier de Serres	Faulstelle ca. 2 cm	Faulstelle ca. 5 cm, an der Oberfläche gelbes Myzel
Comtesse de Paris	Großer Fäulnisflecken	Frucht total verfault, aus den Lentizellen dringen gelbe Myzelräschchen
Berg-Espérence	Faulstelle ca. 2—3 cm	Frucht total verfault, an der Oberfläche gelber Myzelrasen
Belles des Abrès	Faulstelle ca. 3 cm	Großer brauner Fäulnisflecken mit weißen bis gelblichen strahligen Myzelflöckchen
<b>Apfelsorten:</b>		
Hagapfel	Faulstelle ca. 0,5 cm	Faulstelle ca. 0,5 cm
Rheinischer Bohnapfel	Kein Wachstum	Kein Wachstum
Kronenreinette	Kein Wachstum	Kein Wachstum
Champagnerreinette	Faulstelle ca. 1 cm	Faulstelle ca. 1 cm
Chüsenreiner	Kein Wachstum	Kein Wachstum
Rambaur Papelen	Kein Wachstum	Kein Wachstum
Casseler Reinette	Kein Wachstum	Kein Wachstum
Parkers Peppin	Kein Wachstum	Kein Wachstum
Härris Goldreinette	Faulstelle ca. 1 cm	Frucht teigig, d. h. Fruchtzellen infolge des Alters abgestorben
Hebelapfel.	Kein Wachstum	Kein Wachstum
London Peppin	Kein Wachstum	Fremdinfektion durch <i>Penicillium</i>
Stürmers Peppin	Faulstelle ca. 0,5 cm	Faulstelle ca. 1 cm
Damason-Reinette	Faulstelle ca. 0,5 cm	Faulstelle ca. 1 cm, an der Oberfläche gelbe Myzelflöckchen
Edelborsdorfer	Kein Wachstum	Kein Wachstum

Fruchtsorte	Kontrolle am 3. April 1918	Kontrolle am 16. April 1918
Tannenmösler	Faulstelle ca. 2 cm	Faulstelle ca. 3 cm, gelbe Myzelflächen an der Oberfläche
Schöner von Nordhausen	Kein Wachstum	Kein Wachstum
Dr. Seeligs Peppin	Kein Wachstum	Kein Wachstum
Deutscher Goldpeppin	Kein Wachstum	Kein Wachstum

Aus dieser Tabelle ergibt sich, daß *F. luteum* vorwiegend für Birnen, weniger oder gar nicht für Äpfel pathogen ist. Die Ursache vermutete ich in dem höhern Säuregehalt der Äpfel und legte, um die Richtigkeit meiner Annahme zu prüfen, eine Reihe von Kulturen an, denen eine steigende Menge Säure zugesetzt worden war. Als Kulturflüssigkeit verwendete ich sterilen Wasserbirnensaft, dessen Säuregehalt 0,25 % betrug; den Säuregehalt steigerte ich um je ungefähr 0,25 % durch Zusatz von chemisch reiner Apfelsäure. Die Ergebnisse sind in folgender Tabelle zusammengestellt.

Datum der Infektion: 26. März 1918.

Datum der Kontrolle: 18. April 1918.

#### Wasserbirnensaft.

Kultur A. 0,25 % Gesamtsäure: Starkes Wachstum, die ganze Flüssigkeit vom Myzel erfüllt.

Kultur B. 0,49 % Gesamtsäure: Schwaches Wachstum. Kugelige Kolonien von etwa 1 cm Durchmesser.

Kultur C. 0,69 % Gesamtsäure: Kein Wachstum.

Kultur D. 1,1 % Gesamtsäure: Kein Wachstum.

Daraus ergibt sich, daß der höhere Säuregehalt das Wachstum zu hindern vermag. Da nun der Birnensaft meist der säureärmere ist, wie dies die folgenden Mittelzahlen einer größeren Anzahl Analysen ergeben, so ist damit eine der Ursachen des starken Befalls der Birnen gegeben.

Birnensorten: Schellerbrun . . . . 0,23 % Gesamtsäure

Teilersbirne . . . . 0,27 % "

Wasserbirne . . . . 0,33 % "

[Säurer] . . . . . 0,77 % "

Apfelsorten: Dohuber Wildling . 0,89 % "

Weinapfel . . . . . 1,29 % "

[Usterapfel] . . . . . 0,17 % "

Es zeichnen sich demnach nur wenige Birnensorten durch einen hohen, nur wenige Apfelsorten durch einen niederen Gesamtsäuregehalt aus. Leider standen mir nicht die Analysen der Fruchtsäfte aller zu Infektions-

versuchen verwendeten Sorten zur Verfügung. Jedenfalls ist der Säuregehalt ein wichtiger, aber nicht der einzige Faktor, der in Betracht kommt; ob der hohe Gehalt an Gerbstoffen, der die Birnen auszeichnet, eine Rolle spielt, konnte ich nicht untersuchen. Sicher bedingen alle physiologischen und auch morphologische Eigenschaften der Früchte die Widerstandsfähigkeit gegen Infektionen.

Wie schon bemerkt, ist *F. luteum* ein Wundparasit und die Fäulnis schreitet von der Infektionsstelle konzentrisch nach allen Richtungen fort. Das Fruchtfleisch nimmt eine braune Farbe und eine breiige Konsistenz an; bittere oder unangenehm riechende Stoffe werden nicht gebildet. Die Epidermis über der Faulstelle zeigt ebenfalls die dunkelbraune Farbe und ist zudem wellig eingesenkt, seltener ist sie zerrissen. Aus den Lentizellen dringt das Myzel als feine strahlige Flöckchen hervor, die sich bei Jaminette in späteren Stadien der Fäulnis stark entwickeln, sich ausbreiten und einen dicken Myzelüberzug bilden. Bei St. Germain de Vauquelin tritt das Myzel nicht an die Oberfläche, auch nachdem die ganze Frucht total zersetzt war; erst nachdem mit einer sterilen Platinadel eine Anzahl Löcher in die Epidermis gestoßen worden war, traten aus denselben die gelben dichten Myzelflocken. Die derbe Epidermis dieser Sorte setzt dem Durchwachsen der Hyphen einen Widerstand entgegen, den der Pilz nicht zu überwinden vermag; erst die mechanischen Verletzungen ermöglichen es ihm, an die Oberfläche zu gelangen. Es liegt demnach hier eine ähnliche Erscheinung vor wie bei *Monilia fructigena* auf Apfelsorten, die sich durch eine zähe Epidermis auszeichnen, die der Pilz nicht zu durchbrechen vermag, sondern unter denselben ein schwarzes sklerotiales Gewebe erzeugt, dem diese Fäulnis den Namen Schwarzfäule verdankt.

Das Myzel wächst im Fruchtfleisch anfänglich d. h. am Rande der Faulstellen interzellulär, in den älteren Partien aber auch intrazellulär. Das Myzel ist gleichartig dünn und zeigt keinerlei sogenannte Degenerationserscheinungen, weder die fettige Degeneration noch unregelmäßige Anschwellungen, hingegen zahlreiche Chlamydosporen. Außer dem Luftmyzel treten bei einigen Birnensorten an der Oberfläche auch die Sporenlager, sog. Sporodochien auf. Sie besitzen einen Durchmesser von 1—2 mm und sind von Cremefarbe.

Die mikroskopische Kontrolle des Luftmyzels ergab folgendes. Das Myzel ist stark septiert und vielfach zu Myzelbündeln vereinigt. Im jungen Zustand sind sie hyalin, im Alter aber enthalten sie einen intensiv gelben Farbstoff. In diesen Zellen erscheint das Protoplasma gekörnt; der Farbstoff hat seinen Sitz nicht in der Zellmembran wie bei *F. putrefaciens*. Zudem zeichnet sich solch altes Myzel durch die zahlreichen Chlamydosporen aus (Fig. 1) und unterscheidet sich dadurch scharf von der eben genannten Art. Osterwalder hebt ausdrücklich hervor, daß bei dieser Art älteres Myzel nur blasige Anschwellungen, die perl schnür-

artig aneinander gereiht sein können, zeigt, aber keine Chlamydosporen besitzt. Allerdings zeigten die drei von mir isolierten Stämme von *F. putrefaciens* ebenfalls Chlamydosporen. Die Chlamydosporen unterscheiden sich von den durch das Alter bedingten und als Degenerationszeichen aufzufassenden Anschwellungen (Fig. 2) durch ihre regelmäßige kugelige Gestalt, ihre dicke Membran und durch ihren dunkler gefärbten Inhalt. Sie treten bei *F. luteum* nie terminal auf. Anastomosen sind am Luftmyzel keine zu beobachten.

Die Sporodochien zeigen die Sporen in ihrer typischen Ausbildung. Die einzelnen Sporen sind lang, dünn spindelförmig und schwach gebogen, ihre Enden sind abgerundet, vereinzelt auch etwas köpfchenförmig angeschwollen (Fig. 3). Die Zahl der Septen ist fast ausschließlich fünf, nur selten ist eine etwas geringere oder etwas größere Anzahl zu konstatieren. Die Sporen besitzen im Mittel eine Länge von 70  $\mu$ , vereinzelte maßen bis zu 81  $\mu$ . Im Gegensatz zum Myzel enthalten die Sporen nie einen gelben Farbstoff, hingegen sind mit Chlorzinkjod gelbe Körner von Glykogen nachzuweisen. In einem sterilen Fruchtsaft (als hängender Tropfen in der feuchten Kammer) keimen die Sporen schon nach zwei Tagen. Anfänglich schwellen die einzelnen Zellen torulös an, so daß sie an den Septen eingeschnürt und an den Enden abgerundet erscheinen (Fig. 4), dann treten aus den einzelnen Zellen meist je ein Myzelschlauch heraus (Fig. 5), in selteneren Fällen auch zwei (Fig. 6). Die Myzelfäden wachsen stark in die Länge, verzweigen sich und schnüren seitlich oder endständig neue Konidien ab, die denjenigen gleichen, die am Luftmyzel der Gelatinekulturen gebildet werden (Fig. 5).

Davon abweichend verhält sich diese Art in künstlicher Kultur. Als Nährböden verwendete ich außer dem schon erwähnten Wasserbirnensaft mit einem Gehalt von 2,5%o Gesamtsäure auch 15 %ige Gelatine, der 7—10 % Wasser- oder Theilersbirnensaft zugesetzt worden war; ferner sterile Kartoffel- und Birnenstücke. Es wird neuerdings mit Recht verlangt, daß stets solche Nährböden zu verwenden seien, die ohne weiteres wieder hergestellt werden können, nicht nur irgend ein Dekokt oder ein Saft, und es soll nach dem günstigsten Nährboden gesucht werden, da nur auf diesem die morphologischen Merkmale voll zur Entwicklung gelangen. Leider versagte die Kultur von *F. luteum* auf solchen künstlichen Nährböden; ich verwendete die von Appel und Wollenweber (No. 2 pag. 20), von Wöltje (No. 17) und die Raulinsche Nährlösung, aber in keiner dieser Nährlösungen konnte ein Wachstum erzielt werden.

In flüssigen Nährmedien (Fruchtsäften) werden kugelige, in der Flüssigkeit untergetauchte Kolonien gebildet, die an der Peripherie rein weiß, im Innern aber gelb sind. Die Myzelien sind dünn, schwach septiert und zeigen bald fettige Degeneration sowie unregelmäßige Anschwellungen. Konidien werden nur wenige gebildet, sie sind kurz, walzig, gerade oder nur schwach gebogen und an den Enden breit ab-

gerundet. Die Zahl der Septen ist gering, beträgt höchstens zwei (Fig. 7), meist aber sind diese Konidien unseptiert (Fig. 8). Häufig ist zu beobachten, daß die Konidien in die einzelnen Zellen zerfallen (Fig. 9), ehe sie zur Keimung schreiten. Das ganze Verhalten des Pilzes in flüssigen Nährmedien erweckt den Eindruck, daß ihm diese nicht zusagen, daß das Wachstum unter ungünstigen Verhältnissen stattfindet.

Auf Gelatine sind folgende Erscheinungen zu konstatieren. Das Substrat wird nur teilweise und nur im Laufe mehrerer Wochen verflüssigt. Das Wachstum ist langsam; vier bis sechs Wochen alte Kulturen haben oft nur einen Durchmesser von 7 cm. Das Luftmyzel ist schwach entwickelt und rein weiß; die tiefen und ältern Myzelteile besitzen eine intensiv gelbe Farbe, die unter günstigen Verhältnissen orange bis zinnoberrote Töne annehmen kann. Der Farbstoff ist im Protoplasma und nicht in der Membran enthalten, wie dies für *F. putrefaciens* angegeben wird. Der Farbstoff kann auch aus den Zellen herausdiffundieren, wodurch auch die reine Gelatine gelb wird. Die ältern Myzelteile zeigen sog. fettige Degeneration, indem alle Zellen prall mit Fett- und Ölträpfchen gefüllt sind (Fig. 10). Ferner entstehen auch am Myzel der künstlichen Kulturen zahlreiche Chlamydosporen, die sich genau so verhalten, wie diejenigen im Fleisch faulender Früchte. Ihre regelmäßige Form, ihr dunkler Inhalt; ihre stärkere Membran und die Art der Abgrenzung von den benachbarten Myzelzellen unterscheiden sie deutlich von den Anschwellungen degenerativer Art, älterer Myzelien. Außerdem sind an solchem Myzel, besonders in jüngeren Stadien, zahlreiche Anastomosen zu beobachten (Fig. 12).

Solche Gelatinekulturen zeichnen sich durch die große Anzahl der gebildeten Sporen aus, im Gegensatz zu *F. putrefaciens*, das erst nach mehrmaligem Überimpfen zur Sporenbildung schreitet. Die Sporeenträger sind ein- bis zweimal wirtelig verzweigt und schnüren die Konidien einzeln endständig ab (Fig. 12). Die Konidien unterscheiden sich scharf von denjenigen der Sporodochien, die an der Oberfläche fauler Früchte auftreten. Die Dimensionen dieser Luftmyzelkonidien sind geringer als die Sporodochienkonidien. Zudem sind sie nicht gebogen dünn, spindelförmig, mit sich verjüngenden Enden, sondern sind walzig, gerade oder nur schwach gebogen und an den Enden breit abgerundet (Fig. 13). Die Zahl der Septen beträgt im Mittel drei, häufig sind auch Konidien mit einer größeren oder kleineren Anzahl Septen, d. h. solche, die nur zwei, eine oder gar keine Septen besitzen. Bei Keimungsversuchen ergab sich, daß diese ebensogut zu keimen vermögen, wie die vierzelligen Konidien. Die Größenverhältnisse sind folgende:

Einzellige Konidien, 0 Septen (im Mittel)	45 $\mu$	Länge
Zweizellige " 1 " ( " " )	63 $\mu$	"
Dreizellige " 2 " ( " " )	70 $\mu$	"
Vierzellige " 3 " ( " " )	73 $\mu$	"
Fünfzellige " 4 " ( " " )	74 $\mu$	"
		20*

In reinem Wasser konnten die Konidien nicht zum Keimen gebracht werden; nach 24 Stunden läßt sich beobachten, daß das Protoplasma große Vakuolen enthält und die einzelnen Zellen schwollen an (Fig. 14), aber die Keimung unterbleibt. In sterilen Fruchtsäften hingegen keimen die Konidien schon in vier Tagen. Vorerst schwollen die einzelnen Zellen torulös an, so daß die Konidien an den Septen eingeschnürt erscheinen, dann treten die Keimschläuche heraus (Fig. 15). Solche keimende Konidien bilden zahlreiche Anastomosen, indem ein Keimschlauch mit einem andern oder direkt mit einer andern Konidienzelle in Verbindung tritt (Fig. 16). An Konidien, die aus irgend einem Grunde nicht keimen, läßt sich beobachten, daß die einzelnen Zellen stark anschwellen, bis oft die Konidien wie aus einzelnen Kugeln zusammengesetzt erscheinen (Fig. 17), die dadurch aber keineswegs die Keimkraft einbüßen, sondern in frischen Fruchtsaft übergeführt, auskeimen (Fig. 18) und ebenfalls unter sich Anastomosen bilden.

Häufig ist bei solchen alten Konidien die sog. fettige Degeneration zu beobachten (Fig. 19), die aber die Keimkraft zu beeinträchtigen vermag.

Auf Wasserbirnensaft Agar-Agar entwickelt sich *F. luteum* wie auf Gelatine, die Konidien unterscheiden sich nicht von denjenigen, die auf Gelatine gebildet werden. Dazu treten auf Agar-Agar Sporodochien auf, die in ihrem Ansehen mit denjenigen auf faulenden Birnen und sterilen Kartoffelschnitzen übereinstimmen.

Auf sterilen Kartoffelstücken entwickelt sich ein mächtiges Luftmyzel, an welchem ebenfalls Konidienträger mit Konidien gebildet werden, die mit denjenigen auf Gelatine in Form, Größe und Zahl der Septen übereinstimmen. Dazwischen treten Sporodochien auf, die eine Größe von 2 mm erlangen können. Die einzelnen Konidien sind schlank, spindelförmig, schwach gebogen und besitzen fünf Septen; sie gleichen denjenigen der Sporodochien auf Birnen. Die Septen stellen auch bei alten Konidien nicht gerade Querwände dar, sondern sind halbkreisförmig (Fig. 20) oder wellig verbogen (Fig. 21). Nach zwei Monaten traten auf den Kartoffelstücken sklerotiale Gebilde auf, die eine Größe von etwa einem halben Zentimeter erreichten und eine knorpelige Beschaffenheit besaßen. Sie waren dadurch auffallend, daß sie eine olivgrüne Flüssigkeit ausschieden. Nach weiteren drei Monaten hatten sich aber diese Gebilde nicht weiter zu eigentlichen Sklerotien entwickelt, sondern behielten ihr anfängliches Aussehen bei. Im Querschnitt zeigten sie an der Peripherie locker, im Innern fest verschlungene Myzelmassen. Eine ähnliche Erscheinung beschreibt Aderholt (No. 1 p. 69) für *F. gemmiperda*. Die sklerotien-ähnlichen Gebilde traten auf Brot und Kirschsaftgelatine auf und stellten knorpelige, schmutzigweiße oder gelbliche Massen dar, die zahlreiche Wassertropfen ausschieden; anatomisch stellten sie nur wirre festverflochtene Myzelmassen dar. Sie glichen Sklerotienanfängen, schritten aber in der Entwicklung nicht fort und hatten sich nach fünf Monaten weder zu Sklerotien fertig gebildet, noch waren Fruchtkörper irgendwelcher Art entstanden.

Auf sterilen Birnschnitzen entwickelt sich ein Luftmyzel, aus dem sich aufrechte bis 1,5 cm hohe weiße zierliche Myzelbündel erheben, an welchen reichlich unseptierte Sporen entstehen (Fig. 22).

*F. luteum* bildet demnach zweierlei Sporen, die Luftmyzel- und die Sporodochienkonidien. Erstere entsprechen den Mikro-, letztere den Makrokonidien. Von Wollenweber wurde nachgewiesen, daß es sich aber nicht um zwei verschiedene Sporenformen handelt, sondern die Mikrokonidien sind als die unter ungünstigen Verhältnissen gebildeten Konidien aufzufassen; die normalen Konidien sind die sichelförmig gekrümmten der Sporodochien. Ich kann mich dieser Auffassung anschließen, indem es sich bei den Keimungsversuchen zeigte, daß die Zahl der keimenden Makrokonidien bedeutend größer ist als die der Mikrokonidien.

Um die für die Entwicklung des Pilzes günstigsten Temperaturen zu bestimmen, brachte ich je einige Plattenkulturen in die einzelnen Fächer eines Panumschen Thermostaten. Als Kriterium benützte ich folgende Eigenschaften: 1. Durchmesser der Kolonie nach einer bestimmten Zeit, 2. Sporenbildung, 3. Farbstoffbildung. Die Resultate der Kontrolle nach zwei Wochen sind in folgender Tabelle dargestellt.

Temperatur	Durchmesser der Kolonie	Farbstoffbildung	Sporenbildung
33 ° C	Kein Wachstum	—	—
28,5 ° C	5,5 cm	Intensiv gelb, 1 cm breite weiße Randzone	Wenige einzellige Konidien
24,0 ° C	6,5 cm	Intensiv gelb, Zentrum orange	Meist zweizellige Konidien
19,0 ° C	7,0 cm	Ganze Kolonie weiß, nur das Zentrum orange	Kleine, meist zweizellige Konidien
16,5 ° C	5,5 cm	Ganze Kolonie gelblich-weiß, Zentrum tieforange	Große (70 µ) 3-5zellige Konidien
14,5 ° C	5,5 cm	Ganze Kolonie weiß, mit gelben Flecken	Große (70 µ) 3-5zellige Konidien
12,0 ° C	5,0 cm	Kolonie weiß mit einzelnen gelben Flecken	Kleinere (65 µ) meist 3zellige Konidien
9,0 ° C	3,0 cm	Gelbe Kolonie, 1/2 cm breiter weißer Rand, Zentrum orange	Kleinere (60 µ) meist 2zellige Konidien
6,5 ° C	2,0 cm	Weiße Kolonie, Zentrum orange	Einzellige Konidien

Aus dieser Tabelle ergibt sich, daß das Wachstumsoptimum und dasjenige der Sporenbildung nicht zusammenfallen; während ersteres bei

ungefähr 19° C, liegt letzteres zwischen 16,5° und 14,5° C. Das Maximum liegt etwas unterhalb 33° C. Das Minimum unterhalb 6,5° C. Der Einfluß auf die Sporenbildung zeigt sich weniger an der Anzahl der gebildeten Sporen, als vielmehr an ihrer Größe und an der Zahl der Septen. Ferner ergab sich, daß die Farbstoffbildung nicht eine Funktion der Temperatur ist, indem die verschiedenen Farbtöne unregelmäßig bei verschiedenen Temperaturen auftreten.

Anschließend an diese Untersuchungsergebnisse sei die systematische Stellung dieses Pilzes besprochen. Wollenweber hat durch seine Untersuchungen in das Chaos der Fusarien und verwandter Gattungen Ordnung gebracht. Nach seiner Diagnose (No. 13 pag. 219) zeichnen sich die Fusarien durch folgende Merkmale aus: Chlamydosporen vorhanden, Konidien spindelig, sichelförmig, Terminal-Chlamydosporen fehlend oder vorhanden. Demnach wäre vorliegende Art eine echte Fusarienspezies, sie besitzt Chlamydosporen, die unter normalen Verhältnissen gebildeten Konidien (Sporodochien auf Birnen und sterilen Kartoffelstücken) sind spindelig, sichelförmig; die Terminal-Chlamydosporen fehlen. Die Art unterscheidet sich scharf von den beiden obstfäulnisregenden Fusarienspezies *F. putrefaciens* Osterwalder und *F. gemmiperda* Aderhold, wie aus folgender Tabelle hervorgeht. *Cylindrocarpon (Fusarium) Willkommii* Lindau, eine Konidienform von *Nectria didissima* Tul. gehört nicht zur Gattung *Fusarium* und braucht daher hier nicht weiter zum Vergleich herangezogen werden.

	<i>F. luteum</i>	<i>F. gemmiperda</i>	<i>F. putrefaciens</i>
<b>Kulturelles Verhalten:</b>			
Verflüssigung der Gelatine	Schwach verflüssigend	Langsam verflüssigend	Schwach verflüssigend
Wachstum auf Gelatine	Dichte gezonte Myzelrasen	Lederartig, wollige Decken	Üppiges Luftmyzel
Farbe	Zitronengelb bis orange	Pfirsichblütenrot	Grünlichgelb bis weinrot
<b>Physiologisches Verhalten:</b>			
Fruchtart	Nur Birnen	Apfel, Birnen, Kirschen etc.	Vorwiegend Apfel, seltener Birnen
Art der Fäulnis	Gewöhnliche Fruchtfäule	—	Kernhausfäule
Art der Infektion	Wundinfektion	—	Durch offene Griffelröhre oder Wunde am Stielansatz
Chemische Veränderung der Frucht	Keine Bitterstoffe	—	Bitterstoffe

	<i>F. luteum</i>	<i>F. gemmiperda</i>	<i>F. putrefaciens</i>
Sporenbildung	Reichlich am Luftmyzel. Sporodochien kremefarbig auf Agar und sterilen Kartoffelschnitzten	Spärlich am Luftmyzel. Sporodochien weiß auf kranken Zweigen	Spärlich. Sporodochien auf Gelatine nur nach mehrmaligem Überimpfen
<b>Morphologisches Verhalten:</b>			
Sporengröße	70 $\mu$	35—45 $\mu$	37—49 $\mu$
Sporenform	Schwach gebogen, beidendig, abgerundet	Sichel förmig, beidendig zugespitzt	Sichel förmig gebogen, gerade, an beiden Enden zugespitzt
Zahl der Septen Myzel	5	3	5
Farbstoff	Im Protoplasma gelöst	—	In der Zellmembran enthalten
Konidienträger	Ein- bis zweimal wirtelig verzweigt	Büschenlig verzweigt	Ein- bis zweimal wirtelig verzweigt
Chlamydosporen	Vorhanden	Fehlen	Fehlen (?)

### Fusarium rubrum n. sp.

Diese zweite Spezies isolierte ich aus dem Kerngehäuse eines faulen Apfels. Die Fäulniserscheinungen gleichen denjenigen, die durch *F. putrefaciens* erzeugt werden. Die Fäulnis geht vom Kerngehäuse aus, jedoch kann diese Spezies auch durch periphere Wunden eindringen. Das Fruchtfleisch nimmt keinen bittern Geschmack an und behält auch in vorschritteneren Stadien der Fäulnis eine feste Konsistenz bei. Diese Spezies befällt sowohl Äpfel wie Birnen. Infektionsversuche, die ich an allen oben genannten Sorten ausführte, er gaben durchweg ein positives Resultat.

Kulturelles Verhalten. Auf Gelatineplatten (mit einem Zusatz von 7—10% Wasserbirnensaft) wird ein lockeres, anfänglich weißes Luftmyzel gebildet. Die tieferen Teile nehmen eine intensiv leuchtend karminrote Farbe an, im Gegensatz zu *F. putrefaciens*, das weinrote Farbtöne bildet. Der Farbstoff ist im Protoplasma gelöst und wird in alten Kulturen in Form roter Tröpfchen an der Oberfläche des Luftmyzels ausgeschieden, wodurch dieses ein rötliches Aussehen erhält. Das Luftmyzel besteht aus

lockeren, seltener zu Bündeln vereinigten, dünnen, wellig verbogenen Myzelfäden (Fig. 23). Alle Myzellzellen zeigen im Innern große Glykogenkörner, in ältern Stadien tritt die sog. fettige Degeneration auf, oft bilden sich auch ganz unregelmäßige Anschwellungen (Fig. 24). Solches älteres Myzel zeichnet sich durch zahlreiche Anastomosen aus (Fig. 25). In einem Fall war zu beobachten, daß sich der Verbindungsschlauch nach beiden Seiten hin durch eine Membran abschnürt und eine eigene Zelle bildete (Fig. 26). Das auf Gelatine wachsende Luftmyzel bildet nur ganz vereinzelte Sporen, die im Mikroskop nur schwer zu finden sind. Auf ihre Anwesenheit wurde ich aufmerksam durch die neben den Kolonien in der stark verflüssigten Gelatine isoliert liegenden kugeligen Myzelknäuel. Diese können nur entstanden sein durch Keimen und Weitersprossen einzelner abgefallener Konidien. Diese Konidien werden seitlich am Myzel abgeschnürt (Fig. 27), fallen leicht ab und keimen sofort wieder aus; sie sind einzellig, schwach gebogen, nach unten etwas verjüngt (Fig. 28) und messen im Durchschnitt 23  $\mu$ . Typische Fusarienkonidien und Sporodochien erhielt ich nie in künstlicher Kultur auf Gelatine, trotzdem ich die ältesten Teile der Kolonie immer wieder auf frische Gelatineplatten überimpfte. Diese Methode hat nach Osterwalder bei *F. putrefaciens* Erfolg, versagt aber bei vorliegender Spezies.

Auf Wasserbirnensaft-Agar zeigt der Pilz folgende Erscheinungen. Das Luftmyzel ist anfänglich rein weiß, später rötlich, es bildet keine üppigen Rasen, sondern vom flach ausgebreiteten Stroma erheben sich senkrecht einzelne Myzelbündel. An diesen bis 1 cm hohen Bündeln entstehen die einfach wirtelig verzweigten Konidienträger. Wenn auch auf Agar zahlreicher Konidienträger gebildet werden als auf Gelatine, so sind sie doch spärlicher als bei *F. luteum*. Die Konidien sind walzig, gerade oder schwach gebogen und an den Enden abgerundet, oft auch angeschwollen. (Fig. 29) im Innern zeigen sie meist eine große kugelige Vakuole (Fig. 30). Meist sind sie unseptiert oder zeigen höchstens eine Querwand, die zudem oft nicht in der Mitte der Spore liegt (Fig. 31). Die Länge der Konidien beträgt im Mittel 8—14  $\mu$ .

Auf Kartoffel- und Apfelschnitzen wird ein Luftmyzel von schwach rötlicher Farbe gebildet, das reich an Anastomosen ist. Konidien werden nur wenige abgeschnürt, Sporodochien treten keine auf. Das Myzel, das den Nährboden durchsetzt, ist reich an Chlamydosporen.

Da auf künstlichen Nährböden keine typischen Sporen zu erhalten waren, impfte ich den Pilz auf sterile Äpfel. Von der Infektionsstelle aus wächst der Pilz im Fruchtfleisch langsam nach allen Richtungen. Die Faulstelle nimmt eine dunkelbraune Farbe an und behält die feste Konsistenz bei. Das Wachstum des Myzels im Fruchtfleisch ist wie bei den anderen Obstfäulnis erregenden Fusarien anfänglich interzellulär, später intrazellulär; es enthält zahlreiche Chlamydosporen (Fig. 32). Diese zeichnen sich durch ihre dicke Membran, regelmäßig kugelige Gestalt und ihre

braune Farbe aus. Aus der Infektionsstelle wächst ein rosafarbiges Luftmyzel heraus, das nur spärlich Konidien erzeugt, die in allen Punkten mit denjenigen auf Gelatine übereinstimmen. Die Epidermis wird teilweise schwach aufgetrieben, an diesen Stellen finden sich unter ihr die etwa  $1/2$  mm großen Sporodochien. Ihre Konidien zeigen die Eigenschaften der typischen Fusarienkonidien. Diese sind lang, dünn und sichelförmig gebogen; die Basalzelle zeigt eine papillenartige Anwachsstelle (Fig. 33), die bei allen daraufhin geprüften Konidien gleich ausgebildet ist, und demnach für vorliegende Spezies als Artkriterium gelten kann. Voges (No. 12 p. 660) spricht auf Grund seiner Untersuchung von *F. Martii* der Form der Basalzelle jeden diagnostischen Wert ab, da sie sehr veränderlich sei. Bei *F. rubrum* ist hingegen die Basalzelle einheitlich. Die Zahl der Septen ist 1 bis 4, typisch 3. Die Länge beträgt

Konidien mit einer Septen 14  $\mu$ ,

" "	zwei	20 $\mu$ ,
" "	drei	27 $\mu$ ,
" "	vier	32 $\mu$ .

Die Keimung der Konidien von *F. rubrum* zeigt keine besonderen Eigenheiten gegenüber *F. luteum*.

Nach der von Wollenweber gegebenen Gattungsdiagnose ist auch diese Art zu den Fusarien zu stellen. Sie unterscheidet sich scharf von *F. putrefaciens* und *F. gemmiperda*, wie sich aus der folgender Zusammenstellung ergibt.

	<i>F. rubrum</i>	<i>F. gemmiperda</i>	<i>F. putrefaciens</i>
<b>Kulturelles Verhalten:</b>			
Verflüssigung der Gelatine	Stark verflüssigend	Langsam verflüssigend	Schwach verflüssigend
Wachstum auf Gelatine	Flaches ausgebreitetes Luftmyzel	Lederartig wollene Decken	Üppiges Luftmyzel
Farbe	Karmoisinrot	Pfirsichblütenrot	Grünlichgelb- bis weinrot
<b>Physiologisches Verhalten:</b>			
Fruchtart	Apfel und Birnen	Apfel, Birnen, Kirschen	Vorwiegend Apfel, seltener Birnen
Art der Fäulnis	Gewöhnliche und Kernhausfäule	—	Kernhausfäule
Art der Infektion	Wundinfektion	—	Durch offene Griffelröhre oder Wunde am Stielansatz
Chemische Veränderung der Frucht	Keine Bitterstoffe	—	Bitterstoffe

	<i>F. rubrum</i>	<i>F. gemmiperda</i>	<i>F. putrefaciens</i>
Sporenbildung	Spärlich. Sporodochien nur auf Äpfeln	Spärlich am Luftmyzel. Sporodochien weiß auf kranken Zweigen	Spärlich. Sporodochien auf Gelatine nur nach mehrmaligem Überimpfen
<b>Morphologisches Verhalten:</b>			
Sporengröße	14—32 $\mu$	35—45 $\mu$	37—49 $\mu$
Sporenform	Sichelförmig gebogen, Basalzelle papillenförmig	Sichelförmig, beidseitig zugespitzt	Sichelförmig gebogen, gerade, an beiden Enden zugespitzt
Zahl der Septen Myzel	3 Wellig gebogen	3 Locke, reichlich septiert	5 Wenig verzweigt und septiert, zu Myzelbündeln vereinigt
Farbstoff	Im Protoplasma gelöst	—	In der Zellmembran enthalten
Konidienträger	—	Büschenlig verzweigt	Ein- bis zweimal wirtelig verzweigt
Chlamydosporen	Vorhanden	Fehlen	Fehlen

In Betracht kann noch *F. apiogenum* Sacc. kommen. Diese Art wurde von Jacky (No. 5 p. 29) als Fäulniserreger bei einem Apfel gefunden, sie zeichnet sich durch die karmoisinroten firsiglänzenden Fruchtlager aus. Die Diagnose (No. 10) ist unvollständig, so daß ein Vergleich nur schwer möglich ist. Der Hauptunterschied liegt in der Größe der Sporen, *F. apiogenum* besitzt sehr kleine . . . sehr verschieden lange Konidien (No. 10 p. 557), während vorliegende Art Konidien von 14—32  $\mu$  Länge besitzt. Auch die von Jacky beschriebene Art kann nicht *F. apiogenum* sein, denn die von ihm gemessenen Konidien sind bedeutend größer (14—27  $\mu$ ), sie ist eher identisch mit der vorliegenden und als *F. rubrum* bezeichneten Art. Auch in den übrigen Eigenschaften und in den Fäulniserscheinungen stimmen beide Pilze überein. Demnach ist *F. rubrum* verschieden von *F. apiogenum* Sacc., wahrscheinlich aber identisch mit der von Jacky beschriebenen Art.

Anschließend sei über einige Untersuchungen über die intensive rote Farbe des Pilzes berichtet. Der Farbstoff ist im Protoplasma gelöst und nicht in der Zellmembran enthalten; sie diffundiert leicht heraus und tritt in die stark verflüssigte Gelatine über, wodurch diese ebenfalls tiefrot wird. Am Luftmyzel wird sie in Form kleiner Tröpfchen ausgeschieden,

wodurch dieses zart rosa bis tief dunkelrot erscheint. Der Farbstoff läßt sich leicht mit verdünntem Alkohol ausziehen; die Lösung bleibt im Dunkeln aufbewahrt monatelang unverändert, wird aber schließlich orange bis gelb, diese Zersetzung vollzieht sich bedeutend rascher am Licht. Die Lösung verfärbt sich auch auf Zusatz von verdünnten Alkalien oder Säuren. Durch Neutralisieren der Lösung läßt sich die rote Farbe nicht wieder erzeugen, auch nicht durch Zusatz von Wasser.

Die Bedingungen, unter welchen die Fusarien die Farbstoffe bilden, sind von Bessey (No. 4) untersucht worden. Dieser Forscher fand, daß die Bildung des roten Farbstoffes bei *Neocosmospora* nicht von der Zusammensetzung der Kulturmedien abhängig ist. Maßgebend ist der Wechsel der Reaktionen, denn farbloses Myzel bildet, nachdem es von einem sauren Nährboden auf einen alkalischen übergeimpft wurde, den Farbstoff, während Myzel, das dauernd auf einem alkalischen Nährboden wuchs, farblos blieb. Zu hoher Säuregehalt hindert die Farbstoffbildung, ebenso zu hoher osmatischer Druck und extrem hohe oder niedere Temperatur. Bei *Fusarium culmorum* hingegen wird auf alkalischen Nährböden eine rotviolette, auf sauren eine gelbe Farbe gebildet.

Vorliegende Spezies bildet auf den meisten untersuchten Nährböden die intensive rote Farbe; nur auf Agar-Agar unterblieb die Bildung, wie sich dieser Nährboden überhaupt ungeeignet für die Entwicklung der Farben erwies; so trat auch das intensive Gelb von *F. luteum* und das Weinrot von Stamm C von *F. putrefaciens* nicht auf. Maßgebend ist für die Farbstoffentwicklung von *F. rubrum* weder der Wechsel der Reaktionen noch die Reaktion selbst, sondern die Belichtungsverhältnisse. Bei allen Versuchen wurden stets drei Parallelversuche ausgeführt; einige Kulturen wurden im Finstern, einige im diffusen und einige im intensiven Sonnenlicht gehalten. Stets zeigte es sich, daß im diffusen Licht die intensivsten Farbtöne gebildet wurden, im direkten Sonnenlicht entstanden nur blaß-rötliche Töne, im Finstern unterblieb die Farbstoffbildung. Die Bildung der Farbe bei *F. rubrum* ist demnach von den Belichtungsverhältnissen abhängig. Hingegen wird das intensive Weinrot von Stamm C von *F. putrefaciens* auch im Finstern gebildet.

### Die Bedeutung der Anastomosen.

Unter Anastomosen versteht man die Erscheinung, bei der zwei Zellen verschiedener Myzelfäden, oder aber wie bei den Fusarien zweier keimender Konidien durch ein Myzelstück zusammen in Verbindung treten. Solche Anastomosen sind schon bei zahlreichen Pilzen nachgewiesen worden, z. B. *Penicillium crustaceum*, *Trichothecium roseum*, *Fumago salicina*, *Fusarium putrefaciens*. Ihre Bedeutung ist noch unbekannt; sie können entweder sexuellen Funktionen dienen, oder aber sie werden durch die Lebensbedingungen verursacht. Im ersten Falle müßte durch den Ver-

bindungskanal ein Übertritt eines Zellkernes aus einer Zelle in die andere und demnach später auch zweikernige Zellen nachgewiesen werden können.

Die Anastomosen wurden erstmals von Loew (No. 7) an *Penicillium crustaceum* untersucht. Er spricht ihnen jede sexuelle Bedeutung ab, da in deren Folge keine Fruktifikationsbildungen auftreten. Er wies nach, daß sie besonders häufig auf Nährböden sind, die arm an zersetzbaren organischen Substanzen sind, daß sie dagegen unterbleiben auf Böden, die reichlich Nährstoffe darbieten. Loew schließt daher, daß die Bildung der Anastomosen durch Mangel an Nährstoffen bedingt ist, und daß Myzelien, die auf einem unfruchtbaren Boden wachsen, sich gegenseitig auszuhelfen suchen und ihren Plasmagehalt insgemein verwerten. Später hat Brefeld (No. 3) die Anastomosen von *Penicillium crustaceum* von neuem untersucht. Da dieser Forscher stets die Sexualität der höhern Pilze bestritt, so glaubte er, daß alle Kopulationsvorgänge durch die Lebensbedingungen verursacht werden und sprach ihnen jede sexuelle Bedeutung ab.

Doch glaubt er nicht, daß Nahrungsmangel ihre Entstehung verursache, indem sie wahrscheinlich auch auf reichlichen Nährsubstraten vorkommen, aber in dem üppigen Myzel übersehen werden. Neuerdings hat Moesz (No. 8) die Anastomosen von *Penicillium* in den Bereich seiner Untersuchungen gezogen und sie als Mißbildungen angesprochen. Die Anastomosen der Fusarienkonidien hat u. a. Osterwalder (No. 9) beschrieben, ohne aber sich über ihre Bedeutung zu äußern.

Seit den Arbeiten von Brefeld und Loew ist aber für eine Reihe von Kopulationsvorgängen die sexuelle Bedeutung erkannt worden. So lag es nahe, die Anastomosen von neuem zu untersuchen unter Berücksichtigung der zytologischen Verhältnisse.

Zur Prüfung der Frage, ob bei den Anastomosen ein Kernübertritt erfolgt oder nicht, wurden Kulturen von *F. luteum* im hängenden Tröpfchen angelegt. Hatten die Konidien gekeimt und hatten sich Anastomosen gebildet, so wurden sie mit Chromosmiumessigsäure fixiert, mit Glyzerin-eiweiß auf Objektträger aufgeklebt und mit Hämatoxylin-Heidenhein und Säurefuchsin gefärbt. Auch Myzellockchen von Gelatinekulturen, die reich an Anastomosen waren, wurden in gleicher Weise behandelt.

Die Anastomosen stellen Verbindungen zwischen zwei Zellen zweier Konidien (Fig. 16) oder zweier Myzelfäden dar (Fig. 11 und 25). Erstere haben in morphologischer Hinsicht eine gewisse Ähnlichkeit mit kopulierenden Konidien der Ustilagineen. Die Verbindung wird gebildet durch dünne verschieden lange Myzelschläuche; oft lösen sich an der Berührungsstelle zweier Zellen die Membranen auf, wodurch die Verbindung hergestellt wird. Bei alten Kulturen, in welchen die einzelnen Zellen der Konidien angeschwollen sind, nehmen auch die Verbindungsschläuche eine unregelmäßige Gestalt an (Fig. 16). In jeder Zelle ist ein Kern nachweisbar. Treten nun zwei Zellen zusammen in Verbindung, so kann keine Änderung der Lage des Kernes festgestellt werden, sie bleiben in der

gleichen Lage wie vor der Vereinigung der Zellen (Fig. 11, 16 und 25). Nie ist zu beobachten, daß sich ein Kern dem Verbindungsschlauch nähert, oder durch denselben hindurch wandert; ebenso sind auch nie zweikernige Zellen nachzuweisen. Es ist deshalb anzunehmen, daß die Anastomosen keine sexuelle Bedeutung haben. Allerdings konnte ich bei *F. rubrum* eine Erscheinung beobachten, die eine primitive Form geschlechtlicher Vorgänge vortäuscht. In einem Falle konnte ich nämlich konstatieren, daß sich der Verbindungsschlauch nach beiden Enden hin durch eine Querwand abschnürt und eine eigene selbständige Zelle bildet. Sie besitzt nicht die regelmäßige Form der Myzelzellen, sondern erscheint blasig angeschwollen (Fig. 26). In dieser nun selbstständig gewordenen Zelle ist ein Kern nachweisbar, dessen Herkunft nicht sicher festzustellen war. Eine sexuelle Herkunft wäre möglich, doch war zu erkennen, daß sich die Lage des Kernes der beiden anastomosierenden Zellen nicht verändert hatte und nicht gegen den Verbindungsschlauch gewandert war. Dieser Kern muß entstanden sein durch Teilung eines Kernes der ursprünglichen Myzelzellen und dann in den Verbindungskanal gewandert sein, wie bei einer gewöhnlichen Verzweigung des Myzels. Bei einer sexuellen Entstehung hätten sich vorerst die beiden Kerne der anastomosierender Zellen in je zwei Kerne teilen müssen, worauf je ein Tochterkern in den Verbindungsschlauch hätte wandern müssen, wo sich diese verschmolzen hätten. Es ließen sich aber keine Anzeichen für dergleichen Vorgänge konstatieren.

Nachdem es mir nicht gelungen war, irgendwelche Vorgänge sexueller Natur bei den Anastomosen nachzuweisen, suchte ich die Bedingungen zu ergründen, unter welchen sie auftreten. Alle Versuchsreihen, welche ich mit den beiden oben beschriebenen Fusarien durchführte, untersuchte ich auf die Häufigkeit der vorkommenden Anastomosen. Moesz (No. 8) faßt die Anastomosen als Mißbildungen des Myzels auf. Ich kann mich nicht dieser Ansicht anschließen, da sie regelmäßig auftreten. Loew (No. 7) glaubte, daß ihre Entstehung durch den Mangel an Nährstoffen verursacht wird. Er experimentierte mit *Penicillium crustaceum* und fand, daß in Milchzuckerlösung und Traubenzuckerlösung ohne Stickstoffzusatz, ferner in saurer, vom gefällten Kasein abfiltrirter Milchflüssigkeit und im Zitronensaft die Anastomosen auftreten, während sie auf Exkrementen, auf zerriebenen und in Wasser verteilten Nüssen und in Traubensaft fehlen. Es ist hierzu allerdings zu bemerken, daß die genaue Zusammensetzung dieser Nährböden und daher ihr wirklicher Gehalt an Nährstoffen unbekannt ist. Daß nicht der Nahrungsmangel die Bildung der Anastomosen bedingt, geht aber daraus hervor, daß sie auch auf Nährböden auftreten, die reich an Nährstoffen sind, wie auch Brefeld vermutete. Auch folgender Versuch spricht dagegen. Ich infizierte alte Tröpfchenkulturen, deren keimende Konidien reichlich Anastomosen gebildet hatten, mit frischen Sporen. Es zeigte sich dabei, daß auch diese keimten und wiederum Anastomosen bildeten. Die Bildung der Anastomosen kann demnach nicht

durch Mangel an Nährstoffen oder durch giftige Stoffwechselprodukte verursacht werden, denn diese beiden Faktoren hätten auch die Keimung der neu zugesetzten Sporen verhindert. Hingegen fördert die durch langsame Verdunstung bewirkte höhere Konzentration der Nährlösung die Entstehung der Anastomosen. Bei den Konidien treten sie in den hängenden Tröpfchenkulturen fast regelmäßig auf und sind umso zahlreicher, je älter die Kulturen sind; hingegen bleiben sie in den Kulturen in Erlenmeyerkölbchen, zu welchen größere Flüssigkeitsmengen Verwendung finden, aus. Es liegt daher die Vermutung nahe, daß die Erhöhung des osmotischen Druckes die Entstehung der Anastomosen fördert. Diese macht sich infolge der Verdunstung in den kleinen hängenden Tröpfchen, in denen die Sporen zur Keimung gebracht werden, rascher und stärker fühlbar, als in den größeren Flüssigkeitsmengen fassenden Erlenmeyerkölbchen.

Durch meine bevorstehende Reise nach Buitenzorg mußten die Versuche abgebrochen werden; sie sollen später nach dieser Richtung weiter verfolgt werden.

Wädenswil, August 1918.

### Literatur.

1. Aderhold: Ein der Moniliakrankheit ähnlicher Krankheitsfall an einem Sauer-kirschbaum. Zeitschrift für Pflanzenkrankheiten. Bd. XI, 1901, p. 65.
2. Appel u. Wollenweber: Grundlagen einer Monographie der Gattung *Fusarium* (Link), Arbeiten aus der Kaiserlichen Biologischen Anstalt für Land- und Forstwirtschaft. Bd. VIII, Heft 1, 1910.
3. Brefeld: Die Entwicklungsgeschichte von *Penicillium*. Botanische Untersuchungen über Schimmelpilze. Heft II, 1874.
4. Bessey: Über die Bedingungen der Farbbildung bei Fusarien. Flora, Bd 93, 1904, p. 301.
5. Jacky: Beitrag zur Pilzflora Proskau's. Jahresbericht d. schles. Ges. f. vaterl. Kultur. Breslau 1900.
6. Janieson und Wollenweber: An ex—ternal dry rot of potato tubers caused by *Fusarium trichothecoides* Wollenw. Journal of the Washington Academy of Sciences. Vol. II, No. 6, 1912.
7. Loew: Zur Entwicklungsgeschichte von *Penicillium*. Jahrbücher für wissenschaftliche Botanik. Bd. VII, 1869/70, p. 472.
8. Moesz: Teratologie der Pilze. Botanikai Közlemenyeik. 1912, Heft 3—4.
9. Osterwalder: Über eine bisher unbekannte Art der Kernobstfäule, verursacht durch *Fusarium putrefaciens* nova spec. Zentralblatt für Bakteriologie, II. Abteilung, XIII. Bd., 1904, p. 207.
10. Rabenhorst: Kryptogamenflora von Deutschland, Österreich und der Schweiz. Bd. I, Abteilung IX. Fungi imperfecti. Bearbeitet von G. Lindau.
11. Sorauer: Über Frostbeschädigungen am Getreide und damit in Verbindung stehende Pilzkrankheiten. Landwirtschaftliche Jahrbücher. XXXII. Bd. 1908, p. 1.
12. Voges: Zur Geschichte und Entstehung des Obstbaumkrebses. Zentralblatt für Bakteriologie. II. Abteilung XXXIX. Bd. 1913, p. 641.
13. Wollenweber: *Ramularia*, *Mycosphaerella*, *Nectria*, *Calonectria*. Phytopathology. Vol. 3, No. 4, 1913, p. 197.

14. Wollenweber: Identification of species of *Fusarium* occurring on the sweet potato. *Ipomoea Batatas*. *Journal of Agricultural Research* Vol. II, No. 4, 1914, p. 251.
15. Wollenweber: Zur Kenntnis des *Fusarium oxysporum* Schlecht. *Jahresbericht der Vereinigung für angewandte Botanik*. XIV. Jahrgang, 1916, Heft 2.
16. Wollenweber: *Fusarium autographice delineata*. *Annales Mycologici*. Bd. XV, 1917, p. 1, Zeichnungen separat.
17. Wöltje: Unterscheidung einiger *Penicillium*-Spezies nach physiologischen Merkmalen. *Zentralblatt für Bakteriologie*. II. Abt., Bd. III, 1918, p. 97.

### Figurenerklärung (Tafel IV).

Alle Figuren, die den Zellkern zeigen, sind mit dem Zeichenapparat aufgenommen nach Präparaten, die mit Hämatoxylin Heidenheim gefärbt worden sind.  
(Vergrößerung 1000:1. Homogene Ölimmersion  $\frac{1}{12}$  von Leitz. Okular IV.)  
Die übrigen Figuren sind ohne Zeichenapparat gezeichnet worden.

#### *Fusarium luteum.*

- Fig. 1. Chlamydosporen.
- 2. Anschwellungen alter Myzelzellen.
- 3. Konidien der Sporodochien.
- 4. Torulös angeschwollene Konidien vor der Keimung.
- 5. Keimende Konidien.
- 6. Keimende Konidien. Aus einer Konidienzelle treten zwei Keimschläuche.
- 7. Septierte Konidien. Flüssigkeitskultur.
- 8. Unseptierte Konidien. Flüssigkeitskultur.
- 9. Zerfallende Konidien. Flüssigkeitskultur.
- 10. Fettige Degeneration alter Myzelien. Gelatinekultur.
- 11. Anastomosen alter Myzelien. Gelatinekultur.
- 12. Konidienträger des Luftmyzels. Gelatinekultur.
- 13. Konidien des Luftmyzels. Gelatinekultur.
- 14. Torulös angeschwollene Konidien. Wasserkultur.
- 15. Keimende Luftmyzelkonidien.
- 16. Anastomosen keimender Luftmyzelkonidien.
- 17. Stark torulös angeschwollene Luftmyzelkonidien.
- 18. Dieselben keimend.
- 19. Fettige Degeneration alter Konidien.
- 20 u. 21. Konidien der Sporodochien auf sterilen Kartoffelstücken.
- 22. Myzelbündel des Luftmyzels auf sterilen Birnenschnitzen.

#### *Fusarium rubrum.*

- 23. Myzel.
- 24. Anschwellungen alter Myzelzellen.
- 25. Anastomosen.
- 26. Anastomose. Das Verbindungsstück zwischen beiden Myzelzellen schnürt sich als eigene Zelle ab.
- 27. Seitlich abgeschnürte Luftmyzelkonidie.
- 28. Konidie des Luftmyzels.  
(Fig. 23—28. Gelatinekulturen.)
- 29. Konidien des Luftmyzels. Agarkultur.
- 30. Konidie des Luftmyzels mit Vakuolen. Agarkultur.
- 31. Konidie des Luftmyzels, septiert. Agarkultur.
- 32. Chlamydosporen.
- 33. Konidien der Sporodochien.

## Neue Literatur.

- Arthur, J. C. Cultures of Uredineæ in 1916 and 1917 (*Mycologia* IX, 1917, p. 294—312).
- Arthur, J. C. Uredinales of Costa Rica based on collections by E. W. D. Holway (*Mycologica* X, 1918, p. 111—154).
- Arthur, J. C. Relationship of the genus Kuehneola (*Bull. Torr. Bot. Club* XLIV, 1917, p. 501—511).
- Atkinson, G. F. Charles Horton Peck (*Botan. Gazette* LXV, 1918, p. 103—108).
- Babcock, D. C. Diseases of ornamental plants (*Ohio Agr. Exp. Stat. Month. Bull.* no. 2, 1917, p. 323—328).
- Bernatsky, J. Anleitung zur Bekämpfung der Peronospora des Weinstockes nach den neuesten Erfahrungen und Versuchsergebnissen (*Zeitschr. f. Pflanzenkrankh.* XXVIII, 1918, p. 1—28).
- Boas, F. Zur Kenntnis des Rußtaues der Johannisbeere und verwandter Erscheinungen (*Zeitschr. f. Pflanzenkrankh.* XXVIII, 1918, p. 114—116).
- Boughton, F. S. Hymenomyceteæ of Rochester, N. Y., and vicinity (Proceed Rochester Acad. Sc. V, 1917, p. 100—119).
- Brenckle, J. F. North Dakota fungi — I (*Mycologia* IX, 1917, p. 275—293).
- Brooks, C., and Fisher, D. F. Irrigation experiments on apple-spot diseases (*Journ. Agric. Research* XII, 1918, p. 109—138, tab. 2—5, 10 fig.).
- Burlingham, G. S. Methods for satisfactory field work in the genus *Russula* (*Mycologia* IX, 1917, p. 243—247).
- Burlingham, Gertrude S. New species of *Russula* from Massachusetts (*Mycologia* X, 1918, p. 93—96).
- Burnham, S. H., and Latham, R. A. The flora of the town of Southold, Long Island and Gardiner's Island. First supplementary hist. (*Torreya* XVII, 1917, p. 111—122).
- Burt, E. A. *Odontia Sacchari* and *O. saccharicola*, new species on sugar cane (*Ann. Missouri Bot. Gard.* IV, 1917, p. 233, 2 fig.).
- Burt, E. A. The Thelephoraceæ of North America — VIII. *Coniophora* (*Ann. Missouri Bot. Gard.* IV, 1917, p. 237—269).
- Burt, E. A. Merulius in North America (*Ann. Missouri Bot. Gard.* IV, 1917, p. 305—362, tab. 20—22, 39 fig.).

- Carpenter, C. W. Wilt diseases of okra (*Abelmoschus esculentus*) and the *Verticillium* - wilt problem (Journ. Agr. Research XII, 1918, p. 529—546, 12 tab.).
- Chifflot, J. Sur le *Clathrus cancellatus* Tournef. 3<sup>e</sup> Note (Bull. Soc. Myc. France XXXII, 1916, p. 55—58, 2 fig.).
- Chifflot, J. Sur un cas de rubéfaction de la face, tendant à se généraliser, à la suite de l'ingestion du *Coprinus atramentarius* Fr. (Bull. Soc. Myc. France XXXII, 1916, p. 63).
- Childs, L. New facts regarding the period of ascospore discharge of the apple scab fungus (Oregon Agr. Exp. Stat. Bull. no. 143, 1917, p. 1—11).
- Chupp, C. Studies on clubroot of cruciferous plants (Cornell Agric. Exp. Stat. Bull. no. 387, 1917, p. 421—452, fig. 95—110).
- Coleman, D. A. Environmental factors influencing the activities of soil fungi (Soil Sc. II, 1916, p. 1—66, 10 fig.).
- Cook, M. T. Common diseases of apples, pears and quinces (New Jersey Agr. Exp. State Circ. no. 80, p. 1—27, 23 fig.).
- Cook, M. T. Common diseases of the peach, plum and cherry (New Jersey Agr. Exp. Stat. Circ. no. 81, p. 1—19, 11 fig.).
- Cook, M. T. Common diseases of beans and peas (New Jersey Agr. Exp. Stat. Circ. no. 84, p. 1—8, 4 fig.).
- Cook, M. T. A *Nectria* parasitic on Norway maple (Phytopathology VII, 1917, p. 313—314).
- Cook, M. T., and Martin, W. H. Diseases of tomatoes (New Jersey Agric. Exp. Stat. Circ. no. 71, 1917, p. 1—8, 6 fig.).
- Coons, G. H., and Levin, E. The leaf-spot disease of tomato (Michigan Agr. Exp. State Spec. Bull. no. 81, p. 1—15, 7 fig.).
- Cotton, A. D. Diseases of parsnips (Kew Bulletin, 1918, p. 8—21, 2 tab., 2 fig.).
- Cruchet, P. Contribution à l'étude des Urédinées (Bull. Soc. Vaudoise. Sc. nat. LI, 1917, p. 623—631, 3 fig.).
- Dangeard, P. A. Observations sur le chondriome des *Saprolegnia*, sa nature, son origine et ses propriétés (Bull. Soc. Myc. France XXXII, 1916, p. 87—96).
- Dearness, J. New or noteworthy North American fungi (Mycologia IX, 1917, p. 345—364).
- Doolittle, S. P. Cucumber scab caused by *Cladosporium cucumerinum* (Rep. Michigan Acad. Sc. XVII, 1916, p. 87—116).
- Duggar, B. M., Severy, J. M., and Schmitz, H. Studies in the physiology of the fungi. — V. The growth of certain fungi in plant decoctions (Ann. Missouri Bot. Gard. IV, 1917, p. 279—288, 5 fig.).
- Dumée, P. Notes de mycologie pratique (Bull. Soc. Myc. France XXXII, 1916, p. 74—86, tab. II).
- Elliott, J. A. Taxonomic characters of the genera *Alternaria* and *Macrocsporium* (Amer. Journ. Bot. IV, 1917, p. 439—476, tab. 19—20, 6 fig.).

- Fairman, Charles E. Notes on new species of fungi from various localities — II. (*Mycologia* X, 1918, p. 164—167).
- Fawcett, H. S. Melanose of citrus (*Monthly Bull. State Com. Hort. Calif.* VI, 1917, p. 280—281, 1 fig.).
- Fink, Bruce. The distribution of fungi in Porto Rico (*Mycologia* X, 1918, p. 58—61).
- Floyd, B. F. Dieback, or exanthema of citrus trees (*Florida Agr. Exp. Stat. Bull.* no. 140, 1917, p. 1—31, 15 fig.).
- Fragoso, R. G. *Pugillus secundus mycetorum Persiae* (*Bol. r. Soc. española Hist. nat.* XVIII, 1918, p. 78—85).
- Fraser, W. P. Overwintering of the apple scab fungus (*Science Sec. Ser. XLVI*, 1917, p. 280—282).
- Gäumann, Ernst. Zur Kenntnis der Chenopodiaceen bewohnenden Peronospora-Arten (*Mitteil. Naturforsch. Ges. Bern* 1918, p. 45—66, 5 fig.).
- Giddings, N. J. Potato and tomato diseases (*West Virginia Agr. Exp. Stat. Bull.* no. 165, 24 pp., 20 fig.).
- Gilbert, A. H., and Bennett, C. W. *Sclerotinia trifoliorum*, the cause of stem rot of clovers and alfalfa (*Phytopathology* VII, 1917, p. 432—442, 5 fig.).
- Goss, R. W., and Doolittle, S. P. The effect of fungicide on the spore germination of Longyear's *Alternaria* (*Rep. Michigan Acad. Sc.* XVII, 1916, p. 183—187).
- Gravatt, G. F., and Marshall, R. P. Arthropods and gasteropods as carriers of *Cronartium ribicola* in greenhouses (*Phytopathology*, VII, 1917, p. 368—373).
- Grisdale, J. H. The black or stem rust of wheat (*Canada Dept. Agric. Exp. Farms. Div. Bot. II. Bull.* no. 33, 1917, p. 1—15).
- Grüss, J. Die Anpassung eines Pilzes (*Anthomyces Reukaufii*) an den Blütenbau und den Bienenrüssel (*Ber. Deutsch. Bot. Ges.* XXXV, 1917), 1918, p. 746—761, tab. XIII, 1 fig.).
- Güssow, H. T. Plant diseases in Canada (*Science Sec. Ser. XLVI*, 1917, p. 362).
- Güssow, H. T. The occurrence of *Colletotrichum cereale*, *Dothichiza populea* and *Leptosphaeria napi* in Canada (*Phytopathology* VII, 1917, p. 450).
- Hahn, C. G., Hartley, C., and Pierce, R. G. A nursery blight of cedars (*Journ. Agric. Research* X, 1917, p. 533—540, tab. 60—61).
- Harper, Edward T. The *Clavaria fistulosa* group (*Mycologia* X, 1918, p. 53—57, tab. 3—5).
- Harper, Edward T. Two remarkable Discomycetes (*Bull. Torr. Bot. Club* XLV, 1918, p. 77—86, 3 tab.).
- Haskell, R. J. The spray method of applying concentrated formaldehyde solution in control of oat smut (*Phytopathology* VII, 1917, p. 381—383).

- Hasler, Alfred. Beiträge zur Kenntnis der Crepis- und Centaurea-Puccinien vom Typus der Puccinia Hieracii (Centralblatt f. Bakt. etc. II. Abt. XLVIII, 1918, p. 222—286, 9 fig.).
- Hawkins, L. A., and Stevens, N. E. Endothia pigments — I. (Amer. Journ. Bot. IV, 1917, p. 336—353, 6 fig.).
- Hemmi, T. On Septoria parasitic on the cultivated Chrysanthemum (Bot. Mag. Tokyo XXXI, 1917, p. (309)—(325) — Japanese.
- Höhnel, Fr. v. Fungi imperfecti. Beiträge zur Kenntnis derselben (Hedwigia LX, 1918, p. 129).
- Höhnel, Fr. v. Über die Peritheciens der Microthyriaceen und die Gattung Meliola Fries (Ber. Deutsch. Bot. Ges. XXXV (1917), 1918, p. 698—702).
- House, H. D. The Peck testimonial exhibit of mushroom models (Mycologia IX, 1917, p. 313—314).
- Howitt, J. E. Phytophthora infestans, causing damping - off of tomatoes (Phytopathology VII, 1917, p. 319).
- Howitt, J. E., and Caesar, L. The more important fruit tree diseases of Ontario (Ontario Dept. Agr. Bull. no. 257, 1917, 44 pp.).
- Ichimura, T. A new poisonous mushroom (Botan. Gazette LXV, 1918, p. 109—111, 3 fig.).
- Jackson, H. S. Two new forest tree rusts from the northwest (Phytopathology VII, 1917, p. 352—355).
- Jagger, J. C., and Stewart, V. B. Some Verticillium diseases (Phytopathology VIII, 1918, p. 15—19).
- Johnston, J. R. Notas sobre micología y patología vegetal en Cuba (Mem. Soc. Cubana Hist. Nat. II, 1917, p. 225—228).
- Johnston, John R., and Bruner, Stephen C. A Phyllachora of the royal palm (Mycologia X, 1918, p. 43—44, tab. II).
- Jones, L. R. Disease resistance in cabbage (Proc. nation. Acad. Sc. IV, 1918, p. 42—46, 2 fig.).
- Kauffman, C. H. Unreported Michigan fungi for 1911, 1912, 1913, and 1914 (Rep. Michigan Acad. Sc. XVII, 1916, p. 194—223).
- Kupka, Theodor. Reliquiae Opizianae. Eine Revision Opiz'scher Pilze auf Grund des Originalmateriales (Österr. Bot. Zeitschr. LXVII, 1918, p. 156—165, 3 fig.).
- Leek, H. A. A. van der Onderzoeken over tracheomycosen: De Verticilliose van den komkommer (Recherches sur les trachéomycoses: Verticilliose du concombre) (Mededeel. van de Landbouwhoogeschool XV, 1918, p. 1—45, tab. I—VI).
- Lehman, S. G. Conidial formation in Sphaeronema fimbriatum (Mycologia X, 1918, p. 155—163, tab. 7).
- Levin, E. Light and pycnidia formation in the Sphaeropsidales (Rep. Michigan Acad. Sc. XVII, 1916, p. 134—135).
- Levin, E. Control of lettuce rot (Phytopathology VII, 1917, p. 392—393).  
21\*

- Long, W. H. Notes on new or rare species of Ravenelia (Botan. Gazette XLIV, 1917, p. 57—69).
- Long, W. H. Notes on new or rare species of Gasteromycetes (Mycologia IX, 1917, p. 271—274).
- Long, W. H., and Harsch, R. M. Pure cultures of wood-rotting fungi on artificial media (Journ. Agr. Research XII, 1918, p. 33—82).
- Mains, E. B. Some factors concerned in the germination of rust spores (Report Michigan Acad. Sc. XVII, 1916, p. 136—140).
- Markowski, A. Botrytis cinerea als Parasit auf Aesculus parviflora Walt. und Aesculus Hippocastanum. Zugleich ein infektionstechnischer Versuch (Beitr. Biologie d. Pflanzen XIII, 1917, p. 347—374, 8 fig., 2 tab.).
- Martin, Ch. Ed. Les champignons de la région des pâturages et des bois de mélèzes du Val Ferret (Bull. Soc. bot. Genève 2, IX, 1917, p. 113—119).
- Martin, W. H. Common diseases of cucumbers and melons (New Jersey Agric. Exp. Stat. Circ. no. 68, 1917, p. 1—11, 5 fig.).
- Martin, W. H. Sclerotium bataticola. The cause of a fruit-rot of peppers (Phytopathology VII, 1917, p. 308—312, 12 fig.).
- Massey, L. M. The crown canker disease of rose (Phytopathology VII, 1917, p. 408—417, 3 fig.).
- Massey, L. M. Experiments for the control of blackspot and powdery mildew of roses (Phytopathology VIII, 1918, p. 20—23).
- Matz, J. Report of the laboratory assistant in plant pathology (Florida Agr. Exp. Stat. Report 1916, publ. 1917, p. 99 R—112 R, fig. 77—22).
- Mc Clintock, J. A. Further evidence relative to the varietal resistance of peanuts to Sclerotium Rolfsii (Science II, Ser. XLVII, 1918, p. 72—73).
- Mc Cubbin, W. A., and Posey, G. G. Development of blister rust aecia on white pines after they had been cut down (Phytopathology VII, 1917, p. 391—392).
- Melchers, L. E. Physoderma (*Zeae Maydis?*) in Kansas (Phytopathology VIII, 1918, p. 38—39).
- Migula, W. Rost- und Brandpilze. Ein Hilfsbuch zu ihrem Erkennen, Bestimmen, Sammeln, Untersuchen und Präparieren (Handbücher für die praktische naturwissenschaftliche Arbeit, Bd. XIII, Stuttgart, 1917, gr.-8°, 132 pp., 10 tab.).
- Miles, L. E. Some diseases of economic plants in Porto Rico (Phytopathology VII, 1917, p. 345—351, 3 fig.).
- Mirande, Marcel. Sur un champignon nouveau de la famille des Hypocreacées, le Melanospora Mattioliiana Mirande (Bull. Soc. Myc. France XXXII, 1916, p. 64—73, 3 fig.).
- Mitra, S. K. Toxic and antagonistic effects of salts of wine yeast (*Saccharomyces ellipsoideus*) (Univ. California Publ. Agr. III, 1917, p. 63—102, 12 fig.).

- Moore, G. T. Native wild mushrooms for food (Missouri Bot. Gard. Bull. no. 5, 1917, p. 119—129, tab. 17—23).
- Murrill, W. A. (Agaricales) Agaricaceae (Pars). Agariceae (Pars) (North Amer. Flora X, 1917, p. 145—226).
- Murrill, W. A. Wild mushrooms as food (Amer. Mus. Journ. XVII, 1917, p. 323—331).
- Murrill, W. A. The Agaricaceae of tropical North America — VII, (Mycologia X, 1918, p. 15—33).
- Murrill, W. A. The Agaricaceae of tropical North America — VIII, (Mycologia X, 1918, p. 62—85).
- Murrill, W. A. Illustrations of fungi — XXVIII. (Mycologia X, 1918, p. 107—110, tab. 6).
- Murrill, W. A. Collecting fungi at the Delaware Water Gap (Journ. N. York Bot. Gard. XVIII, 1917, p. 207).
- Murrill, W. A. A disease of the hemlock tree (l. c., p. 208).
- Murrill, W. A. A giant puffball (l. c., p. 193, tab. 205).
- Murrill, W. A. Illustrations of fungi (Mycologia IX, 1917, p. 257—260).
- Olive, E. W. A trip to Texas to investigate cotton rust (Brooklyn Bot. Gard. Rec. 6, 1917, p. 154—158).
- Orton, C. R., and McKinney, W. H. Winter blight of the tomato (Ann. Rep. Pennsylvania State College 1914—15, publ. 1916, p. 235—246, tab. VI).
- Overholts, L. R. An undescribed timber decay of pitch pine (Mycologia IX, 1917, p. 261—270, tab. 12—13).
- Overholts, L. O. The structure of Polyporus glomeratus Peck (Torreya XVII, 1917, p. 202—206, 1 tab.).
- Patouillard, N. Une Lépiote africaine des nids de termites (Lepiota Le Testui) (Bull. Soc. Myc. France XXXII, 1916, p. 59—62, tab. I).
- Petch, T. Revisions of Ceylon fungi. Part V. (Ann. r. bot. Gard. Peradeniya VI, 1917, p. 307—355).
- Piemeisel, F. J. Factors affecting the parasitism of Ustilago Zeae (Phytopathology VII, 1917, p. 294—307).
- Posey, G. B., Gravatt, G. F., and Colley, R. H. Uredinia of Cronartium ribicola on Ribes stems (Science Sec. Ser. XLVI, 1917, p. 314—315).
- Povah, H. W. Helicostylum and Cunninghamella: two genera of Mucorales new to the state (Rep. Michigan Acad. Sc. XVII, 1916, p. 152—155, tab. 16—17).
- Ramsey, G. B. Influence of moisture and temperature upon infection of Spongospora subterranea (Phytopathology VIII, 1918, p. 20—31).
- Rands, R. D. The production of spores of Alternaria Solani in pure culture (Phytopathology VII, 1917, p. 316—317, 1 fig.).
- Rands, R. D. Alternaria on Datura and potato (Phytopathology VII, 1917, p. 327—338, 4 fig.).

- Reynolds, E. S. Internal telia of rusts (Science II. Ser. XLVI, 1917, p. 140—141).
- Rogers, J. M., and Earle, F. S. A simple and effective method of protecting citrus fruits against stem-end rot (Phytopathology VII, 1917, p. 361—367).
- Rudau, B. Vergleichende Untersuchungen über die Biologie holzzerstörender Pilze (Beitr. Biol. der Pflanzen XIII, 1917, p. 375—458, 6 tab.).
- Rumbold, C. Notes on effect of dyes on *Endothia parasitica* (Botan. Gazette LXIV, 1917, p. 250—252).
- Sawyer, W. H. jr. Development of some species of *Pholiota* (Botan. Gazette LXIV, 1917, p. 206—229, tab. 16—20).
- Seaver, Fred J. Photographs and descriptions of cup-fungi — VII. The genus *Underwoodia* (Mycologia X, 1918, p. 1—3, tab. I).
- Seaver, F. J. Damage from soil fungi (Journ. N. York Bot. Gard. XVIII, 1917, p. 186—188).
- Seaver, F. J. Sclerotinia and *Botrytis* (Torreya XVII, 1917, p. 163—164).
- Seaver, F. J. *Botrytis* and *Sclerotinia* (Science II. Ser. XLVI, 1917, p. 163).
- Selby, A. D. Diseases of wheat. Methods of control possible by seed treatment (Ohio Agr. Exp. Stat. Monthly Bull. no. 2, 1917, p. 219—222).
- Shear, C. L., and Stevens, N. E. Studies of the Schweinitz collections of fungi — I. Sketch of his mycological work (Mycologia IX, 1917, p. 191—204, tab. 8—9).
- Shear, C. L., and Stevens, N. E. Studies of the Schweinitz collections of fungi. — II. Distribution and previous studies of authentic specimens (Mycologia IX, 1917, p. 333—344).
- Sherbakoff, C. D. Some important diseases of truck crops in Florida (Florida Agr. Exp. Stat. Bull. no. 139, 1917, p. 193—277, fig. 76—112).
- Sherbakoff, C. D. Fusaria of potatoes (Cornell Agric. Exp. Stat. Mem. VI, 1917, p. 97—270, 7 tab., 51 fig.).
- Siggers, P. V. Some cultural characteristics of *Pestalozzia funerea* Desm. (Rep. Michigan Acad. Sc. XVII, 1916, p. 141, tab. 12).
- Spaulding, P., and Gravatt, G. F. Inoculations of *Ribes* with *Cronartium ribicola* Fischer (Science II. Ser. XLVI, 1917, p. 243—244).
- Spaulding, P., and Pierce, R. G. State and national quarantines against the white pine blister rust (Phytopathology VII, 1917, p. 319—320).
- Standley, Paul C. Rusts and smuts collected in New Mexico in 1916 (Mycologia X, 1918, p. 34—42).
- Stevenson, J. A. Wood rot of citrus trees (Porto Rico Dept. Agr. and Lab. Exp. Stat. Rio Piedras Circ. no. 10, 1917, p. 1—10).
- Stevenson, J. A. An epiphytic of cane disease in Porto Rico (Phytopathology VII, 1917, p. 418—425, 2 fig.).
- Stewart, F. C. A *Phoma* blight of red cedar (Phytopathology VIII, 1918, p. 33—34).

- Stewart, V. B. The perennation of *Cronartium ribicola* Fisch. on currant (Phytopathology VII, 1917, p. 448—449).
- Stewart, V. B. A twig and leaf disease of *Kerria japonica* (Phytopathology VII, 1917, p. 399—407, 6 fig.).
- Stone, R. E. Orange rust of *Rubus* in Canada (Phytopathology VIII, 1918, p. 27—29, 1 fig.).
- Strasser, P. Pius. Siebenter Nachtrag zur Pilzflora des Sonntagberges (N.-Ö.), 1917 (Verhandl. k. k. Zool.-bot. Ges. Wien 1918, p. 97—123).
- Sturgis, W. C. Notes on new or rare Myxomycetes (Mycologia IX, 1917, p. 323—332, tab. XIV—XV).
- Sylvén, N. Om tallens knäckesjuka (*Melampsora pinitorqua* (Braun) Rostrup) (Medd. Statens Skogsforsökanst. XIII—XIV, 1916/17, p. 1077—1140).
- Tanaka, T. New Japanese fungi. Notes and translations — II. (Mycologia IX, 1917, p. 249—253).
- Tanaka, Tyôzaburô. New Japanese fungi. Notes and translations — IV. (Mycologia X, 1918, p. 86—92).
- Taubenhaus, J. J. On a sudden outbreak of cotton rust in Texas (Science II. Ser., XLVI, 1917, p. 267—269).
- Taylor, M. W. Preliminary report on the vertical distribution of *Fusarium* in soil (Phytopathology VII, 1917, p. 374—378).
- Tisdale, W. H. Relation of temperature to the growth and infecting power of *Fusarium Lini* (Phytopathology VII, 1917, p. 356—360, 1 tab., 1 fig.).
- Trotter, A. Osservazioni e ricerche istologiche sopra alcune morfosi vegetali determinate da funghi (Marcellia XV, 1917, p. 58—111, tab. 1—3, 14 fig.).
- Trumbull, H. L. and Hotson, J. W. The effect of Roentgen and ultraviolet rays upon fungi. (Phytopathology VII, 1917, p. 426—431, 2 fig.).
- Weimer, J. L. Three cedar rust fungi, their life histories and the diseases they produce (Cornell Agr. Exp. Stat. Bull. no. 390, 1917, p. 507—549, fig. 136—157).
- Weir, James R. Notes on the altitudinal range of forest fungi (Mycologia X, 1918, p. 4—14).
- Weir, J. R. Notes on wood destroying fungi which grow on both coniferous and deciduous trees — II (Phytopathology VII, 1917, p. 379—380).
- Weir, J. R., and Hubert, E. E. *Cronartium cerebrum* on *Pinus resinosa* (Phytopathology VII, 1917, p. 450—451).
- Wilson, Guy West. Studies in North American Peronosporales — VII. New and noteworthy species (Mycologia X, 1918, p. 168—169).
- Yasuda, A. Eine neue Art von *Polyporus* (Bot. Mag. Tokyo XXXI, 1917, p. 279—280, 2 fig.).

Zimmermann, H. Über Mycoceciden der Rostform Gymnosporangium clavariaeforme (Jacqu.) Reess auf Rotdorn (Sitzungsber. u. Abhandl. naturf. Ges. Rostock N. F. VI, 1916, p. 1—10, 2 tab.).

---

Claassen, E. Second alphabetical list of the lichens collected in several counties of Northern Ohio (Ohio Journ. Sc. XVIII, 1917, p. 62—63).

Herre, A. C. Preliminary notes on the lichens of Whatcom County, Washington (Bryologist, XX, 1917, p. 76—84, 1 fig.).

Letellier, A. Étude de quelques gonidies de lichens (Thèse, Genève 1917, 8°, 47 pp., 6 fig., 1 tab.).

Lettau, G. Schweizer Flechten. I (Hedwigia LX, 1918, p. 84—128).

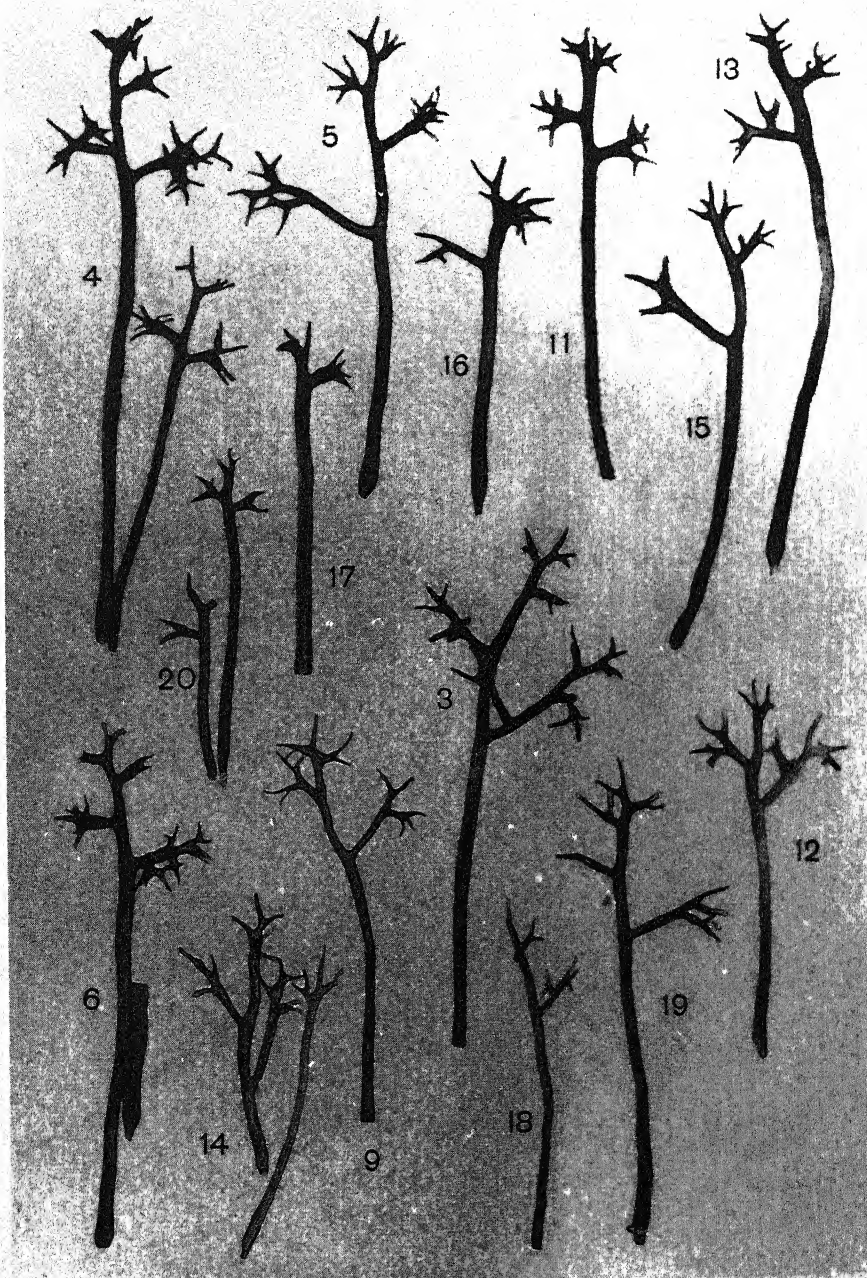
Lynge, B. Index specierum et varietatum Lichenum quae collectionibus, „Lichenes exsiccati“ distributae sunt (N. Mag. Naturv. LV, 1917, p. 305—384).

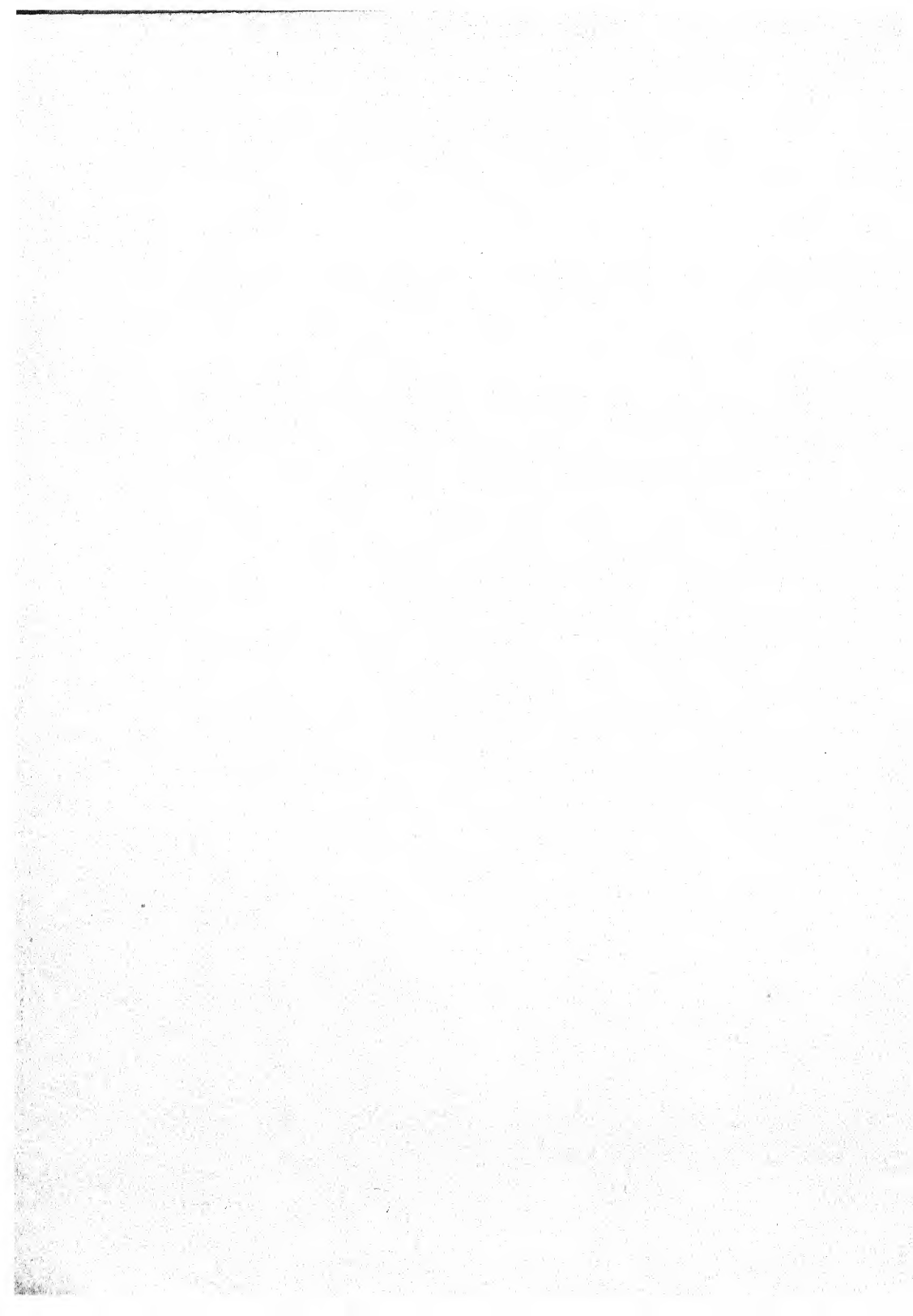
Zahlbrückner, A. Beiträge zur Flechtenflora Niederösterreichs, VII (Verhandl. Zool. bot. Ges. Wien LXVIII, 1918, p. 1—35).

---

ANNALES MYCOLOGICI vol. XVI, 1918.

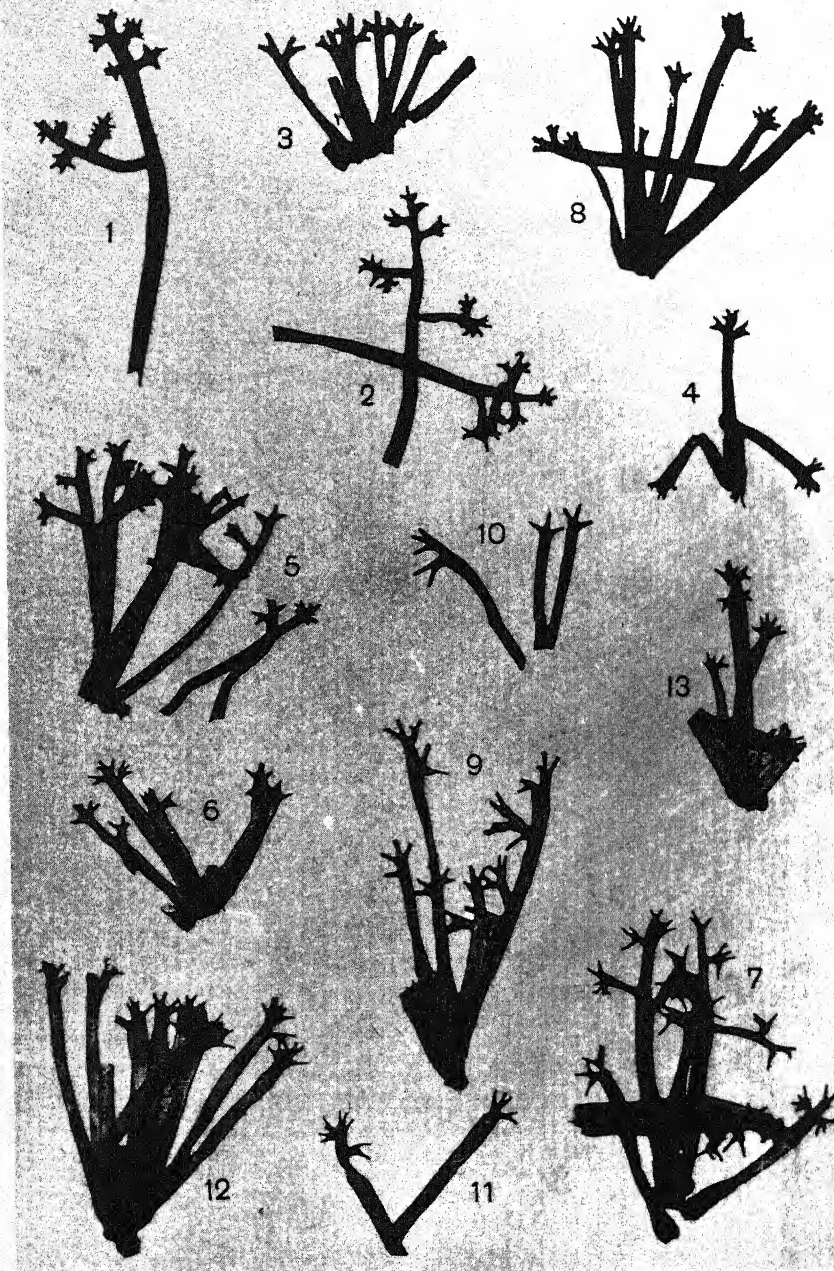
Wartenweiler: PLASMOPARA

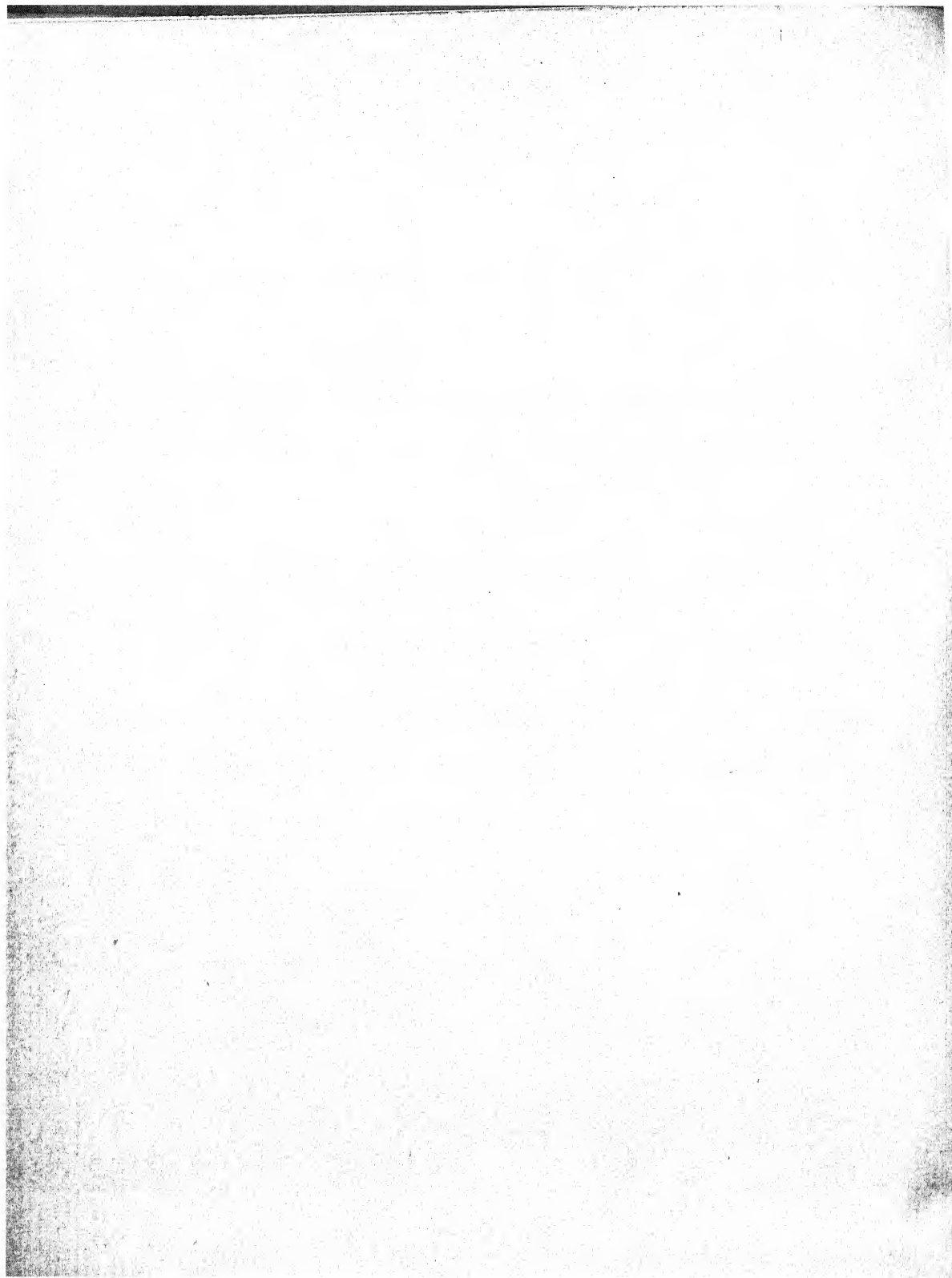




ANNALES MYCOLOGICI vol. XVI, 1918.

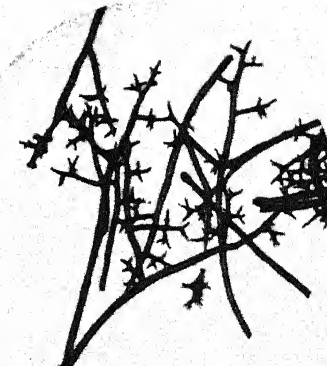
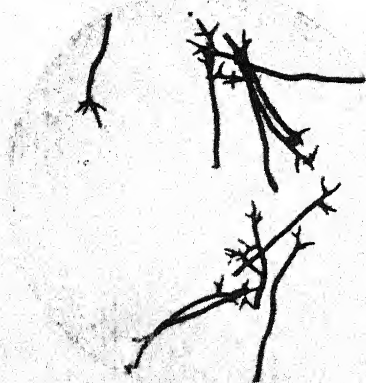
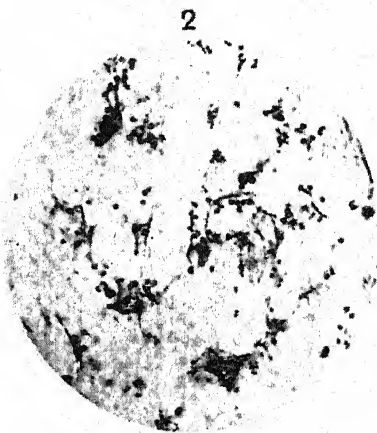
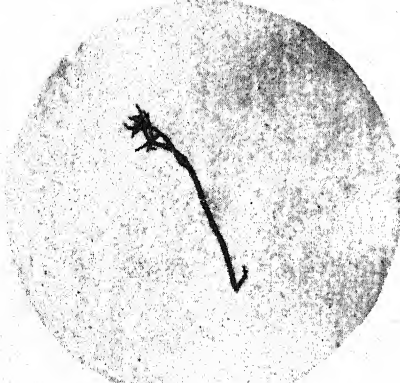
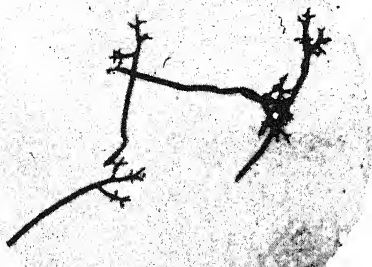
Wartenweiler: PLASMOPARA

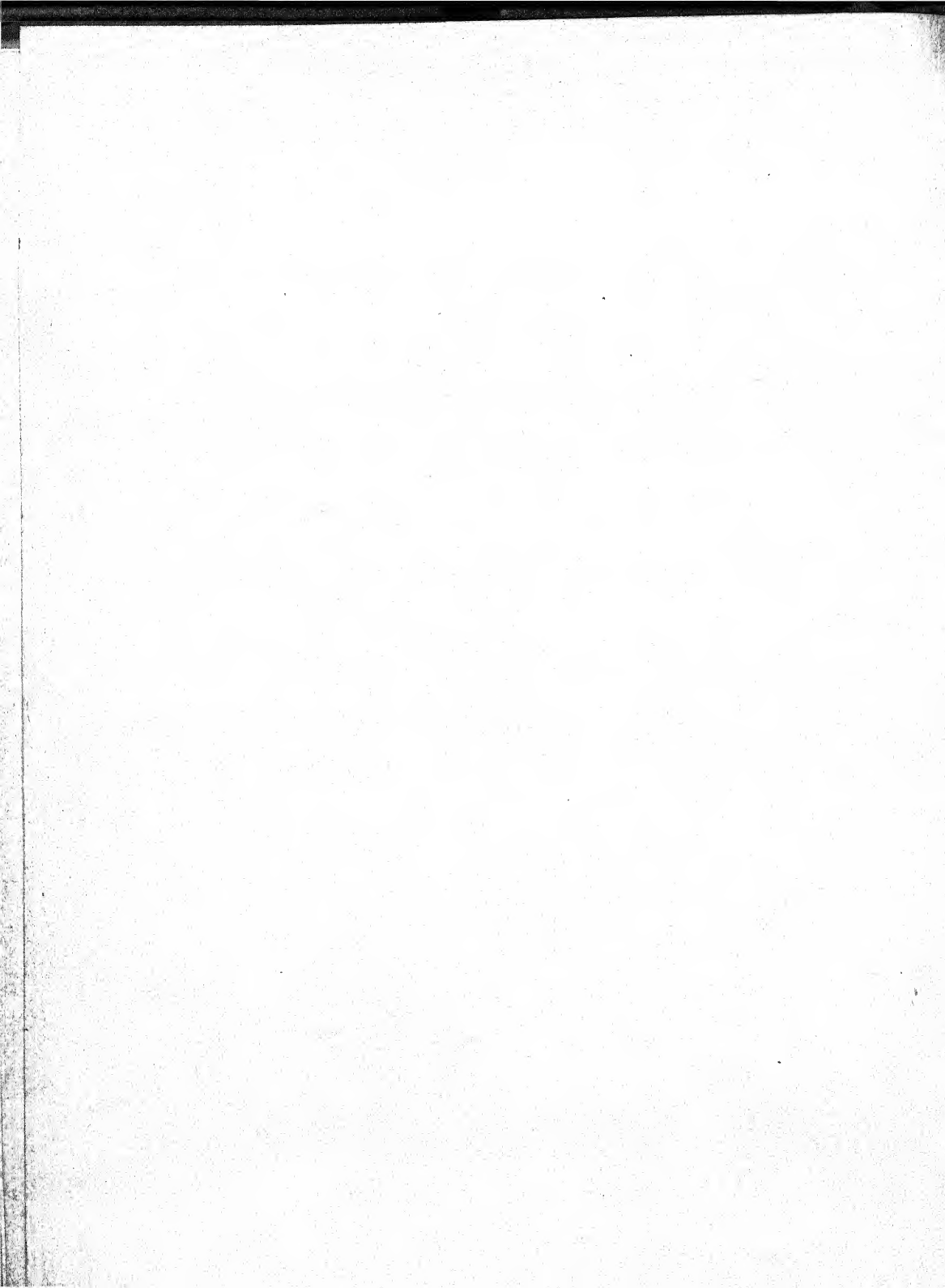


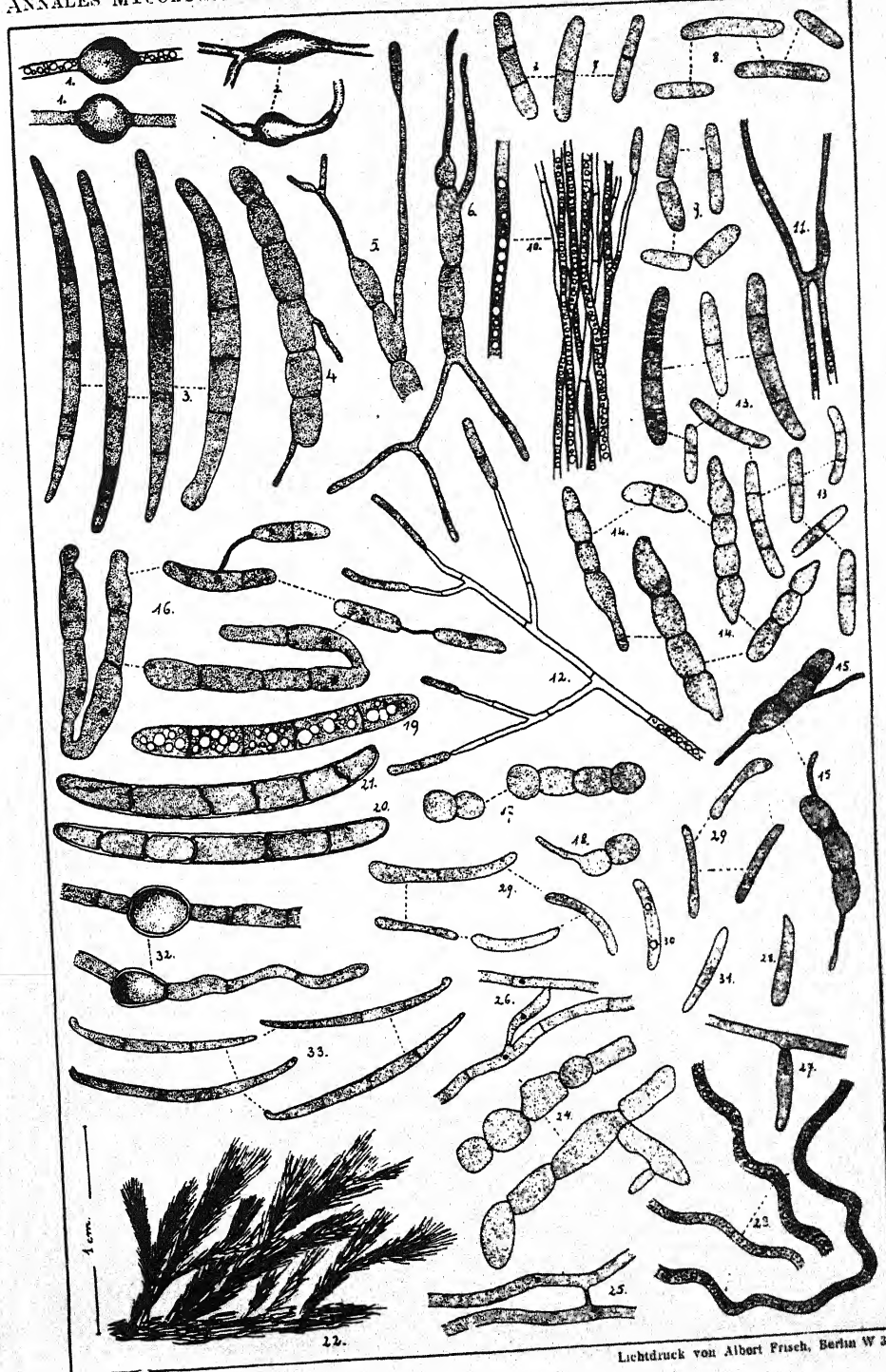


ANNALES MYCOLOGICI vol. XVI, 1918.

Wartenweiler: PLASMOPARA







E. Paravicini gez.

Lichtdruck von Albert Frisch, Berlin W 35.